



АБИТУРИЕНТ

Ю.Г. ПАВЛЕНКО

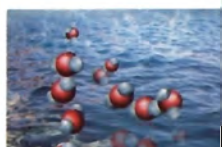
ФИЗИКА

ИЗБРАННЫЕ ЗАДАЧИ

КНИГА

1

МЕХАНИКА
МОЛЕКУЛЯРНАЯ ФИЗИКА
ТЕРМОДИНАМИКА
МЕХАНИКА ЖИДКОСТЕЙ И ГАЗОВ
ЭЛЕКТРИЧЕСТВО



ЭКЗАМЕН

$p = \rho \cdot V \cdot g$
 $p = \frac{F}{S}$
 $\rho g h =$
 $n =$
 $mg =$

Ю.Г. Павленко

ФИЗИКА

ИЗБРАННЫЕ ЗАДАЧИ

КНИГА I

Механика

Молекулярная физика

Термодинамика

Механика жидкостей

и газов

Электричество

Издательство

«ЭКЗАМЕН»

МОСКВА

2008

УДК 53(076.1)

ББК 22.3я72

П12

Павленко, Ю.Г.

П12 Физика. Избранные задачи. Кн. I: Механика. Молекулярная физика. Термодинамика. Механика жидкостей и газов. Электричество / Ю.Г. Павленко. — М.: Издательство «Экзамен», 2008. — 542, [2] с. (Серия «Абитуриент»)

ISBN 978-5-377-00469-1

Эта книга представляет собой сборник задач и вопросов по всем разделам курса физики средней школы: «Кинематика», «Основы динамики», «Молекулярная физика. Тепловые явления», «Механика жидкостей и газов», «Электростатика», «Электрический ток», «Магнитное поле», «Электромагнитная индукция», «Колебания и волны», «Оптика», «Элементы теории относительности» и «Квантовая физика». Предлагаемые свыше 1 600 задач и вопросов отражают наиболее существенные для каждой темы понятия и законы. Включен материал, который, как показала практика приемных экзаменов на естественные факультеты МГУ, наиболее сложен для абитуриентов.

Приведены решения всех задач. Анализируя свою работу, читатель получит объективную информацию об уровне подготовки и разделах программы, требующих дополнительного изучения.

Для учащихся старших классов, абитуриентов и преподавателей.

УДК 53(076.1)

ББК 22.3я72

Подписано в печать с диапозитивов 10.09.2007. Формат 60х90/16.

Гарнитура «Таймс». Бумага типографская. Уч.-изд. л. 22,27.

Усл. печ. л. 34. Тираж 50 000 (1-й завод — 5000) экз. Заказ № 4824003

ISBN 978-5-377-00469-1

© Павленко Ю.Г., 2008

© Издательство «ЭКЗАМЕН», 2008

Оглавление

Предисловие	7
-------------------	---

УСЛОВИЯ ЗАДАЧ

Глава I. МЕХАНИКА	13
1.1. Кинематика.....	13
1.2. Движение с постоянным ускорением.....	21
1.3. Относительное движение	26
1.4. Законы Ньютона	28
1.5. Законы сохранения и изменения импульса системы тел. Движение тела переменной массы	37
1.6. Статика.....	41
1.7. Работа и энергия. Законы сохранения и изменения полной энергии	48
1.8. Движение по окружности	60
1.9. Закон всемирного тяготения. Законы Кеплера	63
1.10. Движение в неинерциальных системах.	69
1.11. Линейные колебания	72
1.12. Движение твердого тела	79
Глава II. МОЛЕКУЛЯРНАЯ ФИЗИКА. ТЕРМОДИНАМИКА.....	89
2.1. Идеальный газ. Термодинамические процессы	89
2.2. Первый закон термодинамики.....	97
2.3. Фазовые переходы вещества.....	107
2.4. Влажность воздуха	113
2.5. Тепловые двигатели	116
Глава III. МЕХАНИКА ЖИДКОСТЕЙ И ГАЗОВ	127
3.1. Гидростатика и аэростатика.....	127
3.2. Адиабатическое течение жидкости и газа. Закон Бернулли	139
3.3. Деформация твердых тел. Тепловое расширение	144
3.4. Волновое движение в среде. Звук.....	151

Глава IV. ЭЛЕКТРИЧЕСТВО	156
4.1. Закон Кулона. Заряд в электростатическом поле. Напряженность и потенциал поля	156
4.2. Основная задача электростатики. Закон Гаусса. Электрическое поле зарядов, проводников и диэлектриков	163
4.3. Конденсатор. Схемы, содержащие конденсаторы	173
4.4. Постоянный ток. Закон Ома	179
4.5. Закон Джоуля—Ленца	195

ОТВЕТЫ К ЗАДАЧАМ

Глава I. МЕХАНИКА	207
1.1. Кинематика	207
1.2. Движение с постоянным ускорением	208
1.3. Относительное движение	209
1.4. Законы Ньютона	210
1.5. Законы сохранения и изменения импульса системы тел. Движение тела переменной массы	212
1.6. Статика	213
1.7. Работа и энергия. Закон сохранения полной энергии	214
1.8. Движение по окружности	216
1.9. Закон всемирного тяготения. Законы Кеплера	217
1.10. Движение в неинерциальных системах	218
1.11. Линейные колебания	218
1.12. Движение твердого тела	220
Глава II. МОЛЕКУЛЯРНАЯ ФИЗИКА. ТЕРМОДИНАМИКА	221
2.1. Идеальный газ. Термодинамические процессы	221
2.2. Первый закон термодинамики	224
2.3. Фазовые переходы вещества	226
2.4 Влажность воздуха	226
2.5. Тепловые двигатели	227
Глава III. МЕХАНИКА ЖИДКОСТЕЙ И ГАЗОВ	229
3.1. Гидростатика и аэростатика	229

3.2. Адиабатическое течение жидкости и газа.	
Закон Бернулли	230
3.3. Деформация твердых тел. Тепловое расширение	231
3.4. Волновое движение в среде. Звук.....	232
Глава IV. ЭЛЕКТРИЧЕСТВО	233
4.1. Закон Кулона. Заряд в электростатическом поле.	
Напряженность и потенциал поля.	233
4.2. Основная задача электростатики. Закон Гаусса.	
Электрическое поле зарядов, проводников и диэлектриков ...	235
4.3. Конденсатор. Схемы, содержащие конденсаторы	237
4.4. Постоянный ток. Закон Ома	238
4.5. Закон Джоуля — Ленца	241

РЕШЕНИЯ ЗАДАЧ

Глава I. МЕХАНИКА	245
1.1. Кинематика.....	245
1.2. Движение с постоянным ускорением.....	257
1.3. Относительное движение	268
1.4. Законы Ньютона	273
1.5. Законы сохранения и изменения импульса системы тел.	
Движение тела переменной массы	297
1.6. Статика.....	305
1.7. Работа и энергия. Законы сохранения и изменения	
полной энергии	323
1.8. Движение по окружности	346
1.9. Закон всемирного тяготения. Законы Кеплера	353
1.10. Движение в неинерциальных системах.	368
1.11. Линейные колебания	373
1.12. Движение твердого тела	386
Глава II. МОЛЕКУЛЯРНАЯ ФИЗИКА.	
ТЕРМОДИНАМИКА.....	403
2.1. Идеальный газ. Термодинамические процессы	403
2.2. Первый закон термодинамики.....	413
2.3. Фазовые переходы вещества	419

2.4. Влажность воздуха	426
2.5. Тепловые двигатели	431
Глава III. МЕХАНИКА ЖИДКОСТЕЙ И ГАЗОВ	441
3.1. Гидростатика и аэростатика	441
3.2. Адиабатическое течение жидкости и газа. Закон Бернулли	459
3.3. Деформация твердых тел. Тепловое расширение	469
3.4. Волновое движение в среде. Звук.....	478
Глава IV. ЭЛЕКТРИЧЕСТВО	486
4.1. Закон Кулона. Заряд в электростатическом поле. Напряженность и потенциал поля.	486
4.2. Основная задача электростатики. Закон Гаусса. Электрическое поле зарядов, проводников и диэлектриков	497
4.3. Конденсатор. Схемы, содержащие конденсаторы.....	511
4.4. Постоянный ток. Закон Ома	521
4.5. Закон Джоуля—Ленца.....	533

Предисловие

Ignorantia juris nocet.

Эта книга содержит задачи, соответствующие программе по физике для учащихся общеобразовательных и физико-математических школ. Предлагаемые задачи отражают наиболее существенные для каждой темы понятия и законы. Читатель должен прийти к выводу, что именно теоретические основы физики представляют собой рабочий аппарат, позволяющий решать конкретные задачи и приобрести уверенность в самостоятельной работе. Анализируя результаты, Вы получите объективную информацию об уровне своей подготовки, и разделах программы, требующих дополнительного изучения. Но есть нечто не менее важное — в процессе обучения появляется возможность проявить себя как самостоятельную творческую личность.

Решение задач — необходимый элемент изучения физики. Следует осознать, что решение любой задачи — результат решения системы уравнений. Однако в курсе физики изучают не уравнения, а физические законы, которые представляют собой математическое описание явлений природы. Поэтому в результате изучения «теории» невозможно не решить задачу. Вы записываете в математической форме физические законы, «управляющие» описанным в задаче явлением, несколько определений и конкретные следствия условия задачи, пока не получите систему некоторого числа уравнений, содержащую то же количество неизвестных. Теперь остается найти корни системы уравнений — это и есть решение задачи. Очевидно, задачи и теория — единое целое. Этот подход к решению задач — из «первых принципов» — является универсальным. В этом плане не столь важны условия конкретной задачи, поскольку можно составить множество задач, для решения которых достаточно применить только один закон и использовать несколько определений. Здесь следует отметить, что в физике утверждений в ранге закона совсем немного,

Возможно, многие читатели убедились в достоверности латинского афоризма: «незнание закона вредит». Однако сейчас в России происходит процесс «американизации» образования, ведущий к потреблению только полезных знаний (useful knowledge) в ограниченных рамках — некоторая разновидность схоластики. Наиболее близ-

кий термин — «инженерный подход», требующий для решения счетного числа задач знание счетного числа готовых «формул», а не законов физики. Очевидно, что этот подход позволяет быстро найти решение ограниченного круга задач.

«Начинать надо с математики, которая, как Вы знаете, является основой нашей науки» — говорил студентам выдающийся физик-теоретик XX века Л.Д. Ландау и продолжал — «В качестве метода изучения могу только подчеркнуть, что необходимо самому произвести все вычисления, а не предоставлять их авторам читаемых Вами книг». Изучение математики и физики дисциплинирует мышление, воспитывает настойчивость, умение достичь намеченной цели, развивает работоспособность, содействует правильной самооценке освоения изучаемых разделов предмета.

Сейчас весь мир переходит от образования в формате teaching к формату learning. Теперь не человека учат, а человек учится всю жизнь, и учителя ему помогают в границах целесообразности и личной заинтересованности. Только потрудившись можно научиться учиться, получить полноценное среднее образование и приобрести важную в жизни культуру мышления.

Следует отметить, что термин «физический смысл» относится скорее к физике XIX века. Сейчас мы говорим о физической картине явления, основанной на законах, выраженных в терминах математики. В квантовой механике, являющейся основой современной физики — физики атома, атомного ядра и микроэлектроники, постулируются состояния, невозможные с точки зрения человека, привыкшего к классической логике. Новые эксперименты лишь подтверждают замечание Н. Бора: «Если квантовая механика не приводит вас в замешательство, то вы ее не поняли по-настоящему». Теоретическая основа физики элементарных частиц — разделы алгебры и новейшей геометрии, теория относительности и квантовая теория поля. Все следствия теории относительности противоречат «здравому смыслу», который, как отметил А. Эйнштейн, «представляет собой тот пласт предрассудков, которые мы накапливаем до 16 лет». От теории требуется только то, чтобы она описывала наблюдаемые явления и позволяла бы предсказывать новые.

В книге собраны задачи, предназначенные для широкого круга читателей, — старшеклассникам, студентам первых курсов и преподавателям физики. В сборник не включены примитивные задачи, решение которых является элементарным процессом для читателей, изучивших теорию. Ряд задач приведен в формате задач-тестов и задач-оценок. В сборнике практически отсутствуют задачи, решение

которых требует громоздких преобразований, и существенно выходят за рамки программы средней школы. В сборник включены задачи различной степени трудности — от почти стандартных, которые можно использовать для проверки усвоения материала программы, до сравнительно сложных, требующих ясного понимания физических явлений, знания теории и умения применить ее в непривычной или усложненной постановке. Приведены задачи, которые, как показала практика приемных экзаменов на естественные факультеты МГУ, наиболее сложны для учащихся. Рекомендую изучать теорию по книге автора «Начала физики» (изд. Экзамен, 2005. 862 стр.), написанную на основе лекций, читаемых в школе им. А. Н. Колмогорова при Московском Государственном Университете. Сборник задач и эта книга представляют собой единое руководство по изучению физики.

Задачи, отмеченные звездочкой, представляют собой «сложные» или «трудные» задачи, хотя эти понятия весьма условны. Для решения этих задач необходимо использовать те же законы, что и для «простых» задач. Разница, по-видимому, в количестве уравнений, необходимых для получения решения или в нестандартной форме условия. В одних задачах, трудных на первый взгляд, решение оказывается неожиданно простым. В других задачах очевидный ответ может оказаться неверным. Опыт работы в высшей и средней школе показывает, что всегда находятся ученики, желающие более глубоко разобраться в теории, и проявляющие естественный интерес к научным проблемам, решение которых требует определенных усилий. С этой целью приведены задачи — проблемы, которые будут интересны тем, кто выберет физику в качестве будущей профессии. Автор надеется, что введение в сборник новых, интересных и нестандартных задач будет стимулом к чтению популярной и, может быть, специальной литературы.

В среднем задачу, не отмеченную звездочкой, следует выполнить за 5–10 минут. Для решения задач, отмеченных звездочкой, потребуется значительно больше времени. В этом аспекте предлагаемые задачи, содержащие не только примитивные задания, но и «трудные» проблемы, представляют собой избирательный сборник задач, решение которых окажется весьма полезным для достижения «нормального» уровня понимания основных законов физики и приобретения опыта в решении задач.

Обязательно почитайте раздел «Вопросы и блиц-ответы». Здесь вы найдете среди ответов множество заметок методического характера.

Решение практически любой задачи следует начинать с введения системы координат. В механике — это декартова система или естест-

венная система для описания движения по окружности. В электродинамике необходимо произвольно задать положительное направление на участках контура, ограниченных узлами.

В сборнике приведены решения всех задач, но это не означает, что надо начинать с чтения решения задачи. Если учащийся обладает достаточной волей и стремлением к самовыражению, то будет решать задачу самостоятельно. С другой стороны необходим личный контакт ученика и хорошего учителя для того, чтобы не стать самоучкой. Читая учебную литературу, автор не раз убеждался, что хороших учителей не так уж и много. У остальных — «своя физика». Эта книга заменит читателю преподавателя. Поэтому читателю необходимо ознакомиться с приведенным в книге решением, для того чтобы проверить «собственный» метод и научиться решать задачи на профессиональном уровне. Более того, автор часто не ограничивается изложением решения, связанного с конкретным вопросом, а рассматривает различные аспекты поставленной задачи.

Надеюсь, что эта книга, содержащая более 1600 задач и решений, будет полезна не только учащимся и студентам, но и преподавателям.

Желаю успеха!

*Доктор физико-математических наук,
профессор*

Ю.Г. Павленко

УСЛОВИЯ ЗАДАЧ

Глава I. МЕХАНИКА

1.1. Кинематика

Декартова система координат — совокупность трех взаимно перпендикулярных числовых осей с общим началом отсчета.

Радиус-вектор. Положение частицы в произвольный момент времени t полностью определяется заданием трех функций $x(t)$, $y(t)$, $z(t)$, представляющих собой значения координат частицы в момент времени t . Эти функции являются проекциями или компонентами вектора $\vec{r}(t) = (x(t), y(t), z(t))$, идущего из начала координат в точку, где находится частица. По этой причине вектор $\vec{r}(t)$ называют радиус-вектором.

Траектория частицы — кривая в пространстве, по которой движется частица.

Путь $s(t)$ — длина участка траектории, по которому движется частица в течение рассматриваемого промежутка времени.

Скорость частицы в декартовых координатах. В обозначениях Лейбница проекции скорости частицы на оси координат

$$v_x = \frac{dx}{dt}, \quad v_y = \frac{dy}{dt}, \quad v_z = \frac{dz}{dt}. \quad (1.1.1)$$

Величина скорости $v = |\vec{v}|$ представляет собой производную пути $s(t)$: $v(t) = ds/dt$.

Величина *средней скорости* определяется отношением пути Δs , пройденного частицей, к промежутку времени Δt , в течение которого этот путь пройден:

$$v_{\text{сп}} = \frac{\Delta s}{\Delta t}. \quad (1.1.2)$$

При движении частицы с постоянной скоростью

$$\vec{r}(t) = \vec{r}_0 + \vec{v}_0 t. \quad (1.1.3)$$

При движении частицы с постоянным ускорением

$$\vec{r}(t) = \vec{r}_0 + \vec{v}_0 t + \frac{\vec{a}_0 t^2}{2}. \quad (1.1.4)$$

1.1.1. Задача-шутка Фейнмана. Лауреат Нобелевской премии, физик-теоретик Ричард Фейнман (1918–1988) взял лекало и начал медленно поворачивать. «Это лекало сделано так, что независимо от того, как вы его повернете, в наинизшей точке контура касательная горизонтальна» — сказал он. Студенты стали приставлять карандаш к нижней точке лекала и были крайне возбуждены от этого открытия. Докажите утверждение Фейнмана.

1.1.2. Задача Архимеда. Как «взвесить» число π ?

1.1.3. Что общего между морской милей длиной 1852 м и секундой?

1.1.4. Что означает термин «планета»?

1.1.5. Объясните происхождение терминов «кардан» и «карданов подвес».

1.1.6. Найдите ошибки в определении: движение тела называется равномерным, если тело за равные промежутки времени проходит одинаковые расстояния.

1.1.7. Приведите определение равнопеременного движения.

1.1.8. На рис. 1.1.8 изображен параллелепипед, ограниченный плоскостями $x = 0$, $x = a$; $y = 0$, $y = b$; $z = 0$, $z = a$. На внутренней поверхности этой коробки в точке $A(a/2, 0, c)$ расположился жук, который должен добраться до точки $B(a/2, b, a - c)$; $a = 12$ см, $b = 30$ см, $c = 1$ см (рис. 1.1.8). Величина скорости жука $v = 1$ см/с. Найдите наименьший промежуток времени t_m , через который жук попадет в точку B .

1.1.9*. Частица P движется по сфере радиусом a с центром в точке C . Выберем две точки O и N на прямой, проходящей через точку C , $OC = R$, $a < R$ (рис. 1.1.9). Вектор OC обозначим буквой \vec{R} , вектор CP на поверхности сферы \vec{a} . Вектор NC равен $\alpha\vec{R}$, где α — постоянный коэффициент. образуем векторы $\vec{s}_{OP} = \vec{R} + \vec{a}$, $\vec{s}_{NP} = \alpha\vec{R} + \vec{a}$. Найдите значение α , при котором отношение длин векторов \vec{s}_{OP} и \vec{s}_{NP} постоянно.

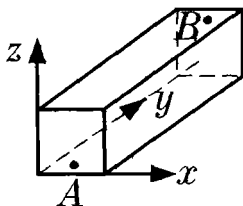


Рис. 1.1.8

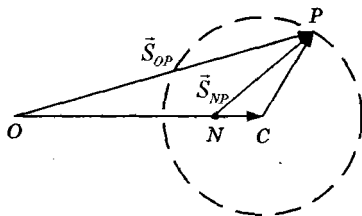


Рис. 1.1.9

1.1.10. Колесо велосипеда вращается вокруг оси. Скорость точки шины, находящейся на расстоянии $s_1 = 30$ см от оси, равна $v_1 = 9$ м/с. Найдите величину скорости v_2 точки на втулке колеса, находящейся на расстоянии $s_2 = 2$ см от оси.

1.1.11. Автомобиль проезжает первую половину пути со скоростью $v_1 = 4$ м/с, а вторую — со скоростью $v_2 = 6$ м/с. Найдите среднюю скорость автомобиля.

1.1.12. Автомобиль проезжает первые $s_1 = 60$ км пути со средней скоростью $v_1 = 20$ км/час и следующие $s_2 = 40$ км со средней скоростью $v_2 = 8$ км/час. Найдите среднюю скорость автомобиля на всем пути v_{cp} .

1.1.13. Две яхты принимают участие в гонках. Первая яхта проходит всю дистанцию со скоростью $v = 20$ км/ч. Вторая яхта проходит первую половину пути со скоростью $v_1 = 18$ км/ч и догоняет соперника на финише. Найдите величину скорости яхты v_2 на второй половине пути.

1.1.14. В бассейне по трем дорожкам плывут пловцы — первый и второй в одну сторону, третий — в противоположную. Величина скорости второго пловца v_2 , третьего v_3 . Найдите величину скорости первого пловца, если они находятся относительно друг друга на одной прямой.

1.1.15. Скорость частицы до упругого столкновения с твердой неподвижной стенкой, расположенной в плоскости $x = 0$, равна $\vec{v}_1 = (-u, v, 0)$, после столкновения — $\vec{v}_2 = (u, v, 0)$ (рис. 1.1.15). Найдите приращение скорости $\Delta\vec{v} = \vec{v}_2 - \vec{v}_1$.

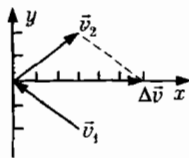


Рис. 1.1.15

1.1.16. Радиус-вектор частицы $\vec{r}(t) = \vec{r}_0 + \vec{v}_0 t$. Найдите расстояние h от начала координат до прямой, по которой движется частица.

1.1.17. Радиус-векторы первой и второй частиц $\vec{r}_1(t) = (-c + vt, 0, 0)$, $\vec{r}_2(t) = (0, -c + ut, 0)$, $c = 5$ м, $v = 3$ м/с, $u = 4$ м/с. Найдите наименьшее расстояние s_m между частицами.

1.1.18. Концы стержня AB длины l скользят по двум взаимно перпендикулярным прямым, скорость точки B равна \vec{v} (рис. 1.1.18). Найти траекторию точки C — середины стержня и скорость точки C . В начальный момент времени $t = 0$ стержень находился на вертикальной прямой.

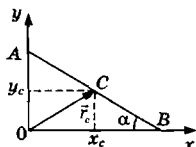


Рис. 1.1.18

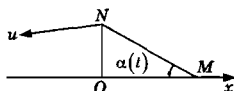


Рис. 1.1.19

1.1.19*. К ящику привязали веревку, другой конец ее перекинули через забор и тянут со скоростью u (рис. 1.1.19). В момент времени t угол между горизонталью и куском веревки, привязанной к ящику, равен $\alpha(t)$. Найти скорость ящика.

1.1.20. Скорости концов стержня ab постоянной длины, движущегося в пространстве, равны соответственно $\vec{v}_a(t)$ и $\vec{v}_b(t)$. Покажите, что проекции скоростей точек a и b на прямую ab одинаковы.

1.1.21. Регулярно в определенное время за инженером приезжает заводская автомашина, которая доставляет его на место работы. Однажды инженер вышел из дома на t ч раньше обычного и, не дожидаясь машины, пошел на завод пешком. По дороге он встретил автомашину и приехал на завод на 10 мин раньше, чем обычно. Найдите промежуток времени τ , в течение которого инженер шел пешком до встречи с автомашиной. Решить задачу графически, предполагая, что дом инженера и завод находятся на прямолинейном участке шоссе.

1.1.22. Точки O и A находятся на прямой линии. Первая частица начинает движение из точки O в точку A в момент времени $t = 0$, вторая — из A в O через промежуток времени 2τ . После встречи первая частица достигла точки A через промежуток времени τ , а вторая — точки O через 8τ . Найдите промежуток времени t_1 , через который первая частица достигнет точки A .

1.1.23*. Пешеход, велосипедист и мотоциклист движутся с постоянными скоростями по прямой. Когда велосипедист догнал пешехода, мотоциклист был на расстоянии s позади. Когда мотоциклист догнал велосипедиста, пешеход был на расстоянии d позади. Найдите расстояние h , на котором был велосипедист от пешехода в момент времени встречи мотоциклиста и пешехода.

1.1.24. Частицы a и b движутся по оси x . В момент времени $t_0 = 0$ они находились в начале координат и одновременно достигли точки C , координата которой $x_c = s$. Частица a первую половину пути прошла со скоростью $v_{ax} = 2v$, вторую половину пути — со скоростью $v_{ax} = v/2$. Частица b прошла первую половину пути со скоростью $v_{bx} = v/2$, вторую половину пути — со скоростью $v_{bx} = 2v$. Найдите интервал времени, в течение которого расстояние между частицами принимает постоянное наибольшее значение s_m . Определите s_m и среднее значение проекции скорости частиц.

1.1.25*. Спортсмены бегут колонной длиной l_0 с одинаковыми скоростями v . Навстречу бежит тренер со скоростью u ($u < v$). Спортсмен, поравнявшийся с тренером, разворачивается и бежит в обратную сторону с той же величиной скорости v . Найдите длину колонны l , когда все спортсмены будут бежать в направлении, противоположном первоначальному.

1.1.26. Автомобиль начинает двигаться из состояния покоя. Первую половину пути он движется с постоянным ускорением. На втором участке пути он движется с постоянной скоростью $v = 18$ м/с, которой достиг в конце первого участка. Найдите среднюю скорость автомобиля $v_{\text{ср}}$.

1.1.27. Частица начинает двигаться по прямой линии из состояния покоя с постоянным ускорением. В момент времени $t_1 = 3$ с скорость частицы в точке A равна $v_1 = 6$ м/с. Найдите расстояние s между частицей и точкой A за секунду до пересечения частицей точки A .

1.1.28. Частица движется по оси x . На рис. 1.1.28 приведена зависимость проекции ускорения на ось x от времени. В какой момент времени проекция скорости частицы $v_x(t)$ достигает наибольшего значения?

1.1.29. Поезд начинает движение по прямой линии, параллельной оси x . На рис. 1.1.29 a изображен график зависимости проекции скорости $v_x(t)$ от времени. За время 2τ поезд прошел путь $s = 18$ км. Найдите ускорение поезда на отрезке времени $[0, \tau]$, $\tau = 10$ мин.

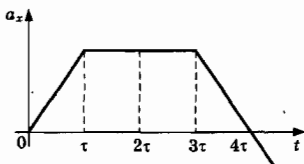


Рис. 1.1.28

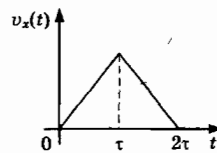


Рис. 1.1.29 а

1.1.30. Две частицы начинают одновременно двигаться из начала координат по оси x . Зависимость проекции скоростей частиц от времени изображена на рис. 1.1.30. В момент времени $\tau = 1$ с скорости частиц одинаковы. Найдите значение $t = T$, при котором первая частица догонит вторую.

1.1.31*–1.1.33*. Частица начинает двигаться по оси x из начала координат. На рис. 1.1.31 приведена зависимость проекции скорости на ось x от времени ($v_0 = 10$ м/с, $\tau = 1$ с).

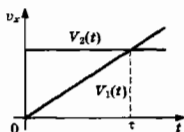


Рис. 1.1.30

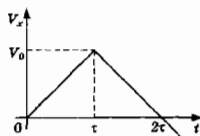


Рис. 1.1.31

1.1.31*. Найдите координату частицы через интервал времени равный 2τ .

1.1.32*. Найдите значение момента времени T , в который частица окажется в исходном положении.

1.1.33. Найдите среднее значение проекции скорости частицы в интервале $(0, 2\tau)$.

1.1.34. Координата частицы, движущейся по прямой линии, $x(t) = v_0 t - at^2/2$, $t \geq 0$. Найдите значение пути s , который частица пройдет за промежуток времени $t_m = 2v_0/a$.

1.1.35–1.1.36. Частица начинает двигаться по оси x из начала координат. На рис. 1.1.35 изображен график зависимости проекции скорости $v_x(t)$ от времени ($v_0 = 10$ м/с, $\tau = 1$ с).

1.1.35. Найдите значение x -координаты в момент времени $t = 3\tau$.

1.1.36. Найдите среднее значение проекции скорости на отрезке времени $[0, 2\tau]$.

1.1.37–38. Частица начинает двигаться по оси x из начала координат. На рис. 1.1.37 изображен график зависимости проекции скорости $v_x(t)$ от времени.

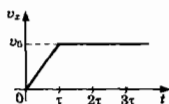


Рис. 1.1.35

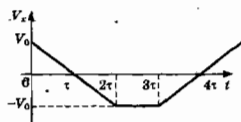


Рис. 1.1.37

1.1.37. Найдите значение x -координаты в момент времени $t = 4\tau$.

1.1.38. Найдите путь, пройденный частицей на отрезке времени $[0, 4\tau]$.

1.1.39. Частица движется по прямой линии с постоянным ускорением, проходя последовательно два отрезка пути l_1 и l_2 за интервалы времени t_1 и t_2 . Найдите величину ускорения частицы.

1.1.40. Частица движется по прямой линии. Проекция скорости $v(t) = kt(t_0 - t)$, $t \geq 0$. Найдите путь s , пройденный частицей за промежуток времени t_0 .

1.1.41. Частица начинает двигаться по прямой линии с постоянным ускорением, проходит путь l за пятую секунду и останавливается. Найдите путь s , пройденный частицей за третью секунду.

1.1.42. Тормозной путь железнодорожного состава, движущегося со скоростью $v = 51$ км/ч, равен $s = 390$ м. Найдите коэффициент трения μ колес о рельсы.

1.1.43. При торможении автомобиль, движущийся со скоростью $v_1 = 40$ км/ч, прошел до полной остановки путь $s_1 = 16$ м. Определите путь s_2 , который пройдет автомобиль при уменьшении скорости от значения $v_3 = 100$ км/ч до значения $v_2 = 60$ км/ч.

1.1.44. Частица движется по оси x из начала координат с нулевой начальной скоростью и ускорением a в течение промежутка времени τ . Затем через промежуток времени τ ускорение изменяет знак на противоположный и частица проходит начало координат со скоростью $v_x = -u$. Найдите максимальное расстояние x_m , на которое частица сместилась от начала координат.

1.1.45. Частица движется по оси x . Проекция скорости v_x пропорциональна квадрату координаты частицы x . При $x = x_0$, значение $v_x = v_0$. Найдите значение проекции ускорения частицы a_x при $x = x_0$.

1.1.46. Частица движется в плоскости xy с постоянным ускорением $\vec{a} = (0, -a, 0)$, $a = 10$ м/с². Уравнение траектории частицы $y = kx - bx^2$, $k = 3$, $b = 2$ м⁻¹. Найдите скорость частицы $\vec{v} = (v_1, v_2, 0)$ в начале координат.

1.1.47. Концы стержня AB , по которому перемещается частица, скользят по двум взаимно перпендикулярным прямым: точка B движется по оси x , точка A — по оси y . В начальный момент времени $t = 0$ стержень расположен на оси y , конец стержня B и частица — в начале координат. Величина скорости точки B равна v , частицы относительно стержня — u , длина стержня — l . Найдите максимальное значение y -координаты частицы.

1.1.48. Четыре стержня одинаковой длины a , соединенные шарнирами, образуют ромб $ABCD$. В момент времени $t = 0$ вершины A и C начинают смещать в противоположные стороны со скоростями одинаковой величины $v(t) = kt(T - t)$, $0 \leq t \leq T$ (рис. 1.1.48а). В момент времени $t = T$ ромб переходит в квадрат. Найдите ускорение $a_b(T)$ вершины B в момент времени $t = T$.

1.1.49. Конец A тонкой нити длиной l_0 закреплен на пересечении кругового цилиндра радиусом R и горизонтальной плоскости. К другому концу P натянутой нити прикреплена частица, которая движется вокруг цилиндра в той же горизонтальной плоскости. Найдите длину траектории частицы s_m через промежуток времени, соответствующий намотке всей нити на цилиндр.

1.1.50. Человек начинает бежать вверх по движущемуся эскалатору с ускорением a . Добежав до середины эскалатора, он разворачивается и начинает спускаться с тем же ускорением. Найдите промежуток времени T , в течение которого человек находился на эскалаторе. Длина эскалатора l , скорость v .

1.1.51*. На рис. 1.1.51 изображены начальные витки двух спиралей Архимеда в координатах x', y' : отрезок $OP = A\varphi$, $0 \leq \varphi \leq \pi$ и отрезок $ON = A(2\pi - \varphi)$, $\pi \leq \varphi \leq 2\pi$. Система K' вращается в направлении движения часовой стрелки вокруг оси z с угловой скоростью ω , относительно неподвижной системы отсчета K . Найдите функцию $x_p = x(t)$ — координату точки P пересечения оси x системы K с ветвями спирали, максимальное значение функции $x(t)$ и максимальное значение величины скорости v_m точки P в системе K' . Назовите механические устройства, в которых можно применить эту систему.

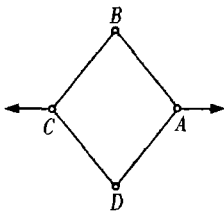


Рис. 1.1.48 а

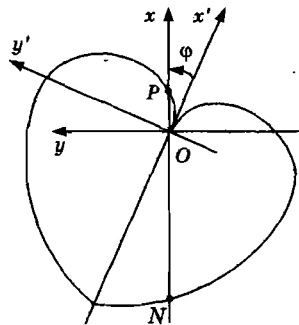


Рис. 1.1.51

1.1.52*–1.1.55*. Простое преследование на плоскости. Заяц бежит с постоянной скоростью по прямой линии. За зайцем гонится лиса со скоростью, постоянно направленной в «точку», где находится заяц. В начальный момент времени лиса находится на расстоянии $b = 100$ м от зайца, скорости зайца и лисы образуют прямой угол. Величина скорости зайца $v = 5$ м/с, величина скорости лисы $u = 4$ м/с. Вначале расстояние между ними уменьшается до минимальной величины $s_m = 10$ м, затем возрастает.

1.1.52*. Найдите ускорение лисы в момент времени t_m , соответствующий расстоянию s_m .

1.1.53*. Найдите расстояние между лисой и зайцем $s(t)$ при значениях $t \gg t_m$.

1.1.54*. Величина скорости зайца $v = 3$ м/с, величина скорости лисы $u = 5$ м/с. Найдите промежуток времени T , через который лиса догонит зайца.

1.1.55*. Найдите минимальное значение расстояния между лисой и зайцем s_e , если $v = u$.

1.1.56. Прямая линия A_1P образует угол α с отрезком A_1A_2 длиной a . В момент времени $t = 0$ две частицы находятся в точках A_1 и A_2 . Двигаясь по прямым линиям A_1P и A_2M с постоянными скоростями, частицы встречаются в точке M на прямой A_1P . Первая частица движется со скоростью v_1 . Найдите наименьшее значение скорости v_2 и положение траектории второй частицы.

1.2. Движение с постоянным ускорением

Если начальные положение $\vec{r}(t_0) = \vec{r}_0$ и скорость $\vec{v}(t_0) = \vec{v}_0$ задаются в момент времени $t = t_0 \neq 0$, то

$$\vec{v}(t) = \vec{v}_0 + \vec{a}_0(t - t_0), \quad (1.2.1)$$

$$\vec{r}(t) = \vec{r}_0 + \vec{v}_0(t - t_0) + \vec{a}_0(t - t_0)^2/2. \quad (1.2.2)$$

Рассмотрим, представляющий наибольший интерес, случай движения тела с ускорением $\vec{a}_0 = \vec{g}$ в однородном поле тяжести пренебрегая силой сопротивления воздуха. Для математического описания движения введем правую систему координат. Плоскость xy совместим с вертикальной плоскостью. Проведем ось x параллельно поверхности Зем-

ли, ось y направим вертикально вверх. Ось z перпендикулярна плоскости xu . Начальная скорость $\vec{v}_0 = (v_{0x}, v_{0y}, 0)$.

Начало координат выберем так, что радиус-вектор частицы в начальном положении $\vec{r}_0 = (x_0, y_0, 0)$. Тогда координатное представление (1.2.1) и (1.2.2) имеет вид

$$x(t) = x_0 + v_{0x}t, y(t) = y_0 + v_{0y}t - gt^2/2, z(t) = 0, \quad (1.2.3)$$

$$v_x(t) = v_{0x}, v_y(t) = v_{0y} - gt, v_z(t) = 0. \quad (1.2.4)$$

1.2.1. Автомобиль начинает двигаться из состояния покоя с постоянным ускорением и за десятую секунду проходит путь $s = 19$ м. Найдите величину ускорения автомобиля.

1.2.2. Частица начинает двигаться по прямой линии из состояния покоя с постоянным ускорением. В момент времени $t_1 = 3$ с частица достигает точки A . Расстояние между частицей и точкой A за секунду до пересечения частицей точки A равно $s = 1$ м. Найдите скорость частицы v в точке A .

1.2.3. Пассажир первого вагона прогуливался по перрону. Когда он подошел к концу последнего вагона, поезд начал двигаться с ускорением $a = 0,072$ м/с². Пассажир сразу же побежал к своему вагону. Длина поезда $l = 250$ м. Найдите наименьшую величину скорости пассажира v_{\min} , если он успел сесть в первый вагон.

1.2.4. Частица движется по прямой линии с постоянным ускорением. В начале и в конце некоторого участка прямой проекции скорости частицы равны v_1 и v_2 . Найдите величину скорости частицы v_m в середине этого участка.

1.2.5*. Пассажир, опоздавший на поезд, увидел, что предпоследний вагон прошел мимо него за интервал времени T_1 , а последний — за интервал времени T_2 . Найдите интервал T между моментами времени отправления поезда и выходом пассажира на перрон.

1.2.6*. Две частицы движутся по оси x . Проекции начальных скоростей частиц $u_1 = 6$ м/с, $u_2 = -4$ м/с. Проекции ускорений частиц $a_{2x} = -a_{1x} = a$, $a = 1$ м/с². Найдите минимальное значение начального расстояния между частицами s , при котором они не столкнутся.

1.2.7. Камень падает с башни с нулевой начальной скоростью. Вторую половину пути он пролетел за интервал времени $\tau = 1$ с. Найдите высоту башни h .

1.2.8. Сосулька падает с карниза. Первую половину пути она пролетела за интервал времени $T = 2$ с. Найдите интервал времени τ , за который она пролетит оставшийся путь.

1.2.9. Сосулька падает с карниза. За последнюю секунду движения она пролетела $3/4$ часть всего пути. Найдите интервал времени падения T .

1.2.10. Тело падает с начальной скоростью $v(0) = 0$. Найдите путь s , пройденный телом за промежуток времени от $t_1 = 1$ с до $t_2 = 2$ с.

1.2.11. Найдите промежуток времени t_0 между моментами времени отрыва дождевых капель от крыши, если через промежуток времени T после начала падения второй капли расстояние между ними равно s .

1.2.12. Камень брошен с поверхности Земли вертикально вверх. На высоте $h = 8,6$ м он побывал дважды с интервалом времени 2τ , $\tau = 1,5$ с. Определите начальную скорость камня.

1.2.13. Камень брошен вертикально вверх с начальной скоростью $v_0 = 9,8$ м/с. Найдите максимальную высоту подъема камня h_m .

1.2.14. Мяч, брошенный с поверхности земли вертикально вверх, достиг высоты $h = 4,9$ м. Найдите величину скорости мяча v_1 через $T = 0,9$ с после бросания.

1.2.15. Камень брошен вертикально вверх. На некоторой высоте камень находился в моменты времени $t_1 = 1$ с и $t_2 = 3$ с. Найдите начальную скорость камня $v(0)$.

1.2.16. Тело брошено вверх с земли с начальной скоростью $v_0 = 5$ м/с. Когда тело достигло максимальной высоты, с земли бросили вверх второе тело с той же начальной скоростью. Найдите значение высоты h , на которой оба тела окажутся одновременно.

1.2.17. Ракета стартует по вертикали с постоянным ускорением a . В момент времени T двигатель отключили. Найдите высоту подъема ракеты h . Соппротивлением воздуха пренебречь.

1.2.18. Частица движется по шероховатой горизонтальной плоскости. Если величина начальной скорости $v_1 = 3$ м/с, то частица перемещается на расстояние s_1 , если величина начальной скорости $v_2 = 4$ м/с, то частица перемещается на расстояние s_2 . Найдите значение величины начальной скорости частицы v_3 , при котором частица переместится на расстояние $s_3 = s_1 + s_2$.

1.2.19*. Каркас, представляющий собой стороны параллелограмма $ABCD$, закреплен над поверхностью земли. Промежутки времени падения капель из точек A , B , C до земли соответственно равны $t_a = \sqrt{5}$ с, $t_b = \sqrt{2}$ с, $t_c = 1$ с. Найдите промежуток времени падения капли T из точки D .

1.2.20*. В четырехугольной пирамиде $ABCDK$ две противоположные грани перпендикулярны плоскости основания. Основанием пирамиды является равнобедренная трапеция $ABCD$, расположенная на поверхности земли. Параметры пирамиды: $s_0 = s/\sqrt{3}$ — расстояние между сторонами AB и CD , $s_1 = s$ — расстояние от середины M_1 стороны AB до вершины K , $s_2 = s/\sqrt{3}$ — расстояние от середины M_2 стороны DC до вершины K . Найдите промежуток времени падения капли T из вершины K до земли.

1.2.21*. Навес в виде прямоугольного треугольника ABD образует двугранный угол α с горизонтальной поверхностью земли, BD — сторона, навеса расположенная на земле. Сторона $AD = L$, угол ABD равен $\pi/2$, угол ADB равен β . Найдите промежуток времени падения капли T с вершины A .

1.2.22. Частица падает на наклонную плоскость, заданную уравнением $3y + 4z = 5d$, где z — координата точки плоскости на оси, направленной вертикально вверх, $d = 2$ м. Начальная скорость частицы $\vec{v}(0)$, координаты точки столкновения частицы с плоскостью $(0, y_1, z_1)$. Промежуток времени падения τ . Найдите координаты начального положения частицы $\vec{r}_0 = (x_0, y_0, z_0)$ и расстояние s между частицей и плоскостью в момент времени $t = 0$.

1.2.23. Жонглер бросает с одного уровня два шарика вертикально вверх с начальными скоростями $v_0 = 5$ м/с через промежуток времени $t_0 = 0,31$ с. Определите интервал времени между моментом бросания первого шарика и моментом времени, в который шарики окажутся на одной высоте.

1.2.24. Жонглер бросил шарик вертикально вверх. Когда шарик достиг максимальной высоты $h_m = 2$ м относительно точки бросания, был брошен второй шарик с той же начальной скоростью. Найдите высоту h , на которой шарики окажутся одновременно.

1.2.25*. Через равные интервалы времени жонглер бросает три шарика вертикально вверх с одинаковыми начальными скоростями $v_0 = 4,9$ м/с. В некоторый момент времени T первый и третий шарики находятся на одном уровне. Найдите значение высоты h , на которой находился второй шарик в момент времени T .

1.2.26*. Через равные интервалы времени T жонглер бросает мячи вертикально вверх с одинаковыми начальными скоростями. Каждый мяч находится в полете в течение времени $4T$. В момент бросания чет-

вертого мяча расстояние между вторым и третьим мячами b . Найдите интервал времени T и максимальную высоту подъема мячей H .

1.2.27. С задней линии корта с высоты $H = 2$ м теннисист подал мяч, скорость которого направлена по горизонтали. Высота сетки $h = 1$ м, длина корта $s = 20$ м. Пренебрегая сопротивлением воздуха, найдите интервал начальных скоростей v_0 , необходимый для попадания мяча на поле соперника и длину области b , недоступной мячу.

1.2.28. Камень брошен с поверхности Земли с начальной скоростью \vec{v}_0 под углом α к горизонтальной плоскости. Найдите максимальные значения высоты подъема H и дальности полета D камня. Сопротивлением воздуха пренебрегаем.

1.2.29. Две частицы брошены с одинаковыми начальными скоростями под углами $\alpha_1 = \alpha$, $\alpha_2 = \pi/2 - \alpha$. Найдите отношение максимальных высот подъема H_1/H_2 и максимальных дальностей D_1/D_2 .

1.2.30*. Дальность полета снаряда, летящего по навесной траектории, равна максимальной высоте подъема $H_m = 3200$ м. Найдите максимальную высоту настильной траектории h при той же дальности.

1.2.31. Продолжительность полета мяча, брошенного под углом к горизонту равна $\tau = 2$ с. Найдите максимальную высоту подъема мяча H_m .

1.2.32*. Спортсмен толкает ядро. Под каким углом α_0 к горизонту должна быть направлена скорость, чтобы ядро упало как можно дальше? Начальная скорость ядра $v_0 = 13,5$ м/с, высота точки бросания ядра $H = 2$ м.

1.2.33. Тело брошено с высоты H под углом α к горизонтальной плоскости. К поверхности земли оно подлетает под углом β . Какое расстояние по горизонтали пролетит тело?

1.2.34. Пикирующий бомбардировщик движется со скоростью v_1 по отрезку прямой, образующей угол α с горизонтальной плоскостью. Цель перемещается по земле со скоростью v_2 в плоскости движения самолета. На каком расстоянии s по горизонтали от цели должна быть сброшена бомба с высоты H , чтобы поразить цель?

1.2.35. Из одной точки над поверхностью земли вылетают одновременно две частицы с противоположно направленными по горизонтали скоростями $v_{10} = 4$ м/с, и $v_{20} = 9$ м/с. Найдите промежуток времени T , через который угол между скоростями частиц станет равным $\pi/2$.

1.2.36*. В точке A вертикальной плоскости, расположенной на расстоянии s от точки O , находится камень. Из точки O вылетает ядро, которое должно попасть в камень, который начинает падать с высоты h в момент вылета ядра. Начальная скорость камня равна нулю. Найдите угол α между вектором начальной скорости ядра и горизонтальной плоскостью.

1.2.37. На наклонную плоскость, образующую двухгранный угол α с горизонтальной плоскостью, падает шарик с высоты h . После упругого столкновения с плоскостью шарик отскакивает со скоростью величиной $v_0 = \sqrt{2gh}$. Найдите расстояние от точки падения шарика до точки следующего столкновения с плоскостью.

1.2.38*. На высоте h частице придали горизонтально направленную начальную скорость величиной v_0 . При отскоке от горизонтальной плоскости отношение величины вертикальной компоненты скорости после отскока к величине вертикальной компоненты скорости до отскока равно k . Найдите расстояние s от плоскости бросания до точки остановки частицы.

1.3. Относительное движение

Скорость частицы в неподвижной системе отсчета равна сумме скорости движущейся системы отсчета \vec{u} и скорости частицы \vec{v}' относительно движущейся системы:

$$\vec{v} = \vec{u} + \vec{v}'. \quad (1.3.1)$$

Дифференцируя (1.3.1), получим соотношение, связывающее ускорение частицы \vec{a} в системе отсчета K и ускорение \vec{a}' в системе отсчета K' , движущейся поступательно относительно системы K с ускорением \vec{w} :

$$\vec{a} = \vec{w} + \vec{a}'. \quad (1.3.2)$$

1.3.1. Координата первой частицы, движущейся по прямой $x_1(t) = s - 5vt + 3at^2$. Вторая частица движется с постоянной скоростью относительно первой частицы, если:

- А. $x_2(t) = 2s + 2vt + 3at^2$,
- Б. $x_2(t) = -6s + 5vt - 3at^2$,
- В. $x_2(t) = s - 5vt - 3at^2$,
- Г. $x_2(t) = 6s + 5vt$,
- Д. $x_2(t) = 2s - 3at^2$.

1.3.2. По реке плывет щепка. Первый гребец плывет по течению и обгоняет щепку на 20 метров, второй — плывет против течения и отстает от щепки на 20 метров. Гребцы перемещают весла с одинаковой интенсивностью. Какой из гребцов затратил больше времени — первый или второй?

1.3.3. Проплывая под мостом против течения, гребец потерял соломенную шляпу. Обнаружив пропажу через $T = 10$ мин, он повернул назад и, гребя по течению с тем же темпом, подобрал шляпу на расстоянии $s = 1$ км ниже моста. Найдите скорость течения реки u .

1.3.4. Катер, плывущий вниз по реке, догоняет щепку. Через $t_1 = 25$ мин после встречи со щепкой катер разворачивается назад и, не изменяя мощность двигателя, снова встречает щепку на расстоянии $s = 3$ км от места первой встречи. Найдите скорость течения реки u .

1.3.5. По палубе теплохода ходит пассажир от кормы к носу и обратно без остановок со скоростью v_0 относительно теплохода. Скорость теплохода u . Найдите условие, при котором пассажир окажется на уровне любой точки на берегу ровно три раза.

1.3.6. Приборы, установленные на берегу, показывают, что ветер дует с юго-запада, а величина скорости ветра $v = 5$ м/с. Что покажут аналогичные приборы, установленные на корабле, идущем на запад со скоростью $u = 36$ км/ч?

1.3.7. Поезд движется на север со скоростью $v = 30$ м/с. Пассажир пролетающего над поездом вертолета, видит, что поезд движется на запад со скоростью $v' = 40$ м/с. Найдите скорость вертолета u .

1.3.8. Самолет садится на авианосец, движущийся по океану со скоростью v_1 в восточном направлении. Скорость ветра v_2 направлена на север, а самолет снижается с вертикальной скоростью v_3 относительно авианосца. Найдите величину скорости v самолета по отношению к движущемуся воздуху.

1.3.9. Скорость бутсы футболиста в момент удара по неподвижному мячу равна u . Определить скорость мяча после удара. Удар абсолютно упругий. Предполагается, что скорость бутсы после удара не изменяется, т.е. масса бутсы значительно больше массы мяча.

1.3.10. Скорость струи пара перед попаданием на лопатки паровой турбины равна v . Найдите значение величины скорости лопатки \vec{v} , при которой вся кинетическая энергия струи пара может перейти в энергию вращения турбины.

1.3.11. Плита движется вверх с постоянной скоростью $u = 4$ м/с. На нее падает шарик перпендикулярно плоскости плиты. В момент абсолютно упругого столкновения с плитой скорость шарика $v_0 = 6$ м/с. Найдите величину скорости шарика v после отскока.

1.3.12. Частица, пролетев по вертикали расстояние h , сталкивается с горизонтальной плоскостью тяжелой плиты, движущейся вверх со скоростью u . Найдите промежуток времени T между двумя последовательными столкновениями частицы с плитой.

1.3.13. Колесо катится по горизонтальной поверхности со скоростью u без проскальзывания (рис. 1.3.13а). Определите величину скоростей точек A, B, C, D .

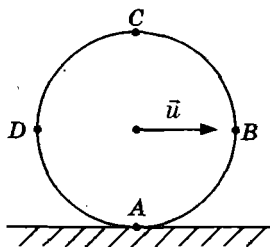


Рис. 1.3.13 а

1.3.14. Колесо катится без проскальзывания по горизонтальной плоскости. Скорость центра колеса $\vec{u} = (u, 0, 0)$. Точка K находится на ободе колеса. Найдите значения углов между радиус-вектором точки K и скорости \vec{u} , при которых величина скорости точки K равна u .

1.3.15*. Машина движется со скоростью u по дороге, покрытой гравием. Найдите максимальную высоту H_m , которой достигнет камешек, оторвавшись от покрышки колеса радиусом R ?

1.4. Законы Ньютона

Основное уравнение механики. В 1687 г. Ньютон установил соотношение между массой тела, ускорением и действующими на него силами

$$m\vec{a} = \vec{F}. \quad (1.4.1)$$

Здесь \vec{F} — сумма сил, действующих на тело, m — масса тела. Отсюда следует полезный рецепт: для того чтобы перечислить все силы, действующие на данное тело, необхо-

димно перечислить все тела, с которыми оно взаимодействует.

Уравнение (1.4.1) представляет собой символическую форму записи трех уравнений. В декартовых координатах имеем

$$ma_x = F_x, ma_y = F_y, ma_z = F_z. \quad (1.4.2)$$

Поскольку ускорение является второй производной координат, то уравнения (1.4.2) представляют собой три дифференциальных уравнения.

В СИ единицей массы является килограмм, единицей силы — Ньютон. Сила 1 Н сообщает телу массой 1 кг ускорение 1 м/с^2 . Внесистемная единица силы — $1 \text{ кгс} = 9,8 \text{ Н}$ — сила, сообщающая телу массой 1 кг ускорение $g = 9,8 \text{ м/с}^2$.

При взаимодействии двух тел сила \vec{F}_{ab} , действующая на частицу a со стороны частицы b , равна и противоположна по направлению силе \vec{F}_{ba} , действующей на частицу b со стороны частицы a . Запишем это утверждение в виде

$$\vec{F}_{ab} = -\vec{F}_{ba}. \quad (1.4.3)$$

Следовательно, все силы возникают «парами».

1.4.1. Кубик массой m лежит на столе. Найдите величину силы реакции плоскости N , если приложить к кубику силу \vec{F} , направленную перпендикулярно поверхности верхней грани.

1.4.2. Два соприкасающихся тела массами $m_1 = 3 \text{ кг}$ и $m_2 = 2 \text{ кг}$ движутся по гладкой горизонтальной плоскости, под действием силы $F = 10 \text{ Н}$, приложенной к первому телу. Определите горизонтальную компоненту силы, действующей на тело массой m_2 .

1.4.3. На рис. 1.4.3 изображены четыре одинаковых кирпича, которые движутся по гладкой горизонтальной плоскости под действием силы \vec{F} , приложенной к первому кирпичу. Найдите величину горизонтальной компоненты силы f , действующей на четвертый кирпич.

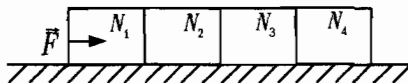


Рис. 1.4.3

1.4.4. К двум телам, находящимся на гладком столе, прикреплен шнур, масса которого пренебрежимо мала по сравнению с массами

тел $m_1 = 4$ кг и $m_2 = 6$ кг. Шнур разрывается, если к телу массой m_1 приложить силу $F_1 = 200$ Н. Найдите минимальное значение силы F_2 , которую необходимо приложить к телу массой m_2 , чтобы разорвать шнур.

1.4.5. Пружина прикреплена к обойме динамометра массой $M = 3$ кг и к крюку массой $m = 2$ кг. Динамометр находится на гладкой поверхности стола. К крюку приложена сила величиной $F_1 = 8$ Н, к обойме — $F_2 = 5$ Н. Определите показание динамометра.

1.4.6. На подставке лежит груз, прикрепленный к нерастянутой пружине, ось которой направлена по вертикали. В момент времени $t = 0$ подставку начинают перемещать вертикально вниз с постоянной величиной ускорения $a < g$. Найдите промежуток времени t_1 , через который груз оторвется от подставки? Жесткость пружины k , масса груза m .

1.4.7. Веревка выдерживает неподвижный груз массой не более $m_1 = 100$ кг. На этой веревке поднимают груз массой $m_2 = 50$ кг. Найдите максимальное значение высоты H , на которую можно поднять груз с постоянным ускорением за интервал времени $\tau = 2$ с.

1.4.8. Космический корабль стартует вертикально с Земли или тормозится при спуске, входя по вертикали в плотные слои атмосферы. Величина ускорения равна a . Найдите вес космонавта.

1.4.9. Найдите вес тела P , лежащего на подставке, ускорение которой равно вектору \vec{g} .

1.4.10. Коробка массой m_1 с гладким дном, в которой находится груз массой m_2 , скользит по гладкой наклонной плоскости, образующей угол α с горизонтальной плоскостью. Найдите величину силы давления груза \vec{T} на переднюю стенку коробки.

1.4.11. В лифте, движущемся вниз, вес тела массой $m = 100$ кг равен $P = 1100$ Н. Найдите значение величины ускорения лифта a .

1.4.12. В лифте, движущемся вверх, вес тела массой $m = 100$ кг равен $P = 900$ Н. Найдите значение величины ускорения лифта a .

1.4.13. «Лифт» движется с ускорением, параллельным вектору \vec{g} . Величина ускорения лифта $a > g$. Найдите вес тела P .

1.4.14. Одна плоская грань клина соприкасается с вертикальной плоскостью стенки. По другой грани — гладкой плоскости, образующей угол α с гладкой горизонтальной плоскостью, скользит тело массой m . Найдите величину силы давления клина G на стенку.

1.4.15. На рис. 1.1.18 изображен стержень AB длиной l , концы которого скользят по двум взаимно перпендикулярным прямым. Скорость точки B равна \vec{v} . В точке C закреплена частица массой m . Найдите силу реакции \vec{N} (φ), действующую на частицу.

1.4.16. На гладкой тонкой оси висит однородный канат длиной l массой m . Найдите величину силы давления N на ось при соскальзывании каната, когда расстояние между его концами равно z .

1.4.17. Два груза масс $m_1 = M$ и $m_2 = M$ подвешены на нерастяжимой нити, перекинутой через блок. На один из них положили перегрузок массой $m_3 = m$. Определите ускорение перегрузка a , величину силы давления перегрузка на груз N , натяжения нити T и величину силы, действующей на ось блока P .

1.4.18. На одном конце нерастяжимой нити, переброшенной через блок, закреплена частица массой m_1 , а по другой части нити перемещается вниз частица массой m_2 с ускорением w относительно нити. Найдите ускорения частиц и величину силы натяжения нити.

1.4.19. Груз массой m_3 прикреплен к невесомой нити, перекинутой через неподвижный блок, конец которой закреплен на оси второго движущегося блока (рис. 1.4.19а). Через этот блок перекинута нить, на одном конце которой прикреплен груз массой m_2 , а на другом конце нити — груз массой m_1 . Найдите проекцию ускорения второго блока на вертикаль и величину силы натяжения нити, охватывающей этот блок.

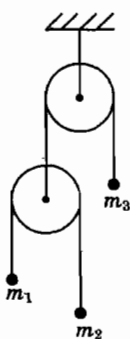


Рис. 1.4.19 а

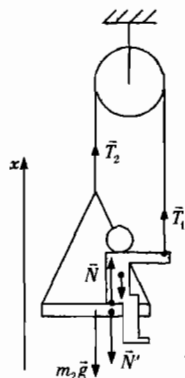


Рис. 1.4.20

1.4.20. Маляр работает в подвесном кресле, висящем на веревке, перекинутой через блок и закрепленной на перилах кресла (рис. 1.4.20).

Масса маляра m_1 , масса кресла m_2 . Найдите величину силы давления маляра на кресло N и силы T , которую он прилагает к веревке, поднимаясь вверх с ускорением величиной a .

1.4.21. Груз массой $m_1 = m$ прикреплен к невесомой нерастяжимой нити, перекинутой через два невесомых блока (рис. 1.4.21a). К оси второго подвижного блока прикреплен груз массой $m_2 = m$. Найдите величину силы N , действующей на неподвижную ось первого блока.

1.4.22. Груз массой m_1 прикреплен к невесомой нити, перекинутой через первый неподвижный блок, конец которой закреплен на оси второго движущегося блока (рис. 1.4.22a). Через второй блок перекинута нить, на одном конце которой прикреплен груз массой m_2 , а другой конец закреплен на неподвижном основании. Найдите величину ускорения груза m_1 . Массы блоков и нитей пренебрежимо малы по сравнению с массами грузов.

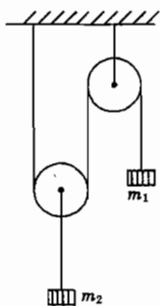


Рис. 1.4.21 a

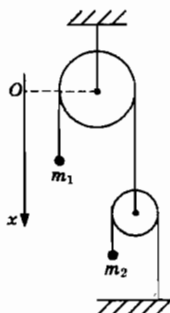


Рис. 1.4.22 a

1.4.23. Через три невесомых блока перекинута невесомая нерастяжимая нить, концы которой закреплены на балке (рис. 1.4.23). К осям двух подвижных блоков прикреплены грузы массами $m_1 = m$ и $m_2 = 4m$. Ось третьего блока неподвижна. Найдите величину силы N , действующей на ось этого блока со стороны нити, прикрепленной к балке.

1.4.24. Два груза масс $m_1 = m$, $m_3 = m/2$ прикреплены к невесомой, нерастяжимой нити, проходящей через три невесомых блока. Груз массой $m_2 = 2m$ закреплен на оси подвижного среднего блока (рис. 1.4.24a). Найдите величину ускорения a_2 груза массой m_2 .

1.4.25*. К нерастяжимой, невесомой нити, перекинутой через невесомый блок, прикреплены грузы массами $m_1 = 3m$ и $m_2 = 2m$.

Вначале блок заторможен и уравновешен на весах (рис. 1.4.25). Затем блок освобождают. Найдите массу гирь Δm , которые необходимо снять с чашки для того, чтобы восстановить равновесие весов.

1.4.26. На рис. 1.4.26а изображены четыре груза, прикрепленных к невесомой, нерастяжимой нити, перекинутой через три блока. Масса каждого груза — m . Найдите проекции ускорений грузов на числовую ось, направленную вертикально вниз.

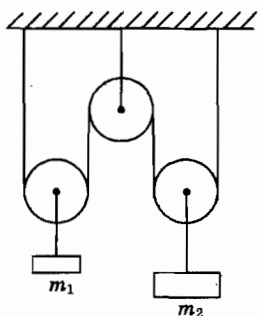


Рис. 1.4.23

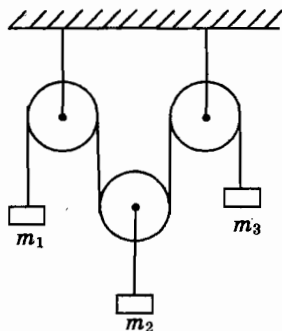


Рис. 1.4.24 а

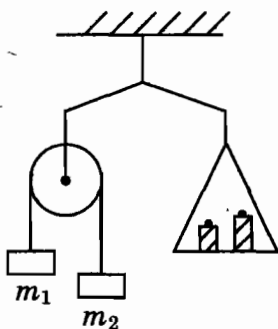


Рис. 1.4.25

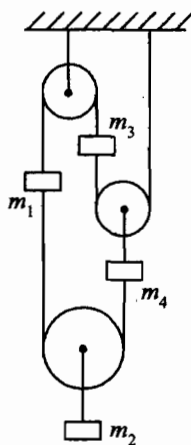


Рис. 1.4.26а

1.4.27. Автомашина набирает скорость $100 \text{ км/ч} \approx 28 \text{ м/с}$ за 10 с , двигаясь с ускорением $a \approx 2,8 \text{ м/с}^2$. Какая сила сообщает машине ускорение?

1.4.28. Электровоз движется вверх по уклону с постоянным ускорением. Найдите «силу тяги», действующей на электровоз.

1.4.29–1.4.32. К телу массой $m = 4$ кг, лежащему на горизонтальной шероховатой плоскости, приложена сила \vec{F} ($F < mg$), направленная под углом $\alpha = \pi/6$ к горизонту, коэффициент трения между телом и плоскостью $\mu = 0,2$.

1.4.29. Найти ускорение тела, если $F = 1$ Н.

1.4.30. Найти ускорение тела, если $F = 19,6$ Н.

1.4.31. Найдите значение величины силы, при котором тело движется с постоянной скоростью.

1.4.32. Найдите наименьшее значение величины силы F , при котором тело движется с постоянной скоростью.

1.4.33. К телу массой m , лежащему на горизонтальной плоскости, прикреплена нерастяжимая нить. Величина силы натяжения нити, расположенной под углом α к плоскости равна $F = mg \sin \beta$, где $\operatorname{tg} \beta = \mu$, μ — коэффициент трения, $\alpha \neq \beta$. Найдите величину ускорения тела.

1.4.34. К телу массой m , на горизонтальной плоскости, прикреплена нерастяжимая нить, направленная под углом α к плоскости. В результате действия силы тело движется с постоянной скоростью. Найдите ускорение тела, если нить расположить под углом $\gamma > \alpha$.

1.4.35. Запишите в векторной форме силу трения, действующую на движущееся тело.

А. Тело скользит по плоскости.

Б. Тело движется в среде; модуль силы трения пропорционален скорости тела.

В. Тело движется в среде; модуль силы трения пропорционален квадрату скорости тела.

1.4.36. Тело массой m находится на горизонтально расположенной плоскости доски, движущейся в горизонтальном направлении с ускорением \vec{a} . Коэффициент трения между телом и доской равен μ . Найти зависимость силы трения от ускорения доски.

1.4.37. Тело находится на горизонтальной плоскости, движущейся в горизонтальном направлении с ускорением $a_0 = 1$ м/с². Коэффициент трения между плоскостью и телом $\mu = 0,2$. Найдите величину ускорения тела a .

1.4.38. Тело массой m_2 находится на доске массой m_1 , лежащей на горизонтальной плоскости. Коэффициент трения между телом и доской равен μ_2 , между доской и плоскостью — μ_1 . К доске приложена горизонтально направленная сила \vec{F} .

А. Найдите наименьшее значение величины силы F_{\min} , при котором вся система движется как целое.

Б. Найдите значение величины силы F_0 , при котором тело соскользнет с доски.

1.4.39. Доска массой m_1 лежит на гладкой горизонтальной плоскости, по которой может двигаться без трения. На доске лежит тело массой m_2 , к которому приложена в горизонтальном направлении сила \vec{F} (рис. 1.4.39). Коэффициент трения между плоскостью доски и телом — μ . Найдите значение величины силы \vec{F} , при котором тело начнет скользить по доске.

1.4.40. По неподвижной гладкой наклонной плоскости с углом наклона α соскальзывает клин (рис. 1.4.40). На верхней горизонтально ориентированной грани клина находится груз массой m , неподвижный относительно клина. Найдите величину f силы трения покоя, действующей на груз.

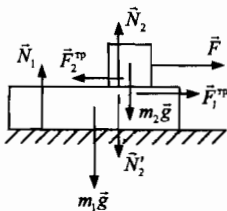


Рис. 1.4.39

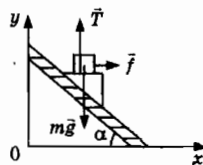


Рис. 1.4.40

1.4.41. Тело находится на наклонной плоскости, образующей угол α с горизонтальной плоскостью. Коэффициент трения — μ . Найдите зависимость силы трения от угла α .

1.4.42. Наклонная плоскость образует угол $\alpha = \pi/6$ с горизонтальной плоскостью. Если телу, находящемуся у основания наклонной плоскости, сообщить начальную скорость, то оно остановится через интервал времени t_n и соскользнет до основания за интервал времени $t_{св}$. Отношение $t_{св}/t_n = 2$. Найдите коэффициент трения μ тела и плоскости.

1.4.43. Наклонная плоскость образует угол α с горизонтальной плоскостью. Коэффициент трения поверхности деревянного бруска о плоскость μ , $\mu < \text{tg } \alpha$. Найдите наименьшее значение величины нормальной силы F_n , с которой необходимо прижать брусок к плоскости, чтобы он оставался в покое.

1.4.44–1.4.45. Тело массой m находится на неподвижной шероховатой наклонной плоскости, образующей угол α с горизонтальной

плоскостью. К телу приложили горизонтально направленную силу \vec{F} (рис. 1.4.44).

1.4.44. Найдите условия, при которых ускорение тела равно нулю.

1.4.45. Найдите значение величины силы F , при котором тело перемещается вверх по плоскости с постоянной скоростью.

1.4.46. Цилиндр скользит по шероховатой поверхности желоба, представляющего собой двухгранный угол 2β (рис. 1.4.46). Ребро наклонено к горизонтальной плоскости под углом α , плоскости угла образуют одинаковые углы с горизонтальной плоскостью. Найдите проекцию ускорения цилиндра a на ребро желоба.

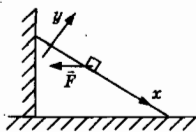


Рис. 1.4.44

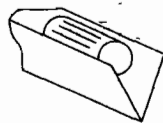


Рис. 1.4.46.

1.4.47. К тележке массой m прикреплена нерастяжимая нить, перекинутая через блок. На другом конце нити закреплен груз массой m (рис. 1.4.47). В начальный момент времени скорость тележки $v_0 = 4,9$ м/с. Найдите путь s , пройденный тележкой за промежуток времени $T = 2$ с.

1.4.48. На гладкий стержень, образующий угол α с горизонтальной плоскостью, надето колечко массы m_1 , которое может скользить по стержню. К колечку на невесомой нити прикреплена частица массой m_2 . В начальный момент времени нить вертикальна (рис. 1.4.48). Найдите величину натяжения нити T .

1.4.49. Скользящая по гладкой вертикальной стене призма соприкасается с кубом, который может двигаться по гладкой горизонтальной плоскости (рис. 1.4.49). Двухгранный угол между плоскостями призмы α . Масса призмы m_1 , масса куба m_2 . Найдите величину сил реакции N в точке контакта, ускорения призмы a_{1y} и куба a_{2x} .

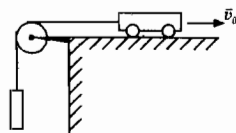


Рис. 1.4.47

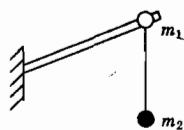


Рис. 1.4.48

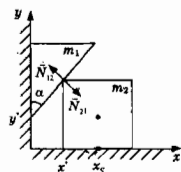


Рис. 1.4.49

1.4.50. Шар брошен вертикально вверх с начальной скоростью v_0 . Сила сопротивления $\vec{F} = -k\vec{v}$. В момент времени T падения на землю величина скорости $v(T) = qv(0)$. Найдите интервал времени движения шара T (k и q — постоянные коэффициенты).

1.4.51. Лодке массой m сообщили начальную скорость \vec{v}_0 . Сила сопротивления, действующая на лодку $\vec{F} = -k\vec{v}$. Найдите расстояние s , пройденное лодкой до остановки.

1.4.52. Сила сопротивления воздуха при полете парашютиста $\vec{F} = -C\rho S v \vec{v}$ пропорциональна квадрату скорости, ρ — плотность воздуха, S — площадь наибольшего поперечного сечения тела, перпендикулярного скорости тела (мидель), C — коэффициент лобового сопротивления, зависящий от формы и ориентации тела относительно вектора скорости. Используя метод размерностей, оцените интервал времени τ , за который скорость парашютиста приблизится к постоянной величине.

1.4.53*. К машине прикреплен упругий шнур. Другой конец шнура прикреплен к грузовику. В момент времени $t = 0$ грузовик начинает двигаться со скоростью u . Найдите интервал времени Δt через который машина столкнется с грузовиком. Масса машины — m , жесткость шнура — k , длина шнура в ненапряженном состоянии — l_0 .

1.4.54*. На шероховатой наклонной плоскости с углом наклона α лежит шайба, которой сообщают горизонтально направленную скорость величиной v_0 . Коэффициент трения скольжения шайбы по плоскости μ , $\mu > \text{tg}\alpha$. Найдите промежуток времени t_1 , через который шайба остановится.

1.4.55*. Шарик падает с нулевой начальной скоростью на горизонтальную плоскость. В результате установившегося движения скорость шарика достигает постоянного значения. Найдите начальное ускорение шарика после абсолютно упругого столкновения с плоскостью.

1.5. Законы сохранения и изменения импульса системы тел. Движение тела переменной массы

Импульсом системы \vec{P} , состоящей из N частиц, называется сумма импульсов всех частиц:

$$\vec{P} = m_1 \vec{v}_1 + m_2 \vec{v}_2 + \dots = \sum m_a \vec{v}_a. \quad (1.5.1)$$

Радиус-вектор центра масс системы

$$\vec{R} = \sum m_a \vec{r}_a / m. \quad (1.5.2)$$

Силы взаимодействия N частиц системы, называют внутренними силами, остальные силы, действующие на систему со стороны частиц, не принадлежащих системе, называют внешними силами. Закон изменения импульса системы N частиц

$$\frac{d\vec{P}}{dt} = \vec{F}. \quad (1.5.3)$$

Здесь \vec{F} — сумма внешних сил. Если $F_x = F_y = 0$, то сохраняются компоненты $P_x = C_1$, $P_y = C_2$ полного импульса системы.

Уравнение движения тела переменной массы

$$m \frac{d\vec{v}}{dt} = \vec{c} \frac{dm}{dt} + m\vec{g} + \vec{F} \quad (1.5.4)$$

получено русским математиком И.В. Мещерским в 1897 г. и носит его имя. Здесь $\vec{c} = \vec{c} - \vec{v}$ — скорость газа относительно ракеты, \vec{c} — скорость истечения газа, \vec{F} — сумма внешних сил. Отметим, что это уравнение позволяет исследовать не только движение ракеты, но и любых тел переменной массы, например, капли воды в насыщенной влагой среде. Для получения полной системы уравнение (1.5.4), содержащее четыре неизвестных функции m и $\vec{r}(t) = [x(t), y(t), z(t)]$, должно быть дополнено условием, которое задает явную или неявную зависимость массы от времени.

1.5.1. Палочка длиной $L = 15$ см, массой $m_1 = 4,6$ г находится на гладкой горизонтальной плоскости. На одном конце палочки сидит жук массой $m_2 = 0,4$ г. Найдите величину смещения палочки s при перемещении жука с одного конца на другой конец палочки.

1.5.2. На наклонной плоскости, установленной на платформе массой $m_1 = 950$ кг, находится клин массой $m_2 = 50$ кг (рис. 1.5.2). Длина платформы AB равна $l_1 = 10$ м, длина стороны клина CD равна $l_2 = 4$ м. Клинь смещается к правому торцу платформы. Найдите расстояние s , на которое переместилась платформа.

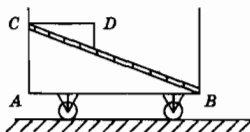


Рис. 1.5.2

1.5.3. Клин находится на гладкой горизонтальной плоскости. По гладкой плоскости клина движется частица. В начальный момент времени частица находится на расстоянии h от горизонтальной плоскости, скорости частицы и клина равны нулю.

А. Найдите интервал времени T , в течение которого частица достигнет основания клина. Масса клина — m_1 , масса частицы — m_2 , угол наклона клина — α .

Б. Найдите величину силы реакции N , действующую на частицу и силы давления на плоскость R .

1.5.4. Система, состоящая из двух частиц соединенных пружиной, движется по оси x . Коэффициент жесткости пружины k . Длина в ненапряженном состоянии l_0 . Пусть x_1, x_2 — координаты частиц ($x_2 > x_1 > 0$). Частицы взаимодействуют с третьей неподвижной частицей, находящейся в начале координат: проекции сил, действующих на частицы $F_{13} = F(x_1), F_{23} = F(x_2)$. Запишите уравнения движения частиц и закон изменения импульса системы и покажите, что внутренние силы влияют на движение центра масс системы.

1.5.5. Снайперская винтовка 308 Винчестер (армейское название Т-65) подвешена на двух нитях. Дульная скорость пули максимальной массы $m = 11,6$ г равна $v_0 = 850$ м/с. Масса винтовки $M = 3$ кг. Найдите скорость отдачи v .

1.5.6. Однородный тонкий стержень AB длиной l поставили концом A на гладкую горизонтальную плоскость. Угол между стержнем и плоскостью — α . Начальная скорость стержня равна нулю. Найдите уравнение траектории точки B в процессе «падения» стержня.

1.5.7. Дальность полета снаряда равна D . Пусть снаряд разрываться в наивысшей точке траектории на два одинаковых осколка. На каком расстоянии s по горизонтали от точки выстрела упадет один из осколков, если другой возвращается по траектории снаряда?

1.5.8. Ракета, запущенная вертикально вверх разорвалась в высшей точке траектории на три осколка равных масс. Два из них упали на землю за промежуток времени T , третий — за промежуток $\tau, \tau < T$. Найдите начальную скорость ракеты v_0 .

1.5.9. Две лодки движутся навстречу друг другу. В каждой лодке находится груз — мешок. Масса каждой лодки — M , масса мешка — m , величина скорости каждой лодки — v . Когда нос первой лодки оказался на уровне кормы второй лодки, со второй лодки переместили мешок на первую, а с первой — на вторую.

А. Найдите величины скоростей лодок u , если мешки перемещают через некоторый промежуток времени.

Б. Найдите величины скоростей лодок u' , если мешки перемещают одновременно.

1.5.10. Ракета на старте. Оцените скорость сгорания топлива при старте системы «Saturn-5» — Apollo-11, впервые доставившей 20 июля 1969 г. астронавтов Нейла Армстронга и Эдвина Олдрина на Луну. Начальная масса системы $m(0) = 2950$ т, длина 111 м, скорость истечения газов $c_0 = 2,6 \cdot 10^3$ м/с.

1.5.11. Подъем ракеты. Пусть масса ракеты равна m_0 , масса порохового заряда $M_0 \ll m_0$, $M_0/m_0 = 1/10$, скорость газов $c' = 200$ м/с. В процессе сгорания в интервале времени $0 \leq t \leq \tau$ масса заряда $M(t) = M_0(1 - t/\tau)$, где $\tau = 1$ с. Найдите высоту подъема ракеты H .

1.5.12. На участке вертикального подъема ракета движется с реактивным ускорением постоянной величины a_r . Начальная масса ракеты $m(0) = m_0$, масса ракеты в конечной точке траектории разгона — $m(T) = m_k$. Найдите величину скорости ракеты $v_k = v(T)$.

1.5.13. Ракета-носитель должна сообщить полезной нагрузке массой m_n и конструкции массой m_p скорость v_k . Масса баков и топлива — m_k . Предполагается, что величина реактивной силы тяги значительно больше величины силы тяжести ракеты с полезной нагрузкой и силы сопротивления воздуха.

А. **Одноступенчатая ракета.** Найдите число Циолковского $z = m_0/m_k$, где m_0 — начальная масса ракеты, $m_k = m_p + m_n$ — конечная масса.

Б. **Трехступенчатая ракета.** Представим ее в виде трех одноступенчатых субракет, каждая из которых приобретает скорость $v_n = v_k/3$ ($n = 1, 2, 3$). Предполагается, что скорость истечения и отношения масс $m_0/M_1 = M_1/M_2 = M_2/m_k = z_n$, где M_1 — масса без первой ступени, M_2 — масса без второй ступени. Найдите число Циолковского субракет z_n .

1.5.14. Мощность ракетного двигателя. Запишите закон изменения кинетической энергии ракеты и найдите мощность $P_{дв}$, развиваемую ракетным двигателем.

1.5.15. Найдите мощность, развиваемую ракетным двигателем при зависании ракеты над поверхностью земли.

1.5.16. Ведро массой M тянут из колодца на веревке с постоянной силой F . Вода массой m_0 вытекает из ведра с постоянной скоростью.

В течение интервала времени T вся вода вытекает. Найдите скорость ведра в момент времени T .

1.5.17. Голова кобры поднимается вертикально вверх с постоянной скоростью v . Покажите, что вес кобры возрастает на величину Mv^2/l , где M — масса кобры, l — длина кобры.

1.5.18*. Капля падает по вертикали в среде с постоянным ускорением. Сила сопротивления среды $\vec{F} = -kSv\vec{v}$, где S — площадь поперечного сечения капли. Вследствие конденсации масса капли изменяется по закону $dm/dt = \alpha Sv$. Здесь α и k постоянные коэффициенты. Начальное значение радиуса капли $r(0) \approx 0$, начальная скорость равна нулю. Найдите величину ускорения капли.

1.5.19*–1.5.20*. Две Кембриджские задачи.

В 1979 г. вышел перевод книги «Образованный ученый», написанной сотрудником знаменитой Кавендишской лаборатории Кембриджского университета, выдающимся физиком-теоретиком Б. Пиппардом. Первым главой лаборатории, открытой в 1874 г., был великий Джеймс Клерк Максвелл, затем Дж. Дж. Томсон, Дж. У. Рэлей, Э. Резерфорд, Большая часть книги — это экзаменационные задачи. Разберем две задачи о движении цепи, решение которых известно с середины XIX в.

1.5.19. Однородная цепь свешивается с края стола. Остальная часть цепи сложена в кучу на крае стола. В начальный момент времени скорость цепи равна нулю. Найдите ускорение цепи a .

1.5.20. Однородная цепь AB массой M висит вертикально, касаясь концом B поверхности пола. Цепь отпускают. Найдите зависимость величины силы давления цепи на пол от времени. Покажите, что в момент падения конца A на пол величина силы давления в три раза больше веса цепи.

1.6. Статика

Первое условие равновесия твердого тела:

в положении равновесия сумма сил, действующих на твердое тело, равна нулю.

Момент силы. Момент силы $\vec{F} = (F_x, F_y, F_z)$, приложенный к частице, находящейся в точке $\vec{r} = (x, y, z)$, равен $\vec{M} = \vec{r} \times \vec{F}$. Если к частице приложена сила $\vec{F} = (F_x, F_y, 0)$

в точке $\vec{r} = (x, y, 0)$, то момент силы представляет собой вектор $\vec{M} = (0, 0, M_z)$, где $M_z = xF_y - yF_x = hF$, $h = r \sin \gamma$ — «плечо» силы, γ — угол между векторами \vec{r} и \vec{F} .

Второе условие равновесия твердого тела:

в положении равновесия сумма моментов сил, действующих на тело относительно произвольной точки равна нулю.

Равнодействующая сила. Силы $\vec{F}_1, \vec{F}_2, \vec{F}_3, \dots$, приложенные к твердому телу, имеют *равнодействующую* силу $\vec{F} = \vec{F}_1 + \vec{F}_2 + \vec{F}_3 + \dots$, если ее момент относительно произвольной точки O равен сумме моментов сил относительно той же точки O . Это определение имеет конструктивный характер и позволяет получить три уравнения для определения положения точки приложения равнодействующей силы \vec{F} .

Центр тяжести. Точка приложения равнодействующей сил тяжести, действующих на частицы твердого тела, называется центром тяжести.

Теорема о трех силах. *Если под действием трех сил $\vec{F}_1, \vec{F}_2, \vec{F}_3$, принадлежащих одной плоскости, тело находится в равновесии, то векторы сил принадлежат прямым, которые пересекаются в одной точке.*

1.6.1. На рис. 1.6.1 на плоскости xu изображены четыре точечные массы $m_1 = m, m_2 = 2m, m_3 = 3m, m_4 = 4m$, расположенные в вершинах квадрата со стороной a , и частица массой $m_5 = 5m$ в центре квадрата. Найдите координаты центра тяжести системы.

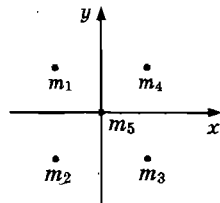


Рис. 1.6.1

1.6.2. При выплавке в свинцовом шаре радиуса R образовалась сферическая полость радиуса $R/2$, поверхность которой касается по-

верхности шара и проходит через его центр. Найдите расстояние от центра шара до центра тяжести этого тела.

1.6.3. Из квадратной однородной пластинки с длиной ребра a вырезали равнобедренный треугольник высотой h , основание которого равно a . Найдите расстояние l от центра пластины до центра тяжести полученной фигуры ($0 < h \leq a$).

1.6.4. Из заготовки в виде цилиндра радиусом R , длиной l токарь должен выточить цилиндр радиуса r . Точа́рь перемещает резец со скоростью v . Найдите наибольшее значение смещения центра тяжести x_m в процессе обработки заготовки.

1.6.5. – 1.6.6. Однородный стержень изогнут в форме прямого угла AOB со сторонами $AO = a$, $BO = b$, ($b > a$) и подвешен на горизонтально расположенную ось.

1.6.5. Найдите тангенс угла α между стороной AO и вертикалью.

1.6.6. Найдите расстояние OC от вершины угла до центра тяжести прямого угла.

1.6.7. Квадрат из однородной проволоки, у которого отрезана одна сторона, одним углом подвешен на гвоздь. Найдите угол α , образуемый средней стороной с вертикалью.

1.6.8. А. Доска выдвинута за край стола на $1/3$ своей длины. Длина доски L . Найдите расстояние s от края стола до точки приложения силы реакции, действующей на доску со стороны стола.

Б. Часть доски длиной αL выдвинута за край стола и не опрокидывается, если на свешивающийся конец положить груз массой не более M_1 . Найдите длину части доски βL , которую можно выдвинуть за край стола, если заменить груз массой M_1 на груз массой $M_2 < M_1$.

1.6.9. На столе лежат три книги. Значения сил тяжести, действующих на каждую книгу, указаны на рис. 1.6.9. Определите величину силы F , действующей на книгу № 2.

1.6.10. Брусок, на который действует сила тяжести 5 Н, прижимают к стене с силой 12 Н, направленной горизонтально (рис. 1.6.10). Коэффициент трения скольжения равен $\mu = 0,5$. Найдите величину силы R , действующую на брусок со стороны стенки.

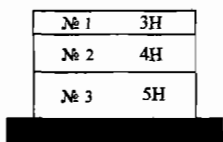


Рис. 1.6.9

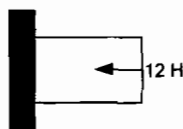


Рис. 1.6.10

1.6.11. Один конец пружины, жесткостью k , длиной l_0 в ненапряженном состоянии, прикреплен к неподвижной стенке, другой — прикреплен к частице массой m , которая может перемещаться по плоскости. Коэффициент трения — μ . Найдите интервал расстояний между стенкой и частицей в состоянии покоя.

1.6.12. Модель стопы. На рис. 1.6.12 изображена модель стопы гимнаста весом P , стоящего одной ногой на пуанте (от фр. *pointe* — острие). На стопу действуют сила реакции \vec{P} , сила упругости сухожилий \vec{T} и сила давления голени на лодыжку \vec{N} . Плечо силы \vec{P} относительно оси, проходящей через точку O , в два раза больше плеча силы \vec{T} . Найдите величину силы N .

1.6.13. У вас имеется фиксированная горизонтальная ось и однородный стержень с отверстием в середине. Что необходимо сделать для того, чтобы устроить рычажные весы?

1.6.14. Стержень AOB ($AO = a$, $OB = b$), который может вращаться вокруг горизонтальной оси, проходящей через точку O , используют для взвешивания частицы массой m . В точке стержня O закреплена металлическая стрелка, перпендикулярная отрезку AB , которая в положении равновесия направлена вертикально вниз. Если частицу поместить на расстоянии a от оси, то масса гири на другом конце стержня равна $m_2 = 1$ кг. Если же частица находится на расстоянии b от оси, то масса гири на другом конце $m_1 = 4$ кг. Найдите массу частицы m .

1.6.15–1.6.16. Однородный стержень AB длиной $l = 5$ м опирается одним концом на вертикальную стенку, другим — в прямоугольную выемку (рис. 1.6.15а). Расстояние $OB = a$, $a = 4$ м. Масса стержня m .

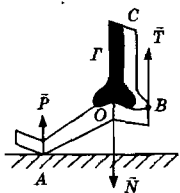


Рис. 1.6.12

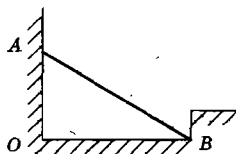


Рис. 1.6.15а

1.6.15. Найдите тангенс угла φ между силой реакции, приложенной в точке B , и отрезком прямой OB .

1.6.16. Найдите величину силы реакции \vec{R} в точке B .

1.6.17. Центр тяжести C шара радиусом R находится на расстоянии $b = R/\sqrt{2}$ от геометрического центра шара O . Шар поставили на шероховатую наклонную плоскость, образующую угол $\alpha = \pi/6$ с горизонтальной плоскостью. Найдите угол β , образуемый отрезком CO с вертикалью в положении равновесия.

1.6.18. Однородный цилиндр опирается на гладкую стену и гладкую плоскость, образующую двугранный угол $\alpha = \pi/4$ (рис.1.6.18а). Диаметр основания цилиндра $D = a$, высота $H = 2a$. Найдите расстояние от точки O до точки приложения P равнодействующей сил реакции плоскости.

1.6.19. Лестница AB массой m_0 упирается в гладкую стену и опирается на шероховатый пол. Под каким наименьшим углом α к полу надо поставить лестницу, чтобы по ней до самого верха мог подняться человек массой m ? Коэффициент трения скольжения лестницы по полу равен μ .

1.6.20. Груз массой $m = 100$ кг подвешен к кронштейну (рис. 1.6.20). Угол $\alpha = \pi/3$. Найдите величину сил, действующих на кронштейн. Массой кронштейна пренебречь.

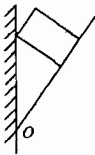


Рис. 1.6.18а

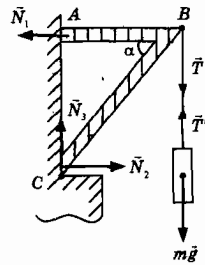


Рис. 1.6.20

1.6.21. Кубик лежит на шероховатой горизонтальной плоскости. Масса кубика m , коэффициент трения кубика о плоскость μ . Наша задача — опрокинуть его через ребро, прилагая горизонтально направленную силу \vec{F} . Найдите условие движения кубика без проскальзывания и зависимость величины F от угла α .

1.6.22. Плоская плита массой m имеет форму неправильного треугольника. Три человека удерживают плиту за вершины треугольника в горизонтальном положении. Найдите величину сил, прилагаемых каждым человеком к плите.

1.6.23. Однородный диск в горизонтальном положении подвешен на нити, закрепленной в центре диска O . В трех точках на ободке

диска закрепили, не нарушая равновесия, три частицы массами m_1 , m_2 , m_3 . Начало системы отсчета поместим в точку O . Найдите косинусы углов между радиус-векторами частиц.

1.6.24*. Концы тонкого стержня скользят по параболе $z = x^2/2R$ с вертикально расположенной осью z . Найдите значения угла θ между стержнем и горизонтальной плоскостью в положении равновесия стержня.

1.6.25. На рис. 1.6.25а изображена катушка ниток. Нить закреплена на вертикальной стенке. Масса катушки — m , внешний радиус — R , радиус бобины — r . Найдите предельное значение угла α_m , при котором катушка находится в положении равновесия.

1.6.26. На гладком цилиндре радиусом R висит гибкий канат. Масса каната m , длина l . Найдите величину сил натяжения T_a , T_b в точках a и b (рис. 1.6.26).

1.6.27. Концы однородного тонкого стержня находятся на гранях плоского прямого двугранного угла. Одна из граней образует угол α с горизонтальной плоскостью (рис. 1.6.27). Найдите угол φ между стержнем и другой гранью в положении равновесия.

1.6.28. Однородный шар массой m лежит на двугранном угле β , одна из граней образует угол α с горизонтальной плоскостью. Определите величину сил реакций, действующих на шар.

1.6.29. Балка OA массой m укреплена на шарнире O и поддерживается тросом AB в горизонтальном положении. Угол OAB равен $\pi/6$ (рис. 1.6.29). Найдите величину силы натяжения троса.



Рис. 1.6.25а

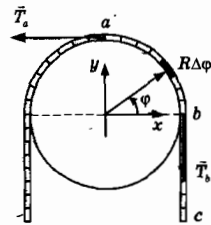


Рис. 1.6.26

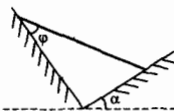


Рис. 1.6.27

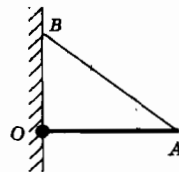


Рис. 1.6.29

1.6.30. Грузовик повышенной проходимости может использовать в качестве ведущих задние колеса или одновременно передние и задние колеса. Рассмотрите модель машины, в которой передняя и задняя оси расположены в одной плоскости на расстоянии l , центр масс машины массой m находится в этой плоскости на равном расстоянии от осей. Двигатель вращает колеса и вследствие трения шин о дорогу возникает «сила тяги» \vec{F} . Коэффициент пробуксовки μ . Найдите величину силы тяги F в случаях:

- А. Задние ведущие колеса.
- Б. Передние ведущие колеса.
- В. Задние и передние ведущие колеса.

1.6.31. На шероховатой горизонтальной плоскости лежат две одинаковые шайбы. Шайбы сдвигают с места с помощью стержня, прилагая к концу силу величиной F (рис. 1.6.31а). Какая из шайб сдвинется раньше?

1.6.32. Колесо массой m при помощи веревки катят по наклонной плоскости с углом наклона $\alpha = \pi/6$ (рис. 1.6.32). Один конец веревки закреплен на плоскости, к другому приложена сила. Определите наименьшее значение величины силы F .

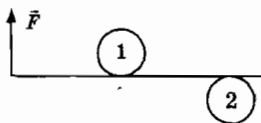


Рис. 1.6.31а

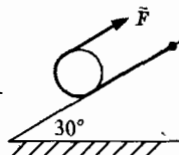


Рис. 1.6.32

1.6.33. Объясните, почему яхта может идти против ветра курсом бейдевинд (от гол. *bijde wint*), когда угол между линией ветра и направлением корма-нос яхты меньше 90° .

1.6.34. Картина помещена в прямоугольную раму со сторонами a и b ($b > a$). К концам стороны длиной b прикрепили нить длиной l и повесили на гвоздь, вбитый в вертикальную стену. Найдите условие устойчивости картины в положении равновесия.

1.6.35*. Теория волока. Волокуша, с помощью которой можно перемещать большие грузы, — самый древний вид транспорта. Человек массой m тянет канат, прикрепленный к грузу на шероховатой горизонтальной плоскости. Скорости человека и груза постоянны. Угол между канатом и плоскостью — α . Коэффициенты трения груза по

плоскости — μ , коэффициент проскальзывания подошв по грунту — μ' . Найдите значение массы груза M , который может волочить человек.

1.7. Работа и энергия.

Законы сохранения и изменения полной энергии

Элементарная работа силы определяется скалярным произведением $\delta A = \vec{F} \Delta \vec{r}$. Для того чтобы определить работу силы A_{12} на конечном участке траектории, необходимо сложить значения элементарной работы на всех бесконечно малых участках:

$$A_{12} = \sum_{n=1}^N \vec{F}_n \Delta \vec{r}_n. \quad (1.7.1)$$

Здесь \vec{F}_n — значение вектора $\vec{F}(x, y, z)$ в точке $\vec{r}_n = (x_n, y_n, z_n)$. В пределах малого перемещения сила \vec{F}_n — постоянный вектор.

На траектории частицы мощность $P(t) = \vec{F}\vec{v}$, развиваемая силой \vec{F} в момент времени t , определяется из соотношения $\delta A = P \Delta t$.

Работу, совершаемую силой в интервале времени $[t_1, t_2]$, можно представить в виде

$$A_{12} = \sum_{i=1}^N P(t_i) \Delta t_i, \quad (1.7.2)$$

где $P(t_i)$ — значение функции $P(t)$ на интервале $[t_i, t_i + \Delta t]$.

Работа консервативной силы и потенциальная энергия частицы. Потенциальная энергия вводится согласно определению $\delta A = -\Delta W(\vec{r})$ или

$$A_{12} = W(\vec{r}_1) - W(\vec{r}_2). \quad (1.7.3)$$

Потенциальная энергия частицы в однородном поле тяжести

В системе координат с осью y , направленной вертикально вверх потенциальная энергия частицы

$$W(y) = mgy, \quad (1.7.4)$$

где y — значение координаты частицы.

В наиболее общей форме

$$W(x, y, z) = -m \vec{g} \vec{r} + \text{const.}$$

Потенциальная энергия взаимодействия двух частиц, прикрепленных к концам пружины

$$W(\vec{r}_1, \vec{r}_2) = \frac{k}{2}(l - l_0)^2, \quad (1.7.5)$$

где $l = |\vec{r}_2 - \vec{r}_1|$ — длина пружины, \vec{r}_1, \vec{r}_2 — радиус-векторы частиц, l_0 — длина пружины в ненапряженном состоянии.

Закон изменения полной энергии.

$$E_2 - E_1 = A'_{12}. \quad (1.7.6)$$

где $E = K + W$ — полная энергия, A'_{12} — работа неконсервативных сил, W — потенциальная энергия. Это утверждение представляет собой важнейший закон механики: приращение полной энергии на конечном участке траектории частицы равно работе неконсервативных сил.

1.7.1. Частице сообщили начальную скорость \vec{v}_0 . Найдите работу A_{12} , совершаемую силой тяжести при свободном движении частицы по параболе в однородном поле тяжести на отрезке времени $[0, T]$. Начальные значения радиус-вектора и скорости $\vec{r}(0) = \vec{r}_0, \vec{v}(0) = \vec{v}_0$.

1.7.2. Работа силы упругости. Возьмем пружину, один конец которой присоединим к телу массой m , а другой — к неподвижной стенке (т.е. к телу массой $M \gg m$). Если совместить начало координат с точкой закрепления пружины, то проекция силы упругости на ось l : $F_l = -k(l - l_0)$, где l — координата тела массой m . Вычислите работу силы упругости A_{12} , действующей на тело при его перемещении из положения l_1 в точку с координатой l_2 .

1.7.3. А. Найдите работу силы тяжести при движении частицы по кривой, соединяющей точки M_1 и M_2 на рис. 1.7.3.

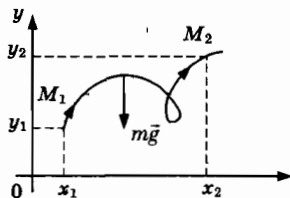


Рис. 1.7.3

Б. Получите потенциальную энергию частицы (1.7.4) в однородном поле тяжести.

1.7.4. Можно услышать, что потенциальная энергия представляет собой запас работы. Правильно ли это утверждение?

1.7.5. Колодец должен иметь глубину $H = 5$ м. Найдите глубину колодца h , когда была выполнена работа, равная $1/4$ всей необходимой наименьшей работы.

1.7.6. Камень брошен с поверхности земли под углом $\alpha = \pi/6$ к горизонту. Потенциальная энергия камня в наивысшей точке траектории $W = 10$ Дж. Найдите значение кинетической энергии камня K в наивысшей точке траектории.

1.7.7. Две одинаковые полые трубки, согнутые в виде полуокружностей, расположены в вертикальной плоскости (рис. 1.7.7а). Поместим в точку A первой трубки шарик и сообщим ему скорость $v_{10} = v$, направленную вертикально вверх. Другой шарик запустим в точке C второй трубки со скоростью $v_{20} = v$, направленной вертикально вниз. Сравните промежутки времени движения t_{AB} и t_{CD} шариков по первой и второй трубкам, пренебрегая силами трения.

1.7.8. Машина начинает двигаться по горизонтальному участку шоссе, увеличивая скорость от $v_0 = 0$ до $v_1 = 40$ км/ч и от v_1 до $v_2 > v_1$ за одинаковые промежутки времени. Сила сопротивления воздуха пропорциональна скорости машины. Оцените отношение работ A_1/A_2 , совершенных двигателем, в первом и втором случаях.

1.7.9. Гибкая нерастяжимая нить длиной l перекинута через тонкую горизонтальную ось так, что с левой стороны свисает часть нити длиной $l_1 = 1/3$ (рис. 1.7.9). Вначале нить неподвижна. Найдите величину скорости нити v в момент времени, соответствующий соскальзыванию с оси.

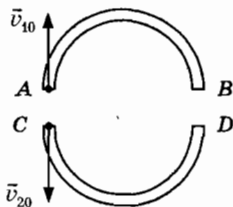


Рис. 1.7.7а

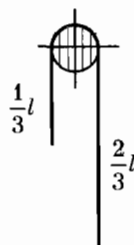


Рис. 1.7.9

1.7.10. Клин находится на гладкой горизонтальной плоскости. По гладкой плоскости клина движется частица. Масса клина — m_1 , масса частицы — m_2 , угол наклона плоскости клина — α . Найдите

величину ускорения частицы относительно клина исходя из законов сохранения полной энергии и горизонтальной проекции полного импульса системы.

1.7.11. На гладкой горизонтальной плоскости лежит пробирка массой $m_1 = 2m$, длиной L . Шарик массой $m_2 = 3m$ влетает в пробирку, упруго сталкивается с дном и вылетает из пробирки. Найдите расстояние s , которое пройдет пробирка к моменту вылета из нее шарика.

1.7.12–1.7.13. По гладкой горизонтальной плоскости движутся навстречу друг другу две частицы масс m_1 и m_2 с одинаковыми величинами скоростей v . В результате абсолютно упругого центрального столкновения первая частица остановилась.

1.7.12. Найдите отношение масс m_1/m_2 .

1.7.13. Найдите величину скорости u_2 , которую приобрела вторая частица.

1.7.14–1.7.15. На гладкой горизонтальной плоскости лежит шарик массой m_2 . На него налетает шар массой m_1 , скорость которого \vec{v} . В результате абсолютно упругого центрального столкновения шары разлетаются в противоположные стороны с одинаковыми величинами скоростей u .

1.7.14. Найдите отношение масс шариков $k = m_2/m_1$.

1.7.15. Найдите величину скорости u .

1.7.16. На гладкой горизонтальной плоскости лежит шар массой m_2 . На него налетает шар массой m_1 , скорость которого \vec{v} . Происходит упругий центральный удар — скорость шара направлена по прямой, проходящей через центры шаров. Определите скорости шаров u_1 , u_2 после столкновения и величину энергии ΔK_2 , переданной первоначально неподвижному шару.

1.7.17. Происходит нецентральный удар двух одинаковых гладких шаров — скорости шаров не лежат на прямой, проходящей через центры шаров. Второй шар до столкновения неподвижен. Найдите угол разлета шаров β .

1.7.18. Происходит упругое столкновение двух одинаковых твердых шаров, движущихся навстречу друг другу с постоянными скоростями $\vec{v}_1 = -\vec{v}_2 = \vec{v}_0$. Радиус шара R . Прицельный параметр — расстояние между прямыми линиями, по которым движутся центры шаров до столкновения, $b = \sqrt{2}R$. Найдите величину приращения скорости Δv_1 первого шара в результате столкновения.

1.7.19. Скорости двух частиц направлены под углом 90° . Массы частиц масс m_1 и m_2 , величины скоростей v_1 и v_2 . Скорость первой частицы после столкновения равна нулю. Найдите приращение внутренней энергии системы ΔU .

1.7.20. Три одинаковых шара A, B, C расположены на гладкой горизонтальной плоскости (рис. 1.7.20а). Радиус шара — R . В начальном состоянии шары B и C неподвижны, шар A движется со скоростью \vec{v}_0 , направленной перпендикулярно отрезку BC по касательной к поверхности шара B : После абсолютно упругого нецентрального столкновения с шаром B , затем с шаром C шар A останавливается. Найдите скорости шаров \vec{v}_b, \vec{v}_c и длину s , отрезка BC .

1.7.21. В центр кубика, лежащего на гладкой плоскости, попадает пуля. Если величина скорости пули $v > v_0$, то пуля пробивает кубик насквозь. Масса пули m_1 , масса кубика m_2 , сила сопротивления не зависит от относительной скорости. Найдите величину скорости v_2 , с которой будет двигаться кубик, если величина скорости пули v .

1.7.22. По двум гладким наклонным плоскостям, образующим с горизонтальной плоскостью углы α_1 и α_2 соскальзывают с высоты H тела масс m_1 и m_2 . Сравните величины скоростей тел v_1 и v_2 у основания плоскостей.

1.7.23. Частица начинает скользить с высоты H по гладкой наклонной плоскости, образующей угол $\alpha = \pi/4$ с горизонтальной гладкой плоскостью. Найдите максимальную высоту подъема частицы h после абсолютно упругого удара о горизонтальную плоскость.

1.7.24. Гибкая однородная цепь длиной L может двигаться по гладкому желобу, имеющему в сечении форму равнобедренного треугольника с углом 2α при вершине (рис. 1.7.24). Найдите величину наименьшей начальной скорости цепи v_0 , необходимую для преодоления такой горки. В начальный момент времени расстояние между вершиной угла и центром тяжести цепи равно H .

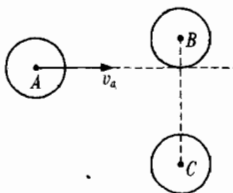


Рис. 1.7.20 а

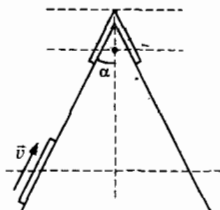


Рис. 1.7.24

1.7.25. На траектории тела массой m , скользящего по горизонтальной плоскости, находится неподвижная горка высотой H , массой M . Горка может скользить по плоскости. Найдите минимальное значение величины скорости тела v_m , необходимое для преодоления горки (силами трения пренебрегаем).

1.7.26. Когда к пружине длиной $l_0 = 0,1$ м в ненапряженном состоянии подвесили груз, то ее длина стала равной $l_1 = 0,15$ м. Груз подняли так, что пружина оказалась нерастянутой и отпустили его с нулевой начальной скоростью. Найдите длину пружины l_2 в нижней точке траектории.

1.7.27–1.7.28. Частица массой m висит на пружине, другой конец которой прикреплен к опоре. (Коэффициент жесткости k , длина в ненапряженном состоянии l_0).

1.7.27. Найдите работу, которую необходимо совершить для смещения частицы по вертикали вниз на величину s .

1.7.28. Теперь отпустим частицу. Найдите величину скорости $v(z)$, где z — значение координаты частицы на числовой оси с началом в положении равновесия.

1.7.29. Относительное удлинение веревки длиной l_0 , прикрепленной к неподвижно висящему альпинисту, равно $\epsilon_1 = 0,04$. При подъеме на скалу альпинист сорвался с высоты l_0 над уровнем закрепления веревки. Найдите относительное удлинение веревки ϵ_2 и ускорение альпиниста a_2 в нижней точке траектории.

1.7.30. Относительное удлинение шнура, прикрепленного к висящему каскадеру, равно $\epsilon_1 = 0,04$. Один конец шнура закрепляется на высоте $H = 50$ м. Длина и коэффициент жесткости шнура подобраны так, что скорость каскадера у поверхности земли равна нулю.

А. Найдите длину шнура l_0 .

Б. Найдите величину ускорения каскадера в нижней точке траектории.

В. Найдите максимальную скорость каскадера.

1.7.31. Относительное удлинение шнура длиной l_0 , прикрепленного к висящему грузу массой m , равно ϵ . Максимальная величина силы натяжения шнура T . Груз поднимают на высоту h от положения равновесия и отпускают. Найдите минимальное значение $h = h_m$, при котором шнур разорвется.

1.7.32. Груз массой $m = 10^3$ кг опускается на тросе лебедки с постоянной скоростью $v = 4$ м/с. Коэффициент жесткости троса

$k = 4 \cdot 10^5$ Н/м. Покажите, что максимальная величина силы натяжения троса при внезапной остановке лебедки $T = mg + v\sqrt{km}$, $T = 89,8 \cdot 10^3$ Н.

1.7.33. Гимнаст падает с высоты $H = 4$ м на горизонтальную натянутую упругую сетку, которая прогибается на величину $s = 0,5$ м. Найдите величину ускорения гимнаста a_0 в нижней точке траектории.

1.7.34. Невесомая пружина прикреплена к двум тонким дискам. Эту систему поставили на горизонтальную плоскость. На верхний диск падает груз массы m . В результате неупругого столкновения диск с грузом приобрел начальную скорость v_0 . Найдите максимальное значение величины силы давления N_m нижнего диска на плоскость (массы дисков пренебрежимо малы, k — жесткость пружины, l_0 — длина пружины в ненапряженном состоянии).

1.7.35. Один конец пружины, жесткостью k , длиной l_0 в ненапряженном состоянии, прикреплен к неподвижной стенке, другой — прикреплен к частице массой m , которая может перемещаться по горизонтальной плоскости. Коэффициент трения μ . В начальный момент времени частице, находящейся на расстоянии l_0 от стенки, сообщили начальную скорость \vec{v}_0 , направленную по оси пружины от стенки. Найдите максимальное расстояние s_m между частицей и стенкой.

1.7.36. Вагон массой m_1 , движущийся по горизонтальному пути, догоняет другой вагон массой m_2 и сцепляется с ним. В результате неупругого столкновения механическая энергия вагонов уменьшается на ΔU . Найдите величину разности скоростей вагонов $v_1 - v_2$.

1.7.37. На гладкой горизонтальной плоскости лежит частица массой m . На нее налетает частица массой m с кинетической энергией K . После неупругого нецентрального соударения величины скоростей частиц одинаковы, угол между скоростями $\alpha = \pi/3$. Найдите величину приращения внутренней энергии частиц ΔU .

1.7.38. Частица массой $m_1 = m$ и атом массой $m_2 = 4m$ имеют одинаковые кинетические энергии E и движутся навстречу друг другу. Найдите приращение полной энергии атома Q в результате абсолютно неупругого столкновения.

1.7.39. Центры трех одинаковых частиц массой m каждая находятся на прямой. Крайней частице сообщили скорость величиной v вдоль прямой, проходящей через центры шаров. Найдите кинетическую энергию системы частиц K после абсолютно неупругих столкновений частиц.

1.7.40. Половина доски длиной L лежит на полу кузова грузовика, другая половина — снаружи. Доску необходимо втолкнуть в кузов грузовика. Коэффициент трения доски о пол грузовика μ .

А. Найдите величину наименьшей начальной скорости доски v_0 .

Б*. Найдите промежуток времени движения доски τ .

1.7.41. Тело массой m находится на горизонтально расположенной плоскости доски, движущейся в горизонтальном направлении с ускорением \bar{w} . Коэффициент трения между телом и доской равен μ . Найдите приращение кинетической энергии тела ΔK при перемещении доски на расстояние s .

1.7.42. Груз втаскивают с помощью веревки, натянутой параллельно наклонной шероховатой плоскости клина. Коэффициент трения удовлетворяет условию $\mu \leq \operatorname{tg} \alpha$, где α — угол наклона плоскости. При втаскивании груза массой m по плоскости клина до высоты H относительно плоскости основания совершена работа A . Найдите скорость v , которую приобретет груз у основания плоскости, если его не удерживать в этом положении.

1.7.43. На гладкой горизонтальной плоскости покоится доска массой M . На доске лежит тело массой m , которому сообщили начальную скорость v . Коэффициент трения между телом и доской — μ . Найдите расстояние s , на которое сместится тело относительно доски.

1.7.44. Груз движется по неподвижной наклонной шероховатой плоскости. Начальная скорость груза, на высоте h_1 , равна нулю (рис. 1.7.44). На высоте h_2 величина скорости груза — u . Найдите максимальную кинетическую энергию груза K_m .

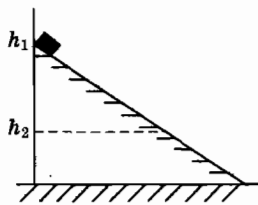


Рис. 1.7.44

1.7.45. Частица скользит по неподвижной наклонной шероховатой плоскости. При движении вниз величина скорости частицы равна v_1 на высоте h . После упругого удара о стенку у основания плоскости величина скорости частицы на той же высоте равна v_2 . Найдите величину скорости u при отскоке от стенки.

1.7.46. Одна половина нити длиной l находится на шероховатой горизонтальной плоскости стола, другая — свободно свешивается с края стола. Коэффициент трения μ , $\mu < 1/2$. Найдите скорость нити в момент времени, соответствующий соскальзыванию со стола.

1.7.47. Частица массой m с кинетической энергией K сталкивается с неподвижным атомом массой M . Найдите энергию возбуждения атома Q в результате абсолютно неупругого столкновения.

1.7.48. Брусок массой $m = 1$ кг лежит на горизонтальной шероховатой плоскости (рис. 1.7.48). Коэффициент трения $\mu = 0,2$. К бруску прикреплена пружина жесткостью $k = 20$ Н/м. Найдите величину наименьшей работы, необходимой для того, чтобы сдвинуть брусок.

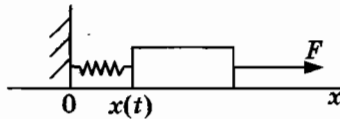


Рис. 1.7.48

1.7.49*–1.7.50*. Модель прыжка в высоту без разгона. Невесомая пружина прикреплена к двум тонким дискам. Массы дисков — m_1 и m_2 , жесткость пружины — k , длина пружины в ненапряженном состоянии — l_0 . Эту систему поставили на горизонтальную плоскость, затем пружину сжали на величину s и отпустили.

1.7.49*. Найдите скорость верхнего диска v_{2a} в момент времени отрыва нижнего диска от плоскости.

1.7.50*. Найдите наибольшую высоту z_{cm} , на которую подскочит центр масс системы.

1.7.51.* Движение замкнутой системы. Замкнутая система состоит из двух частиц масс m_a и m_b . Потенциальная энергия взаимодействия частиц $W = W(|\vec{r}_a - \vec{r}_b|)$, где \vec{r}_a , \vec{r}_b — радиус-векторы частиц в произвольно выбранной инерциальной системе отсчета. Запишите закон сохранения полной энергии в инерциальной системе отсчета, удовлетворяющий принципу относительности Галилея.

1.7.52*. Человек сообщает неподвижному камню скорость \vec{v} относительно Земли. Согласно известному из школьного курса механики закону изменения полной энергии, человек совершил работу $A' = mv^2/2$. В системе отсчета, движущейся со скоростью $\vec{u} = \vec{v}/2$, из закона изменения кинетической энергии получим значение работы $A' = 0$. Объясните этот парадокс.

1.7.53. Человек поднялся вверх по эскалатору, движущемуся вниз со скоростью u , за промежуток времени T . Глубина станции h , угол наклона ленты эскалатора α , масса человека m . Найдите работу A , которую совершил человек.

1.7.54–1.7.56. Один конец пружины жесткостью k , длиной l_0 в ненапряженном состоянии прикреплен к вертикальной стенке, на другом закреплена частица массой m , которая может перемещаться по шероховатой горизонтальной плоскости. Коэффициент трения — μ . В начальном положении длина пружины $l_0 + c$, начальная скорость частицы равна нулю.

1.7.54. $2\mu mg/k < c < 3\mu mg/k$. Найдите путь s , пройденный частицей до остановки.

1.7.55. Найдите величину максимальной скорости частицы v_m .

1.7.56. Найдите промежуток времени движения частицы t_1 .

1.7.57–1.7.58. Один конец пружины жесткостью k , длиной l_0 в ненапряженном состоянии прикреплен к опоре, на другом закреплена частица массой m , которая может двигаться по шероховатой наклонной плоскости, образующей угол α с горизонтальной плоскостью (рис. 1.7.57). Коэффициент трения — μ . В начальном положении длина пружины l_0 , начальная скорость частицы равна нулю.

1.7.57. $2\mu mg \cos \alpha/k < L < 3\mu mg \cos \alpha/k$, $L = C + (mg/k) \sin \alpha$. Найдите величину перемещения частицы s .

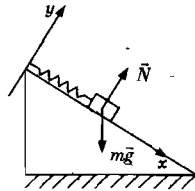


Рис. 1.7.57

1.7.58. Найдите величину максимальной скорости частицы v_m .

1.7.59. Две частицы масс $m_1 = m_2 = m$, лежащие на шероховатой горизонтальной плоскости, соединены пружиной жесткостью k , длиной l_0 в ненапряженном состоянии. В начальном состоянии пружина недеформирована. Найдите значение наименьшей скорости v_{10} , которую необходимо сообщить первой частице в направлении оси пружины для того, чтобы сдвинуть вторую частицу.

1.7.60*. Частица массой m может двигаться по гладкой кривой — винтовой линии: $x = a \cos \varphi$, $y = a \sin \varphi$, $z = b\varphi$, где φ — некоторый па-

раметр, ось z направлена по вертикали вверх. Начальные условия $\vec{r}(0) = (a, 0, h)$, $h = 2\pi n b$, n — целое число, $\vec{v}(0) = 0$. Найдите промежуток времени движения T до плоскости $z = 0$ и z — компоненту силы реакции N_z .

1.7.61. На концах невесомого стержня AB длиной l закреплены две частицы, каждая массой m . Концы стержня скользят по гладким взаимно перпендикулярным направляющим (рис. 1.7.61). В начальный момент времени $\varphi(0) = 0$, угловая скорость стержня $\omega(0) = 0$. Найдите угловую скорость стержня $\omega(\varphi)$, скорости частиц $v_A(\varphi)$, $v_B(\varphi)$ и максимальное значение функции $v_B(\varphi)$.

1.7.62. На горизонтальной шероховатой плоскости лежат два свинцовых кубика. Длина ребра первого кубика $a_1 = a$, второго — $a_2 = 2a$. Центр тяжести первого кубика расположен на высоте $h_1 = a/2$, меньшей, чем центр тяжести второго. Докажите, что второй кубик находится в более устойчивом положении по отношению к опрокидыванию через ребро.

1.7.63. Однородный стержень изогнут в форме прямого угла AOB со сторонами $AO = a$, $BO = b$, ($b > a$) и подвешен на горизонтально расположенную ось; φ — угол отклонения стороны AO от вертикали (см. задачу 1.6.5). Найдите потенциальную энергию стержня и значение угла φ , соответствующее минимальному значению потенциальной энергии.

1.7.64. Квадратная рамка, состоящая из четырех одинаковых шарнирно скрепленных стержней, подвешена на одном из шарниров. К шарнирам рамки прикреплены четыре одинаковые пружины, скрепленные друг с другом в центре рамки (рис. 1.7.64). Масса стержня m , длина — a , длина пружины в ненапряженном состоянии $l_0 = a/\sqrt{2}$, жесткость пружины — k . В положении равновесия рамки найдите тангенс угла φ_0 между одним из стержней в точке подвеса и вертикалью.

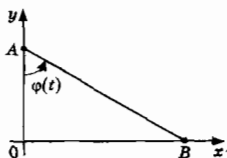


Рис. 1.7.61

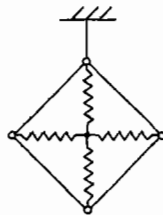


Рис. 1.7.64

1.7.65. На гладкий цилиндр положили два однородных стержня, скрепленных шарниром (рис. 1.7.65). Ось цилиндра горизонтальна, радиус цилиндра R , длина стержня $l = 4R$, масса m . Найдите значение угла φ_m в положении равновесия.

1.7.66. Груз массой m_1 и противовес массой m_2 подвешены на нерастяжимом тросе, перекинутом через невесомый блок (рис. 1.7.66). Длина троса — l , линейная плотность троса — ρ . В начальном положении разность координат груза и противовеса $x_1 - x_2 = h$. Найдите приращение потенциальной энергии системы ΔW при перемещении груза на величину Δx .

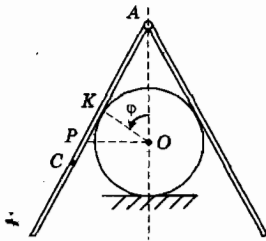


Рис. 1.7.65

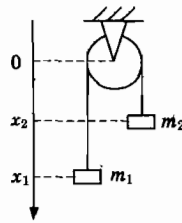


Рис. 1.7.66

1.7.67. Груз, подвешенный к пружине, лежит на столе. Масса груза m , жесткость пружины k , длина в ненапряженном состоянии l_0 . Найдите наименьшее значение работы, которую необходимо совершить, чтобы поднять груз на высоту h от поверхности стола.

1.7.68. Баскетболист должен забросить в центр кольца корзины камешек. Радиус кольца R , расстояние от уровня бросания камешка до плоскости кольца H . Оцените величину наименьшей начальной скорости камешка v_{\min} .

1.7.69. Шарик падает с высоты h и отскакивает с потерей 20% полной энергии. Найдите промежуток времени Δt , до следующего столкновения шарика с плитой.

1.7.70. Желоб состоит из горизонтального отрезка BO , плавно переходящего в отрезок OA в вертикальной плоскости. Угол между отрезком OA и горизонтальной плоскостью $\alpha = \pi/6$. Гибкая цепочка длиной $l = 4,9$ м расположена на отрезке BO так, что конец находится в точке O . Когда цепочке сообщили начальную скорость v_0 , то на отрезке OA желоба оказалась часть цепочки длиной $b \leq l$. Найдите промежуток времени движения цепочки τ до момента остановки.

1.8. Движение по окружности

Ускорение частицы следует представить в виде суммы трех компонентов

$$\vec{a} = \frac{dv}{dt} \vec{e} + \frac{v^2}{R} \vec{n} + 0 \cdot \vec{e}_\perp. \quad (1.8.1)$$

Здесь единичный вектор \vec{e} направлен по касательной к окружности, вектор \vec{n} — к центру окружности, \vec{e}_\perp — перпендикулярен плоскости окружности.

Из второго закона Ньютона следуют три уравнения движения:

$$m \frac{dv}{dt} = F_t, \quad (1.8.2 \text{ а})$$

$$m \frac{v^2}{R} = F_n, \quad (1.8.2 \text{ б})$$

$$m \cdot 0 = F_\perp. \quad (1.8.2 \text{ в})$$

Здесь F_t , F_n , F_\perp — проекции суммы сил на направления касательное к окружности, к центру окружности и перпендикулярное плоскости, в которой лежит окружность. При неравномерном вращении дифференциальное уравнение (1.8.2 а), если не использовать аппарат высшей математики, не дает существенной информации для решения задачи. В этом случае вместо уравнения (1.8.2 а) необходимо записать закон изменения (или сохранения) полной энергии, который является следствием всех уравнений (1.8.2).

1.8.1. Мотоциклист движется по внутренней поверхности вертикального кругового цилиндра радиусом $R = 6$ м. Коэффициент трения между шинами и поверхностью цилиндра $\mu = 0,4$. Найдите величину наименьшей скорости мотоциклиста.

1.8.2. Шар массой $m = 10$ кг скользит со скоростью $v = 5$ м/с по желобу, расположенному в горизонтальной плоскости. Желоб образован прямолинейным участком AB и дугой параболы BC . В координатах x, y уравнение кривой, образующей желоб, имеет вид

$$y(x) = 0, x \leq 0; \quad y(x) = kx^2/2, \quad x \geq 0,$$

где $k = 4 \text{ м}^{-1}$. Найти силу, действующую на шар в точке B сопряжения прямой и параболы.

1.8.3. Бусинка массы m надета на проволочное кольцо, расположенное в вертикальной плоскости. В начальный момент времени бусинка покоится в верхней точке кольца. Найти зависимость величины силы давления $P(\alpha)$ бусинки на кольцо при соскальзывании от угла α между вертикалью и прямой, проходящей через центр кольца и бусинку. Трение отсутствует.

1.8.4. Частица соскальзывает с нулевой начальной скоростью с вершины гладкой полусферы радиусом R . Найдите значение высоты h , на которой частица оторвется от сферы.

1.8.5. Частица с начальной скоростью, равной нулю, соскальзывает из верхней точки полусферы радиуса R , закрепленной на горизонтальной плоскости. Найти высоту h , на которую подскочит частица в результате абсолютно упругого столкновения с плоскостью.

1.8.6. Невесомый стержень может вращаться вокруг горизонтальной оси, перпендикулярной стержню и проходящей через точку стержня O (рис. 1.8.6). На концах стержня закреплены частицы масс m_1 и m_2 , на расстояниях l_1 и l_2 от точки O . В начальный момент времени стержень расположили горизонтально и отпустили. Найдите величины линейных скоростей частиц при прохождении стержнем положения равновесия ($m_1 = m_2 = m$, $l_1 = 4a$, $l_2 = 3a$).

1.8.7–1.8.8. В положении равновесия шарик на рис. 1.8.7 сообщили начальную скорость $v_0 = (2gl)^{1/2}$, где l — длина нити.

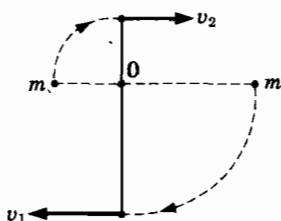


Рис. 1.8.6

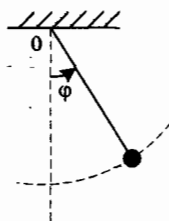


Рис. 1.8.7.

1.8.7. Найдите величину натяжения нити T_1 в положении $\varphi = \pi/2$.

1.8.8. Найдите величину натяжения нити T_0 при прохождении положения равновесия.

1.8.9. В положении равновесия шарик на рис. 1.8.7 сообщили начальную скорость $v = (2gl)^{1/2}$, где l — длина нити. Найдите значение косинуса угла φ , при котором вектор ускорения направлен по горизонтали.

1.8.10. В положении равновесия шарик на рис. 1.8.7 сообщили начальную скорость v_0 . Найдите условие, при котором нить будет натянута в любой точке траектории.

1.8.11–1.8.12. Частица массой m , висит на нити длиной l , прикрепленной к оси вращения. После сообщения начальной скорости v_0 в положении равновесия частица вращается в вертикальной плоскости.

1.8.11. Может ли быть величина силы натяжения $T = 1000mg$?

1.8.12. Найдите наименьшее значение проекции силы натяжения на радиус-вектор частицы.

1.8.13. Отношение величины ускорения шарика на нерастяжимой нити в положении наибольшего отклонения к величине ускорения в момент прохождения положения равновесия равно $\sqrt{3}/2$. Найдите угол наибольшего отклонения шарика от вертикали φ_m .

1.8.14. Шарик подвешен в точке O на нити длиной l (рис. 1.8.7). Найдите величину начальной скорости v_0 , которую необходимо сообщить шарик в горизонтальном направлении, чтобы он достиг точки подвеса.

1.8.15. Шарик, прикрепленный к нити, колеблется в вертикальной плоскости по окружности. Укажите направление равнодействующей силы натяжения и силы тяжести.

1.8.16. Частица массой m , прикрепленная к нити, вращается в вертикальной плоскости. Найдите разность величин натяжения нити в нижнем и верхнем положениях частицы.

1.8.17. Шарик повешен на нити (рис. 1.8.7). Нить отклонили на угол φ_0 и отпустили, не сообщая начальную скорость. Найдите значение угла φ_0 , если максимальная величина силы натяжения в 4 раза больше величины минимального значения силы натяжения.

1.8.18. У края диска радиусом R лежит монета. Диск раскручивают с угловым ускорением ε . Найдите промежуток времени τ , через который монета соскользнет с диска. Коэффициент трения между диском и монетой μ .

1.8.19*. Невесомый стержень OA длиной l , к концу которого прикрепена частица, может вращаться в вертикальной плоскости вокруг точки O (рис. 1.8.19). В момент времени $t = 0$ стержень расположен горизонтально, начальная скорость частицы $v(0) = 0$.

Найдите промежуток времени τ , за который стержень сместится на угол $\alpha \ll 1$.

1.8.20*. К концу невесомого стержня длиной l , который может вращаться в вертикальной плоскости вокруг точки O прикреплен пружинный пистолет в виде ствола с пулей. Масса ствола M , масса пули m . Отведем стержень в положение OB и отпустим (рис. 1.8.20). При прохождении положения равновесия OA пуля вылетает из ствола. Найдите наименьшее значение работы A , совершенной пружиной, если стержень достигает положения OC .

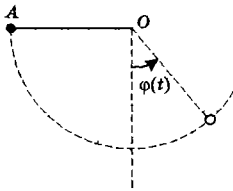


Рис. 1.8.19

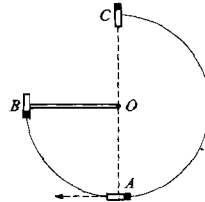


Рис. 1.8.20

1.9. Закон всемирного тяготения. Законы Кеплера

Закон всемирного тяготения. Сила \vec{F}_{ab} , действующая на частицу a со стороны частицы b ,

$$\vec{F}_{ab} = -Gm_a m_b \vec{r} / r^3, \quad (1.9.1)$$

где $G = 6,67 \cdot 10^{-11} \text{ Н} \cdot \text{ м}^2 / \text{ кг}^2$ — гравитационная постоянная, $\vec{r} = \vec{r}_a - \vec{r}_b$ — вектор, соединяющий частицу m_b с частицей m_a .

Для однородных шаров сила определяется формулой (1.9.1), где r — расстояние между центрами шаров. Величину силы, действующей на частицу со стороны Земли, представим в виде $F_a = mgR^2/r^2$, где $g = GM/R^2$, R — радиус Земли, $R = 6,35 \cdot 10^6 \text{ м}$, $g = 9,81 \text{ м/с}^2$.

Потенциальная энергия гравитационного взаимодействия частиц

$$W(\vec{r}_a, \vec{r}_b) = -Gm_a m_b / r. \quad (1.9.2)$$

Потенциальная энергия взаимодействия частицы и однородного шара определяется (1.9.2), где r — расстояние между центрами шаров.

Потенциальную энергию взаимодействия частицы и Земли удобно представить в виде

$$W(\vec{r}) = -mgR^2/r, \quad (1.9.3)$$

где \vec{r} — вектор, соединяющий центр Земли и частицу.

В центрально-симметричном поле тяготения (1.9.1) сохраняется полная энергия $E = mv^2/2 + W(r)$.

Первый закон Кеплера. Планеты движутся вокруг Солнца по эллипсам; Солнце находится в одном из фокусов эллипса.

Второй закон Кеплера. Второй закон Кеплера представляет собой следствие закона сохранения момента импульса тела в центрально-симметричном поле тяготения. В точке P_0 на расстоянии r_0 от центра Земли спутнику сообщили начальную скорость \vec{v}_0 , $v_0 < (2gR)^{1/2}$ под углом α_0 к радиус-вектору \vec{r}_0 точки P_0 . Тогда спутник движется по эллипсу. В этом случае второй закон Кеплера можно представить в виде

$$r_0 v_0 \sin \alpha_0 = r v \sin \alpha, \quad (1.9.4)$$

где v — величина скорости спутника на расстоянии r от центра Земли в точке K , α — угол между радиус-вектором \vec{r} и скоростью \vec{v} в точке K , $v \sin \alpha = v_\perp$ — компонента скорости, перпендикулярная к радиус-вектору.

В интегральной форме (1.9.4) соответствует утверждению: площадь, заметаемая радиус-вектором с началом в фокусе пропорциональна времени перемещения.

Третий закон Кеплера. Из (1.9.4) можно получить третий закон Кеплера

$$\frac{T^2}{a^3} = \text{const}, \quad (1.9.5)$$

где T — период обращения по эллиптической орбите, a — длина большой полуоси. Для спутников Земли $\text{const} = T_0^2/R^3$, где $T_0 = 2\pi (R/g)^{1/2}$.

Движение спутника по эллиптической орбите. Если начальная скорость $v_0 < (2gR)^{1/2}$, то спутник движется по эллипсу. Центр Земли является фокусом эллипса. Точка максимального удаления от центра Земли называется *апогеем*, наименьшего — *перигеем*. Ориентация большой оси

эллипса определяется вектором Лапласа, направленным от центра Земли к перигею

$$\vec{\epsilon} = [(v_0/v_1)^2 - 1] \vec{r}_0 / r_0 - (\vec{r}_0 \vec{v}_0 / r_0 v_1^2) \vec{v}_0, \quad (1.9.6)$$

где $\vec{v}_0 = \vec{v}(0)$ — начальная скорость, $\vec{r}_0 = \vec{r}(0)$,

$v_1 = (gR^2/r_0)^{1/2}$ — местная первая космическая скорость.

Величина вектора $\vec{\epsilon}$ равна эксцентриситету эллипса ϵ .

Для окружности $\epsilon = 0$. Полная энергия спутника

$$E = -mgR^2/2a,$$

где a — длина большой полуоси эллипса.

1.9.1–1.9.2. Тело лежит на поверхности Земли на широте φ . Угловая скорость вращения Земли $\omega = 2\pi/(24 \cdot 60 \cdot 60) = 7,2921 \cdot 10^{-5} \text{ с}^{-1}$. Известно, что Земля сплюснута у полюсов: экваториальный радиус $a = 6\,378,16$ км больше полярного радиуса b на величину $c = 21,382$ км. В точке M на поверхности, находящейся на широте φ , на расстоянии r от центра Земли, вектор ускорения свободного падения \vec{g} расположен в меридиональной плоскости и определяется двумя компонентами. Компонента \vec{g} в направлении центра Земли

$$g_r = g_0(1 - \alpha)(a/r)^2 + g_0\alpha(a/r)^4(1 - 3\sin^2\varphi),$$

где $g_0 = 9,78 \text{ м/с}^2$,

$$\alpha = (1 - b/a) = 1/298,2 \approx 1,1 \cdot 10^{-3}.$$

Другая компонента $g_m = g_0\alpha(a/r)^4 \sin 2\varphi$ перпендикулярна радиус-вектору точки M и направлена к экватору.

1.9.1. Найдите вес тела.

1.9.2. Найдите угол между силой реакции и экваториальной плоскостью.

1.9.3. Задача Ньютона (1665–1666). Получите закон всемирного тяготения исходя из второго закона Ньютона и третьего закона Кеплера.

1.9.4. Местная первая космическая скорость. Космический аппарат движется по круговой орбите на расстоянии r от центра Земли.

А. Найдите значение величины скорости аппарата v_1 .

Б. Найдите начальную взлетную скорость аппарата v_0 .

1.9.5. Плотность некоторой планеты равна плотности Земли, радиус планеты в два раза меньше радиуса Земли. Найдите отношение первых космических скоростей спутников планеты и Земли $v_{1n}/v_{1з}$.

1.9.6. Геостационарный (или синхронный) спутник. Любой спутник движется в плоскости, проходящей через центр Земли. Син-

хронный спутник «висит» над одной и той же точкой на поверхности Земли. Поэтому он должен находиться на круговой орбите в экваториальной плоскости и вращаться с периодом $T_0 = 24$ ч. Найдите радиус орбиты r_c синхронного спутника.

1.9.7. Спутник запущен на круговую орбиту, расположенную в плоскости экватора, и вращается в направлении вращения Земли. Известно, что спутник проходит над некоторой точкой экватора семь раз в сутки. Найдите отношение радиуса орбиты спутника к радиусу орбиты геостационарного спутника r_c/r_g .

1.9.8. На отрезке прямой линии OA , проходящей через центр Земли, находятся N спутников. В момент времени $t = 0$ скорость каждого спутника равна первой местной космической скорости $v_n = \sqrt{gR^2/r_n}$, где r_n — расстояние от n -го спутника до центра Земли. Получите уравнение кривой, на которой находятся спутники в момент времени t .

1.9.9. Два спутника вращаются по круговым орбитам в одном направлении со скоростями $v_1 = 7,8$ км/с, $v_2 = 7,6$ км/с. Определите минимальное расстояние s между спутниками и промежуток времени τ , через который они окажутся в том же положении.

1.9.10*. Астероид представляет собой однородный шар массой M радиусом R . Определите первую космическую скорость частицы массой M , вращающейся по окружности радиусом R .

1.9.11*. Два астероида представляют собой однородные шары массой m радиусом R . В начальный момент времени относительная скорость астероидов, находящихся на расстоянии $r \gg R$, равна нулю. Найдите относительную скорость астероидов в момент столкновения $v_{от}$.

1.9.12–1.9.13. Телу на поверхности Земли сообщили в вертикальном направлении начальную скорость, равную первой космической скорости.

1.9.12. Найдите максимальную высоту h , на которую поднимется тело? Сопротивлением атмосферы пренебречь.

1.9.13. Тело падает на Землю с высоты $h = R$ с нулевой начальной скоростью. Найти интервал времени падения.

1.9.14*–1.9.15*. Космический аппарат (КА) движется по круговой орбите на расстоянии $h \ll R$ от поверхности Земли, $h = 400$ км. В результате кратковременного изменения величины скорости он перешел на орбиту приземления (рис. 1.9.14).

1.9.14. Пренебрегая сопротивлением атмосферы, найдите приращение величины скорости Δv , необходимое для этого маневра.

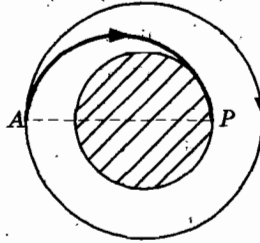


Рис. 1.9.14

1.9.15. Найдите промежуток времени движения KA до поверхности Земли τ .

1.9.16. Падение с «низкой» орбиты. В точке P на расстоянии h ($h \ll R$) от поверхности Земли ракете сообщили начальную скорость \vec{v}_0 , параллельную касательной к поверхности Земли, $v_0 = v_1(1 - \delta)$, $v_1 = (gR^2/r_0)^{1/2}$ — местная первая космическая скорость, $r_0 = R + h$. Величина δ удовлетворяет условию $h/4R \ll \delta \ll 1$. Ракета приземлилась в точке K . Найдите дальность полета s_m по дуге большого круга.

1.9.17. Межконтинентальный перелет. Телу на поверхности Земли сообщили начальную скорость равную первой космической скорости $v_0 = \sqrt{gR}$, направленную под углом α к горизонту. Найдите максимальную высоту подъема h_a над поверхностью Земли и дальность полета s_m по дуге большого круга.

1.9.18–1.9.19. С экватора запускают ракету, которая должна упасть на Северный полюс.

1.9.18*. Угол между начальной скоростью и касательной к поверхности Земли $\alpha = \pi/8$. Найдите величину начальной скорости v_0 и расстояние до апогея r_a .

1.9.19. Угол между начальной скоростью и касательной к поверхности Земли $\alpha = \pi/4$. Найдите величину начальной скорости v_0 и расстояние до апогея r_a .

1.9.20. Телу на расстоянии h от поверхности Земли сообщили начальную скорость \vec{v}_0 , параллельную касательной к поверхности Земли, $v_0 < v_{II} = (2gR)^{1/2}$. Найдите высоту апогея r_a и перигея r_p траектории.

1.9.21*–1.9.22*. Парадокс спутника. Размеры последней ступени ракеты-носителя значительно больше размеров спутника. Сила сопро-

тивления в атмосфере Земли $\vec{F}_c = -\rho S v \vec{v}$, где ρ — плотность воздуха, S — эффективная площадь поперечного сечения, перпендикулярного скорости \vec{v} . Казалось бы, что поскольку ракета испытывает большее сопротивление, то ее скорость окажется меньше скорости спутника. Однако наблюдатели обнаружили, что ракета обогнала спутник.

1.9.21*. Объясните наблюдаемый эффект.

1.9.22*. Найдите приращения величины скорости $v(t)$, расстояния до центра Земли $r(t)$ и периода вращения за период вращения $T(t)$ как функцию $r(t)$.

1.9.23. Еще один парадокс. Спутник движется по окружности вокруг Земли. При работе в открытом космосе космонавт бросил заклепку в направлении скорости спутника со скоростью $v = 1$ м относительно спутника. Объясните, почему через некоторый промежуток времени спутник обгонит заклепку.

1.9.24. 14 октября 1965 г. выведен на сильно вытянутую орбиту второй спутник связи «Молния-1». Расстояние до апогея в северном полушарии $r_a = R + 40\,000$ км, до перигея над южным $r_p = R + 400$ км, период $T_0 = 12$ ч, R — радиус Земли. Он быстро проходит южное полушарие и обеспечивает длительный сеанс связи в зоне между Владивостоком и Москвой. Площадь, заметаемая радиус-вектором спутника в южном полушарии, $S = (4S_0/\pi)\delta^{3/2}$, $\delta = r_p/r_a$, S_0 — площадь орбиты. Найдите промежуток времени τ облета южного полушария.

1.9.25. Два спутника равных масс $m_1 = m_2 = m$, соединенные невесомым канатом длиной l , движутся по круговым орбитам вокруг Земли. Спутники находятся на прямой, проходящей через центр Земли. Расстояние между серединой каната и центром Земли равно g . Найдите величину силы натяжения каната N .

1.9.26–1.9.27. Гравилет. Два однородных шара масс $m_1 = m_2 = m/2$, прикрепленные к концам стержня пренебрежимо малой массы, образуют гантель. Ось гантели перпендикулярна плоскости орбиты, по которой движется центр масс. Расстояние между центрами шаров — l .

1.9.26. Найдите силу, действующую на гантель в поле тяжести Земли. Расстояние от центра Земли до середины гантели $r \gg l$.

1.9.27*. Обсудите проблему: возможно ли, в результате периодического изменения длины гантели $l(t) = l_0$, $0 \leq t \leq T/2$; $l(t) = 0$, $T/2 < t < T$ покинуть сферу действия Земли?

1.9.28*. Движение в космосе с малой тягой. В отличие от обычных реактивных двигателей плазменные или ионные двигатели раз-

вивают силу тяги $F \ll mg$, слишком малую для старта с поверхности Земли. Однако при старте с околоземной орбиты двигатель малой тяги может разогнать корабль до гиперболической скорости. В начальном состоянии ракета находится на круговой орбите. После включения двигателя постоянная реактивная сила $\vec{F} = f\vec{v}/v$, действующая на ракету, направлена по касательной к траектории, f — константа, $a = f/m \ll g$. Получите уравнения, описывающие начальный участок траектории, на котором полная энергия возрастает до значения $E = 0$, и найдите число полных оборотов N на этом участке.

1.9.29. Вторая космическая скорость. Найдите наименьшее значение начальной скорости v_{II} , которую необходимо сообщить космическому аппарату относительно Земли для того чтобы аппарат стал спутником Солнца.

1.9.30. Третья космическая скорость. Найдите начальную скорость v_{III} , которую следует сообщить КА относительно Земли, чтобы он покинул Солнечную систему.

1.9.31. Найдите начальную скорость v_{IV} , которую необходимо сообщить космическому аппарату, чтобы он двигался по орбите Земли в направлении, противоположном направлению движения Земли.

1.9.32. Четвертая космическая скорость. Найдите начальную скорость v_{IV} , которую необходимо сообщить КА относительно Земли, чтобы он упал на Солнце.

1.9.33*. Задача Лагранжа. В 1772 г. выдающийся математик Ж.Л. Лагранж нашел частное решение задачи трех тел, предполагая, что в любой момент времени частицы масс m_1, m_2, m_3 находятся в вершинах правильного треугольника. Покажите, что сумма сил, действующих на частицу массой m_1 , соответствует силе притяжения, действующей со стороны «частицы» массой M , находящейся в центре масс, $M = (1/m^2)(m_2^2 + m_2m_3 + m_3^2)^{3/2}$, $m = m_1 + m_2 + m_3$, а равнодействующая сил, приложенных к каждой частице, лежит на прямой, проходящей через центр масс C .

1.10. Движение в неинерциальных системах.

В неинерциальной системе отсчета K' , движущейся поступательно относительно инерциальной системы K с ускорением \vec{w} , второй закон Ньютона можно записать в виде

$$m\vec{a}' = \vec{F} - m\vec{w}, \quad (1.10.1)$$

где $\vec{f} = -m\vec{w}$ — сила инерции.

В неинерциальной системе отсчета K' , которая имеет общее начало с инерциальной системой K и вращается с постоянной угловой скоростью $\vec{\Omega}$, второй закон Ньютона приобретает вид

$$m\vec{a}' = \vec{F} + \vec{f}_k + \vec{f}_{\text{цб}}, \quad (1.10.2)$$

$$\vec{f}_k = -2m\vec{\Omega} \times \vec{v}, \quad \vec{f}_{\text{цб}} = -m\vec{\Omega} \times (\vec{\Omega} \times \vec{r}) \quad (1.10.3)$$

Здесь \vec{f}_k — сила Кориолиса, $\vec{f}_{\text{цб}}$ — центробежная сила.

1.10.1. В системе координат K закон движения частицы $x(t) = 0$, $y(t) = vt$. Система K' с осями x', y' , параллельными осям x, y движется вдоль оси x . В момент времени $t = 0$ начал координат систем совпадают. Найдите скорость v' системы K' , если в этой системе уравнение траектории частицы $x' = y'^2/2R$.

1.10.2. Космический корабль стартует вертикально с Земли или тормозится при спуске, входя по вертикали в плотные слои атмосферы с ускорением \vec{w} . Найдите вес космонавта N .

1.10.3. Акселерометр представляет собой изогнутую под прямым углом трубку, заполненную маслом. Трубка расположена в вертикальной плоскости, угол $\alpha = \pi/4$. При движении трубки в горизонтальном направлении с ускорением \vec{w} уровни масла в коленах трубки соответственно равны $h_1 = 8$ см и $h_2 = 12$ см (рис. 1.10.3). Найдите величину ускорения w .

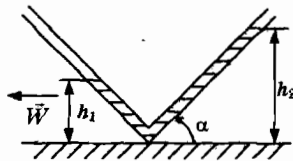


Рис. 1.10.3

1.10.4. Клин движется по горизонтальной плоскости стола с постоянным ускорением $\vec{w} = (w, 0, 0)$. Угол между наклонной плоскостью клина и поверхностью стола равен α . На клин положили тело массой m . Коэффициент трения между плоскостью клина и телом — μ . Найти значение w , при котором тело смещается вверх по плоскости клина.

1.10.5. Мотоциклист на вертикальной стене. Вернемся к задаче 1.8.1 и найдем угол α между вертикалью и плоскостью колес мотоцикла.

1.10.6. На краю доски длиной l массой m_2 лежит груз массой m_1 . Коэффициент трения между доской и грузом μ . Доска может двигаться по гладкой горизонтальной плоскости. Найдите значение величины горизонтально направленной силы \vec{F} , которую необходимо приложить к доске, чтобы груз соскользнул за интервал времени τ .

1.10.7*. Пусть Солнце, Луна и Земля находятся на одной прямой. Величина силы, действующей со стороны Солнца на Луну $F_{сл} = m_{л}w_{сл}$, $w_{сл} = 5,968 \cdot 10^{-3}$ м/с² более, чем в два раза превосходит величину силы, действующей на Луну со стороны Земли $F_{зл} = m_{л}w_{зл}$, $w_{зл} = 2,697 \cdot 10^{-3}$ м/с². Величина силы, действующей на Землю со стороны Солнца $F_{сз} = m_{з}w_{сз}$, $w_{сз} = 5,938 \cdot 10^{-3}$ м/с². Почему же Солнце не влияет существенно на движение Луны вокруг Земли?

1.10.8*. Космический лифт. Предположим, что на экваторе возведена конструкция, в которой действует лифт. Найдите расстояния r_1 и r_2 от центра Земли до точек, в которых скорость груза массой m станет равной местным первой и второй космическим скоростям.

1.10.9*. Центр масс O космического корабля движется по окружности радиуса r . В точке O закрепили пару пружинных весов. На концах пружин закреплены частицы масс m_1 и m_2 , $m_1 = m_2 = m$. Найдите вес P_1 и P_2 каждой частицы.

1.10.10. В 1929 г. американский астроном Э. Хаббл установил, что относительная скорость Галактик пропорциональна расстоянию между ними. Коэффициент пропорциональности — постоянная Хаббла $H \approx 73$ км/с · Мпс. Докажите, что этот закон справедлив для любого движущегося наблюдателя — Галактики «разбегаются».

1.10.11. Начало система отсчета K' движется относительно системы K по горизонтали с постоянной скоростью u . Направим оси координат x, x' по горизонтали, оси y, y' по вертикали вниз. Свяжем с системой K' самолет, с которого сброшен шар с нулевой начальной скоростью относительно самолета. Получите уравнение траектории шара.

А. В системе отсчета K .

Б. В системе отсчета K' .

1.11. Лине́йные колеба́ния

Одномерные колебания. Если движение частиц ограничено связями — поверхностями, стержнями, нерастяжимыми нитями, то возможна ситуация, в которой положение системы N частиц определяется заданием одной функции $s(t)$. Размерность $[s]$ — метр или радиан. Ее называют независимой или обобщенной координатой и говорят, что система имеет *одну степень свободы*. В этом случае движение системы называют *одномерным*. Величину ds/dt называют обобщенной скоростью системы. Кинетическая энергия системы зависит от обобщенных координаты и скорости: $K = G(s)(ds/dt)^2/2$, где $G(s)$ — положительно определенная функция. Потенциальная энергия $W = W(s)$.

Устойчивому равновесию соответствует такое положение системы $s = s_0$, в котором ее потенциальная энергия $W(s)$ имеет минимум. Значение s_0 определяется из условия $dW/ds = 0$. Введем функцию $x(t) = s(t) - s_0$. В окрестности положения равновесия потенциальная энергия системы

$$w(x) = W(s_0 + x) = W(s_0) + \frac{kx^2}{2} + \dots, \quad (1.11.1)$$

где $k = d^2W/ds^2 > 0$ — значение второй производной при $s = s_0$. В положении устойчивого равновесия $k > 0$. Кинетическая энергия

$$K \approx \frac{G_0}{2} \left(\frac{dx}{dt} \right)^2, \quad (1.11.2)$$

где $G_0 = G(s_0)$. Согласно закону сохранения энергии консервативной системы полная энергия $K + w(x) = E$ — постоянная величина. Дифференцируя это соотношение, получим линейное дифференциальное уравнение гармонических колебаний

$$\frac{d^2x}{dt^2} + \omega^2 x = 0, \quad \omega^2 = k/G_0, \quad (1.11.3)$$

решением которого является функция $x(t) = a \cos \omega t + b \sin \omega t$, где a и b — постоянные, определяемые из начальных условий. Отметим, что уравнение (1.11.3) можно получить в результате линеаризации уравнения, следующего из второго закона Ньютона.

1.11.1. Координата, определяющая смещение шарика от положения устойчивого равновесия, $x(t) = A \sin \omega t$. Найдите отношение величин скоростей в точке, отстоящей от положения равновесия на три пятых амплитуды колебаний и в положении равновесия.

1.11.2. Пружина прикреплена к массивному телу и к частице массой $m = 0,1$ кг, которая может двигаться по гладкой горизонтальной прямой — оси x . Жесткость пружины $k = 40$ Н/м, длина в ненапряженном состоянии — l_0 . В положении равновесия $x(0) = l_0$ частице сообщили начальную скорость $v_x(0) = v_0$, $v_0 = 0,2$ м/с.

А. Найдите координату частицы $x(t) = l_0 + z(t)$.

Б. Найдите значений моментов времени t_x , в которых отношение потенциальной энергии к кинетической равно $W/K = 3$.

1.11.3. Подставка массой M стоит на горизонтальной плоскости. К верхней перекладине подвешена пружина, к которой прикреплен груз массой m (рис. 1.11.3). Жесткость пружины $k = 40$ Н/м, длина в ненапряженном состоянии — l_0 . Груз сместили из положения равновесия на расстояние s и отпустили. Найдите максимальное значение s , при котором подставка не подпрыгнет.

1.11.4*. К частице, которая может перемещаться по гладкой горизонтальной прямой, прикреплена пружина. Другой конец пружины закреплен на расстоянии h от прямой (рис. 1.11.4а). Найдите частоту линейных колебаний в окрестностях положений устойчивого равновесия.

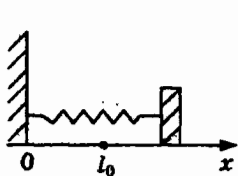


Рис. 1.11.2

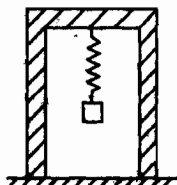


Рис. 1.11.3

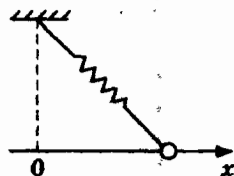


Рис. 1.11.4 а

1.11.5*. Две частицы массами m_1 и m_2 , соединенные пружиной пренебрежимо малой массы, могут двигаться по оси x , $x_2(t) > x_1(t)$. Жесткость пружины — k , длина в ненапряженном состоянии — l_0 .

А. Начальные условия $x_2(0) - x_1(0) = l_0 + b$, $v_1(0) = v_2(0) = 0$. Найдите решение уравнений движения.

Б. Начальные условия $x_2(0) - x_1(0) = l_0$, $v_1(0) = v_0$, $v_2(0) = 0$. Найдите решение уравнений движения.

1.11.6*. Две частицы массами m_1 и m_2 , соединенные пружиной пренебрежимо малой массы, могут двигаться по прямой линии. Жесткость пружины — k , длина в ненапряженном состоянии — l_0 . В начальном состоянии скорости частиц равны нулю. К первой частице прикладывается ударная постоянная сила \vec{F} , направленная от первой ко второй частице, в течение интервала времени τ , удовлетворяющего условию $\omega\tau \ll 1$, $\omega^2 = km/m_1m_2$, $m = m_1 + m_2$. Импульс силы $I = F\tau$ — конечная величина. Найдите амплитуду колебаний A расстояния между частицами после действия силы.

1.11.7. Вертикальные колебания груза, закрепленного на пружине. Параметры пружины: k — жесткость пружины, l_0 — длина пружины в ненапрянутом состоянии. Найдите решение уравнения движения и частоту линейных колебаний ω .

1.11.8–1.11.9. Удлинение пружины, к которой подвесили два груза массами $m_1 = 3m$ и $m_2 = 2m$, равно b .

1.11.8. Найдите амплитуду колебаний груза m_1 после того, как нижний груз m_2 оторвался.

1.11.9. Найдите частоту колебаний ω оставшейся части груза.

1.11.10. Амплитуда вертикальных колебаний частицы массой m_1 , прикрепленной к пружине, равна A . Частота колебаний ω_1 . Когда частица находилась в крайнем нижнем положении, к ней подвесили частицу массой m_2 . В результате система оказалась в положении равновесия. Найдите массу частицы m_2 .

1.11.11*. Шарик массой m подвешен на пружине жесткости k . Длина пружины в ненапряженном состоянии l_0 . Точка подвеса маятника перемещается в вертикальном направлении по закону $s(t) = s_0 \cos \omega t$, $t \geq 0$. Сила сопротивления $\vec{F} = -mc\vec{v}$, где c — постоянный коэффициент, $c < \omega_0$, $\omega_0^2 = k/m$.

А. Найдите амплитуду колебаний $A(\omega)$ при установившемся движении шарика.

Б. Найдите резонансную частоту и значение амплитуды при резонансе A_m .

1.11.12. На стенках, расположенных на расстоянии $2l_0$, закреплены концы двух пружин (рис. 1.11.12). К первой пружине жесткостью $k_1 = 2k$, длиной l_0 в ненапряженном состоянии прикреплена частица массой $m_1 = 2m$, ко второй пружине жесткостью $k_2 = k$, длиной l_0 в ненапряженном состоянии прикреплена частица массой $m_2 = m$. Частицы движутся по гладкой горизонтальной плоскости. В началь-

ный момент времени расстояния первой частицы до левой стенки и второй частицы до правой стенки равны $l_0/2$. Найдите скорость центра масс системы v_c в момент столкновения частиц.

1.11.13. Упругая нить длиной $2a$ в ненапряженном состоянии перекинута через пару параллельных тонких стержней, расположенных в горизонтальной плоскости на расстоянии $AB = a$ друг от друга. Концы нити прикреплены к частице. Определить частоту линейных колебаний частицы, если в положении равновесия нить образует равносторонний треугольник.

1.11.14*. Один конец пружины жесткостью k , длиной l_0 в ненапряженном состоянии прикреплен к вертикальной стенке, на другом закреплена частица массой m , которая может двигаться по шероховатой горизонтальной плоскости. Коэффициент трения — μ . В начальном положении длина пружины $l_0 + A$, начальная скорость частицы $v(0) = 0$. Найдите число полных колебаний N до остановки частицы.

1.11.15. Гармонические колебания математического маятника — небольшого шарика, прикрепленного к невесомому стержню длиной l , который движется в вертикальной плоскости. Положение шарика зададим углом отклонения стержня $\varphi(t)$ от вертикали. Найдите частоту линейных колебаний маятника.

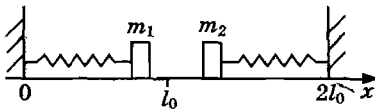


Рис. 1.11.12

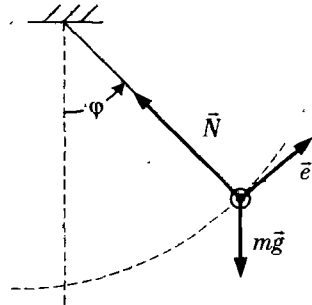


Рис. 1.11.15

1.11.16. Маятник колеблется с частотой $\nu = 0,5$ Гц. Величина скорости маятника при прохождении положения равновесия $v = 0,314$ м/с. Найдите амплитуду колебаний маятника A .

1.11.17. При гармонических колебаниях математического маятника максимальное значение кинетической энергии равно 1 Дж, максимальное значение потенциальной энергии равно 1 Дж. Определите полную энергию маятника E .

1.11.18. Частица закреплена на конце нити, подвешенной в точке O . В начальном состоянии, изображенном на рис. 1.11.18 $\varphi(0) = \varphi_0 \ll 1$, начальная скорость равна нулю; точка A — положение равновесия. Частица может двигаться от точки B к точке A по дуге окружности или по хорде AB . Найдите отношение соответствующих промежутков времени t_0/t_c .

1.11.19. Частица закреплена на конце нити, подвешенной в точке O (рис. 1.11.15). В начальном состоянии угол отклонения нити от вертикали $\varphi(0) = 0$, начальная скорость v_0 направлена по горизонтали. Найдите промежуток времени t_m , через который горизонтальная компонента скорости достигнет максимального значения в случае линейных колебаниях частицы.

1.11.20. Маятник в неоднородном поле тяжести. Найдите частоту колебаний маятника, расположенного на высоте h над поверхностью Земли.

1.11.21. На рис. 1.11.21 изображен маятник, представляющий собой невесомый стержень, на котором закреплены две частицы масс m_1 и m_2 на расстояниях l_1 и l_2 от горизонтальной оси вращения. Найдите частоту линейных колебаний маятника.

1.11.22. Маятник представляет собой невесомый стержень длиной L , на конце и в середине которого закреплены две частицы равных масс. Найдите отношение частоты колебаний маятника к частоте колебаний невесомого стержня длиной L , на конце которого закреплена частица массой $2m$.

1.11.23. На рис. 1.11.23 изображен маятник, представляющий собой невесомый стержень длиной $l_1 = l$. На конце стержня закреплена частица массой $m_1 = m$. Вторая частица массой $m_2 = m$ может перемещаться по стержню и по горизонтальной прямой, расположенной на расстоянии $l_2 = l/2$ от оси вращения. Найдите частоту линейных колебаний маятника.

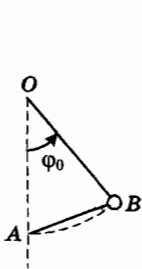


Рис. 1.11.18

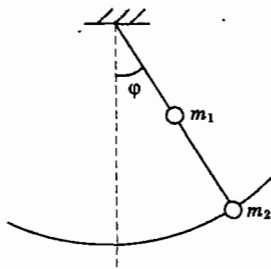


Рис. 1.11.21

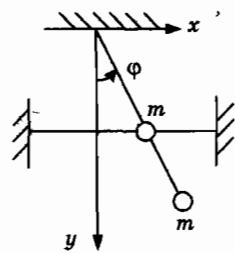


Рис. 1.11.23

1.11.24. Невесомый стержень длиной L , к концу которого прикреплена частица массой m , может вращаться в вертикальной плоскости вокруг горизонтальной оси, проходящей через точку O . К частице прикреплена пружина жесткостью k длиной l_0 в ненапряженном состоянии. Расстояние от точки закрепления пружины до частицы в положении равновесия — l_0 (рис. 1.11.24а). Найдите частоту линейных колебаний системы.

1.11.25. Точка подвеса нити длиной l , на конце которой закреплена частица, движется в горизонтальном направлении с ускорением \bar{w} относительно Земли. Найдите положение равновесия и частоту линейных колебаний частицы.

1.11.26. Частота линейных колебаний маятника в кабине лифта; спускающегося вниз с постоянной скоростью, равна ν . Найдите частоту колебаний маятника ν_1 , если лифт замедляет свое движение. Величина тормозящего ускорения g .

1.11.27*. Частица движется по винтовой линии с горизонтально направленной осью симметрии. В системе координат с осью x , направленной вертикально вверх параметрическое уравнение винтовой линии имеет вид $x = a \cos \varphi$, $y = a \sin \varphi$, $z = h\varphi/2\pi$. Найдите частоту линейных колебаний частицы в окрестности положения устойчивого равновесия.

1.11.28. Клин находится на гладкой горизонтальной плоскости. На плоскости клина в точке на высоте h закреплен один конец пружины, к другому прикреплена частица, которая может двигаться по поверхности клина в вертикальной плоскости. Масса клина — m_1 , масса частицы — m_2 , угол наклона клина — α , жесткость пружины — k , длина в ненапряженном состоянии — l_0 . Найдите частоту линейных колебаний частицы ω_2 и клина ω_1 .

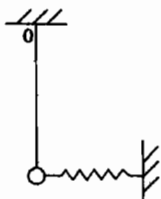


Рис. 1.11.24 а

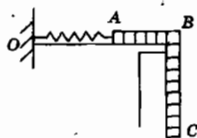


Рис. 1.11.29

1.11.29. Один конец пружины закреплен, к другому концу прикреплена однородная гибкая веревка, одна часть которой может дви-

гаться по гладкой горизонтальной плоскости стола, а другая свисает (рис. 1.11.29). Масса веревки m , длина l . Жесткость пружины — k , длина в ненапряженном состоянии — l_0 , $k > mg/l$. Найдите частоту линейных колебаний веревки ω .

1.11.30. Новый способ транспортировки грузов. Два пункта A и B на поверхности Земли соединены гладким тоннелем, прорытым по хорде окружности, радиус которой равен радиусу Земли R . Максимальная глубина тоннеля — h ($h \ll R$). В момент времени $t = 0$ в пункте A груз отпускают в тоннель с начальной скоростью равной нулю. Найдите время прибытия груза t_k в пункт B .

(Указание: Потенциальная энергия взаимодействия частицы, находящейся внутри Земли с Землей

$$W(\bar{r}) = -(mgR/2)[3 - (r/R)^2], \quad r \leq R,$$

где r — расстояние от центра Земли до частицы, R — радиус Земли.

Если $r \geq R$, то $W(\bar{r}) = -mgR^2/r$.)

1.11.31. Частица движется по окружности, вращающейся с постоянной угловой скоростью Ω вокруг вертикальной оси, лежащей в плоскости окружности и проходящей через центр. Масса частицы m , радиус окружности — R . Найдите частоту линейных колебаний ω в окрестности нижнего положения устойчивого равновесия при условии $\Omega^2 R < g$.

1.11.32*. Частица массой m движется по проволоке, изогнутой в форме параболы $y = x^2/2R$. Проволока вращающейся с постоянной угловой скоростью Ω вокруг вертикальной оси y . Найдите частоту линейных колебаний ω в окрестности положения равновесия при условии $\Omega^2 R < g$.

1.11.33. В середине тонкого невесомого стержня длиной l закреплена частица. Концы стержня скользят по параболе $y = x^2/2R$ с вертикально расположенной осью y . Найдите частоту ω линейных колебаний при условии $l < 2R$.

1.11.34. Доска, на которой лежит плитка, колеблется в горизонтальной плоскости с амплитудой A и частотой ω . Коэффициент трения плитки по доске μ . Найдите условие, при котором плитка не проскальзывает по поверхности доски.

1.11.35*. Тонкая полая трубка, изогнутая по дуге окружности радиусом R , может скользить по гладкой окружности радиусом R , расположенной в вертикальной плоскости (рис. 1.11.35a). Масса

трубки m , длина трубки L , $L < \pi R$. Найдите частоту линейных колебаний трубки в окрестности положения устойчивого равновесия.

1.11.36*. Стержень OM и диск образуют жесткую систему, которая может вращаться вокруг горизонтальной оси, проходящей через центр диска O (рис. 1.11.36). На диск радиусом R намотан трос, на конце троса подвешен груз массой m . В точке M стержня закреплен противовес массой M , центр тяжести которого находится на расстоянии L от точки O , $ML > mR$. Осевой момент диска с противовесом J . Найдите частоту линейных колебаний системы в окрестности положения устойчивого равновесия.

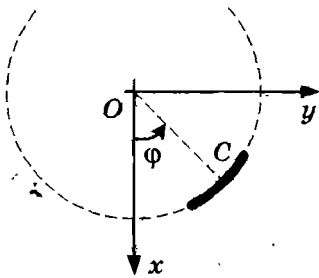


Рис. 1.11.35 а

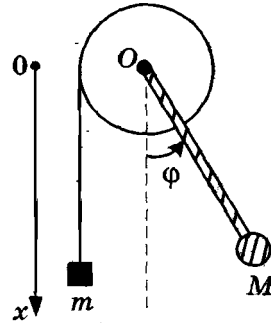


Рис. 1.11.36

1.11.37. Можно ли сложить два колебания?

1.11.38. Груз массой M подвешен на пружине. В положении равновесия на него положены частицу массой m . Найдите максимальную величину силы давления N частицы на груз.

1.12. Движение твердого тела

Кинематика. Радиус-вектор произвольной частицы a твердого тела в инерциальной системе отсчета

$$\vec{r}_a(t) = \vec{R}(t) + \vec{c}_a(t), \quad (1.12.1)$$

где $\vec{R}(t) = (R_x, R_y, R_z)$ — радиус-вектор центра масс точки O' твердого тела,

$\vec{c}_a(t)$ — радиус-вектор частицы в системе K' , жестко связанной с телом.

Длина вектора $\vec{c}_a(t)$ — постоянная величина.

Скорость частицы

$$\vec{v}_a(t) = \vec{v}(t) + \vec{v}'_a(t),$$

где $\vec{v}(t) = d\vec{R}/dt$ — скорость точки O' ,

$\vec{v}'_a(t) = d\vec{c}_a/dt$ — скорость частицы относительно точки O' .

Производная

$$\frac{d\vec{c}_a}{dt} = \vec{\omega} \times \vec{c}_a, \quad (1.12.2)$$

где $\vec{\omega}(t)$ — угловая скорость твердого тела.

Следовательно, скорость частицы a твердого тела всегда можно представить в виде

$$\vec{v}_a(t) = \vec{v} + \vec{\omega} \times \vec{c}_a. \quad (1.12.3)$$

Из (1.12.3) следует соотношение, связывающее скорости произвольно выбранных двух точек твердого тела:

$$\vec{v}_a(t) = \vec{v}_k(t) + \vec{\omega} \times \vec{r}_{ka}(t), \quad (1.12.4)$$

где $\vec{v}_a(t)$, $\vec{v}_k(t)$ — скорости точек a и k твердого тела,

$\vec{r}_{ka} = \vec{c}_a - \vec{c}_k$ — вектор, с началом в точке k .

Таким образом, скорость любой точки a твердого тела представлена в виде суммы скорости другой произвольной точки k и скорости вращения точки a относительно точки k .

Следствие: $\vec{v}_a \vec{r}_{ka} = \vec{v}_k \vec{r}_{ka}$.

Проекция скоростей \vec{v}_a и \vec{v}_k на прямую ka одинаковы.

Мгновенная ось вращения. Пусть вектор \vec{r}_{kb} , перпендикулярен угловой скорости. Всегда можно найти некоторую точку b , скорость которой равна нулю.

Поскольку $\vec{\omega} \vec{r}_{kb} = 0$, то из уравнения $0 = \vec{v}_k + \vec{\omega} \times \vec{r}_{kb}$ найдем положение точки b :

$$\vec{r}_{kb} = \vec{\omega} \times \vec{v}_k / \omega^2.$$

Скорости остальных точек приобретают вид

$$\vec{v}_a = \vec{\omega} \times \vec{r}_{ba}, \quad \vec{v}_k = \vec{\omega} \times \vec{r}_{bk}, \dots$$

Следовательно, распределение скоростей точек твердого тела в данный момент времени t представлено как результат чистого вращения вокруг оси, проходящей через точку b . Эту ось называют *мгновенной осью вращения*.

Положение оси можно найти по известным скоростям двух точек.

В частности, мгновенная ось вращения проходит через две неподвижные в данный момент времени точки твердого тела.

Динамические переменные твердого тела. Совместим точку O' с центром масс. Импульс твердого тела массы m

$$\vec{P} = m\vec{v}, \quad (1.12.5)$$

где \vec{v} — скорость центра масс.

Момент импульса твердого тела

$$\vec{L} = m\vec{R} \times \vec{v} + \vec{L}_c, \quad (1.12.6)$$

$$\vec{L}_c = \sum_{a=1}^N m_a \vec{c}_a \times (\vec{\omega} \times \vec{c}_a), \quad (1.12.7)$$

где \vec{L}_c — момент импульса тела в системе центра масс.

В случае плоскопараллельного движения тела $\vec{\omega} = (0, 0, \omega)$.

Тогда

$$\vec{L}_c = J_c \vec{\omega}, \quad (1.12.8)$$

$$J_c = \sum_{a=1}^N m_a [(c_{ax})^2 + (c_{ay})^2], \quad (1.12.9)$$

где J_c — величина, называемая *моментом инерции* тела относительно оси z' .

При переходе к непрерывному распределению массы твердого тела следует перейти от суммы по частицам в (1.12.9) к определенному интегралу

$$J_c = \frac{m}{V} \int dV (x^2 + y^2),$$

где V — объем тела.

Для однородного диска (масса m , радиус a), получим $J_c = ma^2/2$. Для тонкого однородного стержня длиной l , получим $J_c = ml^2/12$. Если ось z' проходит через торец стержня, то $\vec{L} = (0, 0, J_0\omega)$, $J_0 = ml^2/3$.

Кинетическая энергия твердого тела.

$$K = mv^2/2 + J_c\omega^2/2.$$

Уравнения движения твердого тела. Движение твердого тела описывается системой шести уравнений.

$$m\vec{a}_c = \vec{F}, \quad (1.12.10)$$

$$\frac{d\vec{L}_c}{dt} = \vec{M}_c, \quad (1.12.11)$$

где \vec{a}_c — ускорение центра масс,

\vec{F} — сумма внешних сил,

\vec{L}_c и \vec{M}_c — момент импульса и момент внешних сил относительно центра масс тела.

Уравнение (1.12.11) следует из уравнения

$$\frac{d\vec{L}}{dt} = \vec{M}, \quad (1.12.12)$$

где \vec{L} — момент импульса тела,

\vec{M} — сумма моментов внешних сил в исходной инерциальной системе отсчета.

В случае плоскопараллельного движения осесимметричного тела вокруг фиксированной оси получим из (1.12.12) уравнение

$$J_z \frac{d\omega}{dt} = M_z. \quad (1.12.13)$$

1.12.1. Палка AB движется в вертикальной плоскости (рис. 1.12.1 *a*). Величина скорости точки A , направленной вдоль палки, $v_A = v_0/\sqrt{2}$; величина скорости середины палки $v_C = v_0$. Найдите величину скорости v_B точки B .

1.12.2. В вертикальной плоскости движется стержень AB (рис. 1.12.2*a*). Скорости \vec{v}_A , \vec{v}_B точек A и B образуют углы $\pi/4$ с прямой, на которой находится стержень. Величины скоростей $v_A = v_B = v_0$. Найдите величину скорости v_C точки C — середины стержня.

1.12.3. Кусок фанеры в форме равностороннего треугольника ABC движется в вертикальной плоскости. В некоторый момент времени сторона AC находится на вертикали. Скорость точки B направлена по горизонтали. Скорость точки A образует прямой угол с отрезком AK , перпендикулярным основанию треугольника (рис. 1.12.3). Модуль скорости $v_A = v_0$. Найдите модуль скорости \vec{v}_C .

1.12.4. Обруч радиусом R движется в вертикальной плоскости xy . В некоторый момент времени скорости концов диаметра ac лежат в вертикальной плоскости перпендикулярно диаметру (рис. 1.12.4). Проекции скоростей $v_{ax} = 3v_0$, $v_{cx} = 4v_0$. Найдите величины скоростей v_d , v_b концов диаметра db , перпендикулярного ac и расстояние h от центра обруча C до мгновенной оси вращения.

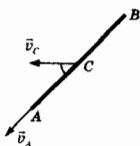


Рис. 1.12.1 *a*

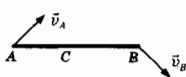


Рис. 1.12.2 *a*

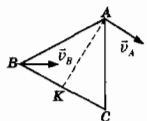


Рис. 1.12.3

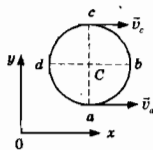


Рис. 1.12.4

1.12.5. Лист фанеры движется в пространстве.

A. В некоторый момент времени скорости двух точек листа a и b перпендикулярны плоскости листа, $\vec{v}_a = \vec{v}_b = \vec{v}$. Скорость точки c на расстоянии l от отрезка ab равна $\vec{v}_c = 2\vec{v}$. Найдите геометрическое место множества точек k листа, имеющих скорость $\vec{v}_k = 3\vec{v}$.

B. В некоторый момент времени скорости двух точек листа a и b лежат в плоскости листа, $\vec{v}_a = \vec{v}_b = \vec{v}$. Величина скорости точки c на расстоянии l от середины отрезка ab равна $2v$. Найдите геометрическое место множества точек k листа, имеющих скорость $\vec{v}_k = 3\vec{v}$.

1.12.6. Катер, движущийся со скоростью $v_1 = 10$ м/с буксирует спортсмена на водных лыжах. Угол между скоростями катера и спортсмена $\alpha = \pi/3$. Найдите величину скорости спортсмена v_2 .

1.12.7. Равносторонний треугольник движется в вертикальной плоскости. В некоторый момент времени величина скорости точки A равна $v_a = 2u$, величина скорости точки B равна $v_b = u$, $u = 2$ м/с. Скорость центра треугольника \vec{v}_0 направлена параллельно стороне CB (рис. 1.12.7а). Найдите величину скорости v_0 .

1.12.8. Стержень OA , вращающийся вокруг горизонтальной оси, проходящей через точку O , соединен шарниром со стержнем AB . Конец стержня B связан шарниром с ползуном, движущемся по горизонтальной направляющей прямой (рис. 1.12.8). Длина каждого стержня R , скорость точки B постоянная величина $v_{Bx} = -v_0$. Найдите ускорение точки A , когда стержни образуют прямой угол.

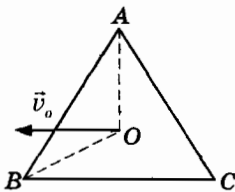


Рис. 1.12.7 а

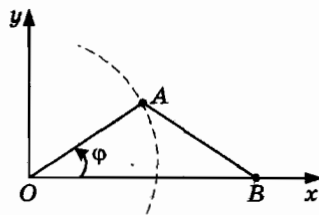


Рис. 1.12.8

1.12.9. На рис. 1.12.9а изображен груз, прикрепленный к невесомой, нерастяжимой нити, перекинутой через три блока. Массы грузов m_1 и m_2 , $2m_1 > m_2$. Блоки B и C невесомы, масса блока A равна m , осевой момент инерции блока $J = mR^2/2$, R — радиус блока. Найдите проекции ускорений грузов и блока B — a_1 , a_2 , a на числовую ось;

направленную вертикально вниз. Исследуйте предельный случай $m \gg m_1, m_2$.

1.12.10. Две частицы масс m_1 и m_2 закреплены на концах невесомого стержня длиной l . Эта система движется в однородном поле тяжести. Начальное значение относительной скорости частиц v_0 . Найдите величину сил реакций N , действующих на частицы.

1.12.11. Тонкий обруч раскрутили вокруг оси, проходящей через центр перпендикулярно плоскости обруча, и положили на шероховатую горизонтальную плоскость. Радиус обруча R , коэффициент трения обруча о плоскость μ . Начальная угловая скорость $\omega(0) = \omega_0$. Найдите промежуток времени τ , через который обруч остановится и полное число оборотов N до остановки.

1.12.12. На шероховатые тонкие ободы двух дисков, центры которых расположены на одной вертикали, натянута невесомая нить. К нити прикреплена частица массой m (рис. 1.12.12). Масса обода M , массой дисков можно пренебречь. Найдите величину ускорения частицы a .

1.12.13. Невесомый стержень длиной l с частицами на концах масс $m_1 = m_2 = m$ скользит в вертикальной плоскости по сторонам прямого двухгранного угла (рис. 1.12.13). В момент времени $t = 0$ стержень находился в вертикальном положении. Найдите скорость центра масс \vec{v} (φ) и силы реакции \vec{N}_1 (φ) и \vec{N}_2 (φ).

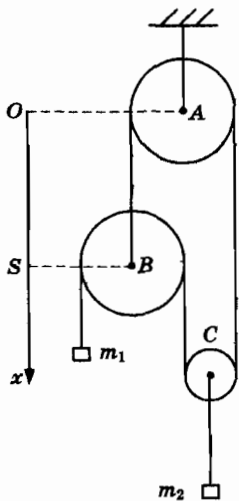


Рис. 1.12.9 а

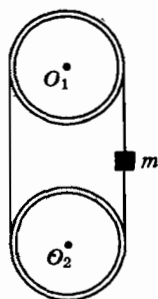


Рис. 1.12.12

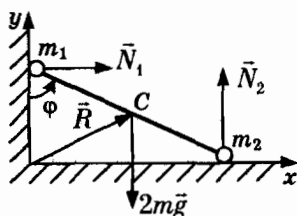


Рис. 1.12.13

1.12.14–1.12.16. Физический маятник. Однородный стержень длиной s , массой m может вращаться вокруг горизонтальной оси z .

1.12.14. Найдите силу реакции, действующую на стержень $\vec{N}(\varphi)$, где φ — угол отклонения стержня от вертикали.

1.12.15. Покажите, что частота линейных колебаний стержня $\Omega = (3g/2s)^{1/2}$.

1.12.16*. Удар стержня о преграду. Центр удара. Закрепим тонкий прут параллельно оси z и пересекающий плоскость xy в точке C с координатами $x_c = h, y_c = 0$ (рис. 1.12.16). Найдите значение h , при котором при ударе поперечная компонента силы реакции обращается в нуль.

1.12.17. Два однородных, жестко скрепленных стержня длиной a и b , могут вращаться вокруг горизонтальной оси, проходящей через торец стержня длиной b (рис. 1.12.17). Найдите частоту линейных колебаний системы.

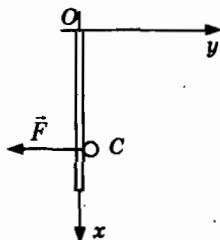


Рис. 1.12.16

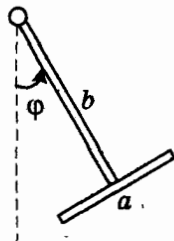


Рис. 1.12.17

1.12.18–1.12.20. Устойчивость Ваньки–Встаньки. Кукла–неваляшка представляет собой две скрепленные сферы радиусов a и b , $a > b$. В нижней части «туловища» — сферы радиусом a — закреплен массивный сферический сегмент. Масса куклы m , центр тяжести расположен на оси симметрии на расстоянии $h < a$ от поверхности основания. Кукла находится на шероховатой горизонтальной плоскости.

1.12.18. Найдите условие устойчивости куклы.

1.12.19*. Найдите частоту линейных колебаний куклы — неваляшки Ω . Момент инерции системы относительно оси, проходящей через центр масс перпендикулярно осевому сечению куклы — J .

1.12.20*. Куклу поставили на шероховатую наклонную плоскость, расположенную под углом α к горизонтальной плоскости.

Найдите предельное значение угла φ_m между вертикалью и осью симметрии куклы, при котором реализуется состояние равновесия.

1.12.21*. На рис 1.12.21а изображена модель машины, представляющая собой раму, на которой закреплен мотор и ось O колеса. Вращающаяся на вале мотора насадка действует на обод колеса с силой трения \vec{F} . Радиус колеса — a , расстояние от оси колеса до точки приложения силы \vec{F} равно a , масса колеса — m ; масса рамы и мотора — M . Расстояние от оси колеса до центра масс C рамы с мотором $OC = OA/4$, угол между плоскостью рамы и горизонтальной плоскостью α . Коэффициент трения между поверхностью обода колеса и дорогой — μ , между точкой A касания рамы и дороги — μ' .

А. Запишите закон изменения кинетической энергии машины.

Б. Найдите условия, при которых машина движется с постоянным ускорением.

1.12.22*. Переход скольжения в качение. В художественной гимнастике известен красивый элемент — гимнастка бросает в горизонтальном направлении обруч, который через несколько секунд катится в обратном направлении и возвращается к ней. Масса обруча m , радиус a . Введем систему координат xuz , в которой шероховатая горизонтальная плоскость задана уравнением $y = 0$. Скорость центра масс C диска $\vec{v}(t) = (v, 0, 0)$, угловая скорость $\vec{\omega}(t) = (0, 0, \omega)$ (рис. 1.12.22). Начальные значения $v(0) = v_0 > 0$, $\omega(0) = \omega_0 > v_0/a$ — обруч раскручен в положительном направлении. Найдите решение уравнений движения.

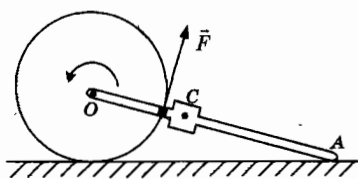


Рис. 1.12.21 а

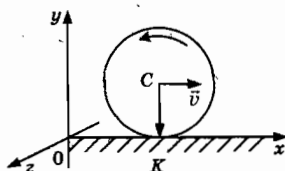


Рис. 1.12.22

1.12.23. Движение катушки ниток по плоскости. Катушка ниток находится на шероховатой горизонтальной плоскости. К нити приложена постоянная сила \vec{F} (рис. 1.12.23а). Шероховатая горизонтальная плоскость задана уравнением $y = 0$. Скорость центра масс катушки $\vec{v}(t) = (v, 0, 0)$ и угловая скорость $\vec{\omega}(t) = (0, 0, \omega)$. Проведите анализ режимов скольжения и качения катушки (m — масса катуш-

ки, b — радиус бобины, a — радиус обода, осевой момент инерции катушки — J_c).

1.12.24–1.12.25. По шероховатой наклонной плоскости клина, образующей угол α с горизонтальной плоскостью, катится без проскальзывания обруч массой m , радиусом a .

1.12.24. Грань клина прилегает к вертикальной стенке (рис. 1.12.24а). Найдите величину ускорения центра масс a_c и величину силы давления клина G на стенку.

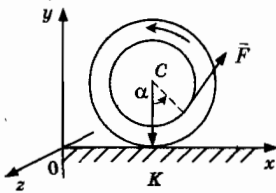


Рис. 1.12.23а

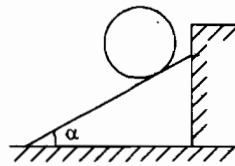


Рис. 1.12.24а

1.12.25. Клин массой m находится на гладкой горизонтальной плоскости. В начальный момент времени скорости клина и обруча равны нулю. Найдите скорость клина $u_y = u$ в виде функции $u = f(s)$, где s — путь, пройденный обручем.

1.12.26*. Быстрый волчок. Раскрутим осесимметричное тело — волчок массой m вокруг оси симметрии до угловой скорости ω_{30} и поставим его на шероховатую плоскость так, что ось и вертикаль образуют угол θ (рис. 1.12.26). Осевой момент инерции волчка J_3 , расстояние от основания волчка до центра масс R_0 . Если кинетическая энергия волчка много больше потенциальной энергии, то ось волчка начинает вращаться вокруг вертикали. Найдите угловую скорость $\vec{\Omega}$ вращения оси волчка.

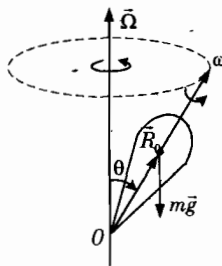


Рис. 1.12.26

1.12.27*. Гирскопический момент. Гирскоп — симметричное тело, вращающееся вокруг оси симметрии, закрепленной на неподвижном или движущемся объекте. Горизонтально расположенная ось гироскопа массой m закреплена на двух подшипниках в точках a и b , со стороны которых действуют силы реакции \vec{N}_a и \vec{N}_b (рис.1.12.27). Осевой момент инерции гироскопа J_z . Проекция угловой скорости вращения гироскопа ω_z вокруг оси z' намного больше величины угловой скорости движения объекта $\vec{\Omega}$. Найдите соотношение между угловой скоростью $\vec{\Omega}$ и силами реакции.

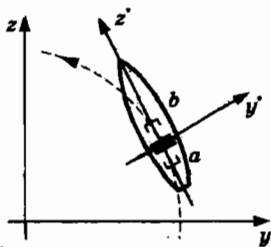


Рис. 1.12.27

1.12.28*–1.12.29*. Силы реакции, возникающие при поворотах объекта. Ось турбины расположена вдоль оси корабля (см. рис. 1.12.27).

1.12.28*. Найдите силы реакции при килевой качке корабля с угловой скоростью $\vec{\Omega}(t)$.

1.12.29*. Корабль выполняет поворот по окружности радиусом R с постоянной угловой скоростью $\vec{\Omega}$. В подвижной системе $\vec{\Omega} = (\Omega, 0, 0)$. Найдите силы давления на подшипники турбины.

Глава II. МОЛЕКУЛЯРНАЯ ФИЗИКА. ТЕРМОДИНАМИКА

2.1. Идеальный газ. Термодинамические процессы

Число Авогадро. Один моль любого элемента содержит одинаковое число атомов (или моль молекулярного соединения — одинаковое число молекул) $N_A = 6,022 \cdot 10^{23}$ моль⁻¹.

Абсолютная температура. В классической теории абсолютная температура системы в *состоянии теплового равновесия* вводится соотношением

$$E_{cp} = 3kT/2, \quad (2.1.1)$$

где E_{cp} — среднее значение кинетической энергии поступательного движения молекулы как целого,

$$k = 1,38 \cdot 10^{-23} \text{ Дж/К} — \text{ постоянная Больцмана.}$$

Обычный нуль шкалы Цельсия находится при $T_0 = 273,15\text{К}$: $T(\text{К}) = 273,15 + t^\circ\text{С}$. Произведение $kN_A = R$ называется *универсальной газовой (или молярной) постоянной*, $R = 8,314 \text{ Дж}/(\text{моль} \times \text{К})$.

Уравнение состояния. Уравнение состояния идеального газа в тепловом равновесии можно представить в эквивалентных формах

$$pV/T = mR/M, \quad (2.1.2)$$

$$\rho = Mp/(RT), \quad (2.1.3)$$

$$pV = \nu RT, \quad (2.1.4)$$

где m — масса газа,

M — молярная масса,

$\nu = m/M$ — число молей газа,

ρ — плотность.

Среднеквадратичная скорость молекулы следует из (2.1.1):

$$v_{ck} = (3RT/M)^{1/2} \text{ или } v_{ck} = \sqrt{3p/\rho}. \quad (2.3.5)$$

Закон Дальтона. В состоянии теплового равновесия давление смеси идеальных газов равно сумме парциальных давлений каждой компоненты.

Уравнение процесса. Уравнение процесса можно задать функцией, связывающей две из трех переменных p , V , T .

2.1.1. Размеры атомов. Оцените размер атома золота L . Молярная масса $M = 0,197$ кг/моль, плотность $\rho = 19,32 \times 10^3$ кг/м³.

2.1.2. Сколько молей кислорода ν_0 содержится в одном моле воды?

2.1.3. Наиболее точное взвешивание можно произвести с точностью до 10^{-8} г. Сколько атомов содержится в крупинке железа массой $m = 10^{-8}$ г?

2.1.4. Найдите массу $6,022 \times 10^{23}$ молекул CO.

2.1.5. При нормальных условиях (температура $t = 0^\circ\text{C}$, давление $p = 101,3$ кПа) один моль любого газа занимает объем $V = 22,4$ л. Получите соотношение, связывающее числа Лшмидта и Авогадро.

2.1.6. Установлено, что в результате соединения двух объемов водорода массой $m_1 = 1$ г с одним объемом кислорода массой $m_2 = 8$ г образуются два объема водяного пара массой $m_3 = 9$ г. Докажите, что молекула кислорода состоит из четного числа атомов. Найдите отношения масс молекул кислорода и воды к массе молекулы водорода.

2.1.7. Распад и синтез молекул. В результате химической реакции «синтеза» два моля водорода и моль кислорода образуют два моля воды и выделяется энергия 136,6 ккал (*калория* — внесистемная единица энергии, 1 кал = 4,1868 Дж). Эту реакцию можно записать в виде $\text{H}_2 + \text{O}_2/2 = \text{H}_2\text{O} + 2,963$ эВ. Определите величину энергии Q , которую необходимо сообщить молю воды для реализации обратной реакции — разложения молекул воды.

2.1.8. Полная энергия двух свободных атомов водорода $E_1 > 0$. В связанном состоянии, соответствующем устойчивой молекуле водорода, полная энергия $E_0 = -4,48$ эВ < 0 (1 эВ — внесистемная единица энергии, 1 Дж = $6,24 \cdot 10^{18}$ эВ). Согласно закону сохранения полной энергии изолированной системы два свободных атома водорода никогда не смогут образовать молекулу. Как же образуются молекула водорода?

2.1.9. Вы читали произведение Рэя Бредбери «451° по Фаренгейту»? Получите соответствующее значение температуры в шкале Цельсия. Что происходило при этой температуре?

2.1.10. При какой температуре показания по шкалам Фаренгейта и Цельсия одинаковы?

2.1.11. Почему из уравнения состояния идеального газа $p = \rho RT/M$ следует завышенное значение давления?

2.1.12. Макросистема находится в состоянии теплового равновесия. Выберите верное утверждение из приведенных здесь фрагментов, дословно взятых из учебников физики.

А. Законы Бойля-Мариотта и Гей-Люссака представляют собой частные случаи уравнения состояния идеального газа.

Б. Соотношение $p = knT$, где n – концентрация молекул газа, является математическим выражением результатов экспериментальных исследований.

В. Температура — характеристика равновесного состояния макроскопической системы.

Г. Молекулы идеального газа не взаимодействуют друг с другом, за исключением коротких интервалов времени, когда они сталкиваются.

Д. Кинетическая энергия молекул в твердом теле значительно меньше потенциальной энергии их взаимодействия.

2.1.13. Два газа, массы молекул которых равны m_1 и m_2 ($m_1 < m_2$), находятся в двух сосудах. Температуры газов соответственно равны T_1 и T_2 ($T_1 < T_2$). Затем сосуды соединяют. Найдите отношение среднеквадратичных скоростей молекул после установления состояния теплового равновесия.

2.1.14. Среднеквадратичная скорость молекул азота при температуре $t = 27^\circ\text{C}$ равна 516 м/с, кислорода — 484 м/с, водорода — 1934 м/с. Сравните среднеквадратичные скорости молекул со второй космической скоростью $v_{II} = 11,19$ км/с. Будут ли удерживаться газы водорода, азота и кислорода в атмосфере Земли?

2.1.15. Может ли жидкость быть идеально однородной?

2.1.16. Найдите молярную плотность газа — число молей газа в единице объема $\nu/V = \rho/M$ при нормальных условиях. Объясните, почему молярные плотности идеальных газов имеют одно и то же значение.

2.1.17. Смесь водорода и кислорода массой $m = 18$ г занимает объем $V = (3/2)V_0$, $V_0 = 22,4$ л при температуре $t = 0^\circ\text{C}$ и нормальном атмосферном давлении $p = p_0$. Определите массу водорода, кислорода и молярное содержание смеси.

2.1.18. В баллоне объемом $V = 3$ м³ содержится газ при температуре $T = 450$ К и давлении $p = 2 \cdot 10^5$ Па. Найдите объем газа V_0 при температуре $T_0 = 300$ К и давлении $p_0 = 10^5$ Па.

2.1.19. В реакции $XU_2 = X + 2U$ все вещества являются идеальными газами. Сосуд вначале содержал $\nu_1 = 1$ моль вещества XU_2 при температуре $T_1 = 300$ К и давлении $p_1 = 1,25p_0$, где p_0 — нормальное давление. Затем в сосуд был введен катализатор разложения. После

достижения равновесия давление смеси достигло значения $p_2 = 2p_0$ при температуре $T_2 = 360$ К. Найдите количество молей ν_2 прореагировавшего вещества XY_2 .

2.1.20. С достаточной точностью примем, что на долю кислорода и азота приходится соответственно $f_1 = 0,21$ и $f_2 = 0,79$ массы тропосферы (от греч. *tropos* — поворот) — прилегающего к Земле слоя воздуха толщиной порядка 11 км. Найдите парциальное давление кислорода при давлении p .

2.1.21–2.1.22. На рис. 2.1.21 изображена диаграмма цикла в координатах pV , проведенного с ν молями идеального газа.

2.1.21. В состояниях a и b температуры газа равны соответственно T_a и T_b . Найдите температуру газа в состоянии c .

2.1.22. Изобразите диаграмму цикла в координатах VT ($p_2 = 2p_1$, $V_2 = 2V_1$, $p_1 = p_0$, $V_1 = V_0$, $p_0 V_0 = \nu RT_0$).

2.1.23–2.1.24. На рис. 2.1.23 изображена pV -диаграмма цикла в координатах pV , проведенного с ν молями идеального газа. $T_a = T_0$ — температура газа в состоянии a , отношение максимальной и минимальной температур в цикле $T_{\max}/T_{\min} = 4$.

2.1.23. Найдите температуру газа T_b и T_c в состояниях b и c .

2.1.24. Изобразите диаграмму цикла в координатах VT ($p_2 = 2p_1$, $V_2 = 2V_1$, $p_1 = p_0$, $V_1 = V_0$, $p_0 V_0 = \nu RT_0$).

2.1.25. На рис. 2.1.25 изображен график циклического процесса $a-b-c-a$ в координатах давление-температура. Рабочее тело — идеальный газ. Найдите отношение k максимального объема к минимальному объему.

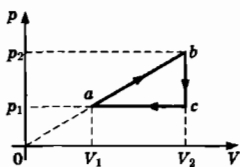


Рис. 2.1.21

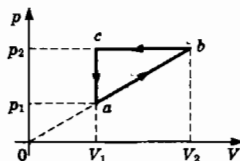


Рис. 2.1.23

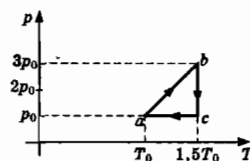


Рис. 2.1.25

2.1.26. Смесь газов содержит два идеальных газа: ν_1 молей газа молярной массой M_1 и ν_2 молей газа молярной массой M_2 . Найдите молярную массу смеси M .

2.1.27–2.1.29. На рисунке 2.1.27 изображена pV -диаграмма цикла $a-b-c-d-a$, проведенного с ν молями газа; $p_0 V_0 = \nu RT_0$.

2.1.27. Найдите температуры газа в состояниях a, b, c, d .

2.1.28. Изобразите диаграмму цикла в координатах pT .

2.1.29. Изобразите диаграмму цикла в координатах VT .

2.1.30. При проведении процесса $p = \text{const}/V^2$ идеальный газ переходит из состояния $T_1 = T_0, V_1 = V_0$ в состояние $V_2 = 2V_0$ и температурой T_2 . Найдите значение T_2 .

2.1.31. На рис. 2.1.31 изображен циклический процесс в координатах VT . Найдите на диаграмме состояние газа, в котором давление имеет наибольшее значение.

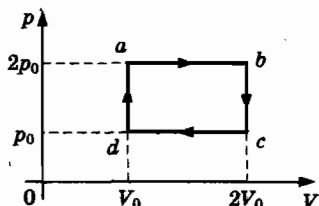


Рис. 2.1.27

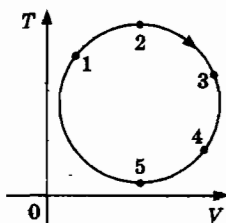


Рис. 2.1.31

2.1.32. Найдите зависимость температуры газа от объема $T = T(V)$ при адиабатическом процессе.

2.1.33. На рис. 2.1.33а изображен график процесса $a-b-c-d$ в координатах давление-температура. Рабочее тело — идеальный газ. Изобразите диаграмму процесса в координатах pV .

2.1.34–2.1.35. На рисунке 2.1.34а изображена pV диаграмма цикла $a-b-c-a$, проведенного с ν молями газа. Параметры a, b, c состояний $p_1 = p_0/2, p_2 = p_0, V_1 = V_0, V_2 = 2V_0$ удовлетворяют условию $p_0 V_0 = \nu R T_0$.

2.1.34. Представьте диаграмму цикла в координатах (T, p) .

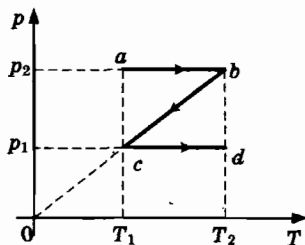
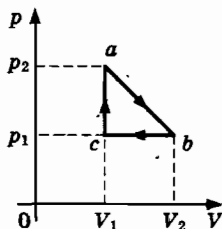


Рис. 2.1.33 а



2.1.34 а

2.1.35. Определите максимальное значение температуры газа T_m в циклическом процессе.

2.1.36. На рисунке 2.1.36а изображена pV диаграмма цикла $a-b-c-a$, проведенного с ν молями газа. Параметры состояния $a - p_a = 3p_0/4$, $V_a = 3V_0/2$, состояния $b - p_b = p_0/2$, $V_b = 2V_0$, состояния $c - p_c = p_0/2$, $V_c = V_0$; $p_0V_0 = \nu RT_0$. Представьте диаграмму цикла в координатах (T, p) .

2.1.37. В камере объемом $V = 6$ л давление воздуха $p_1 = 0,1$ МПа. Найдите промежуток времени τ , необходимый для того, чтобы накачать в камеру воздух до давления $p_2 = 0,5$ МПа, если при каждом цикле насос захватывает из атмосферы воздух объемом $V_0 = 0,5$ л. Длительность одного цикла $\tau_0 = 0,1$ с, температура воздуха постоянна. Все процессы изотермические.

2.1.38–2.1.39. Тонкостенный цилиндрический стакан высотой $a = 11,96$ см закрыт невесомым поршнем, который может скользить без трения по внутренней поверхности. Внутри стакана находится воздух при атмосферном давлении $p_0 = 100$ кПа. Вначале стакан плавает в воде, погрузившись на глубину $b = 10$ см (рис. 2.1.38а).

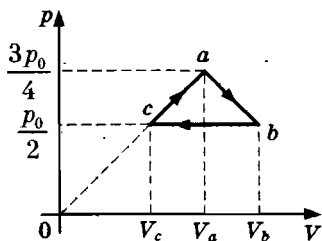


Рис. 2.1.36 а

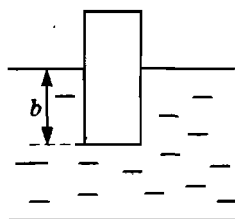


Рис. 2.1.38 а

2.1.38. Предположим, что сжатие воздуха представляет собой изотермический процесс. На какую максимальную глубину H можно погрузить стакан, чтобы он еще плавал?

2.1.39. Погрузим стакан на глубину $H_1 = 2,6$ м. Найдите приращение атмосферного давления Δp , необходимое для того чтобы стакан всплыл?

2.1.40. Температура воды в сосуде $t_2 = 20$ °С. Стакан нагрели до температуры $t_1 = 100$ °С и приложили открытым торцом к поверхности воды. Длина стакана $L = 10$ см, площадь поперечного сечения $S = 40$ см². Найдите массу воды m , втянутой в стакан, после установления теплового равновесия при температуре t_2 .

2.1.41. Начальная температура воздуха в медицинской банке, прикладываемой к телу, $t_1 = 80^\circ\text{C}$. Температура в комнате $t_2 = 20^\circ\text{C}$. Атмосферное давление $p_0 = 100$ кПа. Найдите величину силу, действующую на тело со стороны ободка банки радиусом $R = 2$ см.

2.1.42. Одинаковые массы водорода и гелия находятся в сосуде объемом V_1 , который отделен от пустого сосуда объемом V_2 полупроницаемой перегородкой, пропускающей только молекулы водорода. После установления равновесия давление в первом сосуде уменьшилось в два раза. Найдите отношение V_2/V_1 .

2.1.43. Внутри цилиндрической трубки находится поршень, плотно прилегающий к поверхности. В начальном состоянии поршень находился на расстоянии a от торца трубки. Открытый торец трубки приложили к поверхности воды и сместили поршень на величину b . Величины $b, a \ll H, H = p_0/\rho g, p_0$ — атмосферное давление. Найдите высоту столба воды h в трубке.

А. Переход воздуха в конечное состояние представляет собой изотермический процесс.

Б. Переход воздуха в конечное состояние представляет собой адиабатический процесс $pV^\gamma = \text{const}$.

2.1.44. В воде на глубине h образовался сферический пузырек радиусом a , заполненный воздухом. С максимальной степенью точности всплытие пузырька представляет собой адиабатический процесс. Найдите радиус пузырька r на глубине x .

2.1.45. На рисунке 2.1.45 изображена pV диаграмма цикла $a-b-c$, проведенного с ν молями одноатомного газа. Точки b и a принадлежат адиабате. Параметры $p_1 = p_0, V_1 = V_0, V_2 = 8V_0$, удовлетворяют условию $p_0 V_0 = \nu RT_0$.

А. Найдите температуру газа в состоянии b .

Б. Найдите температуру T_a и давление p_a в состоянии a .

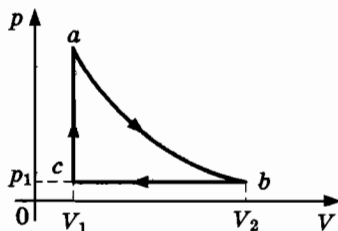


Рис. 2.1.45

2.1.46. В баллоне объемом $V = 22,4$ л содержится водород при температуре $t = 0$ °С и давлении $p = 10^6$ Па. Найти массу Δm водорода, выпущенного из баллона, если при сгорании оставшегося водорода образовалось $m_w = 36$ г воды.

2.1.47. В баллоне содержится водород при температуре $T_1 = 300$ К, и давлении $p_1 = 100$ кПа. Баллон нагревают до температуры $T_2 = 9000$ К, при которой водород полностью распадается. Найдите давление атомарного водорода p_2 .

2.1.48. В сосуде находится кислород при давлении p_1 . В результате электрического разряда половина молекул распалась на атомы, а температура возросла в два раза. Найдите давление газа p_2 .

2.1.49*–2.1.50* Невесомый поршень может скользить по гладкой внутренней поверхности вертикально расположенного цилиндра высотой L , сечением $S = 98$ см². Начальная температура воздуха $T_0 = 300$ К, атмосферное давление $p_0 = 100$ кПа. Цилиндр герметически закрыли поршнем и поставили на него груз массой $m = 73$ кг. В начальном состоянии плоскость поршня расположена на расстоянии L от дна цилиндра. При движении поршня реализуется процесс $pV^{3/2} = \text{const}$.

2.1.49*. Найдите значение температуры T_2 в момент времени, соответствующий прохождению поршнем положения равновесия и границы движения поршня.

2.1.50*. Найдите частоту линейных колебаний поршня в окрестности положения равновесия.

2.1.51*–2.1.52*. Невесомый поршень может скользить по гладкой внутренней поверхности вертикально расположенного цилиндра сечением S . На поршне находится груз массой m . При движении поршня реализуется адиабатический процесс $pV^\gamma = \text{const}$. В начальном состоянии плоскость поршня расположена на расстоянии h_0 от дна цилиндра. Начальная температура воздуха T_0 , атмосферное давление p_0 .

2.1.51*. Найдите частоту линейных колебаний поршня в окрестности положения равновесия.

2.1.52*. Плоскость поршня переместили вниз из положения равновесия на величину A . Найдите зависимость температуры воздуха от времени.

2.1.53*. Истечение газа через отверстие. В равновесном состоянии газ в сосуде объемом V находится в вакууме. Рассмотрим истече-

ние газа через небольшое отверстие в стенке, не нарушающее равновесное состояние. Площадь отверстия — S . Среднее значение компоненты скорости молекулы, перпендикулярной поверхности стенки $\langle v_z \rangle = \langle v \rangle / 4$, где $\langle v \rangle = (8kT/\pi m)^{1/2}$ — среднее значение величины скорости молекулы, $v_z > 0$. В начальном состоянии число молекул в сосуде $N(0) = N_0$. Получите уравнение, решение которого позволит определить число молекул в сосуде $N(t)$ в момент времени t .

2.2. Первый закон термодинамики

В термодинамике приращение внутренней энергии представляют в виде двух слагаемых:

$$U_2 - U_1 = Q_{12} + A_{12}, \quad (2.2.1)$$

где A_{12} — часть приращения, называется работой, совершаемой внешними силами над системой,

Q_{12} — часть приращения, не связанная с изменением объема, называется количеством теплоты, переданной системе внешней средой.

Соответственно работа, совершаемая системой над внешними телами $A'_{12} = -A_{12}$; количество теплоты, переданной системой окружающей среде $Q'_{12} = -Q_{12}$.

Элементарная работа δA , совершаемая внешними силами при бесконечно малом приращении объема ΔV в интервале $(V, V + \Delta V)$:

$$\delta A = -p(V)\Delta V. \quad (2.2.2)$$

Для того чтобы найти функцию $p = p(V)$, необходимо использовать уравнение процесса и уравнение состояния. Вычисляя сумму (2.2.2) по всем элементарным процессам, получим значение работы при конечном изменении объема.

При бесконечно малом изменении объема и температуры первый закон термодинамики (2.2.1) можно представить в виде

$$\Delta U = \delta Q - p(V)\Delta V, \quad (2.2.3)$$

где δQ — элементарное количество теплоты, переданное системе внешней средой.

Отношение $c = \delta Q/(m\Delta T)$ называют удельной теплоемкостью системы. Эта величина, как и δQ , зависит от процес-

са. Молярная теплоемкость $C = \delta Q / (v\Delta T)$. Молярная теплоемкость одноатомного газа при постоянном объеме — $C_V = 3R/2$, двухатомного — $C_V = 5R/2$. Молярные теплоемкости при постоянном объеме и постоянном давлении связаны соотношением $C_p = C_V + R$.

Закон Дюлонга и Пти. В 1819 г. французские ученые П.Л. Дюлонг и А. Пти экспериментально установили закон: молярная теплоемкость большинства твердых тел

$$C_V = 3R = 25 \text{ Дж}/(\text{К} \cdot \text{моль}).$$

Внутренняя энергия идеального газа $U = mc_V T$, где c_V — удельная теплоемкость при постоянном объеме или $U = vC_V T$.

Строгое определение количества теплоты $\delta Q = T\Delta S$, где S — энтропия системы. Поэтому в рамках курса физики средней школы количество теплоты можно определить только из первого закона термодинамики.

Закон излучения абсолютно черного тела. Если температура черного тела $T > 0$, то каждый элемент его объема излучает электромагнитные волны всех частот. Согласно закону Стефана—Больцмана интенсивность излучения

$$J = \sigma T^4. \quad (2.2.4)$$

Размерность J — Вт/м², $\sigma = 5,67 \times 10^{-8}$ Вт/(м² · К⁴).

2.2.1. Работа при изотермическом процессе. Найдите работу A'_{12} , совершаемую газом при изотермическом процессе при изменении объема от значения V_1 до V_2 .

2.2.2. Работа при адиабатическом процессе. Найдите работу A'_{12} , совершаемую газом при адиабатическом процессе при изменении объема от значения V_1 до V_2 .

2.2.3. Выберите верное утверждение из приведенных здесь фрагментов, дословно взятых из учебников и пособий по физике:

А. Макроскопические тела обладают еще и внутренней энергией, заключенной внутри самих тел.

Б. Причина изменения температуры в процессе сжатия состоит в следующем: при движении навстречу молекулам поршень передает им во время столкновений часть своей механической энергии, в результате чего газ нагревается.

В. Термодинамическая работа, совершаемая внешней средой и количество теплоты, переданное системе, зависят от уравнения процесса.

Г. Внутренняя энергия газа, содержащего N молекул, в N раз больше энергии одной молекулы.

2.2.4. Внутренняя энергия идеального одноатомного газа $U = 300$ Дж. Газ занимает объем $V = 2$ л. Найдите давление газа.

2.2.5. Состояние идеального газа задается значениями температуры и давления. Определите состояние, в котором внутренняя энергия газа имеет наибольшее значение.

А. $T_0, 5p_0,$

Б. $T_0, 2p_0,$

В. $2T_0, p_0,$

Г. $T_0, p_0,$

Д. $T_0, 10p_0.$

2.2.6. Найдите приращение внутренней энергии воздуха в комнате, если после включения нагревателя температура возросла от значения T_1 до T_2 .

2.2.7. Найдите правильное утверждение: при расширении газа в адиабатическом процессе

1. Газу сообщили количество теплоты
2. Температура газа понижается.
3. Внешние тела совершают над газом положительную работу.
4. Приращение внутренней энергии положительно.
5. Внутренняя энергия газа не изменяется.

2.2.8. Найдите правильное утверждение: при увеличении объема газа в изотермическом процессе

1. Внутренняя энергия газа возросла.
2. Газу сообщили количество теплоты.
3. Работа, совершаемая внешними телами, положительна.
4. Давление увеличивается.
5. Внутренняя энергия газа уменьшилась.

2.2.9. Найдите правильное утверждение: в процессе изотермического расширения:

А. $Q < 0, A' > 0,$

Б. $Q = 0, A' > 0,$

В. $Q = 0, A' < 0,$

Г. $Q > 0, A' > 0,$

Д. $\Delta U > 0, A' > 0.$

2.2.10. Найдите правильное утверждение: в процессе адиабатического расширения:

- А. $Q < 0, A' > 0,$
- Б. $\Delta U = 0, A' > 0,$
- В. $\Delta U < 0, A' < 0,$
- Г. $\Delta U > 0, A' > 0,$
- Д. $\Delta U < 0, A' > 0.$

2.2.11. На рис. 2.2.11 изображен график процесса $a-b$ в координатах давление–объем. Найдите количество теплоты Q , переданное газу при переходе из состояния p_0, V_0 в состояние $p_0/2, 2V_0$.

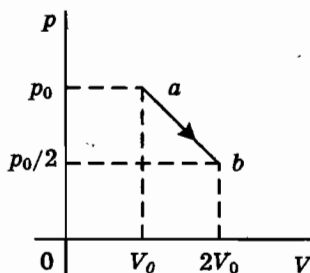


Рис. 2.2.11

2.2.12. А. Идеальный двухатомный газ находится в сосуде объемом $V = 2$ л при давлении $p_1 = 2p_0$, где $p_0 = 10^5$ Па — атмосферное давление. Найдите количество теплоты Q' , переданное внешней среде при изохорическом изменении давления до значения $p_2 = p_0$.

Б. При изохорическом нагревании давление газа увеличилось на $\Delta p = 500$ кПа. Определите конечное значение давления p_3 , если абсолютная температура газа возросла 1,5 раза.

2.2.13. В некотором процессе объем и давление увеличились в два раза. Найдите отношение внутренней энергии в конечном и начальном состояниях U_2/U_1 .

2.2.14. При изобарическом нагревании азота массой $m = 0,56$ кг до температуры $T_2 = 370$ К газ совершил работу $A' = 16,6$ кДж. Найдите начальную температуру азота T_1 .

2.2.15–2.2.16. На рис. 2.1.27 изображена pV -диаграмма цикла $a-b-c-d-a$, проведенного с ν молями газа.

2.2.15. Найдите работу A' , совершаемую газом.

2.2.16. Найдите работу, совершаемую газом при проведении процесса $a-d-c-b-a$ в направлении, противоположном, указанному стрелками на рис. 2.1.27.

2.2.17–2.2.18. На рис. 2.1.34а изображена диаграмма цикла, проведенного с ν молями газа. Параметры a, b, c состояний $p_1 = p_0/2, p_2 = p_0, V_1 = V_0, V_2 = 2V_0$ удовлетворяют условию $p_0V_0 = \nu RT_0$.

2.2.17. Найдите работу, совершаемую газом в процессах $a-b, b-c, c-a, a-b-c-a$.

2.2.18. Найдите количество теплоты, переданное газу в процессах $a-b, b-c, c-a, a-b-c-a$.

2.2.19. На рис. 2.1.21 изображена pV -диаграмма цикла $a-b-c-a$, проведенного с ν -молями газа. Температуры в состояниях a и b равны соответственно T_a и T_b . Найдите работу A' , совершаемую газом в цикле.

2.2.20*–2.2.21*. В двух сосудах находятся $\nu_1 = 2$ моль и $\nu_2 = 3$ моль идеальных газов. Объемы и температуры газов соответственно равны $V_1 = 10$ л, $T_1 = T_0$ и $V_2 = 12,4$ л, $T_2 = 1,5T_0, T_0 = 273$ К. Затем сосуды соединяют и смесь газов переходит в равновесное состояние.

2.2.20*. Найдите температуру смеси газов T .

2.2.21*. Найдите давление в смеси газов p .

2.2.22. Поршень может скользить по гладкой внутренней поверхности горизонтально расположенного цилиндра, в двух половинах которого находятся равные массы воздуха в равновесном состоянии. Поверхность стенок и поршень обладают пренебрежимо малой теплопроводностью. В начальном состоянии давление и температура в каждой половине цилиндра — p_0 и T_0 . Воздух в левой половине цилиндра получил некоторое количество теплоты. В новом положении равновесия давление воздуха — p_k . Найдите значения температур воздуха T_1 и T_2 в левой и правой частях цилиндра.

2.2.23*. Давление воздуха в мяче радиусом $a = 10$ см равно $p_s = 2$ кПа. Масса мяча $m = 0,314$ кг. Мяч налетает на стенку со скоростью $u = 2$ м/с. Область контакта мяча со стенкой имеет форму круга, который является основанием деформированного шарового сегмента переменной высоты x (рис. 2.2.23). Оцените максимальное значение высоты сегмента h .

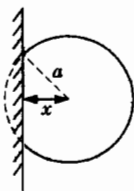


Рис. 2.2.23

2.2.24. Два одинаковых тела с температурами T_{10} и T_{20} образуют адиабатически замкнутую систему. Теплоемкости тел — C . Найдите конечную температуру этой системы, если она переходит в состояние равновесия:

А. свободно в изохорическом процессе,

Б. в обратимом процессе. Найдите максимальную работу, которую может совершить система.

2.2.25. В двух сосудах находятся ν_1 и ν_2 молей идеальных газов. Давления и температуры газов равны соответственно p_1, T_1 и p_2, T_2 . Затем сосуды соединяют и смесь газов переходит в равновесное состояние. Найдите температуру T и давление p смеси газов.

2.2.26*. Имеется нагреватель, температура которого $t_2 = 30^\circ\text{C}$. Газ необходимо перевести из состояния a с параметрами $p_1, V_1, t_1 = 20^\circ\text{C}$ в состояние b с параметрами $p_1, V_2 > V_1, t_2 = 30^\circ\text{C}$, не используя нагреватель для увеличения температуры. Изобразите диаграмму единственного возможного процесса перехода $a \rightarrow b$.

2.2.27. Найдите молярную теплоемкость C в процессе $p = kV$, где k — постоянный коэффициент.

2.2.28*. Молярные массы титана и молибдена соответственно равны $M_1 = 0,048$ кг/моль и $M_2 = 0,096$ кг/моль. Для нагревания $m_1 = 1$ кг титана на $\Delta T = 1$ К необходимо передать количество теплоты Q . Найдите количество теплоты q , необходимое для нагревания $m_2 = 1$ кг молибдена на $\Delta T = 1$ К.

2.2.29. Немногие знают, что писатель-фантаст А. Казанцев (1906–2002) был ученым, геологом, изобретателем и выдающимся шахматистом. В его романе «Пылающий остров» профессор М.И. Баков в условиях сибирской ссылки сумел с помощью весов и термометра определить молярную массу неизвестного «звездного вещества» — осколка Тунгуского метеорита, упавшего 30 июня 1908 г. Метеорит диаметром порядка 30 м разрушился на высоте 10 км. Предположим, что профессор опустил образец массой $m = 0,12$ кг в кипящую воду с температурой $t_k = 100^\circ\text{C}$, а потом перенес его в кружку с водой массой $m_w = 0,2$ кг при температуре $t_0 = 15^\circ\text{C}$. Вода нагрелась на $\Delta t = 1^\circ\text{C}$. Оценить молярную массу этого образца.

2.2.30. При нагревании ν молей водорода при постоянном давлении объем газа увеличился в два раза. Начальная температура T_0 . Найдите количество теплоты Q , переданное газу нагревателем.

2.2.31. При нагревании ν молей водорода при постоянном объеме давление газа увеличилось в три раза. Начальная температура T_0 . Найдите количество теплоты Q , переданное газу нагревателем.

2.2.32. На рис. 2.2.32 изображены графики двух процессов $a \rightarrow b$ и $a \rightarrow c$ в координатах давление-объем. Точки b и c лежат на изотерме. Найдите отношение работ $r = A'_{ac}/A'_{ab}$, совершаемых газом в процессах $a \rightarrow c$ и $a \rightarrow b$.

2.2.33. Вертикально расположенный теплоизолированный цилиндр, в котором находится воздух и нагреватель мощностью N , закрыт поршнем массой m . Найдите время τ подъема поршня на высоту H относительно начального положения после включения нагревателя. Теплоемкостью поршня и трением пренебречь. Процесс расширения воздуха — изобарический.

2.2.34. Горизонтально расположенный теплоизолированный цилиндр объемом V заполнен воздухом, разделенным на две части теплоизолированным поршнем. Одной части воздуха сообщают количество теплоты Q . Найдите приращение давления Δp после установления состояния теплового равновесия.

2.2.35. На рис. 2.2.35 изображен в координатах pT процесс $a-b$. Разность максимальной и минимальной температур — ΔT . Найдите работу A'_{ab} , совершенную ν моль газа в процессе $a-b$.

2.2.36. На диаграмме рис. 2.2.36 разности температур газа в состояниях c , a и b , одинаковы. В процессе $a-c$ газ получил количество теплоты Q_{ac} . Найдите количество теплоты Q_{ab} , переданное газу в процессе $a-b$.

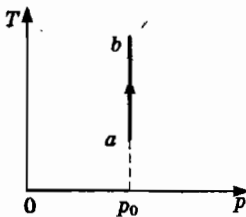


Рис. 2.2.35

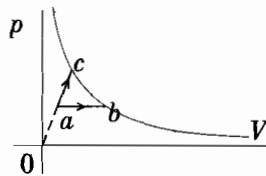


Рис. 2.2.36

2.2.37–2.2.39. На рисунке 2.1.36а изображена pV диаграмма цикла $a-b-c-a$, проведенного с ν молями газа. Параметры состояния $a - p_a = 3p_0/4$, $V_a = 3V_0/2$, состояния $b - p_b = p_0/2$, $V_b = 2V_0$, состояния $c - p_c = p_0/2$, $V_c = V_0$; $p_0V_0 = \nu RT_0$.

2.2.37. Найдите работу A' , совершенную газом в процессе.

2.2.38. Найдите количество теплоты Q_{ab} , полученное газом в процессе $a-b$.

2.2.39. Найдите количество теплоты Q_{ca} , полученное газом в процессе $c-a$.

2.2.40. На рис. 2.1.45 изображен в координатах pV циклический процесс $a-b-c$, в котором кривая ab — адиабата, отрезок bc — изобара, отрезок ca — изохора. Разность максимальной и минимальной температуры в цикле — ΔT . В процессе $b-c$ газ передал внешней среде количество теплоты Q' . Найдите работу A' , совершенную газом в процессе $a-b-c-a$.

2.2.41. При нагревании m кг газа на ΔT К при постоянном давлении передано количество теплоты Q_1 , а при постоянном объеме — Q_2 . Найдите молярную массу газа.

2.2.42. Найдите молярную теплоемкость C_v при постоянном объеме смеси двух газов с молярными теплоемкостями C_{v1} и C_{v2} .

2.2.43. Найдите работу A' , совершенную ν молями газа в процессе $p = k\sqrt{T}$ при изменении объема в промежутке $[V_1, V_2]$.

2.2.44–2.2.45. На рис. 2.2.44 изображены процессы $a-b$ и $b-a$, проведенные с ν молями газа. $p_0 V_0 = \nu RT_0$.

2.2.44. Найдите работу A'_{ab} , совершенную газом в процессе $a-b$.

2.2.45. Найдите работу A'_{ba} , совершенную газом в процессе $b-a$.

2.2.46–2.2.48. На рис. 2.2.46 изображен процесс $a-b-c-d$, проведенный с ν молями газа; $p_0 V_0 = 2\nu RT_0$.

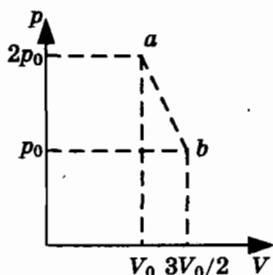


Рис. 2.2.44

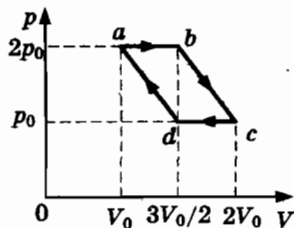


Рис. 2.2.46

2.2.46. Найдите работу A' , совершенную газом в цикле.

2.2.47. Найдите количество теплоты Q_{bc} , полученное газом в процессе $b-c$.

2.2.48. Найдите количество теплоты Q_{ab} , полученное газом в процессе d - a .

2.2.49. **Политропический процесс.** Этот процесс определяется условием $pV^n = \text{const}$, $0 < \gamma < n$, $n = C_p/C_v$. Найдите элементарное количество теплоты δQ , которое получает газ от внешней среды.

2.2.50–2.2.52. Теплоизолированный поршень может скользить внутри теплоизолированного цилиндра (рис. 2.2.50). Массы воздуха в объемах A и B одинаковы. Вначале система находилась в состоянии механического равновесия с температурами $T_A = T_0$, $T_B = 3T_0$ а затем квазистатически переходит в состояние теплового равновесия.

2.2.50. Найдите отношение объемов V_B/V_A в начальном положении.

2.2.51. Найдите отношение объемов V_B/V_A в состоянии теплового равновесия.

2.2.52. Найдите температуры воздуха T_A , T_B в состоянии теплового равновесия.

2.2.53. Объем одноатомного газа расширяется в изобарическом процессе a - b и в процессе b - c , в котором $p = kV$. Отношение объемов $x = V_2/V_1 = V_3/V_2$, $4Q_{ab} = A'_{bc}$, где Q_{ab} — количество теплоты, переданное в процессе a - b , A'_{bc} — работа, совершенная газом в процессе b - c . Найдите значение x .

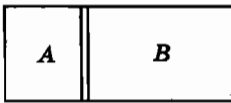


Рис. 2.2.50

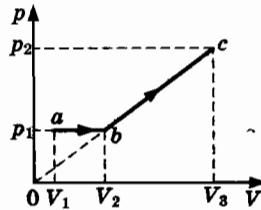


Рис. 2.2.53

2.2.54. Совершая работу $A_1 = 80$ Дж при адиабатическом сжатии в процессе a - b повысили температуру газа от $T_1 = 300$ К до $T_2 = 320$ К. Найти работу A_2 , которую необходимо совершить в адиабатическом процессе b - c для увеличения температуры от T_2 до $T_3 = 400$ К.

2.2.55. Объясните, почему в невесомости конвекция отсутствует.

2.2.56. Почему в космических кораблях создают искусственную систему вентиляции?

2.2.57. Почему остывает вода в термосе?

2.2.58. Космонавт должен работать в открытом космосе 0,5 часа. Почему в скафандре без подогрева космонавт не замерзает на «космическом холоде»?

2.2.59. В горизонтально расположенном цилиндрическом стакане под подвижным поршнем находится ν моль воздуха при температуре T_0 . На ободке стакана закреплен ограничитель движения поршня. В начальном состоянии поршень находится в равновесии и делит объем стакана пополам. Внешнее давление постоянно. Найдите количество теплоты, которое необходимо передать воздуху при увеличении температуры до значения $3T_0$.

2.2.60. Доля мощности P_s светового излучения, попадающего на Землю, равна отношению площади земного диска к площади поверхности сферы радиусом a : $P_s = P_c \pi R_z^2 / (4\pi a^2)$, где P_c — мощность излучения Солнца, R_z — радиус Земли, $P_s = 1,75 \cdot 10^{17}$ Вт — солнечная постоянная, $a = 1,5 \cdot 10^{11}$ м — среднее расстояние от Солнца до Земли. Земля отражает в космос 0,38 падающего на нее потока светового излучения. Величина $A = 0,38$ называется альбедо Земли (от лат. *albedo* — белизна). Мощность, поглощаемого Землей излучения $P_s(1 - A)$. Найдите равновесную температуру Земли.

2.2.61. Ньютонов закон охлаждения. Температура черного тела T , площадь поверхности тела S . Пусть температура окружающей среды $T_0 < T$. Интенсивность излучения тела зависит от температуры T , а интенсивность поглощаемого излучения зависит от температуры T_0 . Найдите приращение внутренней энергии тела, при условии $T_0 \sim T$.

2.2.62. Температура воды в озере $t_1 = 20$ °С, температура поверхности тела человека, стоящего на берегу, $t_2 = 36$ °С. Оцените температуру поверхности тела человека t_s во время плавания. Предполагается, что механизм теплопроводности биологической ткани и воды одинаков.

2.2.63. Объясните, почему тонкую проволоку можно расплавить в пламени спички, а толстую — трудно раскалить даже от горелки газовой плиты?

2.2.64. Ежесуточный пищевой рацион человека составляет 3000 кКал или 12,56 МДж. Найдите потребляемую мощность P и высоту h , на которую можно поднять тело массой $m = 100$ кг, производя работу $A = 12,56$ МДж.

2.2.65. Книга упала со стола на пол. Куда «пропала» потенциальная энергия книги?

2.2.66. В теплоизолированном цилиндре, разделенным на два равных объема горизонтальной перегородкой с маленьким отверстием, находится воздух при атмосферном давлении $p_{ам}$ и температуре T_0 . Площадь поперечного сечения цилиндра S . Торцы цилиндра закрывают невесомым поршнем и ставят на него гирю массой m . Поршень опускается до перегородки. Найдите температуру воздуха T_1 в конечном состоянии.

2.2.67*. В цилиндре с теплоизолированной боковой поверхностью находится идеальный газ при температуре T_0 . Высота цилиндра H . Создавая постоянный поток теплоты, крышку цилиндра нагревают до температуры $T = 4T_0$. Температура дна остается равной T_0 . Найдите распределение температуры по вертикальной координате z с началом у дна. (Коэффициент теплопроводности газа $\sim \sqrt{T}$).

2.3. Фазовые переходы вещества

При термодинамическом равновесии может возникнуть неоднородное состояние системы, при котором она распадается на несколько фаз — жидкость, твердое тело и газ. Их равновесное сосуществование называется *фазовым равновесием*. Вода, лед и пар — привычный пример разных фаз одного и того же вещества. Между разными фазами обычно существует четко выраженная граница раздела.

Процесс перехода фаз друг в друга при изменении температуры и давления называется фазовым превращением.

Переход из одной фазы в другую при определенных температуре и давлении сопровождается выделением или поглощением некоторого количества теплоты.

Плавление и кристаллизация. Для плавления m кг твердого тела при температуре t необходимо сообщить твердому телу количество теплоты

$$Q_{тж} = \lambda m, \quad (2.3.1)$$

где $\lambda(t)$ — *удельная теплота плавления*.

Удельная теплота плавления льда $\lambda(0^\circ \text{C}) = 336 \text{ кДж/кг}$.

При кристаллизации m кг жидкости при температуре t выделением количества теплоты

$$Q'_{жт} = \lambda m, \quad (2.3.2)$$

Для того чтобы перевести в пар, m кг жидкости при постоянной температуре t , необходимо передать количество теплоты

$$Q_{\text{жн}} = rm, \quad (2.3.3)$$

где $r(t)$ — удельная теплота парообразования.

Удельная теплота парообразования воды

$$r(100^\circ \text{C}) = 2260 \text{ кДж/кг.}$$

При конденсации выделяется то же количество теплоты, которое было передано для перехода вещества массой m в пар:

$$Q'_{\text{вж}} = gm. \quad (2.3.4)$$

Пар, находящийся в состоянии теплового равновесия с жидкостью (или твердым телом) того же химического состава, называется насыщенным паром. Давление насыщенного пара в устойчивом состоянии $p_{\text{н}}(T)$ — наибольшее давление, которое может иметь пар при данной температуре.

Кипение возникает при условии $p_{\text{н}}(T_{\text{к}}) = p_{\text{вн}}$, где $p_{\text{вн}}$ — внешнее давление, $T_{\text{к}}$ — температура кипения.

Уравнение теплового баланса. В теплоизолированный сосуд — калориметр, содержащий в начальном состоянии теплового равновесия воду, лед и пар; доливают воду, помещают лед или выпускают пар. Необходимо определить фазы воды и температуру системы в конечном состоянии. Для решения задачи следует провести анализ фазовых переходов и определить возможное конечное состояние. После этого найти решение уравнения: *сумма количества теплоты, переданного различными фазовыми компонентами в процессе фазовых переходов, равна нулю.*

Удельная теплоемкость воды $c_{\text{в}} = 4,186$ кДж/кг·К, удельная теплоемкость льда $c_{\text{л}} = 0,5c_{\text{в}}$.

Количество теплоты, которое необходимо передать твердому телу для нагревания от температуры t_1 до t_2 равно

$$Q_{12} = mc_{\text{т}}(t_2 - t_1). \quad (2.3.5)$$

2.3.1. Назовите три фазы углерода в кристаллическом состоянии.

2.3.2. Как изменится расстояние между молекулами, если вода в бутылке замерзнет?

2.3.3. Сравните потенциальную энергию взаимодействия атомов до и после перехода кристалл — жидкость.

2.3.4. Выпал иней — в каком состоянии находится вода?

2.3.5. Почему сухой лед отличается от обычного льда?

2.3.6. Более половины поверхности Северного Ледовитого океана покрыта слоем нetaющего льда. Средняя толщина льда от двух до тридцати метров, а температура воздуха зимой опускается до $t_2 = -40^\circ\text{C}$. Однако за всю зиму нарастает слой льда толщиной всего $h = 1,25\text{ м}$. Найдите количество теплоты Q , поступающей за зиму в атмосферу через поверхность льда площадью $S = 1\text{ м}^2$.

2.3.7*. Пруд покрыт слоем льда толщиной $h_0 = 5\text{ см}$. Температура воздуха $t_1 = -10^\circ\text{C}$. Найдите промежуток времени τ , через который толщина льда станет равной $h_1 = 10\text{ см}$. Коэффициент теплопроводности льда $\gamma = 2,2\text{ Вт/м}\cdot\text{К}$, удельная теплота плавления $\lambda = 0,339\text{ МДж}$, плотность $\rho = 0,9 \cdot 10^3\text{ кг/м}^3$.

2.3.8. Если дотронуться пальцем до куска железа при температуре $t < -3,5^\circ\text{C}$ или до предмета из алюминия при температуре $t < -12^\circ\text{C}$, то кожа пальцев прилипнет к ним. Объясните это явление.

2.3.9. В теплоизолированный калориметр, содержащий $m_1 = 2\text{ кг}$ воды при температуре $t_1 = 30^\circ\text{C}$, положили кусок льда массой $m_2 = 4\text{ кг}$, имеющий температуру $t_2 = -20^\circ\text{C}$. Определите конечное состояние и температуру в калориметре после установления теплового равновесия.

2.3.10. Ванну объемом $V = 100\text{ л}$ заполняют водой, имеющей температуру $t_2 = 90^\circ\text{C}$. Определите массу льда m_x при температуре $t_1 = -20^\circ\text{C}$, который необходимо положить в ванну для того чтобы температура воды стала равной $t_3 = 40^\circ\text{C}$.

2.3.11. Погружая сосуд с водой массой m в криостат, можно получить переохлажденную воду в неустойчивом состоянии с температурой $t_1 = -10^\circ\text{C}$. Различные температуры кристаллизации $t_k \approx t_1$ определяются наличием посторонних примесей. В результате образования льда массой m_x температура системы лед-вода стала равной $t_2 = 0^\circ\text{C}$. Найдите отношение m_x/m .

2.3.12.

А. При комнатной температуре теплота парообразования, приходящаяся на одну молекулу воды, составляет $rM/N_A = 7,3 \cdot 10^{-20}\text{ Дж}$, а средняя энергия теплового движения молекул воды $3kT/2 = 6,06 \cdot 10^{-21}\text{ Дж}$. Почему испаряется вода?

Б. Найдите приращение удельной внутренней энергии $\Delta U/\Delta m$ системы при переходе вода-пар.

2.3.13. Объясните, почему приведенное ниже определение некорректно: «Независимое от объема давление пара p_0 , при котором жидкость находится в равновесии со своим паром, называют давлением насыщенного пара».

2.3.14. В кастрюле-скороварке имеется предохранительный клапан, который открывается при давлении $p > p_*$. Почему повышается температура кипения в закрытом сосуде?

2.3.15. Температура лавы у жерла подводного вулкана достигает 400°C . Почему же не закипает морская вода у жерла вулкана?

2.3.16. Найдите массы пара m_n и воды m_v в области насыщения, образовавшихся при сжатии пара массой m до значения объема V , принадлежащего интервалу $[V_*, V_+]$, в котором плотность насыщенного пара ρ_n при данной температуре постоянна; $V_* = m/\rho_*$, $V_+ = m/\rho_+$.

2.3.17. Пар массой m находится в сосуде объемом $V_0 > m/\rho_n$ при температуре $t = 100^\circ\text{C}$ и давлении $p = 0,506 \cdot 10^5$ Па. Найдите массы пара и воды при изотермическом уменьшении объема в n раз.

2.3.18. Покажите, что в области насыщения (см. задачу 2.3.16) точка V делит горизонтальную прямую изотермы в отношении, равном отношению числа молей в газообразной фазе к числу молей в жидкой фазе.

2.3.19. В объеме $V = 1 \text{ м}^3$ при температуре $T = 373 \text{ К}$ находится насыщенный пар плотностью $\rho_n = 0,6 \cdot \text{кг}/\text{м}^3$. Найдите значение объема V_* , при котором пар полностью конденсируется при изотермическом сжатии.

2.3.20. Поставим два одинаковых чайника с равным количеством воды на конфорки одинаковой мощности. Один из них закроем крышкой, а второй оставим открытым. Объясните, рассматривая несколько наиболее существенных эффектов, почему один из чайников закипает раньше.

2.3.21. На плите с полезной мощностью $P = 1 \text{ кВт}$, стоит чайник, содержащий $m = 2 \text{ кг}$ воды. Температура воды $t_0 = 100^\circ\text{C}$. Найдите время выкипания всей воды Δt .

2.3.22. Чайник с кипящей водой стоит на плите с полезной мощностью $P = 1 \text{ кВт}$. Площадь выходного отверстия носика чайника $S = 2 \text{ см}^2$. Оцените скорость струи пара v , вырывающейся из носика чайника.

2.3.23. Насыщенный пар объемом $V = 1 \text{ л}$ конденсируется на поверхности, температура которой $t_0 = 37^\circ\text{C}$. Найдите количество теп-

лоты Q , переданное поверхности. Почему пар из носика чайника обжигает кожу руки в большей степени, чем кипяток?

2.3.24. Вода массой $m = 13,2$ г и пар находятся под поршнем в баллоне при температуре $t_1 = 120$ °С. Найдите работу пара A' при изотермическом изменении объема до значения, при котором вся вода испарилась (при температуре $t_1 = 120$ °С давление насыщенного пара $p_n = 120$ кПа, плотность $\rho_n = 0,66$ кг/м³).

2.3.25. В объеме $V_1 = 0,3$ м³ находится насыщенный пар при температуре $t_1 = 100$ °С. Найдите работу A' , которую необходимо совершить при изотермическом сжатии до объема $V_2 = 0,1$ м³.

2.3.26. В сосуде находится насыщенный пар при температуре T . Найдите массу образовавшейся воды, если при изотермическом сжатии совершена работа A' .

2.3.27. В калориметре находится вода массы m и лед массы m в состоянии теплового равновесия. В калориметр вводят водяной пар массы m при температуре $t_1 = 100$ °С. Определите содержимое калориметра и температуру конечного состояния t_k .

2.3.28. В сосуд теплоемкостью $C = 2$ кДж/К при температуре $t_1 = 20$ °С положили $m = 50$ г льда, охлажденного до температуры $t_2 = -10$ °С. Найдите температуру сосуда t_x после установления теплового равновесия.

2.3.29. Массу воды $m = 4,5$ кг охлаждают от $t_2 = 30$ °С до $t_1 = 10$ °С, бросая кусочки льда при температуре $t_0 = 0$ °С. Найдите массу льда m_n , необходимую для охлаждения воды.

2.3.30. В баллоне находится $m_1 = 10$ г насыщенного пара при температуре $t_1 = 100$ °С и давлении $p = 100$ кПа. Определите содержимое сосуда после вливания $m_2 = 10$ г воды при температуре $t_2 = 0$ °С.

2.3.31–2.3.32. В начальном состоянии камера объемом $V = 22,4$ л содержит воздух при давлении $p_1 = 2p_0$, $p_0 = 101,3$ кПа и $m = 18$ г воды при температуре $t_1 = 0$ °С. Камеру нагрели до температуры $t_2 = 100$ °С.

2.3.31. Определите давление в камере p_2 .

2.3.32. Определите давление в камере, если в ней было $m = 9$ г воды.

2.3.33. Вода массой $m = 10$ кг перегрета до температуры $t_0 = 120$ °С. Найдите массу пара m_v , который образуется при вскипании воды.

2.3.34*. Баллон объемом $V = 67,2$ л заполнен водородом и кислородом. Масса смеси $m = 60$ г. Давление в сосуде $p_0 = 278,6$ кПа, температура $t_0 = 27$ °С. В результате электрического разряда произошла реакция $2\text{H}_2 + \text{O}_2 = 2\text{H}_2\text{O}$. Найдите давление p_k в баллоне после уста-

новления теплового равновесия при температуре $t_x \approx 100^\circ\text{C}$ и содержимое баллона.

2.3.35*. В баллоне содержится $m_n = 0,2$ г водорода и $m_o = 3,2$ г кислорода при температуре $t_1 = 27^\circ\text{C}$. В результате реакции синтеза образуется вода. Давление в баллоне возрастает в три раза. Найдите температуру T_2 в конечном состоянии.

2.3.36. В теплоизолированный сосуд, содержащий $m_1 = 0,4$ кг воды при температуре $t_1 = 17^\circ\text{C}$, бросили $m_2 = 0,05$ кг мокрого снега (снег с водой при температуре $t_0 = 0^\circ\text{C}$). Теплоемкость сосуда $C = 0,16$ кДж/К. В результате температура воды в сосуде оказалась меньше первоначальной на $\Delta t = 5^\circ\text{C}$. Определите массу воды m_* в мокром снеге.

2.3.37. В пустой яичной скорлупе сделали отверстие, налили некоторое количество воды и поставили на горелку. Площадь отверстия $S = 4$ мм², мощность горелки $P = 2$ кВт. Найдите реактивную силу тяги этого двигателя.

2.3.38. Имеем три пятилитровых банки заполненных водой с температурой соответственно 20°C , 80°C и 100°C и пустой десятилитровый сосуд. Опишите способ получения 10 л воды с температурой 70°C . Теплоемкостью сосудов и потерями тепла пренебречь.

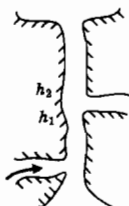


Рис. 2.3. 39

2.3.39. Извержение гейзера. В различных местах Земли сосредоточены гейзеры (*geyza* — от исл. хлынуть), выбрасывающие струи кипящей воды и пар. На рис. 2.3.39 схематически изображен разрез трубки гейзера. У основания струи температура воды равна 85°C и возрастает с глубиной. В состоянии покоя на всех уровнях давление воды больше давления насыщенного пара. На глубине $h_1 = 13$ м, приблизительно на середине трубки, давление $p_1 = 223$ кПа, температура воды $t_1 = 122^\circ\text{C}$. Этому давлению соответствует температура кипения $t_{1n} = 124^\circ\text{C}$. Из подземного канала на глубине большей h_1 в трубку вошла смесь вода — пар и сместила воду вверх на Δh . Объясните, почему вода на глубине $h_2 = h_1 - \Delta h$, где давление $p_2 < 211$ кПа, вода

вскипает, внезапно начинается кипение всей воды в трубке и происходит извержение гейзера.

(Указание: давление насыщенного пара

$$p_n \approx p_{n0} + k\Delta t, p_{n0} = 198,5 \text{ кПа}, t_0 = 120 \text{ }^\circ\text{C}, k = 6,125 \text{ кПа/}^\circ\text{C}.$$

Плотность воды $\rho_0 = 0,9431 \text{ кг/м}^3$ при температуре $t_0 = 120 \text{ }^\circ\text{C}$.)

2.3.40. Пузырьковая камера. Объясните принцип работы пузырьковой камеры — одного из основных приборов экспериментальной физики элементарных частиц.

2.3.41. Среди жидких капелек образовался кристаллик льда. Объясните, почему кристаллик льда быстро растет, «поедая» капельки воды.

2.3.42. Вода — загрязнитель стратосферы. Почему образование конверсионного следа при полете реактивного самолета на высотах больших 10 км приводит к увеличению планетарного альбедо?

2.4. Влажность воздуха

Абсолютная влажность равна парциальному давлению пара p_n или плотности пара ρ_n при данной температуре.

Относительная влажность ϕ равна отношению парциального давления пара p_n к давлению насыщенного пара p_n при той же температуре, выраженное в процентах: $\phi = 100\%h$, $h = (p_n/p_n)$ (h — сокр. от англ. *humidity* — влажность). Относительная влажность может быть представлена в виде $\phi = 100\%h$, $h = \rho_n/\rho_n$, где ρ_n — плотность пара, ρ_n — плотность насыщенного пара при одной и той же температуре. Обычно в таблицах можно найти давление и плотность насыщенного пара. При $t = 100 \text{ }^\circ\text{C}$ плотность насыщенного пара $\rho_n = 0,6 \text{ кг/м}^3$.

Согласно закону Дальтона давление влажного воздуха $p = p_n + p_n$, где p_n — давление, создаваемое сухим воздухом.

2.4.1. Сухой и влажный воздух при одинаковых температуре и давлении занимают каждый объемы по 1 м^3 . Отметьте правильное утверждение

А. Число молекул сухого воздуха больше числа молекул влажного воздуха.

Б. Число молекул влажного воздуха больше числа молекул сухого воздуха.

В. Плотность влажного воздуха меньше плотности сухого воздуха.

Г. Плотность сухого воздуха и плотность влажного воздуха одинаковы.

Д. Плотность влажного воздуха больше плотности сухого воздуха.

2.4.2. А. Воздух влажностью $\varphi = h \cdot 100\%$ находится при давлении p и температуре T . Найдите плотность влажного воздуха.

Б. В комнате объемом $V = 50 \text{ м}^3$ влажность воздуха $\varphi = h \cdot 100\%$, ($h = 0,3$) при температуре $t_0 = 20 \text{ }^\circ\text{C}$ и давлении $p_0 = 100 \text{ кПа}$. Найдите приращение массы воздуха в комнате Δm при увеличении относительной влажности на $\Delta h = 0,1$. Давление насыщенного пара $p_n = 2,3 \text{ кПа}$ при температуре t_0 .

В. Влажный воздух массой m занимает объем V при температуре T и давлении p . Найдите относительную влажность воздуха h . Давление насыщенного пара при температуре T равно p_n .

2.4.3. В закрытом помещении объемом $V = 100 \text{ м}^3$ находится воздух влажностью $\varphi = h \cdot 100\%$, $h = 0,8$ при температуре $t_2 = 25 \text{ }^\circ\text{C}$. Найдите массу росы Δm , образовавшейся в помещении, если температура понизится до значения $t_1 = 11 \text{ }^\circ\text{C}$?

(Плотности насыщенного пара при температурах $t_1 = 11 \text{ }^\circ\text{C}$ и $t_2 = 25 \text{ }^\circ\text{C}$ соответственно равны $\rho_{n1} = 0,01 \text{ кг/м}^3$, $\rho_{n2} = 0,023 \text{ кг/м}^3$).

2.4.4. В закрытом помещении находится воздух влажностью $\varphi = h \cdot 100\%$, $h = 0,278$ при температуре $t_2 = 25 \text{ }^\circ\text{C}$. Найдите относительную влажность воздуха φ_1 , если температура понизится до значения $t_1 = 11 \text{ }^\circ\text{C}$?

2.4.5. Воздух с относительной влажностью h_1 находится в баллоне объемом V . Найдите абсолютную влажность воздуха ρ_{n2} после испарения воды массой m , если относительная влажность стала равной h_2 .

2.4.6*–2.4.7*. В баллоне объемом $V_1 = 1 \text{ м}^3$ находятся вода массой $m = 12 \text{ г}$ и влажный воздух при давлении $p_1 = 100 \text{ кПа}$ и температуре $t_1 = 11 \text{ }^\circ\text{C}$. Плотность и давление насыщенного пара при температуре t_1 равны $\rho_{n1} = 0,01 \text{ кг/м}^3$, $p_{n1} = 1306 \text{ Па}$.

2.4.6. Найдите давление p_2 при изотермическом увеличении объема до значения $V_2 = 2V_1$.

2.4.7. Найдите давление p_2 при изотермическом увеличении объема до значения $V_2 = 5V_1$.

2.4.8–2.4.9. В комнате объемом $V = 100 \text{ м}^3$ поддерживается температура $t_1 = 20 \text{ }^\circ\text{C}$. Точка росы — $t_2 = 17 \text{ }^\circ\text{C}$. (Плотности насыщенного

пара при температурах $t_1 = 20^\circ\text{C}$ и $t_2 = 17^\circ\text{C}$ соответственно равны $\rho_{n1} = 17,3 \text{ г/м}^3$, $\rho_{n2} = 14,5 \text{ г/м}^3$).

2.4.8. Определите относительную влажность воздуха ϕ .

2.4.9. Найдите массу пара m_n в комнате.

2.4.10–2.4.12. В камере объемом $V_1 = 22,4 \text{ л}$ при температуре t_1 находятся влажный воздух при давлении $p_1 = 3p_0$ ($p_0 = 101,3 \text{ кПа}$) и вода, объем которой значительно меньше V_1 . После изотермического увеличения объема в два раза давление стало равным $p_2 = 1,8 p_0$, относительная влажность $h = 0,8$.

2.4.10. Найдите температуру камеры t_1 .

2.4.11. Найдите число молей воды и воздуха в камере.

2.4.12. Найдите давление p_3 , если объем увеличить еще в два раза.

2.4.13*. В камере при температуре $t_1 = 100^\circ\text{C}$ находится влажный воздух при давлении $p_1 = p_0$ ($p_0 = 101,3 \text{ кПа}$). После изотермического уменьшения объема в 4 раза давление увеличилось в 4 раза, относительная влажность достигла значения $h_2 = 1$. Найдите относительную влажность воздуха h_1 в начальном состоянии.

2.4.14–2.4.15. В баллоне объемом $V = 1 \text{ м}^3$ находится вода массой m и влажный воздух при давлении $p = 101,3 \text{ кПа}$ и температуре $t_1 = 11^\circ\text{C}$. Плотность и давление насыщенного пара при температурах t_1 и $t_2 = 25^\circ\text{C}$ соответственно равны $\rho_{n1} = 0,01 \text{ кг/м}^3$, $p_{n1} = 1306 \text{ Па}$, $\rho_{n2} = 0,023 \text{ кг/м}^3$, $p_{n2} = 3168 \text{ Па}$.

2.4.14. Найдите давление пара p_{n2} при повышении температуры до значения t_2 в случае $m = \bar{m}_1$, $m_1 = 15 \text{ г}$.

2.4.15. Найдите давление пара p_{n2} при повышении температуры до значения t_2 в случае $m = m_2$, $m_2 = 10 \text{ г}$.

2.4.16–2.4.17. В баллоне объемом $V_0 = 2 \text{ л}$ при давлении $p_1 = 2p_0$ (p_0 — атмосферное давление) находятся вода, пар и воздух. Смещая поршень, объем баллона изотермически увеличивают на 2 л. Давление уменьшается до значения $p_2 = 1,5p_0$. В конечном состоянии масса воды и пара $m = 3 \text{ г}$.

2.4.16. Найдите массу воды m_{n1} в начальном состоянии.

2.4.17. Найдите работу, совершаемую влажным воздухом.

2.4.18. В замкнутом объеме $V = 50 \text{ м}^3$ находится воздух с относительной влажностью $h_1 = 0,8$ при температуре $t_1 = 80^\circ\text{C}$. Найдите массу воды m , которую необходимо испарить, чтобы при температуре $t_2 = 100^\circ\text{C}$ влажность достигла значения $h = 1$. Плотность насыщенного пара при температуре t_1 равна $\rho_{n1} = 0,293 \text{ кг/м}^3$.

2.4.19. Температура в холодильнике $t_1 = 5^\circ\text{C}$, в комнате $t_2 = 25^\circ\text{C}$. Определите максимальное значение относительной влажности воздуха h , при которой бутылка, взятая из холодильника, не будет запотевать. Давление насыщенного пара при температурах t_1 и t_2 соответственно равны $p_{\text{н1}} = 866$ Па и $p_{\text{н2}} = 3192$ Па.

2.4.20. В баллон налили некоторое количество воды при температуре $t_0 = 20^\circ\text{C}$, закрыли герметичной крышкой и нагрели до температуры $t_2 = 160^\circ\text{C}$. Вода закипела при температуре $t_1 = 120^\circ\text{C}$, при которой давление насыщенного пара $p_{\text{н1}} = 1,98 \cdot 10^5$ Па. Найдите давление p_2 в баллоне при температуре t_2 .

2.4.21. Объясните, почему зимой через открытую форточку в бане пар за окном поднимается вверх, а внутри помещения опускается вниз.

2.4.22. Почему для нагревания массы m влажного морского воздуха в тропиках требуется больше тепла, чем в умеренных широтах?

2.4.23. Объясните, почему летом облака в приморских районах имеют высоту нижней кромки около 600 м, в то время как в континентальных районах — значительно выше.

2.4.24. Почему при входе в дом в морозный день запотевают очки?

2.2.25. Почему высыхают продукты в холодильнике?

2.4.26. Камера Вильсона. Объясните принцип работы камеры Вильсона — одного из первых приборов экспериментальной физики элементарных частиц.

2.5. Тепловые двигатели

Р. Клаузиус в 1864 г. показал, для обратимого процесса должно выполняться условие

$$\sum_{a=1}^N \frac{\delta Q_a}{T_a} = 0. \quad (2.5.1)$$

Здесь δQ_a — количество теплоты, переданное системе в элементарном процессе.

Коэффициент полезного действия (КПД) теплового двигателя

$$\eta = A'/Q_2, \quad (2.5.2)$$

где $A' = Q_2 - Q_1$ — работа, совершаемая рабочим телом за цикл,

Q_2 — количество теплоты, переданное рабочему телу от нагревателя,

Q_1 — количество теплоты, переданное рабочим телом холодильнику. КПД цикла

$$\eta = 1 - Q_1/Q_2, \quad (2.5.3)$$

Максимальное значение КПД достигается при обратимых процессах. Условие обратимости процессов в цикле Карно имеет вид $Q_2/T_2 - Q_1/T_1 = 0$, где T_1, T_2 — температуры холодильника и нагревателя. КПД цикла Карно

$$\eta_m = 1 - T_1/T_2. \quad (2.5.4)$$

Это неожиданный вывод, имеющий важное следствие: КПД цикла Карно не зависит от природы рабочего тела.

В 1865 г. Р. Клаузиус ввел понятие энтропия и представил элементарное количество теплоты в виде аналогичном (2.2.2):

$$\delta Q = T\Delta S, \quad (2.5.5)$$

где S — энтропия системы. Размерность S — Дж/К.

Энтропия сложной системы равна сумме энтропий всех ее подсистем. Согласно строгому определению энтропия $S = k \ln g$, где g — число допустимых состояний системы.

Первый закон термодинамики для систем, в которых не проявляются электромагнитные эффекты и химические реакции, приобретает вид

$$\Delta U = T\Delta S - p(V)\Delta V. \quad (2.5.6)$$

Температура представляет собой производную внутренней энергии при постоянном объеме: $T = (dU/dS)_V$.

Второй закон термодинамики. Необратимые процессы, протекающие в неравновесной замкнутой системе, приводят к возрастанию энтропии системы

$$\Delta S > 0. \quad (2.5.7)$$

Это неравенство представляет собой строгую формулировку второго закона термодинамики.

2.5.1. Покажите, что значения объемов в состояниях a, b, c, d цикла Карно на рис. 2.5.1 удовлетворяют соотношению $V_4/V_3 = V_2/V_1$.

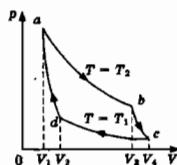


Рис. 2.5.1

2.5.2. Покажите, что сумма приращений внутренней энергии и сумма работ, совершаемых газом в цикле Карно на участках bc и da диаграммы на рис 2.5.1, соответствующим адиабатам, равна нулю.

2.5.3. Найдите работу A' , совершаемую машиной Карно за цикл.

2.5.4. Запишите неравенство, соответствующее утверждению: ни одна другая тепловая машина не имеет КПД большего, чем значение КПД цикла Карно.

2.5.5. В машине Карно, совершаемой работу A' , изотермическое расширение происходит при температуре T_2 , а изотермическое сжатие при температуре T_1 . Найдите работу A'_k , совершаемую машиной при изменении температуры нагревателя $T_2 \rightarrow T_{2k}$ и холодильника $T_1 \rightarrow T_{1k}$.

2.5.6. Почему нельзя реализовать цикл Карно?

2.5.7. Айсберг, температура которого $t_1 = 0^\circ\text{C}$, масса $m = 10^{10}$ кг, дрейфует в Гольфстриме. Температура воды $t_2 = 22^\circ\text{C}$. Найдите максимальную работу, которую может произвести тепловая машина, использующая Гольфстрим как нагреватель и айсберг как холодильник, за время таяния айсберга.

2.5.8. КПД преобразования теплоты в электрическую энергию на ТЭС мощностью $P = 1000$ МВт (типичная мощность ТЭС и АЭС) равен $\eta = 0,32$. Какой расход воды (в кг/с) необходимо обеспечить, чтобы приращение температуры после контакта с холодильником не превышало $\Delta T = 1^\circ\text{C}$?

2.5.9. На рис. 2.5.9 изображен цикл Стирлинга, образованный двумя изотермами и двумя изохорами. Работа, совершаемая за цикл $A' = 3$ кДж, количество теплоты, переданное в процессе $a-b$ холодильнику $Q'_{ab} = 2$ кДж. Найдите работу A'_{cd} , совершенную газом в изотермическом процессе $c-d$.

2.5.10. На рис. 2.5.10 изображен циклический процесс: точки a и b лежат на изотерме, точки b и c на изохоре. Рабочее тело — идеальный газ — совершило работу $A' = Q_2 - Q'_1$, где Q_2 — количество теплоты, полученное от нагревателя в процессе $b-c$, Q'_1 — количество теплоты, переданное холодильнику в изотермическом процессе $a-b$. Найдите работу A'_{ca} , совершаемую газом в процессе $c-a$.

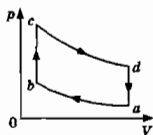


Рис. 2.5.9

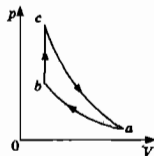


Рис. 2.5.10

2.5.11.–2.5.12*. Цикл Отто. На рис. 2.5.11 изображена диаграмма цикла Отто, рабочим телом которого является бензин или светильный газ. Участок ab соответствует процессу быстрого сжатия горючей смеси — воздуха и горючего, участок bc — процессу сгорания горючей смеси, участок cd — быстрому расширению, участок da — выбросу продуктов сгорания через выпускной клапан при давлении близком к атмосферному. Степень сжатия V_2/V_1 .

2.5.11. Найдите КПД цикла Отто.

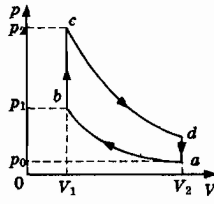


Рис. 2.5.11

2.5.12*. Докажите, что цикл Отто удовлетворяет условию обратимости (2.5.1).

2.5.13. Цикл Брайтона. Рассмотрим простейшую тепловую машину, рабочим веществом которой является вертикально стоящий стержень длиной l_1 . Наша задача — поднять груз массой M с высоты l_1 до высоты $l_3 = H$.

Поставим груз на торец стержня. После этого стержень адиабатически сожмется до длины $l_2 < l_1$. Теперь, сообщая ему количество тепла Q_2 , заставим его расширяться до длины $l_3 > l_1$ и снимем груз. Длина стержня адиабатически увеличится до значения l_4 . Теперь, охлаждая стержень, можно уменьшить его размеры до исходных (рис. 2.5.13а). Обсудите соответствие рис. 2.5.13а и диаграммы цикла Брайтона на рис. 2.5.13б.

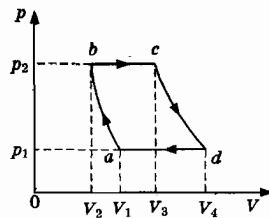
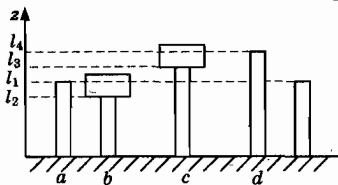


Рис. 2.5.13 а, б

2.5.14. Найдите КПД цикла Брайтона, изображенного на рис. 2.5.136. Рабочее тело — идеальный газ. Задано отношение минимального давления к максимальному p_1/p_2 .

2.5.15. На рис. 2.5.15 изображены цикл Дизеля $a-b'-c-d$ и цикл Отто $a-b-c-d$. Докажите, что КПД цикла Дизеля η_d больше КПД цикла Отто η_o .

2.5.16. Нагревается или охлаждается воздух в комнате при работе домашнего холодильника?

2.5.17. В результате работы $A = 10$ МДж, совершенной мотором холодильника, из морозильной камеры отвели $Q_1 = 40$ МДж теплоты. Найдите количество теплоты, поступившей в комнату Q'_2 .

2.5.18. В результате работы мотора A холодильная машина Карно с идеальным газом в качестве рабочего тела отбирает теплоту при температуре $t_1 = 7^\circ\text{C}$ и передает нагревателю при $t_2 = 27^\circ\text{C}$. Найдите работу A_k , совершаемую мотором, если температуру холодильника понизить до значения $t_{1k} = -13^\circ\text{C}$ (см. рис. 2.5.1).

2.5.19. Машина Карно получает теплоту при температуре $T_2 = 900$ К и отдает при $T_1 = 300$ К. В процессе расширения объем газа удваивается, в процессе сжатия — уменьшается в два раза. Эта машина приводит в действие мотор холодильной машины Карно, которая получает теплоту при $T_1 = 300$ К (рис. 2.5.19). Объем газа увеличивается в три раза при расширении и уменьшается в три раза при сжатии. Найдите температуру T_k нагревателя холодильной машины.

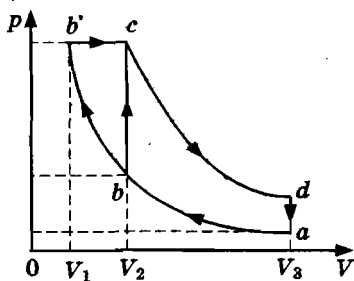


Рис. 2.5.15

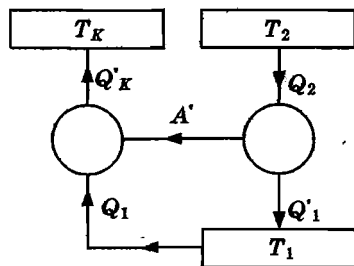


Рис. 2.5.19

2.5.20. Двигатель холодильника потребляет мощность $P_0 = 100$ Вт. Температура внутри холодильника $t_1 = 7^\circ\text{C}$, температура в комнате $t_2 = 27^\circ\text{C}$. В результате поломки дверного выключателя лампочка внутри холодильника продолжает гореть при закрытой двери. По-

требляемая мощность возросла до значения $P = 101,45$ Вт. Найдите мощность лампочки P_* . Холодильный коэффициент в два раза меньше, чем у машины Карно.

2.5.21. Тепловой насос. Для бытовых холодильников значение холодильного коэффициента $k \sim 2 \div 4$. Мотор холодильника совершил работу A . Найдите количество теплоты Q'_2 , которое можно использовать для обогрева комнаты.

2.5.22*. Температура воздуха «за окном» $t_1 = -23^\circ \text{C}$. Обогреватель мощностью P_0 позволяет поддерживать в комнате температуру $t_2 = 2^\circ \text{C}$. Если использовать мотор мощностью P_0 в режиме теплового насоса, то температуру в комнате можно увеличить до значения $t'_2 > t_2$. Найдите значения холодильного коэффициента k и температуры t'_2 . Величина $k = \alpha k_m$, где k_m — холодильный коэффициент в цикле Карно, $\alpha = 0,2$.

2.5.23*. Тепловые машины и внешняя среда. При работе охлаждающих машин — холодильников и кондиционеров — должно выполняться условие $A/Q_1 \geq (T_2 - T_1)/T_1$, где Q_1 — количество теплоты, которое необходимо отобрать от холодильника. Пусть температура воздуха равна 30°C ($T_2 = 303 \text{ K}$), температура в помещении равна 25°C ($T_1 = 298 \text{ K}$). Мощность, потребляемая кондиционером, равна P . Предположим, что температура внешней среды повысилась до 35°C ($T_2 \rightarrow T'_2 = 308 \text{ K}$). Найдите мощность P' , которую должен потреблять кондиционер для поддержания внутри помещения температуры T_1 .

2.5.24. На рис. 2.1.24 изображена pV -диаграмма $a-b-c-a$ рабочего цикла теплового двигателя. Отношение максимальной температуры к минимальной равно n . Найдите КПД цикла.

2.5.25. На рис. 2.5.25 изображен процесс $a-b-c-a$, проведенного с ν молями газа, $T_c = T_0$, $T_b = 4T_0$ — температуры состояний b и c . Найдите КПД цикла.

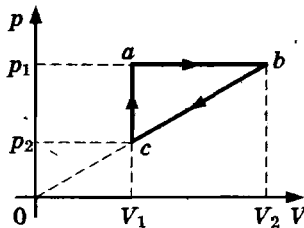


Рис. 2.5.25

2.5.26. На рисунке 2.1.34а изображена pV диаграмма цикла $a-b-c-a$, проведенного с ν молями газа. Параметры a, b, c состояний $p_1 = p_0/2, p_2 = p_0, V_1 = V_0, V_2 = 2V_0$ удовлетворяют условию $p_0V_0 = \nu RT_0$. Найдите КПД цикла.

2.5.27. На рисунке 2.1.36а изображена pV диаграмма цикла $a-b-c-a$, проведенного с ν молями газа. Параметры состояния $a - p_a = 3p_0/4, V_a = 3V_0/2$, состояния $b - p_b = p_0/2, V_b = 2V_0$, состояния $c - p_c = p_0/2, V_c = V_0; p_0V_0 = \nu RT_0$. Найдите КПД цикла.

2.5.28. В тепловом двигателе в качестве рабочего тела используется ν молей идеального газа. На рис. 2.1.45 изображен цикл $a-b-c$ в координатах pV , состоящий из адиабаты, изохоры и изобары. Разность максимальной и минимальной температуры в цикле ΔT . КПД цикла — η . Найдите работу A_{bc} , совершаемую при сжатии газа.

2.5.29. На рис. 2.5.29 изображен в координатах pV циклический процесс $a-b-c$, для которого кривая ab — изотерма, отрезок bc — изохора, кривая ca — адиабата. КПД цикла — η , разность максимальной и минимальной температуры в цикле — ΔT . Найдите работу A'_{ab} , совершенную газом в процессе $a-b$ и работу A' , совершенную газом при проведении цикла.

2.5.30. На рис. 2.2.46 изображен процесс $a-b-c-d$, проведенный с ν молями газа; $p_0V_0 = 2\nu RT_0$. Найдите КПД цикла.

2.5.31. На рис. 2.5.31 изображена pV -диаграмма $a-b-c-m-b-n-a$ рабочего цикла теплового двигателя. Отношение максимальной температуры к минимальной равно n , $V_2 = (V_1 + V_3)/2$. Найдите КПД цикла.

2.5.32. На рис. 2.5.32 изображены в координатах pV два циклических процесса тепловой машины: $a-b-c-a$ и $a-c-d-a$. КПД первого процесса — η_1 . Найдите КПД второго процесса η_2 .

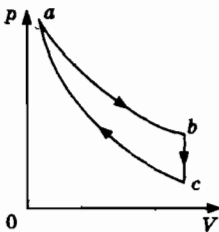


Рис. 2.5.29

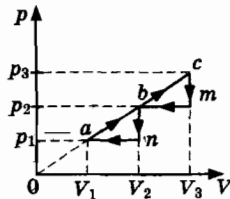


Рис. 2.5.31

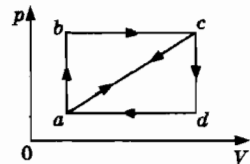


Рис. 2.5.32

2.5.33. На рис. 2.1.27 изображена pV -диаграмма цикла $a-b-c-d-a$, проведенного с ν молями газа; $p_0V_0 = \nu RT_0$. Найдите КПД цикла.

2.5.34. На рис. 2.5.34 изображена VT -диаграмма цикла $a-b-c-a$, проведенного с ν молями газа; $p_0V_0 = \nu RT_0$. Изобразите цикл в координатах pV и найдите КПД цикла.

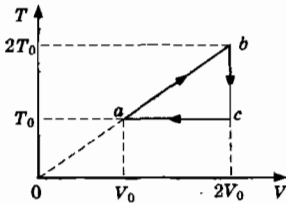


Рис. 2.5.34

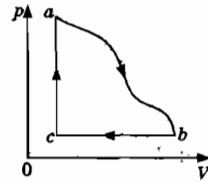


Рис. 2.5.35

2.5.36-2.5.37. На рис. 2.5.36 изображена pV -диаграмма цикла $a-b-c-d-a$ тепловой машины, проведенного с ν молями газа, $2p_0V_0 = \nu RT_0$.

2.5.36. Найдите КПД двигателя.

2.5.37. В холодильной машине рабочее тело — газ совершает цикл обратный по отношению к циклу, изображенному на рис. 2.5.36. Найдите значение холодильного коэффициента.

2.5.38. На рис. 2.5.38 изображена pV -диаграмма цикла $a-b-c-d-a$ тепловой машины, проведенного с ν молями газа. Процесс $a-b$ представляет собой изотермическое сжатие, процесс $c-d$ — изотермическое расширение; $2p_1V_0 = \nu RT_0$. Найдите КПД двигателя.

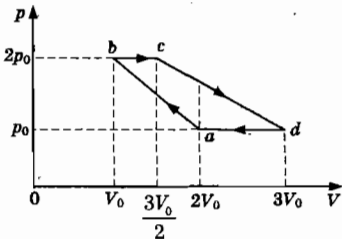


Рис. 2.5.36

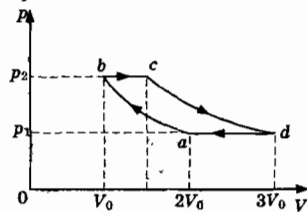


Рис. 2.5.38

2.5.39-2.5.40. На рис. 2.5.39-2.5.40 изображены pV -диаграммы цикла $a-b-c-d-a$ тепловой машины, проведенного с ν молями газа. Отношение объемов $V_3/V_1 = 4$, $p_1V_2 = \nu RT_0$.

2.5.39. Точки a, b, c, d принадлежат изотермам. Найдите КПД двигателя.

2.5.40. На рис. 2.5.40 изображена pV -диаграмма цикла $a-b-c-d-a$ тепловой машины, проведенного с ν молями газа. Процесс $a-b$ представляет собой изотермическое сжатие, процесс $c-d$ — изотермическое расширение. КПД машины $\eta = \frac{R \ln 2}{C_p + 2R \ln 2}$. Найдите количество теплоты Q' , переданное внешней среде.

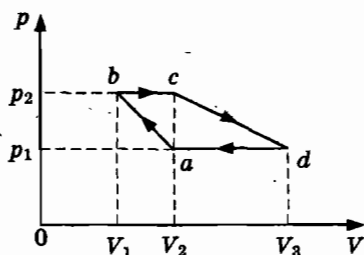


Рис. 2.5.39

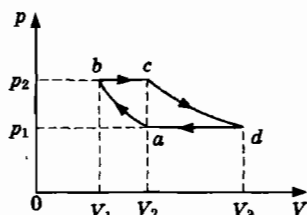


Рис. 2.5.40

2.5.41. Пневматический молот. На рис. 2.5.41 *a* изображен цилиндр машины со входным и выходным вентилями и поршнем. В начале воздух из баллона со сжатым воздухом поступает в цилиндр под постоянным давлением p_2 . Число молей воздуха увеличивается от 0 до значения ν_1 , объем воздуха под поршнем достигает величины V_1 (рис. 2.5.41 *б*). Температура в состоянии a — T_1 . Во второй стадии процесса происходит адиабатическое расширение объема до значения V_2 . В третьей стадии процесса открывается выходной вентиль и воздух под постоянным давлением p_1 выталкивается из рабочего цилиндра. Найдите работу A' , совершаемую воздухом.

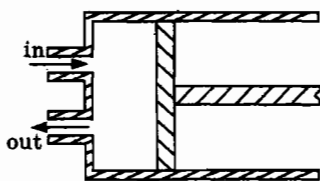


Рис. 2.5.41 а

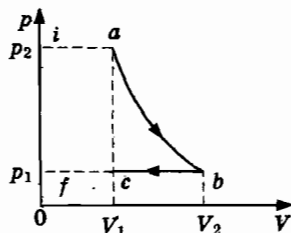


Рис. 2.5.41 б

2.5.42. Пневматический двигатель. На рис. 2.5.41 изображен цилиндр машины со входным и выходным вентилями и поршнем. Цилиндр двигателя обогревается электрическим обогревателем так, что выходящий воздух имеет температуру входящего воздуха. Вначале воздух из баллона со сжатым воздухом поступает в цилиндр под постоянным давлением p_2 . Число молей воздуха увеличивается от 0 до значения ν_1 , объем воздуха под поршнем достигает величины V_1 . Температура в состоянии a на диаграмме рис. 2.5.42 — T_0 . Во второй стадии процесса происходит изотермическое расширение объема до значения V_2 . В третьей стадии процесса открывается выходной вентиль и воздух под постоянным давлением $p_1 = p_{\text{атм}}$ выталкивается из рабочего цилиндра. Найдите работу A' , совершаемую воздухом.

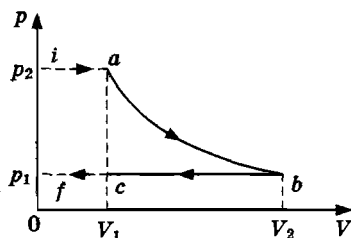


Рис. 2.5.42

2.5.43. На рис. 2.5.9 изображен цикл Стирлинга, образованный двумя изотермами и двумя изохорами. Температура нагревателя и холодильника — T_2 и T_1 . Найдите КПД цикла, предполагая, что обмен теплотой при изохорических изменениях давления является внутренним процессом.

2.5.44. Температура нагревателя тепловой машины Карно $t_2 = 100^\circ\text{C}$. Холодильник представляет собой резервуар со льдом при температуре $t_1 = 0^\circ\text{C}$. Найдите массу льда m , которую можно расплавить при совершении машиной работы $A' = 10^6$ Дж.

2.5.45. Температура комнаты $t_2 = 20^\circ\text{C}$, температура холодильника $t_1 = -10^\circ\text{C}$. Холодильный коэффициент в два раза меньше, чем холодильный коэффициент машины Карно. Найдите стоимость D приготовления $m = 1$ кг льда, если стоимость $A_0 = 1$ кВт·ч = 3,6 МДж составляет ν рублей.

2.5.46. Система переходит из состояния с внутренней энергией U_a в состояние с энергией U_b . Работа, производимая над системой при

необратимом процессе A (необр.) всегда больше работы A (обр.) в случае обратимого процесса. Покажите, что количество теплоты Q (необр.), переданное системе при необратимом процессе, меньше количества теплоты Q (обр.), переданного при обратимом процессе.

2.5.47. Покажите, что отношение $\delta Q/T$, где δQ — элементарное количество теплоты, переданное системе, представляет собой полный дифференциал.

2.5.48. Неравенство Клаузиуса. Система находится во внешней среде, которая характеризуется температурой T_e и давлением p_e . Покажите, что $T_e \Delta S \geq \Delta U + p_e \Delta V$.

2.5.49. Рассмотрим процесс перехода из состояния b в состояние a . Представим процесс в виде последовательности N элементарных процессов и введем функцию $G_{ba} = \sum_n \frac{\delta Q_n}{T_n}$, δQ_n — количество теплоты

переданное системе в элементарном процессе при температуре T_n . Тогда $G_{ba} = S_a - S_b$, где S_a, S_b — значения энтропии в состояниях a и b . Для обратимого циклического процесса aba имеем соотношение $G_{ab} + G_{ba} = 0$. Если один из процессов необратим, то согласно второму закону термодинамики $G_{ab} + G_{ba} < 0$. Покажите, что в случае необратимого процесса ab выполняется неравенство $G_{ab} < S_b - S_a$.

2.5.50. Самопроизвольный переход тепла происходит всегда от более нагретого тела к менее нагретому телу. Это утверждение, является одним из эмпирических фактов, на которых основан второй закон термодинамики. Покажите, что это утверждение следует из строгой формулировки второго закона термодинамики (2.5.7).

Глава III. МЕХАНИКА ЖИДКОСТЕЙ И ГАЗОВ

3.1. Гидростатика и аэростатика

На элементарную частицу неподвижной среды действуют два вида сил: объемные и поверхностные.

Силу, действующую на элемент поверхности ΔS в окрестности точки с координатами x, y, z , ориентация которого задана единичным вектором \vec{n} , можно представить в виде

$$\Delta \vec{F} = -p(x, y, z) \Delta S \vec{n}. \quad (3.1.1)$$

где $p(x, y, z)$ — давление в точке с координатами x, y, z .

Сила, действующая на элементарную жидкую частицу в точке с координатами x, y, z со стороны окружающей ее среды:

$$\begin{aligned} F_x &= -(\Delta p / \Delta x) \Delta V, \\ F_y &= -(\Delta p / \Delta y) \Delta V, \\ F_z &= -(\Delta p / \Delta z) \Delta V. \end{aligned} \quad (3.1.2)$$

Условие равновесия жидкости и газа. В трубке переменного сечения с произвольной формой осевой линии, закрытую или открытую на одном или двух концах, находится воздух и несколько слоев *несжимаемой жидкости* различной плотности. Сумма сил тяжести и давления на элементарную массу Δm равна нулю или $\rho \vec{g} \Delta V - \Delta p = 0$. Ось z направим вертикально вверх. Тогда в любой точке слоя *однородной несжимаемой жидкости* условие равновесия имеет вид

$$\rho g z + p = \text{const}. \quad (3.1.3)$$

По обе стороны плоской поверхности раздела жидкость-жидкость или жидкость-воздух давления одинаковы.

Закон Паскаля: *внешние силы, приложенные к поверхности жидкости (или газа), создают давление одинаковое в любой точке жидкости (или газа).*

Гидростатическое давление. Поместим начало координат на дно сосуда, заполненного жидкостью плотностью ρ до высоты $z = z_0$. В области $0 \leq z \leq z_0$ выполняется соотношение (3.1.3): $p(z) = C - \rho g z$. Постоянную C в правой части найдем из условия $p(z_0) = p_*$ на свободной поверхности:

$C = p_{\text{ат}} + \rho g z_0$. Давление в точках горизонтальной плоскости с координатами x, y, z равно

$$p(z) = p_{\text{ат}} - \rho g(z - z_0). \quad (3.1.4)$$

Обозначая $h = z_0 - z$, получим давление на глубине h :

$$p(h) = p_{\text{ат}} + \rho g h. \quad (3.1.5)$$

Слагаемое $\rho g h$ называется гидростатическим давлением.

Условие равновесия жидкости в тонкой трубке. Значения давлений газа $p_{\text{г}}$ и жидкости $p_{\text{ж}}$ в точках окрестности искривленной поверхности раздела не будут одинаковыми:

$$p_{\text{ж}}(z) \approx p_{\text{г}} \pm 2\alpha/R, \quad (3.1.6)$$

Здесь следует выбрать знак «+», если центр кривизны мениска расположен в жидкости или знак «-», если центр кривизны мениска расположен в газе. Для границы стекло-воздух-вода параметр $\alpha/\rho g = 7,43 \cdot 10^{-6} \text{ м}^2$ (при $t = 20^\circ \text{C}$).

Закон Архимеда: на тело, погруженное в жидкость (или газ), действует выталкивающая сила, направленная вертикально вверх и равная весу вытесненной телом жидкости (газа).

В неинерциальной системе отсчета, движущейся с ускорением \vec{w} , выталкивающая сила направлена параллельно вектору $-\vec{g}_{\text{эф}}$, где $\vec{g}_{\text{эф}} = \vec{g} - \vec{w}$. В невесомости выталкивающая сила равна нулю.

Условие плавания тела. Если тело и жидкость находятся в покое, то сумма сил тяжести и выталкивающей силы равна нулю. В проекции на вертикаль:

$$\rho_{\text{ж}} V_{\text{н}} g - mg = 0, \quad (3.1.7)$$

где $V_{\text{н}}$ — объем вытесненной телом жидкости плотностью $\rho_{\text{ж}}$.

3.1.1. В программе по физике для учащихся и абитуриентов, которую переиздают различные высшие учебные заведения в течении почти пятидесяти лет, в разделе «Механика жидкостей и газов» есть пункт. — «Давление на дно и стенки сосуда». Правильно ли сформулировано это предложение?

3.1.2. Выберите верное утверждение из приведенных здесь фрагментов, взятых из учебников и пособий по физике:

А. Поверхностные силы создают давление одинаковое в любой точке жидкости или газа.

Б. Давление направлено перпендикулярно поверхности поршня.

В. Давлением называется величина, измеряемая силой, действующей по нормали на единицу площади.

Г. Жидкости и газы передают производимое на них давление во все стороны одинаково.

Д. Давление в какой-либо точке жидкости действует одинаково во всех направлениях.

3.1.3. В гидравлическом прессе площади малого и большого поршней $S_1 = 100 \text{ см}^2$, $S_2 = 2000 \text{ см}^2$. Груз массой $m = 2000 \text{ кг}$ перемещают на расстояние $h_2 = 1 \text{ см}$. Найдите величину силы F , приложенной к малому поршню и величину смещения малого поршня h_1 .

3.1.4. Изменится ли положение коромыслов весов, уравновешивающих стакан с водой и гирю, если в воду погрузить палец? Палец не касается стакана.

3.1.5. Гидростатический парадокс. Три сосуда, площади оснований которых одинаковы, заполнены до одного и того же уровня h разными количествами воды: в первом сосуде $m_1 = 200 \text{ г}$, во втором — $m_2 = 300 \text{ г}$, в третьем — $m_3 = 125 \text{ г}$ (рис. 3.1.5). Докажите, что величины сил давления на дно каждого сосуда и давление на уровне дна одинаковы.

3.1.6. В сосуд с водой погрузили усеченный конус, нижнее, меньшее основание которого закрыто невесомой пластинкой (рис. 3.1.6). Сила реакции, действующая со стороны ободка конуса на пластинку $N = 9,8 \text{ Н}$. Отпадет ли пластинка, если в конус влить воду весом $P = 9,8 \text{ Н}$?

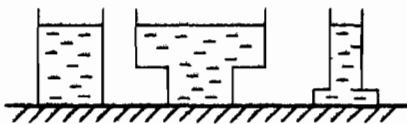


Рис. 3.1.5

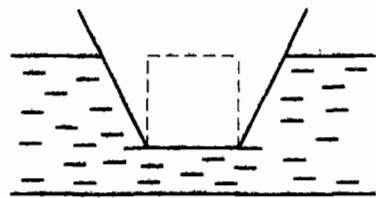


Рис. 3.1.6

3.1.7. Цилиндрический сосуд высотой $h_1 = 10 \text{ см}$ с площадью основания $S_1 = 100 \text{ см}^2$ заполнили водой и закрыли крышкой. В крышке сделано отверстие площадью $S_2 = 10 \text{ см}^2$, в которое вставили тонкостенную трубку. В трубку наливают воду так, что столбик воды имеет высоту $h_2 = 10 \text{ см}$. Найдите величину силы давления воды на дно N и силы давления воды на крышку F .

3.1.8–3.1.9. На рис. 3.1.8 изображен резервуар R_1 , содержащий воздух и слой воды толщиной $h_1 = 10$ см. К резервуару присоединена трубка, заполненная водой до уровня высотой $H = 2,1$ м.

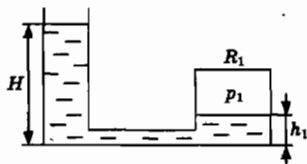


Рис. 3.1.8

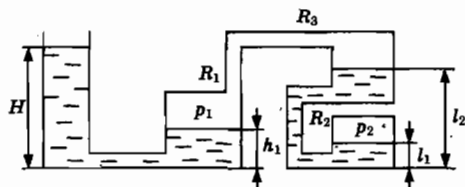


Рис. 3.1.9

3.1.8. Найдите разность Δp_1 давлений воздуха в резервуаре R_1 и атмосферного давления.

3.1.9. Гидроусилитель. Для увеличения перепада давления использован гидроусилитель, изображенный на рис. 3.1.9. Он представляет собой два резервуара R_2 и R_3 , содержащих ртуть, налитую до уровней высотой $l_2 = 1,7$ м и $l_1 = 0,2$ м. Найдите разность давлений воздуха p_2 в резервуаре R_2 и давления p_1 в резервуаре R_1 .

3.1.10. Для описываемого и сейчас во всех учебниках опыта, бургомистр города Магдебурга Отто фон Герике изготовил две металлических полусферы радиусом $a = 21$ см. Используя эластичную прокладку, полусферы можно было соединить в сферу. Герике выкачал из сферы часть воздуха и продемонстрировал, что для отрыва полусфер понадобилось две упряжки по восемь лошадей в каждой. Найдите давление воздуха в сфере $p_{\text{в}}$, если лошади прилагают силу величиной $G = 6000$ Н.

3.1.11. Накроем стакан, наполненный водой, куском смоченного картона. Затем, придерживая картон одной рукой, перевернем стакан и уберем руку. Почему вода не выливается из стакана?

3.1.12. А. В трубке может перемещаться невесомый поршень, плотно прилегающий к стенкам. Опустим конец трубки в воду и переместим поршень вверх. Объясните, почему вода поднялась за поршнем.

Б. Трубка с поршнем имеет длину $l_0 = 12$ м. Можно ли таким насосом поднять воду на поверхность земли из колодца глубиной $H = 11$ м?

3.1.13. В дно сосуда А вмонтирована трубка, закрытая пробкой. В сосуд наливают воду, плотно накрывают пустым сосудом Б и пере-

ворачивают оба сосуда (рис. 3.1.13). Небольшое количество воды выльется из сосуда *A*. Если вынуть пробку из трубки, то вода из сосуда *A* и трубки выливается. Уровень воды в сосуде *B* устанавливается на уровне нижнего конца трубки. Расстояние от нижнего конца трубки до уровня воды в сосуде *A* равно *H*. Найдите давление p_A воздуха в сосуде *A*.

3.1.14. К нити подвешена трубка ртутного барометра массой *m* (рис. 3.1.14). При нормальном атмосферном давлении масса столбика ртути равна *M*. Укажите правильное утверждение:

A. Величина силы натяжения нити $P = mg$, величина силы атмосферного давления, действующей на трубку $N = Mg$.

B. Величина силы натяжения нити $P = mg$, величина силы давления ртути, действующей на трубку $T = 0$.

B. Величина силы натяжения нити $P = mg + Mg$, величина силы атмосферного давления, действующей на трубку $N = Mg$.

Г. Величина силы натяжения нити $P = mg$, величина силы атмосферного давления, действующей на трубку $N = 0$.

Д. Величина силы натяжения нити $P = mg$, величина всех сил давления, действующих на трубку, равна нулю.

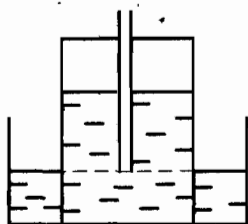


Рис. 3.1.13

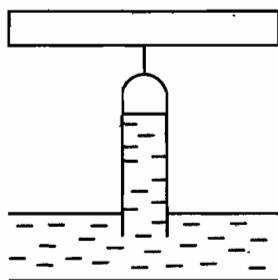


Рис. 3.1.14

3.1.15. Уровень воды у вертикальной стенки плотины — *H*, ширина перекрытия — *L*. Найдите величину силы давления воды F_0 на стенку плотины и величину силы F_1 , действующую на нижнюю четверть стенки.

3.1.16. Плотина образована вертикальной стенкой полуцилиндра радиусом *R*. Высота уровня воды *H*. Найдите силу гидростатического давления на стенку плотины.

3.1.17. В двух цилиндрических сообщающихся сосудах налита ртуть. Поверхность ртути находится на расстоянии *a* от верхнего

края сосудов. Площадь сечения одного из сосудов вдвое больше площади сечения другого сосуда. Сосуд большего сечения доливают до края водой. Найдите величину приращения уровня ртути x в другом сосуде.

3.1.18. В трех одинаковых сообщающихся сосудах находится ртуть (рис. 3.1.18). В первый сосуд налили слой воды высотой h_1 , в третий — высотой h_3 . Найдите величину приращения уровня ртути h_2 во втором сосуде.

3.1.19. Два вертикальных, открытых сверху, цилиндрических сосуда одинакового поперечного сечения соединены на высоте $h = 8$ м тонкой трубкой, перекрытой краном. Первый сосуд заполнен водой до высоты $h_1 = 10$ м, второй — нефтью до высоты $h_2 = 12,5$ м. Давление на уровне дна в первом и втором сосудах одинаково. Найдите приращение уровней воды Δh_1 и нефти Δh_2 , если открыть кран.

3.1.20. Автомобилисты знают способ переливания бензина из одной канистры в другую с помощью шланга, не наклоняя одну из них. Объясните, почему вода перетекает через шланг из сосуда A в сосуд B , изображенные на рис. 3.1.20 ($h_2 > h_1$).

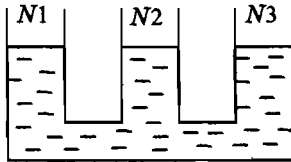


Рис. 3.1.18

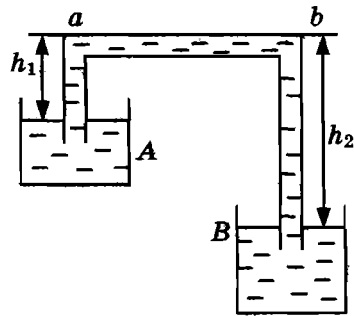


Рис. 3.1.20

3.1.21. Бак, имеющий в основании квадрат со стороной L , заполнен водой до высоты L . Бак движется в горизонтальном направлении с ускорением \vec{w} . Найдите максимальное значение давления воды p_m .

3.1.22. Взвесили резиновый шарик, а затем тот же шарик, надутый воздухом, имеющим температуру воздуха в комнате. Почему показания весов в обоих случаях одинаковы?

3.1.23. Кусок пробки плавает сначала в воде, а потом в масле. В каком случае величина силы Архимеда больше?

3.1.24. Корабль переплыл из Волги в Каспийское море. Как изменилось расстояние между поверхностью палубы и поверхностью воды?

3.1.25. Батискаф массой m выполнен в форме цилиндра высотой d , составленного из двух половинок с площадью основания S . Батискаф находится в положении равновесия на глубине $H > d$, равной расстоянию от поверхности воды до средней плоскости поперечного сечения цилиндра. Давление в батискафе равно атмосферному давлению. Найдите величину силы реакций N , действующих на каждую половинку цилиндра.

3.1.26–3.1.27. Подводный аппарат сделан в форме цилиндра высотой $d = 2$ м, составленного из двух одинаковых половинок. Давление внутри аппарата равно атмосферному давлению. Аппарат находится в равновесии на глубине $H = 10$ м, равной расстоянию от поверхности воды до средней плоскости поперечного сечения цилиндра. Величина выталкивающей силы, действующей на аппарат $F = 98$ кН.

3.1.26. Найдите величину силы давления, действующей на нижний торец цилиндра F_L .

3.1.27. Найдите величину сил реакций, действующих на каждую половинку цилиндра N .

3.1.28. Шар радиусом a находится в воде плотностью ρ . Расстояние от поверхности воды до центра шара $h > a$.

Сила, действующая со стороны воды на нижнюю половину поверхности шара, $\vec{F}_n = -\pi a^2 [p_{at} + \rho g(h + 2a/3)] \vec{g} / g$.

Докажите, что сила, действующая на верхнюю половину поверхности шара $\vec{F}_v = \pi a^2 [p_{at} + \rho g(h - 2a/3)] \vec{g} / g$.

3.1.29. Задача царя Гиерона. Правитель Сиракуз Гиерон заказал ювелиру корону, которая должна быть сделана из чистого золота. Когда заказ был выполнен, Гиерон попросил своего родственника Архимеда выяснить, не разрушая корону, не подменил ли ювелир часть золота серебром. Найдите одно из возможных решений проблемы.

3.1.30. Плитка пенопласта объемом $V = 0,075$ м³ плавает в воде, погрузившись на $1/5$ своего объема. Найдите наименьшую массу груза m , который необходимо положить на плитку для того чтобы плитка полностью погрузилась в воду.

3.1.31. Когда в цилиндрический сосуд с водой опустили плитку пенопласта массой $m_0 = 1$ кг, уровень воды повысился на величину

ну h_1 . При полном погружении плитки уровень воды возрастает на $h_2 = 4h_1$. Найдите наименьшую массу груза m , который необходимо положить на плитку, чтобы она полностью погрузилась в воду.

3.1.32. Цилиндрический сосуд с площадью основания S заполнен водой до уровня высотой h_0 . Найдите силу давления на дно, если в сосуд опустить тело массой m плотностью ρ . Рассмотреть случаи:

А. $\rho < \rho_0$,

Б. $\rho > \rho_0$, ρ_0 — плотность воды.

3.1.33. В цилиндрическом сосуде с площадью основания S плавает лодка, в которой находится груз массой m . Найдите приращение уровня Δh воды в двух случаях:

А. Груз сняли.

Б. Груз сняли и опустили в воду.

3.1.34. В лодке, плавающей в бассейне, появилась течь. Как будет изменяться уровень воды по мере заполнения лодки водой?

3.1.35. В сосуде с жидкостью плотностью ρ плавает кусок льда. Как изменится уровень смеси жидкости и воды, после таяния льда?

3.1.36. Кусок льда плавает в воде, на которую налит слой керосина. Как изменятся уровни границы верхнего и нижнего слоев керосина после таяния льда?

3.1.37. На рис. 3.1.37а изображена вертикальная проекция двух соприкасающихся одинаковых шаров, плавающих в цилиндрическом сосуде. Плоскость уровня воды совпадает с плоскостью большого круга первого шара и касается второго шара. Массы шаров — m . Найдите величину сил давления N_1, N_2 каждого шара на стенки цилиндра и плотность шара.

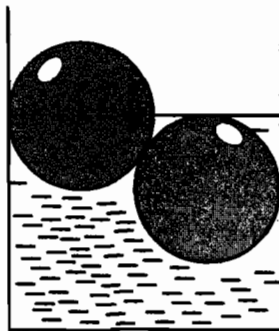


Рис. 3.1.37 а

3.1.38. Бревно длиной $L = 1$ м, радиусом $R = 10$ см плавает в воде. Расстояние от поверхности воды до оси бревна $h = 6$ см. На середину бревна села утка массой $m = 1$ кг. Найдите приращение глубины погружения бревна Δh .

3.1.39. Тело массой m , объемом $V = 2$ л прикреплено к нити. Тело и точку подвеса погружают под поверхность воды. Найдите вес тела P в двух случаях.

А. Масса тела $m = 1$ кг.

Б. Масса тела $m = 3$ кг.

3.1.40. Через один конец доски массой $M = 120$ кг, длиной $L = 4$ м проходит горизонтальная ось O , вокруг которой доска может вращаться (рис. 3.1.40). Доска опущена в бассейн и находится в равновесии, когда над водой выступает часть доски длиной $L/2$. Найдите расстояние s , которое человек массой $m = 60$ кг может пройти по доске до границы уровня воды в бассейне.

3.1.41. В бассейне плавает понтон (от франц. — *ponton* — мост), образованный плоским основанием и цилиндрической поверхностью радиусом R . Масса понтона M , центр тяжести находится на расстоянии $OC = a$ от центра полуокружности в плоскости основания. Если положить в точку O частицу массой m , то расстояние от плоскости основания до поверхности воды равно $R/2$ (рис. 3.1.41 а). Если же эту частицу закрепить в точке P на границе плоского основания цилиндра, то она окажется на уровне воды в бассейне. Найдите значение массы m .

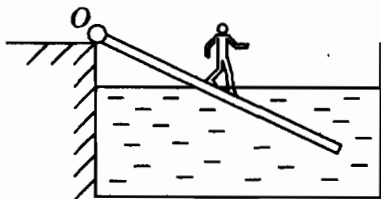


Рис. 3.1.40

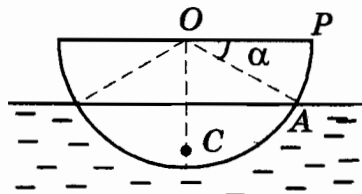


Рис. 3.1.41 а

3.1.42. Сосуд с водой движется с ускорением \vec{w} , направленным вниз по вертикали. Найдите давление на глубине h .

3.1.43. Объем погруженной части тела, плавающего в неподвижном сосуде равен $3V/5$, где V — объем тела. Найдите объем погруженной части тела в сосуде, движущемся вниз с ускорением $w = g/3$.

3.1.44. Диск может вращаться вокруг вертикальной оси. Зажгли свечу и закрепили на дне стеклянной банки. Банку закрепили на крае диска и раскрутили диск. В какую сторону отклоняется пламя свечи — к оси вращения или в противоположную сторону?

3.1.45. Воздушный шар, сообщающийся с атмосферой, заполнен воздухом. Масса оболочки и груза $m = 100$ кг. Температура наружного воздуха $t_1 = 17$ °С, температура воздуха внутри оболочки $t_2 = 157$ °С. При каком значении объема V_0 шар взлетит?

3.1.46. Невесомая оболочка шара объемом $V = 1$ м³, сообщаемого с атмосферой, заполнена гелием, имеющим температуру наружного воздуха $t = 17$ °С и давление $p = 100$ кПа. Найдите подъемную силу F , действующую на шар.

3.1.47. Покажите, что отношение подъемных сил, действующих на равные объемы водорода и гелия при одинаковых условиях $(M_1 - M_H)/(M_1 - M_{He}) = 1,08$.

3.1.48–3.1.49. Почему «плавают» облака? Известно, что облако состоит из капелек воды.

3.1.48. Почему же облако «плавает» в воздухе?

3.1.49*. Силу сопротивления $\vec{F} = -6\pi\eta a \vec{v}$, действующую на сферу радиусом a , вычислил в 1851 г. английский физик Дж. Стокс.

Здесь $\eta = 1,825 \cdot 10^{-5}$ кг/(м · с) — коэффициент вязкости, \vec{v} — скорость сферы. Оцените характерный интервал времени τ , в течение которого скорость капли приближается к постоянной величине v_0 .

3.1.50*. В 1897 г. английский физик Р. Вильсон обнаружил, что во влажном воздухе ионы являются центрами конденсации капель воды, настолько малых, чтобы размеры капель можно было измерить непосредственно. Его коллега Дж. Таунсенд предложил метод определения массы капель, измеряя скорость v_0 падающих капель (этот метод в дальнейшем использовался в большинстве экспериментов по измерению заряда электрона). Найдите радиус капли a .

3.1.51. На мыльную плоскую пленку положили замкнутую нить длиной l . С помощью спички, смоченной спиртом, пленку внутри петли прорывают. Отверстие, охваченное петлей, имеет форму окружности. Найдите величину силы натяжения нити T . Коэффициент поверхностного натяжения на границе нить — мыльная пленка — α .

3.1.52. Сферическая капля. Найдите давление в сферической капле радиусом R , обусловленное силами поверхностного натяжения.

3.1.53. Запаянная сверху трубка с каналом радиусом $a = 0,5$ мм открытым торцом опущена в воду (рис. 3.1.53). Давление над мениском p_1 , атмосферное давление p_0 . Найдите значение уровня воды h в капилляре.

3.1.54. Открытая с обоих концов трубка наполнена водой и удерживается в вертикальном положении. Радиус канала трубки $a = 1$ мм. Найдите высоту столбика h оставшейся в капилляре воды.

3.1.55. Давление насыщенного пара над выпуклой поверхностью капли $p_n = p_{n0} + (2\alpha/R)(\rho_{n0}/\rho_w)$, где p_{n0} , ρ_{n0} – давление и плотность насыщенного пара над плоской поверхностью, ρ_w – плотность воды. Объясните относительную устойчивость пересыщенного пара.

3.1.56. Сферическая пленка. Найдите давление p_1 , создаваемое силами поверхностного натяжения мыльной пленки, образованной двумя сферическими поверхностями радиусов $R_{2,1} = R \pm d/2$, $d \ll R$.

3.1.57. Два мыльных пузыря радиусов R_1 и R_2 ($R_2 > R_1$) соединены трубкой (рис. 3.1.57). Опишите эволюцию размеров пузырей.

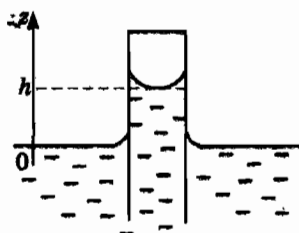


Рис. 3.1.53

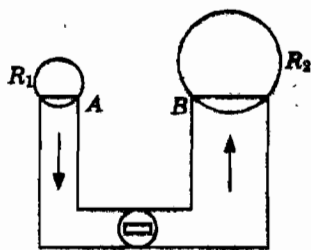


Рис. 3.1.57

3.1.58. Многие читатели знают, что «склеенные» водой стеклянные пластинки, трудно разделить. Можно только медленно сдвигать их относительно друг друга. Мениск смачивающей жидкости представляет собой часть цилиндрической поверхности радиусом R . Толщина слоя воды $d = 2R$, $d = 10^{-2}$ мм. Найдите разность между внешним давлением и давлением в воде между пластинками.

3.1.59*. Лунные приливы. В результате взаимодействия частицы с Луной ускорение свободного падения в точке на расстоянии r от центра Земли

$$\vec{g} = -Gm_s \vec{r} / r^3 + (Gm_s / r_{zs}^3) [3\vec{n}(\vec{n}\vec{r}) - \vec{r}],$$

где r_{zs} – расстояние между Землей и Луной, $\vec{n} = \vec{r}_{zs} / r_{zs}$ – единичный вектор, направленный от центра Земли к центру Луны. Оцените ам-

плитуду прилива h , предполагая, что земная поверхность представляет собой сферу, покрытую слоем воды средней глубиной $H \ll R$, где R — радиус Земли.

3.1.60. Найдите частоту ν линейных колебаний воды в U — образной трубке. Масса воды $m = 0,2$ кг, площадь поперечного сечения трубки $S = 0,001$ м².

3.1.61. В первую пипетку набрали холодную воду, во вторую — горячую. Из какой пипетки капает более тяжелые капли?

3.1.62. Определите разность уровней ртути Δh в двух сообщающихся капиллярах с радиусами каналов $R_1 = 0,5$ мм, $R_2 = 1,5$ мм.

Плотность ртути $\rho = 13,36 \cdot 10^3$ кг/м³, коэффициент поверхностного натяжения $\alpha = 0,47$ Н/м.

3.1.63. Найдите работу A , которую необходимо совершить, чтобы выдуть мыльный пузырь радиусом $R = 4$ см. Коэффициент поверхностного натяжения $\alpha = 0,04$ Н/м.

3.1.64. Открытую с обоих концов трубку длиной $l = 1,25$ м погружают до половины длины в ртуть, закрывают верхнее отверстие и вынимают из ртути. В результате изотермического процесса в трубке остается столбик ртути длиной $h = 27$ см. Найдите значение атмосферного давления.

3.1.65. В глубоком аквариуме плавает цилиндр высотой H . Глубина погружения цилиндра H' . В аквариум доливают жидкость, всплывающую в воде. Когда слой жидкости доходит до торца цилиндра, толщина слоя на поверхности воды достигает значения b .

А. Найдите плотность жидкости ρ , если $H' = 0,9H$, $b = H$.

Б. Найдите плотность жидкости ρ , если $H' = 0,8H$, $b = 0,5H$.

3.1.66. Льдину в форме диска сечением $S = 1$ м², высотой $h = 1$ м погружают в воду.

А. Льдина подвешена на тросах. В начальном положении нижняя плоскость льдины касается поверхности воды, в конечном состоянии льдина плавает. Определите работу A_1 , совершаемую внешней силой.

Б. Определите работу A_2 , которую необходимо совершить для полного погружения льдины.

3.1.67. Плотность раствора соли изменяется с глубиной x по закону $\rho(x) = \rho_0 + kx$. Найдите глубину погружения h плавающего прямого цилиндра массой m . Площадь сечения цилиндра S .

3.1.68. Найдите уравнение поверхности $f(x, y, z) = 0$ несжимаемой жидкости в цилиндрическом сосуде, вращающемся вокруг своей оси с угловой скоростью ω .

3.1.69. Воздушный шар, сообщающийся с атмосферой, заполнен воздухом. Масса оболочки, горелки и груза $m = 420$ кг, радиус шара $R = 10$ м. Температура наружного воздуха $t_1 = 17^\circ\text{C}$. При каком значении температуры воздуха внутри шара t_2 шар взлетит?

3.1.70. Для удержания на поверхности земли метеорологического шара-зонда массой $m = 12,25$ кг необходимо приложить силу величиной $F = 7mg$. Оболочка шара герметичная и упругая. Шар поднимается до максимальной высоты, на которой объем шара увеличивается в два раза. Найдите максимальную высоту подъема H . Известно, что плотность воздуха зависит от вертикальной координаты z по закону $\rho(z) = \rho_0(1/2)^{z/h}$, где $\rho_0 = 1,225$ кг/м³ — плотность воздуха у поверхности земли, $h \approx 5$ км.

3.1.71. Оцените избыточное, по отношению к атмосферному, давление воздуха Δp в воздушном шарике. Температура воздуха $t = 23^\circ\text{C}$, разность показаний весов при взвешивании надутого шарика и его оболочки Δmg , $\Delta m = 0,3$ г, диаметр шара $D = 30$ см.

3.2. Адиабатическое течение жидкости и газа. Закон Бернулли

Закон Бернулли. Течение сплошной среды — жидкости или газа, удовлетворяет трем условиям:

1. Среда невязкая — внутреннее трение отсутствует.
2. При течении реализуется адиабатический процесс.
3. Течение является стационарным или установившемся; в этом случае распределение траекторий частиц жидкости или газа в пространстве не изменяется с течением времени. Тогда для элементарной массы на линии тока

$$mv^2/2 + mgz + U + pV = \text{const.} \quad (3.2.1)$$

В случае идеального газа функция $W = U + pV = mc_p T$ представляет собой *энтальпию*. Из (3.2.1) имеем

$$v^2/2 + gz + c_p T = \text{const.}$$

При движении несжимаемой жидкости постоянной плотности ρ получим закон Бернулли в виде

$$\rho v^2/2 + \rho gz + p = \text{const.} \quad (3.2.2)$$

Величина $\rho v^2/2$ называется *скоростным напором*. При безвихревом течении постоянная в (3.2.1)–(3.2.2) имеет одно и то же значение на каждой линии тока.

Уравнение непрерывности. Требование сохранения массы элементарного объема жидкости приводит к условию $\Delta m / \Delta t = 0$, или к соотношению $\rho v \Delta S = \text{const}$, которое называется *уравнением непрерывности*. Если пренебречь сжимаемостью жидкости, то $v \Delta S = \text{const}$. Здесь v – проекция скорости на касательную к линии тока в сечении ΔS .

Адиабатическое движение воздуха с постоянной скоростью. Из условия равенства нулю суммы сил, действующих на «жидкую» частицу, следует соотношение

$$\Delta T / \Delta z = -g / c_p, \quad (3.2.3)$$

где z – координатная ось, направленная вертикально вверх.

Величину $\kappa_a = g / c_p$ метеорологи называют *сухоадиабатическим градиентом температуры* (от лат. *gradiens* – шагающий).

Для сухого воздуха

$$c_p = 1,005 \text{ кДж} / (\text{кг} \cdot \text{К}), \quad \kappa_a = 9,8 \cdot 10^{-3} \text{ К} / \text{м},$$

т.е. температура воздуха понижается приблизительно на 1° на каждые 100 м подъема.

Для воздуха, содержащего насыщенный пар

$$\kappa_H = 5,4 \cdot 10^{-3} \text{ К} / \text{м},$$

т.е. воздух охлаждается примерно на $0,54^\circ \text{C}$ на каждые 100 м.

3.2.1. Получите закон Бернулли (3.2.1).

3.2.2. Истечение из отверстия в открытом сосуде. Вода в вертикально расположенном цилиндрическом резервуаре вытекает из круглого отверстия у основания (рис. 3.2.2). Площади сечений цилиндра и отверстия равны соответственно S_2 и S_1 , высота уровня воды – h . Найдите скорость истечения воды v_1 из отверстия.

3.2.3. А. Найдите горизонтальную компоненту силы реакции F_x , действующей на сосуд при вытекании воды через насадок, называемый насадком Борда, который состоит из цилиндрической трубки, вдвинутой внутрь сосуда (рис. 3.2.3).

Б. Как изменится величина силы реакции, если насадок представляет собой длинную плавно сужающуюся трубку на рис. 3.2.3?

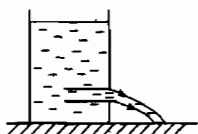


Рис. 3.2.2

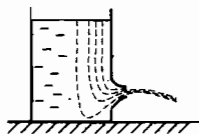


Рис. 3.2.3

3.2.4. Фонтан Герона. На рис. 3.2.4 изображена конструкция одного из фонтанов Герона (80 г. до н. э.). Резервуар R_1 , содержащий воздух и слой воды, соединен трубками с открытым резервуаром R_3 , заполненным водой, и резервуаром R_2 . От резервуара R_2 отходит тонкая трубка, из которой бьет струя фонтана с уровня $h_4 = 1,55$ м. Уровни воды в резервуарах соответственно равны $h_1 = 0,25$ м, $h_2 = 0,95$ м, $h_3 = 1,35$ м. Найдите величину скорости воды v на уровне h_4 и длину струи L .

3.2.5*. Водослив через плотину. На рис. 3.2.5 показан обычный тип плотины с гребнем шириной L . В точке А понижение уровня воды за плотиной по сравнению с уровнем воды удаленной от гребня, где скорость воды в резервуаре пренебрежимо мала, равно H . Толщина потока в этом месте h . Наклоны плотины и свободной поверхности воды достаточно малы. Найдите расход воды Q кг/с через плотину.

3.2.6. При откачке воды из колодца глубиной H через шланг сечением S поступает Q кг/с воды. Найдите мощность P , потребляемую мотором насоса.

3.2.7*. Ветродвиатель. Рассмотрим ветроколесо с двумя или тремя лопастями, закрепленными на горизонтальной оси, параллельной направлению ветра (рис. 3.2.7). Площадь, ометаемая лопастями, равна S . Невозмущенные значения скорости и давления слева от ветроколеса равны v_0 и p_0 , а справа — u_0 и p_0 . Найдите максимальную мощность P_m , развиваемую ветроколесом.

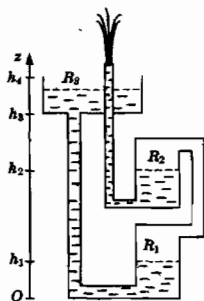


Рис. 3.2.4

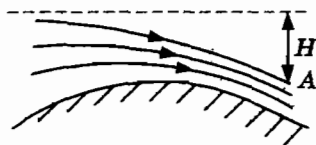


Рис. 3.2.5

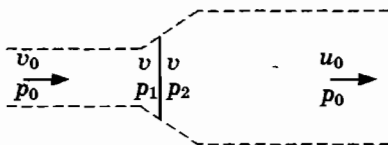


Рис. 3.2.7

3.2.8. Покажите, что при зависании вертолета массой m , мощность, развиваемая двигателем $N = (mg)^{3/2} / (2\rho S)^{1/2}$, где S — площадь, ометаемая винтом.

3.2.9*. Течение жидкости в трубе переменного сечения. Поток в виде прямолинейной струи со скоростью v_1 втекает в широкий участок трубы (рис. 3.2.9). Здесь на боковой поверхности струи развивается нерегулярное вихревое движение. Охватывающая струю жидкость постепенно захватывается, смешивается со струей и, наконец, поток становится однородным и движется со скоростью v_2 . Найдите давление p_2 далеко вправо по потоку, зная давление p_1 слева в узкой трубе. Площади сечений AB и FE равны соответственно S_1, S_2 .

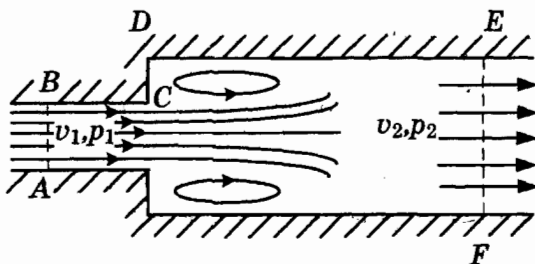


Рис. 3.2.9

3.2.10—3.2.12. Адиабатическое движение воздуха с постоянной скоростью.

3.2.10. Получите величину адиабатического градиента (3.2.3).

3.2.11. Получите величину $\Delta T / \Delta z = -g / c_p$, используя теорему Бернулли (3.2.1).

3.2.12. Найдите зависимость температуры воздуха поднимающегося с постоянной скоростью от высоты $T(z)$.

3.2.13. Две горизонтально расположенные пластины находятся на расстоянии d . Температура верхней пластины T_1 , температура нижней пластины $T_2 > T_1$. Оцените величину $\Delta T = T_2 - T_1$, при которой в системе возникает конвекция.

3.2.14. В равновесном состоянии зависимость температуры от высоты имеет вид $T_a(z) = T_0 - k_a z$, где T_0 — температура воздуха у поверхности Земли, $k_a = g / c_p$ — сухоадиабатический градиент температуры. В реальной атмосфере зависимость температуры от высоты температура воздуха может изменяться по закону:

$$A. T_b(z) = T_{b0} - k_b z, k_b = k_2, k_2 > k_a, \quad B. k_b = k_1, k_1 < k_a.$$

Графики этих функций показаны на рисунке 3.2.14 а, б. Как будут двигаться частица воздуха массой Δm , если она сместится с высоты z_1 вверх на величину $\Delta z > 0$ или вниз — на $\Delta z < 0$?

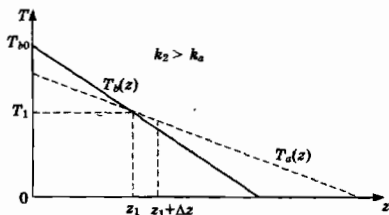


Рис. 3.2.14а

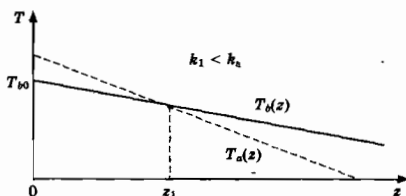


Рис. 3.2.14б

3.2.15. Из трубы высотой $h = 100$ м выходит сухой воздух с температурой, превышающей температуру окружающего воздуха на величину $\Delta T = 2$ К. Зависимость температуры воздуха от высоты z имеет вид $T_0(z) = T_0 - k_0 z$, где $k_0 = 5,9 \cdot 10^{-3}$ К/м. На какой высоте H воздух, вышедший из трубы, окажется в равновесии?

3.2.16. Попробуйте ответить на вопрос: устойчива ли тропосфера в области инверсии?

3.2.17. Объясните, почему при движении массы воздуха вверх по склону горы относительная влажность массы воздуха увеличивается.

3.2.18. Воздух, имеющий на поверхности Земли относительную влажность $\phi = h \cdot 100\%$, $h = 0,5$ при температуре $t_0 = 27$ °С, поднимается на высоту $H = 2$ км. Оцените температуру воздуха t на высоте H .

3.2.19. Опишите процессы, происходящие при встрече индийского летнего муссона с Гималаями.

3.2.20. Адиабатическое движение воздуха. На территории США в Скалистых горах теплый ветер со снежного хребта индейцы назвали *чинук* — снегоед. Он нередко повышает температуру до 25 °С менее чем за 12 часов и испаряет снежный покров. Объясните это явление.

3.2.21*. Адиабатическая атмосфера. Температура воздуха на высоте z над уровнем моря $T(z) = T_0 - k_0 z$, $k_0 = g/c_p$. Найдите давление воздуха $p(z)$.

3.2.22–3.2.23*. Изотермическая атмосфера. Предполагается, что температура атмосферы в постоянна.

3.2.22*. Найдите давление воздуха $p(z)$.

3.2.23*. Найдите массу m столба воздуха с площадью основания S , и координату z_c центра тяжести столба в случае «плоской» Земли.

3.2.24*–3.2.25*. Газ вытекает через горизонтально расположенную трубу из резервуара, размеры которого значительно больше диаметра трубы — скорость газа в резервуаре можно положить равной нулю. Температура и давление газа в резервуаре — T_0 и p_0 .

3.2.24*. Найдите температуру и давление на линии тока в случае адиабатического течения как функцию числа Маха $M' = v/c$, где v — скорость газа, c — скорость звука, $c^2 = \gamma p/\rho$, $\gamma = 1,4$.

3.2.25*. Найдите максимальную скорость вытекания газа.

3.2.26*. **Сопло Лавала.** Рассмотрите задачу об дозвуковом и сверхзвуковом движении газа, протекающего в трубе переменного сечения в сопле Лавала — трубе, сначала суживающейся, а затем расширяющейся (рис. 3.2.26). Покажите, что скорость газа при сверхзвуковом течении ($v > c$) возрастает в расширяющейся трубе и уменьшается в сужающейся трубе.

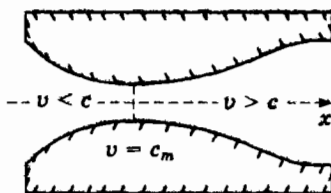


Рис. 3.2.26

3.2.27*. **Ветры в северном полушарии.** Согласно (3.1.1) поверхностная сила, действующая частицу $\vec{F} = -\vec{G}V$, $\vec{G} = (\Delta p/\Delta x, \Delta p/\Delta y, \Delta p/\Delta z)$. В 1835 г. французский физик Г.Г. Кориолис показал, что в системе отсчета, вращающейся с угловой скоростью $\vec{\Omega}$, на частицу действует сила инерции $\vec{F} = -2m\vec{\Omega} \times \vec{v}$. Введем систему координат с началом в точке O на широте θ : ось z направим вертикально вверх, ось x — по меридиану к полюсу, ось y — на запад. Найдите скорость установившегося горизонтального движения воздуха с постоянной скоростью, пренебрегая силами вязкости.

3.3. Деформация твердых тел. Тепловое расширение

Для описания деформации вводят вектор деформации $\vec{u}(x, y, z)$. Если до деформации положение некоторой точки A задано радиус-вектором $\vec{r} = (x, y, z)$, то в деформированном теле она сместится в точку A' с радиус-вектором

$\vec{r} + \vec{u}(\vec{r})$. Следовательно, приращение вектора $\Delta\vec{r}$ равно $\vec{u}(\vec{r} + \Delta\vec{r}) - \vec{u}(\vec{r})$. Основной задачей теории упругости является определение вектора $\vec{u}(\vec{r})$.

На поверхность поперечного сечения стержня длиной l , расположенного параллельно оси z , действует сила упругости $\vec{T} = (0, 0, T_z)$ со стороны соприкасающихся частиц стержня. Сила \vec{T} заранее неизвестна и определяется из условия равновесия. Запишем T_z в виде $T_z = \sigma(x, y, z)S$, где S — площадь поперечного сечения.

Функция $\sigma(x, y, z)$ — называется *напряжением*.

Если до деформаций стержня вектор $\Delta\vec{r}$ имел координаты $(0, 0, \Delta z)$, то в деформированном состоянии его z -координата станет равной $\Delta z' = \Delta z + \Delta u_z$. Отношение $\Delta u_z / \Delta z$ характеризует относительное удлинение отрезка $[z, z + \Delta z]$. Для простого растяжения

$$\Delta u_z / \Delta z = \sigma(z) / E \quad (3.3.1)$$

Это соотношение представляет собой *закон Гука* в наиболее простой форме.

Постоянный коэффициент E называется *модулем Юнга* в честь английского физика Т. Юнга, который записал закон Гука в форме (3.3.1).

Полное удлинение стержня $\Delta l = u_z(l)$,

$$\Delta l = \frac{1}{E} \int_0^l \sigma(z) dz \quad (3.3.2)$$

Для многих металлов модуль Юнга имеет порядок $7-20 \cdot 10^{10}$ Па, для стали $E = 2,1 \cdot 10^{11}$ Па, для меди $E = 1,2 \cdot 10^{11}$ Па, для костных материалов — $1,5 \cdot 10^{10}$ Па, для гранита $4,5 \cdot 10^{10}$ Па, для бетона $2,6 \cdot 10^{10}$ Па.

Поперечная деформация. Стержень деформируется не только в продольном, но и в поперечных направлениях. Величины $\Delta u_x / \Delta x$, $\Delta u_y / \Delta y$ характеризуют относительное сжатие стержня. Французский математик Симон Пуассон в 1810 г. установил связь между поперечной и продольной деформациями стержня

$$\begin{aligned} \Delta u_x / \Delta x &= -\gamma \Delta u_z / \Delta z, \\ \Delta u_y / \Delta y &= -\gamma \Delta u_z / \Delta z, \end{aligned} \quad (3.3.3)$$

где γ — коэффициент Пуассона.

Энергия упругой деформации. При однородной деформации стержня энергия деформации $U = k(\Delta l)^2/2$ может быть представлена в общем виде $U = uV_0$,

$$u = \sigma^2/2E, \quad (3.3.4)$$

где u — объемная плотность энергии деформации,

V_0 — объем стержня до деформации.

3.3.1–3.3.2. Цилиндрический резервуар заполнен газом при давлении p_2 , внешнее давление равно p_1 ($p_2 > p_1$). Длина резервуара — L , внешний радиус R , толщина стенки $d \ll R, L$.

3.3.1. Найдите напряжение σ_p в продольном сечении оболочки, проходящем через ось симметрии резервуара.

3.3.2. Найдите напряжение σ_t в поперечном сечении оболочки резервуара.

3.3.3. Тонкостенный стальной цилиндр радиусом $R = 1$ м вращается вокруг оси с угловой скоростью $\omega = 30$ р/с. Плотность стали $\rho = 7,8 \cdot 10^3$ кг/м³. Найдите напряжение σ в продольном сечении стенки цилиндра.

3.3.4. Медная трубка плотно надета на стальную трубку при температуре t_2 . Внешний радиус стальной трубки — R , толщина стальной трубки — d_1 , медной трубки — d_2 . Модули Юнга меди и стали E_m, E_c , коэффициенты линейного расширения меди и стали α_m, α_c ($\alpha_m > \alpha_c$). Найдите напряжение в медной трубке σ_m при охлаждении до температуры $t_1 < t_2$.

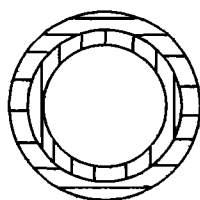


Рис. 3.3.4

3.3.5. Давление в аорте — главном кровеносном сосуде, выходящем из сердца, равно в среднем $p = 100$ мм рт. ст. = 133,33 кПа. Радиус сосуда $R = 1,25$ см, толщина — $d = 0,2$ см, модуль Юнга ткани $E = 10^6$ Па. Получите значение приращения толщины сосуда Δd .

3.3.6. Сферический резервуар заполнен газом при давлении p_2 , внешнее давление равно p_1 ($p_2 > p_1$). Внешний радиус сферы R , тол-

щина стенки $d \ll R$. Найдите напряжение σ в сечении оболочки, проходящем через плоскость симметрии резервуара.

3.3.7. Верхний торец стержня закреплен на горизонтальной плоскости, к нижнему торцу стержня приложена сила, направленная по вертикали вниз, величиной F . Масса стержня m , длина l , площадь поперечного сечения S . Найдите удлинение стержня Δl .

3.3.8. Стержень длиной l_0 расположен вдоль оси z . Поперечное сечение представляет собой квадрат со стороной a_0 . Один торец стержня закреплен, а к поверхности другого торца приложена сила \vec{F} , параллельная оси z . Найдите приращение объема стержня.

3.3.9. Балка в форме параллелепипеда с площадью основания $a \times a$ и высотой b поставлена на горизонтальную плоскость. Найдите приращение σV объема ΔV , если балку положить на бок. Масса балки — m , модуль Юнга — E .

3.3.10*. Колонна Исаакиевского собора в Санкт-Петербурге имеет высоту $h = 30$ м. Модуль Юнга гранита $E = 8,8 \cdot 10^{10}$ Па, плотность $\rho = 2,7 \cdot 10^3$ кг/м³. А. Найдите величину сжатия колонны $|\Delta h|$. Б. Масса колонны m , площадь поперечного сечения S . Найдите энергию деформации колонны U .

3.3.11*. Башня постоянного сопротивления. На рис.3.3.11а изображена осесимметричная башня массой m высотой h . Радиус основания R_0 . Величина допускаемого в практике напряжения $\sigma_0 = \sigma_{np}/n$, где σ_{np} — предел прочности, n — коэффициент безопасности. Найдите зависимость радиуса круга $R(x)$ поперечного сечения башни от вертикальной координаты x , если напряжение σ_0 в каждом сечении постоянно.

3.3.12. К пружине динамометра, находящегося на гладкой горизонтальной плоскости, приложена сила \vec{F} (рис. 3.3.12). Масса пружины m , масса корпуса M . Определите показание динамометра, если градуировка проводилась при закрепленном корпусе.

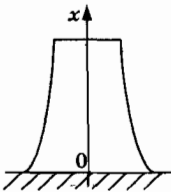


Рис. 3.3.11 а

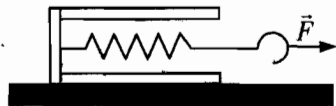


Рис. 3.3.12

3.3.13. Пружина поставлена на горизонтальную плоскость. Жесткость пружины k , длина в ненапряженном состоянии — l_0 . На верхний торец пружины кладут груз массой m . Найдите скорость груза при пересечении положения равновесия.

3.3.14–3.3.17. Возьмем стальное лезвие бритвы толщиной $d = 0,08$ мм и изогнем его в полукольцо. Внешние слои лезвия будут растянуты, а внутренние сжаты. На средней линии радиусом $R = 1$ см деформация равна нулю.

3.3.14. Найдите относительное удлинение внешнего слоя.

3.3.15. Почему распрямляется лезвие после разгрузки?

3.3.16. Изогнем полукольцом пластинку из той же стали, но толщиной $d = 2$ мм. Распрямится ли пластинка после разгрузки?

3.3.17. Если пластинку сжать достаточно быстро, то деформация представляет собой адиабатический процесс. Опишите распределение температуры по толщине пластинки и направление теплового потока при выравнивании температуры.

3.3.18–3.3.19*. Альпинист на вертикальной стене. На рис. 3.3.18 показаны этапы прохождения стенки связкой-двойкой. Веревка закреплена в точке S . Лидер с рюкзаком общей массой $m = 100$ кг поднялся на скалу до высоты h относительно напарника S , забил в точке страховки F крюк, продернул веревку через карабин и поднялся еще на расстояние h_1 . Длина веревки в этом положении $l_0 = h + h_1$, $h = 5$ м, $h_1 = 3$ м. При срыве лидер падает до точки F_2 , в которой скорость равна нулю.

3.3.18. Качество веревки задается «модулем веревки» $f = ES$, где S — сечение веревки, $f = 40$ кН. Найдите удлинение веревки $\Delta l = l_2 - l_0$ ($l_2 = h + h_2$ — длина веревки в положении F_2) и величину силы, действующей на лидера со стороны веревки в точке F_2 .

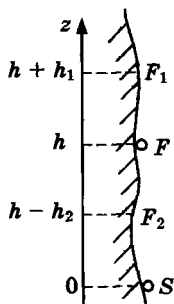


Рис. 3.3.18

3.3.19. Современная альпинистская веревка содержит сердцевину с модулем f_1 при удлинении $\Delta l_1 = l_1 - l_0$ и модулем $f_2 < f_1$ при дальнейшем удлинении $\Delta l_2 = l_2 - l_0$. Найдите относительное удлинение веревки Δl_2 , и величину силы $F = k_2 \Delta l_2$, действующей на лидера со стороны веревки в точке F_2 .

3.3.20. Опасная зона для спутников планет. Рассмотрим спутник в виде гантели, вращающейся по окружности вокруг планеты. Гантель представляет собой два скрепленных шара, расположенных на прямой, проходящей через центр планеты. Площадь сечения контакта шаров равна S . Массы планеты и шара равны соответственно M и $m/2$, радиусы — R и a . Найдите напряжение в сечении контакта.

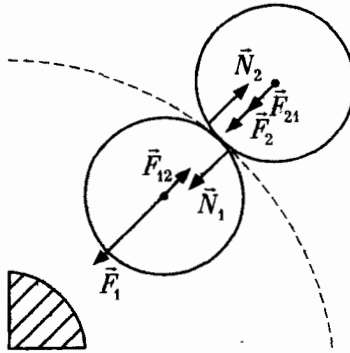


Рис. 3.3.20

3.3.21. Напряжение в нити. Гибкая нить постоянного поперечного сечения висит между двумя точками A и B , находящимися на одной горизонтальной прямой, точка O — середина нити. Масса нити — m , пролет нити $AMB = l$, стрела провисания $MO = h$, $h \ll l$. Найдите величину силы натяжения нити T в точках закрепления.

3.3.22. Статически неопределенная задача. На грань железобетонного куба действует сила P , параллельная стальным стержням. Модуль Юнга бетона и стали $E_b = 20$ ГПа, $E_c = 200$ ГПа, S_b, S_c — площади поперечных сечений бетона и стержней. Найдите силы, действующие на бетон и стальные стержни.

3.3.23*. Предварительно напряженный железобетон. После затвердения бетон сцепляется со сталью и при деформации не происходит относительного скольжения. Железобетонную балку можно сделать прочнее, если при изготовлении стальные стержни длиной l_0

растянуть до длины l_1 и залить жидким бетоном. После затвердения стержни освобождают. Найдите длину l_2 железобетонной балки.

3.3.24. Стальной цилиндр, плотно входящий в медную трубку, сжимают между плитами пресса. Сила давления $P = 40$ тс. Площадь поперечного сечения цилиндра $S_c = 75$ см², кольца в поперечном сечении трубки $S_m = 225$ см². Найдите напряжение в меди σ_m .

3.3.25. Стальной болт и гайка скрепляют медную трубку (рис. 3.3.25). Длина болта $l = 75$ см, шаг нарезки болта $h = 0,3$ см, площадь поперечного сечения болта $S_1 = 6$ см², кольца в поперечном сечении трубки $S_2 = 12$ см². Модули Юнга меди и стали $E_m = 1,2 \cdot 10^{11}$ Па, $E_c = 2,1 \cdot 10^{11}$ Па. Найдите напряжения в трубке σ_m при повороте гайки на $1/4$ оборота.

3.3.26. Невесомый стержень закреплен на верхнем конце, на нижнем конце стержень имеет выступ (рис. 3.3.26). Длина стержня l_0 . В начальный момент времени груз массой m , находящийся на высоте h относительно выступа, отпускают и он падает, скользя по стержню. Найдите величину деформации стержня Δl в результате неупругого столкновения груза с выступом и напряжение в стержне σ_c .

3.3.27–28*. Изгиб стержня. В изогнутом стержне в форме прямоугольного параллелепипеда или цилиндра существует нейтральная поверхность, на которой удлинение элементов равно нулю. На рис. 3.3.27а изображено сечение слабо изогнутого участка стержня и нейтральная ось PS — дуга окружности с центром в точке C . Поперечное сечение стержня, перпендикулярное оси, проходит через отрезок HK . Начало системы координат x, y, z находится на нейтральной оси. Проекция на ось y момента внешних сил относительно начала координат $M_{cy} = -M_0$.

3.3.27. Найдите напряжение $\sigma_b(x)$, где x — значение координаты x элемента Δz в поперечном сечении стержня.

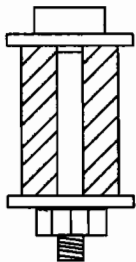


Рис. 3.3.25

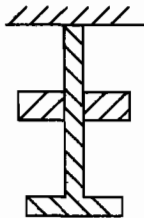


Рис. 3.3.26

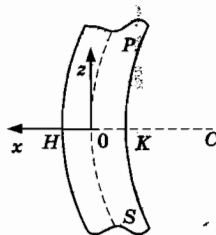


Рис. 3.3.27 а

3.3.28. На рис. 3.3.28 стержень (ствол дерева или колонна) наклонен под углом α к вертикали, $\alpha \ll 1$. Длина стержня h , радиус круга поперечного сечения r , плотность материала стержня ρ . Найдите напряжения $\sigma_{m,n}$ в точках m, n основания стержня.

3.3.29. Кирпичная подпорная стена толщиной $b = 2$ м и высотой $h = 5$ м находится под давлением песчаной насыпи (рис. 3.3.29). Плотность песка $\rho = 2,5 \cdot 10^3$ кг/м³, плотность материала стены $\rho_c = 2 \cdot 10^3$ кг/м³. Определите напряжение $\sigma_{m,n}$ в точках m, n основания стены.

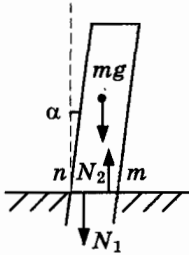


Рис. 3.3.28

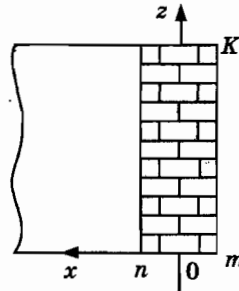


Рис. 3.3.29

3.3.30. Трамвайные рельсы сварены между собой в стыках при температуре $t_1 = 15$ °С. Найдите напряжение в рельсах σ при температуре $t_2 = 35$ °С. Коэффициент линейного расширения $\alpha = 1,25 \cdot 10^{-5} K^{-1}$, модуль Юнга стали $E = 200$ ГПа.

3.4. Волновое движение в среде. Звук

Волны на воде. В системе координат x, y, z положение поверхности воды определяется функцией $z = u(t, x, y)$. Если пренебречь вязкостью, сжимаемостью и поверхностным натяжением воды, то в водоеме глубиной h с плоским дном можно построить линейное приближение теории в случае волны малой амплитуды $a \ll \lambda$. В «мелкой воде» частицы воды движутся параллельно дну. Скорость волны $c = \sqrt{gh}$. Волны на «глубокой воде» ($h \gg \lambda$) реализуются частицами, движущимися по фиксированным окружностям радиусом a . Радиус окружности уменьшается с увеличением глубины. Видимый профиль волны представляет собой кривую с

широкими, плоскими углублениями и высокими, узкими гребнями называемую укороченной циклоидой. Скорость волны $c = \sqrt{g\lambda/2\pi}$.

Стоячие поперечные волны на струне. Струна закреплена на оси x в точках $x = 0, x = l$. Функция $u = u(t, x)$ представляет собой смещение по оси z элементарной массы с координатой x в момент времени t . Решением волнового уравнения является суперпозиция стоячих волн

$$u_n(t, x) = A_n \sin(k_n x) \cos(\omega_n t),$$

$$k_n = \frac{n\pi}{l}, \quad \omega_n = ck_n, \quad n = 1, 2, 3, \dots$$

где $c = \sqrt{T/\rho_s}$ — скорость бегущей волны,

T — величина силы натяжения,

ρ_s — линейная плотность материала струны.

Продольные волны в упругом стержне. Скорость звука в стержне

$$c = \sqrt{E/\rho},$$

где E — адиабатический модуль Юнга,

ρ — плотность стержня.

Звук в воздухе — процесс распространения деформации. Скорость звука в воздухе — $c, c^2 = np/\rho, n = 1,4$.

Волна в трубе постоянного сечения S . Ось z направим по оси трубы. Решение уравнений акустики для звукового давления p , и распределения скорости воздуха $\vec{v} = (0, 0, v)$ имеют вид

$$p(t, x, y, z) = f(z - ct) + g(z + ct), \quad (3.4.1)$$

$$v(t, x, y, z) = [f(z - ct) - g(z + ct)]/(c\rho_0). \quad (3.4.2)$$

Здесь $x, y \in S, f$ и g произвольные функции, которые можно определить по известным граничным условиям и источнику звука. Отметим, что давление и скорость воздуха относятся к определенной точке пространства, а не к частице воздуха: $v(t, z)$ — значение скорости того элемента массы Δm , который в момент времени t находится в точке с координатой z .

3.4.1. Высота волн цунами в открытом океане порядка 1–3 м. Почему при приближении к берегу высота волн достигает высоты 10–20 м?

3.4.2. А. Стальная струна рояля, настроена на частоту $\nu_1 = 440$ Гц. Радиус струны $R = 0,25$ мм, длина $l = 1$ м. Плотность стали $\rho = 9 \cdot 10^3$ кг/м³. Найдите величину силы натяжения струны.

Б. Найдите отношение величины натяжения стальной струны T_c к величине натяжения струны T_* из жилы такой же длины, диаметра и тона. Плотность стали $9 \cdot 10^3$ кг/м³, плотность жилы 10^3 кг/м³.

3.4.3. Поток воды течет по трубе со скоростью $v = 1$ м/с. Найдите давление p на заслонку при внезапном закрытии крана.

3.4.4* Прямоугольный параллелепипед длиной L с площадью поперечного сечения S , движущийся со скоростью v_0 , сталкивается одной гранью с жесткой преградой — плоскостью. Опишите процесс упругой деформации стержня.

3.4.5. В сферической волне, распространяющейся в безграничном пространстве, акустическое давление $p_{ac}(t, x, y, z) = (1/r)f(r - ct)$, где c — скорость волны, $f(r - ct)$ — произвольная функция, r — расстояние от точечного источника деформации среды. Получите уравнение движения фронта волны.

3.4.6. Врыв. В момент времени $t = 0$ давление внутри сферического объема радиусом a с центром в точке S внезапно повысилось на величину Δp_0 . Возникает сферическая звуковая волна. Найдите интервал времени Δt , в течение которого фронт волны пройдет через некоторую точку P .

3.4.7. Бегущая плоская монохроматическая волна задается функцией $p_i(t, x, y, z) = a \cos(\omega t - kz)$, $k = \omega/c$. Получите уравнение движения фронта волны.

3.4.8. Акустический резонатор Гельмгольца представляет собой сосуд объемом V с цилиндрическим горлышком длиной h и сечением S ($Sh \ll V$). Найдите частоту колебаний давления воздуха в горлышке резонатора.

3.4.9. Полуоткрытая труба. Труба длиной H , закрыта в плоскости $z = 0$. На уровне $z = H$ труба открыта. В точках плоскости $z = 0$ скорость воздуха равна нулю: $v(t, x, y, z = 0) = 0$. Для того, чтобы удовлетворить этому условию, положим в (3.4.1), (3.4.2)

$$f = (a/2) \cos(\omega t - kz), g = (a/2) \cos(\omega t + kz).$$

Найдите допустимые значения волнового числа k .

3.4.10. Открытая труба. Труба открыта на двух торцах. Такие трубы используются в органах. Очевидно, на торцах трубы должны выполняться условия $p_i(t, x, y, z = 0) = 0$, $p_i(t, x, y, z = H) = 0$. Мы удовле-

творим первому условию полагая в (3.4.1), (3.4.2) $f = (a/2)\cos(\omega t - kz)$, $g = -(a/2)\cos(\omega t + kz)$. Найдите допустимые значения волнового числа k .

3.4.11. Эффект Доплера. На рис. 3.4.11 изображен точечный излучатель звука, движущийся со скоростью $\vec{u}(t) = (u_1, u_2, u_3)$. Радиус-вектор излучателя $\vec{r}_a(t)$. Излучатель генерирует звук, который в виде сферической волны распространяется в пространстве. В точке P с координатами $\vec{r} = (x, y, z)$ звуковое давление $p(t, x, y, z) = (A/s)\cos\Phi$, где $\Phi(t, x, y, z) = \omega t - \omega s/c - \text{фаза волны}$, $s = |\vec{s}|$, $\vec{s} = \vec{r}_a(t) - \vec{r}$. Производная фазы $\omega_a = d\Phi/dt$ имеет смысл мгновенной частоты волны, принимаемой наблюдателем в точке $\vec{r} = (x, y, z)$. Найдите частоту волны, принимаемой наблюдателем в точке P .

3.4.12–3.4.13. Летучие локаторы. В живой природе ультразвук генерируют летучие мыши. Сигналы соответствуют диапазону от 20 до 200 кГц. Анализируя отраженные сигналы, насекомоядные мыши могут в темноте определить расстояние до окружающих предметов, бабочек и насекомых, размеры и направление полета.

3.4.12. Амплитудный метод. Летучие мыши из семейства подковоносых (*Rhinolophus*) через ротовую щель издают звуки в виде импульсов с постоянной несущей частотой. Для того, чтобы поймать добычу — бабочку, подковонос использует эффект Доплера. Пусть $\vec{r}_b(t)$, $\vec{r}_m(t)$ — радиус-векторы бабочки и мыши, $\vec{v}_b(t)$ — скорость бабочки, $\vec{v}_m(t)$ — скорость мыши (рис. 3.4.12). Фаза волны, отраженной от бабочки $\Phi(t) = \omega t - 2\omega s/c$, $s(t) = |\vec{s}|$, $\vec{s}(t) = \vec{r}_b(t) - \vec{r}_m(t)$. Подковонос обладает способностью сравнивать частоту принимаемой волны с частотой излучаемого звука и корректировать направление полета. Поясните принцип работы «радара» мыши.

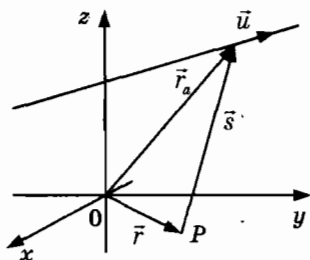


Рис. 3.4.11

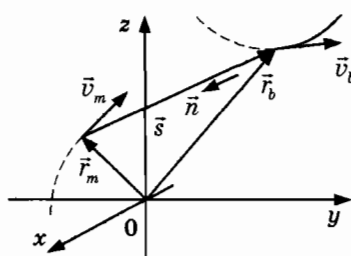


Рис. 3.4.12

3.4.13. Частотный метод. Отраженный импульс длительностью τ с постоянной несущей частотой дает информацию только о расстоянии до ближайшего из двух объектов, если они находятся на расстоянии Δs меньше, чем $c\tau/2$; при $\tau = 1$ мс два объекта, расстояние между которыми $\Delta s \approx 17$ см, будут восприниматься как один.

Рыжая вечерница, встречающаяся в Европе, использует частотный метод определения дальности и увеличения «глубины резкости». Он основан на использовании *частотной модуляции* излучаемого импульса звука. Расстояние до цели определяется в результате сравнения частоты излучаемого звука и частоты отраженной волны.

На протяжении каждого излучаемого импульса звуковой «генератор» мыши уменьшает частоту по линейному закону $\omega(t) = \omega_0 - pt$, $nT_m \leq t \leq (n + 1)T_m$, $p = \Omega/T_m$, Ω — разность частот на границах импульса. При уменьшении частоты от значения 100 кГц до 20 кГц в течение интервала $T_m \sim 2$ мс величина $p \sim 4 \cdot 10^7$ с⁻². Изобразите график частоты отраженного сигнала $\omega_{\text{отр}}(t)$ и поясните принцип работы «радар» мыши.

3.4.14. Приведите определения понятий — громкость, высота и тембр звука.

Глава IV. ЭЛЕКТРИЧЕСТВО

4.1. Закон Кулона. Заряд в электростатическом поле. Напряженность и потенциал поля.

Взаимодействие двух точечных зарядов, движущихся со скоростью $\vec{v} \ll \vec{c}$ с зарядов, описывается законом, открытым в 1885 г. французским ученым Ш. Кулоном: на каждый из двух точечных зарядов, находящихся в вакууме, действует сила, величина которой пропорциональная произведению зарядов и обратно пропорциональная квадрату расстояния между ними. В векторной форме закон Кулона имеет вид:

$$\vec{F}_{21} = k \frac{q_1 q_2}{r^2} \vec{e}_{12}. \quad (4.1.1)$$

Здесь r — расстояние между частицами, \vec{e}_{12} — единичный вектор, направленный от первой частицы ко второй. Коэффициент $k = 9 \cdot 10^9 \text{ Н} \cdot \text{м}^2 / \text{Кл}^2$. На частицу с зарядом q_1 действует сила $\vec{F}_{12} = -\vec{F}_{21}$.

В СИ используют рационализированную форму записи k , полагая $k = (4\pi\epsilon_0)^{-1}$. Величину $\epsilon_0 = 8,85 \cdot 10^{-12} \text{ Кл}^2 / (\text{Н} \cdot \text{м}^2)$ называют электрической постоянной.

Сила, действующая на заряд в электрическом поле

$$\vec{F} = q\vec{E}(x, y, z) \quad (4.1.2)$$

Движение заряда в однородном поле напряженности \vec{E}_0 . На частицу действуют сила тяжести $m\vec{g}$ и сила $q\vec{E}_0$. Для решения основной задачи механики — вычисления радиус-вектора частицы $\vec{r}(t)$ — запишем уравнения движения

$$m\vec{a} = m\vec{g} + q\vec{E}_0. \quad (4.1.3)$$

Начальные условия $\vec{r}(0) = \vec{r}_0$, $\vec{v}(0) = \vec{v}_0$.

Из (4.1.3) находим ускорение $\vec{a} = \vec{a}_0$, $\vec{a}_0 = \vec{g} + \frac{q}{m}\vec{E}_0$.

Решение уравнений (4.1.3).

$$\vec{r}(t) = \vec{r}_0 + \vec{v}_0 t + \frac{\vec{a}_0 t^2}{2}, \quad (4.1.4 а)$$

$$\vec{v}(t) = \vec{v}_0 + \vec{a}_0 t. \quad (4.1.4 б)$$

Потенциал в точке $\vec{r} = (x, y, z)$, создаваемый зарядом Q , находящимся в начале координат

$$\varphi(x, y, z) = kQ/r \quad (4.1.5)$$

Потенциальная энергия заряда в электростатическом поле

$$W(x, y, z) = q\varphi(x, y, z).$$

Соотношение между напряженностью и потенциалом электрического поля

$$\begin{aligned} E_x &= -\Delta\varphi/\Delta x, \\ E_y &= -\Delta\varphi/\Delta y, \\ E_z &= -\Delta\varphi/\Delta z \end{aligned} \quad (4.1.6)$$

Плотность энергии электрического поля

$$u_e = \epsilon_0 E^2/2.$$

4.1.1. В 1897 г. английский физик Дж. Дж. Томсон открыл электрон, а в 1919 г. в первой ядерной реакции Э. Резерфорд открыл протон. Почему электрону приписали отрицательный заряд?

4.1.2. Величина элементарного заряда $e = 1,6 \cdot 10^{-19}$ Кл. Найдите число элементарных зарядов N , содержащихся в заряде величиной $Q = 1$ Кл.

4.1.3–4.1.4. Два одинаковых свинцовых шарика массами $m = 10$ г расположены на расстоянии $r = 10$ м. Атомная масса свинца $M = 0,207$ кг/моль.

4.1.3. Предположим, что у каждого атома одного шарика отняли по одному электрону и перенесли на другой шарик. Найдите величину сил притяжения, действующих на каждый шарик?

4.1.4. Каждый шарик имеет избыток N_e электронов. Найдите отношение N_e к числу атомов шарика N , если сила электростатического взаимодействия уравнивает силу гравитационного взаимодействия.

4.1.5–4.1.6. Нейтральное тело представляет собой систему двух зарядов $q_1 = -q$ и $q_2 = q$, ($q > 0$), закрепленных на концах непроводящего стержня AB длиной l .

Такой объект называют *диполем* и характеризуют дипольным моментом \vec{p} — вектором величиной $p = ql$, направленным от заряда $-q$ к заряду q . Рассмотрим систему, состоящую из диполя и точечного заряда Q .

4.1.5. Заряд Q находится в точке M на прямой перпендикулярной стержню и проходящей через его середину C , $MC = r$ (рис. 4.1.5). Найдите силу, действующую на заряд Q .

4.1.6. Повернем теперь диполь на 90° в плоскости рисунка вокруг оси проходящей через точку C в направлении движения часовой стрелки (рис. 4.1.6). Найдите силу, действующую на диполь со стороны заряда Q .

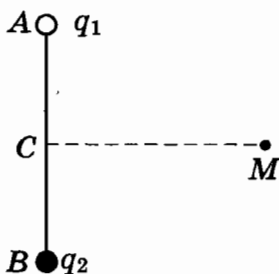


Рис. 4.1.5

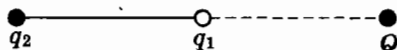


Рис. 4.1.6

4.1.7. В точках A , B , C прямолинейного отрезка нити AC закреплены заряды q , $2q$ и $4q$. Длины отрезков нити $AB = BC = L$, $kq^2/L^2 = T$. Найдите величину сил натяжения нити T_{AB} , T_{BC} на участках AB и BC .

4.1.8. На концах нитей длиной L , закрепленных в одной точке, подвешены два одинаково заряженных бузиновых шарика каждый массой m . В положении равновесия угол между нитями равен $\pi/2$. Найдите заряд шарика q .

4.1.9. В четырех точках замкнутой нерастяжимой и непроводящей нити на равных расстояниях закреплены четыре одноименных заряда Q , q , Q и q . В положении равновесия нить принимает форму ромба. Найдите угол α между отрезками нити, прикрепленной к заряду q .

4.1.10. Найдите напряженность и потенциал электрического поля, создаваемого диполем — системой из двух разноименных зарядов одинаковой величины, расположенных на расстоянии $2a$.

4.1.11. Заряд $q_1 = Q$ находится на расстоянии b от заряда $q_2 = -q$. Найдите уравнение эквипотенциальной поверхности $s(x, y, z) = s_0$ с потенциалом равным нулю.

4.1.12–4.1.14. На рис. 4.1.12 изображены точечные электрические заряды, равные по величине и одинаково удаленные от начала

координат. Потенциал электрического поля, создаваемый точечным зарядом в бесконечно удаленной точке, равен нулю.

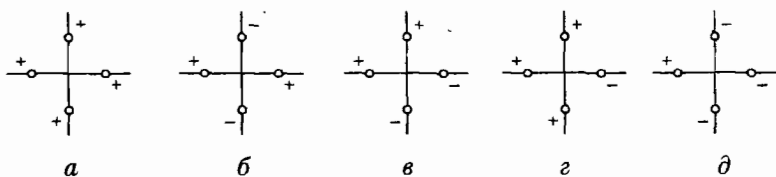


Рис. 4.1.12

4.1.12. Напряженность и потенциал электрического поля в начале координат равны нулю в случае:

А. А; Б. Б; В. В; Г. Г; Д. Д.

4.1.13. Напряженность электрического поля в начале координат равна нулю, а потенциал отличен от нуля в случае:

А. А, Б. Б, В. В, Г. Г, Д. Д.

4.1.14. Потенциал электрического поля в начале координат равен нулю, а напряженность — отлична от нуля в случае:

А. А, Б. Б, В. В, Г. Г, Д. Д.

4.1.15–4.1.16. Три одинаковых положительных заряда величины q расположены в вершинах правильного треугольника. Длина стороны треугольника равна a .

4.1.15. А. Найдите напряженность поля в точке O , являющейся центром вписанной окружности.

Б. Найдите величину вектора напряженности поля в точке M , лежащей в середине одной из сторон.

В. Найдите напряженность поля в точке P , находящейся на расстоянии a от каждой из вершин треугольника.

4.1.16. Найдите потенциал, создаваемый системой зарядов, в точках O, M, P .

4.1.17. А. В начальный момент времени скорость электрона в некоторой точке электростатического поля с потенциалом φ_1 равна нулю. Найдите величину скорости электрона v в точке поля с потенциалом φ_2 ($\varphi_2 - \varphi_1 = 500$ В).

Б. На анод электронной пушки кинескопа телевизора подается напряжение $V_0 = 25$ кВ. Найдите скорость электронов, вылетевших из пушки.

4.1.18. По окружности радиуса R , расположенной в плоскости xy , равномерно распределен заряд Q . Центр окружности находится

ся в начале координат. Найдите напряженность и потенциал поля в точке $P(0, 0, z)$, лежащей на оси z , проходящей через центр окружности O и максимальное значение напряженности.

4.1.19. Заряд Q движется по оси неподвижного металлического кольца с зарядом Q . Определите точку, в которой сила, действующая на заряд, обратится в нуль.

4.1.20–4.1.21. Заряд равномерно распределен по тонкому кольцу радиусом R в плоскости xy с центром в начале координат. На бесконечно большом расстоянии от начала координат потенциал электрического поля равен нулю. Потенциал поля в начале координат равен φ_0 . Потенциал поля в точке $P(0, 0, R)$ на оси z — φ_1 .

4.1.20. Найдите отношение φ_1/φ_0 .

4.1.21. Найдите работу, которую необходимо совершить для того, чтобы переместить заряд q из начала координат в точку P .

4.1.22. Частица находится на прямой, проходящей через центр тонкого кольца, перпендикулярно плоскости кольца, $q = -Q$, m — заряд и масса частицы. По кольцу массой m равномерно распределен заряд $q_2 = Q$. В начальном положении частица находилась на расстоянии $s = \sqrt{3}R$ от центра кольца. Найдите величину относительной скорости v_0 в момент прохождения частицей центра кольца.

4.1.23. По тонким кольцам радиусов R , расположенным в плоскостях $z = R/2$ и $z = -R/2$ равномерно распределены заряды $q_1 = -Q$ и $q_2 = Q$. Центры колец находятся на оси z (рис. 4.1.23). Найдите потенциал $\varphi(0, 0, z)$ и напряженность электрического поля $\vec{E}(0, 0, z)$.

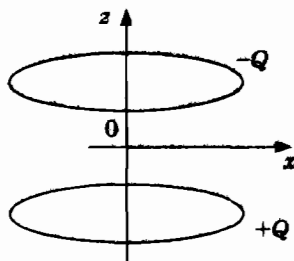


Рис. 4.1.23

4.1.24. Три заряда q_1, q_2, q_3 расположены на расстояниях l_{12}, l_{13}, l_{23} друг от друга. Найдите работу, которую необходимо совершить, чтобы поменять местами заряды q_1 и q_2 .

4.1.25. Найдите работу A' , которую следует совершить, чтобы переместить диполь, изображенный на рис. 4.1.5, в положение, изображенное на рис. 4.1.6.

4.1.26. Вектор напряженности однородного электрического поля в плоском конденсаторе $\vec{E} = \vec{E}_0$. Найдите потенциал поля $\varphi(x, y, z)$.

4.1.27. Диполь длиной l с зарядами $\pm q$ находится в однородном электрическом поле напряженностью \vec{E}_0 (рис. 4.1.27).

А. Найдите работу A_1' , которую необходимо совершить для того, чтобы повернуть диполь на 180° .

Б. Найдите работу A_2' , которую необходимо совершить, чтобы вернуть диполь в исходное положение.

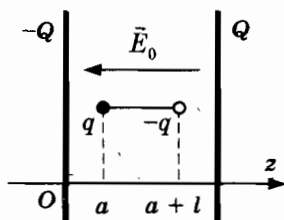


Рис. 4.1.27

4.1.28. Электрон атома водорода вращается по круговой орбите радиусом $a = 0,053$ нм.

А. Найдите напряженность поля, создаваемого протоном на орбите.

Б. Найдите потенциал, создаваемый протоном на орбите.

В. Найдите полную энергию электрона E_r .

Г. Найдите скорость движения электрона.

4.1.29. В высоковозбужденном атоме водорода электрон движется по круговой орбите радиусом $r_n = na$, $n = 250$, $a = 0,053$ нм. Найдите частоту вращения электрона ν .

4.1.30. Отношение q/m называют удельным зарядом частицы. Для электрона $e/m = 1,76 \cdot 10^{11}$ Кл/кг. Найдите значение величины напряженности поля, при котором ускорение, сообщаемое электрону силой eE_0 , равно g .

4.1.31. Шарик массой $m = 0,1$ г, имеющий заряд $q = 9,8$ нКл, подвешен на нити в однородном электрическом поле, направленном горизонтально. Напряженность поля $E = 10^5$ В/м. Покажите, что угол от-

клонения нити от вертикали определяется уравнением $\operatorname{tg} \alpha = qE/mg$, $\alpha = \pi/4$.

4.1.32. Частица массой $m = 0,1$ г с зарядом $q = 9,8$ нКл движется в однородном электрическом поле, создаваемом пластинами на рис. 4.1.27. Расстояние между пластинами $d = 20$ см. Разность потенциалов $\varphi(d) - \varphi(0) = V_0$, $V_0 = 10^5$ В. Вначале частица находилась на положительно заряженной пластине. Найдите величину смещения частицы в вертикальном направлении в момент столкновения с отрицательно заряженной пластиной.

4.1.33. Электрон движется в однородном электрическом поле, создаваемом пластинами на рис. 4.1.27. Разность потенциалов $\varphi(d) - \varphi(0) = V_0$, $V_0 = 1$ В. Начальная скорость электрона, находящегося на левой пластине равна нулю. Найдите скорость электрона в момент столкновения с правой пластиной.

4.1.34–4.1.35. На концах гладкой непроводящей трубки длиной $2s$ закреплены положительные заряды одинаковой величины Q . На расстоянии b ($b < s$) от середины трубки помещают заряд $q > 0$ массой m . Начальная скорость заряда равна нулю.

4.1.34. Найдите величину скорости заряда v_1 в момент времени, соответствующий прохождению заряда через середину трубки.

4.1.35. Найдите частоту линейных колебаний заряда.

4.1.36–4.1.37. По тонким кольцам радиусов R , расположенным в плоскостях $z = R/2$ и $z = -R/2$ равномерно распределены заряды $q_1 = Q$ и $q_2 = Q$. Центры колец находятся на оси z (рис. 4.1.23).

4.1.36. В окрестности начала координат находится электрон. Найдите частоту ω линейных колебаний электрона по оси z .

4.1.37. Протон движется по оси z . На бесконечно большом расстоянии от системы скорость протона $\vec{v} = (0, 0, v_0)$. Найдите минимальное значение скорости v_{0m} , при котором протон пролетит через систему колец.

4.1.38. Два заряда $q_1 = q$ и $q_2 = -q$ массами по $m/2$, закрепленные на концах невесомого стержня длиной L , движутся в вертикальной плоскости xy в электрическом поле напряженностью $\vec{E} = (E_0, 0, 0)$. Найдите частоту Ω линейных колебаний диполя.

4.1.39. Две заряженные частицы, соединенные пружиной, движутся по оси x в однородном электростатическом поле напряженностью $\vec{E} = (E, 0, 0)$. Длина пружины в ненапряженном состоянии — l_0 , коэффициент жесткости — k . Заряды и массы частиц q_1, m_1 и q_2, m_2 ,

$E \ll kq_1/r^2, kq_2/r^2$, где r — расстояние между частицами. В начальный момент времени частицы покоились на расстоянии l_0 друг от друга. Найдите амплитуду A и частоту ω линейных колебаний частиц.

4.1.40*. Эксперименты Милликена по измерению заряда электрона. Вначале измеряется скорость v_0 установившегося движения капли минерального масла, падающей в воздухе (см. задачу 3.1.43). Затем измеряется скорость v установившегося движения капли в однородном постоянном электрическом поле. Ионы, оседавшие на капле, создавались в воздухе при рентгеновском облучении. Найдите заряд капли.

4.1.41. Найдите энергию электрического поля U_e сферы радиусом R с зарядом Q .

4.1.42 Найдите работу A' , которую необходимо совершить, чтобы зарядить сферу радиусом R до значения заряда Q .

4.1.43. Две сетки, через которые могут пролетать электроны, расположены в плоскостях $z_1 = h, z_2 = h + d$. Разность потенциалов между сетками $V = \varphi_1 - \varphi_2 > 0$.

В начальный момент времени $\vec{r}(0) = 0, \vec{v}(0) = (v_0 \cos \alpha, 0, v_0 \sin \alpha), v_0^2 \sin^2 \alpha < 2e_0 V/m, 8ah < v_0^2, e = -e_0$ — заряд электрона. Покажите, что возможны три траектории электрона, пересекающие ось x в одной точке.

4.2. Основная задача электростатики.

Закон Гаусса. Электрическое поле зарядов, проводников и диэлектриков

Основная задача электростатики — определение потенциала и напряженности электрического поля в произвольной точке системы зарядов, диэлектриков, изолированных проводников или проводников с заданными потенциалами.

Поток электрического поля. Для формулировки закона Гаусса необходимо ввести понятие потока электрического поля. Возьмем замкнутую поверхность S , охватывающую заряды q_1, q_2, \dots, q_i . Разобьем эту поверхность на N малых участков — элементов поверхности площадью $\Delta S_k (k = 1, 2, \dots, N)$. Выберем на каждом из них точку M_k . Ориентацию элемента по-

верхности зададим вектором \vec{n}_k — единичным вектором внешней нормали к поверхности ΔS_k в точке M_k . Обозначим через \vec{E}_k вектор \vec{E} в точке M_k . Скалярное произведение $\vec{E}_k \vec{n}_k \Delta S_k$ назовем потоком электрического поля через данный элемент поверхности. Поток электрического поля через поверхность S представляет собой предел суммы элементарных потоков при $N \rightarrow \infty$ и $\Delta S_k \rightarrow 0$.

Закон Гаусса. Поток электрического поля через произвольную замкнутую поверхность равен произведению $1/\epsilon_0$ на сумму зарядов, находящихся внутри объема, ограниченного поверхностью S

$$\sum_{k=1}^N \vec{E}_k \vec{n}_k \Delta S_k = \frac{1}{\epsilon_0} \sum_{i=1}^s q_i. \quad (4.2.1)$$

Закон Гаусса дает возможность найти напряженность поля в тех немногих случаях, когда, благодаря симметрии распределения зарядов, можно предсказать положение силовых линий или обосновать предположения о распределении зарядов металле.

Закон Гаусса следует из интегральной формы одного из уравнений Максвелла в результате применения формулы преобразования интеграла по объему в интеграл по поверхности, полученной в 1828 г. русским математиком М.В. Остроградским (опубликована в 1831 г.).

Закон Гаусса для поля в изотропном диэлектрике. В этом случае соотношение (4.2.1) связывает напряженность поля в диэлектрике со свободными и поляризационными зарядами. Если диэлектрик находится во внешнем поле напряженностью \vec{E}_0 , то в диэлектрической среде возникает *деполяризующее* поле

$$\vec{E}' = -\vec{P}/\epsilon_0,$$

где \vec{P} — плотность дипольного момента.

В изотропном диэлектрике в случае достаточно слабых полей вектор \vec{P} пропорционален напряженности результирующего поля: $\vec{P} = \epsilon_0(\epsilon-1)\vec{E}$. Постоянная ϵ называется коэффициентом диэлектрической проницаемости. Для того чтобы исключить из (4.2.1) поляризационные заряды в

электродинамике сплошных сред вводят вектор *электрической индукции* $\vec{D} = \epsilon_0 \vec{E} + \vec{P}$ или $\vec{D} = \epsilon \epsilon_0 \vec{E}$. Тогда после подстановки \vec{E} в (4.2.1) получим «модифицированный» закон Гаусса — соотношение между свободными зарядами Q_i и вектором \vec{D} в веществе произвольного состава.

$$\sum_{k=1}^N \vec{D}_k \vec{n}_k \Delta S_k = \sum_{i=1}^s Q_i. \quad (4.2.2)$$

Размерность D — Кл/м². Нормальные к поверхности раздела компоненты вектора \vec{D} непрерывны. Если вектор \vec{E}_0 перпендикулярен граням плоскопараллельной пластинки, то из (4.2.2) получим $\vec{D} = \epsilon_0 \vec{E}_0$, $\vec{E}_0 = \epsilon \vec{E}$, $\vec{P} = \epsilon_0(1 - 1/\epsilon)\vec{E}_0$.

Сила, действующая на элемент поверхности ΔS проводника, находящегося во внешнем поле,

$$\Delta \vec{F} = \sigma \vec{E} \Delta S / 2, \quad (4.2.3)$$

где $\sigma = \epsilon_0 E$ — поверхностная плотность зарядов,

\vec{E} — напряженность поля в окрестности элемента ΔS .

4.2.1. Равномерно заряженная плоскость. Распределение зарядов на плоскости определяется поверхностной плотностью заряда $\sigma = \frac{\Delta q}{\Delta S}$, где Δq заряд на поверхности площадью ΔS в окрестности точки с координатами x, y, z . Пусть $\sigma = \sigma_0 > 0$ — постоянная величина. Найдите напряженность электрического поля, создаваемой плоскостью.

4.2.2. Две заряженные параллельные пластины расположены в плоскостях $z = 0$ и $z = d$ на расстоянии d друг от друга: слева находится плоскость с поверхностной плотностью заряда $\sigma = \sigma_1$, справа — с плотностью $\sigma = \sigma_2$. Найдите напряженность электрического поля, создаваемого заряженными пластинами во всем пространстве.

4.2.3. Две заряженные параллельные пластины площадью S каждая расположены на расстоянии d друг от друга: слева находится плоскость с зарядом $q_1 = Q$, справа — с зарядом $q_2 = 4Q$. Найдите разность потенциалов $\varphi_L - \varphi_R = V$ между пластинами.

4.2.4–4.2.5*. Рассмотрим две параллельные пластины: плоскость $z = 0$ с поверхностной плотностью заряда σ_1 и плоскость $z = a$ с поверхностной плотностью заряда σ_2 . На рис. 4.2.4 изображена зависи-

мость компоненты напряженности электрического поля E_z от координаты z при различных значениях σ_1 и σ_2 . Величина $n = \sigma/2\epsilon_0$.

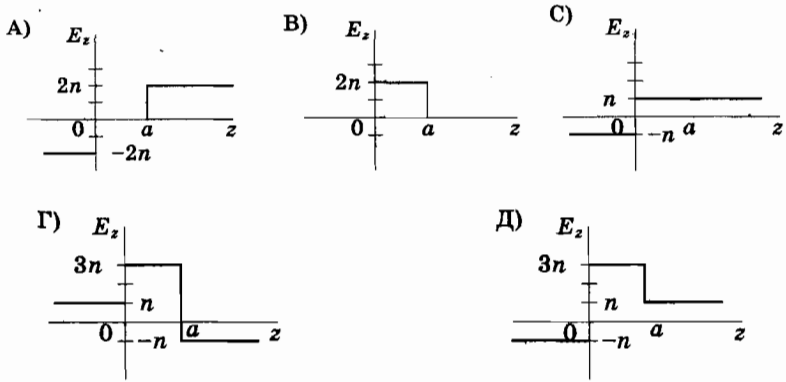


Рис. 4.2.4.

4.2.4. Укажите график, соответствующий значениям $\sigma_1 = \sigma$, $\sigma_2 = -\sigma$, $\sigma > 0$.

4.2.5. Укажите график, соответствующий значениям $\sigma_1 = 2\sigma$, $\sigma_2 = -\sigma$, $\sigma > 0$.

4.2.6–4.2.7*. Две тонкие заряженные металлические пластинки в форме тонкого параллелепипеда с площадью поверхности S находятся в однородном электростатическом поле напряженностью $\vec{E}_{ext} = (0, 0, G)$.

4.2.6. Пластинки изолированы. На первой пластинке, расположенной в плоскости $z = 0$, распределен заряд $q_1 = -2q$, а на второй, находящейся в плоскости $z = d$, распределен заряд $q_2 = q$. На рис. 4.2.6 изображена зависимость компоненты напряженности электрического поля E_z от координаты z , где $n = q/2\epsilon_0 S$. Найдите величину G .

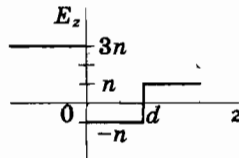


Рис. 4.2.6

4.2.7. Пластинки соединяют проводником. Найдите приращение заряда первой пластинки.

4.2.8. Две тонкие заряженные металлические пластинки в форме тонкого параллелепипеда с площадью поверхности S находятся в однородном электростатическом поле напряженностью $\vec{E}_{ext} = (0, 0, G)$. На первой пластинке, расположенной в плоскости $z = 0$, распределен заряд $q_1 = -q$, а на второй, находящейся в плоскости $z = d$, распределен заряд $q_2 = q$. Найдите напряженность электрического поля в трех областях. Изобразите график потенциала — функции $\varphi(z)$.

4.2.9*. Заряженная металлическая пластинка в форме тонкого параллелепипеда с площадью грани S находится в однородном электростатическом поле напряженностью $\vec{E}_{ext} = (0, 0, G)$. Одна грань пластинки совпадает с плоскостью $z = 0$, другая — с плоскостью $z = d$. На рис. 4.2.9 изображена зависимость компоненты напряженности электрического поля E_z от координаты z , перпендикулярной граням пластинки, где $n = q/2\epsilon_0 S$. Найдите заряд пластинки Q и проекцию напряженности внешнего поля G . Изобразите график потенциала — функции $\varphi(z)$.

4.2.10–4.2.11. Две параллельные металлические пластины a и b присоединены к генератору постоянного напряжения с ЭДС равной V . Расстояние между пластинами d . В пространство между пластинами поместили две параллельные пластины m и n , расстояние между которыми равно h (рис. 4.2.10).

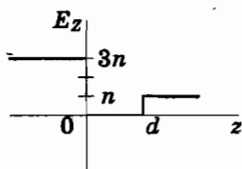


Рис. 4.2.9.

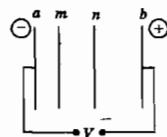


Рис. 4.2.10.

4.2.10. Найдите разность потенциалов $\varphi_m - \varphi_n$.

4.2.11. Пластины m и n соединили проводником. Найдите напряженность электрического поля E между пластинами.

4.2.12. Внесем в однородное электрическое поле напряженностью $\vec{E}_0 = (0, 0, E_0)$ плотно прижатые друг к другу металлические диски D_1 и D_2 . Пусть плоскость соприкосновения дисков перпендикулярна вектору \vec{E}_0 . Площадь поверхности диска S .

А. Докажите, что на внешних поверхностях дисков индуцируются заряды.

Б. Найдите поверхностную плотность заряда дисков σ_1 и σ_2 .

В. Раздвинем диски на расстояние d . Докажите, что в пространстве между дисками напряженность поля равна нулю (рис. 4.2.12).

Г. Найдите силы, действующие со стороны электрического поля на каждый диск.

Д. Переместим теперь разделенные диски в область пространства, где внешнее поле отсутствует. Найдите отношение C заряда диска D_2 к разности потенциалов дисков D_2 и D_1 .

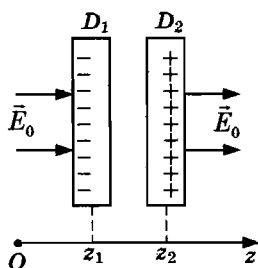


Рис. 4.2.12

4.2.13. Вблизи поверхности Земли величина напряженности электрического поля $E = 100$ В/м. Модель электрического состояния Земли — идеальный проводник. Найдите плотность поверхностного заряда.

4.2.14–4.2.16*. Поле заряда над плоской поверхностью проводника. Введем систему координат x, y, z , в которой плоскость xy совпадает с поверхностью проводника, расположенного в области $z \leq 0$. Заряд Q находится в точке $M(0, 0, h)$.

4.2.14. Найдите потенциал, создаваемый системой проводник-заряд в произвольной точке $P(x, y, z)$ области $z \geq 0$.

4.2.15*. Начальная скорость заряда Q в точке $M(0, 0, h)$ равна нулю. Найдите зависимость координаты z от времени и промежутков времени T , через который заряд достигнет поверхности проводника.

4.2.16*. Найдите радиус круга R в плоскости xy с центром в точке O , ограничивающего индуцированный заряд $q' = -Q/5$.

4.2.17*. В модели электрического состояния грозового облака предполагается, что отрицательный заряд $-q$ расположен на расстоянии 3–4 км от поверхности земли, заряд q — на расстоянии 6–8 км. Небольшой положительный заряд присутствует ниже основного отрицательного заряда. В одном из весьма опасных экспериментов из-

мерения при облете облака показали, что z – компонента напряженности электрического поля y нижней кромки облака $E_2 = 3000$ В/см, у поверхности земли $E_1 = 100$ В/см. В дипольной модели заряд $-q$ находится на расстоянии s от нижней кромки, нижняя кромка на расстоянии $b = 3$ км от поверхности земли (рис. 4.2.17). Найдите значение заряда q , расстояние s и среднее значение z – компоненты напряженности поля E_{cp} на участке от нижней кромки до земли. Вкладом поля положительного заряда пренебречь.

4.2.18. Центр распределения отрицательного заряда грозового облака находится на расстоянии $h = 4$ км от поверхности Земли. Заряд облака $Q = -30$ Кл. Модель электрического состояния Земли — идеальный проводник. Найдите максимальное расстояние s , на котором можно обнаружить облако с помощью прибора, измеряющего напряженность электрического поля. Чувствительность прибора $E_m = 1$ В/м.

4.2.19. Двухгранный угол образован двумя металлическими полуплоскостями $x = 0, y \geq 0$ и $y = 0, x \geq 0$. В точке $x = 2a, y = 2a$ находится заряд Q . Найдите напряженность поля в точках $O(0, 0)$, $A(a, a)$.

4.2.20. Поле заряженной нити. По поверхности тонкой длинной нити, расположенной на оси z , равномерно распределен заряд с линейной плотностью σ . Найдите напряженность электрического поля, создаваемого нитью.

4.2.21*. Поле двух заряженных нитей. По поверхностям двух тонких длинных нитей, расположенных в плоскости $y = 0$ на расстоянии a , равномерно распределен заряд с линейной плотностью σ и $-\sigma$ (рис. 4.2.21). Найдите напряженность электрического поля, создаваемого системой зарядов в точке $P(x, y, z)$.

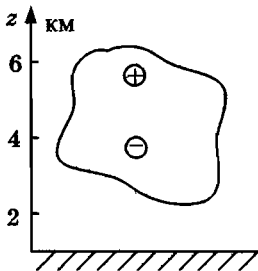


Рис. 4.2.17

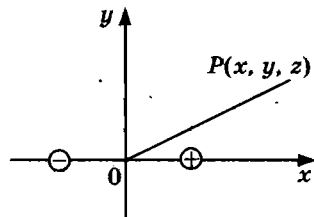


Рис. 4.2.21

4.2.22. Найдите напряженность электрического поля однородно заряженного шара. Радиус шара — R , объемная плотность заряда — ρ .

4.2.23. В первом возбужденном состоянии «радиус» атома водорода — $a = 4a_0$, $a_0 = 0,053$ нм. Согласно квантовой теории нельзя предсказать траекторию электрона — можно вычислить плотность вероятности нахождения электрона в любой точке пространства. Максимум вероятности находится на расстоянии $r = a$ от протона; вероятность найти электрон в области $r < a$ равна $1/2$. Оцените величину индуцированного дипольного момента атома p , помещенного в однородное электрическое поле напряженностью \vec{E}_0 .

4.2.24. Сообщим металлической сфере радиусом R заряд Q . Найдите напряженность и потенциал электрического поля, создаваемого заряженной сферой.

4.2.25. В центр изолированной тонкой металлической сферической оболочки радиусом R поместили заряд Q . Определите напряженность и потенциал электрического поля E на расстоянии от центра $r \geq R$.

4.2.26. Заряд Q поместили внутри металлической сферы, а поверхности сферы сообщили заряд Q . Определите заряд:

А. на внутренней поверхности сферы,

Б. на внешней поверхности сферы.

4.2.27. Эта задача относится к явлению, впервые изученному М. Фарадеем. В центр металлической сферы радиусом R поместим заряд Q . Потом сферу заземлим. Определите напряженность и потенциал электрического поля \vec{E} .

4.2.28*. Электрическое поле двух концентрических сфер. Заряды двух концентрических сфер радиусов R_1 и R_2 ($R_1 < R_2$) равны соответственно Q_1 и Q_2 . Найдите напряженность и потенциал электрического поля в областях $0 \leq r \leq R_1$, $R_1 \leq r \leq R_2$, $r \geq R_2$.

4.2.29. Остроконечный предмет можно моделировать системой проводников, состоящей из двух сфер радиусами R_1 и $R_2 \gg R_1$, соединенных проводом. Зарядим эту систему некоторым количеством электричества. Сферы расположены достаточно далеко друг от друга, так что распределение зарядов на каждой сфере можно считать равномерным. Покажите, что напряженность поля у поверхности меньшей сферы в R_2/R_1 , больше напряженности поля у поверхности большей сферы.

4.2.30. Две незаряженные металлические сферы радиусами a соединены тонким проводом. Центры сфер находятся на расстоянии l , $l \gg a$. На расстоянии r от середины провода находится заряд Q (рис. 4.2.30). Найдите проекцию силы F_x , действующей на систему двух сфер со стороны заряда Q при значениях $r \gg l$.

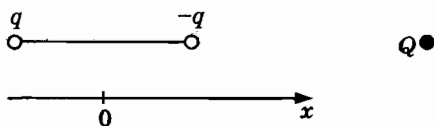


Рис. 4.2.30

4.2.31–4.2.32. Заряд Q находится на расстоянии r от центра заземленной сферы радиусом R ($r > R$).

4.2.31. А. Докажите, что сфера приобретает заряд $q_1 = -q$, $q = QR/r$.

Б. Докажите, что индуцируемый заряд распределен на внешней поверхности сферы.

4.2.32. Найдите расстояние CN от центра сферы до «центра» распределения заряда q_1 и потенциал создаваемый системой в точке P .

4.2.33–4.2.36*. Заряд Q находится на расстоянии r от центра нейтральной изолированной сферы радиусом R ($r > R$).

4.2.33. Используя свойство суперпозиции покажите, что потенциал сферы $\varphi_s = kQ/r$.

4.2.34*. Найдите потенциал, создаваемый системой заряд — сфера, в произвольной точке P .

4.2.35*. А. Найдите силу, действующую на сферу со стороны заряда Q . Б. Полагая $r = R + z$, $R \gg z$, найдите силу, действующую на заряд Q со стороны «плоской» сферы.

4.2.36*. Найдите потенциальную энергию взаимодействия заряда и сферы при значениях $r \gg R$.

4.2.37. На расстоянии $r > R$ от центра металлической изолированной сферы радиусом R находится заряд Q . Сила, действующая на заряд или на сферу, равна нулю. Заряжена ли сфера?

4.2.38. Найдите потенциал поля, создаваемого диполем — зарядами q и $-q$, расположенными на расстоянии a при значениях $r \gg a$.

4.2.39. Сфера в однородном электростатическом поле. Незаряженная металлическая сфера радиусом R находится во внешнем однородном, постоянном электростатическом поле напряженностью \vec{E}_0 . Найдите потенциал поля в точке P .

4.2.40. Потенциал электрического поля $\varphi(x, y, z) = Vxy/b^2$ в области $x \geq 0, y \geq 0$ реализуется двумя металлическими полуплоскостями в виде прямого двухгранного угла с нулевым потенциалом и поверхностью $xy = b^2$ с потенциалом V . Найдите напряженность электрического поля системы проводников.

4.2.41. Потенциал электрического поля

$$\varphi(x, y, z) = (V/2R^2)(x^2 + y^2 - 2z^2)$$

реализуется двумя концевыми металлическими поверхностями $2z^2 = x^2 + y^2 + R^2$ с потенциалом $\varphi_1 = -V/2$ и поверхностью $x^2 + y^2 = 2z^2 + R^2$ с потенциалом $\varphi_2 = V/2$. Найдите напряженность электрического поля системы проводников.

4.2.42. Потенциал электрического поля $\varphi(x, y, z) = (V/R^2)(x^2 - y^2)$ реализуется двумя парами металлических поверхностей $y^2 = x^2 - R^2/2$ и $x^2 = y^2 - R^2/2$, к которым приложено постоянное напряжение. Найдите напряженность электрического поля системы проводников.

4.2.43. Поле заряда в диэлектрике. Найдите напряженность электрического поля, создаваемого зарядом Q , помещенном в жидкий диэлектрик.

4.2.44. Стекланную палочку натерли шелком. Почему небольшие обрывки бумаги притягиваются к палочке?

4.2.45. Диэлектрическая пластина находится в однородном поле плоского конденсатора напряженностью \vec{E}_0 . Получите следствия закона Гаусса в случаях:

А. Используя гауссову поверхность куба, одна грань которого находится в вакууме, другая — в диэлектрике;

Б. Используя гауссову поверхность куба, одна грань которого находится в пластине конденсатора, другая — в диэлектрике.

4.2.46*–4.2.47*. Диэлектрический шар в однородном электростатическом поле. Шар из диэлектрика радиусом R находится во внешнем, однородном поле напряженностью \vec{E}_0 .

4.2.46*. Найдите напряженность и потенциал поля внутри и вне шара.

4.2.47. Пластина из диэлектрика находится между обкладками конденсатора в электрическом поле напряженностью \vec{E}_0 . Внутри пластины образована сферическая полость радиусом R . Найдите напряженность электрического поля в полости \vec{E}_c .

4.2.48*. Найдите потенциальную энергию взаимодействия шара с полем заряженной нити и силу, действующую на шар ($r \gg R$).

4.2.49*. Шар из диэлектрика находится в электрическом поле, создаваемом заряженной длинной нитью с линейной плотностью заряда σ . Нить находится на оси z . В начальный момент времени шар покоится на расстоянии s от нити. Найдите скорость шара при столкновении с нитью.

4.3. Конденсатор.

Схемы, содержащие конденсаторы

Общий метод расчета схем. Цель расчетов — найти напряжение на каждом резисторе и конденсаторе в произвольном электрическом состоянии схемы. Необходимо выделить участки, имеющие различные потенциалы, произвольно обозначить знаки «+» и «-» зарядов пластин каждого конденсатора и ввести разности потенциалов каждого участка.

Далее следует записать уравнения, используя два правила:

А. Заряд изолированной части схемы сохраняется.

Б. При обходе любого замкнутого контура сумма разностей потенциалов пластин конденсаторов равна сумме ЭДС, входящих в контур. Разность потенциалов или напряжение на конденсаторе V_n пишем со знаком «+», если направление обхода совпадает с направлением от положительного заряда обкладки конденсатора к отрицательному заряду обкладки. Сумма ЭДС содержит члены $+E$ (или $-E$), если направление обхода совпадает (или противоположно) с направлением от отрицательного электрода батарейки к положительному электроду.

4.3.1. Сферический конденсатор. Найдите емкость сферического конденсатора, представляющего собой две концентрические металлические сферы радиусов R_1 и R_2 , $R_2 > R_1$.

4.3.2. Банка Фарадея имеет форму сферы радиусом $R_1 = 5$ см. Маленькую сферу радиусом $R_2 = 0,5$ см — «носитель электричества» — можно заряжать до потенциала $V_0 = 20$ В. Сколько раз необходимо переместить носитель электричества, чтобы увеличить потенциал банки от нуля до $V = 400$ В?

4.3.3. Разность потенциалов между пластинами конденсатора уменьшили в два раза. Как изменится энергия электростатического поля конденсатора?

4.3.4. Чтобы понять почему лейденская банка произвела сенсацию у современников Муссенбрука, сравните заряд Q_0 , приобретаемый сферой радиусом R и заряд Q_6 на обкладках цилиндрической банки радиусом R при одинаковой разности потенциалов V . Ширина станиоловой ленты $l = 10$ см, толщина стенок банки $d = 2$ мм.

4.3.5. На одной из пластин плоского конденсатора емкостью C распределен заряд $q_1 = Q$, на другой — заряд $q_2 = 4Q$. Найдите разность потенциалов между пластинами конденсатора $\varphi_2 - \varphi_1$.

4.3.6. Пространство между пластинами конденсатора, подключенного к генератору постоянного напряжения V , заполнили диэлектриком с диэлектрической проницаемостью $\epsilon = 2$. Как изменится энергия электростатического поля конденсатора?

4.3.7–4.3.8. Пространство между пластинами конденсатора емкостью C заполнили диэлектриком с диэлектрической проницаемостью $\epsilon = 2$.

4.3.7. Конденсатор изолирован. Заряды на обкладках равны $\pm Q$. Найдите приращение разности потенциалов на обкладках конденсатора.

4.3.8. Конденсатор подключен к батарее с ЭДС равной V . Найдите приращение заряда на обкладке, соединенной с положительным выводом батареи.

4.3.9. На схеме рис. 4.3.9 емкости всех конденсаторов одинаковы и равны C . Найдите эквивалентную емкость схемы C_x между точками a и b .

4.3.10. В схеме рис. 4.3.10 обозначены емкости четырех из пяти конденсаторов. Найдите емкость C_x , если общая емкость схемы равна $2C$.

4.3.11. Найдите общую емкость конденсаторов в схеме рис. 4.3.11а.

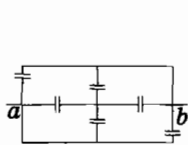


Рис. 4.3.9 а

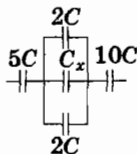


Рис. 4.3.10

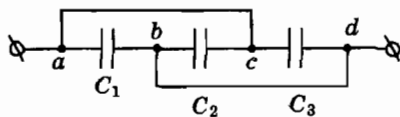


Рис. 4.3.11 а

4.3.12. На схеме рис. 4.3.12а емкости конденсаторов $C_1 = 10C$, $C_2 = 4C$, $C_3 = 16C$, $C_4 = 80C$. Найдите общую емкость схемы C_x .

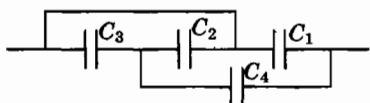


Рис. 4.3.12 а

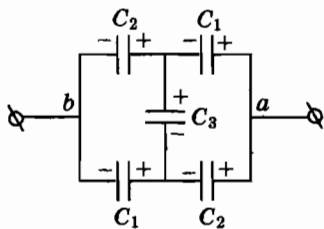


Рис. 4.3.13

4.3.13. На схеме, изображенной на рис. 4.3.13 емкости конденсаторов C_1 , C_2 , C_3 .

А. Найдите емкость C_x батареи конденсаторов между точками a и b .

Б. Найдите значение C_3 , при котором $C_x = C_3$.

4.3.14. Многослойные конденсаторы массового производства содержат $N + 1$ пластину, промежутки между которыми заполнены титанатом бария с диэлектрической проницаемостью $\epsilon = 2000$, площадь пластин $S = 1 \text{ см}^2$, толщина $d = 20 \text{ мкм}$, $N = 50$. На рис. 4.3.14 а показан разрез части конденсатора. Найдите емкость конденсатора C .

4.3.15. А. В плоский конденсатор емкостью C внесли металлическую пластину толщиной $h < d$, где d — расстояние между пластинами конденсатора. Плоскость пластины параллельна обкладкам конденсатора. Определите приращение емкости конденсатора ΔC .

Б. Расстояние между обкладками плоского конденсатора d . В конденсатор внесли тонкую изогнутую в середине металлическую пластину (рис. 4.3.15 а). Наименьшее расстояние от пластины до обкладок h . Найдите отношение емкости полученного конденсатора C' к емкости исходного конденсатора.

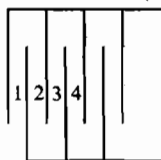


Рис. 4.3.14 а

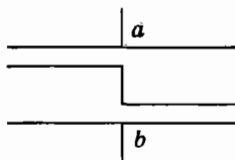


Рис. 4.3.15 а

4.3.16–4.3.17. Три металлические пластины a , b , c расположены параллельно друг другу. Наружные пластины a и c , расстояние меж-

ду которыми $d = 0,5$ м, соединены заземленным проводом. Внутренняя пластина b изолирована, имеет заряд $q = 10^{-10}$ Кл и расположена на расстоянии x от пластины a (рис. 4.3.16).

4.3.16. Найдите заряды, индуцированные на пластинах a , c .

4.3.17. Пластину b смещают на расстояние $\Delta x = 0,1$ м. Найдите приращение заряда Δq_a пластины a .

4.3.18. Две параллельные металлические пластины a и b присоединены к генератору постоянного напряжения с ЭДС равной V . Расстояние между пластинами — d . В пространство между пластинами поместили две параллельные пластины m и n , расстояние между которыми равно h (рис. 4.2.10). Найдите разность потенциалов $\varphi_m - \varphi_n$.

4.3.19–4.3.21. На пластинах изолированного плоского конденсатора емкостью C распределены заряды $\pm q$. Конденсатор помещают в плоскую металлическую коробку (рис. 4.3.19 a). Расстояния от пластин до стенок коробки равны толщине конденсатора d .

4.3.19. Найдите емкость системы C' .

4.3.20. Найдите приращение напряжения на конденсаторе ΔV .

4.3.21. Найдите разности потенциалов $\varphi_a - \varphi_m$ и $\varphi_n - \varphi_b$.

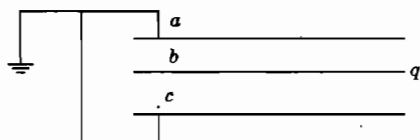


Рис. 4.3.16

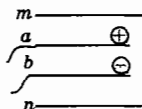


Рис. 4.3.19 a

4.3.22. Генератор напряжения с ЭДС равной \mathcal{E} подключен к батарее конденсаторов, состоящей из двух последовательно соединенных конденсаторов емкостями C_1 и C_2 (рис. 4.3.22 a). Найдите напряжение на каждом конденсаторе.

А. До подключения конденсаторы не заряжены.

Б. Возможно ли электрическое состояние схемы, в котором напряжение на конденсаторе C_1 равно $V_1 = 0$, а на конденсаторе C_2 равно $V_2 = \mathcal{E}$?

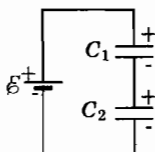


Рис. 4.3.22 a

4.3.23. Найдите разность потенциалов между точками b и d в схеме, показанной на рис. 4.3.23 a .

4.3.24. Батарею конденсаторов, изображенную на рис. 4.3.23 a , отключили от источника напряжения, а затем соединили точки b и d проводником. Найдите заряд, который протечет по проводнику, соединяющему верхние пластины C_1 и C_3 ($C_1 = C_2 = C_3 = C$, $C_4 = 3C$).

4.3.25. В схеме рис. 4.3.25 a емкости конденсаторов $C_1 = C_2 = C_3 = C$, $C = 3$ нФ. ЭДС батареи $\mathcal{E} = 4$ В. Вначале ключ находился в положении, обозначенном буквой m . Найдите заряд Δq , прошедший через батарею при переключении ключа из положения m в положение n .

4.3.26. Две батареи с ЭДС равными \mathcal{E}_1 и \mathcal{E}_2 включены в схему рис. 4.3.26, содержащую конденсаторы емкостями C_1 , C_2 , C_3 . Найдите напряжение U_3 на конденсаторе C_3 .

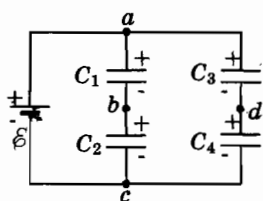


Рис. 4.3.23 a

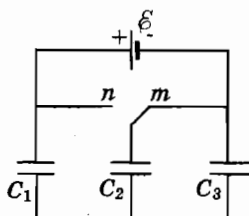


Рис. 4.3.25 a

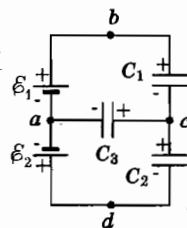


Рис. 4.3.26 a

4.3.27*. В схеме рис. 4.3.27 a ЭДС батарей $\mathcal{E}_1 = 2\mathcal{E}$, $\mathcal{E}_2 = \mathcal{E}$, емкости двух идентичных плоских конденсаторов $C_1 = C_2 = C$. В среднюю плоскость между обкладками конденсаторов поместили тонкую металлическую пластинку параллельно пластинам обкладок. Найдите приращение заряда Δq_1 на верхней пластине конденсатора C_1 .

4.3.28. В схеме рис. 4.3.28 емкости конденсаторов $C_1 = C_2 = C_3 = C$, $C = 10$ нФ. Потенциалы точек a , b , c поддерживаются одинаковыми и равными $\varphi_s = 40$ В. Точке O сообщили заряд $Q = 300$ нКл. Найдите потенциал φ_0 точки O .

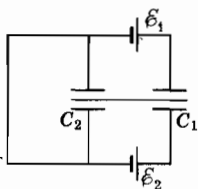


Рис. 4.3.27 a

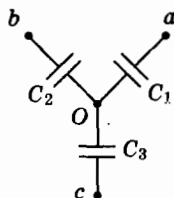


Рис. 4.3.28

4.3.29. В схеме рис. 4.3.29 обозначены емкости четырех конденсаторов, ЭДС батареи $\mathcal{E} = 10$ В. Найдите разность потенциалов между пластинами конденсатора емкостью $5C$.

4.3.30. В схеме на рис. 4.3.30 емкости конденсаторов $C_1 = C$, $C_2 = 4C$, $C_3 = 20C$. ЭДС батареи $\mathcal{E} = 120$ В. Найдите приращение напряжения ΔV_3 на конденсаторе C_3 после пробоя конденсатора C_1 .

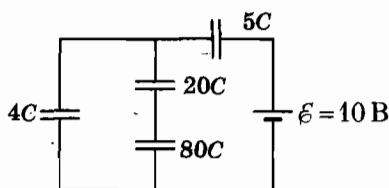


Рис. 4.3.29

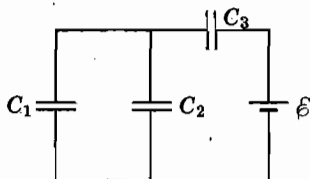


Рис. 4.3.30

4.3.31. В схеме на рис. 4.3.30 емкости конденсаторов одинаковы $C_1 = C_2 = C_3 = C$, $C = 1$ пФ. ЭДС батареи $\mathcal{E} = 12$ В. Найдите заряд Δq , который перетек через батарею после уменьшения расстояния между пластинами конденсатора C_1 на половину первоначального расстояния.

4.3.32. На рис. 4.3.32 изображена схема, содержащая две батареи с ЭДС равными $\mathcal{E}_1 = 100$ В и $\mathcal{E}_2 = 40$ В и конденсаторы емкостью $C_1 = 50$ пФ, $C_2 = 100$ пФ. Найдите заряд q_2 на верхней пластине конденсатора C_2 .

4.3.33. В схеме рис. 4.3.33 емкости конденсаторов $C_1 = 3C$, $C_2 = 2C$, $C = 1$ мкФ, значение ЭДС — $\mathcal{E} = 5$ В. Найдите заряд Δq , который протечет через ключ K после замыкания.

4.3.34. В схеме на рис. 4.3.34 а емкости конденсаторов $C_1 = C_2 = 1$ пФ, $C_3 = 3$ пФ, $C_4 = 4$ пФ. Разность потенциалов $\varphi_a - \varphi_b = V$, $V = 26$ В. Найдите напряжение V_3 на конденсаторе C_3 .

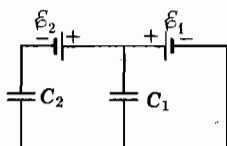


Рис. 4.3.32

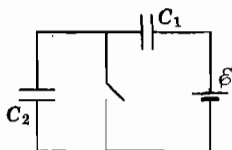


Рис. 4.3.33

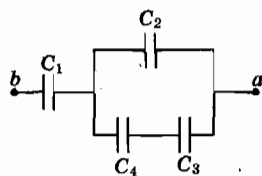


Рис. 4.3.34 а

4.3.35. В схеме рис. 4.3.35 емкости конденсаторов $C_1 = C_2 = C_3$, значения ЭДС — $\mathcal{E}_1 = 6$ В, $\mathcal{E}_2 = 3$ В. Найдите разность потенциалов $\varphi_m - \varphi_n$ точек m и n .

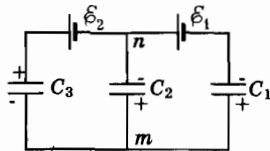


Рис. 4.3.35

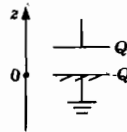


Рис. 4.3.36

4.3.37. Три металлические пластины a , b , c расположены параллельно друг другу. Наружные пластины a и c , расстояние между которыми d , соединены заземленным проводом. Внутренняя пластина изолирована и имеет заряд q и расположена на расстоянии x от пластины a . Площадь грани пластины — S . Найдите силу, действующую на пластину b .

4.3.38*. **Бесконтактный подвес.** На рис. 4.3.28 изображена схема модели электростатического подвеса — устройства, в котором тело, представляющее собой соединенные внутренние пластины трех конденсаторов общей массой m , может находиться в равновесии. Все внешние обкладки конденсаторов закреплены. Углы между отрезками Oa , Ob , Oc равны 120° . Потенциалы точек a , b , c поддерживают равными $\varphi_a = \varphi_b = \varphi_c = \varphi$, емкости конденсаторов $C_1 = C_2 = C_3 = C$. Точке O сообщили заряд $Q = -2CV$, $V = \varphi - \varphi_c$. Найдите значение массы m .

4.4. Постоянный ток. Закон Ома

Общий метод расчета схем. Цель расчетов — найти напряжение на каждом резисторе и конденсаторе в произвольном электрическом состоянии схемы. Необходимо выделить

участки, имеющие различные потенциалы, произвольно обозначить знаки «+» и «-» зарядов пластин каждого конденсатора и ввести разности потенциалов каждого участка. Необходимо выделить узлы и произвольно ввести положительные направления токов между узлами.

Далее следует записать уравнения, используя два правила Кирхгофа:

А. Заряд изолированной части схемы сохраняется; токи в узлах непрерывны – сумма токов, входящих в узел равна сумме токов, вытекающих из узла.

Б. При обходе любого замкнутого контура сумма разностей потенциалов пластин конденсаторов и падений напряжения на резисторах $I_n R_n$ ($n = 1, 2, \dots$) равна сумме ЭДС, входящих в контур. Разность потенциалов или напряжение на конденсаторе V_n пишем со знаком «+», если направление обхода совпадает с направлением от положительного заряда обкладки конденсатора к отрицательному заряду обкладки. Падение напряжения $I_n R_n$ пишем со знаком «+», если направление обхода совпадает с положительным направлением обхода контура. Сумма ЭДС содержит члены $+E$ (или $-E$), если направление обхода совпадает (или противоположно) с направлением от отрицательного электрода батарейки к положительному электроду.

4.4.1. Согласно теории Бора в основном состоянии атома водорода электрон движется вокруг протона по круговой орбите радиусом $a = 0,053$ нм. Найдите силу тока, соответствующую движению электрона по орбите? (Масса электрона $m = 9,1 \cdot 10^{-31}$ кг.)

4.4.2. Конденсатор, представляющий собой две квадратные пластины размером $a \times a$, расстояние между которыми d , присоединен к источнику постоянного напряжения U . Найдите силу тока в цепи при вложении в конденсатор диэлектрической плиты размерами $a \times a \times d$. Коэффициент диэлектрической проницаемости ϵ . Скорость плиты $\vec{v} = (v(t), 0, 0)$.

4.4.3. В электростатическом поле потенциалы двух точек удовлетворяют неравенству $\varphi_a > \varphi_b$. Расположим в этом поле замкнутый провод, проходящий через точки a и b . Почему сила тока в проводе равна нулю?

4.4.4. Неоднородный проводник представляет собой два последовательно соединенных цилиндрических провода с удельными сопротивлениями ρ_1 и ρ_2 , разделенных поверхностью площадью S . Плотность тока — j . Найдите поверхностную плотность заряда, возникающего на границе раздела проводников.

4.4.5. В схеме рис. 4.4.5 обозначены значения сопротивлений резисторов в единицах СИ. Найдите общее сопротивление схемы R_x .

4.4.6. В схеме рис. 4.4.6 сопротивления резисторов $R_1 = 5$ Ом, $R_2 = 400$ Ом, $R_3 = 100$ Ом, $R_4 = 25$ Ом, $R_5 = 20$ Ом. Найдите общее сопротивление схемы между точками a и b .

4.4.7. В схеме на рис. 4.4.7 сопротивления резисторов $R_1 = 5$ Ом, $R_2 = 20$ Ом, $R_3 = 10$ Ом, $R_4 = 6$ Ом. Найдите общее сопротивление схемы.

4.4.8–4.4.9. Каждое ребро металлического каркаса куба на рис. 4.4.8 имеет сопротивление r . Разность потенциалов $\varphi_a - \varphi_n = V$.

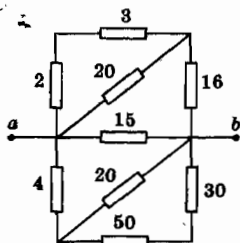


Рис. 4.4.5

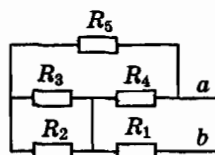


Рис. 4.4.6

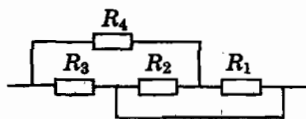


Рис. 4.4.7

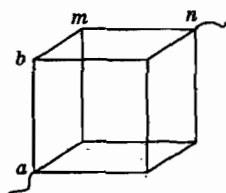


Рис. 4.4.8

4.4.8. Найдите разность потенциалов между точками b и m .

4.4.9. Найдите сопротивление каркаса $R_{ан}$.

4.4.10. Каждое ребро металлического каркаса правильного тетраэдра $ABCD$ имеет сопротивление r . Найдите сопротивление каркаса между двумя вершинами.

4.4.11. На рис. 4.4.11 изображен длинный кабель — жила с внешней изоляцией, погруженная в проводящую среду. Сопротивление участка жилы кабеля R , сопротивление участка изоляции r . Найдите сопротивление схемы R_{ab} между точками a и b . Исследуйте случай $r \gg R$.

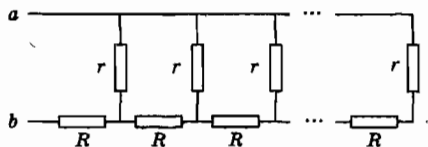


Рис. 4.4.11

4.4.12. Лестничная цепь состоит из последовательно соединенных одинаковых звеньев (рис. 4.4.12 a). Найдите значение сопротивления R , при котором сопротивление цепи не зависит от числа звеньев.

4.4.13–4.4.14. Схема рис. 4.4.13 содержит четыре резистора. Разность потенциалов $\varphi_a - \varphi_b = V$.

4.4.13. Найдите разность потенциалов $\varphi_m - \varphi_n$ точек m и n .

4.4.14. В схеме рис. 4.4.13 разность потенциалов $V = 120$ В, разность потенциалов между точками n и m равна $\varphi_n - \varphi_m = V_c$, $V_c = 20$ В. Отношение сопротивлений $R_4/R_3 = 5$. Найдите разности потенциалов $V_1 = \varphi_m - \varphi_b$ на резисторе R_1 , $V_2 = \varphi_a - \varphi_m$ на резисторе R_2 , $V_3 = \varphi_a - \varphi_n$ на резисторе R_3 , $V_4 = \varphi_n - \varphi_b$ на резисторе R_4 .

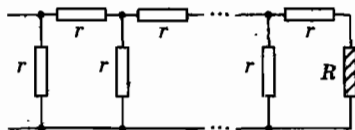


Рис. 4.4.12 a

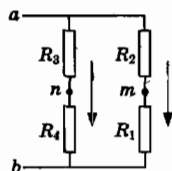


Рис. 4.4.13

4.4.15. Найдите заряд правой пластины конденсатора емкостью $C = 1$ мкФ в схеме рис. 4.4.15. Разность потенциалов $\varphi_a - \varphi_b = 120$ В, сопротивления резисторов $R_1 = 2$ кОм, $R_2 = 8$ кОм, $R_3 = R_4 = 5$ кОм.

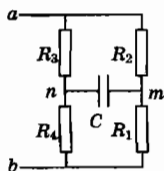


Рис. 4.4.15

4.4.16. В схеме рис. 4.4.16 сопротивления резисторов R_1, R_2, R_3 одинаковы. Разности потенциалов $\varphi_a - \varphi_b = V, V = 110$ В, $\varphi_a - \varphi_m = V_2, V_2 = 60$ В. Найдите напряжение $V_4 = \varphi_a - \varphi_n$ на резисторе R_4 .

4.4.17–4.4.18. В схеме рис. 4.4.17 сопротивления резисторов $R_1 = 2$ Ом, $R_2 = 4$ Ом, $R_3 = 3$ Ом, $R_4 = 1$ Ом, разность потенциалов $\varphi_a - \varphi_b = V, V = 18$ В.

4.4.17. Найдите разность потенциалов между точками a и n .

4.4.18. Найдите разность потенциалов между точками m и b .

4.4.19 А*. В схеме рис. 4.4.19 а сопротивления резисторов $R_1 = R_3 = 5$ Ом, $R_2 = R_4 = 20$ Ом, напряжение $V = 40$ В. Найдите силу тока I_a , протекающего через амперметр.

Б. В схеме рис. 4.4.19 б сопротивления резисторов $R_1 = R_5 = 5$ Ом, $R_3 = 6$ Ом, $R_2 = R_4 = 20$ Ом, Разность потенциалов $\varphi_a - \varphi_b = V, V = 40$ В. Найдите силу тока I_a , протекающего через амперметр.

4.4.20. На схеме на рис. 4.4.20 сопротивления резисторов $R_1 = 8$ Ом, $R_2 = 12$ Ом, $R_3 = 10$ Ом, разность потенциалов $\varphi_a - \varphi_b = V, V = 60$ В. Найдите разность потенциалов $\varphi_m - \varphi_n$ между точками m и n .

4.4.21. На схеме рис. 4.4.21 сопротивления резисторов $R_1 = 8$ Ом, $R_2 = 12$ Ом, разность потенциалов $\varphi_a - \varphi_b = V, V = 60$ В. Найдите разность потенциалов $\varphi_n - \varphi_m$.

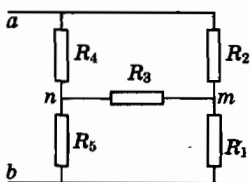


Рис. 4.4.16

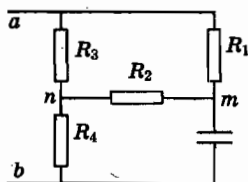


Рис. 4.4.17

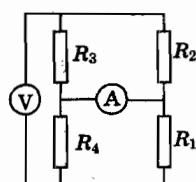


Рис. 4.4.19 а

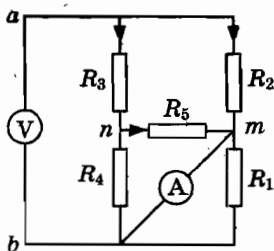


Рис. 4.4.19 б

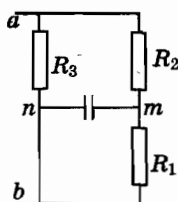


Рис. 4.4.20

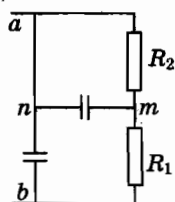


Рис. 4.4.21

4.4.22. В схеме на рис. 4.4.22 сопротивления резисторов $R_1 = 8 \text{ Ом}$, $R_3 = 10 \text{ Ом}$, разность потенциалов $\varphi_a - \varphi_b = V$. $V = 60 \text{ В}$. Найдите разность потенциалов между точками m и n .

4.4.23. В схеме рис. 4.4.23 *a* емкости конденсаторов одинаковы, разность потенциалов $\varphi_a - \varphi_b = V$, $V = 18 \text{ В}$. Найдите разность потенциалов $\varphi_m - \varphi_n$.

4.4.24. В схеме рис. 4.4.24 емкости конденсаторов одинаковы, сопротивления резисторов $R_1 = 4 \text{ Ом}$, $R_2 = 6 \text{ Ом}$, разность потенциалов $\varphi_a - \varphi_b = V$, $V = 30 \text{ В}$. Найдите разность потенциалов $\varphi_m - \varphi_n$.

4.4.25–4.4.26. В схеме рис. 4.4.25 сопротивления резисторов $R_1 = 3 \text{ Ом}$, $R_2 = 4 \text{ Ом}$, $R_3 = 5 \text{ Ом}$, разность потенциалов $\varphi_a - \varphi_b = V$, $V = 12 \text{ В}$.

4.4.25. Найдите разность потенциалов $\varphi_a - \varphi_n$.

4.4.26. Найдите разность потенциалов $\varphi_m - \varphi_b$.

4.4.27. В схеме на рис. 4.4.27 *a* содержит два амперметра A_1 , A_2 и три резистора, сопротивления которых $R_1 = R_2 = 1 \text{ Ом}$, $R_3 = 2 \text{ Ом}$. Разность потенциалов $\varphi_a - \varphi_k = V$, $V = 1 \text{ В}$. Найдите силы токов I_1 , I_2 , протекающих через амперметры A_1 и A_2 .

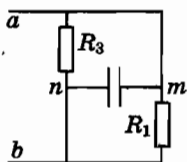


Рис. 4.4.22

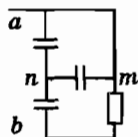


Рис. 4.4.23 *a*

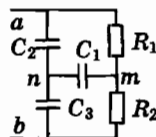


Рис. 4.4.24

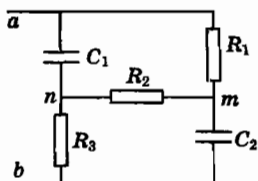


Рис. 4.4.25

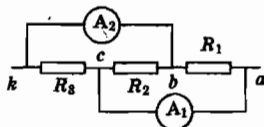


Рис. 4.4.27 *a*

4.4.28. Шунт и дополнительное сопротивление.

А. Предельное значение силы тока, измеряемое амперметром — I_m . Для измерения силы тока в интервале $I_m \leq I \leq I_m \cdot 10^n$ ($n = 2, 3, \dots$) необходимо шунтировать амперметр (рис. 4.4.28 *a*). Сопротивление амперметра — R_a . Найдите значение сопротивления шунта R_s , при

котором сила тока и показания амперметра связаны соотношением $I = I_a \cdot 10^n$.

Б. Предельное значение напряжения, измеряемое вольтметром — V_m . Для измерения напряжения в интервале $V_m \leq V \leq V_m \cdot 10^n$ ($n = 2, 3, \dots$) необходимо использовать дополнительное сопротивление (рис. 4.4.28 б). Сопротивление вольтметра — R_v . Найдите значение величины дополнительного сопротивления R_n , при котором напряжение и показания вольтметра связаны соотношением $V = V_v \cdot 10^n$.

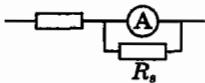


Рис. 4.4.28 а

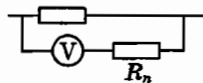


Рис. 4.4.28 б

4.4.29*–4.4.32*. Схема рис. 4.4.29 а содержит пять резисторов, $\varphi_a - \varphi_k = V$. Представляя схему в более привычном виде на рис. 4.4.29 б убедимся, что в ней отсутствуют параллельные и последовательные соединения резисторов.

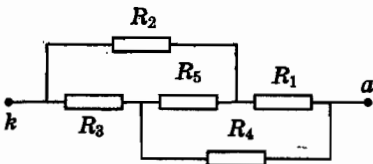


Рис. 4.4.29 а

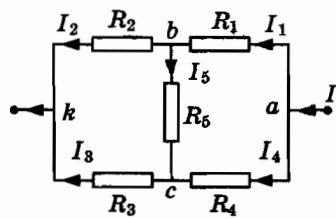


Рис. 4.4.29 б

4.4.29*. Полагая $R_1 = R_3 = r_1$, $R_2 = R_4 = r_2$, найдите сопротивление R участка ak .

4.4.30*. Положим $R_2 = R_3 = 0$, $R_1 = R_5 = R_4 = r$. Найдите общее сопротивление R участка ak .

4.4.31*. В схеме рис. 4.4.29 а $R_1 = R_3 = r_1$, $R_2 = R_4 = r_2$, $R_5 = 0$. Пусть $r_1 = 5$ Ом, $r_2 = 20$ Ом, $V = 40$ В. Найдите силу тока I_5 , проходящего через проводник bc .

4.4.32. В схеме рис. 4.4.29 а сопротивления $R_1 = R_3 = r_1$, $R_2 = R_4 = r_2$, $R_5 \gg r_1, r_2$. Изобразите эквивалентную схему. Найдите разность потенциалов между точками b и c .

4.4.33. В схеме рис. 4.4.33 разность потенциалов $\varphi_a - \varphi_k = V$, $V = 3$ В, сопротивления резисторов $R_1 = 6$ кОм, $R_2 = 4$ кОм, емкости конденсаторов $C_1 = 20$ мкФ, $C_2 = 80$ мкФ.

А. Ключ K разомкнут. Найдите заряд Q_1 верхней пластины конденсатора C_1 .

Б. Ключ K замкнут. Найдите заряд Q_1 верхней пластины конденсатора C_1 .

В. Найдите заряд ΔQ , прошедший через проводник mn после замыкания ключа.

4.4.34. В схеме рис. 4.4.34 содержится три резистора. Разности потенциалов $\varphi_a - \varphi_k = V_1$, $\varphi_b - \varphi_k = V_2$. Стрелками обозначены положительные направления токов I_1, I_2, I_3 , протекающих через резисторы R_1, R_2, R_3 .

А. В схеме $R_3 = 0$. Найдите силу тока I_3 .

Б. В схеме $R_2 = 0$. Найдите силу тока I_1 .

В. В схеме $R_2 \gg R_1, R_3$. Найдите силу тока I_1 .

Г. Симметричная схема: $R_1 = R_2 = R_3 = R$, $V_1 = V_2 = V$. Найдите силу тока, протекающего через каждый резистор.

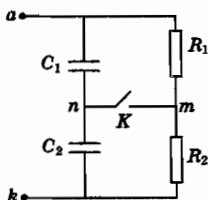


Рис. 4.4.33

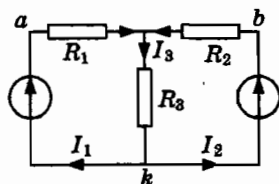


Рис. 4.4.34

4.4.35. Изобразите распределение потенциала в схеме рис. 4.4.35 а.

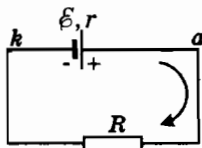


Рис. 4.4.35 а

4.4.36. Запишите закон Ома для участков цепи на схемах рис. 4.4.36 а, б.

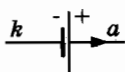


Рис. 4.4.36 а

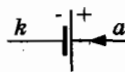


Рис. 4.4.36 б

4.4.37. Найдите относительную ошибку в измерении ЭДС источника напряжения, если показания вольтметра V , присоединенного к электродам на рис. 4.4.35 *a*, принять за ЭДС. Внутреннее сопротивление батареи $r = 0,1$ Ом, сопротивление вольтметра $R = 200$ Ом.

4.4.38. А. Для измерения сопротивления резистора R собрана схема, изображенная на рис. 4.4.38 *a*. Показания амперметра и вольтметра — $I_1 = 0,1$ А, $V_1 = 9,9$ В. В схеме рис. 4.4.38 *б* из тех же элементов показания амперметра и вольтметра — $I_2 = 10$ А, $V_2 = 9,9$ В. Найдите значение R .

Б. Найдите относительную погрешность δ при измерении сопротивления, если не учитывать поправку на сопротивление вольтметра.

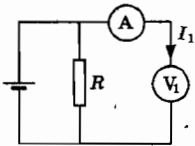


Рис. 4.4.38 *a*

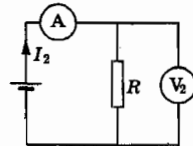


Рис. 4.4.38 *б*

4.4.39. Высокоомный вольтметр, подключенный к батарейке, показал напряжение $V_1 = 6$ В. Когда к зажимам батареи подключили лампочку, вольтметр показал напряжение $V_2 = 3$ В. Найдите показание вольтметра V_3 , если вместо одной подключить две лампочки, соединенных последовательно.

4.4.40. В схеме рис. 4.4.40 сопротивления резисторов $R_1 = R_2 = R_3 = R$, $R = 10$ Ом, ЭДС батареи $\mathcal{E} = 30$ В, внутреннее сопротивление $r = 5$ Ом. Сопротивление амперметра равно нулю. Определите показание амперметра.

4.4.41. В схеме на рис. 4.4.41 сопротивления резисторов $R_1 = R_3 = 2R$, $R_2 = R_4 = R$, $R = 2$ Ом. ЭДС батареи $\mathcal{E} = 4,5$ В, внутреннее сопротивление $r = 1,5$ Ом. Найдите напряжение на конденсаторе V_c .

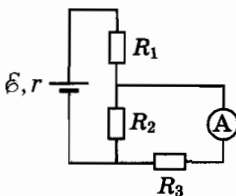


Рис. 4.4.40

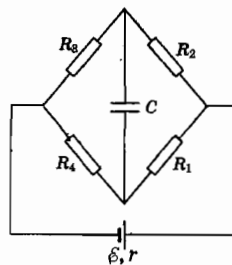


Рис. 4.4.41

4.4.42. В схеме на рис. 4.4.42 ЭДС батареи — \mathcal{E} , сопротивления резисторов $R_1 = R_2 = R$. При замкнутом ключе напряжение на первом резисторе $U_1 = 0,6\mathcal{E}$. Найдите напряжение U' на первом резисторе после размыкания ключа K .

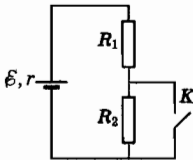


Рис. 4.4.42

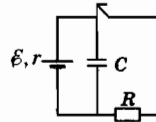
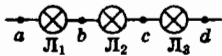


Рис. 4.4.43

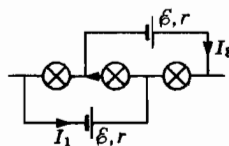
4.4.44. Три одинаковых лампы соединены последовательно (рис. 4.4.44 а). При подключении батарейки к одной из них сила тока — I_{10} , к двум — I_{20} , к трем — I_{30} . Найдите силу тока, протекающего через каждую лампу I_1, I_2, I_3 .

А. В схеме, изображенной на рис. 4.4.44 б.

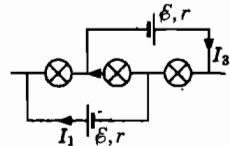
Б. В схеме, изображенной на рис. 4.4.44 в.



а



б



в

Рис. 4.4.44 а, б, в

4.4.45. В схеме рис. 4.4.45 а сопротивления резисторов $R_1 = R_2 = R_3 = R$, $R = 3$ Ом. ЭДС батарей $\mathcal{E}_1 = \mathcal{E}_2 = \mathcal{E}$, $\mathcal{E} = 4,5$ В, внутренние сопротивления $r_1 = r_2 = r$, $r = 1$ Ом. Найдите силу тока I_2 , протекающего через резистор R_2 .

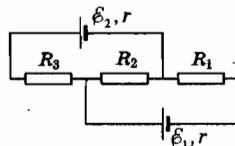


Рис. 4.4.45 а

4.4.46. В схеме на рис. 4.4.46 напряжение между электродами батареи $\varphi_a - \varphi_b = V$, $V = 4,5$ В. Сопротивления резисторов $R_1 = 0,8$ Ом, $R_2 = 2$ Ом, $R_3 = 3$ Ом. Найдите силу тока I_3 , проходящего через резистор R_3 .

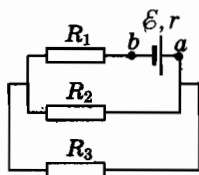


Рис. 4.4.46

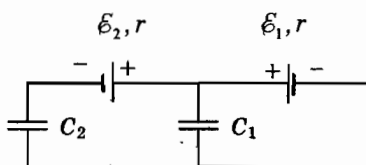


Рис. 4.4.47

4.4.48. В схеме рис. 4.4.48 а ЭДС и внутреннее сопротивление электрохимического элемента — ε , r . Представьте схему рис. 4.4.48 а в эквивалентном виде, изображенном на рис. 4.4.48 б. Найдите ЭДС и внутреннее сопротивление нового элемента ε_1 и r_1 .

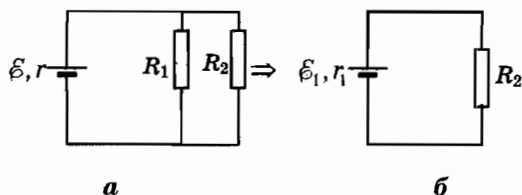


Рис. 4.4.48 а, б

4.4.49. Два элемента с ЭДС равными $\varepsilon_1 = 1,5$ В, $\varepsilon_2 = 4,5$ В и внутренними сопротивлениями $r_1 = 0,1$ Ом, $r_2 = 0,3$ Ом соединены в батарею параллельно (рис. 4.4.49). Найдите ЭДС и внутреннее сопротивление батареи.

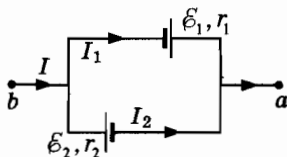


Рис. 4.4.49

4.4.50. Перейдем от схемы рис. 4.4.50 а, содержащей батарею с ЭДС равной \mathcal{E}_0 , и внутренним сопротивлением r_0 к схеме рис. 4.4.50 б, которую дополним еще одним элементом с ЭДС равным \mathcal{E} и внутренним сопротивлением r . А. Найдите условие, при котором сила тока в схеме рис. 4.4.50 б меньше чем сила тока в схеме рис. 4.4.50 а. Б. Докажите, что разность потенциалов $\phi_a - \phi_b$ меньше нуля.

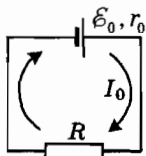


Рис. 4.4.50 а

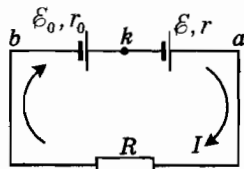


Рис. 4.4.50 б

4.4.51. У вас имеется N ($N \gg 1$) одинаковых элементов с ЭДС равной \mathcal{E} и внутренним сопротивлением r . Сопротивление нагрузки равно R . Как следует соединить элементы, чтобы получить максимальную силу тока в цепи?

4.4.52. Аккумулятор и батарея, соединенные параллельно, подключены к нагрузке — резистору сопротивлением R (рис. 4.4.52). ЭДС и внутренние сопротивления аккумулятора и батареи $\mathcal{E}_1, \mathcal{E}_2$ ($\mathcal{E}_2 > \mathcal{E}_1$) и r_1, r_2 .

А. Найдите силу тока в общей части цепи при значении $R = 0$.

Б. Найдите силу тока I в общей части цепи при $R \gg r_1, r_2$.

В. Найдите значение сопротивления $R = R_c$, при котором сила тока $I_1 = 0$.

Г. Найдите условие, при котором токи I_1, I_2 через батарею и аккумулятор текут в противоположных направлениях: $I_1 < 0, I_2 > 0$.

4.4.53. В схеме рис. 4.4.53 заданы сопротивление R , ЭДС источников напряжения \mathcal{E}_1 и \mathcal{E}_2 и внутренние сопротивления r_1 и r_2 . Определите значение \mathcal{E} , при котором ток через резистор R равен нулю.

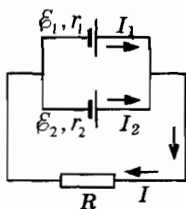


Рис. 4.4.52

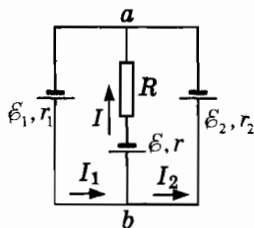


Рис. 4.4.53

4.4.54. Присоединим к схеме рис. 4.4.35 *a* участок, содержащий конденсатор емкостью C и электрохимический элемент с ЭДС равной \mathcal{E}_1 . В результате получим схему рис. 4.4.54. Найдите напряжение на конденсаторе V .

4.4.55. Определите заряд ΔQ , который пройдет через ключ K после замыкания цепи в схеме рис. 4.4.55 ($\mathcal{E}_1 = 5$ В, $\mathcal{E}_2 = 3$ В, $C_1 = 1$ мкФ, $C_2 = 2$ мкФ).

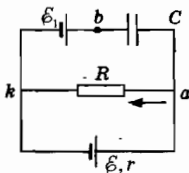


Рис. 4.4.54

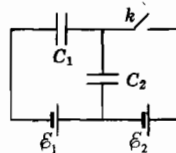
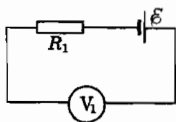
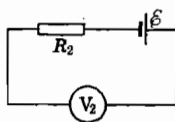


Рис. 4.4.55

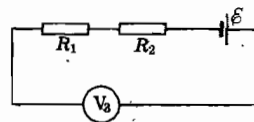
4.4.56. В схемах рис. 4.4.56 ЭДС батареи — \mathcal{E} , внутреннее сопротивление $r = 0$. Показание вольтметра в схеме рис. 4.4.56 *a* — V_1 , в схеме рис. 4.4.56 *б* — V_2 , в схеме рис. 4.4.56 *в* — V_3 . Найдите значение ЭДС батареи.



a



б



в

Рис. 4.4.56

4.4.57. В схеме рис. 4.4.57 ЭДС батарей — \mathcal{E}_1 , \mathcal{E}_2 внутренние сопротивления равны нулю, сопротивления резисторов R_1 , R_2 , R_0 . Найдите значения сил токов, протекающих через батареи.

4.4.58. Напряжение между точками a и b в схеме рис. 4.5.58 равно V . Амперметр с малым внутренним сопротивлением, подключенный к этим точкам фиксирует силу тока I . Найдите напряжение V_1 между точками a и b при подключении к ним резистора сопротивлением R_1 .

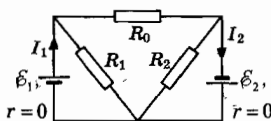


Рис. 4.4.57

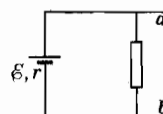


Рис. 4.5.58

4.4.59. Реостат включен в схему, изображенную на рис. 4.4.59. ЭДС одинаковых электрохимических элементов \mathcal{E} , внутреннее сопротивление r , сопротивления реостата R . Положение движка реостата делит резистор на резисторы сопротивлениями $R/2 - x$ и $R/2 + x$. Найдите силу тока $I(x)$.

4.4.60. Множество n одинаковых электрохимических элементов, соединенных последовательно, образуют замкнутую цепь. Покажите, что разность потенциалов между любыми точками цепи равна нулю.

4.4.61. В схеме рис. 4.4.61 изображены батарейка, два одинаковых амперметра и два одинаковых вольтметра и резистор. ЭДС батарейки $\mathcal{E} = 20$ В, сопротивление амперметра $R_a = 1$ Ом. Амперметры показывают силы токов $I = 0,1$ А, $I_1 = 0,09$ А, вольтметр V_2 показывает напряжение $V_2 = 1,8$ В. Найдите показание вольтметра V , значения внутреннего сопротивления батарейки и сопротивления резистора R .

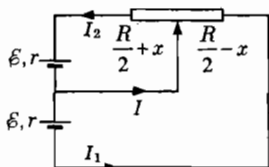


Рис. 4.4.59

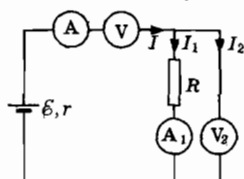


Рис. 4.4.61

4.4.62. В схеме, изображенной на рис. 4.4.62 внутреннее сопротивление электрохимического элемента равно нулю, сопротивления резисторов R_1, R_2 . Когда к точкам a и b схемы подключили резистор сопротивлением R , то сила тока, протекающего через этот резистор, стала равной I . Найдите приращение силы тока ΔI_1 , протекающего через резистор R_1 .

4.4.63. В схеме на рис. 4.4.63 емкости конденсаторов $C_1 = C_4 = C$. Сопротивления резисторов указаны на рисунке. Найдите заряд Δq , который протечет через резистор R_5 от точки b к точке c , если приложить разность потенциалов $\varphi_a - \varphi_k = V$.

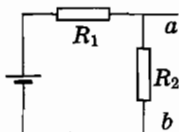


Рис. 4.4.62

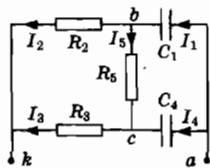


Рис. 4.4.63

4.4.64. Источник напряжения и источник тока. Приведите определения терминов «источник напряжения» и «источник тока».

4.4.65. Металлическая пластина k расположена параллельно пластинам конденсатора a и b , расстояние между которыми d . Конденсатор присоединен к батарее с ЭДС равной \mathcal{E} , внутреннее сопротивление r (рис. 4.4.65). Внутренняя пластина k изолирована, имеет заряд q и движется со скоростью $v(t) = kt(t_0 - t)$, $0 \leq t \leq t_0$. Координаты пластины $x_k(0) = 0$, $x_k(t_0) = d$. Значение t_0 удовлетворяет условию $t_0 \gg \tau$, $\tau = Cr$, $C = \epsilon_0 S/d$ — емкость конденсатора. Найдите силу тока $I(t)$, протекающего через батарею в промежутке времени $\tau \ll t \leq t_0$.

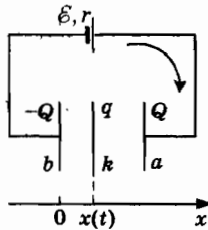


Рис. 4.4.65

4.4.66. Шаговое напряжение. Сила тока в линии электропередачи $I = 30$ А. Оголенный конец провода упал с линии на землю. Человек стоит боком к проводу на расстоянии $r = 1$ м от его конца, расстояние между ступнями $\Delta r = 0,3$ м, удельное сопротивление грунта $\rho = 200$ Ом·м. Оцените разность потенциалов $\Delta\phi$ между ступнями.

4.4.67. В схеме на рис. 4.4.67 разность потенциалов $\phi_a - \phi_b = V$, сопротивления резисторов одинаковы. Вольтметр, подключенный к точкам b и c , показал напряжение V_1 (рис. 4.4.67 а). Найдите показание вольтметра V_2 в схеме на рис. 4.4.67 б.

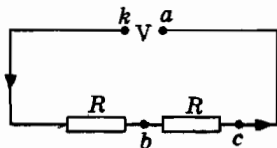


Рис. 4.4.67 а

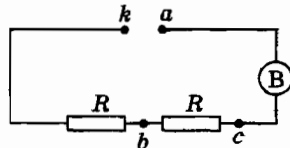


Рис. 4.4.67 б

4.4.68. В схеме на рис. 4.4.68 сопротивления резисторов $R_1 = R_2 = 2$ Ом, $R_3 = 40$ Ом, $R_4 = 10$ Ом, $R_5 = 5$ Ом. Сила тока, протекающего через резистор R_3 , равна $I_3 = 0,5$ А. Найдите силы токов, протекаю-

щих через остальные резисторы и напряжение V , подаваемое на вход схемы.

4.4.69. На вход схемы на рис. 4.4.69, содержащей два конденсатора, лампу и реостат, подано постоянное напряжение V . Оба ключа разомкнуты.

А. Определите порядок операций, необходимых для того чтобы напряжение на конденсаторе C_2 стало равным V при разомкнутых ключах.

Б. Определите порядок операций, необходимых для того чтобы при напряжении на конденсаторе C_1 равном V лампа светилась.

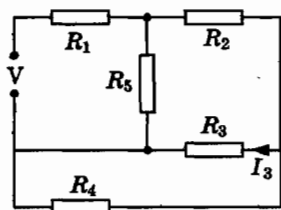


Рис. 4.4.68

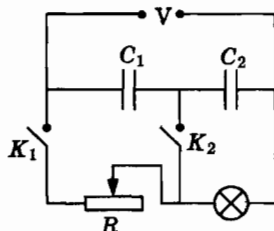


Рис. 4.4.69

4.4.70. Схема, содержащая три резистора, подключена к внешней сети (рис. 4.4.70). Вольтметр подключают сначала к резистору сопротивлением R_1 , затем к резисторам сопротивлениями R_2 и R . Показания вольтметра соответственно равны $V_1 = 4$ В, $V_2 = 6$ В, $V = 12$ В. Определите напряжения V_{10} и V_{20} в отсутствие вольтметра.

4.4.71. В схеме рис. 4.4.71 заданы сопротивление $R = 3$ Ом, ЭДС источников напряжения $\mathcal{E}_1 = 10$ В, $\mathcal{E}_2 = 5$ В и внутренние сопротивления $r_1 = 1$ Ом, $r_2 = 1$ Ом, емкость конденсатора $C = 5$ мкФ. Определите заряд Q левой пластины конденсатора.

4.4.72. В схеме рис. 4.4.72 заряд конденсатора C_2 при разомкнутом ключе равен Q_2 . Найдите заряд Q_1 конденсатора C_1 после замыкания ключа.

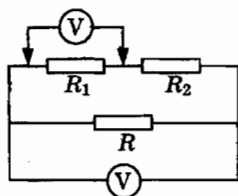


Рис. 4.4.70

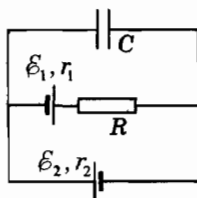


Рис. 4.4.71

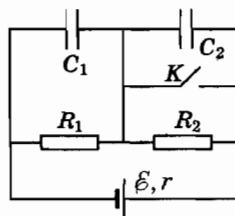


Рис. 4.4.72

4.4.73. В схеме рис. 4.4.73 известны ЭДС батарей и внутренние сопротивления: $\mathcal{E}_1 = 12$ В, $\mathcal{E}_2 = 6$ В, $r_1 = r_2 = r$, $r = 0,5$ Ом. Батареи подключены к резисторам, каждый из которых имеет сопротивление R . Найдите значение сопротивления R , если ток не протекает через контур $amnb$.

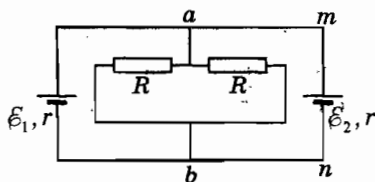


Рис. 4.4.73

4.4.74. Некоторое число n одинаковых батареек, соединенных параллельно, подключены к резистору. Если изменить полярность подключения одной батареи, то сила тока через резистор уменьшится в два раза. Определите значение n .

4.5. Закон Джоуля—Ленца

Если по проводнику протекает переменный ток силой $I(t)$, то за интервал времени $(t, t + \Delta t)$ в проводнике выделится количество теплоты

$$\delta Q = I^2(t) R \Delta t \quad (4.5.1)$$

Для определения количества теплоты Q , выделяющейся в резисторе за конечный отрезок времени $[t_1, t_2]$, разобьем его на N элементарных отрезков Δt_k и выберем на каждом из них точку t_k . Суммируя элементарные количества теплоты, получим величину Q .

Мощность, потребляемая резистором. Величина

$$P(t) = I^2 R \quad (4.5.2)$$

называется мгновенной мощностью, потребляемой резистором. Она характеризует скорость выделения теплоты в резисторе.

Отметим, что в «популярной» литературе величину $P = I^2 R$ называют терминами «мощность тока» или «мощность в цепи», которые не имеют какого-либо физического смысла.

4.5.1. Паяльник рассчитан на напряжение $U_0 = 220$ В. Как нужно изменить сопротивление, чтобы паяльник работал нормально при напряжении $U_1 = 110$ В?

4.5.2–4.5.3. Ребра правильного тетраэдра $ABCD$ образуют проволочный каркас. Сопротивление каждого ребра равно $r = 1$ Ом. Разность потенциалов между точками A и B равна $U = 4$ В.

4.5.2. Назовите ребро, в котором выделяется наибольшее количество теплоты.

4.5.3. Найдите мощность P , потребляемую проволочным каркасом.

4.5.4. В схеме рис. 4.5.4 четыре резистора имеют равные сопротивления. Если к выводам a и b приложить напряжение $V = 10$ В, то резистор R_1 потребляет мощность $P_1 = 18$ Вт. Найдите мощности, потребляемые остальными резисторами.

4.5.5. В схеме, показанной на рис. 4.5.5, сопротивления резисторов $R_1 = 4$ Ом, $R_2 = 2$ Ом, $R_3 = 1$ Ом, $R_4 = 2$ Ом, $R_5 = 5$ Ом. Укажите резистор, потребляющий наибольшую мощность.

4.5.6–4.5.7. В схеме на рис. 4.5.6 сопротивления резисторов одинаковы. Напряжения на каждом резисторе указаны на рисунке. Через резисторы R_1 и R_2 протекает ток силой $I = 0,5$ А.

4.5.6. Найдите в схеме резистор, на котором неверно отмечено напряжение.

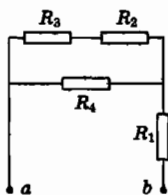


Рис. 4.5.4

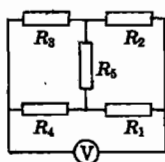


Рис. 4.5.5

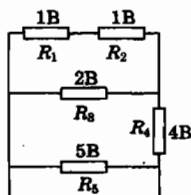


Рис. 4.5.6

4.5.7. Найдите мощность, потребляемую резистором R_3 .

4.5.8. В схеме на рис. 4.5.8 сопротивления резисторов $R_1 = 1$ Ом, $R_2 = 2$ Ом, $R_3 = 3$ Ом, разность потенциалов $\phi_a - \phi_b = V$. Каждый из резисторов может потреблять мощность $P \leq 1$ Вт. Найдите максимальное значение мощности P_m , которую может потреблять схема.

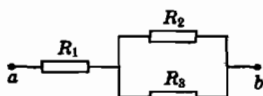


Рис. 4.5.8

4.5.9. Реостат включен в схему, изображенную на рис. 4.5.9 а. Разность потенциалов $\varphi_a - \varphi_b = V$. Сопротивления реостата и резистора равны R . Положение движка реостата делит сопротивление на резисторы сопротивлениями x и $R - x$. Найдите максимальное значение мощности P_m , потребляемой реостатом.

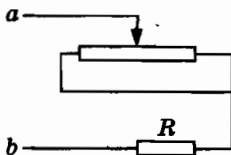


Рис. 4.5.9 а

4.5.10. Генератор постоянного напряжения V развивает мощность P ; сопротивление линии передачи электроэнергии R . Найдите КПД линии электропередачи.

4.5.11. При передаче электроэнергии зимой при температуре $t_1 = -25^\circ\text{C}$ мощность потерь в линии $P_1 = 100$ кВт. Найдите приращение мощности потерь в летнее время при температуре $t_2 = 25^\circ\text{C}$. Температурный коэффициент сопротивления медного провода линии $\alpha = 4,3 \cdot 10^{-3} \cdot \text{K}^{-1}$.

4.5.12. Найдите сопротивление лампы в холодном состоянии R_0 и в рабочем режиме R . Лампа рассчитана на напряжение $U = 220$ В, потребляемая мощность $P = 100$ Вт. Рабочая температура вольфрамовой нити $T \approx 2300^\circ\text{C}$, температурный коэффициент сопротивления вольфрамовой нити $\alpha = 10^{-2} \cdot \text{K}^{-1}$. При комнатной температуре $t_0 = 20^\circ\text{C}$ величина $\alpha = 4 \cdot 10^{-3} \text{K}^{-1}$.

4.5.13. Три лампы, рассчитанные на напряжение $V_0 = 110$ В, потребляют мощности $P_1 = P_2 = 50$ Вт и $P_3 = 100$ Вт. Нарисуйте схему включения лампочек в сеть напряжением $V = 220$ В, в которой они горят полным накалом.

4.5.14. Можно ли заменить перегоревший предохранитель отрезком провода большего сечения, не опасаясь вызвать плавление провода?

4.5.15. Резисторы, сопротивления которых $R_1 = 2$ Ом и $R_2 = 8$ Ом, поочередно подключаемые к батарее, потребляют одинаковую мощность. Найдите внутреннее сопротивление батареи.

4.5.16. Резисторы, сопротивления которых $R_1 = 2$ Ом и $R_2 = 8$ Ом, поочередно подключаемые к батарее, потребляют одинаковую мощность $P = 8$ Вт. Найдите максимальное значение мощности P_m , которую может потреблять внешняя цепь.

4.5.17. В схеме рис. 4.4.35 *a* резисторы, поочередно подключаемые к батарее, потребляют одинаковую мощность $P = 6$ Вт при значениях силы тока $I_1 = 2$ А и $I_2 = 6$ А. Найдите максимальное значение мощности $P_{m,r}$, которую может потреблять внешняя цепь.

4.5.18. В схеме рис. 4.4.35 *a* сопротивление резистора $R = 4$ Ом, сила тока $I = 1$ А. Сила тока короткого замыкания $I_k = 3$ А. Найдите максимальное значение мощности P_m , которую может потреблять внешняя цепь.

4.5.19. Два резистора, сопротивления которых R_1 и R_2 , подключают к батарее сначала параллельно, затем последовательно. Найдите значение внутреннего сопротивления, при котором в обоих случаях внешняя цепь потребляет одинаковую мощность.

4.5.20. В схему рис. 4.4.35 *a* подключают вольтметр, сначала последовательно, а потом параллельно резистору. Показания вольтметра в обоих случаях одинаковы. Сопротивление резистора $R = 2$ Ом, внутреннее сопротивление батареи $r = 1$ Ом. Найдите отношение мощностей P_1/P_2 , потребляемых резистором в первом и втором случаях.

4.5.21. После замыкания ключа в схеме рис. 4.5.21 сила тока через батарею возросла в 3 раза, а мощность, потребляемая внешней цепью, увеличилась в 2 раза. Найдите значение внутреннего сопротивления батареи.

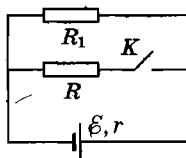


Рис. 4.5.21

4.5.22. Два одинаковых электрохимических элемента соединены параллельно и присоединены к резистору (рис. 4.5.22 *a*). Внутреннее сопротивление элемента $r = 0,2$ Ом, сопротивление резистора R . Если элементы соединить последовательно на рис. 4.5.22 *б*, то мощность, потребляемая резистором, возрастет в $k = 2,25$ раз. Найдите сопротивление резистора.

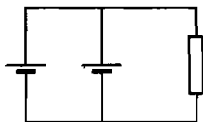


Рис. 4.5.22 *a*

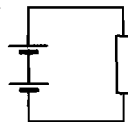


Рис. 4.5.22 *б*

4.5.23. В схеме, приведенной на рис. 4.5.23, лампа горит одинаково ярко при разомкнутом и замкнутом ключе. ЭДС батареи $\mathcal{E} = 18$ В, внутреннее сопротивление $r = 0$, сопротивления резисторов $R_1 = R_3 = R$, $R_2 = 2R$, $R = 3$ Ом. Найдите мощность, потребляемую лампой.

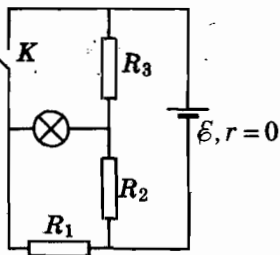


Рис. 4.4.23

4.5.24. В схеме рис. 4.5.24 сопротивления резисторов $R = 10$ Ом, $R_1 = 5$ Ом, внутреннее сопротивление батареи $r = 5$ Ом. Найдите отношение энергии электрического поля конденсатора U'_e в схеме с замкнутым ключом к энергии поля U_e в схеме с разомкнутым ключом.

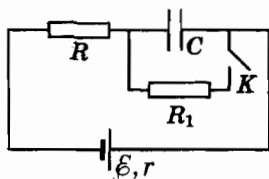


Рис. 4.5.24

4.5.25. В схеме на рис. 4.5.25 ЭДС батареи $\mathcal{E} = 100$ В, емкость конденсаторов $C_1 = 2$ нФ, $C_2 = 8$ нФ, сопротивление резистора $R = 10$ Ом. Вначале ключ находится в положении *a*. Найдите количество теплоты Q , выделившейся в резисторе после переключения ключа в положение *b*.

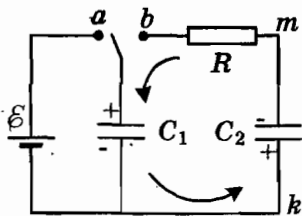


Рис. 4.5.25

4.5.26. В схеме рис. 4.5.26 ключ *K* вначале разомкнут. Конденсатор C_1 заряжен до разности потенциалов $V = 1$ В. Параметры элементов схемы $C_1 = C_2 = C$, $C = 4$ мкФ, $R_1 = 2$ Ом, $R_2 = 8$ Ом. Найдите количество теплоты, выделившейся в каждом резисторе после замыкания ключа.

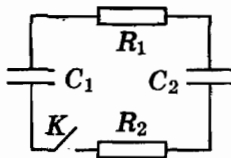


Рис. 4.5.26

4.5.27. В схеме на рис. 4.5.27 емкость конденсаторов C_1 , C_2 , сопротивление резистора R . Заряды верхних пластин конденсаторов q_1 , q_2 . Найдите количество теплоты Q , выделившейся в резисторе после замыкания ключа.

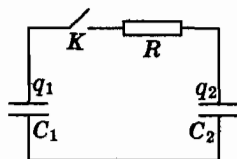


Рис. 4.5.27

4.5.28. В схеме рис. 4.5.28 конденсаторы $C_1 = C_2 = C$ не заряжены. ЭДС батареи — \mathcal{E} , внутреннее сопротивление — r . Определите количество теплоты Q_R , выделившейся в резисторе сопротивлением R после замыкания ключа K .

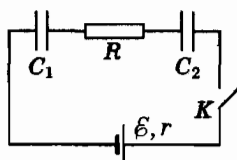


Рис. 4.5.28

4.5.29. В схеме на рис. 4.5.29 сопротивления резисторов $R_1 = 6$ Ом, $R_2 = 4$ Ом. Энергия электрического поля конденсатора $U_e = 30$ Дж. Определите количество теплоты Q_2 , которое выделится в резисторе R_2 после замыкания ключа.

4.5.30. На рис. 4.5.30 сопротивления резисторов $R_1 = R_3 = 2R$, $R_2 = R_4 = R$, емкость конденсатора C . ЭДС батареи \mathcal{E} , внутреннее сопротивление $r = 0$. Найдите количество теплоты Q_3 , выделившейся в резисторе R_3 после размыкания ключа K .

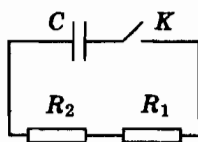


Рис. 4.5.29

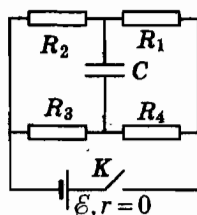


Рис. 4.5.30

4.5.31. Компьютер — источник теплоты. На рис. 4.5.31 схематически изображена ячейка-электронной логики. Носителем информации является заряд, запасенный конденсатором $C = 4 \text{ фФ}$ ($1 \text{ фемтофарад} = 10^{-15} \text{ Ф}$). В исходном состоянии разность потенциалов $\varphi_a - \varphi = V_1$, $V_1 = 5,2 \text{ В}$. В момент времени $t = 0$ управляющий транзистор понижает разность потенциалов до значения $\varphi_a - \varphi_b = V_2$, $V_2 = 0,2 \text{ В}$. Этот процесс реализует логическую операцию *НЕ*. Найдите количество теплоты Q , выделяемое в резисторе.

4.5.32*–4.5.34*. В схеме на рис. 4.5.32 емкость конденсатора C , ЭДС батарей $\mathcal{E}_1 = 5\mathcal{E}$, $\mathcal{E}_2 = \mathcal{E}$. Вначале ключ находился в положении *a*. Потом ключ переводят в положение *b*.

4.5.32*. Найдите приращение энергии электрического поля в конденсаторе ΔU .

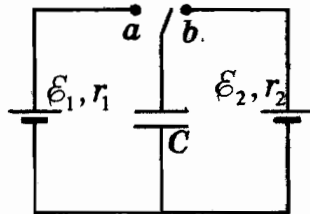
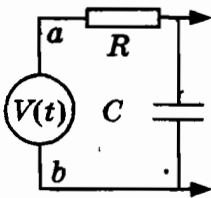


Рис. 4.5.31 Рис. 4.5.32

4.5.33*. Найдите работу A_2 , совершаемую батареей \mathcal{E}_2 .

4.5.34*. Найдите количество теплоты Q_2 , выделившееся в батарее \mathcal{E}_2 .

4.5.35. В схеме, приведенной на рис. 4.5.35 сопротивления резисторов R_1 , R_2 , емкость конденсатора C , ЭДС батареи \mathcal{E} , внутреннее сопротивление r . Найдите количество теплоты Q_2 , выделившейся в резисторе R_2 после замыкания ключа.

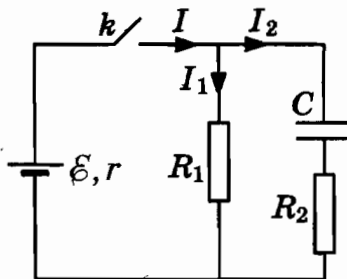


Рис. 4.5.35

4.5.36. Плоский конденсатор подключен к батарейке с ЭДС равной V_0 , внутреннее сопротивление r . Левая пластина закреплена (рис. 4.5.36). К правой пластине приложена сила величиной F . Найдите работу силы A_{ex} при увеличении расстояния между пластинами от начального значения d до значения h .

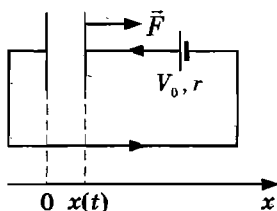


Рис. 4.5.36

4.5.37. Заряды пластин плоского изолированного конденсатора $\pm Q_0$. Левая пластина закреплена. К правой пластине приложена сила величиной F . Конденсатор находится в однородном постоянном электрическом поле; вектор напряженности \vec{E}_0 , перпендикулярен плоскости пластин. Найдите работу силы A_{ex} при увеличении расстояния между пластинами от начального значения d до значения h .

4.5.38. Мощность, потребляемая схемой, приведенной на рис. 4.5.38, равна V^2/R , где V — разность потенциалов точек a и b , R — сопротивление резистора R_3 . Сопротивления остальных резисторов одинаковы. Найдите мощность P_3 , потребляемую резистором R_3 .

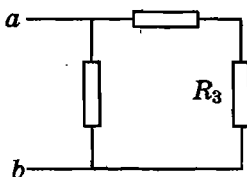


Рис. 4.5.38

4.5.39. Две лампочки мощностью $P_1 = 25$ и $P_2 = 75$ Вт, рассчитанные на напряжение $U = 220$ В, подключены последовательно в сеть напряжением $U = 220$ В. Найдите отношение мощности, потребляемой второй лампой P'_2 , к номинальной мощности P_2 .

4.5.40. В схеме рис. 4.3.25 а емкости конденсаторов $C_1 = C_2 = C_3 = C$, $C = 3$ нФ. ЭДС батареи $\mathcal{E} = 4$ В, внутреннее сопротивление $r = 1$ Ом.

Вначале ключ находился в положении, обозначенном буквой m . Найдите количество теплоты Q , выделившейся во внутреннем сопротивлении при переключении ключа из положения m в положение n .

4.5.41. В схеме рис. 4.5.41 a емкости конденсаторов $C_1 = C$, $C_2 = 2C$. Внутреннее сопротивление батареи равно нулю. Найдите количество теплоты Q , выделившейся в резисторе после замыкания ключа K .

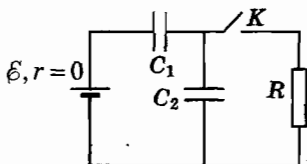


Рис. 4.5.41 a

4.5.42. Генератор постоянного напряжения в линии электропередачи может работать при напряжениях V_1 и V_2 , $V_2 > V_1$. Найдите отношение мощности потерь P_2/P_1 в первом и втором случаях.

4.5.43. При последовательном и параллельном включении двух одинаковых батареек резистор во внешней цепи потребляет мощность $P_0 = 16$ Вт. Определите мощность P , потребляемую резистором при подключении только одной батарейки.

4.5.44. Лампа мощностью $P = 500$ Вт рассчитана на напряжение $V_1 = 110$ В. Определите величину дополнительного сопротивления, позволяющего включить лампу в сеть с напряжением $V_2 = 220$ В без изменения потребляемой мощности.

4.5.45. В схеме на рис. 4.5.45 ЭДС батарей $\mathcal{E}_1 = 10$ В, $\mathcal{E}_2 = 20$ В, емкости конденсаторов $C_1 = 1$ мкФ, $C_2 = 2$ мкФ.

А. Найдите заряд Δq , который протечет через резистор после замыкания ключа.

Б. Найдите количество теплоты Q , которое выделится в резисторе после замыкания ключа.

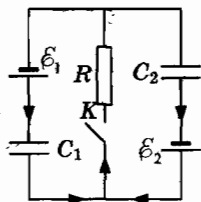


Рис. 4.5.45

4.5.46. Резистор — нелинейный элемент. В установившемся режиме количество теплоты, выделяющейся в резисторе, сравнивается с потерями энергии вследствие излучения и теплопроводности: $I^2 R = \beta(T - T_0)$, $R = R_0[1 + \alpha(T - T_0)]$, где T_0 — температура среды, T — температура резистора, β — постоянный коэффициент, α — температурный коэффициент сопротивления, $\beta \gg \alpha^2 R_0$. Найдите вольтамперную характеристику резистора $I = f(V)$, где V — напряжение на резисторе.

ОТВЕТЫ К ЗАДАЧАМ

Глава I. МЕХАНИКА

1.1. Кинематика

1.1.1. Производная в минимуме для любой кривой равна нулю, тангенс угла наклона касательной к горизонтали равен нулю.

1.1.9. $\alpha = (a/R)^2$.

1.1.10. $v_2 = 0,6$ м/с.

1.1.11. $v_{\text{ср}} = 4,8$ км/ч.

1.1.12. $v_{\text{ср}} = 12,5$ км/ч.

1.1.13. $v_2 = 22,5$ км/ч.

1.1.14. $v_1 = 2v_2 + v_3$.

1.1.15. $\Delta \vec{v} = (2u, 0, 0)$.

1.1.16. $h = \sqrt{\vec{r}_0^2 - (\vec{r}_0 \vec{v}_0 / v_0)^2}$.

1.1.17. $s_m = 1$ м.

1.1.18. Точка C движется по окружности радиусом $l/2$, $v_{Cx} = v/2$,

$$v_{Cy} = -\frac{v}{2} \frac{vt}{\sqrt{l^2 - (vt)^2}}$$

1.1.19. $v_x = -u/\cos \alpha$.

1.1.21. $\tau = 55$ мин.

1.1.22. $t_1 = 5\tau$.

1.1.23. $h = sd/(s + d)$.

1.1.24. $s_m = 3s/8$, $(v_x)_{\text{ср}} = 4v/5$.

1.1.25. $l = \frac{v-u}{v+u} l_0$.

1.1.26. $v_{\text{ср}} = 12$ м/с.

1.1.27. $s = 5$ м.

1.1.28. $t = 4\tau$.

1.1.29. $a = 0,05$ м/с².

1.1.30. $T = 2$ с.

1.1.31. $x(2\tau) = 10$ м.

1.1.32. $T = 3,41$ с.

1.1.33. $v_{\text{ср}} = 5$ м/с.

1.1.34. $s = v_0^2/a$.

1.1.35. $x(3\tau) = 25$ м.

1.1.36. $v_{\text{ср}} = 7,5$ м/с.

$$1.1.37. x(4\tau) = -3v_0\tau/2.$$

$$1.1.38. s = 5v_0\tau/2.$$

$$1.1.39. a = 2(l_2/t_2 - l_1/t_1)/(t_1 + t_2).$$

$$1.1.40. s = kt_0^3/6.$$

$$1.1.41. s = 5l.$$

$$1.1.42. \mu = 0,262.$$

$$1.1.43. s_2 = 64 \text{ м.}$$

$$1.1.44. x_m = u\sqrt{2}.$$

$$1.1.45. a_{x_0} = 2v_0^2/x_0.$$

$$1.1.46. v_1 = \sqrt{a/2b}, v_2 = kv_1 - 2bv_1^2t.$$

$$1.1.47. y_1 = l\sqrt{1-(v/u)^2}, v < u; y_2 = ul/2v, v > u.$$

$$1.1.48. a_b(T) = kT.$$

$$1.1.49. s_m = l_0^2/2R.$$

$$1.1.50. T = (2/a)\sqrt{v^2 + al}.$$

$$1.1.51. x(t) = v_0t, v_0 = A\omega; x_m = A\pi; u_m = A\omega\sqrt{1 + \pi^2}.$$

$$1.1.52. a_{xm} = 0,9 \text{ м/с}^2, a_{ym} = -0,96 \text{ м/с}^2.$$

$$1.1.53. s(t) \approx ub/(v+u) + (v-u)t.$$

$$1.1.54. T = 31,25 \text{ с.}$$

$$1.1.55. s_c = b/2.$$

1.1.56. $v_2 = v_1 \sin \alpha$; траектория – отрезок A_2M , перпендикулярный A_1A_2 .

1.2. Движение с постоянным ускорением

$$1.2.1. a = 2 \text{ м/с}^2.$$

$$1.2.2. v = 1,2 \text{ м/с.}$$

$$1.2.3. v_{\min} = 6 \text{ м/с.}$$

$$1.2.4. v_m^2 = (v_1^2 + v_2^2)/2.$$

$$1.2.5. T = (T_2^2 + 2T_1T_2 - T_1^2)/2(T_1 - T_2).$$

$$1.2.6. s = 25 \text{ м.}$$

$$1.2.7. h = 56,8 \text{ м.}$$

$$1.2.8. \tau = 0,82 \text{ с.}$$

$$1.2.9. T = 2 \text{ с.}$$

$$1.2.10. s = 14,7 \text{ м.}$$

$$1.2.11. t_0 = (T^2 + 2s/g)^{1/2} - T.$$

$$1.2.12. v_0 = 19,6 \text{ м/с.}$$

- 1.2.13. $h_{\max} = 4,9 \text{ м}$.
- 1.2.14. $v_1 = 0,98 \text{ м/с}$.
- 1.2.15. $v(0) = 19,6 \text{ м/с}$.
- 1.2.16. $h = 0,96 \text{ м}$.
- 1.2.17. $h = aT^2(1 + a/g)/2$.
- 1.2.18. $v_3 = 5 \text{ м/с}$.
- 1.2.19. $T = 2 \text{ с}$.
- 1.2.20. $T = \sqrt{s/g}$.
- 1.2.21. $T = \sqrt{2H/g}$, $H = L \sin \alpha \sin \beta$.
- 1.2.22. $x_0 = 0$, $y_0 = y_1$, $z_0 = z_1 + g\tau^2/2$, $s = 2g\tau^2/5$.
- 1.2.23. $T = 0,66 \text{ с}$.
- 1.2.24. $h = 1,5 \text{ м}$.
- 1.2.25. $h = 1,225 \text{ м}$.
- 1.2.26. $T = \sqrt{2b/g}$, $H = 4b$.
- 1.2.27. $22,14 \text{ м/с} \leq v_0 \leq 31,3 \text{ м/с}$, $b = 4,15 \text{ м}$
- 1.2.28. $H = v_0^2 \sin^2 \alpha / 2g$, $D = v_0^2 \sin 2\alpha / g$.
- 1.2.29. $H_1/H_2 = \text{tg}^2 \alpha$, $D_1/D_2 = 1$.
- 1.2.30. $h = 200 \text{ м}$.
- 1.2.31. $H_m = 4,9 \text{ м}$.
- 1.2.32. $\text{tg} \alpha_0 = \frac{v_0}{\sqrt{v_0^2 + 2gH}}$, $\alpha_0 = 41^\circ$.
- 1.2.33. $D = \frac{2H}{\text{tg} \beta - \text{tg} \alpha}$.
- 1.2.34. $s = (v_1 \cos \alpha - v_2) [(v_1^2 \sin^2 \alpha + 2gH)^{1/2} - v_1 \sin \alpha] / g$.
- 1.2.35. $T = \sqrt{v_{10} v_{20}} / g$.
- 1.2.36. $\text{tg} \alpha = h/s$.
- 1.2.37. $s = 8h \sin \alpha$.
- 1.2.38. $s = v_0 T(1 + k)/(1 - k)$. $T = \sqrt{2h/g}$.

1.3. Относительное движение

- 1.3.1. В случае А.
- 1.3.2. Каждый гребец затратил одно и то же время.
- 1.3.3. $u = 3 \text{ км/ч}$.
- 1.3.4. $u = 1 \text{ м/с}$.

1.3.5. $v_0 = 3u$.

1.3.6. Угол между направлением ветра из направлением на восток $\alpha = 15^\circ$, величина скорости ветра $v' = 13,5$ м/с.

1.3.7. $u = 50$ м/с

1.3.8. $v = (v_1^2 + v_2^2 + v_3^2)^{1/2}$.

1.3.9. $2u$.

1.3.10. $u = v/2$.

1.3.11. $v = 14$ м/с.

1.3.12. $T = 2(u + \sqrt{2gh})/g$.

1.3.13. $v_A = 0, v_B = v_D = \sqrt{2}u, v_C = 2u$.

1.3.14. В двух положениях в нижней части обода; $\alpha_1 = \pi/6$, $\alpha_2 = 5\pi/6$.

1.3.15. $H_m = h_m + R$.

1.4. Законы Ньютона

1.4.1. $N_1 = mg + F$.

1.4.2. Сила тяжести, сила реакции плоскости и сила давления со стороны первого тела величиной $T = 4$ Н.

1.4.3. $f = F/4$.

1.4.4. $F_2 = 300$ Н.

1.4.5. $T = 6,8$ Н.

1.4.6. $t_1 = [2m(g-a)/ka]^{1/2}$.

1.4.7. $H = 19,6$ м.

1.4.8. $P = m(a + g)$.

1.4.9. $P = 0$.

1.4.10. $\vec{T} = 0$.

1.4.11. $a = 1,2$ м/с².

1.4.12. $a = 0,8$ м/с².

1.4.13. $P = m(a - g)$.

1.4.14. $G = mg \sin \alpha \cos \alpha$.

1.4.15. $\vec{N}(\varphi) = \left(0, -\frac{mv^2}{2l \sin^3 \varphi}, 0 \right)$.

1.4.16. $N = mg[1 - (s/l)^2]$.

1.4.17. $a = mg/(m + 2M), N = 2mMg/(m + 2M),$

$T = 2M(m + M)g/(m + 2M), P = 2T.$

$$1.4.18. a_1 = \frac{g(m_1 - m_2) + \omega m_2}{m_1 + m_2}, a_2 = \frac{-g(m_1 - m_2) + \omega m_1}{m_1 + m_2},$$

$$T = \frac{(2g - \omega)m_1 m_2}{m_1 + m_2}.$$

$$1.4.19. a_c = g \frac{4m_1 m_2 - m_3(m_1 + m_2)}{4m_1 m_2 + m_3(m_1 + m_2)}, T = \frac{4m_1 m_2 m_3 g}{4m_1 m_2 + m_3(m_1 + m_2)}.$$

$$1.4.20. N = (m_1 - m_2)(g + a)/2, T = (1 + a/g)T_0, T_0 = (m_1 + m_2)g/2.$$

$$1.4.21. N = 6mg/5.$$

$$1.4.22. a_1 = (m_1 - 2m_2)g/(m_1 + 4m_2).$$

$$1.4.23. N = 1,6mg.$$

$$1.4.24. a_2 = 0,2g.$$

$$1.4.25. \Delta m = 0,2m.$$

$$1.4.26. a_1 = 4a_2, a_3 = -4a_2, a_4 = -2a_2, a_2 = -g/37.$$

1.4.28. $F(\alpha) = mg(\mu \cos \alpha - \sin \alpha)$, где α — угол уклона, μ — коэффициент трения.

$$1.4.29. a = 0.$$

$$1.4.30. a = 2,7 \text{ м/с}^2.$$

$$1.4.31. F = 8,15 \text{ Н}.$$

$$1.4.32. F_{\min} = 1,196mg$$

$$1.4.33. a = 0.$$

$$1.4.34. a = 0.$$

$$1.4.35. \text{A. } \vec{F} = -\mu N \frac{\vec{v}}{v}.$$

$$\text{B. } \vec{F} = -k\vec{v}.$$

$$\text{B. } \vec{F} = -k v \vec{v}.$$

$$1.4.36. F_x^{TP} = \begin{cases} ma, & a \leq \mu g, \\ \mu mg, & a \geq \mu g. \end{cases}$$

$$1.4.37. a = 1 \text{ м/с}^2.$$

$$1.4.38. F_{\min} = \mu_1(m_1 + m_2)g, F_0 = (\mu_1 + \mu_2)(m_1 + m_2)g.$$

$$1.4.39. F > \mu \frac{m_2}{m_1}(m_2 + m_1)g.$$

$$1.4.40. f_x = (1/2)mg \sin 2\alpha.$$

$$1.4.41. F_x^{TP} = \begin{cases} -mg \sin \alpha, & \alpha \leq \alpha_c, \\ -\mu mg \cos \alpha, & \alpha \geq \alpha_c. \end{cases}$$

$$1.4.42. \mu = \sqrt{3}/5.$$

$$1.4.43. F_m = mg(\sin \alpha / \mu - \cos \alpha).$$

$$1.4.44. F(\mu \sin \alpha - \cos \alpha) \leq mg(\mu \cos \alpha - \sin \alpha),$$

$$F(\mu \sin \alpha + \cos \alpha) \leq mg(\mu \cos \alpha + \sin \alpha).$$

$$1.4.45. F = mg \operatorname{tg} 2\alpha.$$

$$1.4.46. a = g(\sin \alpha - \mu \cos \alpha / \sin \beta)$$

$$1.4.47. s = 4,9 \text{ м.}$$

$$1.4.48. T = 0.$$

$$1.4.49. N = m_1 m_2 g \sin \alpha / (m_1 \cos^2 \alpha + m_2 \sin^2 \alpha),$$

$$a_{1y} = -m_1 g / (m_1 + m_2 \operatorname{tg}^2 \alpha), a_{2x} = m_1 g \operatorname{tg} \alpha / (m_1 + m_2 \operatorname{tg}^2 \alpha).$$

$$1.4.50. T = (1 + q)v_0/g.$$

$$1.4.51. s = mv_0/k.$$

$$1.4.52. \tau \sim v/g, v = (mg/C\rho S)^{1/2}.$$

$$1.4.53. \Delta t = T/2 + l_0/u, T = 2\pi/\omega, \omega^2 = k/m.$$

$$1.4.54. t_1 = \mu \omega_0 \cos \alpha / [g(\mu^2 \cos^2 \alpha - \sin^2 \alpha)].$$

$$1.4.55. \bar{a} = 2\bar{g}.$$

1.5. Законы сохранения и изменения импульса системы тел. Движение тела переменной массы

$$1.5.1. s = 1,2 \text{ см.}$$

$$1.5.2. s = 0,3 \text{ м.}$$

$$1.5.3. \text{ А. } T^2 = \frac{2h(m_1 + m_2 \sin^2 \alpha)}{(m_1 + m_2)g \sin^2 \alpha}.$$

$$\text{ Б. } N = \frac{m_1^2 g \cos \alpha}{m_1 + m_2 \sin^2 \alpha}, R = \frac{(m_1 + m_2)m_1 g}{m_1 + m_2 \sin^2 \alpha}.$$

$$1.5.5. v = 3,29 \text{ м/с.}$$

$$1.5.6. \text{ Эллипс с полуосями } l/2 \text{ и } l.$$

$$1.5.7. s = 2D.$$

$$1.5.8. v_0 = g \sqrt{\tau T \frac{2T + \tau}{T + 2\tau}}.$$

$$1.5.9. \text{ А. } u = Mv/(M + 2m);$$

$$\text{ Б. } u' = (M - m)v/(M + m).$$

$$1.5.10. \Delta m/\Delta t = 1134,6 \text{ кг/с.}$$

$$1.5.11. H \approx 10,4 \text{ м.}$$

$$1.5.12. v_x = c'(1 - g/a_p) \ln(m_0/m_x).$$

$$1.5.13. \text{ А. } Z = \exp(v_x/c').$$

$$\text{ Б. } z_x = \exp(v_x/3c').$$

$$1.5.14. P_{\text{м}} = -\frac{c'^2 dm}{2 dt}.$$

$$1.5.15. P_{\text{м}} = c' mg/2.$$

$$1.5.16. v(T) = -gT + (FT/m_0) \ln(1 + m_0/M).$$

$$1.5.18. a = \alpha g / (7\alpha + 6k).$$

$$1.5.19. a = g/3.$$

1.6. Статика

$$1.6.1. x_c = 2a/15, y_c = 0.$$

$$1.6.2. x = R/14.$$

$$1.6.3. l = (3a - 2h)h / [6(2a - h)].$$

$$1.6.4. x_m = \frac{l R - r}{2 R + r}.$$

$$1.6.5. \operatorname{tg} \alpha = (b/a)^2.$$

$$1.6.6. OC = (a^4 + b^4)^{1/2} / 2(a + b).$$

$$1.6.7. \operatorname{tg} \alpha = 2/3.$$

$$1.6.8. \text{A. } s = L/6,$$

$$\text{Б. } \beta = \alpha M_2 / [M_2 + 2(M_1 - M_2)\alpha].$$

$$1.6.9. F = 0.$$

$$1.6.10. R = 13 \text{ Н.}$$

$$1.6.11. l_0 - \mu mg/k < x < l_0 + \mu mg/k$$

$$1.6.12. N = 3P.$$

$$1.6.14. m = 2 \text{ кг.}$$

$$1.6.15. \operatorname{tg} \varphi = 3/2.$$

$$1.6.16. R = \frac{2mg\sqrt{l^2 - a^2}}{\sqrt{4l^2 - 3a^2}}.$$

$$1.6.17. \beta = \pi/4.$$

$$1.6.18. OP = 11a/4.$$

$$1.6.19. \operatorname{tg} \alpha \geq \frac{2m + m_0}{2\mu(m + m_0)}.$$

$$1.6.20. T = N_3 = 980 \text{ Н, } N_1 = N_2 = 577 \text{ Н.}$$

$$1.6.21. F \leq \mu mg, F = (mg/2) \operatorname{tg}(\pi/4 - \alpha).$$

$$1.6.22. N_1 = N_2 = N_3 = mg/3.$$

$$1.6.23. \cos \alpha_{12} = (m_3^2 - m_1^2 - m_2^2) / 2m_1 m_2.$$

$$1.6.24. \theta_1 = 0, l < 2R; \cos \theta_2 = (2R/l)^{1/2}, l > 2R.$$

$$1.6.25. \sin \alpha_m = r/\mu R.$$

$$1.6.26. T_a = (mg/2l)(2R + l - \pi R), T_b = (mg/2l)(l - \pi R).$$

$$1.6.27. \varphi = \alpha.$$

$$1.6.28. N_1 = mg \sin \alpha / \sin \beta, N_2 = mg \sin(\alpha + \beta) / \sin \beta.$$

$$1.6.29. T = mg.$$

$$1.6.30. \text{A. } F = \mu mg/2(1 - \mu R/l).$$

$$\text{Б. } F = \mu mg/2(1 + \mu R/l).$$

$$\text{В. } F = \mu mg.$$

1.6.31. Первая шайба.

$$1.6.32. F = mg/4.$$

$$1.6.34. l > bc/a.$$

$$1.6.35. M = \mu'(\cos \alpha + \mu \sin \alpha)m/\mu(\cos \alpha - \mu' \sin \alpha).$$

1.7. Работа и энергия.

Закон сохранения полной энергии

$$1.7.1. A_{12} = m \vec{g} [\vec{r}(T) - \vec{r}(0)], \text{ где } \vec{r}(T) = \vec{v}_0 T + \vec{g} T^2/2.$$

$$1.7.2. \text{A. } A_{12} = \frac{k}{2}(l_1 - l_0)^2 - \frac{k}{2}(l_2 - l_0)^2.$$

$$1.7.5. h = 2,5 \text{ м.}$$

$$1.7.6. K = 30 \text{ Дж.}$$

$$1.7.7. t_{AB} > t_{CD}.$$

$$1.7.8. A_1/A_2 < 1.$$

$$1.7.9. v = (2/3)(gl)^{1/2}.$$

$$1.7.10. a = mg \sin \alpha / (m_1 + m_2 \sin^2 \alpha), m = m_1 + m_2.$$

$$1.7.11. s = 4L/5.$$

$$1.7.12. m_1/m_2 = 3.$$

$$1.7.13. u_2 = 2v.$$

$$1.7.14. k = 3.$$

$$1.7.15. u = v/2.$$

$$1.7.16. u_1 = \frac{m_1 - m_2}{m_1 + m_2} v, u_2 = \frac{2m_1}{m_1 + m_2} v, \Delta K_2 = \frac{4m_1 m_2}{(m_1 + m_2)^2} \frac{m_1 v^2}{2}.$$

$$1.7.17. \beta = \pi/2.$$

$$1.7.18. \Delta v_1 = \sqrt{2}v_0.$$

$$1.7.19. \Delta U = m_1 v_1^2 (1 - m_1/m_2)/2.$$

$$1.7.20. v_c = v_0/2, v_b = v_0 \sqrt{3}/2, s = 4R.$$

$$1.7.21. v_2 = m_1[v - (v^2 - v_0^2)^{1/2}]/(m_1 + m_2).$$

$$1.7.22. v_1 = v_2$$

$$1.7.23. h = H/2.$$

$$1.7.24. v_0 = \sqrt{2gH(1 - \frac{L}{4H}\cos\alpha)}.$$

$$1.7.25. v_m = \sqrt{2gH(1 + m/M)}.$$

$$1.7.26. l_2 = 0,2 \text{ м.}$$

$$1.7.27. A = kc^2/2.$$

$$1.7.28. v^2(z) = (k/m)(c^2 - z^2).$$

$$1.7.29. \varepsilon_2 = \varepsilon_1 + (\varepsilon_1^2 + 4\varepsilon_1)^{1/2}, a_2 = g(1 + 4/\varepsilon_1)^{1/2}.$$

$$1.7.30. \text{A. } l_0 = 38 \text{ м.}$$

$$\text{B. } |a_2| = 6,9g.$$

$$\text{B. } v_m = 27,6 \text{ м/с.}$$

$$1.7.31. h_m = (\varepsilon l_0/2)[(T/mg - 1)^2 + 1].$$

$$1.7.33. a_0 = 9g.$$

$$1.7.34. N_m = mg + \sqrt{(mg)^2 + kmv_0^2}.$$

$$1.7.35. s_m = l_0 + z_m, z_m = \frac{1}{\omega^2}(-\mu g + \sqrt{(\mu g)^2 + v_0^2}), \omega^2 = k/m.$$

$$1.7.36. v_1 - v_2 = [2\Delta U(m_1 + m_2)/m_1 m_2]^{1/2}.$$

$$1.7.37. \Delta U = K/3.$$

$$1.7.38. Q = 0,2E.$$

$$1.7.39. K = mv^2/6.$$

$$1.7.40. \text{A. } v_0 = \frac{1}{2}\sqrt{3\mu gL},$$

$$\text{B. } \tau = T/6, T = 2\pi(L/\mu g)^{1/2}.$$

$$1.7.41. \Delta K = mws, w \leq \mu g; \Delta K = mws(\mu g/w)^2, w \geq \mu.$$

$$1.7.42. v = (4gH - 2A/m)^{1/2}.$$

$$1.7.43. s = \frac{Mv^2}{2\mu g(m + M)}.$$

$$1.7.44. K_m = mh_1 u^2/2(h_1 - h_2).$$

$$1.7.45. u^2 = (v_1^2 + v_2^2)/2 + 2gh.$$

$$1.7.46. v = \sqrt{(gl/8)(2 - \mu)}.$$

$$1.7.47. Q = \frac{M}{m + M} K.$$

$$1.7.48. A = 0,1 \text{ Дж.}$$

$$1.7.49. v_{2s}^2 = (k/m_2)[c^2 - (mg/k)^2].$$

$$1.7.50. z_{cm} = (m_2/m)(z_{2i} + (k/2mg)[c^2 - (mg/k)^2]).$$

$$1.7.53. A = mg(h + uT \sin \alpha).$$

$$1.7.54. s = 2(c - \mu mg/k).$$

$$1.7.55. v_m = \sqrt{k/m}(c - b), b = \mu mg/k.$$

$$1.7.56. t_1 = \pi/\omega, \omega = \sqrt{k/m}.$$

$$1.7.57. s = 2L - 2\mu N/k, N = mg \cos \alpha.$$

$$1.7.58. v_m = \sqrt{k/m}[L - (mg/k) \cos \alpha].$$

$$1.7.59. v_{10}^2 = (m_2/m_1)(m_2 + 2m_1)(\mu g)^2/k.$$

$$1.7.60. T = [2h(a^2 + b^2)/gb^2]^{1/2}, N_i = mga^2/(a^2 + b^2).$$

$$1.7.61. \omega = [2g(1 - \cos \varphi)/l]^{1/2},$$

$$v_A = -l\omega \sin \varphi, v_B = l\omega \cos \varphi, v_{Bm} = (2/3)(2gl/3)^{1/2}.$$

$$1.7.63. \operatorname{tg} \varphi_0 = (b/a)^2.$$

$$1.7.64. \operatorname{tg} \varphi_0 = \sqrt{2ka}/(4mg + \sqrt{2ka}).$$

$$1.7.65. \varphi_m = \pi/4.$$

$$1.7.66. \Delta W = -(m_1 - m_2)g\Delta x - \rho g \Delta x(h + \Delta x).$$

$$1.7.67. A = mgh + (mg)^2/2k.$$

$$1.7.68. v_{\min} = \sqrt{g(2H + R)}.$$

$$1.7.69. \Delta t = 2(1,6h/g)^{1/2}.$$

$$1.7.70. \tau = 1,57 \text{ с.}$$

1.8. Движение по окружности

$$1.8.1. v_m = 12,1 \text{ м/с.}$$

$$1.8.2. T = 1000 \text{ Н} \approx 100 \text{ кгс.}$$

$$1.8.3. P(\alpha) = |N|; N = mg(3 \cos \alpha - 2).$$

$$1.8.4. h = 2R/3.$$

$$1.8.5. h' = 23R/27.$$

$$1.8.6. v_{10} = (4/5)\sqrt{2ga}, v_{20} = (3/5)\sqrt{2ga}.$$

$$1.8.7. T_1 = 0.$$

$$1.8.8. T_0 = 3mg.$$

$$1.8.9. \cos \varphi = 1/\sqrt{3}.$$

$$1.8.10. v_0 \geq \sqrt{5gl}.$$

1.8.11. Может.

$$1.8.12. \text{В верхней точке окружности } T_{\min} = mv_0^2/l - 5mg.$$

$$1.8.13. \varphi_m = \pi/3.$$

$$1.8.14. v_0 = [gl(2 + \sqrt{3})]^{1/2}.$$

1.8.15. Параллельно ускорению — во внутрь окружности.

$$1.8.16. 6mg.$$

$$1.8.17. \varphi_0 = \pi/3.$$

$$1.8.18. \tau = (1/\sqrt{\varepsilon}) [(\mu g/\varepsilon R)^2 - 1]^{1/4}.$$

$$1.8.19. \tau = \sqrt{2l\alpha/g}.$$

$$1.8.20. A = (\sqrt{2} - 1)^2 (glM^2/m)(1 + m/M).$$

1.9. Закон всемирного тяготения. Законы Кеплера

$$1.9.1. P(\varphi) = m[g^2 - \omega^2 r(2g_r - \omega^2 r)\cos^2\varphi + g_m \omega^2 r \sin 2\varphi]^{1/2}.$$

$$1.9.2. \operatorname{tg} \gamma = \operatorname{tg} \varphi [1 - \alpha(5\sin^2\varphi - 2)] / [1 - 5\alpha\sin^2\varphi - (\omega^2 a/g)].$$

$$1.9.4. \text{А. } v_1 = (gR^2/r)^{1/2},$$

$$\text{Б. } v_0 = \sqrt{gR(2 - R/r)}.$$

$$1.9.5. 1/2.$$

$$1.9.6. r_c = R \left(\frac{T_0}{T_1} \right)^{2/3}.$$

$$1.9.7. 1/4.$$

$$1.9.8. \varphi_n = 2\pi(R/r_n)^{3/2}(t/T_0).$$

$$1.9.9. s = 352 \text{ км}, \tau = 20 \text{ ч}.$$

$$1.9.10. v_j = \sqrt{2GM/R}.$$

$$1.9.11. v_{on} = \sqrt{2Gm/R}.$$

$$1.9.12. h = R.$$

$$1.9.13. \tau = (\pi/2)(R/g)^{1/2}.$$

$$1.9.14. \Delta v = -124 \text{ м/с}.$$

$$1.9.15. \tau = 44,13 \text{ мин}.$$

$$1.9.16. s_m = \sqrt{hr_0/\delta}.$$

$$1.9.17. h_a = R \sin \alpha, s(\alpha) = R(\pi - 2\alpha).$$

$$1.9.18. v_0 = \sqrt{2(\sqrt{2} - 1)gR}, r_a = \frac{\sqrt{2}R}{4} (\sqrt{2} + 1) [1 + \sqrt{3 - 2\sqrt{2}}].$$

$$1.9.19. v_0 = (gR)^{1/2}, r_a = R(1 + \sqrt{2}/2).$$

$$1.9.20. r_a = r_0, r_p = r_0 f^2 / (2 - f^2), f = v_0/v_1 < 1, v_1 = (gR^2/r_0)^{1/2};$$

$$r_p = r_0, r_a = r_0 f^2 / (2 - f^2), f > 1.$$

$$1.9.22. \Delta v = 2\pi k (gr)^{1/2}, \Delta r = -4\pi k r^2, \Delta T = -12\pi^2 k (r^2/R) r^{1/2}, k = \rho(r)S/m.$$

$$1.9.24. \tau = (4T_0/\pi)\delta^{3/2}, \tau = 2,74 \text{ ч.}$$

$$1.9.25. N = (mgR^2 l/2r) [3r^2 + (l/2)^2] / [r^2 - (l/2)^2]^2.$$

$$1.9.26. \vec{f} \approx GMm \frac{3l^2 \vec{r}}{8r^4 r}.$$

$$1.9.28. N \approx 0,04 \frac{g}{a} \left(\frac{R}{r_0} \right)^2.$$

$$1.9.29. v_{II} = (2gR)^{1/2}, v_{II} = 11,186 \text{ км/с.}$$

$$1.9.30. v_{III} = [(\sqrt{2}-1)^2 v_{sc}^2 + 2gR]^{1/2}, v_{sc} = (Gm_c/r_{ca})^{1/2}, v_{sc} = 29,785 \text{ км/с,}$$

$$v_{III} = 16,653 \text{ км/с.}$$

$$1.9.31. v_{IV} = [4v_{sc}^2 + 2gR]^{1/2}, v_{IV} = 60,61 \text{ км/с.}$$

$$1.9.32. v_{IV} = [v_{sc}^2 + 2gR]^{1/2}, v_{IV} = 31,816 \text{ км/с.}$$

1.10. Движение в неинерциальных системах.

$$1.10.1. v_c = -v^2 t/R.$$

$$1.10.2. N = m(g+w).$$

$$1.10.3. w = 0,2g.$$

$$1.10.4. w > \frac{g(\sin\alpha + \mu \cos\alpha)}{\cos\alpha - \mu \sin\alpha} \cdot g$$

$$1.10.5. \operatorname{tg}\alpha = 1/\mu.$$

$$1.10.6. F = 2m_2 l/\tau^2 + \mu g(m_1 + m_2).$$

$$1.10.8. r_1 = [gR^2/\omega^2]^{1/3}, r_1 = 6,7R = 42 \cdot 164 \text{ км; } r_2 = 2^{1/3} r_1, r_2 = 53 \cdot 123 \text{ км.}$$

$$1.10.9. P_1 = P_2 \approx 3mgR^2 s/r^3, s - \text{расстояние между частицей и центром масс.}$$

$$1.10.11. A. y = gx^2/2u^2.$$

Б. Прямая линия.

1.11. Линейные колебания

$$1.11.1. 4/5.$$

$$1.11.2. A. z(t) = A \sin \omega t, A = 0,02 \text{ м, } \omega = 20 \text{ рад/с.}$$

$$B. t_n = T/6 + nT/2, n = 0, 1, \dots, T = 2\pi(m/k)^{1/2}.$$

$$1.11.3. s = (m+M)g/k.$$

$$1.11.4. \omega_0^2 = k[1 - l_0/h]/m, h > l_0; \omega_b^2 = k[1 - h^2/l_0^2]/m, l_0 > h.$$

$$1.11.6. A = I[m_2/m, mk]^{1/2}.$$

$$1.11.7. \omega = \sqrt{k/m}.$$

$$1.11.8. A = 2b/5.$$

$$1.11.9. \omega = (k/3m)^{1/2}.$$

$$1.11.10. m_2 = A\omega_1^2 m_1/g.$$

$$1.11.11. A. A = \omega^2 s_0 / [(\omega_0^2 - \omega^2)^2 + (c\omega)^2]^{1/2}.$$

$$B. A_m = \omega_0 s_0 / c, \quad \omega_0 = \left(\frac{k}{m}\right)^{1/2}.$$

$$1.11.12. v_c(t_0) = \omega l_0/6, \quad \omega = \sqrt{k/m}.$$

$$1.11.13. \omega^2 = 7g/(2a\sqrt{3}).$$

$$1.11.14. N = kA/(4\mu mg).$$

$$1.11.15. \omega = \sqrt{g/l}.$$

$$1.11.16. A = 0,1 \text{ м}.$$

$$1.11.17. E = 1 \text{ Дж}.$$

$$1.11.18. t_0/t_c = \pi/4.$$

$$1.11.19. t_m = T, \quad T = 2\pi\sqrt{\frac{l}{g}}.$$

$$1.11.20. \omega_h = \sqrt{\frac{g}{l}} \frac{R}{R+h}.$$

$$1.11.21. \omega^2 = \frac{g(m_1 l_1 + m_2 l_2)}{m_1 l_1^2 + m_2 l_2^2}.$$

$$1.11.22. \sqrt{6/5}.$$

$$1.11.23. \omega^2 = 6g/5l.$$

$$1.11.24. \omega^2 = g/L + k/m.$$

$$1.11.25. \omega^2 = g_{\text{эф}}/l, \quad g_{\text{эф}} = (g^2 + w^2)^{1/2}.$$

$$1.11.26. v_1 = \sqrt{2}v.$$

$$1.11.27. \omega^2 = ga/[a^2 + (h/2\pi)^2].$$

$$1.11.28. \omega_2^2 = \omega_1^2 = km/(m_1 + m_2 \sin^2 \alpha) m_2.$$

$$1.11.29. \omega^2 = k/m - g/l.$$

$$1.11.30. t_k = 42 \text{ мин}.$$

$$1.11.31. \omega^2 = g/R - \Omega^2.$$

$$1.11.32. \omega^2 = g/R - \Omega^2.$$

$$1.11.33. \omega^2 = g(4R^2 - l^2)/4R^3.$$

$$1.11.34. \omega < \mu gA.$$

$$1.11.35. \omega^2 = (2g/L) \sin(L/2R).$$

$$1.11.36. \omega^2 = (MgL \cos \phi_0)/(mR^2 + ML^2), \quad \sin \phi_0 = mR/ML.$$

$$1.11.38. N = mg(M + 2m)/(M + m).$$

1.12. Движение твердого тела

$$1.12.1. v_B = \sqrt{5/2} v_0.$$

$$1.12.2. v_C = v_0/\sqrt{2}.$$

$$1.12.3. v_C = v_0/\sqrt{3}.$$

$$1.12.4. h = 7R, v_d = v_b = 5/\sqrt{2} v_0.$$

1.12.5. А. $d = 2l$ – расстояние между искомой прямой и отрезком ab .

Б. $d = 2l\sqrt{2/3}$ – расстояние между искомой прямой и отрезком ab .

$$1.12.6. v_2 = 20 \text{ м/с.}$$

$$1.12.7. v_0 = 2 \text{ м/с.}$$

$$1.12.8. a_{Ax} = 0, a_{Ay} = -v_0^2/R\sqrt{2}.$$

$$1.12.9. a_1 = 2g[m(2m_1 - m_2) + m_1 m_2]/[m(4m_1 + m_2) + 2m_1 m_2],$$

$$a_2 = g[2m_1 m_2 - m(2m_1 - m_2)]/[m(4m_1 + m_2) + 2m_1 m_2],$$

$$a = 6gm_1 m_2/[m(4m_1 + m_2) + 2m_1 m_2].$$

$$1.12.10. N = m_1 m_2 v_0^2/l(m_1 + m_2).$$

$$1.12.11. \tau = \omega_0 R/\mu g, N = \omega_0^2 R/(4\pi\mu g).$$

$$1.12.12. a = mg/(2M + m).$$

$$1.12.13. N_1 = mg \sin\varphi(3\cos\varphi - 2), 0 \leq \varphi \leq \alpha, \cos\alpha = 2/3,$$

$$N_2 = mg(1 - 2\cos\varphi + 3\cos^2\varphi).$$

$$1.12.14. N'_y = (1/4)mg \sin\varphi, N'_x = -ms\omega^2/2 - mg\cos\varphi.$$

$$1.12.16. h = 2s/3.$$

$$1.12.17. \omega^2 = 6(2a + b)bg/[4b^2(b + 3a) + a^3].$$

$$1.12.18. a > h.$$

$$1.12.19. \Omega^2 = m(a - h)g/[mh^2 + J].$$

$$1.12.20. \sin\varphi_m = a \sin\alpha/(a - h), a > h.$$

$$1.12.21. \text{Б. } F > \mu' Mg/(1 - \mu' \operatorname{tg}\alpha), F > \mu(4m + 3M)g/4(1 + \mu \operatorname{tg}\alpha).$$

$$1.12.24. a_c = \frac{1}{2}g \sin\alpha, G = (mg/4) \sin 2\alpha.$$

$$1.12.25. u = -\cos\alpha \sqrt{gss \sin\alpha/(4 - \cos^2\alpha)}.$$

$$1.12.26. \vec{\Omega} = -\frac{mR_0}{J_3 \omega_{30}} \vec{g}.$$

$$1.12.27. \vec{\Omega} = -\frac{c}{J_3 \omega_{30}} (\vec{N}_b - \vec{N}_a).$$

$$1.12.28. N_a(t) = N_b(t) = (1/2)[(mg)^2 + (\Omega L_0/c)^2]^{1/2}.$$

$$1.12.29. \vec{P}_{a,b} = -(1/2)(-m\vec{g} + m\vec{\Omega} \times \vec{v} \pm \vec{\Omega} L_0/c).$$

Глава II. МОЛЕКУЛЯРНАЯ ФИЗИКА. ТЕРМОДИНАМИКА

2.1. Идеальный газ.

Термодинамические процессы

2.1.1. $L = 0,26$ нм.

2.1.2. $\nu_0 = (1/2)$ моль.

2.1.3. $N \approx 10^{10}$.

2.1.4. $m = 28$ г.

2.1.5. $N_A = N_L \nu$, $\nu = 22,4 \cdot 10^3$ см³/моль.

2.1.7. $Q = 2,963$ эВ.

2.1.9. $t_c = 232,7^\circ \text{C}$ — температура горения бумаги.

2.1.10. $t_c = t_F = -40^\circ$.

2.1.12. B .

2.1.13. $\nu_{2m} = \nu_{1m} (m_1/m_2)^{1/2}$.

2.1.15. не может.

2.1.16. $\rho/M = 44,64$ моль/м³.

2.1.17. $m_1 = 2$ г, $m_2 = 16$ г, $\nu_1 = 1$ моль, $\nu_2 = \text{моль}/2$.

2.1.18. $V_0 = 4$ м³.

2.1.19. $\nu_2 = (1/6)$ моль.

2.1.20. $p_1 = 0,233$ р.

2.1.21. $T_c = (T_a T_b)^{1/2}$.

2.1.22. Диаграмма цикла изображена на рис. 2.1.22.

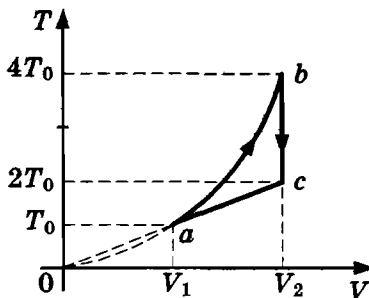


Рис. 2.1.22

2.1.23. $T_b = 4T_0$, $T_c = 2T_0$.

2.1.24. Диаграмма цикла изображена на рис. 2.1.24.

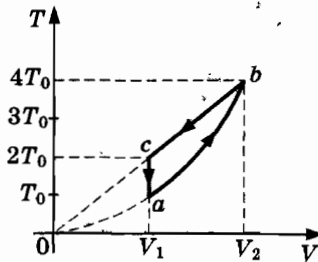


Рис. 2.1.24

2.1.25. $k = 3$.

2.1.26. $M = (v_1 M_1 + v_2 M_2) / (v_1 + v_2)$.

2.1.27. $T_a = 2T_0$, $T_b = 4T_0$, $T_c = 2T_0$.

2.1.28. Диаграмма цикла изображена на рис. 2.1.28.

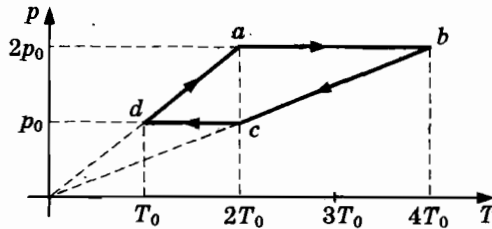


Рис. 2.1.28

2.1.29. Диаграмма цикла изображена на рис. 2.1.29.

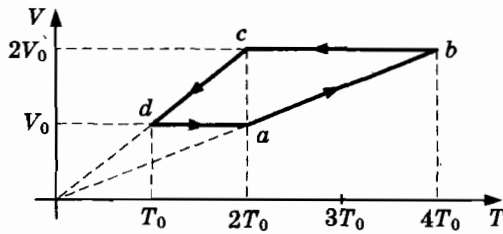


Рис. 2.1.29

2.1.30. $T_2 = T/2$.

2.1.31. В точке 1.

2.1.32. $T = T_0 (V_0/V)^{\gamma-1}$.

2.1.33. Диаграмма процесса изображена на рис. 2.1.33б.

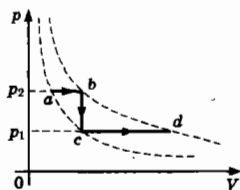


Рис. 2.1.33б

2.1.34. Цикл в координатах (T, p) изображен на рис. 2.1.34б.

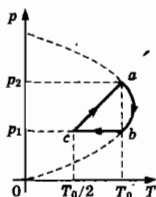


Рис. 2.1.34б

2.1.35. $T_m = 9T_0/8$.

2.1.36. Диаграмма процесса изображена на рис. 2.1.36 б.

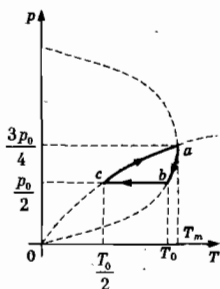


Рис. 2.1.36б

2.1.37. $\tau = 4,8$ с.

2.1.38. $H = 2,1$ м.

2.1.39. $\Delta p = -4,9$ кПа.

2.1.40. $m \approx \rho_n L S (1 - T_2/T_1)$, $m = 86$ г.

2.1.41. $F = 25,12$ Н.

2.1.42. $V_2/V_1 = 3$.

2.1.43. А. $h \approx b[1 - (a + b)/H]$. Б. $H \approx b[1 - (a + b)/nH]$.

$$2.1.44. r(x) = a[(p_{ar} + \rho gh)/(p_{ar} + \rho gx)]^{1/3n}, n = 1,4.$$

$$2.1.45. \text{А. } T_b = 8T_0, \text{Б. } T_a = 32T_0, p_a = 32p_0.$$

$$2.1.46. \Delta m = 0,016 \text{ кг.}$$

$$2.1.47. p_2 = 6 \text{ МПа.}$$

$$2.1.48. p_2 = 3p_1.$$

$$2.1.49. T_e = 360 \text{ К.}$$

$$2.1.50. \omega^2 = 3p_0 S q^{5/3} / 2mL, q = 1 + mg/p_0 S.$$

$$2.1.51. \omega^2 = n(p_0 S / m h_0) q^{1+1/n}, q = 1 + mg/p_0 S.$$

$$2.1.52. T \approx T_0 + T_0(n-1)(A/x_e) \cos \omega t. x' = h_0 q^{-1/n}$$

$$2.1.53. dN/dt = -N/\tau, \tau = 4V/[S(8kT/\pi m_{\nu})^{1/2}].$$

2.2. Первый закон термодинамики

$$2.2.1. A'_{12} = \nu RT_0 \ln(V_2/V_1).$$

$$2.2.2. A'_{12} = (C_v/R)p_1 V_1 [1 - (V_1/V_2)^{n-1}].$$

$$2.2.3. \text{В.}$$

$$2.2.4. p = 2U/3V, p = 10^5 \text{ Па.}$$

$$2.2.5. 2T_0, p_0.$$

$$2.2.6. U_2 - U_1 = 0.$$

$$2.2.7. 2.$$

$$2.2.8. 2.$$

$$2.2.9. \Gamma.$$

$$2.2.10. \text{Д.}$$

$$2.2.11. Q = 3p_0 V_0 / 4.$$

$$2.2.12. \text{А. } Q' = 500 \text{ Дж. Б. } p_3 = 3p_0 / 2.$$

$$2.2.13. U_2 / U_1 = 4.$$

$$2.2.14. T_1 = 270 \text{ К.}$$

$$2.2.15. A' = p_0 V_0.$$

$$2.2.16. A' = -p_0 V_0.$$

$$2.2.17. A'_{ab} = 3p_0 V_0 / 4, A'_{bc} = -p_0 V_0 / 2, A'_{acda} = p_0 V_0 / 4.$$

$$2.2.18. Q_{ab} = A'_{ab} = 3p_0 V_0 / 4, Q_{bc} = -C_p p_0 V_0 / 2R, Q_{ca} = C_v p_0 V_0 / 2R,$$

$$Q = (3 + 2C_v/R) p_0 V_0 / 4.$$

$$2.2.19. A' = (\nu R / 2) (\sqrt{T_b} - \sqrt{T_a})^2.$$

$$2.2.20. T_3 = 1,3T_0.$$

$$2.2.21. p_3 = 0,65 \text{ МПа.}$$

$$2.2.22. T_1 = T_0(p_k/p_0)[2 - (p_0/p_k)^{1/n}], T_2 = T_0(p_k/p_0)^{(n-1)/n}.$$

$$2.2.23. h = 0,32 \text{ см.}$$

$$2.2.24. \text{А. } T_p = (T_{10} + T_{20})/2. \text{Б. } T_p = \sqrt{T_{10}T_{20}}. \text{В. } A'_{\max} = 2C(T_p - T_0).$$

- 2.2.25. $T = 350 \text{ K}, p = 1,4p_0$.
- 2.2.27. $C = C_v + R/2$.
- 2.2.28. $q = 0,5Q$.
- 2.2.29. $M = 0,3 \text{ кг/моль}$.
- 2.2.30. $Q = 7\nu RT_0/2$.
- 2.2.31. $Q = 5\nu RT_0$.
- 2.2.32. $r = 1/2$.
- 2.2.33. $\tau = (mg + p_{\text{атм}}S)HC_v/NR$.
- 2.2.34. $\Delta p = QR/VC_v$.
- 2.2.35. $A'_{ab} = \nu R\Delta T$.
- 2.2.36. $Q_{ab} = \frac{C_p Q_{ac}}{C_v + r/2}$.
- 2.2.37. $A' = \nu RT_0/8$.
- 2.2.38. $Q_{ab} = (5R - 2C_v)\nu T_0/16 \geq 0$.
- 2.2.39. $Q_{ca} = (10C_v R + 5R)\nu T_0/16$.
- 2.2.40. $A' = \nu C_v \Delta T - Q'$.
- 2.2.41. $M = mR\Delta T/(Q_1 - Q_2)$.
- 2.2.42. $C_v = (\nu_1 C_{v1} + \nu_2 C_{v2})/(\nu_1 + \nu_2)$.
- 2.2.43. $A' = (k^2/2\nu R)(V_2^2 - V_1^2)$.
- 2.2.44. $A'_{ab} = 3\nu RT_0/4$.
- 2.2.45. $A'_{ba} = -3\nu RT_0/4$.
- 2.2.46. $A' = \nu RT_0$.
- 2.2.47. $Q_{bc} = \nu(3R/2 - 2C_v)T_0 < 0$.
- 2.2.48. $Q_{da} = \nu(C_v - 3R/2)T_0 > 0$.
- 2.2.49. $\delta Q = -\nu C_v \Delta T \frac{n - \gamma}{\gamma - 1}$.
- 2.2.50. $V_B/V_A = 3$.
- 2.2.51. $V'_B = V'_A$.
- 2.2.52. $T'_A = T'_B = 2T_0$.
- 2.2.53. $x = 4$.
- 2.2.54. $A_2 = 320 \text{ Дж}$.
- 2.2.59. $Q_2 = \nu(C_p + C_v)T_0$.
- 2.2.60. $T_3 = T_c(1 - A)^{1/4}(R_c/2a)^{1/2}, T = 257 \text{ K}$.
- 2.2.61. $\Delta U \approx -4\sigma ST_0^3 (T - T_0)\Delta t$.
- 2.2.62. $t_s = 28^\circ \text{C}$.
- 2.2.64. $P \approx 145 \text{ Вт}, h = 13 \text{ км}$.
- 2.2.66. $T_1 = T_0[6 + mg/p_{\text{атм}}S]/5$.
- 2.2.67. $T = T_0(1 + 7z/H)^{2/3}$.

2.3. Фазовые переходы вещества

2.3.4. в кристаллическом.

2.3.6. $Q = 377$ МДж.

2.3.7. $\tau = (h_2 - h_1)\lambda\rho/\gamma(T_0 - T_1)$, $\tau = 190$ ч.

2.3.9. $t = 0^\circ\text{C}$, растает лед массой $m_n = 0,25$ кг.

2.3.10. $m_n \approx 27,7$ кг.

2.3.11. $m_n/m = 0,117$.

2.3.12. Б. $\Delta U/\Delta m = 2093,4$ кДж./кг.

2.3.15. Не выполняется условие кипения.

2.3.16. $m_n = (V - V_{\text{ж}})m/(V_r - V_{\text{ж}})$, $m_n = (V_r - V)m/(V_r - V_{\text{ж}})$.

2.3.17. $m_n \approx \frac{m}{n} \left[2 - (n-2) \frac{\rho_n}{\rho_B} \right]$, $m_B \approx \frac{m}{n} (n-2) \left(1 \mp \frac{\rho_n}{\rho_B} \right)$.

2.3.19. $V_{\text{ж}} \approx 6 \cdot 10^4$ м³.

2.3.21. $\Delta t \approx 75,3$ мин.

2.3.22. $v = 1$ м/с.

2.3.23. $Q = 1635$ Дж.

2.3.24. $A' = 2,4$ кДж.

2.3.25. $A' = -20$ кДж.

2.3.26. $\Delta m = A'M_B/RT$.

2.3.27. Вода и пар при $t_1 = 100^\circ\text{C}$.

2.3.28. $t_x = 11^\circ\text{C}$.

2.3.29. $m_n = 1$ кг.

2.3.30. $m_n = 11,8$ г — масса воды, $m_n = 8,2$ г — масса пара.

2.3.31. $p_2 \approx 3,7p_0$.

2.3.32. $p_2 \approx 3,41 p_0$.

2.3.33. $m_n = 0,37$ кг.

2.3.34. Вода $m'_n = 13,7$ г, водород — 3 моль и пар $m_n = 40,3$ г;

$p_k = 240$ кПа.

2.3.35. $T_2 \approx 1200$ К.

2.3.36. $m_n = 0,03$ кг.

2.3.37. $F = 0,27$ Н.

2.4 Влажность воздуха

2.4.1. В.

2.4.2. А. $\rho = M_p p/RT - (M_o - M_n)h p_n/RT$. Б. $\Delta m = -0,05$ кг.

В. $h = (pM_n V - mRT)/(p_n V(M_n - M_n))$.

- 2.4.3. $\Delta m = 0,84$ кг.
- 2.4.4. $\varphi_1 = 0,64\%$.
- 2.4.5. $\rho_{n_2} = mh_2/V(h_2 - h_1)$.
- 2.4.6. $p_2 = 50,653$ кПа.
- 2.4.7. $p_2 = 20,31$ кПа.
- 2.4.8. $\varphi = 84\%$.
- 2.4.9. $m_n = 1,45$ кг.
- 2.4.10. $t_1 = 100^\circ$ С.
- 2.4.11. $v_n = 1,16$ моль, $v_B = 1,46$ моль.
- 2.4.12. $p_3 = 1,3 p_0$.
- 2.4.13. $h_1 = 0,25$.
- 2.4.14. $p_{n_2} = p_{n_2}$.
- 2.4.15. $p_{n_2} = 2753$ Па.
- 2.4.16. $m_{x1} = 1,8$ г.
- 2.4.17. $A = 170$ Дж.
- 2.4.18. $m = 18,3$ кг.
- 2.4.19. $h = 0,27$.
- 2.4.20. $p_2 = 3,65 \cdot 10^5$ Па.

2.5. Тепловые двигатели

- 2.5.4. $A'/Q \leq 1 - T_1/T_2$.
- 2.5.5. $A'_x = A' \frac{T_{2x} - T_{1x}}{T_2 - T_1}$.
- 2.5.7. $A' = 2,5 \cdot 10^{14}$ Дж.
- 2.5.8. $\Delta m/\Delta t = 5,1 \cdot 10^5$ кг/с.
- 2.5.9. $A'_{cd} = 5$ кДж.
- 2.5.10. $A'_{ca} = Q_2$.
- 2.5.11. $\eta = 1 - (V_1/V_2)^{\gamma-1}$.
- 2.5.14. $\eta = 1 - (p_1/p_2)^{(\gamma-1)/\gamma}$.
- 2.5.17. $Q'_2 = 50$ МДж.
- 2.5.18. $A_k = 2A$.
- 2.5.19. $T_k = 678,6$ К.
- 2.5.20. $P_n = 5$ Вт.
- 2.5.21. $Q'_2 = 5A$.
- 2.5.22. $k = 1, t'_2 = 27^\circ$ С.
- 2.5.23. $P' = 4P$.

$$2.5.24. \eta = \frac{R}{2C_v + R} \frac{\sqrt{n} - 1}{\sqrt{n} + 1}.$$

$$2.5.25. \eta = R/[2(2C_p + C_v)].$$

$$2.5.26. \eta = \frac{R}{2C_v + 3R}.$$

$$2.5.27. \eta = \frac{R}{4C_v + 5R}.$$

$$2.5.28. A_{bc} = \nu R (C_v/C_p) (1 - \eta) \Delta T.$$

$$2.5.29. A'_{ab} = \nu C_v \Delta T / (1 - \eta), A' = \nu \eta C_v \Delta T / (1 - \eta).$$

$$2.5.30. \eta = \frac{2R}{3(2C_v - R)}.$$

$$2.5.31. \eta = \frac{R}{2(2C_v + R)} \frac{\sqrt{n} - 1}{\sqrt{n} + 1}.$$

$$2.5.32. \eta_2 = \eta_1 / (1 - \eta_1).$$

$$2.5.33. \eta = R / (2C_p + C_v).$$

$$2.5.34. \eta = (R/C_p) (1 - \ln 2).$$

$$2.5.35. A'_{ab} = \frac{R + \eta C_v}{1 - \eta} \nu \Delta T, \Delta T = T_b - T_c.$$

$$2.5.36. \eta = \frac{3R}{4C_p + 9R}.$$

$$2.5.37. k = \frac{2(2C_p + 3R)}{3R}.$$

$$2.5.38. \eta = \frac{2 \ln 2}{C_p + 3R \ln 2}.$$

$$2.5.39. \eta = \frac{3R}{2(2C_p + 3R)}.$$

$$2.5.40. Q'_1 = \nu C_p T_0 + \nu R T_0 \ln 2.$$

$$2.5.41. A' = \nu_1 C_p T_1 (1 - (V_1/V_2)^{\gamma-1}).$$

$$2.5.42. A' = \nu_1 R T_0 \ln (V_2/V_1).$$

$$2.5.43. \eta = 1 - T_2/T_1.$$

$$2.5.44. m = 8,2 \text{ кг}.$$

$$2.5.45. D = 2\nu m [c_b(t_2 - t_1) + \lambda](T_2 - T_1)/(A_0 T_1).$$

Глава III. МЕХАНИКА ЖИДКОСТЕЙ И ГАЗОВ

3.1. Гидростатика и аэростатика

3.1.2. А.

3.1.3. $F_1 = 980 \text{ Н}$, $h_1 = 20 \text{ см}$.

3.1.4. Чаша весов со стаканом перетянется.

3.1.6. Пластинка не отпадет.

3.1.7. $N = 19,6 \text{ Н}$, $F = 8,82 \text{ Н}$.

3.1.8. $\Delta p_1 = 19,6 \text{ кПа}$,

3.1.9. $p_2 - p_1 = 200 \text{ кПа}$.

3.1.10. $p_{\text{вн}} = 4p_{\text{вн}}/7$.

3.1.11. Величина силы реакции ободка стакана $R = \rho_{\text{вг}}(p_{\text{вн}}/\rho_{\text{вг}} - H)S$.

3.1.13. $p_A = p_{\text{вн}} - \rho_{\text{вг}}H$.

3.1.14. В.

3.1.15. $F_0 = \rho_{\text{вг}}LH^2/2$, $F_1 = 7F_0/16$.

3.1.16. В плоскости продольного сечения $F_x = \rho_{\text{вг}}RH^2$.

3.1.17. $x = 2\rho_{\text{вг}}a/(3\rho_{\text{вг}} - \rho_{\text{вн}})$.

3.1.18. $h_2 = \rho_{\text{вн}}(h_1 + h_3)/3\rho_{\text{вг}}$.

3.1.19. $\Delta h_1 = 0$, $\Delta h_2 = -1 \text{ м}$.

3.1.21. $p_{\text{м}} = p_{\text{вг}} + \rho_{\text{вг}}L(1 + w/2g)$.

3.1.23. В каждом случае сила Архимеда одинакова.

3.1.24. Расстояние между поверхностями палубы и воды увеличилось.

3.1.25. $N = \rho_{\text{вг}}HS$.

3.1.26. $F_L = 539 \text{ кН}$.

3.1.27. $N = 490 \text{ кН}$.

3.1.30. $m = 60 \text{ кг}$.

3.1.31. $m = 4 \text{ кг}$.

3.1.32. $F = \rho_{\text{вг}}gh_0S + mg$.

3.1.33. $\Delta h_A = -m/\rho_{\text{вн}}S$, $\Delta h_B = \frac{m}{S} \left(\frac{1}{\rho_G} - \frac{1}{\rho_B} \right) < 0$.

3.1.36. Уровень верхнего слоя керосина понизится, уровень нижнего слоя керосина повысится.

3.1.37. $N_1 = N_2 = mg/(3)^{1/2}$, $\rho = 3\rho_{\text{вн}}/4$.

3.1.38. $\Delta h \approx 0,65 \text{ см}$.

3.1.39. А. $P = 9,8 \text{ Н}$, Б. $P = 9,8 \text{ Н}$.

3.1.40. $s = 1 \text{ м}$.

- 3.1.41. $m = Ma/R\sqrt{3}$.
- 3.1.42. $p(h) = p_{\text{ат}} + \rho_{\text{в}}(g-w)h$.
- 3.1.43. $V_{\text{п}} = 0,6V$.
- 3.1.44. Пламя отклонится к оси вращения.
- 3.1.45. $V_0 = 255 \text{ м}^3$.
- 3.1.46. $F = 10,1 \text{ Н}$.
- 3.1.49. $\tau = m/(6\pi\eta a)$.
- 3.1.50. $a = (9\eta v_0/2g\rho)^{1/2}$.
- 3.1.51. $T = \alpha l/\pi$.
- 3.1.52. $p = 2\alpha/R$.
- 3.1.53. $h = 2\alpha/(\rho g a) + (p_0 - p_i)/\rho g$.
- 3.1.54. $h = 2,97 \text{ см}$.
- 3.1.56. $p_i = 4\alpha/R$.
- 3.1.58. $\Delta p = 0,146 \text{ атм}$.
- 3.1.59. $\Delta h = 0,535 \text{ м}$.
- 3.1.60. $v = 1,59 \text{ с}$.
- 3.1.61. Из первой.
- 3.1.62. $\Delta h = 8\alpha(R_2 - R_1)/(\rho g R_1 R_2)$.
- 3.1.63. $A = 0,0016 \text{ Дж}$.
- 3.1.64. $p_{\text{ст}} = 10^5 \text{ Па}$.
- 3.1.65. А. $\rho = 0,9\rho_{\text{в}}$,
Б. $\rho = 0,6\rho_{\text{в}}$.
- 3.1.66. А. $A_1 = -\rho_{\text{л}}^2 g S h^2/2\rho_{\text{в}}$,
Б. $A_2 = (\rho_{\text{л}} g S h^2/2)[1 - (\rho_{\text{л}}/\rho_{\text{в}})]^2$.
- 3.1.67. $h = \left[\sqrt{\rho_0^2 + 2km/s} - \rho_0 \right] / k$
- 3.1.68. $z = z_0 + \omega^2(x^2 + y^2)/2g$.
- 3.1.69. $t_2 = 43 \text{ }^\circ\text{C}$.
- 3.1.70. $H = 20 \text{ км}$.
- 3.1.71. $\Delta p = 53,2 \text{ кПа}$.

3.2. Адиабатическое течение жидкости и газа. Закон Бернулли

$$3.2.2. v_1 = \left[\frac{2gh}{1 - (S_1/S_2)^2} \right]^{1/2}$$

$$3.2.3. F_x = -\rho g h S_1.$$

$$3.2.4. v = (2gh)^{1/2}, h = (h_2 - h_1) - (h_4 - h_3), L = h.$$

$$3.2.5. Q = \rho h L \sqrt{2gs}.$$

$$3.2.6. P = Qv^2/2 + QgH.$$

$$3.2.7. P_m = 8\rho S v_0^3/27.$$

$$3.2.9. p_2 = p_1 + \rho v_1^2 (S_1/S_2) (1 - S_1/S_2).$$

3.2.12. $T_a(z) = T_0 - k_a z$, T_0 — температура воздуха у поверхности Земли, $k_a = g/c_p$.

$$3.2.13. T_2 - T_1 > gd/c_p.$$

$$3.2.15. H = 600 \text{ м.}$$

$$3.2.18. t = 10,8^\circ \text{ C.}$$

$$2.2.21. p(z) = p_0 (1 - gz/cp)^{\frac{n}{n-1}}, n = 1,4.$$

$$2.2.22. p(z) = p_0 \exp(-Mgz/RT_0).$$

$$3.2.23. m = \rho_0 SRT_0/Mg, z_c = RT_0/Mg.$$

$$3.2.24. T_0/T = 1 + (n-1)M^2/2, (p_0/p) = [1 + (n-1)M^2/2]^{\frac{n}{n-1}}.$$

$$3.2.25. v_{\max} = c_0 \sqrt{\frac{2}{n-1}}.$$

$$3.2.27. v_z = -G_y/(2\rho\Omega \sin\theta), v_y = G_z/(2\rho\Omega \sin\theta).$$

3.3. Деформация твердых тел. Тепловое расширение

$$3.3.1. \sigma_{\text{нр}} = pR/d.$$

$$3.3.2. \sigma_t = pR/2d.$$

$$3.3.3. \sigma = 7,02 \text{ МН.}$$

$$3.3.4. \sigma_m = \frac{(\alpha_m - \alpha_c)(t_2 - t_1)}{[1 + (E_m/E_c)(d_2/d_1)]} E_m.$$

$$3.3.5. \Delta d = -pR/E, \Delta d = -0,165 \text{ мм.}$$

$$3.3.6. \sigma = pR/2d, p = p_2 - p_1.$$

$$3.3.7. \Delta l = (F + mg/2)l/ES.$$

$$3.3.8. \Delta V = V_0(1 - 2\gamma)\epsilon, V_0 = l_0 a_0^2.$$

$$3.3.9. \delta V = (1 - 2\gamma)(b - a)mg/2E.$$

$$3.3.10. \text{А. } |\Delta h| = 1,4 \cdot 10^{-4} \text{ м. Б. } U = m^2 g^2 h/6SE.$$

$$3.3.11. R(x) = R_0 \exp(-kx/2), k = \rho g/\sigma_0.$$

$$3.3.12. T = \frac{F(2M + m)}{2(M + m)}.$$

$$3.3.13. v = g\sqrt{m/k}.$$

$$3.3.14. \epsilon = 4 \cdot 10^{-3}.$$

$$3.3.18. \Delta l = 1,75 \text{ м}, F = 8,75 \text{ кН}.$$

$$3.3.20. \sigma(r) = \sigma_0 [1 - 8R^3 (3r^2 + a^2) (\rho_n / \rho_c) / r (r^2 - a^2)^2], \\ \sigma_0 = G(m/4a)^2 / S.$$

$$3.3.21. T = (mg/2) \sqrt{1 + (h/4l)^2}$$

$$3.3.22. P_B = P_C = P/2.$$

$$3.3.23. l_2 = \frac{l_0 l_1 (S_B E_B + S_C E_C)}{S_C E_C l_1 + S_B E_B l_0}.$$

$$3.3.24. \sigma_M = 11,42 \text{ МПа}.$$

$$3.3.25. \sigma_M = 51,35 \text{ МПа}.$$

$$3.3.26. \Delta l = (2mgl_0 h / SE)^{1/2}, \sigma_c = (2mghE / Sl_0)^{1/2}.$$

$$3.3.27. \sigma_b(x) = x M_\alpha / I_y, I_y = \oint dS x^2.$$

$$3.3.28. \sigma_{mn} = -\rho gh (1 \pm 2h \sin \alpha / r).$$

$$3.3.29. \sigma_m = -8,63 \cdot 10^5 \text{ Па}, \sigma_n = 7,67 \text{ Па}.$$

$$3.3.30. \sigma = 50 \text{ МПа}.$$

3.4. Волновое движение в среде. Звук

$$3.4.2. \text{ А. } T = 1243,4 \text{ Н},$$

$$\text{ Б. } T_c / T_x = 9.$$

$$3.4.3. p = 15 \cdot 10^5 \text{ Па}.$$

$$3.4.5. r = r_1 + c(t - t_1).$$

$$3.4.6. \Delta t = 2a/c.$$

$$3.4.7. z = z_1 + c(t - t_1). \text{ Плоскость перпендикулярна оси } z.$$

$$3.4.8. \omega_0 = c[S/(lV)]^{1/2}.$$

$$3.4.9. k_n = \pi(n + 1/2)/H, n = 0, 1, 2, \dots$$

$$3.4.10. k_n = \pi n / H, n = 1, 2, \dots$$

$$3.4.11. \omega_n(t, x, y, z) = \omega(1 + \vec{n}\vec{u}/c), \vec{n} = -\vec{s}/s.$$

Глава IV. ЭЛЕКТРИЧЕСТВО

4.1. Закон Кулона. Заряд в электростатическом поле. Напряженность и потенциал поля.

4.1.2. $N = 6,25 \cdot 10^{18}$.

4.1.3. $F = 2 \cdot 10^{15}$ Н.

4.1.4. $N_e/N = (M/eN_A) \sqrt{G/k}$, $N_e/N = 1,86 \cdot 10^{-18}$.

4.1.5. $F_x = kqQl/(r^2 - l^2/4)^{3/2}$.

4.1.6. $F_x = 2kqQrl/(r^2 - l^2/4)^2$.

4.1.7. $T_{AB} = 3T$, $T_{BC} = 9T$.

4.1.8. $q = L \sqrt{2mg/k}$.

4.1.9. $\operatorname{tg} \alpha / 2 = (Q/q)^{2/3}$.

4.1.10. $\vec{E}(\vec{r}) = \frac{kQ(\vec{r} + \vec{a})}{|\vec{r} + \vec{a}|^3} - \frac{kQ(\vec{r} - \vec{a})}{|\vec{r} - \vec{a}|^3}$, $\vec{E}(\vec{r}) = \frac{kQ(\vec{r} + \vec{a})}{|\vec{r} + \vec{a}|^3} - \frac{kQ(\vec{r} - \vec{a})}{|\vec{r} - \vec{a}|^3}$,

$\vec{\Phi} = \frac{kQ}{|\vec{r} + \vec{a}|} - \frac{kQ}{|\vec{r} - \vec{a}|}$.

4.1.11. $(\vec{s} - \vec{r}_0)^2 = R^2$, $\vec{r}_0 = \vec{b}/p$, $R^2 = (b^2/p)(1/p - 1)$, $p = 1 - (q/Q)^2$.

4.1.12. Б.

4.1.13. А.

4.1.14. В.

4.1.15. А. $\vec{E} = \vec{0}$.

Б. $E_2 = 4kq/3a^2$.

В. $E_p = \sqrt{6} kq/a^2$.

4.1.16. А. $\varphi_0 = 3\sqrt{3} \frac{kq}{a}$.

Б. $\varphi_M = 2 \left(2 + \frac{1}{\sqrt{3}} \right) \frac{kq}{a}$.

В. $\varphi_p = \frac{3kq}{a}$.

4.1.17. $v = 1,33 \cdot 10^7$ м/с.

4.1.18. $E_z = kQz/(R^2 + z^2)^{3/2}$.

Максимальное значение $E_{z_{\max}} = 2\sqrt{3}kQ/9R^2$, при $z = z_m$, $z_m = R/\sqrt{2}$.

$\varphi(z) = kQ/(R^2 + z^2)^{1/2}$.

4.1.19. Когда заряд достигнет центра кольца.

$$4.1.20. 1/\sqrt{2}.$$

$$4.1.21. q(\varphi, -\varphi_0).$$

$$4.1.22. v_0 = Q\sqrt{2k/mR}.$$

$$4.1.23. E_x(0, 0, z) = \frac{kQ(z+R/2)}{[R^2+(z+R/2)^2]^{3/2}} - \frac{kQ(z-R/2)}{[R^2+(z-R/2)^2]^{3/2}}.$$

$$\varphi(0, 0, z) = \frac{kQ}{[R^2+(z+R/2)^2]^{1/2}} - \frac{kQ}{[R^2+(z-R/2)^2]^{1/2}}.$$

$$4.1.24. A = q_3(q_1 - q_2) \left(\frac{1}{l_{23}} - \frac{1}{l_{13}} \right).$$

$$4.1.25. A' = -kqQa/(r^2 - a^2/4).$$

$$4.1.26. \varphi(\vec{r}) = -\vec{E}_0\vec{r} + \text{const.}$$

$$4.1.27. A_1' = 2qE_0l, A_2' = -2qE_0l.$$

$$4.1.28. \text{A. } 5,1 \cdot 10^{11} \text{ В/м.}$$

$$\text{Б. } \varphi = 27,2 \text{ В.}$$

$$\text{В. } E = 13,6 \text{ эВ.}$$

$$\text{Г. } v = 2,21 \cdot 10^6 \text{ м/с.}$$

$$4.1.29. v = (ke^2/mnr_1^3)^{1/2} (1/2\pi n),$$

$$v = 1,69 \cdot 10^{11} \text{ Гц.}$$

$$4.1.30. E = 5,57 \cdot 10^{11} \text{ В/м.}$$

$$4.1.31. \alpha = \pi/4.$$

$$4.1.32. h = 1 \text{ см.}$$

$$4.1.33. v_1 = 5,94 \cdot 10^5 \text{ м/с.}$$

$$4.1.34. v_0 = 2b \sqrt{\frac{kqQ}{m(s^2 - b^2)}}.$$

$$4.1.35. \omega^2 = \frac{4kqQ}{ms^3}.$$

$$4.1.36. \omega^2 = 32kQ/(25\sqrt{5}mR^3).$$

$$4.1.37. v_{0m}^2 = 8ke_0Q/(\sqrt{5}mR).$$

$$4.1.38. \Omega^2 = 4qE_0/mL.$$

$$4.1.39. A = (q_2m_1 - q_1m_2)E/km, \omega^2 = k/\mu.$$

$$4.1.40. q = (v/v_0 + 1)m_0g/E,$$

$$m_0 = (4\pi\rho_0/3)(9\eta v_0/2g\rho_0)^{3/2}.$$

$$4.1.41. U_c = kQ^2/2R.$$

$$4.1.42. A' = kQ^2/2R.$$

4.2. Основная задача электростатики. Закон Гаусса. Электрическое поле зарядов, проводников и диэлектриков

4.2.1. $E_z = -E_0, z < 0, E_z = E_0, z > 0; E_0 = \sigma/2\epsilon_0.$

4.2.2. $E_z = -E_0, z < 0, E_0 = (\sigma_1 + \sigma_2)/\epsilon_0; E_z = E_2, E_2 = (\sigma_1 - \sigma_2)/\epsilon_0;$
 $0 < z < d; E_z = E_0, z > d.$

4.2.3. $V = 3QSD/2\epsilon_0.$

4.2.4. Б.

4.2.5. Д.

4.2.6. $G = 2n.$

4.2.7. $q/2.$

4.2.8. $E_z = G, z < 0, z > d; E_z = G - q/\epsilon_0 S, 0 < z < d.$

4.2.9. $Q = -q, G = 2n.$

4.2.10. $\varphi_m - \varphi_n = Vh/d.$

4.2.11. $E = 0.$

4.2.12. Б. $\sigma_1 = -\epsilon_0 E_0, \sigma_2 = \epsilon_0 E_0,$

Г. $F_{2x} = \epsilon_0 E_0^2/2, F_{1x} = -\epsilon_0 E_0^2/2.$

Д. $C = \epsilon_0 S/d.$

4.2.13. $\sigma = 8,85 \cdot 10^{-10} \text{ Кл/м}^2.$

4.2.14. $\varphi(x, y, z) = \frac{kQ}{s} - \frac{kQ}{s'}, s = \sqrt{x^2 + y^2 + (z-h)^2},$

$s' = \sqrt{x^2 + y^2 + (z+h)^2}.$

4.2.15. $T = (\pi h/Q)(mh/2k)^{1/2}.$

4.2.16. $R = 3h/4.$

4.2.17. $q = 6,3 \text{ Кл}, s = 390 \text{ м}, E_{\text{ср}} = 390 \text{ В/см}.$

4.2.18. $s = 129,3 \text{ км}.$

4.2.19. $\vec{E}_O = 0, \vec{E}_A = (E, E), E = -17kQ/(18a^2\sqrt{2}) - kQ/(5a^2\sqrt{10}).$

4.2.20. $E_x(r) = \frac{2k\sigma x}{r^2}, E_y(r) = \frac{2k\sigma y}{r^2}, E_z = 0.$

4.2.21. $E_x(x, y, z) = \frac{2k\sigma(x-a/2)}{s_2^2} - \frac{2k\sigma(x+a/2)}{s_1^2},$

$E_y(x, y, z) = \frac{2k\sigma y}{s_2^2} - \frac{2k\sigma y}{s_1^2}, E_z = 0, s_{2,1}^2 = (x \pm a/2)^2 + y^2.$

4.2.22. $E(r) = \rho r/3\epsilon_0, r \leq R; E(r) = \rho R^3/3\epsilon_0 r^2, r \geq R.$

4.2.23. $p \sim 8\pi\epsilon_0 a^3 E_0.$

4.2.24. $E = kQ/r^2, r > R; E = 0, 0 < r < R.$

$\varphi(x, y, z) = kQ/R, 0 \leq r \leq R;$

$\varphi(x, y, z) = kQ/r, r \geq R.$

4.2.25. $E = kQ/r^2, r > R.$

4.2.26. A. $q_1 = -Q.$

B. $q_2 = 2Q.$

4.2.27. $E = kQ/r^2, 0 < r < R; \vec{E} = 0, r > R.$

$\varphi(r) = kQ \left(\frac{1}{r} - \frac{1}{R} \right), r \leq R; \varphi(r) = 0, r \geq R.$

4.2.28. $E = 0, 0 \leq r \leq R_1, E(r) = kQ_1/r^2, R_1 < r < R_2, E = k(Q_1 + Q_2)/r^2, r > R_2.$

$\varphi_1 = kQ_1/R_1 + kQ_2/R_2, 0 \leq r \leq R_1;$

$\varphi(r) = kQ_1/r + kQ_2/R_2, R_1 \leq r \leq R_2; \varphi(r) = kQ/r, r \geq R_2.$

4.2.30. $F_x \approx kqQa^2/r^3.$

4.2.32. $CN = R^2/r.$

4.2.34. $\varphi_p = \frac{kQ}{r_{AP}} - \frac{kQR}{r r_{NP}} + \frac{kQR}{r r_{CP}}.$

4.2.35. $\vec{F} = \frac{kQ^2 R \vec{r}}{r^4} - \frac{kQ^2 R \vec{r}}{(r^2 - R^2)^2},$

A. $\vec{F} = \frac{kQ^2 R \vec{r}}{r^4} - \frac{kQ^2 R \vec{r}}{(r^2 - R^2)^2}.$

B. $F_x \approx -kQ^2/(2z)^2.$

4.2.36. $W = -\frac{kQ^2 R^3}{2r^4}.$

4.2.38. $\varphi(x, y, z) = k \vec{p} \vec{r} / r^3, \vec{p} = q \vec{a}.$

4.2.39. $\varphi_p = -\vec{E}_0 \vec{r} [1 - (R/r)^3].$

4.2.40. $E_x = -Vy/b^2, E_y = -Vx/b^2, E_z = 0.$

4.2.41. $E_x = -Vx/R^2, E_y = -Vy/R^2, E_z = 2Vz/R^2.$

4.2.42. $E_x = -2Vx/R^2, E_y = 2Vy/R^2, E_z = 0.$

4.2.43. $E = kQ/\epsilon r^2.$

4.2.46. $\varphi^{(c)}(\vec{r}) = -\vec{E} \vec{r} + k \vec{p} \vec{r} / r^3, \vec{p} = \alpha \vec{E}_0 V,$

$\alpha = 3\epsilon_0[(\epsilon - 1)/(\epsilon + 2)], |r| \geq R.$

4.2.47. $\vec{E}_c = \vec{E}_0.$

4.2.48. $\vec{F} = -g \vec{r} / r^4, g = 4\alpha(k\sigma)^2 V, V = 4\pi R^3/3, \vec{r} = (x, y, 0).$

4.2.49. $v = \sqrt{(g/m)(1/R^2 - 1/s^2)}.$

4.3. Конденсатор. Схемы, содержащие конденсаторы

$$4.3.1. \frac{1}{C} = k \left(\frac{1}{R_1} - \frac{1}{R_2} \right).$$

$$4.3.2. n = R_1 V / (R_2 V_0), n = 200.$$

4.3.3. Уменьшится в 2 раза.

$$4.3.4. Q_6 / Q_c = 125.$$

$$4.3.5. \varphi_2 - \varphi_1 = 3Q / 2C.$$

4.3.6. Увеличится в 2 раза.

$$4.3.7. \Delta V = (Q/C)(1/\varepsilon - 1).$$

$$4.3.8. \Delta Q = (\varepsilon - 1)CV.$$

$$4.3.9. C_z = 3C.$$

$$4.3.10. C_z = 1 C.$$

$$4.3.11. C = C_1 + C_2 + C_3.$$

$$4.3.12. C_z = 26 C.$$

$$4.3.13. \text{А. } C_z = [2C_1 C_2 + (C_1 + C_2) C_3] / (C_1 + C_2 + 2C_3).$$

$$\text{Б. } C_3 = (C_1 C_2)^{1/2}.$$

$$4.3.14. C = \varepsilon_0 \varepsilon S N / d, C = 4,425 \text{ мкФ.}$$

$$4.3.15. \text{А. } \Delta C = Ch / (d - h);$$

$$\text{Б. } C / C = d^2 / 4h(d - h).$$

$$4.3.16. q_a = -q(d - x) / d, q_b = -qx / d.$$

$$4.3.17. \Delta q_a = 2 \cdot 10^{-11} \text{ Кл.}$$

$$4.3.18. \varphi_m - \varphi_n = Vh / d.$$

$$4.3.19. C = 3C / 2.$$

$$4.3.20. \Delta V = -q / 3C.$$

$$4.3.21. \varphi_a - \varphi_m = \varphi_n - \varphi_b = q / C.$$

$$4.3.22. \text{А. } V_1 = \frac{C_2 \varepsilon}{C_1 + C_2}, V_2 = \frac{C_1 \varepsilon}{C_1 + C_2}.$$

Б. Возможно, если до подключения конденсатор C_2 зарядить до разности потенциалов ε .

$$4.3.23. \varphi_b - \varphi_d = \frac{(C_1 C_4 - C_2 C_3) \varepsilon}{(C_1 + C_2)(C_3 + C_4)}.$$

$$4.3.24. \Delta Q = C\varepsilon / 8.$$

$$4.3.25. \Delta q = 4 \text{ нКл.}$$

$$4.3.26. U_3 = \frac{C_1 \varepsilon_1 + C_2 \varepsilon_2}{C_1 + C_2 + C_3}$$

$$4.3.27. \Delta q_1 = 3C\varepsilon / 2.$$

- 4.3.28. $\varphi_0 = 50$ В.
 4.3.29. $V = 8$ В.
 4.3.30. $\Delta V_3 = 96$ В.
 4.3.31. $\Delta q = 1$ пКл.
 4.3.32. $q_2 = 6$ нКл.
 4.3.33. $\Delta q = 9$ мкКл.
 4.3.34. $V_3 = 4$ В.
 4.3.35. $\varphi_m - \varphi_n = 1$ В.
 4.3.36. $F_z = -\frac{Q^2}{2\epsilon_0 S}$.
 4.3.37. $F_z = q^2(x - d/2)/(\epsilon_0 S d)$.
 4.3.38. $m = \frac{C^2 V^2}{2\epsilon_0 S g}$.

4.4. Постоянный ток. Закон Ома

- 4.4.1. $I = 1,05 \cdot 10^{-3}$ А.
 4.4.2. $I = \epsilon_0(\epsilon - 1)avU/d$.
 4.4.4. $Q/S = \epsilon_0(\rho_2 - \rho_1)j$.
 4.4.5. $R_z = 6$ Ом.
 4.4.6. 25 Ом.
 4.4.7. 5 Ом.
 4.4.8. $\varphi_b - \varphi_m = V/5$.
 4.4.9. $R_{an} = 5r/6$.
 4.4.10. $R = r/2$.
 4.4.11. $R_{ab} = \frac{1}{2}(R + \sqrt{R^2 + 4rR})$
 4.4.12. $R = (\sqrt{5} - 1)r/2$, $R \approx 0,618r$.
 4.4.13. $\varphi_m - \varphi_n = \frac{R_1 R_3 - R_2 R_4}{(R_1 + R_2)(R_3 + R_4)} V$.
 4.4.14. $V_1 = 80$ В, $V_2 = 40$ В, $V_3 = 20$ В, $V_4 = 100$ В.
 4.4.15. $q = -15$ мкКл.
 4.4.16. $V_4 = 70$ В.
 4.4.17. $\varphi_a - \varphi_n = 12$ В.
 4.4.18. $\varphi_m - \varphi_b = 14$ В.
 4.4.19 А. $I_a = 3$ А.
 Б. $I_a = 5,2$ А.

4.4.20. $\varphi_m - \varphi_n = 24 \text{ В.}$

4.4.21. $\varphi_n - \varphi_m = 36 \text{ В.}$

4.4.22. $\varphi_n - \varphi_m = 60 \text{ В.}$

4.4.23. $\varphi_m - \varphi_n = 6 \text{ В.}$

4.4.24. $\varphi_m - \varphi_n = 2 \text{ В.}$

4.4.25. $\varphi_a - \varphi_n = 7 \text{ В.}$

4.4.26. $\varphi_m - \varphi_b = 9 \text{ В.}$

4.4.27. $I_1 = 1,5 \text{ А, } I_2 = 2 \text{ А.}$

4.4.28. А. $R_s = R_a / (10^n - 1);$

Б. $R_n = R_a (10^n - 1).$

4.4.29. $R = \frac{(r_1 + r_2)R_5 + 2r_1r_2}{r_1 + r_2 + 2R_5}$

4.4.30. $R = r/2.$

4.4.31. $I_5 = 3 \text{ А.}$

4.4.32. $\varphi_b - \varphi_c = (r_2 - r_1)V / (r_1 + r_2).$

4.4.33. А. $Q_1 = C_1C_2V / (C_1 + C_2), Q_1 = 48 \text{ мкКл};$

Б. $Q'_1 = C_1R_1V / (R_1 + R_2), Q'_1 = 36 \text{ мкКл};$

В. $\Delta Q = 12 \text{ мкКл.}$

4.4.34. А. $I_3 = V_1/R_1 + V_2/R_2;$

Б. $I_1 = (V_1 - V_2)/R_2;$

В. $I_1 = I_2 \approx V_1 / (R_1 + R_2), I_2 \approx 0;$

Г. $I_1 = I_2 = V/3R, I_3 = 2V/3R.$

4.4.35. На оси φ рис. 4.4.35 б отмечены потенциалы различных точек цепи.

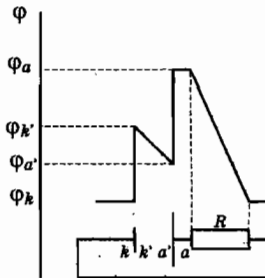


Рис. 4.4.35 б

4.4.36. А. $\varphi_a - \varphi_k = \varepsilon - Ir$ или $\varphi_a - \varphi_k = \frac{1}{r}(I_{кз} - I), I_{кз} = \frac{\varepsilon}{r};$

Б. $\varphi_a - \varphi_k = \varepsilon + Ir.$

$$4.4.37. (\varepsilon - \bar{V})/\varepsilon = r/(r + R) = 5 \cdot 10^{-4}.$$

$$4.4.38. \text{A. } R = 1 \text{ Ом.}$$

$$\text{Б. } \delta = 1\%.$$

$$4.4.39. V_3 = 4 \text{ В.}$$

$$4.4.40. I_c = 0,75 \text{ А.}$$

$$4.4.41. V_c = 1 \text{ В.}$$

$$4.4.42. U_1' = 3\varepsilon/8.$$

$$4.4.43. 0,5.$$

$$4.4.44. \text{A. } I_1 = I_3 = I_{30}, I_2 = 2I_{30};$$

$$\text{Б. } I_1 = I_3 = I_{10}, I_2 = 0.$$

$$4.4.45. I_2 = 0,9 \text{ А.}$$

$$4.4.46. I_3 = 0,9 \text{ А.}$$

$$4.4.47. Q = 6 \text{ нКл.}$$

$$4.4.48. \varepsilon_1 = \varepsilon R_1/(r + R_1), r_1 = rR_1/(r + R_1).$$

$$4.4.49. \varepsilon = 1,5 \text{ В, } r = 0,1 \text{ Ом.}$$

$$4.4.50. \frac{\varepsilon_0}{R + r_0} > \frac{\varepsilon}{r}$$

$$4.4.52. \text{A. } I_1 = \varepsilon_1/r_1, I_2 = \varepsilon_2/r_2.$$

$$\text{Б. } I_2 = (\varepsilon_2 - \varepsilon_1)/(r_1 + r_2), I_1 = -I_2.$$

$$\text{В. } R_c = \varepsilon_1 r_2 / (\varepsilon_2 - \varepsilon_1).$$

$$\text{Г. } R > R_c.$$

$$4.4.53. \varepsilon = \frac{\varepsilon_2 r_1 + \varepsilon_1 r_2}{r_1 + r_2}.$$

$$4.4.54. V = \frac{\varepsilon R}{R + r} - \varepsilon_1.$$

$$4.4.55. \Delta Q = 14 \text{ мкКл.}$$

$$4.4.56. \varepsilon = V_1 V_2 V_3 / [(V_1 + V_2) V_3 + V_1 V_2].$$

$$4.4.57. I_1 = \varepsilon_1/R_1 + (\varepsilon_1 + \varepsilon_2)/R_0, I_2 = \varepsilon_2/R_2 + (\varepsilon_1 + \varepsilon_2)/R_0.$$

$$4.4.58. V_1 = I V R_1 / (V + I R_1).$$

$$4.4.59. I(x) = -2\varepsilon x / [(r + R/2)^2 - x^2]$$

$$4.4.61. V_1 = 18 \text{ В, } r = 1 \text{ Ом, } R = 17 \text{ Ом.}$$

$$4.4.62. \Delta I_1 = I R_2 / (R_1 + R_2).$$

$$4.4.63. \Delta q = (R_3 - R_2) C V / (R_2 + R_3 + R_5).$$

$$4.4.65. I(t) = -q v(t) / d.$$

$$4.4.66. \Delta \varphi = 200 \text{ В.}$$

$$4.4.67. V_2 = V V_1 / (2V - 3V_1).$$

$$4.4.68. I_1 = 7,5 \text{ А, } I_2 = 2,5 \text{ А, } I_4 = 2 \text{ А, } I_5 = 5 \text{ А, } V = 40 \text{ В.}$$

4.4.70. $V_{10} = 4,8 \text{ В}, V_{20} = 7,2 \text{ В}.$

4.4.71. $Q = 7 \text{ мкКл}.$

4.4.72. $Q_1 = C_1 R_1 (R_1 + R_2 + r) Q_2 / C_2 R_2 (R_1 + r).$

4.4.73. $R = 2\varepsilon_2 r / (\varepsilon_1 - \varepsilon_2). R = 2 \text{ Ом}.$

4.4.74. $n = 4.$

4.5. Закон Джоуля — Ленца

4.5.1. уменьшить в 4 раза.

4.5.2. АВ.

4.5.3. $P = 32 \text{ Вт}.$

4.5.4. $P_2 = P_3 = 2 \text{ Вт}, P_4 = 8 \text{ Вт}.$

4.5.5. $R_2.$

4.5.6. $R_4.$

4.5.7. $P_3 = 2 \text{ Вт}.$

4.5.8. $P_m = 2,2 \text{ Вт}.$

4.5.9. $P_m = (1/R)(2V/5)^2.$

4.5.10. $\eta = 1 - \frac{PR}{V^2}.$

4.5.11. $\Delta P = 2,15 \text{ кВт}.$

4.5.12. $R = 484 \text{ Ом}, R_0 = 21 \text{ Ом}.$

4.5.15. $r = 4 \text{ Ом}.$

4.5.16. $P_m = 9 \text{ Вт}.$

4.5.17. $P_m = 8 \text{ Вт}.$

4.5.18. $P_m = 4,5 \text{ Вт}.$

4.5.19. $r = \sqrt{R_1 R_2}.$

4.5.20. $P_1/P_2 = 1/4.$

4.5.21. $r = R_1/6.$

4.5.22. $R = 0,8 \text{ Ом}.$

4.5.23. $P = 4 \text{ Вт}.$

4.5.24. $U'_e / U_e = 1/16.$

4.5.25. $Q = 8 \cdot 10^{-6} \text{ Дж}.$

4.5.26. $Q_1 = 200 \text{ нДж}, Q_2 = 800 \text{ нДж}.$

4.5.27. $Q = (q_1 C_2 - q_2 C_1)^2 / [2C_1 C_2 (C_1 + C_2)].$

4.5.28. $Q_R = CR\varepsilon^2/4(r + R).$

4.5.29. $Q_2 = 12 \text{ Дж}.$

4.5.30. $Q_3 = C\varepsilon^2/54.$

- 4.5.31. $Q = 3,12 \cdot 10^5 \text{ эВ}$.
- 4.5.32. $\Delta U_e = -12C\varepsilon_2$.
- 4.5.33. $A_2 = -4C\varepsilon_2$.
- 4.5.34. $Q_2 = 8C\varepsilon_2$.
- 4.5.35. $Q_2 = C\varepsilon^2 R_1 / [2(r + R_1)(1 + r/R_1 + r/R_2)]$.
- 4.5.36. $A_{zz} = \varepsilon_0 S V_0 (h - d) / hd$.
- 4.5.37. $A_{zz} = Q_0^2 (h - d) / 2\varepsilon_0 S - Q_0 E_0 (h - d)$.
- 4.5.38. $P_3 = (V^2 / 4R)(3 - \sqrt{5})^2$.
- 4.5.39. $P'_2 / P_2 = 1/16$.
- 4.5.40. $Q = C\varepsilon^2 / 3$.
- 4.5.41. $Q = C\varepsilon^2 / 2$.
- 4.5.42. $P_2 / P_1 = (V_1 / V_2)^2$.
- 4.5.43. $P = 9 \text{ Вт}$.
- 4.5.44. $R = 24,2 \text{ Ом}$.
- 4.5.45. А. $\Delta q = \varepsilon_1 C_1 + \varepsilon_2 C_2$.
 Б. $Q = (\Delta q)^2 / 2C$, $C = C_1 + C_2$.
- 4.5.46. $I \approx V / [R_0(1 + \alpha V^2 / 3\beta R_0)]$.

РЕШЕНИЯ ЗАДАЧ

Глава I. МЕХАНИКА

1.1. Кинематика

1.1.1. Производная в минимуме для любой кривой равна нулю. Следовательно, тангенс угла наклона касательной в нижней точке кривой к горизонтали равен нулю.

1.1.2. Архимед предложил оригинальный способ приближенного вычисления площади произвольной фигуры. Необходимо перевести контур фигуры на поверхности однородной пластины и вырезать пластину по контуру. Затем взвесить ее и квадрат со стороной равной единице масштаба (например, см), вырезанный из той же пластины. Отношение веса фигуры P и веса квадратной пластины P_n равно площади фигуры $S = (P/P_n) \text{ см}^2$.

В случае круга $S = \pi R^2$, площадь квадрата $S_n = R^2$.

Отношение $P/P_n = \pi$.

1.1.3. Длина морской мили равна длине дуги экваториальной окружности, стягивающей центральный угол равный угловой секунде.

1.1.4. Блуждающая «звезда» (от греч. — planetes — блуждающая). Наблюдатель видит ночью звезды неподвижными относительно друг друга, а траектории планет относительно звезд представляют собой петли и зигзаги.

1.1.5. Эти термины связаны с именем выдающегося итальянского математика и философа Джероламо Кардана (1501–1576). Нашел решение в радикалах неполного кубического уравнения, занимался вопросами передачи движения, теорией рычага и др.

1.1.6. Две ошибки.

1. Необходимо дополнить — за **любые** равные ...

2. Необходимо отметить, что тело движется по прямой линии. Правильное определение: прямолинейное движение называется равномерным, если тело за **любые** равные промежутки времени проходит одинаковые расстояния, или совсем строго $\vec{v}(t) = \vec{v}_0$.

1.1.7. Невозможно дать корректное определение. В действительности речь идет о движении с постоянным ускорением. Например, из второго закона Ньютона следует, что брошенный вверх камень движется в пустом пространстве с постоянным ускорением \vec{g} . При движении вверх и вниз ускорение равно \vec{g} . В верхней точке траектории,

где скорость равна нулю, ускорение также равно \bar{g} . Есть ли смысл в разделении движения на две фазы?

1.1.8. Жук движется по отрезкам ломанной, которые на развертке поверхности в плоскости xy должны образовать отрезок прямой линии. Возможны два варианта развертки с длиной отрезка прямой

$$s_1 = \sqrt{(b+2c)^2 + (2a)^2} \text{ и } s_2 = a + b.$$

1.1.9. В этой задаче приведено неизвестное многим читателям определение сферы. образуем квадраты векторов:

$$\bar{s}_{op}^2 = R^2 + 2\bar{R}\bar{a} + a^2, \quad \bar{s}_{np}^2 = \alpha^2 R^2 + 2\alpha\bar{R}\bar{a} + a^2 = \alpha(\alpha R^2 + 2\bar{R}\bar{a} + a^2 / \alpha).$$

Тогда очевидно, что $\alpha = (a/R)^2$. Этот результат позволил У. Томсону найти решение задачи определения потенциала электрического поля, создаваемого системой заряд — металлическая сфера (см. задачу 4.2.31).

1.1.10. Величина скорости частицы $v = \omega s$, где ω — угловая скорость колеса. Имеем уравнение $v_1/s_1 = v_2/s_2$.

$$1.1.11. v_{cp} = \frac{s}{t_1 + t_2}, \quad t_1 = s/2v_1, \quad t_2 = s/2v_2, \quad v_{cp} = \frac{2v_1v_2}{v_1 + v_2}.$$

$$1.1.12. v_{cp} = s/T, \quad s = s_1 + s_2, \quad T = t_1 + t_2, \quad t_1 = s_1/v_1, \quad t_2 = s_2/v_2.$$

1.1.13. Пусть T — интервал времени, за который первая яхта прошла путь s . Тогда $s = vT$. Для второй яхты имеем уравнения $v_1 t_1 = s/2, v_2 t_2 = s/2$. Поскольку $T = t_1 + t_2$ или $1/v = 1/2v_1 + 1/2v_2$, то $v_2 = vv_1/(2v_1 - v)$.

1.1.14. Перейдем в систему отсчета, связанную со вторым пловцом. Ось x направим параллельно скорости пловца. Тогда $v_1 = v_2 + v_{1x}, -v_3 = v_2 + v_{3x}$. Следовательно, $v_{1x} = v_1 - v_2, v_{3x} = -v_3 - v_2$. Очевидно отношение $v_{1x}/|v_{3x}| = 1$.

1.1.16. На рис. 1.1.16 вектор $\bar{h} = \bar{r}(t_0)$: $\bar{h} = \bar{r}_0 + \bar{v}_0 t_0$. Поскольку $\bar{h}\bar{v}_0 = 0$, то $0 = \bar{r}_0\bar{v}_0 + v_0^2 t_0, t_0 = -\bar{r}_0\bar{v}_0 / v_0^2, h^2 = \bar{r}_0^2 - (\bar{r}_0\bar{v}_0)^2 / v_0^2$.

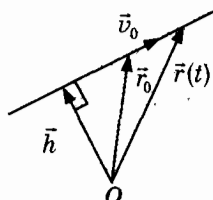


Рис. 1.1.16

1.1.17. Квадрат расстояния между частицами

$$s^2(t) = [\vec{r}_2(t) - \vec{r}_1(t)]^2 = 2c^2 - 2c(v+u)t + (v^2 + u^2)t^2.$$

Выделяя полный квадрат, получим

$$s^2(t) = (v^2 + u^2) \left[t - c \frac{v+u}{v^2 + u^2} \right]^2 + c^2 \frac{(u-v)^2}{v^2 + u^2}.$$

Отсюда находим экстремальное значение $t = t_m$ и наименьшее значение расстояния $s_m = s(t_m)$: $t_m = c \frac{v+u}{v^2 + u^2}$, $s_m = c \left| \frac{u-v}{\sqrt{v^2 + u^2}} \right|$. Очевидно значения t_m и s_m проще получить из условия $ds^2(t)/dt = 0$.

1.1.18. Запишем проекции радиус-вектора r_c на оси x и y (рис. 1.1.18):

$$x_c(t) = (l/2) \cos \varphi(t), \quad y_c(t) = (l/2) \sin \varphi(t), \quad (1)$$

где $\varphi(t)$ – угол OBA . Исключая φ , находим n уравнение траектории точки C $x_c^2 + y_c^2 = \left(\frac{l}{2}\right)^2$. Следовательно, точка C движется по окружности радиусом $l/2$. Далее найдем скорость точки C . Поскольку функции $x_c(t), y_c(t)$ зависят от функции $\varphi(t)$, то

$$v_{cx} = dx_c/dt = (dx_c/d\varphi) d\varphi/dt = -(l/2) \sin \varphi d\varphi/dt, \quad (2)$$

$$v_{cy} = dy_c/dt = (dy_c/d\varphi) d\varphi/dt = (l/2) \cos \varphi d\varphi/dt.$$

Зависимость угла $\varphi(t)$ и его производной по времени можно найти, рассматривая движение точки B . По условию задачи $x_B = vt$ или $l \cos \varphi = vt$. Дифференцируя, находим $-l \sin \varphi \frac{d\varphi}{dt} = v$. Следовательно,

$$v_{cx} = v/2, \quad v_{cy} = -(v/2) \operatorname{ctg} \varphi = -\frac{v}{2} \frac{vt}{\sqrt{l^2 - (vt)^2}}.$$

Докажите, что проекции скоростей точек C и B на прямую AB совпадают (см. задачу 1.1.20). Найдите далее ускорение точки C .

1.1.19. Проведем ось x с началом у основания забора. Тогда координата ящика $x(t) = h \operatorname{ctg} \alpha(t)$, где h – высота забора. Следуя определению, найдем проекцию скорости ящика на ось x . Здесь необходимо учесть, что $x(t)$ представляет собой «сложную» функцию: $x(t) = x(\alpha(t))$. Поэтому в обозначениях Лейбница получим

$$v_x(t) = \frac{dx}{d\alpha} \frac{d\alpha}{dt} = -\frac{h}{\sin^2 \alpha} \frac{d\alpha}{dt} \quad (1)$$

Для того чтобы вычислить производную $d\alpha/dt$, найдем длину части веревки $l(t) = MN: l = h/\sin \alpha$. Согласно условию, скорость изменения длины веревки $dl/dt = -u$ (так как функция $l(t)$ убывает). Следовательно,

$$-u = \frac{dl}{dt} = \frac{dl}{d\sin\alpha} \frac{d\sin\alpha}{d\alpha} \frac{d\alpha}{dt} = -\frac{h}{\sin^2\alpha} \cos\alpha \frac{d\alpha}{dt}. \quad (2)$$

Из (1), (2) находим $v_x = -u/\cos \alpha$.

1.1.20. Рассмотрим для упрощения случай движения стержня в плоскости xy (рис. 1.1.20). Радиус-векторы точек a и b

$$\vec{r}_a(t) = (x_a(t), y_a(t), 0), \quad \vec{r}_b(t) = (x_b(t), y_b(t), 0).$$

Согласно условию расстояние s_0 между точками a и b постоянно:

$$[x_b(t) - x_a(t)]^2 + [y_b(t) - y_a(t)]^2 = s_0^2. \quad (1)$$

Для того, чтобы перейти к скоростям точек a и b , продифференцируем (1) по времени. В результате получим

$$[x_b(t) - x_a(t)][v_{bx}(t) - v_{ax}(t)] + [y_b(t) - y_a(t)][v_{by}(t) - v_{ay}(t)] = 0. \quad (2)$$

Очевидно, это соотношение представляет собой скалярное произведение векторов $\vec{s}_0(t) = \vec{r}_b(t) - \vec{r}_a(t)$ и $\vec{v}_b(t) - \vec{v}_a(t)$: $\vec{s}_0(\vec{v}_b - \vec{v}_a) = 0$. Отсюда следует соотношение $\vec{s}_0\vec{v}_b = \vec{s}_0\vec{v}_a$ или $v_a \cos\alpha = v_b \cos\beta$, где α , β — углы между вектором \vec{s}_0 и векторами \vec{v}_a и \vec{v}_b . Этот результат поясняет почему скорость человека на водных лыжах может быть больше скорости катера.

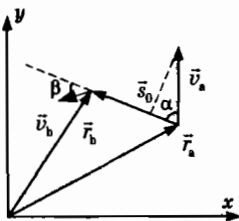


Рис. 1.1.20

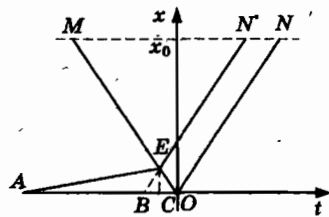


Рис. 1.1.21

1.1.21. Поместим начало координат O в точку, из которой инженер начал свой путь. Координата завода равна $x_0 > 0$. На рис.1.1.21 ломаная MON изображает зависимость x -координаты машины от времени при ее обычном движении, отрезок AE — зависимость x -координаты инженера от времени до встречи с машиной, отрезок EN — зависимость x -координаты машины от времени после встречи с инженером.

Эти графики не совсем корректны. Например, в точке O проекция скорости машины на ось x скачком изменяется от отрицательного до положительного значения. Такой скачок скорости машины, вообще говоря; невозможен, так как любые, физические величины должны изменяться плавно. Однако для упрощения графиков этим требованием можно пренебречь.

Согласно условию задачи $AO = 1$ ч, $NN = 10$ мин.

Поскольку $BE = EO$, то $BC = CO = \frac{1}{2}BO$.

Время движения инженера до встречи с машиной

$$AC = AO - \frac{1}{2}BO = 55 \text{ мин.}$$

Решим теперь эту задачу, используя общий подход. Пусть v_0 и v — величины скоростей машины и инженера, $T = -1$ ч, $\tau = 10$ мин, t_0 — интервал времени, за который машина доставляет инженера на место работы, $x_0 = v_0 t_0$. При $t < 0$ координаты машины и инженера $x_m(t) = -v_0 t$, $x_u(t) = v(t + T)$. Встреча машины и инженера произошла в момент времени t_c : $v_0 t_c = v(t_c + T)$. При $t > t_c$ координата машины, ведущей инженера $x_m(t) = -v_0 t_c + v_0(t - t_c)$. При $t = t_0 - \tau$ имеем

$$x_0 = x_m(t_0 - \tau) \rightarrow v_0 t_0 = -v_0 t_c + v_0(t_0 - \tau - t_c).$$

Отсюда находим $t_c = -\tau/2$.

Время движения инженера $T - t_c = 55$ мин.

1.1.22. Решение А. Пусть точка O — начало оси координат (рис. 1.1.22). Точка A находится на расстоянии s от начала координат, v_1, v_2 — величины скоростей первой и второй частиц. Запишем зависимость координат первой и второй частиц от времени

$$x_1(t) = v_1 t, \quad x_2(t) = s - v_2(t - 2\tau). \quad (1)$$

Пусть вторая частица пересечет начало координат в момент времени t_2 . Тогда $x_1(t_1) = s$, $x_2(t_2) = 0$. Подставляя значения функций (1) получим уравнения

$$s = v_1 t_1, \quad 0 = s - v_2(t_2 - 2\tau). \quad (2), (3)$$

В момент встречи $x_1(T) = x_2(T)$: $v_1 T = s - v_2(T - 2\tau)$.

Подставляя s из (2), (3), получим еще два уравнения

$$v_1(t_1 - T) = v_2(T - 2\tau), \quad v_1 T = v_2(t_2 - T), \quad (4)$$

из которых находим

$$(t_1 - T)/T = (T - 2\tau)/(t_2 - T). \quad (5)$$

Согласно условию задачи $t_1 - T = \tau$, $t_2 - T = 8\tau$. Теперь из (5) получим уравнение

$$\tau/T = (T - 2\tau)/8\tau, \rightarrow T^2 - 2\tau T - 8\tau^2 = 0, \quad (6)$$

из которого находим $T = 4\tau$, $t_1 = 5\tau$.

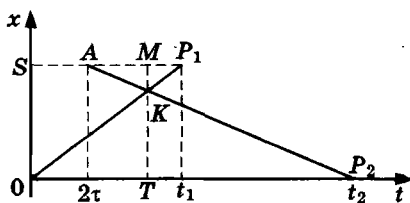


Рис. 1.1.22

Решение Б. На рис. 1.1.22 изображены графики функций (1). Из подобия треугольников KTO и KMP_1 , KMA и KTP_2 получим отношения $P_1M/OT = KM/KT$, $MA/P_2T = KM/KT$.

Отсюда находим отношение $P_1M/OT = MA/P_2T$, эквивалентное уравнению (5).

1.1.23. Обозначим v_1 , v_2 , v_3 — скорости пешехода, велосипедиста и мотоциклиста. Пусть t_{21} , t_{31} , t_{32} — моменты времени, в которые велосипедист догнал пешехода, мотоциклист догнал пешехода и велосипедиста. Координаты каждого объекта представляют собой функции

$$x_1(t) = v_1 t, \quad (1)$$

$$x_2(t) = s + v_2(t - t_{21}), \quad (2)$$

$$x_3(t) = v_3(t - t_{21}), \quad (3)$$

где $s = v_1 t_{21}$.

Изобразим графики функций и запишем согласно условию задачи уравнения, следующие из (1)–(3):

$$s = v_1 t_{21}, \quad d = x_2(t_{32}) - x_1(t_{32}), \quad h = x_2(t_{31}) - x_1(t_{31}),$$

из которых находим

$$d/h = (t_{32} - t_{21}) / (t_{31} - t_{21}). \quad (4)$$

С другой стороны из уравнений $d = x_2(t_{32}) - x_1(t_{32})$, $x_1(t_{31}) = x_3(t_{31})$, получим

$$d/s + 1 = (t_{32} - t_{21}) / (t_{31} - t_{21}). \quad (5)$$

Из (4)–(5) находим $h = sd / (s + d)$.

1.1.24. Запишем законы движения частиц — функции $x_a(t)$ и $x_b(t)$. Обозначим t_1, t_2 — моменты времени, в которые частицы a и b окажутся на расстоянии $s/2$ от начала координат. Тогда

$$x_a(t) = 2vt, 0 \leq t \leq t_1; x_b'(t) = \frac{v}{2}t, 0 \leq t \leq t_2 \quad (1)$$

Из уравнений $x_a(t_1) = s/2, x_b(t_2) = s/2$ находим $t_1 = s/4v, t_2 = s/v$. Согласно условию задачи

$$x_a(t) = \frac{s}{2} + \frac{v}{2}(t - t_1), t \geq t_1; x_b(t) = \frac{s}{2} + 2v(t - t_2), t \geq t_2 \quad (2)$$

Из (2) следует, что в момент времени $t_3 = 5s/4v$ координаты частиц совпадают: $x_a(t_3) = x_b(t_3) = s$.

Графики функций $x_a(t)$ и $x_b(t)$ изображены на рис. 1.1.24. Очевидно, что в интервале времени $t_2 - t_1 = 3s/4v$ расстояние $s_m = 3s/8$. Среднее значение проекции скорости каждой частицы $(v_x)_{cp} = 4v/5$.

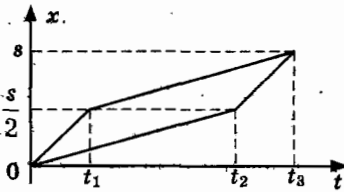


Рис. 1.1.24

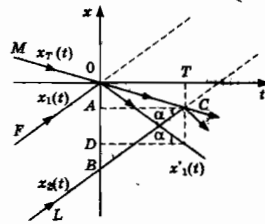


Рис. 1.1.25

1.1.25. Решение А. Приведем графическое решение в краткой форме; опущенные детали читатель должен восстановить самостоятельно. На рис. 1.1.25 прямая MOC представляет собой зависимость x — координаты тренера от времени. Отрезки прямых линий FO и LC — x -координаты первого и последнего спортсменов до встречи с тренером. В момент встречи $t = 0$ последний спортсмен находится в точке с координатой $x_n(0) = -OB, OB = l_0$. В момент времени $t = T$ последний спортсмен встречается с тренером; первый спортсмен находится в точке с координатой $x_n(T) = -OD$. Следовательно, искомая длина колонны $l = AD, AD = OD - OA$. Очевидно, $OB = OA + AB$. Учитывая значения $OA = uT, OD = AB = vT$, получим систему уравнений

$$l = vT - uT, \quad l_0 = uT + vT, \quad (1)$$

из которой находим $l = \frac{v-u}{v+u}l_0$

Решение Б. Приведем решение в аналитическом виде. Запишем функции, задающие x -координаты тренера $x_1(t) = -ut$, первого и последнего спортсмена до встречи с тренером $x_1(t) = vt$, $x_n(t) = -l_0 + vt$ и первого спортсмена после встречи с тренером $x'_1(t) = -vt$. В момент времени $t = T$ значения функций равны соответственно $x_n(T) = x_1(T)$, $l = x_1(T) - x'_1(T)$. Учитывая явный вид функций, получим систему уравнений $-l + vT = -uT$, $l = -uT + vT$, совпадающую с (1).

1.1.26. Для первого участка длиной $s/2$ имеем $v = at_1$, $s/2 = at_1^2/2$. Следовательно, $t_1 = s/v$, $t_2 = s/2v$. Среднее значение скорости $v_{cp} = \frac{s}{s/v + s/2v}$, $v_{cp} = 2v/3$.

1.1.27. Координата частицы и проекция скорости на ось x соответственно имеют вид $x(t) = at^2/2$, $v(t) = at$. Пусть $t_2 = t_1 - T$, где $T = 1$ с. Тогда $s = x(t_1) - x(t_2)$, $x(t_1) = at_1^2/2$, $v_1 = at_1$, $x(t_2) = at_2^2/2$. Отсюда находим $s = v_1 T(2t_1 - T)/2t_1$.

1.1.28. Согласно определению $v_x(t + \Delta t) - v_x(t) = a_x(t)\Delta t$ или $v_x(t + \Delta t) = v_x(t) + a_x(t)\Delta t$. Если $a_x(t) > 0$, то $v_x(t + \Delta t) > v_x(t)$.

1.1.29. Решение 1. Пусть a — проекция ускорения на интервале $[0, \tau]$. Путь s_m , пройденный поездом $s = a\tau^2$ определяется как «площадь» под кривой зависимости $v_x(t)$. Следовательно, $a = s/\tau^2$.

Решение 2. В промежутке $[0, \tau]$ координата и скорость частицы $x(t) = at^2/2$, $v(t) = at$. В интервале $t \geq \tau$ координата и скорость частицы $x(t) = at^2/2 + a\tau(t - \tau) - a(t - \tau)^2/2$, $x(2\tau) = s$, $s = a\tau^2$.

График функции $x(t)$ на промежутке времени $0 \leq t \leq 2\tau$ изображен на рис. 1.1.29 б.

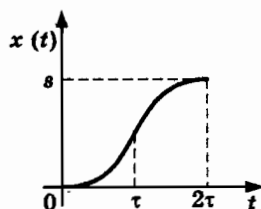


Рис. 1.1.29 б

1.1.30. Координаты и проекции скоростей частиц $x_1(t) = at^2/2$, $x_2(t) = v_2 t$, $v_{1x}(t) = at$, $v_{2x}(t) = v_2$. В момент времени $t = \tau$ имеем $a\tau = v_2$. В момент времени $t = T$ координаты частиц совпадают: $aT^2/2 = v_2 T$. Следовательно, $T = 2\tau$.

1.1.31. На отрезке времени $[0, \tau]$ координата и скорость частицы $x(t) = at^2/2$, $v(t) = at$. В соответствии с рис. 1.1.31 проекция ускорения $a_x(t) = v_0/\tau$. В интервале $t \geq \tau$ координата и скорость частицы $x(t) = a\tau^2/2 + a\tau(t - \tau) - a(t - \tau)^2/2$, $x(2\tau) = v_0\tau$.

1.1.32. $x(T) = 0$, или $\tau^2 + 2\tau(T - \tau) - (T - \tau)^2 = 0$.

Следовательно, $T = \tau[2 + (2)^{1/2}]$.

1.1.33. Среднее значение проекции скорости в интервале $T = t_2 - t_1$ равно $v_{cp} = s/T$, где s — площадь фигуры, ограниченной на отрезке $[t_2, t_1]$ кривой $v_x(t)$ и прямыми $t = t_1$, $t = t_2$. Следовательно, $s = v_0T$, $v_{cp} = v_0/2$.

1.1.34. Решение 1. В момент времени $t_c = v_0/a$ скорость частицы равна нулю, $x(t_c) = v_0^2/2a$. В момент времени $t = t_m$ координата частицы $x(t_m) = 0$.

Решение 2. Путь равен площади, ограниченной кривой $v(t) = |v_0 - at|$ на отрезке $[t = 0, t = t_m]$.

1.1.35. В интервале времени $[0, \tau]$ проекции скорости линейно возрастает. В соответствии с рис. 1.1.35 проекция ускорения $a_x(t) = v_0/\tau$, $v_x(t) = v_0t/\tau$, $x(t) = v_0t^2/2\tau$. Следовательно, $x(\tau) = v_0\tau/2$. В интервале времени $t \geq \tau$ координата $x(t) = v_0\tau/2 + v_0(t - \tau)$; $x(3\tau) = 5v_0\tau/2$.

1.1.36. $v_{cp} = [v_0\tau/2 + v_0\tau]/2\tau$, $v_{cp} = 3v_0/4$.

1.1.37. На отрезке времени $[0, 2\tau]$ скорость и координата частицы $v(t) = v_0 - at$, $x(t) = v_0t - at^2/2$. Поскольку $v(2\tau) = -v_0$, то $a = v_0/\tau$. На отрезке времени $[2\tau, 3\tau]$ скорость и координата частицы $v(t) = -v_0$, $x(t) = -v_0(t - 2\tau)$.

Значение координаты $x(3\tau) = -v_0\tau$. В интервале $t \geq 3\tau$ координата частицы $x(t) = -v_0\tau - v_0(t - 3\tau) + a(t - 3\tau)^2/2$.

1.1.38. Площадь под графиком функции $f(t) = |v_x(t)|$ равна $s = 5v_0\tau/2$.

1.1.39. Из уравнений $l_1 = v_0t_1 + at_1^2/2$, $l_1 = (v_0 + at_1)t_2 + at_2^2/2$ находим $a = 2(l_2/t_2 - l_1/t_1)/(t_1 + t_2)$.

1.1.40. $x(t) = k(t_0t^2/2 - t^3/3)$.

1.1.41. Координата частицы $x(t) = v_0t - at^2/2$, проекция скорости $v(t) = v_0 - at$, $t \geq 0$.

Имеем систему уравнений

$$l = 5v_0\tau - 25a\tau^2/2 - (4v_0\tau - 16a\tau^2/2), \quad 0 = v_0 - 5a\tau,$$

$$s = 3v_0\tau - 9a\tau^2/2 - (2v_0\tau - 4a\tau^2/2).$$

1.1.42. $\mu = v^2/2gs$.

1.1.43. $s_2 = s_1(v_3^2 - v_2^2)/v_1^2$.

1.1.44. На промежутке $[0, \tau]$ имеем $x(t) = at^2/2$, $v_x(t) = at$. На промежутке $t \geq \tau$: $x(t) = a\tau^2/2 + a\tau(t - \tau) - a(t - \tau)^2/2$, $v_x(t) = a\tau - a(t - \tau)$.

В момент времени $t = t_m$ скорость $v_x(t_m) = 0$, максимальное смещение $x_m = x(t_m)$: $t_m = 2\tau$, $x_m = a\tau^2$. В момент времени $t = t_1$ частица проходит начало координат: $x(t_1) = 0$.

Из уравнения $0 = a\tau^2/2 + a\tau(t_1 - \tau) - a(t_1 - \tau)^2/2$ находим значение $t_1 - \tau = \tau(1 + \sqrt{2})$.

Согласно условию $-u = v_x(t_1)$ или $u = a\tau\sqrt{2}$.

1.1.45. По условию $v_x = kx^2$. Далее имеем $v_x = dx/dt$, $a_x = dv_x/dt$ или $a_x = 2kxv_x$. Поскольку $v_0 = kx_0^2$, то $a_{x_0} = 2v_0^2/x_0$.

1.1.46. Находим $dy/dt = (k - 2bx)dx/dt$, $-a = -2bv_1^2$, $v_2 = kv_1$.

1.1.47. Расстояние, пройденное частицей $s = ut$. Из треугольника ABO на рис. 1.1.47 находим $l \sin \varphi = vt$. Координата частицы $y = ut \cos \varphi$ или $y(t) = ut \sqrt{1 - (vt/l)^2}$. Возможны два случая.

А. Если $v < u$, то функция $y(t)$ достигает максимального значения при $t_1 = l/u$: $y(t_1) = l\sqrt{1 - (v/u)^2}$.

Б. Если $v > u$, то из условия экстремума $dy/dt = 0$ получим значение $t_2 = l/\sqrt{2}v$: $y(t_2) = ul/2v$.

1.1.48. Поскольку центр симметрии фигуры O остается неподвижным, то можно ввести систему координат xy с началом в точке O (рис. 1.1.48 б). Тогда $y_b = a \cos \varphi$, $x_a = a \sin \varphi$, где a – длина стороны. Далее находим проекции скоростей точек B и A :

$$v_b(t) = -a \sin \varphi (d\varphi/dt), \quad v_a(t) = a \cos \varphi (d\varphi/dt). \quad (1), (2)$$

Из (1), (2) получаем $v_b = -v \operatorname{tg} \varphi$. Проекция ускорения точки B на ось y : $a_b(t) = -(dv/dt) \operatorname{tg} \varphi - (v/\cos^2 \varphi) (d\varphi/dt)$, $dv/dt = k(T - 2t)$.

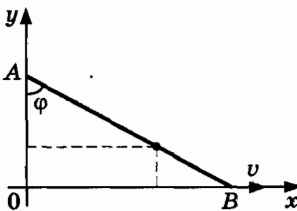


Рис. 1.1.47

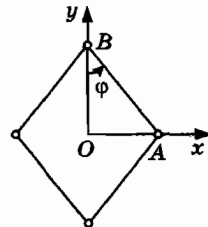


Рис. 1.1.48 б

1.1.49. На рис. 1.1.49 точка касания нити K , отрезок PK – длина нити $l(t)$ в момент времени t . Введем координатную систему xy и угол

$\varphi(t)$ между осью x и отрезком $OK = R$. Длина нити $l(t) = l_0 - R\varphi(t)$, $dl/dt = -R\omega$, $\omega = d\varphi/dt$.

Найдем скорость частицы. Проекция радиус-вектора и скорости частицы

$$\begin{aligned}x &= -l \sin \varphi + R \cos \varphi, \quad y = l \cos \varphi + R \sin \varphi, \\v_x &= -(dl/dt + R\omega) \sin \varphi - l\omega \cos \varphi = -l\omega \cos \varphi, \\v_y &= (dl/dt + R\omega) \cos \varphi - l\omega \sin \varphi = -l\omega \sin \varphi.\end{aligned}$$

Очевидно, что скорость направлена перпендикулярно нити. Теперь находим $v = l\omega$ и уравнение $ds/dt = l\omega$, или $ds/dt = (l_0 - R\varphi)d\varphi/dt$. Отсюда получаем $s(\varphi) = l_0\varphi - R\varphi^2/2$.

Длина траектории $s_m = s(\varphi_m)$, $0 = l_0 - R\varphi_m$.

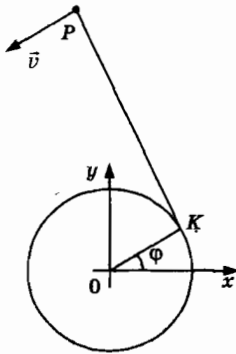


Рис. 1.1.49.

1.1.51. В области $0 \leq t \leq T/2$ функция $x(t) = OP = A\omega t$, или $x(t) = v_0 t$, $v_0 = A\omega$. При значениях $T/2 \leq t \leq T$ функция $x(t) = A\pi - v_0(t - T/2)$. Максимальное значение $x_m = x(t_m)$, $t_m = T/2$, $T = 2\pi/\omega$, $x_m = A\pi$. Координаты точки P в двух системах отсчета связаны преобразованием

$$x'(t) = x(t) \cos \omega t, \quad y'(t) = x(t) \sin \omega t. \quad (1)$$

Следовательно, вращательное движение спиралей Архимеда преобразуется в возвратно-поступательное движение точки P со скоростью v_0 . Отметим, что в произвольный момент времени отрезок $PN = A\pi$. Эта система используется в швейной машинке.

Обозначим $v_1 = dx'/dt$, $v_2 = dy'/dt$ компоненты скорости точки P в системе K' . Дифференцируя (1), получим $v_1 = v_0 \cos \omega t - v_0 \omega t \sin \omega t$, $v_2 = v_0 \sin \omega t + v_0 \omega t \cos \omega t$.

В момент времени $t = T/2$ проекции скорости $v_1 = -A\omega$, $v_2 = -A\pi\omega$.

1.1.52. Процессы преследования являются типичными примерами теории дифференциальных игр — области науки, связанной с многими разделами математики.

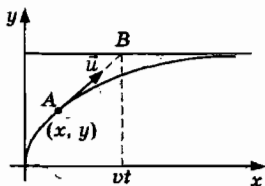


Рис. 1.1.52

Пусть радиус-векторы зайца и лисы соответственно равны $\vec{r}(t) = (vt, b, 0)$, $\vec{R}(t) = (x, y, 0)$, $\vec{R}(0) = 0$ (рис. 1.1.52).

Скорость лисы $\vec{u}(t) = (u_x, u_y, 0)$, где

$$u_x(t) = u(vt - x)/s, u_y(t) = u(b - y)/s, \quad (1)$$

$$s^2 = (vt - x)^2 + (b - y)^2. \quad (2)$$

Согласно условию $u_x^2 + u_y^2 = u^2$. Для того, чтобы найти экстремальные значения скорости и ускорения вычислим производную ds/dt : $s ds/dt = (vt - x)(v - u_x) - (b - y)u_y$.

Учитывая (1), (2), получим

$$s ds/dt = (s/u)[(v - u_x)u_x - u_y^2] = (s/u)[vu_x - u^2].$$

$$ds/dt = (v/u)u_x - u. \quad (3)$$

Отсюда находим новое представление функции

$$s(t) = b + vx/u - ut. \quad (4)$$

В момент времени $t = t_m$ имеем $ds/dt = 0$. Подставляя производную (3), находим

$$u_x(t_m) = u_{x_m}, u_{x_m} = u^2/v, u_y(t_m) = u_{y_m}, u_{y_m} = (u^2 - u_x^2)^{1/2} = u[1 - (u/v)^2]^{1/2}.$$

Дифференцируя $u_x(t)$ и $u_y(t)$, необходимо учесть условие экстремума. В результате получим экстремальные значения проекций ускорения

$$a_{x_m} = u(v - u_{x_m})/s_m = (u/vs_m)(v^2 - u^2),$$

$$a_{y_m} = -u_{y_m}u/s_m = -(u^2/vs_m)(v^2 - u^2)^{1/2}.$$

1.1.53. При значениях $t \gg t_m$ компоненты скорости лисы $u_x \approx u$, $u_y \approx 0$. Из (1) находим $s(t) \approx vt - x$.

Подставляя x из (4), получим $s(t) \approx ub/(v + u) + (v - u)t$.

1.1.54. Полагая в (2), (4) $t = T, \dot{s}(T) = 0, y = b$ получим уравнения $0 = vT - x, 0 = b + vx/u - uT$. Отсюда находим $T = ub/(u^2 - v^2)$.

1.1.55. Полагая в (4) $s(t) = s_0, x = vt - s_0$, получим $s_0 = b/2$.

1.1.56. Отношение скоростей v_1/v_2 равно отношению длин l_1/l_2 , где $l_1 = A_1M = s, l_2 = A_2M = [s^2 + a^2 - 2sa \cos \alpha]^{1/2}$. Найдем максимальное значение функции $f(s) = l_1/l_2$.

Первая производная $df/ds = a(a - s \cos \alpha)/l_2^3$ обращается в нуль при значении $s_m = a/\cos \alpha$. Поскольку вторая производная отрицательна, то при значении $s = s_m$ функция достигает максимума. Наименьшее значение $l_{2m} = atg \alpha, f_{\max} = 1/\sin \alpha$. Очевидно в прямоугольном треугольнике A_1MA_2 отрезки A_1A_2 и A_2M являются катетами, а точки A_1, A_2, M лежат на окружности радиусом $a/(2 \cos \alpha)$ с центром на середине отрезка A_1M .

Отметим, что согласно решению задачи 1.1.9 все точки, для которых отношение $l_1/l_2 = 1/\sin \alpha$ лежат на окружности Аполлония радиусом $R = a \operatorname{tg} \alpha / \cos \alpha$. Центр окружности находится в точке C на пересечении прямой, содержащей отрезок A_1A_2 , и перпендикуляра к прямой A_1P , проведенного через точку M . Расстояние $A_2C = R \sin \alpha$.

1.2. Движение с постоянным ускорением

1.2.1. Зависимость координаты от времени $x(t) = at^2/2$.

Пусть $t_1 = 9\text{с}, t_2 = t_1 + \tau, \tau = 1\text{с}$.

Тогда $s = x(t_2) - x(t_1)$, где $x(t_1) = at_1^2/2, x(t_2) = a(t_1 + \tau)^2/2$.

Отсюда находим $s = (a\tau/2)(2t_1 + \tau)$.

1.2.2. Координата частицы и проекция скорости на ось x соответственно имеют вид $x(t) = at^2/2, v(t) = at$. Пусть $t_2 = t_1 - T$, где $T = 1\text{с}$. Тогда $s = x(t_1) - x(t_2), x(t_1) = at_1^2/2, v_1 = at_1, x(t_2) = at_2^2/2$. Отсюда находим $s = v_1T(2t_1 - T)/2t_1$.

1.2.3. Поместим начало координат на платформе в конце последнего вагона, ось x направим параллельно скорости поезда; v — проекция скорости пассажира на ось x . Координаты пассажира и вагона $x_v(t) = vt, x_p(t) = l + at^2/2$.

Полезно изобразить графики этих функций.

В момент времени $t = T$ имеем уравнение $x_v(T) = x_p(T): l + aT^2/2 = vT$. Следовательно, $T_{1,2} = [v \pm (v^2 - 2al)^{1/2}]/a, v_{\min} = (2al)^{1/2}$.

1.2.4. Проекция скорости и координаты:

$$v(t) = v_0 + at, \quad x(t) = v_0t + at^2/2.$$

Исключая t получим $v^2 = v_0^2 + 2ax$.

Следовательно, $v_2^2 = v_1^2 + 2a(x_2 - x_1)$, $v_m^2 = v_1^2 + a(x_2 - x_1)$.

Из этих уравнений найдем $v_m^2 = (v_1^2 + v_2^2)/2$.

1.2.5. Решение 1. Пусть длина вагона — h , ускорение поезда — a . Обозначим буквами A, B, C соответственно x -координаты передней стенки предпоследнего вагона, сцепки между вагонами и задней стенки последнего вагона. Тогда

$$x_c(t) = at^2/2, \quad x_b(t) = h + at^2/2, \quad x_a(t) = 2h + at^2/2.$$

Пусть в момент времени T значение $x_a(T) = s$. Тогда согласно условию задачи $x_b(T + T_1) = x_c(T + T_1 + T_2) = s$. Отсюда следуют три уравнения

$$s = 2h + aT^2/2, \quad s = h + a(T + T_1)^2/2, \quad s = a(T + T_1 + T_2)^2/2,$$

из которых находим

$$T = (T_2^2 + 2T_1T_2 - T_1^2)/2(T_1 - T_2).$$

Решение 2. Скорость поезда $v(t) = at$. Любая точка C перемещается на расстояния, равные h , за интервалы времени $[T, T + T_1]$ и $[T + T_1, T + T_1 + T_2]$. В момент времени T скорость поезда равна aT , а в момент времени $T + T_1$ скорость — $a(T + T_1)$. Величина пути равна численно равна площади трапеции $h = a(T + T_1/2)T_1$. В моменты времени $T + T_1, T + T_1 + T_2$ скорости точки C равны $a(T + T_1)$ и $a(T + T_1 + T_2)$. Площадь под графиком скорости $h = a(T + T_1 + T_2/2)T_2$. Приравняв два выражения h , получим значение T .

Решение 3. Пусть проекции начальной скорости u и ускорения a больше нуля. Тогда путь, пройденный частицей за интервал времени t равен $s = ut + at^2/2$. Следовательно, имеем уравнение

$$aTT_1 + aT_1^2/2 = a(T + T_1)T_2 + aT_2^2/2.$$

1.2.6. Решение 1. Координаты и проекции скоростей частиц $x_1(t) = u_1t - at^2/2$, $x_2(t) = s + u_2t + at^2/2$, $v_1(t) = u_1 - at$, $v_2(t) = u_2 + at$. Частицы не столкнутся, если в момент времени T , удовлетворяющий уравнению $x_1(T) = x_2(T)$, относительная скорость частиц равна нулю $v_1(T) - v_2(T) = 0$. Из этих уравнений находим $s = (u_1 - u_2)^2/4a$.

Решение 2. В системе отсчета, связанной с первой частицей проекция относительной скорости второй частицы $v_0 = u_1 - u_2$, проекция ускорения $2a$. Расстояние, пройденное второй частицы в отрицательном направлении $s = (u_1 - u_2)^2/4a$.

1.2.7. Решение 1. Направим ось y вертикально вверх, начало координат поместим на поверхность Земли. Тогда y -координата камня

представляет собой функцию $y(t) = h - gt^2/2$. График этой функции изображен на рис. 1.2.8.

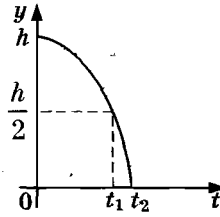


Рис. 1.2.7

Первое событие-камень на половине пути в некоторый момент времени $t = t_1$. Следовательно, y -координата камня $h/2$ равна значению функции $y(t_1)$:

$$y(t_1) = h/2, \rightarrow h - gt_1^2/2 = h/2. \quad (1)$$

Для второго события — камень на поверхности Земли в момент времени $t = t_1 + \tau$ y -координата камня равна нулю:

$$y(t_1 + \tau) = 0, \rightarrow h - g(t_1 + \tau)^2/2 = 0. \quad (2)$$

Система уравнений (1), (2) содержит две неизвестные величины h и t_1 . Найдем корни системы. Представляя (1), (2) в виде $t_1 = (h/g)^{1/2}$, $t_1 + \tau = (2h/g)^{1/2}$, находим $h = g\tau^2(1 + \sqrt{2})^2$.

Решение 2. Поместим начало координатной оси в точку бросания камня, положительное направление оси совпадает с направлением вектора \vec{g} . Тогда получим функцию $y(t) = gt^2/2$. Рассматривая те же события, получим

$$y(t_1) = h/2, \rightarrow gt_1^2/2 = h/2. \quad (3)$$

$$y(t_1 + \tau) = h, \rightarrow g(t_1 + \tau)^2/2 = h. \quad (4)$$

Очевидно система (1), (2) совпадает с системой (3), (4).

1.2.8. Направим ось y вертикально вниз, начало координат расположим на уровне карниза на высоте h . Тогда $y(t) = gt^2/2$. Для первого события $y(T) = h/2$, или $gT^2/2 = h/2$. Для второго события $y(T + \tau) = h$, или $g(T + \tau)^2/2 = h$.

1.2.9. Направим ось y вертикально вниз, начало координат расположим на уровне карниза на высоте h . Тогда $y(t) = gt^2/2$. Для первого события $y(T - \tau) = h/4$, или $g(T - \tau)^2/2 = h/4$, $\tau = 1$ с. Для второго события $y(T) = h$, или $gT^2/2 = h$.

1.2.10. $s = g(t_2^2 - t_1^2)/2$.

1.2.11. Начало координат оси y поместим на уровне крыши и направим ось вниз по вертикали. Тогда имеем две функции, представляющие собой координаты каплей $y_1(t) = gt^2/2$, $y_2(t) = g(t - t_0)^2/2$.

Расстояние между каплями в момент времени $t_1 = t_0 + T$ равно $s = gt_0T + gt_0^2/2$. Отметим, что в произвольный момент времени величина относительной скорости каплей $v_{\text{отн}} = gt_0$.

1.2.12. Направим ось y вертикально вверх, начало координат поместим на поверхность Земли. Для решения задачи достаточно использовать функцию $y(t) = v_0t - gt^2/2$, график которой изображен на рис. 1.2.12. В условии задачи выделены два события. Первое событие — камень находится на высоте h в момент времени t_1 :

$$y(t_1) = h \rightarrow v_0t_1 - gt_1^2/2 = h. \quad (1)$$

Второе событие — камень на высоте h в момент времени $t_1 + 2\tau$:

$$y(t_1 + 2\tau) = h \rightarrow v_0(t_1 + 2\tau) - g(t_1 + 2\tau)^2/2 = h. \quad (2)$$

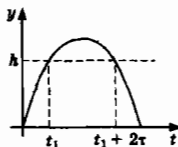


Рис. 1.2.12

Из системы (1), (2) находим $v_0 = [2gh + g^2\tau^2]^{1/2}$. Если переписать полученное соотношение в виде $v_0^2/2g = h + g\tau^2/2$, то оно имеет очевидный смысл: максимальная высота подъема $v_0^2/2g$ равна сумме высоты h и перемещения с максимальной высоты до уровня h в течение времени τ .

1.2.13. $h_{\text{max}} = v_0^2/2g$.

1.2.14. Максимальная высота подъема мяча $h = v_0^2/2g$, где v_0 — начальная скорость. Проекция скорости на числовую ось, направленную вертикально вверх $v(t) = v_0 - gt$; $v_1 = v_0 - gT$.

1.2.15. Направим ось y вертикально вверх. Тогда $y(t) = v_0t - gt^2/2$. Согласно условию $y(t_1) = y(t_2)$ получим уравнение,

$$v_0t_1 - gt_1^2/2 = v_0t_2 - gt_2^2/2,$$

из которого находим $v_0 = g(t_1 + t_2)/2$.

1.2.16. Направим ось y вертикально вверх, начало расположим на поверхности Земли. Проекция скорости и координата первого те-

ла $v_1(t) = v_0 - gt$, $y_1(t) = v_0 t - gt^2/2$. Тело достигнет максимальной высоты в момент времени $t_m = v_0/g$. В интервале $t \geq t_m$ функция $y_2(t)$ имеет вид $y_2(t) = v_0(t - t_m) - g(t - t_m)^2/2$.

В момент времени $t = T$ оба тела оказываются на одной высоте $h = y_1(T) = y_2(T)$:

$$h = v_0 T - gT^2/2 = v_0(T - t_m) - g(T - t_m)^2/2. \quad (1), (2)$$

Из системы (1), (2) находим $T = 3v_0/2g$, $h = 3v_0^2/8g$.

1.2.17. Направим ось y вертикально вверх, начало расположим на поверхности Земли. В интервале $0 \leq t \leq T$ скорость и координата $v_y(t) = at$, $y(t) = at^2/2$. В интервале $t \geq T$ функции $v_y(t)$ и $y(t)$ имеют вид

$$v_y(t) = v_0 - g(t - T), \quad y(t) = y_0 + v_0(t - T) - g(t - T)^2/2,$$

где $y_0 = aT^2/2$, $v_0 = aT$.

Ракета достигнет максимальной высоты в момент времени t_m , удовлетворяющий условиям

$$v_y(t_m) = 0 \rightarrow aT - g(t_m - T) = 0, \quad (1)$$

$$h = y(t_m), \rightarrow h = aT^2/2 + aT(t_m - T) - g(t_m - T)^2/2. \quad (2)$$

Из системы (1), (2) находим $h = aT^2(1 + a/g)/2$, $t_m = T(1 + a/g)$.

1.2.18. Путь, пройденный частицей $s = v_0^2/2\mu g$, где v_0 начальная скорость.

1.2.19. Стороны каркаса AD и BC параллельны. Введем ось z , направленную вертикально вверх с началом на поверхности земли. Тогда $z_D - z_A = z_C - z_B$, где $z_D = gT^2/2$, $z_A = gt_a^2/2$, $z_C = gt_c^2/2$, $z_B = gt_b^2/2$.

1.2.20. На рис. 1.2.20 изображена вертикальная плоскость сечения пирамиды, проходящая через точки M_1 , M_2 и K . В треугольнике $M_1 M_2 K$ угол $\alpha = \pi/6$.

Следовательно, высота пирамиды $KN = s/2$.

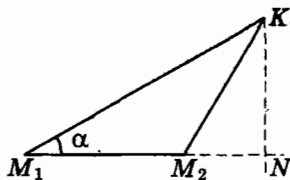


Рис. 1.2.20

1.2.21. Высота точки A равна $H = AB \sin \alpha$, $AB = L \sin \beta$ или $H = L \sin \gamma$, где γ — угол между AD и плоскостью. Соотношение $\sin \gamma = \sin \alpha \sin \beta$ представляет собой теорему о трех синусах.

1.2.22. Решение 1. Плоскость пересекает оси координат yz в точках $(y = 0, z = 5d/4)$ и $(y = 5d/3, z = 0)$. Следовательно, тангенс угла α между наклонной плоскостью и плоскостью $z = 0$ равен $3/4$. Высота падения $h = g\tau^2/2$, $s = h \cos \alpha$.

Решение 2. Представим уравнение плоскости в виде $\vec{n}\vec{r} = d$, где \vec{r} — радиус-вектор множества точек на плоскости, $\vec{n} = (0, \sin \alpha, \cos \alpha)$ — единичный вектор, перпендикулярный плоскости. Полагая $\vec{r}_0 = \vec{r} + \vec{ns}$, получим $s = \vec{n}\vec{r}_0 - d$, или $s = \sin \alpha y_1 + \cos \alpha (z_1 + h) - d = h \cos \alpha$.

1.2.23. Выберем ось y , направленную вертикально вверх, с началом на уровне бросания шариков. Время отсчитывает секундомер, запущенный в момент бросания первого шарика. Зависимость координат первого и второго шариков от времени имеет вид

$$y_1(t) = v_0 t - gt^2/2, \quad y_2(t) = v_0(t - t_0) - g(t - t_0)^2/2.$$

На рис. 1.2.23 показаны графики функций $y_1(t)$ и $y_2(t)$. В некоторый момент времени T оба шарика окажутся на одной высоте:

$$y_1(T) = y_2(T) \rightarrow v_0 T - gT^2/2 = v_0(T - t_0) - g(T - t_0)^2/2.$$

Из этого уравнения находим $T = v_0/g + t_0/2$, $T = 0,66$ с.

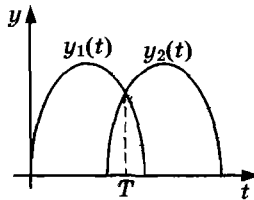


Рис. 1.2.23

1.2.24. Выберем положительное направление оси y по вертикали вверх. Тогда координата и проекция скорости первого шарика $y_1(t) = v_0 t - gt^2/2$, $v_1(t) = v_0 - gt$. При $t = \tau$ имеем $v_1(\tau) = 0$, или $\tau = v_0/g$. максимальная высота подъема $h_m = y_1(\tau) = v_0^2/2g$. Для второго шарика $y_2(t) = v_0(t - \tau) - g(t - \tau)^2/2$. Из уравнений $y_1(T) = y_2(T) = h$ находим $T = v_0/2g$, $y_1(T) = 3v_0^2/8g = 3h_m/4$.

1.2.25. Направим ось y вертикально вверх, с началом на уровне бросания шарика. Координаты шариков:

$$y_1(t) = v_0 t - gt^2/2,$$

$$y_2(t) = v_0(t - t_0) - g(t - t_0)^2/2,$$

$$y_3(t) = v_0(t - 2t_0) - g(t - 2t_0)^2/2.$$

Согласно условию $y_1(T) = y_3(T)$ получим уравнение, из которого находим $T - t_0 = v_0/g$. Искомая высота $h = y_2(T)$, $h = v_0^2/2g$.

1.2.26. Направим ось y вертикально вверх, с началом на уровне бросания шарика. В момент времени $t = 0$ брошен первый мяч. Координаты шарика с номером n :

$$y_n(t) = v_0 [t - (n-1)T] - g[t - (n-1)T]^2/2.$$

Если изобразить графики функций $y_n(t)$, $n = 1, 2, 3, 4$, то очевидно, что максимальная высота подъема $H = g(2T)^2/2$, $b = gT^2/2$.

1.2.27. Выберем начало координат в точке опоры теннисиста, ось x направим в горизонтальной плоскости. Координаты мяча $x(t) = vt$, $y(t) = H - gt^2/2$. Рассмотрим полет по траектории, касающейся сетки.

Если начальная скорость мяча $v = v_1$, то в момент касания $t = t_1$ имеем $y(t_1) = h$, $x(t_1) = s/2$ или $H - gt_1^2/2 = h$, $vt_1 = s/2$. Следовательно, $v_1 = (s/2)[g/2(H-h)]^{1/2}$. В момент времени $t = T$ мяч упадет на корт: $y(T) = 0$, $x(T) = D_1 \rightarrow D_1 = (s/2)[H/(H-h)]^{1/2}$, $b = D_1 - s/2$.

Если начальная скорость мяча $v = v_2$, то в момент $t = t_2$ имеем $y(t_2) = 0$, $x(t_2) = s$ или $H - gt_2^2/2 = 0$, $vt_2 = s \rightarrow v_2 = s[g/2H]^{1/2}$. Следовательно, $v_1 \leq v_0 \leq v_2$.

1.2.28. Выберем начало координат в точке бросания камня, α — угол между вектором \vec{v}_0 и осью x (рис. 1.2.28 а). Проекции начальной скорости $v_{0x} = v_0 \cos \alpha$, $v_{0y} = v_0 \sin \alpha$. Проекции скорости и координат представляют собой четыре функции

$$x(t) = v_0 \cos \alpha t, \quad y(t) = v_0 \sin \alpha t - gt^2/2. \quad (1)$$

$$v_x(t) = v_0 \cos \alpha, \quad v_y(t) = v_0 \sin \alpha - gt, \quad (2)$$

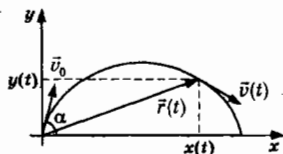


Рис. 1.2.28а

Рассмотрим первое событие — камень в высшей точке траектории в момент времени t_1 . В этой точке проекция скорости на вертикаль — ось y — равна нулю. Величина H равна значению функции $y(t_1)$. Из (1), (2) получаем

$$v_y(t_1) = 0 \rightarrow v_0 \sin \alpha - gt_1 = 0, \quad (3)$$

$$H = y(t_1) \rightarrow v_0 \sin \alpha t_1 - gt_1^2/2 = H. \quad (4)$$

Из системы уравнений (3), (4) находим

$$t_1 = v_0 \sin \alpha / g, H = v_0^2 \sin^2 \alpha / 2g.$$

Найдем теперь дальность полета D . Эта величина связана со вторым событием — падением камня на Землю в момент времени t_2 : $D = x(t_2), y(t_2) = 0$. Учитывая (1), получим

$$y(t_2) = 0 \rightarrow v_0 \sin \alpha t_2 - gt_2^2 / 2 = 0. \quad (5)$$

$$D = x(t_2) \rightarrow v_0 \cos \alpha t_2 = D. \quad (6)$$

Решение этой системы $t_2 = 2v_0 \sin \alpha / g, D = v_0^2 \sin 2\alpha / g$.

Отметим, что $t_2 = 2t_1$, т.е. время подъема равно времени спуска.

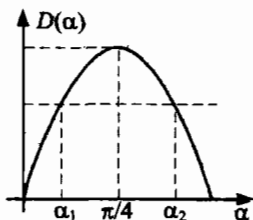


Рис. 1.2.28б

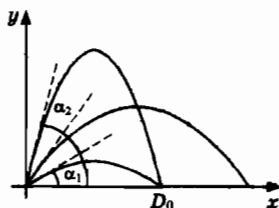


Рис. 1.2.28в

Зависимость дальности от угла α изображена на рис. 1.2.28 б. Как видно, при заданной величине начальной скорости дальность принимает значения в интервале $0 \leq D \leq D_m, D_m = v_0^2 / g$. Дальность полета достигает максимального значения при $\alpha = \alpha_m, \alpha_m = \pi/4$. Максимальная высота подъема $H_m = D_m / 4$. Значениям двух углов, со сторонами, смещенными симметрично относительно угла $\alpha_m = \pi/4$ на угол θ , соответствуют две различные траектории с одинаковой дальностью полета D_0 : значению $\alpha_1 = \pi/4 - \theta$ — настильная траектория, значению $\alpha_2 = \pi/4 + \theta$ — навесная траектория (рис. 1.2.28в).

Очевидно $\alpha_1 + \alpha_2 = \pi/2$.

1.2.30. Дальность и максимальная высота подъема снаряда $D(\alpha) = v_0^2 \sin 2\alpha / g, H(\alpha) = v_0^2 \sin^2 \alpha / 2g$. Дальность одна и та же при значениях $\alpha_{2,1} = \pi/4 \pm \beta$ или $\alpha_1 = \pi/2 - \alpha_2$. Согласно условию $D(\alpha_2) = H(\alpha_2)$ или $1 = 4 \operatorname{ctg} \alpha_2$.

Следовательно, $H(\alpha_1) = H(\alpha_2) \operatorname{ctg}^2 \alpha_2 = H_m / 16$.

1.2.31. Направим ось y вертикально вверх. Тогда $y(t) = ut - gt^2/2, v_y(t) = u - gt$, где $u = v_0 \sin \alpha$. При $t = \tau$ имеем уравнение $0 = u - g\tau/2$. Максимальная высота подъема мяча

$$H_m = y(\tau/2) = u\tau/2 - g\tau^2/8 = g\tau^2/8.$$

1.2.32. Расположим начало координат и положение осей xy , как показано на рис. 1.2.32а. Начальное положение ядра задается вектором $\vec{r}_0 = (0, H, 0)$. Координаты ядра в момент времени t определяются функциями $x(t) = v_0 \cos \alpha t$, $y(t) = H + v_0 \sin \alpha t - gt^2/2$.

Пусть $t = T$ — момент падения ядра на землю: тогда $y(T) = 0$, дальность $D = x(T)$. Учитывая явный вид функций $x(t)$ и $y(t)$, получим систему

$$H + v_0 \sin \alpha T - gT^2/2 = 0, \quad (1)$$

$$v_0 \cos \alpha T = D, \quad (2)$$

из которой находим

$$D(\alpha) = \frac{v_0 \cos \alpha}{g} \left(v_0 \sin \alpha + \sqrt{v_0^2 \sin^2 \alpha + 2gH} \right) \quad (3)$$

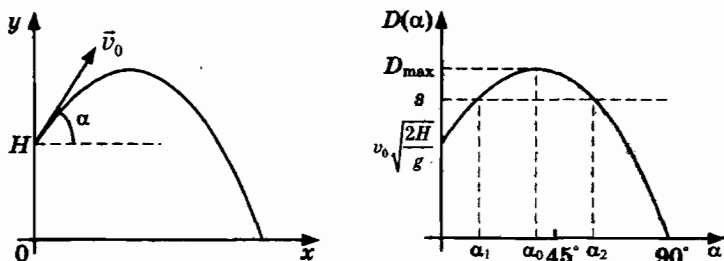


Рис. 1.2.32а

Необходимо найти значение $\alpha = \alpha_0$, при котором функция $D(\alpha)$ достигает максимума. Для этого надо решить уравнение $dD/d\alpha = 0$, где $dD/d\alpha$ — производная функции $D(\alpha)$.

Проще, однако, воспользоваться следующим приемом. Изобразим примерный вид графика функции $D(\alpha)$ (рис. 1.2.32б) и найдем значения углов α_1 и α_2 , при которых дальность равна s .

Полагая в (3) $D = s$ и учитывая, что $\cos^{-2} \alpha = 1 + \operatorname{tg}^2 \alpha$, получим уравнение

$$\operatorname{tg}^2 \alpha - \frac{2v_0^2}{gs} \operatorname{tg} \alpha + 1 - \frac{2v_0^2 H}{gs^2} = 0 \quad (4)$$

корни которого

$$\operatorname{tg}^2 \alpha_{1,2} = \frac{v_0^2}{gs} \left(1 \pm \sqrt{1 - \left(\frac{gs}{v_0^2} \right)^2 + \frac{2gH}{v_0^2}} \right) \quad (5)$$

При $s = D_{\max}$ уравнение (4) должно иметь один корень, определяющий значение искомого α_0 . Следовательно,

$$1 - (gD_{\max}/v_0^2)^2 + (2gH/v_0^2) = 0, \quad (6)$$

$$\operatorname{tg}\alpha_0 = v_0^2/gD_{\max}. \quad (7)$$

Из (6), (7) находим

$$D_{\max} = \frac{v_0}{g} \sqrt{v_0^2 + 2gH}, \quad (8)$$

$$\operatorname{tg}\alpha_0 = \frac{v_0}{\sqrt{v_0^2 + 2gH}}. \quad (9)$$

На основе формул (8) и (9) можно давать вполне обоснованные тренерские указания спортсмену. Для достижения максимальной дальности точка бросания ядра должна быть расположена как можно выше, угол бросания определяется формулой (9). Подставляя числовые данные, находим $\alpha_0 = 41^\circ$, $D_{\max} = 16,57$ м.

Мировой рекорд — 23,12 м (1990 г.).

Используем формулу (3) для анализа прыжков в длину с разбега. В качестве горизонтальной составляющей начальной скорости возьмем максимальную скорость спринтера: $v_0 \cos \alpha = 10,5$ м/с. Вертикальную составляющую скорости найдем исходя из того, что, прыгая с места вертикально, человек поднимает центр тяжести на высоту 0,6 м: $v_0 \sin \alpha = 4,85$ м/с. Следовательно, $\operatorname{tg} \alpha = 0,46$, $\alpha = 25^\circ$. Величина $H = 0,6$ м равна расстоянию по вертикали между положениями центра тяжести на старте и при приземлении.

В 1968 г. Боб Бимон прыгнул на 8,9 м, «как получилось», вопреки канонам техники. Его рекорд был перекрыт Майклом Пауэлом в 1991 г. — 8,95 м.

1.2.34. Выберем координатные оси так, чтобы в момент бросания бомбы $t = 0$ цел находилась на расстоянии s от начала координат, а самолет на высоте H (рис. 1.2.34).

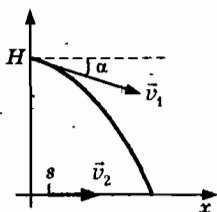


Рис. 1.2.34

Начальная скорость бомбы совпадает со скоростью самолета $v_1(0) = (v_1 \cos \alpha, -v_1 \sin \alpha, 0)$, начальное положение $\vec{r}_1(0) = (0, H, 0)$. Согласно (1.6.1) запишем две функции

$$\begin{aligned}x_1(t) &= v_1 \cos \alpha t, \\y_1(t) &= H - v_1 \sin \alpha t - gt^2/2.\end{aligned}$$

Координаты цели в выбранной системе координат

$$x_2(t) = s + v_2 t, y_2(t) = 0.$$

В момент поражения цели $t = T$ координаты цели и бомбы совпадают:

$$x_1(T) = x_2(T) \rightarrow v_1 \cos \alpha T = s + v_2 T, \quad (1)$$

$$y_1(T) = y_2(T) \rightarrow H - v_1 \sin \alpha T - gT^2/2 = 0. \quad (2)$$

Разрешая систему (1), (2), находим

$$s = (v_1 \cos \alpha - v_2) [(v_1^2 \sin^2 \alpha + 2gH)^{1/2} - v_1 \sin \alpha] / g.$$

1.2.35. $\vec{v}_1(t) = \vec{v}_{10} + \vec{g}t$, $\vec{v}_2(t) = \vec{v}_{20} + \vec{g}t$. Из условия задачи $\vec{v}_1 \vec{v}_2 = 0$ в момент времени $t = T$.

1.2.36. Расположим начало координатной системы xy в точке O , ось x — по горизонтали, ось y направим вертикально вверх.

Начальная скорость ядра $\vec{v}_1(0) = (v_0 \cos \alpha, v_0 \sin \alpha, 0)$, начальное положение $\vec{r}_1(0) = (0, 0, 0)$.

Координаты ядра: $x_1(t) = v_0 \cos \alpha t$, $y_1(t) = v_0 \sin \alpha t - gt^2/2$.

Пусть начальное положение цели задано вектором $\vec{r}_2(0) = (s, h, 0)$ (рис. 1.2.36). Закон движения цели в выбранной системе координат $x_2(t) = s$, $y_2(t) = h - gt^2/2$.

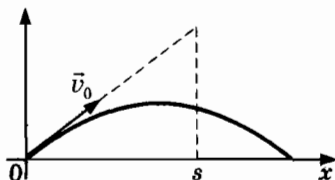


Рис. 1.2.36

В момент попадания ядра в цель $t = T$ координаты ядра и цели совпадают:

$$x_1(T) = x_2(T), \rightarrow v_0 \cos \alpha T = s, \quad (1)$$

$$y_1(T) = y_2(T), \rightarrow v_0 \sin \alpha T - gT^2/2 = h - gT^2/2. \quad (2)$$

Разрешая систему (1), (2), находим $\tan \alpha = h/s$.

Найдем теперь возможные ограничения на величины s и h . Очевидно $s \leq v_0^2 \sin 2\alpha / g$, или $s^2 \leq \frac{2v_0^2 h}{g}$.

1.2.37. Расположим начало координатной системы xy в точке первого столкновения шарика с наклонной плоскостью. Ось x направим по горизонтали, ось y — по вертикали вверх.

Начальная скорость шарика $\vec{v}_0 = (v_0 \sin 2\alpha, v_0 \cos 2\alpha, 0)$, начальное положение $\vec{r}(0) = (0, 0, 0)$.

Координаты шарика: $x(t) = v_0 \sin 2\alpha t$, $y(t) = v_0 \cos 2\alpha t - gt^2/2$.

В точке второго столкновения с плоскостью в момент времени T значения координат: $x(T) = s \cos \alpha$, $y(T) = -s \sin \alpha$.

Следовательно, имеем систему уравнений

$$\begin{aligned} v_0 \sin 2\alpha T &= s \cos \alpha, \\ v_0 \cos 2\alpha T - gT^2/2 &= -s \sin \alpha, \end{aligned}$$

из которой находим $s = 8h \sin \alpha$.

1.2.38. Расположим начало координат в точке O . Частица отскакивает от плоскости в точках A_1, A_2, \dots .

В точке A_1 величина вертикальной компоненты скорости до отскока $v = \sqrt{2gh}$: Расстояние от точки O до точки A_1 равно $s_1 = v_0 T$, $T = \sqrt{2h/g}$. Расстояние между точками A_1 и A_2 равно $s_2 = 2v_0 t_2$, $kv_1 = gt_2$, $v_1 = (2gh)^{1/2} \rightarrow s_2 = 2kv_0 T$.

Искомое расстояние $s = s_1 + s_2 + \dots = v_0 T(1 + 2k + 2k^2 + \dots)$.

1.3. Относительное движение

1.3.1. В случае А перемещение второй частицы относительно первой $x_{21}(t) = x_2 - x_1$, $x_{21}(t) = s + 7vt$. Проекция на ось x относительной скорости второй частицы $v_{21} = 7v$.

1.3.2. Щетка по отношению к воде находится покое. Гребец работает веслами так же, как в неподвижной воде.

1.3.3. Очевидно, скорость течения реки $u = s/T$, где T — время, за которое шляпа проплыла путь s . Величину T проще всего найти, рассматривая движение в системе отсчета, связанной с водой. В этой системе вода неподвижна, а гребец в течение времени τ плыл от шляпы подплывал к ней с одной и той же скоростью.

Следовательно, $s = uT$, $T = 2\tau$, $u = s/2\tau$.

1.3.5. Введем ось x , направленную параллельно скорости теплохода u . Скорость пассажира относительно теплохода $-v_0$. Координата кормы теплохода в системе координат, связанной с берегом $x_n(t) = ut$. Пусть T — интервал времени, в течение которого пассажир проходит палубу в одном направлении. В моменты времени $t = 2T, 4T, \dots$ пассажир возвращается к корме — координаты пассажира $x_n(t)$ равны $2uT, 4uT, \dots$. Очевидно координата пассажира $x_n(T) = (u + v_0)T$, $x_n(3T) = 2uT + (u + v_0)T, \dots$ (рис. 1.3.5).

Согласно условию $x_n(T) = x_n(4T)$ или $(u + v_0)T = 4uT$.

Следовательно, $v_0 = 3u$.

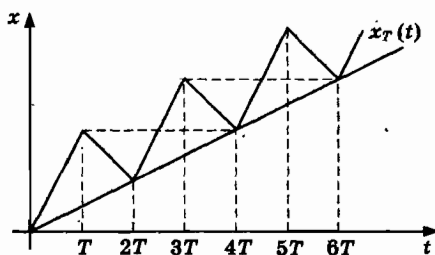


Рис. 1.3.5

1.3.6. В задаче идет речь об определении скорости ветра в двух системах отсчета: неподвижной системе, связанной с Землей, и системе, движущейся на запад со скоростью u . В неподвижной системе отсчета вектор скорости ветра известен и равен \vec{v} . Из соотношения, связывающего скорости ветра в неподвижной и движущейся системах, находим вектор скорости ветра \vec{v}' относительно корабля (рис 1.3.6):

$$\vec{v}' = \vec{v} - \vec{u}. \quad (1)$$

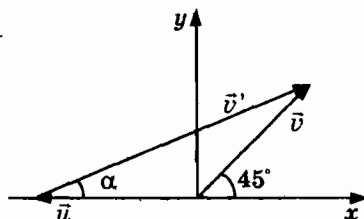


Рис. 1.3.6

Соотношение (1) представляет два независимых уравнения, являющихся проекциями (1) на оси x и y прямоугольной системы ко-

ординат. Пусть α – угол между вектором \vec{v}' и осью x на рис. 1.3.5. Тогда из (1) получим систему уравнений

$$v' \cos \alpha = \frac{1}{\sqrt{2}} v + u,$$

$$v' \sin \alpha = \frac{1}{\sqrt{2}} v.$$

Последнее соотношение можно получить непосредственно, применяя теорему косинусов к треугольнику, образованному векторами $\vec{v}, \vec{u}, \vec{v}'$. Подставляя числовые данные находим $\alpha = 15^\circ, v' = 13,5$ м/с.

$$1.3.7. u = \sqrt{v'^2 + v^2}.$$

1.3.8. Обозначим \vec{v}_{pk} скорость частицы p относительно частицы k .

Обозначая буквами O, A, C, B соответственно океан, авианосец, самолет и движущийся воздух ветра, получим

$$\vec{v}_{CB} = \vec{v}_{CA} + \vec{v}_{AO} + \vec{v}_{OB} = \vec{v}_{CA} + \vec{v}_{AO} - \vec{v}_{BO}.$$

$$\text{Величина искомой скорости } v = \sqrt{v_1^2 + v_2^2 + v_3^2}.$$

1.3.9. После упругого столкновения мяча с бутсой его скорость изменится по направлению, оставаясь по величине неизменной. Это утверждение справедливо только в системе отсчета, относительно которой бутса неподвижна. Поэтому для решения задачи необходимо рассмотреть процесс, соударения в системе отсчета, связанной с бутсой и движущейся со скоростью \vec{u} относительно Земли. В этой системе мяч налетает на бутсу со скоростью $-\vec{u}$, а после удара скорость мяча становится равной \vec{u} . Таким образом, после удара мяч летит со скоростью \vec{u} относительно бутсы, а бутса движется со скоростью, \vec{u} относительно Земли. Тем самым скорость мяча после удара относительно Земли равна $2\vec{u}$. т.е. по определению равна сумме скорости движущейся системы и скорости тела относительно движущейся системы.

Приведем общее решение задачи на определение скорости частицы после упругого столкновения с движущейся плоскостью. Пусть частица движется перпендикулярно плоскости со скоростью \vec{v}_{in} .

$$\text{В системе покоя плоскости ее скорость } \vec{v}'_{in} = \vec{v}_{in} - \vec{u}.$$

После столкновения скорость частицы стала равной

$$\vec{v}'_{out} = -\vec{v}'_{in} = \vec{u} - \vec{v}_{in}.$$

Переходя в исходную систему отсчета, найдем скорость частицы после столкновения $\vec{v}_{out} = \vec{u} + \vec{v}'_{out} = 2\vec{u} - \vec{v}_{in}$.

1.3.10. Для того чтобы вся кинетическая энергия струи пара перешла в энергию вращения турбины, скорость струи пара после отражения от лопатки должна равняться нулю. Предположим, что столкновение струи с лопаткой является упругим процессом. Полагая в полученном выше решении задачи 1.3.9 $\vec{v}_{out} = 0$, находим $u = v/2$. Это соотношение выполняется в рабочем режиме турбины.

1.3.11. Скорость частицы в неподвижной системе отсчета \vec{v} и скорость частицы \vec{v}' в системе отсчета, движущейся со скоростью \vec{u} связаны соотношением $\vec{v} = \vec{u} + \vec{v}'$. Направим ось z по вертикали вверх. Тогда до отскока имеем уравнение $-v_0 = u + v'_1$. После отскока скорость шарика в системе покоя плиты $v'_{22} = -v'_1 = u + v_0$.

Скорость шарика в неподвижной системе $v_{22} = u + v'_{22}$.

1.3.13. Скорость перемещения оси колеса u . Введем систему отсчета K' , движущуюся поступательно вместе с осью колеса. В этой системе скорости \vec{v}' точек обода направлены по касательной к ободу и одинаковы по величине.

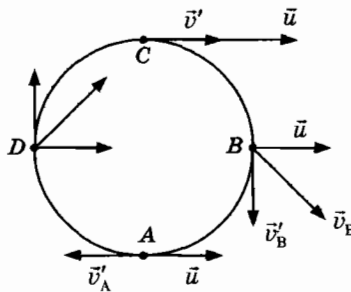


Рис. 1.3.136

Скорость любой точки колеса относительно Земли является векторной суммой скорости \vec{u} и скорости \vec{v}' : $\vec{v} = \vec{u} + \vec{v}'$. Направление \vec{v}' в каждой точке обода известно. Определим величину скорости \vec{v}' . Для этого рассмотрим точку A. Так как колесо движется без проскальзывания, то в любой момент времени точка касания колеса с поверхностью неподвижна относительно этой поверхности, т.е. скорость точки A в системе отсчета K равна нулю. Проецируя векторное равенство $\vec{v} = \vec{u} + \vec{v}'$ на горизонтальное направление, находим $v_A = 0$, $0 = u - v'$.

Таким образом, $v' = u$. Теперь нетрудно найти скорость точки B относительно Земли (рис. 1.3.13б) $\vec{v}_B = \vec{u} + \vec{v}'_B$, $v_B = \sqrt{2}u$; точки C : $\vec{v}_C = \vec{u} + \vec{v}'_C$, $v_C = 2u$; и скорость точки D : $\vec{v}_D = \vec{u} + \vec{v}'_D$, $v_D = \sqrt{2}u$.

1.3.14. Имеем уравнение $\vec{v} = \vec{u} + \vec{v}'$. Возводя в квадрат, получим $v^2 = u^2 + 2\vec{u}\vec{v}' + v'^2$ или $\cos \beta = -1/2$. Следовательно, $\alpha_1 = \pi/6$, $\alpha_2 = 5\pi/6$ (рис. 1.3.14).

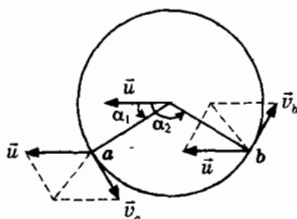


Рис. 1.3.14

1.3.15. Эту задачу следует рассмотреть в системе отсчета, движущейся со скоростью u .

На рис. 1.3.15 изображена система координат K' , в которой начальное положение камешка, оторвавшегося от покрышки

$$\vec{r} = (-R\cos\alpha, R\sin\alpha, 0),$$

начальная скорость

$$\vec{v}_0 = (u \sin \alpha, u \cos \alpha, 0).$$

В этой системе координат

$$x(t) = -R\cos\alpha + u\sin\alpha t, \quad (1)$$

$$y(t) = R\sin\alpha + u\cos\alpha t - \frac{1}{2}gt^2, \quad (2)$$

$$v_x(t) = u\sin\alpha, \quad (3)$$

$$v_y(t) = u\cos\alpha - gt. \quad (4)$$

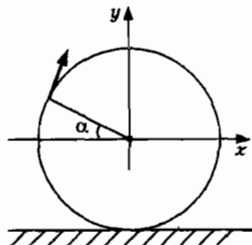


Рис. 1.3.15

Отметим, что в неподвижной системе отсчета скорость камешка направлена по касательной к траектории точки отрыва – циклоиде.

Пусть t_m – время подъема камешка до наивысшей точки траектории. В этот момент времени $v_y(t_m) = 0$. Учитывая (4), получим уравнение $u \cos \alpha - gt_m = 0$, из которого находим $t_m = u \cos \alpha / g$. Высоту подъема камешка найдем из (2): $h = y(t_m)$, $h = R \sin \alpha + \frac{u^2}{2g} \cos^2 \alpha$.

Теперь наша задача – найти максимальное значение функции $h(\alpha)$: $h_m = h(\alpha_m)$. Для этого можно найти решение уравнения $dh(\alpha)/d\alpha = 0$ или выделить полный квадрат

$$h(\alpha) = \frac{u^2}{2g} + \frac{gR^2}{2u^2} - \frac{u^2}{2g} \left(\sin \alpha - \frac{gR}{u^2} \right)^2. \quad (5)$$

Из (5) находим $\sin \alpha_m = \frac{gR}{u^2}$, $h_m = \frac{u^2}{2g} + \frac{gR^2}{2u^2}$, при значении $u \geq \sqrt{gR}$.

Из неравенств $x + 1/x \geq 2$, $x > 0$ следует, что $h_m \geq R$. Максимальная высота подъема $H_m = h_m + R$.

1.4. Законы Ньютона

1.4.1. В первом случае на тело действуют сила тяжести $m\vec{g}$ и сила реакции опоры \vec{N} . Согласно второму закону Ньютона

$$m \cdot \vec{0} = m\vec{g} + \vec{N}.$$

Следовательно, сила реакции $\vec{N} = -m\vec{g}$, ее величина $N = mg$.

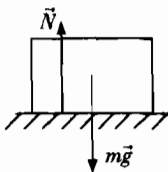


Рис. 1.4.1 а

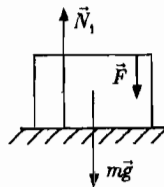


Рис. 1.4.1 б

Если к кубику приложить силу \vec{F} , то в этом случае на кубик действуют три силы: сила \vec{F} , сила реакции опоры \vec{N}_1 , и сила тяжести $m\vec{g}$.

Из второго закона Ньютона $m \cdot \vec{0} = m\vec{g} + \vec{N}_1 + \vec{F}$ находим $\vec{N}_1 = m\vec{g} - \vec{F}$.

Величина силы реакции $N_1 = mg + F$ возросла. Этот простой пример показывает, что силы не «передаются», вопреки широко распространенному заблуждению. Точка приложения силы \vec{F} фиксирована на верхней грани кубика. Сила реакции заранее неизвестна и найдена в результате решения уравнений, следующих из второго закона Ньютона.

1.4.2. На первое тело действует сила, сила притяжения m_1 , сила реакции \vec{N}_1 со стороны плоскости и сила реакции \vec{T}_1 со стороны второго тела. На второе тело — сила притяжения m_2 , сила реакции \vec{N}_2 со стороны плоскости и сила реакции $\vec{T}_2 = -\vec{T}_1$ со стороны первого тела, (рис. 1.4.2). Поскольку ускорения тел одинаковы, то второй закон Ньютона можно записать в виде

$$m_1 \vec{a} = \vec{F} + m_1 \vec{g} + \vec{N}_1 + \vec{T}_1. \quad (1)$$

$$m_2 \vec{a} = \vec{T}_2 + m_2 \vec{g} + \vec{N}_2. \quad (2)$$

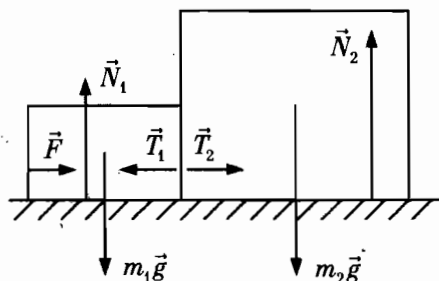


Рис. 1.4.2

Выбирая положительное направление осей x, y декартовых координат по направлению скорости и вертикально вверх, из (1), (2) получим в проекциях на оси четыре уравнения

$$m_1 a = F - T, \quad m_1 \cdot 0 = N_1 - m_1 g,$$

$$m_2 a = T, \quad m_2 \cdot 0 = N_2 - m_2 g.$$

$$\text{Следовательно, } N_1 = m_1 g, N_2 = m_2 g, T = \frac{m_2}{m_1 + m_2} F.$$

Сделаем два замечания: 1. Силы реакции заранее не известны, они найдены в результате решения системы четырех уравнений (1), (2).

2. Сила \vec{F} не «передается» телу m_2 .

1.4.3. Из второго закона Ньютона для всей системы имеем уравнение $4ma = F$, для четвертого кирпича $ma = F_{43}$, F_{43} — проекция силы, действующей со стороны третьего кирпича на четвертый.

1.4.4. Найдем вначале максимальное значение силы натяжения шнура T_0 . На рис. 1.4.4 изображены силы, действующие на оба тела системы. В горизонтальном направлении на первое тело действуют сила \vec{F}_1 и сила натяжения шнура \vec{T}_1 , на второе тело — сила натяжения шнура \vec{T}_2 . Так как массу шнура можно положить равной нулю, то величины сил натяжения T_1 и T_2 одинаковы. Действительно, для шнура массой m уравнение движения имеет вид

$$m\vec{a} = \vec{T}'_1 + \vec{T}'_2 + \vec{N} + m\vec{g},$$

где $\vec{T}'_2 = -\vec{T}_2$, $\vec{T}'_1 = -\vec{T}_1$ — силы, действующие на шнур со стороны второго и первого тел. Из этого уравнения следует, что при $m \neq 0$, $T_1 \neq T_2$. Поскольку $m = 0$, $\vec{a} \neq 0$, то $T_1 = T_2 = T$.

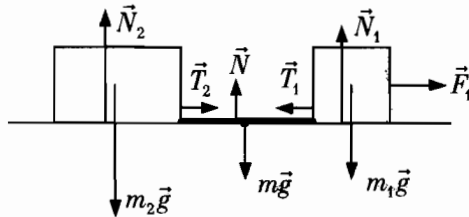


Рис. 1.4.4

В проекции на горизонтальное направление уравнения движения первого и второго тел имеют вид $m_1a = F_1 - T$, $m_2a = T$.

Из этой системы уравнений находим $T = m_2F_1/(m_1 + m_2)$. При $F_1 = 200$ Н сила натяжения достигает предельно допустимого значения $T_0 = 120$ Н.

Если теперь сила \vec{F}_2 приложена ко второму телу, то оба тела движутся с ускорением \vec{a}' .

Из уравнений движения $m_2a' = F_2 - T_0$, $m_1a' = T_0$, получим значение силы F_2 , при котором шнур разорвется

$$F_2 = (m_1 + m_2)a' = (m_1 + m_2)T_0/m_1 = m_2F_1/m_1.$$

1.4.5. Пружина прикреплена к обойме динамометра массой M и к крюку массой m . Массой пружины пренебрегаем. Со стороны пружины

жины на обойму и крюк действуют силы \vec{T}_2 и \vec{T}_1 , равные по величине T (рис. 1.4.5). Значение T определяет показания динамометра. Согласно второму закону Ньютона $Ma = T - F_2$, $ma = F_1 - T$.



Рис. 1.4.5

Следовательно, ускорение динамометра $a = \frac{F_1 - F_2}{M + m}$.

Динамометр будет показывать значение

$$T = \frac{MF_1 + mF_2}{M + m}. \quad (1)$$

Рассмотрим некоторые частные случаи:

1. $m = 0$. Из (1) находим $T = F_1 = 8$ Н. В этом случае сумма сил, действующих на крюк массой $m = 0$, равна нулю.

2. $M = m$. Из (1) следует значение $T = (F_1 + F_2)/2 = 6,5$ Н. На обойму и крюк действуют одинаковые силы величиной 1,5 Н, сообщающая одинаковое ускорение.

3. $F_1 = F_2 = F_0$. Эта ситуация соответствует динамометру, прикрепленному к неподвижному или равномерно движущемуся телу. В этом случае $T = F_0$.

1.4.6. Начало координат оси x поместим в точку закрепления пружины и направим ось вертикально вниз.

В начальный момент времени $x(0) = l_0$, где l_0 — длина пружины в ненапряженном состоянии.

На груз действуют сила упругости, сила притяжения Земли и сила реакции.

Из второго закона Ньютона получим уравнение

$$ma = mg - k(x - l_0) - N.$$

Поскольку груз движется с постоянным ускорением, то

$$x(t) = l_0 + at^2/2.$$

Следовательно, $N(t) = m(g - a) - kat^2/2$.

В момент времени t_1 груз отрывается от подставки: $N(t_1) = 0$. Из этого уравнения находим $t_1 = [2m(g - a)/ka]^{1/2}$.

1.4.7. Направим числовую ось вертикально вверх. Пусть T — максимальная сила натяжения веревки. Из второго закона Ньютона получим систему

$$0 = T - m_1 g, \quad m_2 a = T - m_2 g.$$

Следовательно, ускорение $a = (m_1/m_2 - 1)g$.

Высота подъема $H = (m_1/m_2 - 1)gt^2/2$.

1.4.8. В обоих случаях вектор ускорения направлен вертикально вверх. Благодаря гравитационному взаимодействию на все тела действует сила притяжения Земли $m\vec{g}$. Не следует путать эту силу с силой веса. Как известно, *весом тела* называют силу, которая в системе покоя растягивает пружину; если к ней подвесить тело. Можно также определить вес тела как силу \vec{N}' , с которой тело давит на подставку. Следовательно, вес тела является силой, приложенной к подставке, а не к телу.

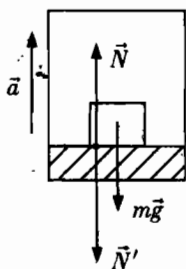


Рис. 1.4.8 а,

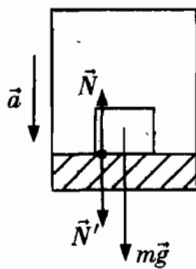


Рис. 1.4.8 б

Какие же силы действуют на тело в спускаемом аппарате? Таких сил две — сила тяжести $m\vec{g}$ и сила реакций \vec{N} (рис. 1.4.8а). Согласно третьему закону Ньютона сила веса $\vec{N}' = -\vec{N}$ приложена к плоскости опоры. Согласно (1.7.1) $m\vec{a} = m\vec{g} + \vec{N}$. Отсюда следует $ma = N - mg$. Поскольку $N' = N$, то сила веса космонавта $N' = m(a + g)$. Эта сила превосходит нормальный вес космонавта на величину ma . Выражение для веса можно записать в виде $N' = mg_{\text{эфф}}$, где эффективное ускорение $g_{\text{эфф}} = g + a$. Человек может выдержать перегрузку $g_{\text{эфф}} = (10 \div 12)g$. В реальных условиях влияние перегрузок на организм человека зависит от того, под каким углом к горизонту движется спускаемый аппарат. При ускорении, равном $4g$, в направлении «голова-ноги» передвижение космонавта невозможно.

Значительные перегрузки испытывает пилот при посадке самолета на авианосец. Например, длина взлетной полосы авианосца «Теодор Рузвельт» (CVN-71) — 330 м. Натянутый канат может остановить самолет с начальной скоростью 240 км/ч за 2 секунды — тормозное ускорение 3,4g. Самолет «выстреливается» с палубы катапульты: за те же 2 с она разгоняет 32-тонный аппарат до взлетной скорости 240 км/ч.

1.4.9. Из уравнения $m\vec{a} = m\vec{g} + \vec{N}$ находим вес тела $N^* = m(g - a)$. Если тело вместе с кабиной находится в состоянии свободного падения ($\vec{a} = \vec{g}$), то вес тела равен нулю. Следовательно, для создания невесомости нет нужды выходить в космическое пространство за пределы сферы тяготения — тела почти невесомы, например в самолете, который движется в атмосфере с выключенным двигателем в поле тяготения Земли по траектории, близкой к параболе.

1.4.10. Перечислим силы, действующие на груз: $m_2\vec{g}$ — сила тяжести, \vec{N}_2 , \vec{T} — силы реакции со стороны дна и стенки (рис. 1.4.10). На стенку действует сила $\vec{T}' = -\vec{T}$.

Из второго закона Ньютона $m_2\vec{a}_2 = m_2\vec{g} + \vec{N}_2 + \vec{T}$ в проекции на ось x получим уравнение

$$m_2 a_{2x} = m_2 g \sin \alpha - T. \quad (1)$$

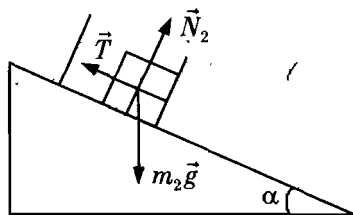


Рис. 1.4.10

Коробка и груз как целое движутся с одинаковыми ускорениями $a_{2x} = a_{1x} = a$, $a = g \sin \alpha$. Подставляя это значение a в (1), находим $T = 0$. Груз касается стенки, но не деформирует стенку.

1.4.11. На тело действуют сила тяжести и сила реакции, численно равная весу тела. Очевидно ускорение лифта направлено по вертикали вверх.

Из второго закона Ньютона получим уравнение $ma = P - mg$.

1.4.12. На тело действуют сила тяжести и сила реакции, численно равная весу тела. Очевидно, ускорение лифта направлено по вертикали вниз. Из второго закона Ньютона получим уравнение $ma = mg - P$.

1.4.13. Очевидно тело лежит на потолке «лифта». Из второго закона Ньютона получим уравнение $ma = P + mg$.

1.4.14. На тело действуют сила тяжести $m\vec{g}$ и сила реакции \vec{N} со стороны клина. На клин действуют сила тяжести $M\vec{g}$, сила давления со стороны тела — \vec{N} , сила реакции со стороны горизонтальной плоскости \vec{R} и сила реакции стенки \vec{G} . Из второго закона Ньютона следуют уравнения $m\vec{a} = m\vec{g} + \vec{N}$, $\vec{0} = M\vec{g} + \vec{R} - \vec{N} + \vec{G}$.

1.4.15. Из второго закона Ньютона следуют уравнения $ma_x = N_x$, $ma_y = -mg + N_y$. Из решения задачи 1.1.18 следует, что $v_x = v/2$, $v_y = -vctg\varphi/2$, $d\varphi/dt = -v/(l\sin\varphi)$.

Следовательно, $a_x = 0$, $a_y = (v/2\sin^2\varphi)d\varphi/dt = -v^2/(2l\sin^3\varphi)$.

Сила реакции направлена по вертикали.

1.4.16. Поместим начало координат на оси и направим ось x вертикально вниз. Для двух частей каната имеем уравнения

$$m_1 a_{1z} = -T + m_1 g, \quad m_2 a_{2z} = -T + m_2 g.$$

Из условия связи $x_1 + x_2 = l$ получим еще одно уравнение $a_{1z} + a_{2z} = 0$. Следовательно, $T = 2m_1 m_2 g / (m_1 + m_2) \rightarrow T = 2mg(x_1/l)(1 - x_1/l)$.

Величина силы реакции равна значению $N = 2T$ при $x_1 = (l + s)/2$.

1.4.17. Направим ось x вертикально вниз, а начало координат поместим на уровне оси блока. Координаты центров масс грузов x_1 и x_2 , проекции ускорения на ось x равны a_1 и a_2 . Пусть длина равна l_0 . Тогда $x_1 + x_2 = l_0$. Следовательно, проекции скоростей частиц удовлетворяют соотношению $v_1 + v_2 = 0$. Отсюда получим соотношение, связывающее проекции ускорений

$$a_1 + a_2 = 0. \tag{1}$$

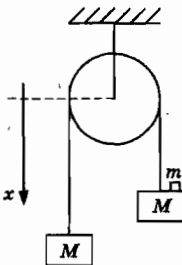


Рис. 1.4.17 а

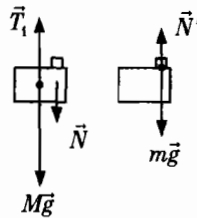


Рис. 1.4.17 б

Силы, действующие на каждое тело системы показаны на рис. 1.4.17 *a, б*. Прежде всего отметим, что величина сил натяжения нитей одинакова только тогда, когда массы нитей и блока значительно меньше масс грузов. При вращении блока проекция момента сил натяжения $T_1 R - T_2 R$ равна произведению момента инерции блока на проекцию углового ускорения на прямую, параллельную оси блока. Поэтому $T_1 = T_2 = T$, если масса блока равна нулю.

Учитывая, что $N' = N$, получим из второго закона Ньютона, записанного для каждого тела системы, три уравнения

$$Ma_1 = Mg - T + N, \quad (2)$$

$$ma_1 = mg - N, \quad (3)$$

$$Ma_2 = Mg - T. \quad (4)$$

Из (1)–(4) находим

$$g - T/(m + M) + g - T/M = 0 \rightarrow T = 2M(m + M)g/(m + 2M). \quad (5)$$

Полагая $a_1 = -a_2 = a$, получим из (4), (5) значение

$$a = mg/(m + 2M).$$

Теперь из (3) находим $N = 2mMg/(m + 2M)$.

1.4.18. Направим ось x вертикально вниз, а начало координат поместим на уровне оси блока. Координаты частиц x_1 и x_2 , проекции ускорения на ось x равны a_1 и a_2 . На первую частицу действуют сила тяжести $m_1 \vec{g}$ и сила натяжения нити \vec{T}_1 . На вторую частицу действуют сила тяжести $m_2 \vec{g}$ и сила натяжения \vec{T}_2 со стороны другой части нити (рис. 1.4.18).

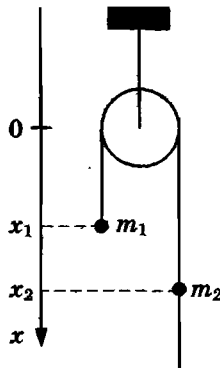


Рис. 1.4.18

Предположим, что массы блока и нити значительно меньше масс частиц.

Тогда величины сил натяжения одинаковы $T_1 = T_2 = T$. Из второго закона Ньютона получим уравнения

$$m_1 a_1 = m_1 g - T, \quad (1)$$

$$m_2 a_1 = m_2 g - T, \quad (2)$$

в которые входят три неизвестные величины a_1 , a_2 и T . Третье уравнение получим из соотношения, связывающего координаты частиц.

Пусть в начальный момент времени длина нити между точками, в которых находятся частицы, равна l_0 . При смещении второй частицы вниз на расстояние $s(t)$ относительно нити длина нити, связывающей частицы, станет равной $x_1 + x_2 = l_0 + s$. Следовательно, проекции скоростей частиц удовлетворяют соотношению $v_1 + v_2 = v$, где v — проекция на ось x скорости второй частицы относительно нити. Отсюда получим соотношение

$$a_1 + a_2 = w, \quad (3)$$

где w — проекция на ось x ускорения второй частицы относительно нити.

Из системы уравнений (1), (3) находим

$$g - \frac{T}{m_1} + g - \frac{T}{m_2} = w, \quad T = \frac{(2g - w)m_1 m_2}{m_1 + m_2},$$

$$a_1 = \frac{g(m_1 - m_2) + w m_2}{m_1 + m_2}, \quad a_2 = \frac{-g(m_1 - m_2) + w m_1}{m_1 + m_2}.$$

Рассмотрим несколько частных случаев.

А. Натяжение $T = 0$, если $w = 2g$. Проекция ускорения частиц $a_1 = a_2 = g$. Частицы находятся в состоянии свободного падения.

Б. $a_2 = 0$. В этом случае $w = (m_1 - m_2)g/m_1 = a_1$, $T = m_2 g$. Если $m_2 = 2m_1$, то $w = -g$.

В. $m_1 = m_2 = m$. Тогда $a_1 = a_2 = w/2$, $T = m(g - w/2)$. Этот вариант задачи придумал оксфордский профессор математики, автор книги «Алиса в стране чудес» Льюис Кэрролл: m_2 — масса обезьянки, m_1 — масса груза. При движении обезьянки вверх груз поднимается.

Г. $w = 0$. Если блок заторможен, то величина силы, действующей на ось блока $N = (m_1 + m_2)g$. При движении частиц величина силы станет $N' = 2T$. Приращение $\Delta N = -(m_1 - m_2)^2 g / (m_1 + m_2)$.

1.4.19. Направим ось x вертикально вниз, а начало координат поместим на уровне оси неподвижного блока (рис. 1.4.19 б). Координаты груза массой m_3 и оси второго блока x_3 и x_c связаны соотношением $x_3 + x_c = \text{const}$.

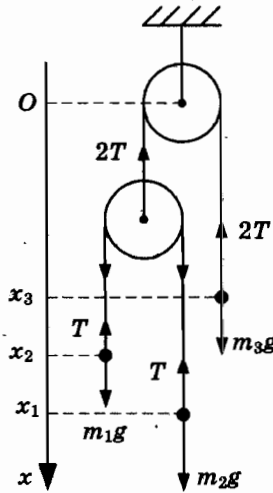


Рис. 1.4.19 б

Проекции ускорений груза m_3 и оси блока удовлетворяют уравнению

$$a_3 + a_c = 0. \quad (1)$$

Координаты первого и второго грузов $x_1 = x_c + s_1$, $x_2 = x_c + s_2$, где $s_1 + s_2 = \text{const}$. Следовательно, проекции на ось x ускорений первого и второго грузов $a_1 = a_c + a'_1$, $a_2 = a_c + a'_2$,

$$a'_1 + a'_2 = 0. \quad (2)$$

Пусть T — величина силы натяжения, действующая на первый и второй грузы. Тогда $2T$ — величина силы натяжения, действующая на третий груз. Из второго закона Ньютона получим уравнения

$$m_1(a_c + a'_1) = m_1g - T, \quad (3)$$

$$m_2(a_c + a'_2) = m_2g - T, \quad (4)$$

$$m_3a_3 = m_3g - 2T, \quad (5)$$

Из уравнений (2) — (4) получим

$$2m_1m_2a_c = 2m_1m_2g - T(m_1 + m_2). \quad (6)$$

Теперь из уравнений (1), (5), (6) находим

$$g - \frac{2T}{m_3} + g - \frac{T(m_1 + m_2)}{2m_1 m_2} = 0, \rightarrow T = \frac{4m_1 m_2 m_3 g}{4m_1 m_2 + m_3(m_1 + m_2)},$$

$$a_c = g \frac{4m_1 m_2 - m_3(m_1 + m_2)}{4m_1 m_2 + m_3(m_1 + m_2)}.$$

Если $m_3 = m_1 + m_2$, то $a_c = -g \frac{(m_1 - m_2)^2}{4m_1 m_2 + (m_1 + m_2)^2}$.

1.4.20. Перечислим силы, действующие на кресло: сила тяжести $m_2 \vec{g}$, сила натяжения веревки \vec{T}_2 и сила давления \vec{N}' . На маяляра действуют сила тяжести $m_1 \vec{g}$, сила натяжения веревки \vec{T}_1 и сила реакции \vec{N} со стороны кресла (рис. 1.4.20).

Учитывая, что $T_1 = T_2 = T$, $N = N'$, получим из второго закона Ньютона уравнения

$$m_1 \vec{a} = m_1 \vec{g} + \vec{N} + \vec{T}_1, \quad (1)$$

$$m_2 \vec{a} = m_2 \vec{g} + \vec{N}' + \vec{T}_2. \quad (2)$$

В проекции на ось x следуют два уравнения

$$m_1 a = -m_1 g + N + T, \quad (3)$$

$$m_2 a = -m_2 g - N + T, \quad (4)$$

Из (3), (4) находим

$$T = (1 + a/g)T_0, \quad T_0 = (m_1 + m_2)g/2, \quad N = (m_1 - m_2)(g + a)/2.$$

Здесь T_0 — величина силы натяжения в состоянии покоя.

1.4.21. Пусть a_1, a_2 — проекции ускорений грузов на ось x , направленную вертикально вниз. Величины сил натяжения, действующих на грузы, нити и ось первого блоков, показаны на рис. 1.4.21б.

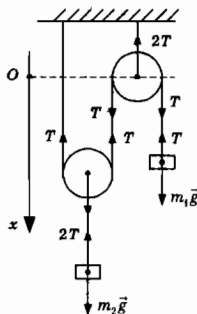


Рис. 1.4.21 б

Из второго закона Ньютона получим уравнения

$$ma_1 = mg - T, \quad ma_2 = mg - 2T.$$

Координаты грузов x_1, x_2 на рис. 1.4.21б связаны соотношением

$$x_1 + 2x_2 = \text{const.}$$

Следовательно, $a_1 + 2a_2 = 0$. $N = 2T$.

1.4.22. Поместим начало координат числовой оси x на уровне оси первого блока, x_1, x_2 — координаты грузов (рис. 1.4.1.22 б). Проекция ускорений грузов — a_1, a_2 .

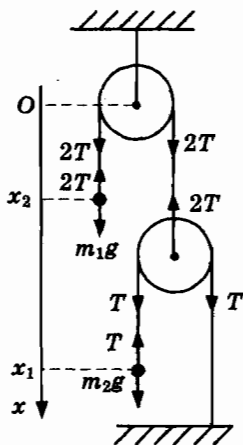


Рис. 1.4.22б

Пусть величина силы натяжения, действующая на второй груз со стороны нити равна T . Поскольку массы блоков и нитей можно принять равными нулю, то из второго закона Ньютона следует система уравнений

$$m_1 a_1 = m_1 g - 2T, \quad (1)$$

$$m_2 a_2 = m_2 g - T, \quad (2)$$

Теперь запишем уравнение связи. Длина первой нити равна l_1 , длина второй нити — l_2 , H — расстояние между осью верхнего блока и основанием.

Тогда координаты грузов удовлетворяют условию

$$(l_1 - x_1) + l_2 - [x_2 - (l_1 - x_1)] = H,$$

или

$$2x_1 + x_2 = \text{const.}$$

Отсюда получаем соотношение для проекций скоростей и ускорений грузов

$$2v_1 + v_2 = 0, \quad 2a_1 + a_2 = 0. \quad (3)$$

Из системы уравнений (1) – (3) находим

$$2g - 4T/m_1 + g - T/m_2 = 0 \rightarrow T = 3gm_1m_2/(m_1 + 4m_2).$$

Ускорение груза m_1 равно $a_1 = (m_1 - 2m_2)g/(m_1 + 4m_2)$.

Если $a_1 = a_2 = 0$, то величиной силы натяжения $T = m_2g$ можно удержать груз массой $m_1 = 2m_2$.

1.4.23. Направим ось x вертикально вниз. Пусть a_1, a_2 – проекции ускорений грузов на ось x . Величины сил натяжения, действующих на нити равны T . Проекция сил, действующих на каждый груз со стороны нитей $P_x = -2T$.

Из второго закона Ньютона получим уравнения $m_1a_1 = m_1g - 2T$, $m_2a_2 = m_2g - 2T$. Координаты грузов x_1, x_2 на рис. 1.4.23 связаны соотношением $2x_1 + 2x_2 = \text{const}$.

Следовательно, $a_1 + a_2 = 0$.

Из системы уравнений находим $2g - 2T/m_1 - 2T/m_2 = 0$, $T = 4mg/5$.

1.4.24. Направим ось x вертикально вниз.

Пусть a_1, a_2, a_3 – проекции ускорений грузов на ось x . Величины сил натяжения, действующих на нити равны T , проекции сил, действующих на грузы m_1 и m_3 равны $T_x = -T$, проекция силы натяжения, действующей на груз m_2 равна $P_x = -2T$.

Из второго закона Ньютона получим уравнения $m_1a_1 = m_1g - T$, $m_2a_2 = m_2g - 2T$, $m_3a_3 = m_3g - T$.

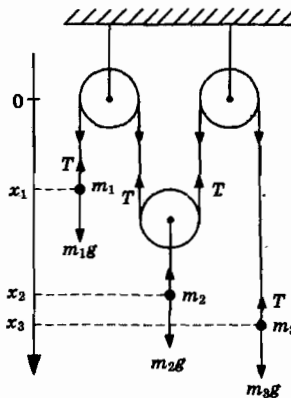


Рис. 1.4.24 б

Координаты грузов x_1, x_2, x_3 на рис. 1.4.24б связаны соотношением $x_1 + 2x_2 + x_3 = \text{const}$. Следовательно, $a_1 + 2a_2 + a_3 = 0$.

Из системы уравнений получим

$$g - T/m_1 + 2(g - 2T/m_2) + g - T/m_3 = 0,$$

$$T = 4mg/5.$$

1.4.25. Направим ось x вертикально вниз. Пусть a_1, a_2 — проекции ускорений грузов на ось x . Величины сил натяжения, действующих на нити равны T , проекции сил натяжения, действующих на грузы m_1 и m_2 равны $T_x = -T$.

Из второго закона Ньютона получим уравнения

$$m_1 a_1 = m_1 g - T, \quad m_2 a_2 = m_2 g - T.$$

Координаты грузов x_1, x_2 на рис. 1.4.25 связаны соотношением

$$x_1 + x_2 = \text{const}.$$

Следовательно, $a_1 + a_2 = 0$.

Из системы уравнений получим

$$T = 2m_1 m_2 / (m_1 + m_2), \quad T = 2,4mg.$$

1.4.26. Направим ось x вертикально вниз. Координаты частиц — x_n, a_n — проекции ускорений грузов на ось $x, n = 1, 2, 3, 4$. Величины сил натяжения, действующих грузы, показаны на рис. 1.4.26б.

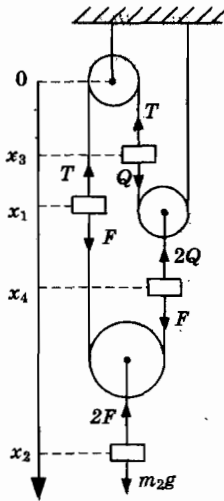


Рис. 1.4.26 б

Из второго закона Ньютона получим уравнения

$$ma_1 = mg + F - T, \quad (1)$$

$$ma_2 = mg - 2F, \quad (2)$$

$$ma_3 = mg + Q - T, \quad (3)$$

$$ma_4 = mg + F - 2Q, \quad (4)$$

Эта система уравнений, содержащая семь неизвестных величин, должна быть дополнена условиями кинематических связей. Из рис. 1.4.26б находим, что нить длиной l образована отрезками постоянной длины

$$l_{41} = x_2 - x_4 + x_2 - x_1, \quad (5)$$

$$l_{13} = x_1 + x_3, \quad (6)$$

$$l = l_{41} + l_{13} + 2x_4 - x_3. \quad (7)$$

Из (5) – (7) находим соотношения между проекциями ускорений $0 = 2a_2 - a_4 - a_1$, $0 = a_1 + a_3$, $0 = 2a_4 - a_3$.

Отсюда находим $a_1 = 4a_2$, $a_3 = -4a_2$, $a_4 = -2a_2$.

Теперь уравнения (1) – (4) приобретают вид

$$4ma_2 = mg + F - T, \quad (8)$$

$$ma_2 = mg - 2F, \quad (9)$$

$$-4ma_2 = mg + Q - T, \quad (10)$$

$$-2ma_2 = mg + F - 2Q. \quad (11)$$

Из системы (8) – (11) находим $a_2 = -g/37$.

1.4.27. На машину как целое действуют: сила тяжести, реакции (сумма которых равна нулю), сила трения качения (которой будем пренебрегать), сила сопротивления воздуха и ... Изучите вначале рис. 1.4.27, где изображено ведущее колесо. Если оно движется без проскальзывания, то скорость точек контакта шины с шоссе равна нулю.

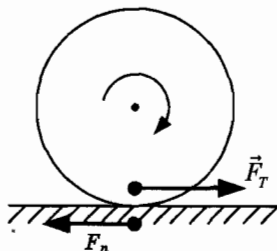


Рис. 1.4.27

В этой области на покрытие шоссе действует сила трения покоя \vec{F}_n со стороны шины. Согласно третьему закону Ньютона на прилегающий к шоссе участок поверхности шины действует со стороны покрытия сила \vec{F}_T . В технике ее называют силой сопротивления скольжению или пробуксовке. Величина этой силы равна μN , где N — величина силы нормального давления. Поэтому для увеличения силы, разгоняющей автомашину, необходимо увеличить коэффициент трения шин. Поставьте машину на лед, и она не тронется с места. Отметим, что «сила тяги» не существует.

1.4.28. На электровоз действуют сила тяжести, нормальная сила реакции и сила трения \vec{F} , возникающая вследствие сопротивления проскальзыванию ведущих колес. Проекция этих сил на ось координат, направленную вверх по уклону $F(\alpha) = mg(\mu \cos \alpha - \sin \alpha)$, где α — угол уклона, μ — коэффициент трения. Величина этой силы максимальна при движении по горизонтально расположенным рельсам: $F_{\max} = \mu mg$ и быстро спадает с ростом угла α . Уже при значениях $\mu = 0,2$, $\alpha = 0,1$ ($= 6^\circ$) величина силы $F(\alpha) \approx 0,5 F_{\max} = 0,5mg$, т.е. уменьшается в два раза. Предельный уклон соответствует углу α_0 , удовлетворяющему условию $\text{tg } \alpha_0 = \mu$. В этом случае $F(\alpha_0) = 0$. Учитывая, что реальное значение $\mu \approx 0,2$, находим $\alpha_0 = 11^\circ$. Следовательно, можно сделать вывод: для эффективного использования мощности двигателя полотно железной дороги не должно иметь больших уклонов, массу электровоза желательно увеличить.

1.4.29. На тело кроме силы \vec{F} действуют сила притяжения Земли $m\vec{g}$, сила реакции \vec{N} и сила трения $\vec{F}_{\text{тр}}$ (рис. 1.4.29 а). Согласно второму закону Ньютона $m\vec{a} = m\vec{g} + \vec{N} + \vec{F} + \vec{F}_{\text{тр}}$. Проектируя это векторное соотношение на оси координат, получим два уравнения

$$ma = F \cos \alpha + F_{\text{тр}}, \quad (1)$$

$$m \cdot 0 = F \sin \alpha + N - mg. \quad (2)$$

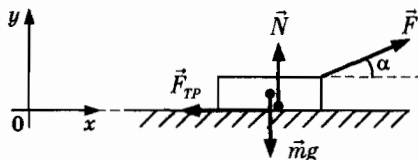


Рис. 1.4.29 а

Обратим внимание на то, что величина силы реакции

$$N = mg - F \sin \alpha < mg.$$

Наиболее распространенная ошибка в решении системы (1), (2) в том, что значение $F_x^{\text{тр}} = -\mu N$ подставляют в (1), а затем находят ускорение. В действительности, система (1), (2) содержит три неизвестные величины: a , N , $F_x^{\text{тр}}$. Напомним, что сила трения относится к силам реакции и заранее не определена. Для решения задачи необходимо исследовать зависимость $F_x^{\text{тр}}$ от проекции суммы внешних сил F_x на ось x . В системе отсчета, в которой тело неподвижно, сила трения покоя всегда равна по величине и противоположна по направлению составляющей внешней силы F_x , касательной к поверхности. С ростом внешней силы растет величина силы трения покоя, пока не достигнет определенного значения, которое называют максимальным значением силы трения покоя $F_{\text{max}}^{\text{тр}} = \mu N$. Как только величина составляющей F_x достигнет значения μN , начинается скольжение. При дальнейшем возрастании внешней силы величина сила трения остается постоянной, равной по величине μN , независимо от скорости тела.

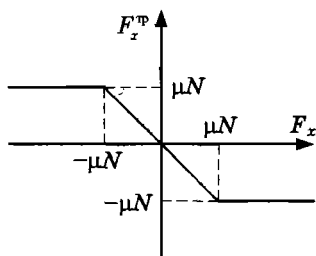


Рис. 1.4.29 б

Зависимость проекции силы трения от проекции суммы внешних сил на ось x изображена на рис. 1.4.29 б. Область значений $F_x = F \cos \alpha$, удовлетворяющих условию $-\mu N < F_x < \mu N$, соответствует состоянию покоя. В этом случае из (2) находим силу трения покоя $F_x^{\text{тр}} = -F_x$. Две области значений $F_x > \mu N$ и $F_x < -\mu N$ соответствуют движению с постоянным ускорением. При значениях $F_x = -\mu N$, μN тело покоится или движется равномерно в зависимости от начальных условий.

Возвращаясь к рис. 1.4.29а, приходим к выводу, что из-за существования силы трения покоя тело будет покоиться, если проекция внеш-

них сил на горизонтальное направление меньшие величины максимальной силы трения скольжения, равной μN :

$$F \cos \alpha < \mu N = \mu(mg - F \sin \alpha).$$

При этом сила трения покоя $F_x^{\text{тр}} = -F \cos \alpha$, а ускорение $a = 0$. Если же $F \cos \alpha > \mu N = \mu(mg - F \sin \alpha)$, то тело движется с ускорением, при этом в уравнении (1) $F_x^{\text{тр}} = -\mu N$. Если же величина силы удовлетворяет условию $F \cos \alpha = \mu N$, то тело движется равномерно, а $F_x^{\text{тр}} = -\mu N$.

Следовательно, возможны три ситуации:

$$\begin{aligned} 0 < F \cos \alpha < \mu N, a = 0, F_x^{\text{тр}} &= -F \cos \alpha, \\ F \cos \alpha = \mu N, a = 0, F_x^{\text{тр}} &= -\mu N, \\ F \cos \alpha > \mu N, a \neq 0, F_x^{\text{тр}} &= -\mu N. \end{aligned} \quad (3)$$

Найдем теперь решение системы уравнений (1) – (3).

Подставляя числовые данные, находим, $F \cos \alpha = 0,86$ Н, $N = 38,7$ Н, $\mu N = 7,74$ Н. Следовательно, ускорение тела равно нулю.

1.4.30. Подставляя числовые данные, находим, что $F \cos \alpha = 17$ Н, $N = 29,4$ Н, $\mu N = 5,88$ Н, т.е. $F \cos \alpha > \mu N$.

Следовательно, уравнение (1) имеет вид

$$\begin{aligned} ma &= F \cos \alpha - \mu(mg - F \sin \alpha), \\ a &= (F/m)(\cos \alpha + \mu \sin \alpha) - \mu g. \end{aligned} \quad (4)$$

1.4.31. Полагая в (4) $a = 0$, получим

$$F = \frac{\mu mg}{\cos \alpha + \mu \sin \alpha} \quad (5)$$

Подставляя числовые данные, находим $F = 8,15$ Н.

1.4.32. Теперь наша задача – исследовать зависимость величины силы (5) от угла α . Проще всего это сделать, записав знаменатель в виде одной тригонометрической функции. Вводя угол β соотношения $\mu = \text{tg } \beta$, представим (5) в виде $F(\alpha) = mg \frac{\sin \beta}{\cos(\alpha - \beta)}$.

Теперь очевидно, что функция $F(\alpha)$ имеет минимум при $\alpha = \beta$,

$$F(\beta) = mg \sin \beta = \frac{\mu mg}{\sqrt{1 + \mu^2}}.$$

Подставляя числовые значения, находим $\beta = 11^\circ$, $F(\beta) = 1,196$ мг.

1.4.33. Ускорение равно нулю при условии $F < F(\alpha)$, из которого следует неравенство $1 < 1/\cos(\alpha - \beta)$.

1.4.34. Ускорение равно нулю при условии

$$F(\alpha)\cos\gamma < \mu(mg - F(\alpha)\sin\gamma),$$

из которого следует неравенство

$$\cos(\gamma - \beta)/\cos(\alpha - \beta) < 1.$$

1.4.36. На тело действуют силы тяжести, реакции и сила трения, направленная в сторону движения доски. Выберем положительное направление оси x , параллельное вектору ускорения доски (рис. 1.4.36 *a*).

Из второго закона Ньютона находим

$$ma_x = F_x^{\text{тр}}, \quad 0 = N - mg,$$

где $a_x = a$ — проекция ускорения тела на ось x .

Если тело неподвижно относительно доски, то $F_x^{\text{тр}} = ma$. При увеличении ускорения до значения $a_1 = \mu g$ возникает скольжение тела относительно доски. При этом $F_x^{\text{тр}}$ возрастает и при значениях $a \geq \mu g$ достигает постоянной величины $F_x^{\text{тр}} = \mu N$ (рис. 1.4.36б).

Следовательно, $F_x^{\text{тр}} = \begin{cases} ma, & a \leq \mu g, \\ \mu mg, & a \geq \mu g. \end{cases}$

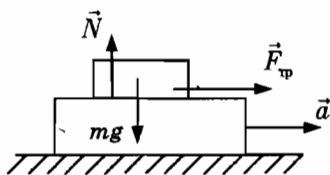


Рис. 1.4.36 *a*

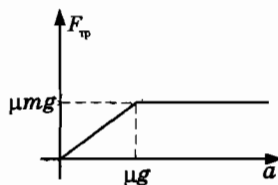


Рис. 1.4.36б

1.4.38. А. Запишем уравнения движения в проекции на горизонтальное направление

$$m_1 a = -\mu_1(m_1 + m_2)g + F - F_{\text{тр}}, \quad m_2 a = F_{\text{тр}},$$

где $F_{\text{тр}}$ — проекция силы трения, действующей на тело со стороны доски.

Отсюда находим

$$(m_1 + m_2)a = -\mu_1(m_1 + m_2)g + F \rightarrow F_{\text{мин}} = \mu_1(m_1 + m_2)g.$$

Б. Тело будет перемещаться относительно доски при условии $a \geq \mu_2 g$.

Следовательно, $F \geq F_0$, $F_0 = (\mu_1 + \mu_2)(m_1 + m_2)g$.

1.4.39. Силы, действующие на доску и тело, показаны на рис.

1.4.39. В горизонтальном направлении на тело m_2 действуют сила и противоположно направленная сила трения со стороны доски. Со-

гласно третьему закону Ньютона на доску действует такая же по величине, но направленная в противоположную сторону сила.

В проекции на горизонтальное направление уравнения движения имеют вид

$$m_1 a_1 = F^{\text{тп}}, \quad (1)$$

$$m_2 a_2 = F - F^{\text{тп}}. \quad (2)$$

Если тело не проскальзывает относительно доски ($F^{\text{тп}} \leq \mu m_2 g$), то ускорения тела и доски совпадают: $a_1 = a_2 = a$. В этом случае из (1), (2) находим

$$F^{\text{тп}} = \frac{m_1}{m_1 + m_2} F \leq \mu m_2 g.$$

Следовательно, скольжение возникает при значении силы

$$F > \mu \frac{m_2}{m_1} (m_2 + m_1) g.$$

Интересно рассмотреть предельный случай $m_1 \gg m_2$.

Тогда $F > \mu m_2 g$.

1.4.40. На тело действуют сила тяжести груза $m \vec{g}$, сила реакции \vec{T} и сила трения \vec{f} . Из второго закона Ньютона следует уравнение

$$m \vec{a} = m \vec{g} + \vec{T} + \vec{f}. \quad (1)$$

На клин массой M действует сила притяжения Земли $M \vec{g}$, сила реакции \vec{N} со стороны наклонной плоскости, сила трения покоя $-\vec{f}$ и сила давления $-\vec{T}$ со стороны груза. Согласно второму закону Ньютона

$$M \vec{a} = M \vec{g} - \vec{T} - \vec{f} + \vec{N}. \quad (2)$$

Мы имеем уравнения, из которых необходимо найти \vec{f} . Определим вначале ускорение \vec{a} . Складывая (1) и (2), получим

$$(m + M) \vec{a} = (m + M) \vec{g} + \vec{N}. \quad (3)$$

В проекции на направление, параллельное наклонной плоскости, получим $a = g \sin \alpha$. Уравнение (1) в проекциях на оси x, y позволяет найти $f_x = ma \cos \alpha = (1/2) mg \sin 2\alpha$.

1.4.41. Решение задачи следует из анализа графика функции $F_x^{\text{тп}}(F_x)$, изображенного на рис. 1.4.29б. Поскольку $F_x = mg \sin \alpha$,

$N = mg \cos \alpha$, то при условии $F_x \leq \mu N$ на тело действует сила трения покоя $F_x^{Tp} = -mg \sin \alpha$. Если $F_x \geq \mu N$, то действует сила трения скольжения $F_x^{Tp} = -\mu mg \cos \alpha$. Критическое значение угла наклона $\alpha = \alpha_c$ найдем из условия $F_x = \mu N$: $\operatorname{tg} \alpha_c = \mu$.

$$F_x^{Tp} = \begin{cases} -mg \sin \alpha, & \alpha \leq \alpha_c, \\ -\mu mg \cos \alpha, & \alpha \geq \alpha_c. \end{cases}$$

1.4.42. Из второго закона Ньютона находим проекцию ускорения при подъеме тела $a_1 = -\mu g \cos \alpha - g \sin \alpha$.

Время подъема $t_n = v_0 / |a_1|$, расстояние, которое пройдет тело $s = |a_1| t_n^2 / 2$. При спуске $a_2 = -\mu g \cos \alpha + g \sin \alpha$, $s = a_2 t_c^2 / 2$.

Следовательно, $\mu = (3/5) \operatorname{tg} \alpha$.

1.4.44. Решение задачи следует из анализа графика функции $F_x^{Tp}(F_x)$, изображенного на рис. 1.4.27 б.

Здесь $F_x = mg \sin \alpha - F \cos \alpha$, $N = mg \cos \alpha - F \sin \alpha$.

Ускорение тела равно нулю при условии $-\mu N \leq F_x \leq \mu N$.

Отсюда находим

$$F(\mu \sin \alpha - \cos \alpha) \leq mg(\mu \cos \alpha - \sin \alpha),$$

$$F(\mu \sin \alpha + \cos \alpha) \leq mg(\mu \cos \alpha + \sin \alpha).$$

1.4.46. На цилиндр действуют сила тяжести, силы реакции \vec{N}_1 , \vec{N}_2 ($N_1 = N_2 = N$) и силы трения. Сумма сил реакций \vec{R} лежит в плоскости поперечного сечения и направлена перпендикулярно ребру желоба, $R = 2N \sin \beta$.

Из второго закона Ньютона получаем уравнения

$$ma = mg \sin \alpha - 2\mu N,$$

$$0 = mg \cos \alpha - 2N \sin \beta.$$

1.4.47. Направим ось x параллельно начальной скорости. Пусть a — проекция ускорения на ось x .

Из второго закона Ньютона получим $a = -g/2$.

Скорость и координата центра масс тележки

$$v(t) = v_0 - gt/2, \quad x(t) = v_0 t - gt^2/4.$$

В момент времени $t = T$ координата $x(T) = 0$.

Следовательно, $s = 2x(T/2)$.

1.4.48. На колечко действуют сила тяжести, сила реакции и сила натяжения нити. На частицу действуют сила тяжести и сила натяже-

ния нити. Из второго закона Ньютона в проекции на направление стержня получаем уравнения

$$m_1 a = -m_1 g \sin \alpha - T \sin \alpha, \quad (1)$$

$$m_2 a = -m_2 g \sin \alpha + T \sin \alpha. \quad (2)$$

1.4.49. Из второго закона Ньютона в проекции на оси координат следуют уравнения

$$m_1 a_{1y} = -m_1 g + N \sin \alpha, \quad (1)$$

$$m_2 a_{2x} = N \cos \alpha. \quad (2)$$

Система (1), (2) содержит три неизвестных величины. Для решения задачи необходимо использовать уравнение связи, представляющее собой функциональное соотношение, содержащее только координаты центров масс каждого тела. Такие связи называют *голономными*. Для получения уравнений связей некорректно использовать какие-либо приемы типа: «рассмотрим два близких положения системы» или «разложим» движение на поступательное и вращательное и т.д. Получим уравнение связи, рассматривая геометрическую конфигурацию системы.

Координаты центра масс куба $x_2 = x' + a/2$, $y_2 = a/2$, y -координата центра масс призмы $y_1 = y' + b$.

Согласно рис. 1.4.49 находим $y' = a - x' \operatorname{ctg} \alpha$.

Следовательно, уравнение связи имеет вид

$$y_1 = a - (x_2 - a/2) \operatorname{ctg} \alpha + b.$$

Дважды дифференцируя, получим уравнение

$$a_{1y} + a_{2x} \operatorname{ctg} \alpha = 0. \quad (3)$$

Подставляя a_{1y} , a_{2x} в (3), находим N :

$$-g + N \sin \alpha / m_1 + N \cos^2 \alpha / (m_2 \sin \alpha) = 0 \rightarrow$$

$$\rightarrow N = m_1 m_2 g \sin \alpha / (m_1 \cos^2 \alpha + m_2 \sin^2 \alpha).$$

1.4.50. Направим ось z вертикально вверх.

Из второго закона Ньютона в проекции на ось z имеем уравнение

$$m dv_z / dt = -mg - kdz / dt,$$

из которого находим

$$mv_z = -mgt - kz + \operatorname{const}.$$

В силу начальных условий $\operatorname{const} = mv_0$.

Следовательно, $mv_z(t) = -mgt - kz(t) + mv_0$.

В момент времени T имеем $v_1(T) = -gT + v_0$. Поскольку согласно условию $v_1(T)/v_0 = -q$, то $T = (1 + q)v_0/g < 2v_0/g$.

1.4.51. Из второго закона Ньютона следует уравнение $mdv/dt = -kv$.

Начальное условие $v(0) = v_0$. Рассматривая $v(t)$ как сложную функцию $v(x(t))$, получим уравнение $m(dv/dx)(dx/dt) = -kv$, или $mdv/dx = -k$. Следовательно, $v(x) = v_0 - kx/m$.

1.4.52. Направим ось z вертикально вверх. Из второго закона Ньютона в проекции на ось z имеем уравнение $mdv_z/dt = -mg + C\rho S v_z^2$.

Переходя к безразмерным переменным $v_z = v_0 u$, $t = v_0 t'/g$, $v_0 = (mg/C\rho S)^{1/2}$, получим уравнение $du/dt' = -(1 - u^2)$.

Следовательно, $v_z \rightarrow v_0$ через промежуток времени $\tau \sim v_0/g$.

Для парашюта коэффициент $C = 0,7$.

Полагая $\rho = 1,1 \text{ кг/м}^3$, $S = 20 \text{ м}^2$, $m = 70 \text{ кг}$, получим $v = 6,67 \text{ м/с}$, $\tau \sim 0,68 \text{ с}$. Отметим, что эта величина скорости соответствует скорости падения с высоты $h = v^2/2g$, $h = 2,27 \text{ м}$.

1.4.53. Пусть $z_A = z(t)$ — координата точки A закрепления шнура на машине. Координата точки B закрепления шнура на грузовике $z_B(t) = l_0 + ut$ (рис. 1.4.53). Коэффициент жесткости шнура — k , длина в ненапряженном состоянии — l_0 .

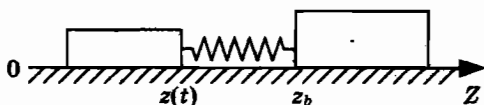


Рис. 1.4.53

Пренебрегая трением качения, запишем уравнение движения машины, следующее из второго закона Ньютона:

$$md^2z/dt^2 = k[z_B - z - l_0]. \quad (1)$$

Начальные условия $z(0) = 0$, $v(0) = 0$.

Перейдем в систему отсчета, движущуюся со скоростью u . Произведем преобразование Галилея, т.е. перейдем к новой переменной x , совершая замену $z = ut + x$. Подставляя z и $z_B(t)$ в (1), получим уравнение

$$d^2x/dt^2 + \omega^2 x = 0, \quad (2)$$

где $\omega^2 = k/m$.

Начальное значение $x(0) = 0$.

Поскольку скорость машины $v(t) = u + dx/dt$, то начальное значение производной $dx/dt = -u$.

Решение уравнения (2), удовлетворяющее начальным условиям

$$x(t) = -(u/\omega)\sin\omega t. \quad (3)$$

Скорость точки A равна

$$v(t) = u(1 - \cos\omega t). \quad (4)$$

Расстояние между точками закрепления шнура

$$s(t) = z_B(t) - z(t) = l_0 + (u/\omega)\sin\omega t.$$

Сила натяжения шнура

$$F = k[z_B(t) - z - l_0] \text{ или } F(t) = (ku/\omega)\sin\omega t.$$

В момент времени $t_1 = T/4$ ($T = 2\pi/\omega$) машина отстает от грузовика на максимальное расстояние $s(t_1) = l_0 + u/\omega > l_0$, а скорость машины достигает значения $v(t_1) = u$. В момент времени $t_2 = T/2$ сила натяжения шнура обращается в нуль; скорость машины достигает максимального значения $v(t_2) = 2u$. При $t \geq t_2$ шнур остается ненапрянутым — машина движется с постоянной скоростью $2u$ до столкновения с грузовиком в момент времени $t_3 = t_2 + l_0/u$.

Следовательно, в решении (3) — функция $x(t)$ определена в интервале времени $0 \leq t \leq t_2$.

1.4.54. На шайбу действуют сила тяжести, сила реакции и сила трения $\vec{f} = -\mu N\vec{v}/v$.

Введем систему координат x, y, z с осью z , направленной перпендикулярно наклонной плоскости, ось y направим по горизонтали, ось x — вниз параллельно наклонной плоскости.

Скорость шайбы $\vec{v} = (v_1, v_2, 0)$.

Из второго закона Ньютона следуют уравнения

$$mdv_1/dt = mg \sin \alpha - \mu Nv_1/v, \quad (1)$$

$$mdv_2/dt = -\mu Nv_2/v, \quad (2)$$

$$0 = -mg \cos \alpha + N, \quad (3)$$

где $v^2 = v_1^2 + v_2^2$.

Начальные условия $v_1(0) = 0$, $v_2(0) = v_0$. Умножим (1) на v_1 , (2) на v_2 , сложим полученные соотношения и учтем, что $v dv = v_1 dv_1 + v_2 dv_2$. В результате находим

$$mdv/dt = mg \sin \alpha v_1/v - \mu N. \quad (4)$$

Из (1), (4) следует уравнение

$$\frac{dv}{dt} = -g \frac{\mu^2 \cos^2 \alpha - \sin^2 \alpha}{\mu \cos \alpha} - \frac{\operatorname{tg} \alpha}{\mu} \frac{dv_1}{dt}. \quad (5)$$

Учитывая начальные условия, получим из (5)

$$v(t) = -g \frac{\mu^2 \cos^2 \alpha - \sin^2 \alpha}{\mu \cos \alpha} t - \frac{\operatorname{tg} \alpha}{\mu} v_1(t) + v_0. \quad (6)$$

Из (1), (2) следует, что проекции скорости v_1, v_2 обратятся в нуль при различных значениях времени $t_1 > t_2$.

1.4.55. На шарик действуют сила сопротивления воздуха $\vec{F} = -k(v)\vec{v}$ и сила тяжести. При падении с постоянной скоростью $0 = -k(v_0)\vec{v}_0 + m\vec{g}$. В результате упругого столкновения с плоскостью скорость шарика станет равной $-\vec{v}_0$. Согласно второму закону Ньютона $m\vec{a} = -k(v)\vec{v} + m\vec{g}$, $\vec{v}(0) = -\vec{v}_0$, получим $\vec{a}(0) = 2\vec{g}$.

1.5. Законы сохранения и изменения импульса системы тел.

Движение тела переменной массы

1.5.1. Направим ось x параллельно палочке. Согласно определению координаты x_c центра масс $(m_1 + m_2)x_c = m_1x_1 + m_2x_2$.

Положение жука относительно палочки определяется значением координаты на числовой оси x' , связанной с палочкой: $x_2 = x_1 + x'_2$.

Координата центра масс $(m_1 + m_2)x_c = (m_1 + m_2)x_1 + m_2x'_2$.

Поскольку проекция на горизонталь сил, действующих на систему, равна нулю, то координата центра масс — постоянная величина:

$$\Delta x_c = 0, \quad 0 = (m_1 + m_2)\Delta x_1 + m_2\Delta x'_2.$$

1.5.2. Пренебрегая трением качения колес платформы по рельсам, запишем следствие закона сохранения горизонтальной компоненты импульса системы: $0 = (m_1 + m_2)\Delta x_1 + m_2\Delta x'_2$.

Перемещение платформы

$$\Delta x_1 = -\frac{m_2\Delta x'_2}{m_1 + m_2},$$

где $\Delta x'_2 = l_1 - l_2$ — смещение центра масс клина.

1.5.3. На частицу действуют сила тяжести $m_2\vec{g}$ и сила реакции \vec{N} . На клин действуют сила тяжести $m_1\vec{g}$, сила реакции \vec{R} со стороны горизонтальной плоскости и сила нормального давления $\vec{N}' = -\vec{N}$ со стороны частицы (рис. 1.5.3).

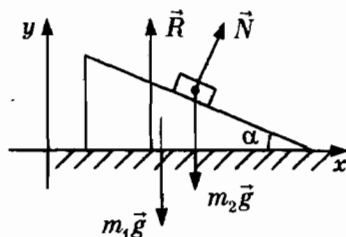


Рис. 1.5.3

Уравнения движения клина и частицы:

$$m_2 \vec{a}_2 = m_2 \vec{g} + N. \quad (1)$$

$$m_1 \vec{a}_1 = m_1 \vec{g} + \vec{R} - N, \quad (2)$$

Суммируя (1), (2), получим уравнение типа (1.5.3)

$$\frac{d\vec{P}}{dt} = (m_1 + m_2) \vec{g} + \vec{R}. \quad (3)$$

Следовательно, сохраняется горизонтальная компонента импульса системы. В системе координат, введенной на рис. 1.5.3, из (3) следует уравнение

$$m_1 a_{1x} + m_2 a_{2x} = 0. \quad (4)$$

Интервал времени T найдем из уравнения

$$h/\sin \alpha = a_{20} T^2/2,$$

где a_{20} — величина ускорения частицы относительно клина.

Согласно соотношению (1.4.2) $\vec{a}_2 = \vec{a}_1 + \vec{a}_{20}$.

Отсюда получим

$$a_{2x} = a_{1x} + a_{20} \cos \alpha. \quad (5)$$

Из (4), (5) следует уравнение

$$(m_1 + m_2) a_{1x} + m_2 a_{20} \cos \alpha = 0. \quad (6)$$

Далее из уравнения (1) в проекции на направление, параллельное плоскости клина, получим уравнение

$$a_{1x} \cos \alpha + a_{20} = g \sin \alpha. \quad (7)$$

Из (6), (7) найдем $a_{20} = \frac{(m_1 + m_2)g \sin \alpha}{m_1 + m_2 \sin^2 \alpha}$.

Интервал времени соскальзывания T , $T^2 = \frac{2h(m_1 + m_2 \sin^2 \alpha)}{(m_1 + m_2)g \sin^2 \alpha}$.

1.5.4. Из второго закона Ньютона следуют два уравнения, решения которых позволяют найти координаты частиц $x_1(t)$ и $x_2(t)$:

$$m_1 a_1 = k(x_2 - x_1 - l_0) + F_{13}(x_1), \quad (1)$$

$$m_2 a_2 = -k(x_2 - x_1 - l_0) + F_{23}(x_2). \quad (2)$$

Отсюда находим закон изменения импульса системы

$$dP/dt = F_{13}[x_1(t)] + F_{23}[x_2(t)]. \quad (3)$$

Наша система находится в неоднородном внешнем поле. Поэтому внутренние силы влияют на движение центра масс, вопреки широко распространенному заблуждению.

Только после полного решения дифференциальных уравнений (1), (2) можно определить координату центра масс системы x_c .

Для решения уравнений (1), (2) следует перейти к новым переменным $x = x_2 - x_1$ и x_c :

$$x_1 = x_c - (m_2/m)x, \quad x_2 = x_c + (m_1/m)x, \quad m = m_1 + m_2.$$

Тогда получим систему

$$(m_1 m_2 / m) a = -k(x - l_0) + (m_1 / m) F_{23}[x_c + (m_1 / m)x] - (m_2 / m) F_{13}[x_c - (m_2 / m)x],$$

$$m a_c = F_{13}[x_c - (m_2 / m)x] + F_{23}[x_c + (m_1 / m)x].$$

Очевидно, что возможно только численное решение на ЭВМ.

1.5.6. Введем систему координат xy с началом в точке O касания стержня с плоскостью в начальный момент времени (рис. 1.5.6).

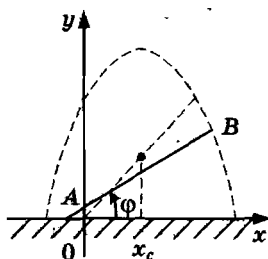


Рис. 1.5.6

Координаты центра масс стержня $x_c = (l_0/2) \cos \alpha$, $y_c = (l_0/2) \sin \alpha$.

Поскольку горизонтальные компоненты сил, действующих на стержень, равны нулю, то x -координата центра масс стержня остается постоянной.

Пусть $\varphi(t)$ — угол между стержнем и плоскостью в момент времени t .

Тогда координаты точки B $x = (l/2)\cos\alpha + (l/2)\cos\varphi$, $y = l\sin\varphi$.

Исключая параметр φ , получим уравнение эллипса

$$\left[\frac{2(x - (l/2)\cos\alpha)}{l}\right]^2 + \left(\frac{y}{l}\right)^2 = 1$$

с полуосями $l/2$ и l . На рис. 1.5.6 эллипс изображен пунктирной линией.

1.5.7. Запишем закон сохранения горизонтальной компоненты импульса системы до разрыва и после разрыва: $mv_{0x} = mv_{1x}/2 + mv_{2x}/2$.

Согласно условию $v_{1x} = -v_{0x}$. Следовательно, $v_{2x} = 3v_{0x}$.

Далее используем решение задачи 1.2.28 и систему координат рис. 1.2.28а. Координаты второго осколка

$$x_2(t) = D/2 + 3v_{0x}(t - t_1),$$

$$y_2(t) = H - g(t - t_1)^2/2, \quad t \geq t_1,$$

где $t_1 = v_{0y}/g$, $H = v_{0y}^2/2g$.

Дальность $D = 2v_{0x}v_{0y}/g$. В момент времени T осколок падает на поверхность земли: $y_2(T) = 0$, $s = x_2(T)$. Подставляя значения функций, получим систему уравнений, из которой находим $s = 2D$.

1.5.8. При разрыве ракеты сохраняется сумма проекций горизонтальных компонент импульса. Следовательно, величины скоростей осколков u одинаковы, скорость одного осколка направлена по вертикали к земле. Имеем три уравнения

$$h = v_0^2/2g, \quad h - ut - gT^2/2 = 0,$$

$$h + uT/2 - gT^2/2 = 0.$$

1.5.9. А. Направим ось x параллельно скорости первой лодки. После перемещения мешка на первую лодку скорость второй лодки не изменилась, т.к. при перемещении мешка относительная скорость системы вторая лодка-мешок равна нулю. Пусть v_1 — проекция скорости первой лодки после перемещения мешка (рис. 1.5.9 а).

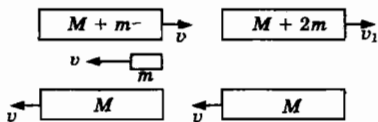


Рис. 1.5.9 а

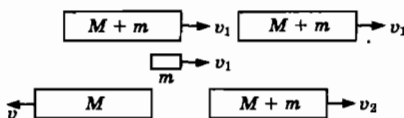


Рис. 1.5.9 б

Из закона сохранения горизонтальной компоненты импульса системы первая лодка с мешком — мешок со второй лодки получим уравнение $(M + m)v - mv = (M + 2m)v_1$, $v_1 = Mv/(M + 2m)$.

После переброски мешка с первой лодки на вторую скорость первой лодки не изменяется (рис. 1.5.9 б). Пусть v_{2x} — проекция скорости второй лодки после перемещения мешка. Для системы вторая лодка-мешок имеем уравнение

$$-Mv + mv_1 = (M + m)v_{2x} \text{ или } v_{2x} = -v_1.$$

Б. Пусть v'_1 — проекция скорости первой лодки после перемещения мешка. Из закона сохранения горизонтальной компоненты импульса системы первая лодка-мешок получим уравнение

$$Mv - mv = (M + m)v'_1, \quad v'_1 = (M - m)v/(M + m).$$

Покажите, что $v_1 > v'_1$.

1.5.10. Направим ось z вертикально вверх. Тогда получим уравнение $mdv/dt = -c'dm/dt - mg + F_x$. Очевидно, при сгорании топлива $(dm/dt) < 0$. Для подъема ракеты на старте необходимо выполнить условие $c'dm/dt > mg$.

1.5.11. Направим ось z вертикально вверх. Согласно условию в уравнении Мещерского масса

$$m(t) = m_0 + M_0(1 - t/\tau), \quad 0 \leq t \leq \tau; \quad m(t) = m_0, \quad t \geq \tau.$$

Пренебрегая сопротивлением воздуха, получим уравнение

$$m_0 \frac{dv_z}{dt} \approx c' \frac{M_0}{\tau} - m_0 g, \quad 0 \leq t \leq \tau.$$

Отсюда находим $v_z(t) = at$, $a = c'M_0/(m_0\tau) - g$.

В конце интервала времени сгорания заряда скорость ракеты $v_1 = at$, высота подъема $h_1 = at^2/2$. В интервале $t \geq \tau$ скорость ракеты $v_z(t) = u - gt$, $u = c'M_0/m_0$. Полное время подъема ракеты $T = u/g$, высота подъема $H = h_1 + v_1^2/2g = at^2(1 + a/g)/2$. Полагая $c' = 200$ м/с, $\tau = 1$ с, $M_0/m_0 = 1/10$, получим $H \approx 10,4$ м.

Отметим, что точное решение уравнения Мещерского

$$v_z(t) = c' \ln \frac{m_0 + M_0}{m_0 + M_0(1 - t/\tau)} - gt, \quad 0 \leq t \leq \tau.$$

1.5.12. Согласно условию реактивное ускорение

$$a_p = -(c'/m)dm/dt.$$

Решение этого уравнения $m(t) = m_0 \exp(-a_p t/c')$.

Следовательно, $m_{\kappa} = m_0 \exp(-a_p T/c')$, $T = c'/a_p \ln(m_0/m_{\kappa})$.

Теперь из уравнения Мещерского $\frac{dv_z}{dt} = a_p - g$ находим искомую скорость $v_{\kappa} = (a_p - g)T$ или $v_{\kappa} = c'(1 - g/a_p) \ln(m_0/m_{\kappa})$.

1.5.13. Из уравнения Мещерского $m dv/dt = -c' dm/dt$ найдем скорость $v(t) = c' \ln[m(0)/m(t)]$, $v_{\kappa} = c' \ln[m(0)/m(T)]$.

А. Положим $m(0) = m_0$, $m(T) = m_{\kappa}$, $m_{\kappa} = m_n + m_p$. Начальная масса ракеты $m_0 = m_{\kappa} \exp(v_{\kappa}/c')$. Число Циолковского $z = \exp(v_{\kappa}/c')$.

Б. После отделения первой ступени масса первой «субракеты»

$$M_1 = m_0 - m_1,$$

где m_1 — масса первой ступени и сгоревшего топлива.

Скорость субракеты $v_1 = v_{\kappa}/3 = c' \ln(m_0/M_1)$, $z_1 = \exp(v_{\kappa}/3c')$. После отделения второй ступени масса второй «субракеты»

$$M_2 = m_0 - m_1 - m_2,$$

где m_2 — масса второй ступени и сгоревшего топлива.

Скорость второй субракеты $v_2 = v_1 + c' \ln(M_1/M_2)$. Полагая $v_{\kappa}/3 = c' \ln(M_1/M_2)$, получим $v_2 = 2v_{\kappa}/3$. После отделения третьей ступени скорость ракеты $v_{\kappa} = c' \ln[(m_0/m_{\kappa})]$.

Начальная масса комплекса «Сатурн-5» — «Аполлон» $m_0 = 2950$ т. Корабль массой $m_{\kappa} = 63$ т вышел на траекторию полета к Луне на высоте 322,7 км со скоростью $v_{\kappa} = 10\,846,3$ м/с. В этом случае $z_n \approx 3,32$. Для одноступенчатой ракеты необходимое значение $z = 36,6$. Ясно, что не удастся создать конструкцию с достаточной степенью прочности.

1.5.14. Найдем приращение кинетической энергии K системы ракета-газы за интервал времени Δt

$$\begin{aligned} \Delta K &= (1/2)(m + \Delta m)(\bar{v} + \Delta \bar{v})^2 - \Delta m c'^2/2 - m \bar{v}^2/2 = \\ &= m \bar{v} \Delta \bar{v} + (1/2)\Delta m(\bar{v}^2 - \bar{c}^2). \end{aligned}$$

Переходя к пределу $\Delta t \rightarrow 0$, получим

$$dK/dt = m \bar{v} d\bar{v}/dt + (1/2)(\bar{v}^2 - \bar{c}^2) dm/dt.$$

Образует теперь скалярное произведение обеих частей уравнения Мещерского с вектором скорости

$$m \bar{v} d\bar{v}/dt = \bar{c}' \bar{v} dm/dt + \bar{F} \bar{v} + m \bar{g} \bar{v}.$$

Исключая из этих соотношений $m \bar{v} d\bar{v}/dt$, получим

$$dK/dt = -dm/dt(\bar{c}'^2/2) + \bar{F} \bar{v} + m \bar{g} \bar{v}.$$

Поскольку производная кинетической энергии равна мощности всех сил, то мощность внутренних сил или мощность, развиваемая двигателем $P_{\text{дв}} = -\frac{c'^2}{2} \frac{dm}{dt}$. Если $P_{\text{дв}} \sim dm/dt$, то величина относительной скорости газов постоянна. При движении ракеты с постоянной тягой $\vec{f} = -\vec{c}' dm/dt$, мощность $P_{\text{дв}} = \vec{f}\vec{c}'/2$.

1.5.16. Полагая в уравнении Мещерского

$$c' = 0, \quad m(t) = M + m_0(1 - t/T),$$

получим $m dv/dt = -mg + F$.

Полагая $v = -gt + u$, перейдем к уравнению

$$du/dt = F/[M + m_0(1 - t/T)],$$

решение которого $u(t) = \frac{FT}{m_0} \ln \frac{M + m_0}{M + m_0(1 - t/T)}$.

1.5.18. Направим ось z вертикально вниз. Полагая в уравнении Мещерского (1.5.4) $\vec{c}' = -\vec{v}$ — получаем систему

$$m dv/dt = -v dm/dt + mg - kSv^2, \quad (1)$$

$$dm/dt = \alpha Sv, \quad (2)$$

где $v = at$.

Поскольку $m = 4\pi r^3/3$, $S = \pi r^2$, то из (1), (2) следует уравнение

$$(\alpha + k)v^2 = 4(g - a)\rho r/3. \quad (3)$$

Из (2) получим уравнение $dr/dt = \alpha at/4\rho$.

Следовательно, $r(t) = \alpha at^2/8\rho$.

1.5.19. Направим ось z вертикально вниз, начало координат — на уровне поверхности стола. Пусть z — координата нижнего конца цепи A , $v_z = v$ — проекция скорости точки A . Масса движущейся части цепи $m = \rho z$. Полагая в (1.5.2) $\vec{c}' = -\vec{v}$, получим уравнение

$$d(zv)/dt = gz. \quad (1)$$

Рассмотрим частный случай, соответствующий начальным условиям $z(0) = 0$, $v(0) = 0$: первоначальная длина свисающей части цепи ничтожно мала.

Для получения решения уравнения (1) умножим обе части на zv . Тогда уравнение можно представить в виде производной функции $F(z, v): zvdzv/dt = gz^2v, \rightarrow dF/dt = 0, F = (zv)^2/2 - gz^3/3$.

Следовательно, $F = C$:

$$(zv)^2/2 - gz^3/3 = C. \quad (2)$$

Согласно начальным условиям $C = 0$. Из (2) находим $v^2 = 2gz/3$. Дифференцируя по времени, получим ускорение движущейся части цепи $2v dv/dt = (2g/3) dz/dt$, $\rightarrow dv/dt = g/3$.

Интересный результат: ускорение в три раза меньше ускорения свободного падения.

1.5.20. Масса цепи длиной l равна $M = \rho l$, где ρ — линейная плотность цепи. Направим ось z вертикально вверх, начало координат — на уровне поверхности пола. В момент времени t координата точки A равна z , проекцию скорости точки A на ось z обозначим v . Масса движущейся части цепи $m(t) = \rho z$ (рис. 1.5.20).

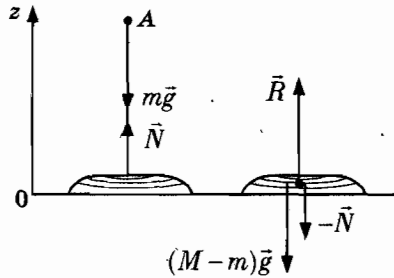


Рис. 1.5.20

На нее действуют сила тяжести и сила реакции \vec{N} со стороны части цепи массой $M - m(t)$, лежащей на полу. На эту часть цепи действуют три силы — сила тяжести, сила давления $-\vec{N}$ со стороны движущейся цепи и сила реакции пола \vec{R} . Уравнения движения имеют вид

$$d(\rho z v)/dt = -\rho g z + N_z, \quad (1)$$

$$0 = -(M - m)g - N_z + R_z, \quad (2)$$

Отметим, присоединение элемента $\rho \Delta z$ к неподвижной части цепи имеет характер удара — его скорость мгновенно изменяется от значения $-v$ до нуля. Приращение импульса $\rho \Delta z v$ сообщает сила реакции N : $\rho \Delta z v = N_z \Delta t$.

Переходя к пределу $\Delta t \rightarrow 0$, получим $N_z = \rho v^2$.

Следовательно, из (1), (2) получим

$$dv/dt = -g, \quad (3)$$

$$R_z = \rho(l - z)g + \rho v^2. \quad (4)$$

Из (3) следует, что цепь свободно падает. Поскольку начальные условия $z(0) = l_0$, $v(0) = 0$, то

$$v(t) = -gt, \quad z(t) = l - gt^2/2. \quad (5)$$

Из (4), (5) получим величину силы давления цепи на пол — вес цепи

$$R(t) = 3\rho g^2 t^2/2, \text{ или } R(z) = 3\rho g(l - z).$$

Конец цепи A достигает пола в момент времени $T = (2l/g)^{1/2}$. В этот момент времени вес цепи $R(T) = 3Mg$.

1.6. Статика

1.6.1. Согласно определению равнодействующей сил тяжести $m\vec{g} = m_1\vec{g} + m_2\vec{g} + \dots$, действующих на частицы системы, радиус-вектор центра тяжести в однородном поле тяготения находится из уравнения $\sum_a^N \vec{r}_a \times m_a \vec{g} = \vec{R} \times m\vec{g}$.

Отсюда находим, что радиус-вектор центра тяжести $\vec{R} = \sum m_a \vec{r}_a / m$ совпадает с центром масс. Например, x -координата центра тяжести системы $x_c = (m_1 x_1 + m_2 x_2 + \dots) / (m_1 + m_2 + \dots)$.

1.6.2. Рассмотрим сплошной шар и будем считать, что он образован двумя телами: шаром, который заполняет сферическую полость (тело A), и телом, остающимся после образования сферической полости (тело B) (рис. 1.6.2).

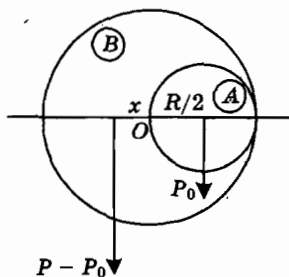


Рис. 1.6.2

Масса сплошного шара равна M , масса шара A равна m . Предполагая, что центр тяжести образовавшегося тела находится на расстоянии x от центра шара O , запишем условие равенства нулю мо-

ментов сил тяжести сил A и B относительно центра O (рис. 1.6.2).
 $(M - m)gx - mg\frac{R}{2} = 0$. Из этого уравнения находим $x = \frac{m}{M - m} \frac{R}{2}$.

Учитывая, что массы M и m пропорциональны объемам $V = \frac{4}{3}\pi R^3$,
 $v = \frac{4}{3}\pi \left(\frac{R}{2}\right)^3$, получим $x = R/14$. Решение аналогичной задачи для
 диска приводит к значению $x = R/6$.

1.6.3. Для решения задач этого типа проще всего мысленно выделить в первоначальной фигуре вырезанную часть (фигура A) и остающуюся часть (фигура B) (рис. 1.6.3).

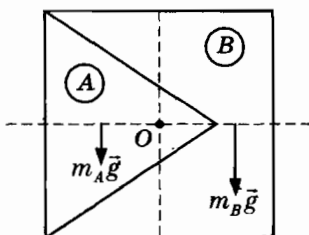


Рис. 1.6.3

Центр тяжести первоначальной и вырезаемой фигур обычно легко находится. Центр тяжести остающейся фигуры неизвестен и подлежит определению. Поскольку алгебраическая сумма моментов сил тяжести фигур A и B относительно центра тяжести пластинки равна нулю, то это условие даёт уравнение для определения центра тяжести фигуры B .

В нашем примере центр тяжести вырезаемого треугольника лежит на расстоянии $h/3$ от основания всегда слева от центра пластины, так как $h \leq a$. Центр тяжести фигуры B находится на средней линии квадрата на расстоянии l от центра пластины. Условие равенства нулю суммы моментов сил m_A и m_B относительно оси, проходящей через центр тяжести пластины, приводит к уравнению

$$m_A g \left(\frac{a}{2} - \frac{h}{3} \right) - m_B g l = 0 \rightarrow l = \frac{3a - 2h}{6} \frac{m_A}{m - m_A}.$$

Поскольку $m = \rho a^2 d$, $m_A = (\frac{1}{2})\rho a h d$, где ρ — плотность, d — толщина пластинки, то, $l = (3a - 2h)h/[6(2a - h)]$.

Нетрудно видеть, что центр тяжести фигуры B находится справа от центра пластины. Поэтому можно вырезать треугольник такой вы-

соты h_1 , чтобы центр тяжести фигуры B совпадал с вершиной треугольника, т.е. $\frac{a}{2} + \frac{(3a-2h_1)h_1}{6(2a-h_1)} = h_1$. Из этого уравнения находим

$h_1 = \frac{\sqrt{3}}{2}(\sqrt{3}-1)a$. Если высота вырезанного треугольника $h > h_1$, то центр тяжести остающейся части лежит вне ее.

1.6.4. Введем ось x с началом в точке O — середине осевой линии цилиндра. Пусть в момент времени t резец находится на расстоянии vt левого торца цилиндра (рис. 1.6.4). Для решения задачи выделим в исходном цилиндре вырезанную часть — тело A и «остаток» — тело B .

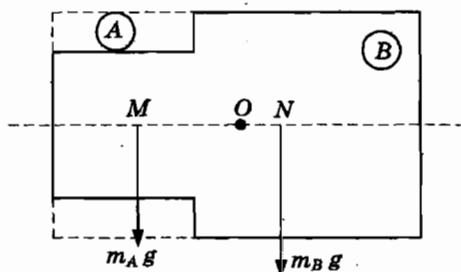


Рис. 1.6.4

Поскольку сумма моментов сил тяжести тел A и B относительно центра тяжести исходного тела равна нулю, то это уравнение позволяет найти центр тяжести тела B .

Координата центра тяжести тела B — функция $x(t)$. Учитывая, что $MO = (l - vt)/2$, получим уравнение $m_A g \frac{1}{2} (l - vt) - m_B g x = 0$, $m_A = \rho\pi(R^2 - r^2)vt$, $m_B = \rho\pi[R^2 l - (R^2 - r^2)vt]$, из которого находим

$$x(t) = \frac{1}{2} \frac{(R^2 - r^2)(l - vt)vt}{[R^2 l - (R^2 - r^2)vt]} \quad (1)$$

Очевидно $x(0) = x(l/v) = 0$ — при полном прохождении резца центр тяжести возвращается в начальное положение.

Найдем теперь максимальное значение функции $x(t)$. С этой целью вычислим производную

$$\frac{dx}{dt} \sim [(l - 2vt) + \frac{(l - vt)vt(R^2 - r^2)}{[R^2 l - (R^2 - r^2)vt]}] \quad (2)$$

и найдем корни уравнения

$$dx/dt = 0 \text{ или } (vt)^2(R^2 - r^2) - 2vtR^2l + (Rl)^2 = 0 \rightarrow t_{1,2} = \frac{Rl}{v(R \pm r)}.$$

Второй корень должен быть отброшен, поскольку $vt_2 > l$.

Учитывая (2), можно представить максимальное значение $x_m = x(t_1)$ в виде

$$x_m = vt_1 - \frac{l}{2} = \frac{lR-r}{2R+r}.$$

Интересно отметить, что в момент времени t_1 резец и центр тяжести находятся в одной плоскости поперечного сечения: $l/2 + x_m = vt_1$.

Подобная особенность имеет место в следующей задаче. Возьмем стакан и начнем заполнять его песком. Центр тяжести стакана с песком займет наинизшее положение в тот момент времени, когда он будет находиться на уровне песка в стакане.

1.6.5. Сумма моментов сил тяжести отрезков OA и OB относительно оси, проходящей через вершину угла равна нулю (рис. 1.6.5):

$$0 = (b/2)^2 \cos \alpha - (a/2)^2 \sin \alpha.$$

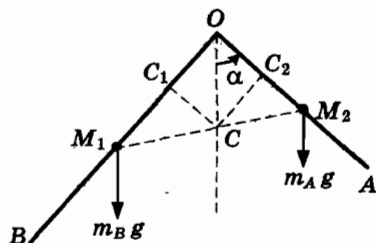


Рис. 1.6.5

1.6.6. Направим ось x по отрезку OA , ось y — по отрезку OB . Согласно общему определению координат центра тяжести C в декартовых осях $x_c = m_a a/2m = OC_2$, $y_c = m_b b/2m = OC_1$.

Следовательно, $OC_1 = b^2/2(a+b)$, $OC_2 = a^2/2(a+b)$.

1.6.7. Поскольку мы можем заменить любое тело одним грузом, сосредоточенным в центре тяжести, ясно, что в равновесии этот груз будет лежать на вертикали. Значит, для решения задачи достаточно найти положение центра тяжести квадрата.

Центры сторон лежат на их серединах в точках A , B и C (рис. 1.6.7). Точки A и C расположены симметрично, поэтому удобно

найти вначале центр этих точек. Он лежит в точке D на середине отрезка, соединяющего точки A и C .

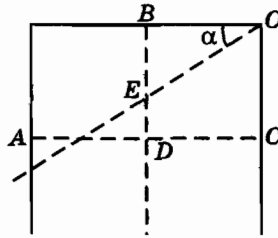


Рис. 1.6.7

Теперь найдем центр тяжести рамки, т.е. точки D массой $2m/3$ и точки B массой $m/3$. Сумма моментов сил тяжести точек B и D относительно центра тяжести (точка E) должна быть равна нулю. Учитывая, что $BD = a/2$ (a — длина стороны квадрата), запишем условие равновесия в явном виде:

$$BE \frac{mg}{3} - \left(\frac{a}{2} - BE \right) \frac{2mg}{3} = 0.$$

Отсюда находим $BE = a/3$. Угол между вертикалью и средней стороной найдем из треугольника OBE : $\operatorname{tg} \alpha = BE/BO = 2/3$.

1.6.8. А. Пусть m — масса доски. Представим доску в виде двух тел масс m_1, m_2 . Величина силы реакции $N = mg$. Поместим начало координат на конец доски, находящейся на столе.

Обозначим x_c, x_1, x_2 — координаты точек приложения силы реакции и сил тяжести двух масс. Тогда из второго условия равновесия получим уравнение $m x_c = m_1 x_1 + m_2 x_2$.

Следовательно, точка приложения силы реакции стола находится в центре тяжести доски. Полагая $m_1 = 2\rho L/3, x_1 = L/3, m_2 = \rho L/3, x_2 = 5L/6$, получим $x_c = L/2$.

Б. Теперь имеем уравнение

$$(m + M_1)x_c = m_1 x_1 + m_2 x_2 + M_1 L,$$

где $m_1 = \rho(1 - \alpha)L, x_1 = (1 - \alpha)L/2, m_2 = \alpha\rho L, x_2 = (1 - \alpha/2)L$.

Подставляя значения масс и координат, получим

$$(m + M_1)x_c = mL/2 + M_1 L. \quad (1)$$

Согласно условию $x_c = (1 - \alpha)L$, или

$$(m + M_1)(1 - \alpha) = m/2 + M_1. \quad (2)$$

Для второго случая находим

$$(m + M_2)(1 - \beta) = m/2 + M_2. \quad (3)$$

1.6.9. Из условия равновесия следует, что сумма сил, действующих на любую книгу равна нулю.

1.6.10. На брусок действуют сила тяжести, внешняя сила \vec{F} , со стороны стенки сила трения \vec{f} и сила реакции \vec{N} . Направим ось x вертикально вниз. Из второго закона Ньютона получим уравнения $ma_x = mg + f_x$, $N - F = 0$. Отсюда находим $N = 12$ Н, $\mu N = 6$ Н. Поскольку $mg < \mu N$, то $a_x = 0$, $f_x = -mg$. Следовательно, $R = \sqrt{F^2 + (mg)^2}$.

1.6.12. Поскольку сумма сил равна нулю, то $N = mg + T$.

Пусть плечо силы \vec{T} равно a . Плечо силы \vec{P} равно $2a$.

Второе условие равновесия имеет вид $Ta - 2Pa = 0$.

1.6.13. Согнуть стержень или прикрепить в середине стрелку. (Иначе «весы» при равных моментах сил натяжения будут находиться в состоянии безразличного равновесия.)

1.6.14. Из второго условия равновесия имеем два уравнения $ma - m_2b = 0$, $m_1a - mb = 0$.

1.6.15.–1.6.16. На стержень действуют сила тяжести и силы реакции \vec{N} и \vec{R} в точках A и B .

Поскольку на стержень действуют три силы, то из второго условия равновесия следует, что они лежат на прямых, пересекающихся в одной точке S (рис. 1.6.15.б).

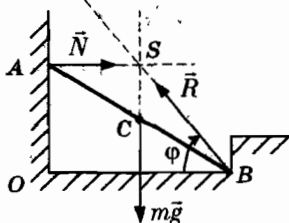


Рис. 1.6.15 б

Пусть α — угол между плоскостью стенки и стержнем, $\sin \alpha = a/l$. Из условия равенства нулю суммы сил получим уравнения

$$N - R \cos \varphi = 0, \quad (1)$$

$$R \sin \varphi - mg = 0. \quad (2)$$

Для записи второго условия равновесия выберем в качестве оси прямую, проходящую через точку B . Плечи сил \vec{N} и $m\vec{g}$ соответственно равны $l\cos\alpha$, $(l/2)\sin\alpha$. Сумма моментов сил:

$$-N\cos\alpha + (mg/2)\sin\alpha = 0. \quad (3)$$

Из уравнений (1)–(3) получим

$$\operatorname{tg}\varphi = 2\operatorname{ctg}\alpha, \operatorname{tg}\varphi = \frac{2}{a}\sqrt{l^2 - a^2}, R = \frac{2mg\sqrt{l^2 - a^2}}{\sqrt{4l^2 - 3a^2}}.$$

1.6.17. На шар действуют сила тяжести $m\vec{g}$, сила реакции \vec{N} , приложенная в точке A и сила трения покоя \vec{f} . Поскольку на шар действуют три силы, то из второго условия равновесия следует, что они лежат на прямых, пересекающихся в одной точке A (рис. 1.6.17). Применяя теорему синусов к треугольнику OCA получим $\sin\beta = (R/b)\sin\alpha$.

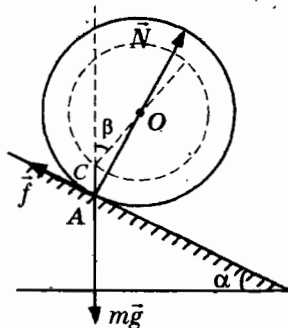


Рис. 1.6.17

1.6.18. На рис. 1.6.18б изображены сила тяжести $m\vec{g}$, приложенная в центре тяжести C , и силы реакции \vec{T} , \vec{N} , приложенные в точках A и P . Из условия $m\vec{g} + \vec{T} + \vec{N} = 0$, записанного в проекциях на горизонтальное и вертикальное направления, получим уравнения $T - \frac{N}{\sqrt{2}} = 0$, $-mg + \frac{N}{\sqrt{2}} = 0$. Отсюда находим $T = mg$, $N = mg(2)^{1/2}$.

Далее запишем второе условие равновесия. В качестве оси выберем прямую, проходящую через точку M пересечения вертикали, на которой лежит центр тяжести, и образующей цилиндра AB . Плечо силы \vec{T} , равное длине отрезка MK , найдем из равнобедренного треугольника MKA : $MK = AM/\sqrt{2}$.

Поскольку $MB = a/2$, то $AM = 2a - a/2 = 3a/2$. Плечо силы \vec{N} равно BP . Сумма моментов сил относительно оси, проходящей через точку M , равна нулю: $NBP - T \frac{3a\sqrt{2}}{4} = 0 \rightarrow BP = 3a/4$. Искомое расстояние $OP = 11a/4$.

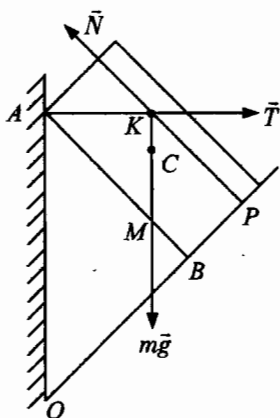


Рис. 1.6.18 б

В нашей задаче согласно теореме о трех силах векторы сил направлены по прямым, пересекающимся в точке K . Поэтому для определения длины отрезка BP можно рассмотреть треугольник MKA , где высота $KH = BP$, сторона $AM = 3a/2$ и равнобедренный треугольник MKN , где $KH = AM/2$.

1.6.19. Сделаем чертеж (рис. 1.6.19), принимая лестницу за стержень длиной l , изобразим приложенные к нему силы.

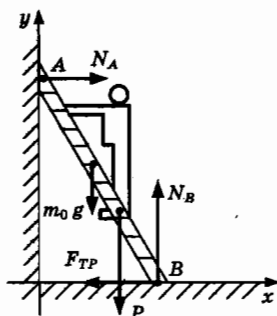


Рис. 1.6.19

Со стороны стены на лестницу действует реакция \vec{N}_A , со стороны пола — реакция \vec{N}_B и сила трения покоя — \vec{F}_{mp} . При скольжении лестницы $F_{mp} = \mu N_B$. Очевидно, лестница не будет скользить при условии

$$F_{mp} \leq \mu N_B. \quad (1)$$

Сила тяжести $m_0 \vec{g}$ приложена в середине лестницы. Со стороны человека, стоящего на расстоянии s от конца B лестницы, действует сила давления, равная весу человека $\vec{P} = m\vec{g}$.

Выберем два взаимно перпендикулярных направления по горизонтали и вертикали (оси x и y). Тогда первое условие равновесия имеет вид

$$-m_0 g - mg + N_B = 0, \quad (2)$$

$$N_A - F_{mp} = 0. \quad (3)$$

Запишем далее второе условие равновесия: приравняем нулю сумму моментов сил относительно оси, проходящей через точку B (в этом случае моменты сил F_{mp} и N_B равны нулю):

$$mgs \cos \alpha + m_0 g(l/2) \cos \alpha - N_A \sin \alpha = 0. \quad (4)$$

Из уравнений (3) и (4) получим

$$F_{mp} = \left(\frac{1}{2} m_0 + \frac{s}{l} m \right) g \operatorname{ctg} \alpha. \quad (5)$$

Подставляя F_{mp} и N_B из (2) в (1), находим, что человек может подняться ся вверх ($s = l$), если угол α удовлетворяет условию $\operatorname{tg} \alpha \geq \frac{2m + m_0}{2\mu(m + m_0)}$.

Рассмотрим два частных случая:

1. «Легкая» лестница: $m_0 \ll m$, $\operatorname{tg} \alpha \geq 1/\mu$.

2. «Массивная» лестница: $m_0 \gg m$, $\operatorname{tg} \alpha \geq 1/2\mu$.

1.6.20. Для того, чтобы найти все силы, действующие на кронштейн, необходимо перечислить все тела, с которым он взаимодействует.

1. Со стороны Земли действует сила притяжения. Однако, поскольку масса кронштейна предполагается малой величиной, то силой притяжения мы пренебрежем.

2. В точке B действует сила упругости \vec{T} со стороны веревки.

3. При взаимодействии со стенкой возникают силы реакции \vec{N}_1 и \vec{N}_2 .

4. При взаимодействии с уступом возникает сила реакции \vec{N}_3 .

Поскольку сумма сил, действующих на кронштейн равна нулю, то

$$N_2 - N_1 = 0, \quad (1)$$

$$N_3 - T = 0. \quad (2)$$

Далее перечислим силы, действующие на груз: сила тяжести $m\vec{g}$ и сила упругости $\vec{T}' = -\vec{T}$ со стороны веревки, причем $T = T$. Приравнявая нулю сумму сил, действующих на груз, находим уравнение

$$T - mg = 0. \quad (3)$$

Итак, мы имеем три уравнения и четыре неизвестные величины. Дополним систему, используя условие равновесия — сумма моментов сил \vec{N}_1 и \vec{T} относительно оси, проходящей через точку C , равна нулю. Обозначая $CB = l$, получим

$$N_1 l \sin \alpha - T l \cos \alpha = 0. \quad (4)$$

Из системы (1)–(4), находим $T = N_3 = mg$, $N_1 = N_2 = mg \operatorname{ctg} \alpha$. Отсюда, в частности, следует, что сумма сил $\vec{F} = \vec{N}_1 + \vec{N}_2$ направлена по прямой CB . Этот вывод является следствием теоремы о трех силах. Подставляя числовые данные, получим $T = N_3 = 980$ Н, $N_1 = N_2 = 577$ Н.

В учебной литературе этой задаче «не повезло». Приведем наиболее распространенные ошибки, допущенные при ее решении: все силы полагают приложенными в точке B и утверждают, что \vec{T} — сила тяжести груза, а \vec{N}_1 — сила упругости в балке AB . По поводу последнего утверждения заметим, что в механике твердого тела кронштейн представляет единую конструкцию ABC . Поэтому фраза «сила упругости в балке» должна быть отнесена к другой области механики — теории упругости.

1.6.21. На кубик действуют сила \vec{F} , силы тяжести $m\vec{g}$ и реакции \vec{N} и $\vec{F}_{\text{тр}}$ (1.6.21).

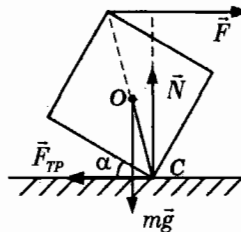


Рис. 1.6.21

Из условия $\vec{F} + m\vec{g} + \vec{N} + \vec{F}_{mp} = 0$ находим: $N = mg$, $F_{mp} = F$.

Скольжение отсутствует при условии $F \leq \mu N$ или $F \leq \mu mg$.

Найдем теперь область возможных значений величины силы F в зависимости от угла α между нижней гранью кубика и горизонтальной плоскостью. Приравняем нулю сумму моментов сил относительно прямой, на которой лежит ребро кубика.

Плечо силы тяжести $h_0 = R \cos(\alpha + \pi/4)$, плечо силы \vec{F} равно

$$h = 2R \sin(\alpha + \pi/4), \quad R = OC.$$

Из второго условия равновесия находим:

$$-2R \sin(\alpha + \pi/4)F + R \cos(\alpha + \pi/4)mg = 0 \rightarrow$$

$$\rightarrow F = (mg/2) \operatorname{tg}(\pi/4 - \alpha).$$

Величина F изменяется от значения $mg/2$ при $\alpha = 0$ до значения $F = 0$ при $\alpha = \pi/4$. Следовательно, кубик можно «кантовать» при условии $\mu \geq 1/2$.

А теперь попытаемся перевернуть через ребро призму, имеющую в сечении правильный $2n$ -угольник. К ребру верхней грани приложим горизонтально направленную силу \vec{F} . Покажите, что в этом случае $F = (mg/2) \operatorname{tg}(\pi/2n - \alpha)$. Условие «качения» призмы приобретает вид $\mu \geq (1/2) \operatorname{tg}(\pi/2n)$. При увеличении числа граней величина силы F уменьшается и условия качения становятся менее жесткими.

1.6.22. На плиту действуют силы \vec{N}_1 , \vec{N}_2 , \vec{N}_3 в точках A , B , C со стороны каждого человека и сила тяжести $m\vec{g}$, приложенная в точке пересечения медиан M .

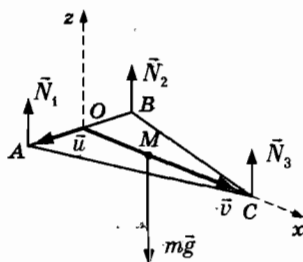


Рис. 1.6.22

Из первого условия равновесия получим уравнение

$$\vec{N}_1 + \vec{N}_2 + \vec{N}_3 + m\vec{g} = 0. \quad (1)$$

В положении равновесия сумма моментов всех сил относительно произвольной точки O равна нулю. Выберем точку O в середине стороны AB и совместим с ней начало координатной системы xuz . Ось x направим по прямой OC , ось z — вертикально вверх (рис. 1.6.22). Радиус-векторы точек приложения сил A, B, C, M соответственно равны $\vec{u}, -\vec{u}, \vec{v}, \vec{v}/3$. Второе условие равновесия приобретает вид

$$\vec{u} \times \vec{N}_1 - \vec{u} \times \vec{N}_2 + \vec{v} \times \vec{N}_3 + (1/3)\vec{v} \times m\vec{g} = 0. \quad (2)$$

В проекциях на оси z, x, y получим из (1), (2) систему уравнений

$$N_1 + N_2 + N_3 - mg = 0, \quad (3)$$

$$u_y N_1 - u_y N_2 = 0, \quad (4)$$

$$-u_x N_1 + u_x N_2 - v N_3 + (v/3)mg = 0, \quad (5)$$

из которой находим: $N_1 = N_2 = N_3 = mg/3$.

1.6.23. Направим ось z вертикально вверх, оси координат x, y расположим на поверхности диска. Очевидно сумма моментов всех сил относительно точки O равна нулю:

$$m_1 \vec{r}_1 \times \vec{g} + m_2 \vec{r}_2 \times \vec{g} + m_3 \vec{r}_3 \times \vec{g} = 0, \quad (1)$$

где $\vec{r}_k = (x_k, y_k, 0)$, $x_k^2 + y_k^2 = R^2$, R — радиус диска, вектор $\vec{c}_k = \vec{r}_k \times \vec{g} / g = (-y_k, x_k, 0)$, $k = 1, 2, 3$.

Найдем вначале косинус угла α_{12} между векторами \vec{r}_1 и \vec{r}_2 :

$$\cos \alpha_{12} = (\vec{c}_1 \vec{c}_2) / R^2.$$

Из (1) имеем уравнение

$$m_1 \vec{c}_1 + m_2 \vec{c}_2 = -m_3 \vec{c}_3, \quad (2)$$

Поскольку $(\vec{c}_1 \vec{c}_2) = (\vec{r}_1 \vec{r}_2)$, то после возведения в квадрат получим

$$m_1^2 + m_2^2 + 2m_1 m_2 (\vec{r}_1 \vec{r}_2) / R^2 = m_3^2, \quad (3)$$

Следовательно,

$$\cos \alpha_{12} = (m_3^2 - m_1^2 - m_2^2) / 2m_1 m_2. \quad (4)$$

Переставляя индексы, найдем $\cos \alpha_{23}$ и $\cos \alpha_{31}$.

Очевидно должны выполняться неравенства

$$m_1 + m_2 > m_3, \quad m_2 + m_3 > m_1, \quad m_3 + m_1 > m_2.$$

1.6.24. Положение и ориентация стержня определяются углом θ между осью стержня и осью x . Координаты центра масс $x_m(\theta)$, $z_m(\theta)$. Потенциальная энергия стержня $W(\theta) = mgz_m(\theta)$.

Пусть $\vec{r}_1, (\vec{r}_2)$ — радиус-вектор правого (левого) концов стержня.

Тогда $x_{1,2} = x_m \pm (l/2)\cos\theta, z_{1,2} = z_m \pm (l/2)\sin\theta$.

Поскольку $z = x^2/2R$, то из системы уравнений

$$z_m \pm (l/2)\sin\theta = [x_m \pm (l/2)\cos\theta]^2/2R$$

находим $z_m(\theta)$ и потенциальную энергию

$$W(\theta) = (mg/8R)(l^2\cos^2\theta + 4R^2\text{tg}^2\theta).$$

Экстремальные значения угла θ получим из уравнения $dW/d\theta = 0$, которое имеет вид

$$2l^2\cos\theta\sin\theta + 8R^2\text{tg}\theta/\cos^2\theta = 0.$$

Отсюда находим два корня $\theta_1 = 0, \cos\theta_2 = (2R/l)^{1/2}, l > 2R$.

В окрестности значений $\theta_1 = 0$ приближенно имеем

$$\cos\theta = 1 - \theta^2/2 + \dots, \text{tg}\theta = \theta + \dots$$

Следовательно, потенциальная энергия стержня

$$W(\theta) = (mg/8R)[l^2 + (4R^2 - l^2)\theta^2] + \dots$$

имеет минимум при $l < 2R$. При значениях $l > 2R$ функция $W(\theta)$ имеет минимум в точке $\theta = \theta_2$.

1.6.25. На катушку действуют сила тяжести, сила трения \vec{f} , сила реакции \vec{N} и сила натяжения нити \vec{T} (рис. 1.6.25 б).

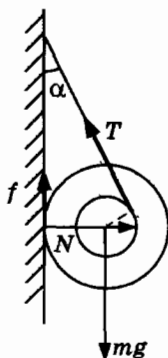


Рис. 1.6.25 б

Из условий равновесия следуют уравнения

$$T\cos\alpha + f - mg = 0, \quad N - T\sin\alpha = 0, \quad fR = Tr.$$

Катушка не будет скользить при условии $mg - T\cos\alpha \leq \mu N$.

Полагая $\alpha = \alpha_m, f = \mu N$, получим $\sin\alpha_m = r/\mu R$.

1.6.26. Из равенства нулю сил тяжести и силы натяжения, действующих на участок каната bc находим $T_b = (mg/2l)(l + \pi R)$.

На участок каната ab действуют силы натяжения, сила тяжести и сила реакции.

Запишем уравнение — сумма проекций на ось z моментов всех сил относительно оси цилиндра равна нулю. Найдем вначале проекцию момента силы тяжести.

Рассмотрим элементарную массу $dm = (m/l)Rd\varphi$ с координатами $x_a = R\cos\varphi$, $y_a = R\sin\varphi$. Проекция момента силы тяжести

$$dM_z = -(m/l)gR^2\cos\varphi d\varphi = -(m/l)gR^2d\sin\varphi = -(m/l)gRdy_a.$$

Вычисляя интеграл в пределах $0 \leq y_a \leq R$, находим $M_z = -(m/l)gR^2$.

Условие равенства нулю проекций моментов сил приобретает вид

$$T_a R - (m/l)gR^2 - (mgR/2l)(l - \pi R) = 0.$$

1.6.28. На рис. 1.6.28 изображены силы, действующие на шар. Если шар лежит на двугранном угле, одна грань которого горизонтальна ($\alpha = 0$), то $N_1 = 0$, $N_2 = mg$. В этом случае шар не деформирует боковую грань, а только касается ее.

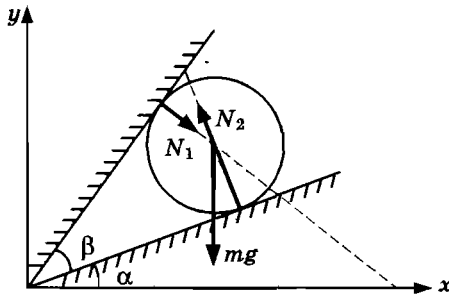


Рис. 1.6.28

1.6.29. На балку действуют сила тяжести $m\vec{g}$, сила натяжения троса \vec{T} и сила реакции \vec{N} , приложенная в точке O . Поскольку на балку действуют три силы, то из второго условия равновесия следует, что они лежат на прямых, пересекающихся в одной точке. Тогда из первого условия равновесия получим

$$T \cos \alpha - N \cos \alpha = 0, \quad T \sin \alpha + N \sin \alpha - mg = 0.$$

1.6.30. А. На машину действует сила тяжести, силы реакции в точках контакта шин и дороги и сила «тяги» величиной μN_2

(рис. 1.6.30). Из условия равенства нулю суммы сил и проекции момента сил относительно центра тяжести получим два уравнения

$$N_1 + N_2 - mg = 0, \quad \mu N_2 - lN_2/2 + lN_1/2 = 0,$$

из которых находим $F = \mu mg/2(1 - \mu R/l)$.

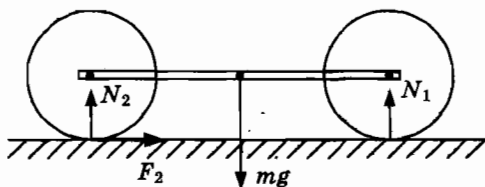


Рис. 1.6.30

1.6.31. На рис 1.6.31 б изображены силы, действующие на стержень, $AB = l_1$, $AC = l_2$. Из условия равновесия получим

$$F_1 = l_2 F / (l_2 - l_1), \quad F_2 = l_1 F / (l_2 - l_1).$$

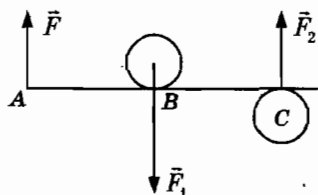


Рис. 1.6.31 б

1.6.33. На рис. 1.6.33 угол между направлением скорости ветра и осью яхты равен $\pi - \alpha$.

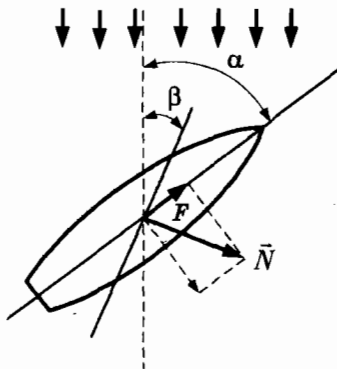


Рис. 1.6.33

Если плоскость паруса расположена перпендикулярно направлению скорости ветра, то сила давления ветра \vec{R} , действующая на парус, максимальна. Если же плоскость паруса образует с направлением скорости ветра угол β , то сила давления на парус $N = R \sin \beta$. Эта сила заставляет яхту смещаться. Однако реальной движущей силой является проекция силы \vec{N} на направление оси яхты, равная $F = N \sin(\alpha - \beta)$, поскольку большая поверхность киля не позволяет яхте смещаться в направлении, перпендикулярном оси.

Следовательно, $F(\beta) = R \sin \beta \sin(\alpha - \beta)$. Эта функция достигает максимального значения $F_m = R \sin^2(\alpha/2)$ при $\beta = \alpha/2$. В этом случае парус расположен так, что делит точно пополам угол между направлением скорости ветра и осью яхты.

1.6.34. Положение картины при плоскопараллельном движении определяется двумя углами: θ — угол между вертикалью и прямой, проходящей через точку подвеса и центр масс, φ — угол между радиус-вектором центра масс и прямой HM , проходящей через середины сторон AB и DC (рис. 1.6.34 а).

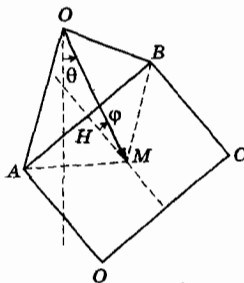


Рис. 1.6.34 а

Потенциальная энергия картины

$$W(\varphi) = -mgs(\varphi)\cos\theta, \quad (1)$$

где $s(\varphi)$ — длина отрезка OM .

В произвольном положении длина нити

$$l = l_1 + l_2, \quad (2)$$

где $l_1 = OA$, $l_2 = OB$.

Из теоремы косинусов получим еще два уравнения

$$(l_{1,2})^2 = s^2 + (c/2)^2 - cscos(\gamma \pm \varphi), \quad (3); (4)$$

где $c = (a^2 + b^2)^{1/2}$, γ — угол HMA .

Из системы (2)–(4) находим

$$s(\varphi) = [a \cos \varphi + (1 - b^2/l^2)^{1/2} (l^2 - c^2 \sin^2 \varphi)^{1/2}] / 2 [1 - (b/l)^2 \sin^2 \varphi] \dots (5)$$

Для исследования устойчивости положения равновесия $\theta = 0$, $\varphi = 0$ разложим функцию $s(\varphi)$ в ряд, используя приближения $\sin \varphi \approx \varphi$, $\cos \varphi \approx 1 - \varphi^2/2$, $1/(1 - \epsilon) \approx 1 + \epsilon$ в окрестности значений $\varphi \ll 1$, $\epsilon \ll 1$. В результате получим

$$s(\varphi) = s_0 - r\varphi^2/2 + \dots, \quad s_0 = s(0) = [a + (l^2 - b^2)^{1/2}] / 2, \\ r = [a(l^2 - 2b^2) - (b^2 - a^2)(l^2 - b^2)^{1/2}] / 2l^2.$$

Потенциальная энергия картины

$$W(\varphi, \theta) = -mgs_0 + mgs_0\theta^2/2 + mgr\varphi^2/2 + \dots$$

Величину r удобно представить в виде

$$r = (s_0 a / l^2) [(l^2 - b^2)^{1/2} - b^2/a].$$

Потенциальная энергия имеет минимум при условии $r > 0$, или $l > bc/a$. Отметим, что при значении $l = bc/a$ углы OAM и OBM в положении равновесия равны $\pi/2$ (рис. 1.6.34 б). Наименьшее значение $l = c$ соответствует картине в форме квадрата.

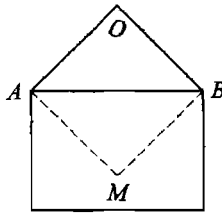


Рис. 1.6.34 б

1.6.35. Волок до сих пор используется при переборке мощными тягачами бурового оборудования по бездорожью. На рис. 1.6.35 изображен человек, тянущий канат, прикрепленный к грузу.

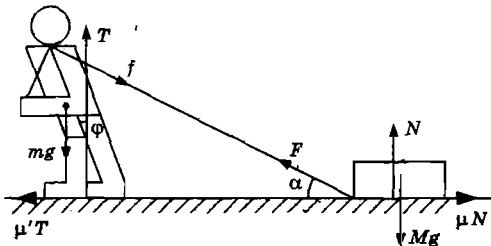


Рис. 1.6.35

Из условий равенства нулю суммы сил, действующих на груз, находим величину силы, приложенной к грузу

$$F(\alpha) = \mu Mg / (\cos\alpha + \mu \sin\alpha),$$

или

$$F(\alpha) = \mu Mg \cos\alpha_0 / \cos(\alpha - \alpha_0), \quad (1)$$

где $\operatorname{tg}\alpha_0 = \mu$.

Функция $F(\alpha)$ имеет минимум равный $\mu Mg / (1 + \mu^2)^{1/2}$ при $\alpha = \alpha_0$ и незначительно изменяется даже при больших значениях μ . Например, при $\mu = 0,3$, значения $\alpha_0 = 17^\circ$, $F(\alpha_0) = 0,995F(0)$. Это облегчает волок всего на 5% по сравнению с горизонтальной тягой.

Положение меняется при рассмотрении условий, создающих силу \vec{F} . Из равенства нулю сил, действующих на человека, получим

$$f(\alpha) = \mu' mg / (\cos\alpha - \mu' \sin\alpha), \quad (2)$$

где μ' — коэффициент проскальзывания подошв по грунту.

Из (2) следует, что сила тяги f значительно возрастает с ростом угла α (т.к. с увеличением угла возрастает величина силы реакции T). Полагая $\alpha = 30^\circ$, $\mu' = 0,3$, получим значение $f(\pi/6) = 1,43f(0)$. Величина силы $f(\pi/6)$ увеличивается на 43% по сравнению с горизонтальным волоком. Приравнивая (1) и (2), получим значение массы тела, которое человек может волочить

$$M = \mu' (\cos\alpha + \mu \sin\alpha) m / \mu (\cos\alpha - \mu' \sin\alpha).$$

Полагая массу человека $m = 100$ кг, $\alpha = 30^\circ$, $\mu = \mu' = 0,3$, получим массу груза $M = 143$ кг. Это значительно больше массы, которую человек может нести на себе.

Однако существенное увеличение угла α приводит к ухудшению устойчивости человека — он вынужден сильно наклоняться вперед. Найдем угол отклонения корпуса φ от вертикали. Предположим, что центр тяжести находится на расстоянии $l/2$ от точки O соприкосновения подошв с землей. Запишем условие равенства нулю суммы моментов сил, действующих на человека относительно оси, проходящей через точку O

$$mg(l/2)\sin\varphi - fl\cos(\varphi + \alpha) = 0.$$

Учитывая (2), найдем, что угол отклонения человека от вертикали определяется соотношением

$$\operatorname{tg}\varphi = 2\mu' / (1 + \mu' \operatorname{tg}\alpha). \quad (3)$$

С увеличением α угол φ быстро убывает. Вместе с этим ухудшается устойчивость человека.

Для значений $\alpha = 30^\circ$, $\mu' = 0,3$, получим согласно (3) $\varphi = 27^\circ$.

1.7. Работа и энергия.

Законы сохранения и изменения полной энергии

1.7.1. В этом случае $\vec{v}(t) = \vec{v}_0 + \vec{g}t$, $\vec{F} = m\vec{g}$, $P(t) = P_0 + mg^2t$, $P_0 = m\vec{g}\vec{v}_0 < 0$. Функция $P(t)$ обращается в ноль при значении $t = t_0$, $t_0 = -\vec{g}\vec{v}_0/g^2$. За интервал времени $[0, T]$ работа силы тяжести равна сумме площадей треугольников OP_0t_0 и t_0KT на рис. 1.7.1:

$$A_{12} = (1/2)[P_0t_0 + P(T)(T - t_0)] = m\vec{g}\vec{v}_0T + mg^2T^2/2.$$

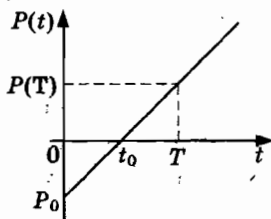


Рис. 1.7.1

Полезно представить работу в виде

$$A_{12} = m\vec{g} [\vec{r}(T) - \vec{r}(0)],$$

где $\vec{r}(T) - \vec{r}(0)$ — приращение радиус-вектора частицы.

1.7.2. На рис. 1.7.2а изображена частица на пружине в трех различных положениях. График проекции силы упругости — функция $F_l(l)$ изображен на рис. 1.7.2б.

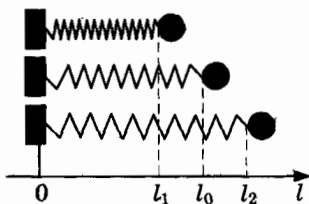


Рис. 1.7.2 а

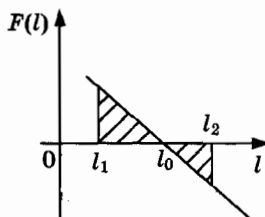


Рис. 1.7.2 б

Из рис. 1.7.26 следует, что искомая работа равна разности площадей двух треугольников $A_{12} = \frac{k}{2} (l_1 - l_0)^2 - \frac{k}{2} (l_2 - l_0)^2$.

Мы приходим к важному выводу, что работа силы упругости, как и работа силы тяжести, не зависит от характера движения тела, а определяется лишь его начальным и конечным положениями. Работа сил тяжести и упругости на замкнутой траектории равна нулю.

1.7.3. А. Для вычисления скалярного произведения в 1.7.1 введем систему координат xy (рис. 1.7.3). Если ось y направлена по вертикали вверх, то проекции вектора равны $g_x = g_x = 0$, $g_y = -g$. В соответствии с определением скалярного произведения получим

$$A_{12} = \sum_{n=1}^N (-mg) \Delta y_n.$$

Полная работа, совершаемая силой тяжести при перемещении тела из точки M_1 в точку M_2 ,

$$A_{12} = -mg(y_2 - y_1) = -mgy_2 + mgy_1. \quad (1)$$

Б. Подставляя (1) в (1.7.3), получим соотношение

$$-mgy_2 + mgy_1 = W(y_1) - W(y_2).$$

Следовательно, потенциальная энергия частицы в поле тяжести

$$W(y) = mgy + \text{const}$$

определяется неоднозначно, поскольку содержит произвольную константу. Мы убедимся далее, что наличие константы не проявляется в решении задач механики. Налагая произвольные условия на значение потенциальной энергии в произвольно выбранной точке, мы получим различные значения константы. В частности, полагая $W(0) = 0$, получим $\text{const} = 0$.

1.7.4. Нет, это утверждение неверно. В данной точке частица имеет определенное значение потенциальной энергии, т.е. значение функции $W(x, y, z)$. Работа силы в данной точке равна нулю. Работа связана не с потенциальной энергией, а с приращением потенциальной энергии при перемещении частицы из одной точки в другую. Потенциальная энергия представляет собой функцию координат частицы, а понятие работы силы можно ввести только при перемещении частицы. При приращении радиус-вектора $\Delta \vec{r}$ элементарная работа $\delta A = -\Delta W(x, y, z)$. Работу силы нельзя «запасать» — совершая работу, мы изменяем полную энергию частицы.

1.7.5. Направим ось z вертикально вверх; начало координат расположим на поверхности земли. Потенциальная энергия грунта, который необходимо вынуть $W_0 = -mgH/2$, $m = \rho SH$.

Полную работу по выемке грунта A_0 найдем из закона изменения полной энергии $0 - W_0 = A_0$. Для того чтобы вырыть колодец до глубины h , необходимо выполнить работу $A = \rho Sh^2/2$.

1.7.6. Потенциальная энергия камня $W = m(v_0 \sin \alpha)^2/2$, кинетическая энергия $K = m(v_0 \cos \alpha)^2/2$.

1.7.7. Используя закон сохранения полной энергии, можно показать, что величины скоростей шариков в точках B и D равны v . Поскольку пути s_1 и s_2 , пройденные каждым шариком, одинаковы, то для решения задачи необходимо рассмотреть уравнение $s_1 = s_2$. Изобразим на рис. 1.7.7б графики функций $v_1(t)$ и $v_2(t)$, следуя качественным соображениям: площади под кривыми $v_1(t)$ и $v_2(t)$ должны быть одинаковы. В результате получим $t_{AB} > t_{CD}$.

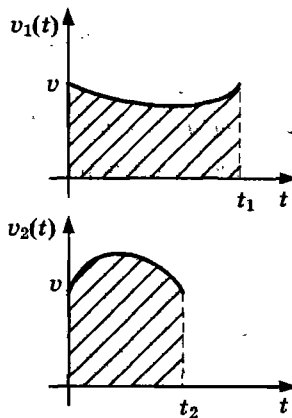


Рис. 1.7.7 б

1.7.8. Из уравнения движения $mdv/dt = F_0 - kv$ следует, что скорость машины возрастает и стремится к постоянному значению.

Элементарная работа силы «тяги», т.е. сил трения пробуксовки $\delta A = F_0 v(t) \Delta t$. Работа за промежуток времени $[t_1, t_2]$ равна площади под графиком функции $f(t) = F_0 v(t)$ на отрезке $[t_1, t_2]$. Изобразите примерный график функции и убедитесь, что $A_1 < A_2$.

1.7.9. Направим ось x вертикально вниз, начало координат расположим на уровне оси. В начальном состоянии потенциальная энергия системы $W = -mgx_c$, $x_c = 5l/18$ — координата центра тяжести,

Согласно закону сохранения полной энергии

$$0 - 5mgl/18 = mv^2/2 - mgl/2.$$

1.7.10. Скорость частицы $\vec{v}_2 = \vec{v}_1 + \vec{v}'_2$, где $\vec{v}_1 = (u, 0, 0)$ — скорость клина, $\vec{v}'_2 = (v \cos \alpha, -v \sin \alpha, 0)$ — скорость частицы относительно клина m (в обозначениях задачи 1.5.3), $v = ds/dt$.

Полная энергия системы $E = m_1 v_1^2/2 + m_2 v_2^2/2 + m_2 g(h - s \sin \alpha)$.

Закон сохранения горизонтальной компоненты полного импульса приводит к уравнению

$$m_1 u + m_2 (u + v \cos \alpha) = P_0. \quad (1)$$

Подставляя скорости \vec{v}_1 и \vec{v}_2 , получим

$$E = mu^2/2 + m_2 (v^2 + 2uv \cos \alpha)/2 + m_2 g(h - s \sin \alpha), \quad m = m_1 + m_2. \quad (2)$$

Для того чтобы найти ускорение частицы $a = dv/dt$, дифференцируем (1)–(2) по времени:

$$0 = m u du/dt + m_2 [v dv/dt + (u dv/dt + v du/dt) \cos \alpha] - m_2 g v \sin \alpha, \quad (3)$$

$$m du/dt + m_2 (dv/dt) \cos \alpha = 0. \quad (4)$$

Из (3)–(4) находим $dv/dt = m g \sin \alpha / (m_1 + m_2 \sin^2 \alpha)$.

1.7.11. Из законов сохранения импульса и полной энергии получим уравнения $2mv = -2mu_1 + 3mu_2$, $mv^2 = mu_1^2 + 3mu_2^2/2$. Путь, пройденный пробиркой $s = u_2 T$, $T = L/v_0$, $v_0 = u_1 + u_2$ — величина скорости шарика относительно пробирки.

1.7.12–1.7.13. Из законов сохранения импульса и полной энергии получим два уравнения $(m_1 - m_2)v = m_2 u$, $(m_1 + m_2)v^2 = m_2 u^2$.

1.7.14–1.7.15. Из законов сохранения импульса и полной энергии следуют уравнения $m_1 v = (m_2 - m_1)u$, $m_1 v^2/2 = (m_1 + m_2)u^2/2$.

1.7.16. Проведем ось x , параллельную вектору \vec{v} , и обозначим проекции скоростей первого и второго шаров после удара через u_1 и u_2 . Из законов сохранения импульса и полной энергии системы шаров следуют два уравнения:

$$m_1 v + 0 = m_1 u_1 + m_2 u_2, \quad (1)$$

$$\frac{m_1 v^2}{2} + 0 = \frac{m_1 u_1^2}{2} + \frac{m_2 u_2^2}{2}. \quad (2)$$

Из (1) найдем

$$u_2 = \frac{m_1}{m_2} (v - u_1). \quad (3)$$

Подставляя u_2 в (2), получим уравнение, из которого найдем скорость первого шара после удара

$$u_1 = \frac{m_1 - m_2}{m_1 + m_2} v. \quad (4)$$

Теперь из (3) получим скорость второго шара после удара

$$u_2 = \frac{2m_1}{m_1 + m_2} v. \quad (5)$$

Энергия, переданная первоначально покоящемуся шару, равна его кинетической энергии после удара

$$K_2 = \frac{m_2 u_2^2}{2} = \frac{4m_1 m_2}{(m_1 + m_2)^2} \frac{m_1 v^2}{2}. \quad (6)$$

Кинетическая энергия первого шара после удара

$$K_1 = \left(\frac{m_1 - m_2}{m_1 + m_2} \right)^2 \frac{m_1 v^2}{2}. \quad (7)$$

Проведем анализ полученных соотношений. Из (4) следует, что налетающий шар отскакивает назад, если его масса $m_1 < m_2$. Если $m_1 > m_2$, то шар продолжает движение с меньшей скоростью. Если массы шаров одинаковы, то налетающий шар остановится, а второй начнет двигаться со скоростью налетающего шара — шары обменяются скоростями. Если $m_1 = m_2/3$, то $u_2 = -u_1 = v/2$. В этом случае шары движутся в противоположные стороны со скоростями одинаковой величины.

Интересно исследовать различные предельные случаи. Если масса первого шара $m_1 \gg m_2$, то из (4), (5) следует, что массивный налетающий шар почти не изменит скорость, а первоначально неподвижный легкий шар начнет двигаться со скоростью $u_2 \approx 2v$ (этот случай рассмотрен в задаче 1.3.9).

Если, наоборот, масса первого шара $m_1 \ll m_2$, то, из (4), (5) следует, что он отскочит назад, причем величина скорости почти не изменится, а первоначально неподвижный шар приобретет небольшую скорость $u_2 \approx (2m_1/m_2)v$. Поэтому энергия, переданная шару равна $K_2 \approx 2m_1^2 v^2/m_2 \ll m_1 v^2/2$. Итак, $u_2 \approx -v$, $u_2 \approx \frac{2m_1}{m_2} v$, $m_1 \ll m_2$; $u_1 = -\frac{v}{2}$,

$u_1 = \frac{v}{2}$, $m_1 = \frac{m_2}{3}$; $u_1 = 0$, $u_2 = v$, $m_1 = m_2$; $u_1 \approx v$, $u_2 \approx 2v$, $m_1 \gg m_2$.

Энергия, переданная неподвижному шару, максимальна только в том случае, когда массы шаров одинаковы. Этот вывод, полученный при рассмотрении центрального удара, справедлив и при нецентральных столкновениях. Поэтому, когда в ядерной энергетике возникает необходимость уменьшить энергию нейтронов, рождающихся в ядерных реакциях, то для замедления нейтронов используют вещества с небольшой атомной массой. Например, из (7) видно, что при столкновении нейтрона с ядром дейтерия, масса которого равна удвоенной массе нейтрона ($m_2 = 2m_1$), энергия нейтрона уменьшается в 9 раз, а при столкновении с ядром углерода в блоке графита ($m_2 = 12m_1$) уменьшится только в 1,4 раза.

1.7.17. Обозначим скорость первого шара до удара через \vec{v} . Скорости первого и второго шаров после удара — \vec{u}_1 и \vec{u}_2 . Угол между векторами \vec{u}_1 и \vec{u}_2 является искомым углом разлета шаров после удара.

Согласно законам сохранения полной энергии и импульса системы имеем уравнения

$$m\vec{v} + 0 = m\vec{u}_1 + m\vec{u}_2,$$

$$\frac{mv^2}{2} = \frac{mu_1^2}{2} + \frac{mu_2^2}{2}.$$

Сокращая массу, получим систему уравнений

$$\vec{v} = \vec{u}_1 + \vec{u}_2, \quad (1)$$

$$v^2 = u_1^2 + u_2^2. \quad (2)$$

Из уравнения (1) следует, что векторы \vec{v} , \vec{u}_1 , \vec{u}_2 образуют треугольник, а из (2) ясно, что этот треугольник прямоугольный с катетами \vec{u}_1 и \vec{u}_2 . Возводя обе части уравнения (1) в квадрат:

$$v^2 = u_1^2 + 2\vec{u}_1\vec{u}_2 + u_2^2, \quad (3)$$

найдем из (2), (3) скалярное произведение $\vec{u}_1\vec{u}_2 = 0$. Поскольку скалярное произведение равно нулю, то векторы \vec{u}_1 и \vec{u}_2 образуют прямой угол.

Этот результат можно понять из качественных соображений, представляя вектор \vec{v} в виде суммы двух векторов, один из которых \vec{v}_{\parallel} параллелен прямой, соединяющей центры шаров, другой вектор \vec{v}_{\perp} перпендикулярен этой прямой. Вектор \vec{v}_{\perp} не изменится при столкновении, так как шары гладкие и удар упругий. Вектор \vec{v}_{\parallel} обратится после столкновения в нуль, так как шары имеют равные массы.

Поэтому после удара налетающий шар будет иметь скорость $\vec{u}_1 = \vec{v}_1$, а второй шар — скорость $\vec{u}_2 = \vec{v}_1$: угол между скоростями после разлета равен 90° .

1.7.18. Из закона сохранения импульса и кинетической энергии системы частиц следует, что величина скорости шаров после взаимодействия не изменится: вектор \vec{v}_1 повернется на угол θ , приращение вектора $\Delta\vec{v} = \vec{v}'_1 - \vec{v}_1$ направлено параллельно прямой, проходящей через центры шаров. Согласно рис. 1.7.18 имеем уравнения $\theta + 2\varphi = \pi$, $b = 2R \sin \varphi$. Величина приращения скорости $\Delta v_1 = 2v_0 \sin \theta/2$.

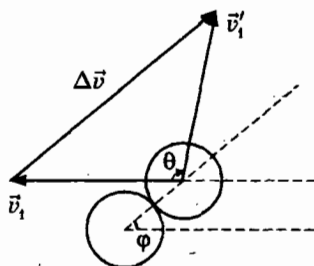


Рис. 1.7.18

1.7.20. Разложим скорость \vec{v}_0 на два взаимно перпендикулярных вектора $\vec{v}_0 = \vec{v}_2 + \vec{v}_3$ (рис. 1.7.20 б). Шар А останавливается только в том случае, если вектор \vec{v}_3 направлен к центру шара С. В треугольнике ABK угол $\alpha = \pi/6$. Из закона сохранения импульса $\vec{v}_0 = \vec{v}_a + \vec{v}_b$ находим $v_c = v_3 = v_0/2$, $v_b = v_2 = v_0 \sqrt{3}/2$.

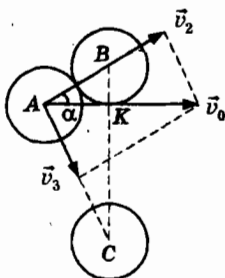


Рис. 1.7.20 б

1.7.21. Если $v = v_0$ то столкновение является абсолютно неупругим. Приращение внутренней энергии системы $\Delta U = m_1 m_2 v_0^2 / 2(m_1 + m_2)$.

В случае $v > v_0$ имеем систему уравнений

$$m_1 v = m_1 v_1 + m_2 v_2, \quad m_1 v^2 / 2 = m_1 v_1^2 / 2 + m_2 v_2^2 / 2 + \Delta U.$$

1.7.22. Примем основания плоскостей за нулевой уровень потенциальной энергии. Поскольку трение отсутствует, то полная энергия имеет одно и то же значение в любой точке траектории. Приравнявая значения полной энергии на вершине плоскости и у основания, получим уравнение $0 + mgH = \frac{mv^2}{2} + 0$.

Отсюда находим, что величина скорости $v = \sqrt{2gH}$ зависит только от высоты горки и не зависит от угла наклона плоскости. Итак, величины скоростей тел v_1 и v_2 одинаковы.

1.7.23. После отскока частица движется по параболе (рис. 1.7.23). Для определения искомой высоты h проще всего воспользоваться законом сохранения полной энергии. На высоте h скорость частицы имеет только горизонтальную компоненту v_r . Приравнявая значения полной энергии в двух точках – на высоте H и в верхней точке параболы на высоте h , получим уравнение $0 + mgH = \frac{mv_r^2}{2} + mgh$.

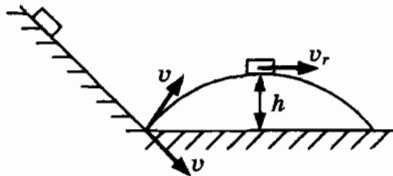


Рис. 1.7.23

Величина скорости у основания наклонной плоскости $v = \sqrt{2gH}$, а горизонтальная компонента скорости $v_r = \sqrt{2gH} \cos \alpha$ при отскоке не изменяется. Следовательно, $h = H \sin^2 \alpha$, $h = H/2$.

1.7.24. Цепь перевалит через горку, если в тот момент времени, когда середина цепи достигнет вершины желоба, скорость цепи обратится в нуль. Выберем в качестве нулевого уровня потенциальной энергии горизонтальную прямую, проходящую через вершину желоба. Тогда полная энергия в начальном состоянии равна $\frac{mv_0^2}{2} + (-mgH)$.

В конечном состоянии центр тяжести цепи находится на расстоянии $(L/4) \cos \alpha$ от вершины треугольника.

Полная энергия в этом состоянии $0 + \left(-mg \frac{L}{4} \cos \alpha\right)$.

Приравнивая значения полных энергий, находим

$$v_0 = \sqrt{2gH \left(1 - \frac{L}{4H} \cos \alpha\right)}.$$

Отметим, что для точечного тела величина наименьшей скорости равна $\sqrt{2gH}$. Для протяженного тела $v_0 < \sqrt{2gH}$.

Этот пример поясняет, почему прыгун в высоту, использующий технику «форсбери-флоп», может достичь большей высоты, чем при прыжке перекатом. Совершая свой знаменитый прыжок «спиной вверх», Дик Форсбери перенес через планку сначала голову, корпус и ноги; при этом центр тяжести оставался ниже уровня планки.

1.7.25. Имеем систему «тело-горка», для которой выполняются законы сохранения полной энергии и горизонтальной компоненты импульса. Потенциальная энергия горки в процессе взаимодействия не изменяется.

В начальном состоянии импульс системы равен mv , полная энергия $mv^2/2 + W$, где W – потенциальная энергия горки. В конечном состоянии тело находится на вершине горки (покоясь относительно горки), движущейся со скоростью u . Импульс системы равен $(M + m)u$, полная энергия $E = (M + m)u^2/2 + mgH + W$. Законы сохранения приводят к уравнениям

$$mv = (m + M)u, \quad (1)$$

$$\frac{1}{2}mv^2 = \frac{1}{2}(M+m)u^2 + mgH. \quad (2)$$

Из второго уравнения видно, что часть кинетической энергии тела переходит в кинетическую энергию горки. Подставляя u из (1) в (2), найдем наименьшее значение величины скорости тела

$$v_m = \sqrt{2gH(1 + m/M)}. \quad (3)$$

В предельном случае $M \gg m$ значение $v \approx \sqrt{2gH}$, как в случае закрепленной горки.

1.7.26. Направим ось x по вертикали вниз, начало координат совместим с точкой подвеса пружины. Сила действующая на груз со стороны пружины $F_x(x) = -k(x - l_0)$.

В положении равновесия $0 = mg - k(l_1 - l_0)$.

Потенциальная энергия груза $W(x) = k(x - l_0)^2/2 - mgx$.

Из закона сохранения полной энергии получим уравнение

$$0 + 0 - mgl_0 = 0 + k(l_2 - l_0)^2/2 - mgl_2.$$

1.7.27. Выберем ось x с началом в точке подвеса и направим ее вертикально вниз. В положении равновесия сумма сил, действующих на частицу, равна нулю: $mg - k(x_1 - l_0) = 0$. Согласно закону изменения полной энергии (1.7.6) искомая работа равна разности потенциальных энергий в точках $x = x_1$ и $x = x_1 + c$:

$$A = W(x_1 + c) - W(x_1),$$

где $W(x) = -mgx + (k/2)(x - l_0)^2$ — потенциальная энергия частицы.

Для упрощения вычислений перейдем к новой координате z , полагая $x = x_1 + z$. В результате получим потенциальную энергию — функцию

$$w(z) = W(x_1 + z) = kz^2/2 + \text{const},$$

где $\text{const} = -mgx_1 + (k/2)(x_1 - l_0)^2$.

Следовательно, $A = w(c) - w(0) = kc^2/2$.

1.7.28. Поскольку теперь работа внешней силы A'_{12} в (1.7.3) равна нулю, то $0 + w(c) = mv^2/2 + w(z)$ или $v^2(z) = (k/m)(c^2 - z^2)$.

1.7.29. Направим ось y вертикально вверх, начало координат поместим на уровень закрепления веревки. Предположим, что сила, действующая на альпиниста, определяется законом Гука. В положении равновесия длина веревки l_1 , $\epsilon_1 = (l_1 - l_0)/l_0$. Из второго закона Ньютона следует уравнение

$$0 = -mg + k(l_1 - l_0). \quad (1)$$

В нижней точке траектории длина веревки возрастет до значения l_2 . Проекция ускорения в этой точке удовлетворяет уравнению

$$ma_2 = -mg + k(l_2 - l_0). \quad (2)$$

Относительное удлинение веревки $\epsilon_2 = (l_2 - l_0)/l_0$ найдем, используя закон сохранения полной энергии. Согласно (1.7.4), (1.7.5) потенциальная энергия груза имеет вид $W(y) = mgy + k(|y| - l_0)^2/2$.

Поскольку полная энергия груза в положениях $y = l_0$ и $y = -l_2$ одинакова, то

$$0 + mgl_0 + 0 = 0 - mgl_2 + k(l_2 - l_0)^2/2. \quad (3)$$

Учитывая (1), получим из (3) значение $\epsilon_2 = \epsilon_1 + (\epsilon_1^2 + 4\epsilon_1)^{1/2}$. Из (2) находим проекцию ускорения на ось x : $a_2 = g(1 + 4/\epsilon_1)^{1/2}$. Подставляя числовые значения, получим $\epsilon_2 \approx 0,4$, $a_2 \approx 10g$.

1.7.30. А. Направим ось y вертикально вниз, начало координат поместим на уровень закрепления шнура. В положении равновесия длина шнура l_1 , $\varepsilon_1 = (l_1 - l_0)/l_0$. Из второго закона Ньютона следует уравнение

$$0 = mg - k(l_1 - l_0). \quad (1)$$

Следовательно, $\varepsilon_1 = mg/kl_0$. Длину шнура l_0 найдем, используя закон сохранения полной энергии. Потенциальная энергия груза имеет вид $W(y) = -mgy + k(y - l_0)^2/2$, $y > l_0$. Поскольку полная энергия груза в положениях $y = 0$ и $y = H$ одинакова, то

$$0 + 0 = 0 - mgH + k(H - l_0)^2/2. \quad (2)$$

Из (2) следует уравнение $2\varepsilon_1 H l_0 = (H - l_0)^2$, из которого находим

$$l_0 = (1 + \varepsilon_1 - \sqrt{2\varepsilon_1 + \varepsilon_1^2})H. \quad (3)$$

Б. Проекцию ускорения в нижней точке траектории найдем из второго закона Ньютона

$$ma_2 = mg - k(H - l_0),$$

или

$$a_2 = g[1 - (H - l_0)/\varepsilon_1 l_0] = g(1 - \sqrt{2H/\varepsilon_1 l_0}).$$

В. Проекцию скорости каскадера в точке с координатой y найдем из закона сохранения полной энергии

$$0 + 0 = mv^2/2 - mgy + k(y - l_0)^2/2.$$

Функция $v(y)$ достигает максимума при значении $y = l_1$:

$$v_m^2 = gl_0(2 + \varepsilon_1).$$

1.7.31. Решение 1. В положении равновесия $z = l_1$ на рис. 1.7.31

$$0 = mg - k(l_1 - l_0), \quad \varepsilon = mg/kl_0. \quad (1)$$

В нижней точке траектории груза

$$ma_m = mg - T, \quad T = k(l_m - l_0). \quad (2)$$

Поскольку в этом положении скорость груза равна нулю, то в случае $h \geq l_1 - l_0$ из закона сохранения полной энергии получаем уравнение

$$mgh_m = k(l_m - l_0)^2/2 - mg(l_m - l_1). \quad (3)$$

Из системы (1)–(3) находим h_m : $h_m = (\varepsilon l_0/2)[(T/mg - 1)^2 + 1]$.

Отметим, что при $T = 2mg$, $h_m = l_1 - l_0$.

Решение 2. Проекцию ускорения груза найдем из второго закона Ньютона

$$ma = mg - k(z - l_0), \quad a_m = g(1 - T/mg). \quad (1)$$

Перейдем к новой координатной оси x с началом в положении равновесия: $z = l_1 + x$. Тогда имеем уравнение

$$a + \omega^2 x = 0, \quad \omega^2 = k/m, \quad (2)$$

с начальными условиями $x(0) = 0, v(0) = v_1$. Решение этого уравнения $x(t) = (v_1/\omega)\sin\omega t$. Скорость v_1 на уровне l_1 найдем из закона сохранения полной энергии

$$mgh_m = mv_1^2/2 + k(l_1 - l_0)^2/2. \quad (3)$$

Из (2) следует, что при $\omega t_m = \pi/2, a_m = -\omega v_1$.

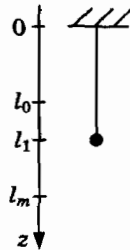


Рис. 1.7.31

1.7.33. Расположим начало координатной оси z на уровне натянутой сетки и направим ось вертикально вверх. Из второго закона Ньютона получаем $ma_0 = -mg + ks$.

Коэффициент жесткости найдем из закона сохранения полной энергии $0 + mgH = 0 + ks^2/2 - mgs \rightarrow a_0 = g(1 + 2H/s)$.

1.7.34. Выберем на горизонтальной плоскости начало координатной оси z , направленной вертикально вверх. Пусть z — координата диска с грузом. Проекция на ось z силы упругости, действующей на диск $F = -k(z - l_0)$. Из второго закона Ньютона следует уравнение движения

$$ma = -k(z - l_0) - mg. \quad (1)$$

Сила реакции, действующая на нижний диск со стороны плоскости $N(t) = k(l_0 - z)$ равна величине силы давления на плоскость. Максимальное значение $N_m = k(l_0 - z_m)$, где z_m — координата груза при значении скорости $v_m = 0$.

Из закона сохранения полной энергии получим уравнение

$$\frac{mv_0^2}{2} + mgl_0 = 0 + \frac{k}{2} (z_m - l_0)^2 + mgz_m. \quad (2)$$

Из (2) получим $N_m = mg + \sqrt{(mg)^2 + kmv_0^2}$.

Поскольку $z_m > 0$, то коэффициент жесткости должен удовлетворять неравенству $k > 2mg/l_0 + m(v_0/l_0)^2$. Отметим, что (1) является дифференциальным уравнением $m \frac{d^2z}{dt^2} + k(z - l_0) = -mg$.

Решением этого уравнения является функция

$$z(t) = l_0 - \frac{mg}{k}(1 - \cos\omega t) - \frac{v_0}{\omega} \sin\omega t, \quad \omega = \sqrt{\frac{k}{m}}.$$

1.7.35. Из закона изменения полной энергии $dE/dt = -\mu mgv$, $E = mv^2/2 + kz^2/2$, $x = l_0 + z$, получим уравнение

$$mv^2/2 + kz^2/2 = -\mu mgz + mv_0^2/2. \quad (1)$$

Полагая в (1) $z = z_m$, $v = 0$, получим решение

$$z_m = \frac{1}{\omega^2} (-\mu g + \sqrt{(\mu g)^2 + v_0^2}), \quad \omega^2 = k/m.$$

1.7.36. Из закона сохранения импульса и закона изменения полной энергии получаем два уравнения

$$\begin{aligned} m_1v_1 + m_2v_2 &= (m_1 + m_2)u, \\ m_1v_1^2/2 + m_2v_2^2/2 - (m_1 + m_2)u^2/2 &= \Delta U. \end{aligned}$$

1.7.37. Из закона сохранения импульса получим уравнение

$$m\vec{v} + 0 = m\vec{u}_1 + m\vec{u}_2.$$

Поскольку $u_1 = u_2 = u$, то скорости образуют треугольник, в котором угол между векторами \vec{u}_1 и \vec{v} равен $\alpha/2$. Следовательно, $v = 2u \cos\alpha/2$. Из закона изменения энергии получим уравнение

$$mv^2/2 + 0 = mu^2/2 + mu^2/2 + \Delta U.$$

После возведения в квадрат обеих частей первого уравнения находим $v^2 = u^2 + 2\vec{u}_1\vec{u}_2 + u^2$. Следовательно, $\Delta U = m\vec{u}_1\vec{u}_2$, $\Delta U = mu^2 \cos\alpha$.

1.7.38. Из закона сохранения импульса системы следует уравнение $4m\sqrt{2E/m} - m\sqrt{2E/m} = 5mu$, где u — скорость системы как целого после неупругого столкновения. Согласно закону изменения полной энергии имеем уравнение $2E = 5mu^2/2 + U$.

1.7.39. Из закона сохранения горизонтальной компоненты импульса системы $mv = 2mu$ найдем скорость u первого и второго шаров после первого столкновения. После второго столкновения скорость каждого шара равна u_3 : $2mu = 3mu_3$.

1.7.40. Решение 1. Из закона изменения кинетической энергии получим уравнение $0 - mv_0^2/2 = A_{\text{тр}}$, m — масса доски, $A_{\text{тр}}$ — работа силы трения. Сила нормального давления равна mg . Проекцию силы трения скольжения F на направление скорости центра масс доски можно представить в виде $F(x) = -\mu mgx/L$, $x \leq L$, где x — координата передней кромки доски на числовой оси с началом на краю пола кузова; $F(x) = -\mu mg$, $x \geq L$. Работа силы трения равна площади под графиком функции $F(x)$ на отрезке $(L/2, L)$:

$$A_{\text{тр}} = -(1/2)[\mu mgL - \mu mgL/4] = -(3/8)\mu mgL.$$

Решение 2. Из второго закона Ньютона получим уравнение

$$ma = -\mu mgx/L.$$

Начальные условия $x(0) = L/2$, $v(0) = v_0$.

Представим уравнение в виде $d^2x/dt^2 + \omega^2x = 0$, $\omega^2 = \mu g/L$. Решение уравнения, удовлетворяющее начальным условиям,

$$x(t) = (L/2)\cos\omega t + (v_0/\omega)\sin\omega t \equiv A\sin(\omega t + \alpha),$$

$$A\sin\alpha = L/2, A\cos\alpha = v_0/\omega, A^2 = (L/2)^2 + (v_0/\omega)^2. \quad (1)$$

Скорость доски $v(t) = A\omega\cos(\omega t + \alpha)$. Из условий $x(\tau) = L$, $v(\tau) \geq 0$ получим уравнения

$$L = A\sin(\omega\tau + \alpha), 0 = A\cos(\omega\tau + \alpha). \quad (2)$$

Из (1), (2) находим $\omega\tau + \alpha = \pi/2$, $L = A$, $\alpha = \pi/6$.

Отметим, что из уравнения $L = A$ получим минимальное значение скорости v_0 .

1.7.41. Согласно закону изменения кинетической энергии (1.7.6) в случае $w \leq \mu g$ имеем $K_2 - K_1 = F_{\text{тр}}s$ или $K_2 - K_1 = mws$. При $w \geq \mu g$ в результате действия силы трения μmg тело перемещается за интервал времени T относительно доски на $\Delta x_1 = \mu gT^2/2$, доска — на $s = wT^2/2$. Следовательно, в этом случае $K_2 - K_1 = mws(\mu g/w)^2$. Отметим, что сила трения совершает положительную работу.

1.7.42. Согласно закону изменения полной энергии имеем уравнение

$$[0 + mgH] - [0 + 0] = A + A_{\text{тр}}^{(1)}, \quad (1)$$

где $A_{\text{тр}}^{(1)}$ — работа силы трения при втаскивании груза.

Предположим, что $\mu \leq \operatorname{tg} \alpha$. Тогда груз может скользить вниз по наклонной плоскости клина. Используя еще раз закон изменения полной энергии, получим уравнение

$$[mv^2/2 + 0] - [0 + mgH] = A_{\text{тр}}. \quad (2)$$

Поставленная задача может быть решена только при дополнительных условиях. Пусть груз втаскивают с помощью веревки, натянутой параллельно наклонной плоскости.

Тогда $A_{\text{тр}} = A_{\text{тр}}^{(1)}$, $v = (4gH - 2A/m)^{1/2}$, а работа A удовлетворяет условию $A \leq 2mgH$, эквивалентному неравенству $\mu \leq \operatorname{tg} \alpha$.

Действительно, в этом случае работа силы трения $A_{\text{тр}}^{(1)} = -\mu Ns$, где $N = mg \cos \alpha$, $s = H/\sin \alpha$ или $A_{\text{тр}}^{(1)} = -\mu mgH \operatorname{ctg} \alpha$.

Из (1) находим $A = mgH + \mu mgH \operatorname{ctg} \alpha \leq 2mgH$.

1.7.43. В горизонтальном направлении на тело действуют сила трения скольжения, проекция которой $F = -\mu mg$, а на доску — сила трения $F = -F$. После того как скорость тела относительно доски станет равной нулю, доска и тело как целое движутся со скоростью u . Поскольку сумма проекций всех внешних сил (сил реакций и тяжести) на горизонтальное направление равна нулю, то сохраняется горизонтальная компонента импульса системы:

$$0 + mv = (M + m)u. \quad (1)$$

Теперь в системе, связанной с Землей, запишем закон изменения полной энергии (1.10.16) каждого тела системы:

$$\frac{mu^2}{2} - \frac{mv^2}{2} = -\mu mgx_2 < 0, \quad \frac{Mu^2}{2} - 0 = \mu mgx_1 > 0,$$

где x_2 , x_1 — перемещения тела и доски относительно Земли.

Отметьте, что сила трения, действующая на доску, совершает положительную работу. Складывая эти уравнения, получим закон изменения полной энергии системы

$$\frac{1}{2} (m + M)u^2 - \frac{1}{2} mv^2 = -\mu mg(x_2 - x_1) < 0. \quad (2)$$

Из уравнений (1), (2) находим перемещение тела относительно доски $x_2 - x_1 = \frac{Mv^2}{2\mu g(m + M)}$. При $m \ll M$ перемещение тела $x_2 - x_1 = v^2/(2\mu g)$ оказывается таким же, как и в случае закрепленной доски.

1.7.44. Из закона изменения полной энергии получим уравнения

$$mu^2/2 + mgh_2 - mgh_1 = -\mu mg \cos \alpha (h_1 - h_2) / \sin \alpha. \quad (1)$$

$$K_m - mgh_1 = -\mu mgh_1 \operatorname{ctg} \alpha. \quad (2)$$

Отсюда находим $K_m = mh_1 u^2 / 2 \Delta h$, $\Delta h = h_1 - h_2$.

1.7.45. Исходя из закона изменения полной энергии, получим систему уравнений

$$\begin{aligned} mu^2/2 - (mv_1^2/2 + mgh) &= -\mu mgh \operatorname{ctg} \alpha, \\ mv_2^2/2 + mgh - mu^2/2 &= -\mu mgh \operatorname{ctg} \alpha. \end{aligned}$$

1.7.46. Согласно закону изменения полной энергии получим уравнение $mv^2/2 - mgl/2 + mgl/4 = A_{\text{тр}}$, $A_{\text{тр}} = -\mu mgl/8$.

1.7.47. После неупругого столкновения атом и частица движутся с одинаковой скоростью u . Согласно закону сохранения импульса системы

$$mv + 0 = (m + M)u, \quad (1)$$

где v — скорость частицы до столкновения.

Из закона изменения полной энергии следует уравнение

$$\frac{mv^2}{2} = \frac{(m + M)u^2}{2} + Q. \quad (2)$$

Из уравнений (1), (2) находим $Q = \frac{M}{m + M} K$.

Из этого выражения следуют интересные предельные случаи:

$$Q = K, m \ll M; \quad Q = \frac{1}{2} K, m = M; \quad Q = \frac{M}{m} K \ll K, m \gg M.$$

Мы приходим к выводу, что при неупругом столкновении легкой частицы, например, электрона с атомом, происходит полная передача кинетической энергии атому — атом возбуждается и испускает фотон.

Если рассмотреть аналогичную задачу столкновения макроскопических тел, то величина Q — приращение внутренней энергии системы тел.

1.7.48. Если ускорение бруска равно нулю, то на брусок действуют сила со стороны пружины $F_x = -k(x - l_0)$ и сила трения покоя: $0 = -k(x - l_0) + F_{\text{тр}}$.

При значении $x = x_1$ сила трения покоя достигает максимальной величины μmg :

$$0 = -k(x_1 - l_0) + \mu mg. \quad (1)$$

Работа, совершаемая внешней силой $F_{\text{ex}} = k(x_1 - l_0)$ равна

$$A = k(x_1 - l_0)^2/2. \quad (2)$$

Из уравнений (1), (2) находим $A = (\mu mg)^2/2k$, $A = 0,1$ Дж.

1.7.49. Выберем на горизонтальной плоскости начало координатной оси z , направленной вертикально вверх. Обозначим z_1, z_2 координаты центров масс первого и второго дисков. Проекции на ось z сил упругости, действующих на первый и второй диски, равны соответственно $F_1 = k(z_2 - z_1 - l_0)$, $F_2 = -k(z_2 - z_1 - l_0)$. Рассмотрим вначале движение второго диска при значении $z_1(t) = 0$. Из второго закона Ньютона следуют два уравнения

$$0 = k(z_2 - l_0) - m_1 g + N(t), \quad m_2 a_2 = -k(z_2 - l_0) - m_2 g. \quad (1)$$

Здесь $N(t)$ — проекция силы реакции, действующей на первый диск со стороны плоскости. В положении равновесия $a_2 = 0$, $z_2 = z_{2e}$, $N = N_e$ (рис. 1.7.49 а). Из (1) находим $z_{2e} = l_0 - m_2 g/k$, $N_e = mg$, $m = m_1 + m_2$.

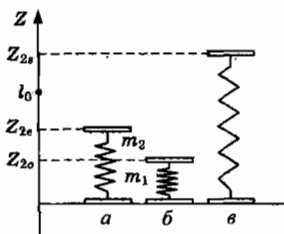


Рис. 1.7.49 а, б, в

В начальный момент времени $t = 0$, когда второй диск отпустили, координаты дисков соответственно равны $z_1(0) = 0$, $z_2(0) = z_{20}$, $\dot{z}_{20} = z_{2e} - c$ (рис. 1.7.49 б). Система оторвется от плоскости в тот момент времени $t = t_e$, когда сила реакции $N(t) = m_1 g - k(z_2 - l_0)$ обратится в нуль. Следовательно, координата второго диска в момент отрыва $z_{2e} = l_0 + m_2 g/k$ (рис. 1.7.49 в). Величину скорости в этом положении v_{2e} найдем из закона сохранения полной энергии второго диска

$$0 + (k/2)(z_{20} - l_0)^2 + m_2 g z_{20} = m_2 v_{2e}^2 / 2 + (k/2)(z_{2e} - l_0)^2 + m_2 g z_{2e} \rightarrow \\ \rightarrow v_{2e}^2 = (k/m_2)[c^2 - (mg/k)^2].$$

Следовательно, система подпрыгнет при условии $c > mg/k$. Отметим, что скорость v_2 достигает наибольшего значения $(kc^2/m_2)^{1/2}$ при $z = z_{2e}$.

1.7.50. Согласно определению координаты центра масс $z_c = 0$, $y_c = 0$, $z_c = (m_1 z_1 + m_2 z_2)/m$, проекция скорости центра масс на ось z равна $v_c = (m_1 v_1 + m_2 v_2)/m$. Для определения максимальной высоты подъема центра масс системы z_{cm} используем закон сохранения полной энергии системы как целого в однородном поле тяжести

$$mv_c^2/2 + mgz_c = \text{const.}$$

Из закона сохранения полной энергии центра масс получим уравнение $0 + mgz_{cm} = (m/2)(m_2 v_{2z}/m)^2 + m_2 g z_{2z}$. Подставляя значения z_{2z} и v_{2z} , находим $z_{cm} = (m_2/m)(z_{2z} + (k/2mg)[c^2 - (mg/k)^2])$.

Применим полученные результаты для оценки работы, совершаемой человеком, при прыжке в высоту с места. Приращение координаты центра масс

$$\Delta z_c = z_{cm} - (m_2/m)z_{2z} = (km_2/2m^2g)[c^2 - (mg/k)^2].$$

Мышцы ног при перемещении $\Delta z_2 = z_{2z} - z_{20} = c + mg/k$ совершают работу

$$A = W(z_{20}) - W(z_{2z}),$$

$$A = k(z_{20} - l_0)^2/2 - k(z_{2z} - l_0)^2/2 = (k/2)(c + mg/k)[c + (m_2 - m_1)g/k].$$

В лучшем прыжке центр масс поднимается приблизительно на величину $\Delta z_c = 0,6$ м при перемещении $\Delta z_2 = 0,3$ м. Полагая $m_1 \approx 0$, представим работу в виде $A = k\Delta z_2^2/2 = mg(\Delta z_2 + \Delta z_c)$. Для прыгуна массой $m = 70$ кг находим $A = 617$ Дж. Величина мышечного усилия в начальной стадии прыжка $F = k|\Delta z_2|$, $F = 6mg$.

1.7.51. Записывая уравнения движения первой и второй частиц в произвольной инерциальной системе отсчета, можно стандартным приемом получить закон изменения полной энергии E :

$$E_f - E_i = 0, \\ E = m_a v_a^2/2 + m_b v_b^2/2 + W(|\vec{r}_a - \vec{r}_b|) \quad (1)$$

где E_f , E_i — полные энергии системы в конечном и начальном состояниях.

В соответствии с законом сохранения импульса замкнутой системы можно сформулировать как утверждение о движении ее центра масс \vec{R} с постоянной скоростью \vec{u} . При изучении движения замкнутой системы удобно пользоваться системой отсчета, в которой ее центр масс покоится, не рассматривая равномерное и прямолинейное движение системы как целого (с.ц.м). С этой целью перейдем к новым переменным, производя замену $\vec{r}_a = \vec{R} + m_b \vec{r} / m$, $\vec{r}_b = \vec{R} - m_a \vec{r} / m$, $m = m_a + m_b$.

Скорости частиц связаны со скоростью центра масс \vec{u} и относительной скоростью $\vec{v}_0 = \vec{v}_a - \vec{v}_b$ соотношениями $\vec{v}_a = \vec{u} + m_b \vec{v}_0 / m$, $\vec{v}_b = \vec{u} - m_a \vec{v}_0 / m$.

Подставляя \vec{v}_a , \vec{v}_b в (1), получим закон изменения полной энергии

$$E_0 - E_0 = A_{\text{вн}}, \quad E_0 = \mu (\vec{v}_a - \vec{v}_b)^2/2 + W(|\vec{r}_a - \vec{r}_b|), \quad (2)$$

явно удовлетворяющую принципу относительности Галилея. Здесь введено обозначение $\mu = m_a m_b / (m_a + m_b)$ — так называемая *приведенная масса*. Из (2) получим закон сохранения полной энергии частиц

$$\frac{\mu}{2} (\vec{v}_a - \vec{v}_b)^2 + W(|\vec{r}_a - \vec{r}_b|) = \text{const.}$$

1.7.52. В начальном и конечном состояниях проекция скорости камня относительно Земли $v_{pz} = 0$, $v'_{pz} = v$.

Если использовать закон изменения полной энергии (2), полученный в задаче 1.7.51, то парадоксы не появляются, поскольку формулировка закона включает только относительные скорости и координаты. В конечном состоянии относительная скорость $v_0 = v'_{pz} = v$. Тогда из (2) имеем уравнение

$$\mu v^2 / 2 - 0 = A', \quad \mu = mM / (m + M). \quad (1)$$

Отметим, что $\mu \approx m$. Однако полезно рассмотреть ситуацию в произвольной инерциальной системе отсчета.

Согласно правилу «сложения скоростей» $v_{pk} = v_{pz} + v_{zk}$, где v_{pk} — проекция скорости камня в инерциальной системе отсчета K , v_{pz} — в системе, связанной с Землей, v_{zk} — проекция скорости Земли в системе K . В системе K , движущейся со скоростью u , проекция скорости Земли и камня в начальном состоянии $v_{zk} = -u$, $v_{pk} = -u$. В конечном состоянии $v'_{zk} = v_3$, $v'_{pk} = v_0 + v_3$. Из закона сохранения импульса и закона изменения полной энергии получим уравнения

$$\begin{aligned} -mu - Mu &= m(v_0 + v_3) + Mv_3, \\ m(v_0 + v_3)^2 / 2 + Mv_3^2 / 2 - mu^2 / 2 - Mu^2 / 2 &= A'. \end{aligned}$$

Исключая скорость Земли v_3 , получим соотношение (1), не зависящее от скорости системы отсчета u .

1.7.53. В системе отсчета связанной с эскалатором проекция скорости человека на прямую, параллельную ленте v' . Работа, совершенная человеком $A = mg v' T \sin \alpha$. Очевидно, $(v' - u) T \sin \alpha = h$.

1.7.54. Введем ось x с началом в точке закрепления пружины. На тело действуют сила упругости $F_x = -k(x - l_0)$, сила тяжести, сила реакции и сила трения. Перейдем к новой координате z : $x = l_0 + z$. Тогда сила упругости $F_x = -kz$, потенциальная энергия частицы $W(z) = kz^2 / 2$. Если скорость и ускорение частицы равны нулю, то координата z удовлетворяет условию $-\mu mg < -kz < \mu mg$. При движении частицы сила трения $\vec{f} = -\mu mg \vec{v} / v$.

Уравнение движения частицы имеет вид $ma = -kz - \mu mgv/|v|$, или $ma = -kz + \mu mg, v < 0$; $ma = -kz - \mu mg, v > 0$.

Поскольку $kc > \mu mg$, то $a < 0$; частица будет смещаться влево. В момент времени t_m ускорение обращается в нуль $a(t_m) = 0$ в точке $z(t_m) = b, b = \mu mg/k$. Скорость $v(t_m) < 0$. При значениях $z < b$ ускорение $a > 0$; скорость частицы возрастает и достигает значения равного нулю в точке z_1 . Согласно закону изменения полной энергии имеем уравнение $0 + kz_1^2/2 - (0 + kc^2/2) = \mu mg(z_1 - c)$, из которого находим $z_1 = -c + 2\mu mg/k < 0$. В этом положении проекция на ось z силы упругости $-kz_1 < \mu mg$. Следовательно, частица останется в состоянии покоя на расстоянии $l_0 + z_1$ от точки закрепления пружины.

1.7.55. Поскольку скорость достигает наибольшего значения в момент времени t_m , когда $a(t_m) = 0, z(t_m) = b$, то из закона изменения полной энергии имеем уравнение

$$mv_m^2/2 + kb^2/2 - (0 + kc^2/2) = \mu mg(b - c).$$

Отсюда находим $v_m^2 = (k/m)(c - b)^2$.

1.7.56. Решение уравнения $ma = -kz + \mu mg$ с начальными условиями $z(0) = c, v(0) = 0$ представляет собой функцию

$$z(t) = b + (c - b)\cos \omega t, \omega = \sqrt{k/m}, 0 \leq t \leq t_1.$$

Скорость частицы $v(t) = -(c - b)\omega \sin \omega t$.

Из уравнения $v(t_1) = 0$ находим $t_1 = \pi/\omega$.

Отметим, что решения задач 1.7.54 и 1.7.55 следуют из соотношений $z_1 = z(t_1), v_m = v(t_m), t_m = \pi/2\omega$.

1.7.57. Введем ось x с началом в точке закрепления пружины и направим ее параллельно наклонной плоскости вниз. На тело действуют сила упругости $F_x = -k(x - l_0)$, сила тяжести, сила реакции плоскости и сила трения. Проекция силы тяжести на ось x равна $mg \sin \alpha$. Величина силы реакции $N = mg \cos \alpha$. Теперь необходимо перейти к новой координате $z: x = l_0 + (mg/k) \sin \alpha + z$. Тогда потенциальная энергия частицы на пружине $W(z) = kz^2/2$.

Если скорость и ускорение частицы равны нулю, то координата z удовлетворяет условию $-\mu N < -kz < \mu N$.

Уравнение движения имеет вид $ma = -kz - \mu Nv/|v|$.

Следовательно, $ma = -kz + \mu N, v < 0$; $ma = -kz - \mu N, v > 0$.

Начальные условия $z(0) = -L, v(0) = 0$. Поскольку $-kz(0) > \mu N, (kL > \mu N)$, то частица будет смещаться вниз по плоскости; $v > 0$. В точке $z(t_m) = -b, b = \mu N/k$ ускорение $a(t_m)$ обращается в нуль. При значениях $z > -b$ ускорение $a < 0$ и скорость частицы достигает зна-

чения равного нулю в точке z_1 . Согласно закону изменения полной энергии имеем уравнение $0 + kz_1^2/2 - (0 + kL^2/2) = -\mu N(z_1 + L)$, из которого находим $z_1 = L - 2\mu N/k > 0$. В этом положении проекция на ось z силы упругости $-kz_1 < -\mu N$. Следовательно, частица останется в состоянии покоя на расстоянии $l_0 + (mg/k)\sin\alpha + z_1$ от точки закрепления пружины.

Полное перемещение частицы $s = z_1 - z(0) = 2L - 2\mu N/k$. Отметим, что $z(t) = -b - (L - b)\cos \omega t$, $v(t) = (L - b)\omega \sin \omega t$.

1.7.58. Поскольку скорость достигает наибольшего значения в момент времени t_m , когда $a(t_m) = 0$, $z(t_m) = -b$, то из закона изменения полной энергии имеем уравнение

$$mv_m^2/2 + kb^2/2 - (0 + kL^2/2) = -\mu N(L - b).$$

Отсюда находим $v_m^2 = (k/m)(L - b)^2$.

1.7.59. Пусть x_1, x_2 — координаты частиц, $x_2 > x_1$, f_x — проекция силы трения, s — расстояние, на которое переместится первая частица. Из второго закона Ньютона $m_2 a_2 = f_x - k(x_2 - x_1 - l_0)$ найдем условие, при котором сдвинется вторая частица: $ks \geq \mu m_2 g$. В этот момент времени расстояние между частицами $l_0 - s$. Теперь из закона изменения полной энергии $0 + ks^2/2 - m_1 v_{10}^2/2 = -\mu m_1 g s$ находим

$$v_{10}^2 = (m_2/m_1)(m_2 + 2m_1)(\mu g)^2/k.$$

1.7.60. Полная энергия частицы

$$E = \frac{m}{2}(a^2 + b^2) \left(\frac{d\varphi}{dt} \right)^2 + mgb\varphi. \quad (1)$$

Из дифференциального уравнения (1) можно найти функцию $\varphi(t)$. Однако проще взять производную (1) и получить уравнение

$$(a^2 + b^2) \frac{d^2\varphi}{dt^2} = -gb, \text{ или } (a^2 + b^2) \frac{d^2z}{dt^2} = -gb^2. \text{ Следовательно,}$$

$$z(t) = -\frac{gb^2 t^2}{2(a^2 + b^2)} + h. \text{ Компоненту силу реакции } N_z \text{ найдем из второго}$$

$$\text{закона Ньютона } m \frac{d^2z}{dt^2} = -mg + N_z.$$

1.7.61. Координаты частиц $y_A(t) = l \cos\varphi(t)$, $x_B(t) = l \sin\varphi(t)$. Угловая скорость стержня $\omega(t) = d\varphi/dt$. Скорости частиц $v_A = -l\omega \sin\varphi$, $v_B = l\omega \cos\varphi$. Из закона сохранения полной энергии системы следует уравнение

$$m(l\omega)^2/2 + mgl \cos\varphi = mgl \rightarrow \omega = [2g(1 - \cos\varphi)/l]^{1/2}. \quad (1)$$

Максимальное значение функции $v_B(t) = l\omega \cos\varphi$ найдем из условия $dv_B/dt = 0$:

$$-\omega \sin\varphi + (g/\omega l) \sin\varphi \cos\varphi = 0 \rightarrow \cos\varphi_m = 2/3.$$

Отметим, что (1) представляет собой дифференциальное уравнение, решение которого можно записать в терминах эллиптического синуса.

1.7.62. Для того, чтобы убедиться в этом утверждении, необходимо сравнить значения минимальной работы, которую совершит внешняя сила, выводя каждый кубик из положения равновесия. Работу внешней силы можно вычислить косвенным путем, используя закон изменения полной энергии.

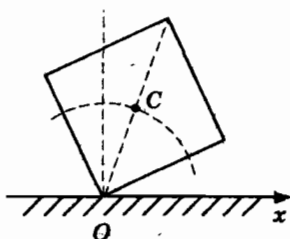


Рис. 1.7.62

На рис. 1.7.62 точка C — центр тяжести кубика. Обозначим φ — угол между осью x и отрезком OC . Потенциальная энергия кубика $W(\varphi) = mgR \sin\varphi$, где $R = OC$.

В начальном положении $\varphi = \pi/4$, в конечном — $\varphi = \pi/2$.

Следовательно, $A' = W(\pi/2) - W(\pi/4)$, $A' = mgR(1 - \sqrt{2}/2)$.

Работа по подъему центра тяжести первого кубика

$$A'_1 = \rho a^4 g (\sqrt{2} - 1) / 2.$$

Работа, совершаемая при опрокидывании второго кубика

$$A'_2 = 8\rho a^4 g (\sqrt{2} - 1).$$

Второй кубик более устойчив.

1.7.63. Введем ось y с началом в точке O и направим ее вертикально вверх. Потенциальная энергия стержня $W(\varphi) = m_a g y_a + m_b g y_b$, где $y_a = -(a/2)\cos\varphi$, $y_b = -(b/2)\sin\varphi$.

Следовательно, $W(\varphi) = -m_a g (a/2)\cos\varphi - m_b g (b/2)\sin\varphi$.

Положим $m = m_a + m_b$, $\frac{m_a a}{2m} = s \cos\varphi_0$, $\frac{m_b b}{2m} = s \sin\varphi_0$.

Тогда получим потенциальную энергию в виде

$$W(\varphi) = -mgscos(\varphi - \varphi_0).$$

Положение равновесия находим из уравнения $dW/d\varphi = 0$:

$$\sin(\varphi - \varphi_0) = 0, \quad \varphi = \varphi_0, \quad \operatorname{tg}\varphi_0 = (b/a)^2.$$

1.7.64. Потенциальная энергия системы

$$W(\varphi) = -4mgac\cos\varphi + ka^2(\sin\varphi - 1/\sqrt{2})^2 + ka^2(\cos\varphi - 1/\sqrt{2})^2.$$

В положении равновесия $dW/d\varphi = 0$:

$$4mgasin\varphi + \sqrt{2}ka^2(\sin\varphi - \cos\varphi) = 0.$$

1.7.65. Выберем значение потенциальной энергии на уровне прямой, которой принадлежит отрезок OP равной нулю. Длина отрезка $AP = R(\operatorname{tg}\varphi + \operatorname{ctg}\varphi)$. Потенциальная энергия системы

$$W(\varphi) = -2mgR[2 - (\operatorname{tg}\varphi + \operatorname{ctg}\varphi)]\sin\varphi.$$

Из условия равновесия $dW/d\varphi = 0$ получим уравнение

$$x^3 + x - 2 = 0,$$

где $x = \operatorname{tg}\varphi$.

Разлагая левую часть на множители $(x - 1)(x^2 + x + 2) = 0$, получим решение: $x = 1$, $\varphi_m = \pi/4$. Отметим, что в точке φ_m вторая производная $d^2W/d\varphi^2 = 8\sqrt{2}mgR > 0$ — вертикальные колебания системы устойчивы.

1.7.66. На рис. 1.7.66 координаты частиц связаны соотношением $x_1 + x_2 = l$. Поскольку наложена связь, то система имеет одну степень свободы. Полагая $x_1 = x$, $x_2 = l - x$, получим потенциальную энергию системы

$$W(x) = -m_1gx - m_2g(l - x) - \rho gx^2/2 - \rho g(l - x)^2/2.$$

В начальном состоянии $x = x_0$, $x_0 = (l + h)/2$, в конечном состоянии $x = x_0 + \Delta x$. Приращение потенциальной энергии

$$\Delta W = W(x_0 + \Delta x) - W(x_0).$$

1.7.67. Согласно закону изменения полной энергии работа равна приращению потенциальной энергии груза. При растяжении пружины на величину $\Delta l = mg/k$ груз лежит на столе. Приращение потенциальной энергии $(mg)^2/2k$. При подъеме груза приращение потенциальной энергии mgh .

1.7.68. Максимальная дальность полета на уровне кольца

$$R = (v_1^2/g)\sin 2\alpha_1.$$

Из закона сохранения полной энергии следует уравнение

$$mv_0^2/2 = mgH + mv_1^2/2.$$

1.7.70. Введем обозначения: $v(t)$ — скорость цепочки, $x(t)$ — длина части цепочки на отрезке OA в момент времени t . Из закона сохранения полной энергии получаем уравнение

$$mv_0^2/2 + 0 = mv^2/2 + (mx/l)g(x/2)\sin\alpha$$

или

$$mv_0^2/2 = mv^2/2 + mgx^2/4l. \quad (1)$$

Полагая $v = 0$, $x = b$, находим $v_0 = b(g/2l)^{1/2}$.

Теперь, дифференцируя (1), получаем уравнение

$$d^2x/dt^2 + \omega^2x = 0, \quad \omega^2 = g/2l. \quad (2)$$

Учитывая начальные условия $x(0) = 0$, $v(0) = v_0$, получим решение $x(t) = (v_0/\omega)\sin \omega t$. Полагая $x(\tau) = b$, находим $\omega\tau = \pi/2$.

1.8. Движение по окружности

1.8.1. На систему человек-мотоцикл действуют три силы: сила тяжести $m\vec{g}$, сила реакции \vec{N} , перпендикулярная поверхности цилиндра, и сила трения покоя \vec{F}_{TP} (рис. 1.8.1).

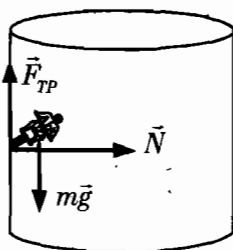


Рис. 1.8.1

Согласно второму закону Ньютона $m\vec{a} = m\vec{g} + \vec{N} + \vec{F}_{TP}$. Запишем это уравнение в проекциях три взаимно перпендикулярные оси. Одно из уравнений имеет вид $0 = 0$, два других

$$m \frac{v^2}{R} = N, \quad (1)$$

$$0 = F_{TP} - mg. \quad (2)$$

Уравнения (1), (2) содержат три неизвестных величины. Однако при движении с наименьшей скоростью проекция силы трения по координате $F_{\text{тр}}$ должна быть равна μN . Подставляя это значение в (2), определим величину силы реакции. Теперь из (1) получим наименьшее значение скорости мотоциклиста $v_{\text{min}} = \sqrt{\frac{gR}{\mu}}$.

1.8.2. На прямолинейном участке сумма сил тяжести $m\vec{g}$ и реакции \vec{N} равна нулю. При движении по параболической части желоба сила реакции становится равной $\vec{N} + \vec{T}$, где \vec{T} — вектор в горизонтальной плоскости, перпендикулярный касательной в каждой точке параболы — траектории центра шара. В точке B вектор \vec{T} направлен по оси y .

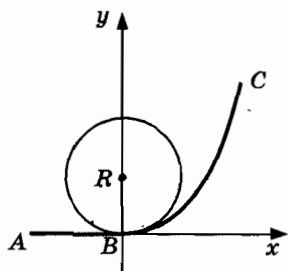


Рис. 1.8.2

Дуга параболы в окрестности точки B может быть представлена как часть дуги окружности радиуса R , центр которой находится на оси y (рис. 1.8.2). Тогда из второго закона Ньютона имеем уравнение

$T = m \frac{v^2}{R}$. Найдем радиус этой окружности. Уравнение дуги окружности в области $kx \ll 1$ должно иметь вид $x^2 + (y - R)^2 = R^2$.

Подставляя $y = kx^2/2$ и пренебрегая членом $\sim x^4$, найдем значение $R = 1/k$. следовательно, при переходе на параболический участок желоба шар испытывает удар силой $T = kmv^2$. Подставляя числовые данные, находим $T = 1000 \text{ Н} \approx 100 \text{ кгс}$.

1.8.3. На бусинку действуют сила тяжести $m\vec{g}$ и сила реакции \vec{N} . В результате действия этих сил бусинка движется по кольцу с возрастающей по величине скоростью.

Уравнение движения бусинки $m\vec{a} = m\vec{g} + \vec{N}$.

В положении В на рис. 1.8.3 сумма проекций всех сил на направление к центру окружности равна произведению массы бусинки на центростремительное ускорение

$$m \frac{v^2}{R} = mg \cos \alpha - N. \quad (1)$$

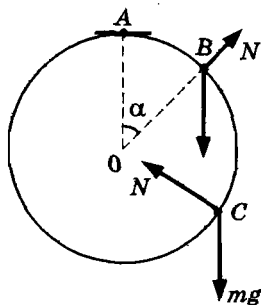


Рис. 1.8.3.

Здесь R — радиус кольца, v — величина скорости бусинки в положении В. Обратите внимание на то, что $N < mg \cos \alpha$.

Для определения величины скорости в положении В необходимо использовать закон сохранения полной энергии. Выберем в качестве нулевого уровня отсчета потенциальной энергии горизонтальную прямую, проходящую через центр окружности O . Тогда полная энергия в точке А равна $W = mgR$. В точке В потенциальная энергия $W = mgR \cos \alpha$. Из закона сохранения полной энергии следует уравнение

$$0 + mgR = \frac{mv^2}{2} + mgR \cos \alpha. \quad (2)$$

Из (1), (2) получим величину силы давления бусинки на кольцо $P(\alpha) = |N|$, $N = mg(3 \cos \alpha - 2)$.

Когда бусинка проходит положение, определяемое углом

$$\alpha = \alpha_0 \quad (\cos \alpha_0 = 2/3, h = 2R/3),$$

то она находится в невесомости, так как $P(\alpha_0) = 0$.

При значениях $0 \leq \alpha \leq \alpha_0$ сила давления направлена к центру окружности, а при $\alpha_0 \leq \alpha \leq \pi$ — от центра. В нижней точке траектории центростремительное ускорение $a = 4g$, а вес бусинки возрастает в пять раз: $P(\pi) = 5mg$.

1.8.4. Пусть O — центр сферы, P — точка, в которой находится частица на поверхности сферы, φ — угол между отрезком OP и вертикалью. На частицу действуют сила тяжести и сила реакции.

Из второго закона Ньютона и закона сохранения полной энергии следуют уравнения $mv^2/R = mg\cos\varphi - N$, $0 + mgR = mv^2/2 + mgR\cos\varphi$.

Полагая $N = 0$, находим значение высоты, на которой частица покинет сферу.

1.8.5. Равенство полной энергии в начальной точке траектории и в точке максимального подъема приводит к уравнению

$$mgR = \frac{mv_{top}^2}{2} + mgh. \quad (1)$$

Из решения задачи 1.8.3 следует, что сила реакции обратится в нуль при значении $\cos\alpha_0 = 2/3$. Далее частица свободно падает в поле тяжести. Поскольку горизонтальная компонента скорости не изменяется, то $v_{top} = v_0 \cos\alpha_0$, $v_0 = \sqrt{2gR/3}$. Подставляя v_{top} в (1), получим $h = 23R/27$.

1.8.6. Предположим, что трением оси и сопротивлением воздуха можно пренебречь. Тогда для решения задачи достаточно записать уравнение, следующее из закона сохранения полной энергии.

Положение стержня определяется углом отклонения φ от вертикали. Поскольку угловая скорость вращения частиц ω одинакова, то линейные скорости частиц $v_1 = \omega l_1$, $v_2 = \omega l_2$, кинетическая энергия частиц $K = I\omega^2/2$, $I = m_1 l_1^2 + m_2 l_2^2$.

Потенциальная энергия $W(\varphi) = (-m_1 l_1 + m_2 l_2)g\cos\varphi$.

Полная энергия системы $E = I\omega^2/2 + W(\varphi)$.

В начальном положении $E = 0$. При прохождении положения равновесия $\varphi = 0$ угловая скорость $\omega = \omega_0$, полная энергия

$$E = I\omega_0^2/2 + (-m_1 l_1 + m_2 l_2)g.$$

$$\text{Следовательно, } \omega_0^2 = \frac{2(m_1 l_1 - m_2 l_2)g}{m_1 l_1^2 + m_2 l_2^2}, \quad \omega_0 = \frac{1}{5} \sqrt{\frac{2g}{a}}.$$

$$\text{Величины линейных скоростей частиц } v_{10} = \frac{4}{5} \sqrt{2ga}, \quad v_{20} = \frac{3}{5} \sqrt{2ga}.$$

1.8.7–1.8.8. Пусть $T(\varphi)$ — величина натяжения нити при отклонении нити на угол φ .

Из второго закона Ньютона и закона сохранения полной энергии следуют уравнения $mv^2/l = T - mg\cos\varphi$, $mv_0^2/2 - mgl = mv^2/2 - mgl\cos\varphi$, из которых находим $T(\varphi) = 3mg\cos\varphi$.

1.8.9. Пусть $T(\varphi)$ — величина натяжения нити при отклонении нити на угол φ .

Из второго закона Ньютона и закона сохранения полной энергии следуют уравнения $mv^2/l = T - mg\cos\varphi$, $mv_0^2/2 - mgl = mv^2/2 - mgl\cos\varphi$, из которых находим $T(\varphi) = 3mg\cos\varphi$.

Согласно рис. 1.8.9 имеем $mg = T_c \cos\varphi_c$.

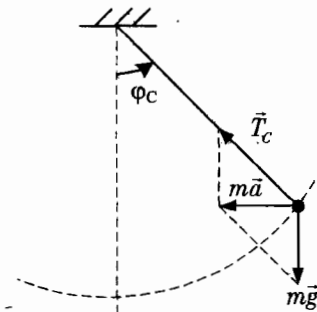


Рис. 1.8.9.

1.8.10. Запишем уравнение движения и закон сохранения полной энергии

$$mv^2/l = T - mg\cos\varphi \quad (1)$$

$$mv^2/2 + W(\varphi) = E. \quad (2)$$

Здесь $W(\varphi) = -mg\cos\varphi$ — потенциальная энергия частицы (нулевой уровень — горизонтальная прямая, проходящая через центр окружности), E — полная энергия — константа, определяемая начальными условиями. Из (1) следует, что $T(\varphi) \geq mg\cos\varphi$. Шарик будет двигаться по окружности при условии $T(\varphi) \geq 0$. Подставляя v^2 из (2) в (1), получим зависимость натяжения нити от угла:

$$T = 3mg\cos\varphi + 2E/l. \quad (3)$$

Из условия $T(\pi) \geq 0$ получим неравенство $E \geq 3mgl/2$. В нашем случае $E = mv_0^2/2 - mgl$.

1.8.13. В положении равновесия $\varphi_0 = 0$ скорость шарика равна v_0 , центростремительное ускорение $a_u = v_0^2/l$, касательная компонента ускорения $a_c = 0$. В положении максимального отклонения φ_m скорость шарика равна нулю, $a_u = 0$, $a_v = -g\sin\varphi_m$. Из равенства полных энергий в положении равновесия и в положении максимального отклонения получим уравнение

$$mv_0^2/2 - mgl = 0 - mgl\cos\varphi_m \rightarrow v_0^2/l = 2g(1 - \cos\varphi_m).$$

Согласно условию задачи

$$\frac{\sin \varphi_m}{2(1 - \cos \varphi_m)} = \sqrt{3}/2 \rightarrow \operatorname{ctg} \varphi_m/2 = \sqrt{3}, \varphi_m = \pi/3.$$

1.8.14. Введем систему координат xyz с началом в точке O (рис. 1.8.14). В начальном положении шарик находился в точке A .

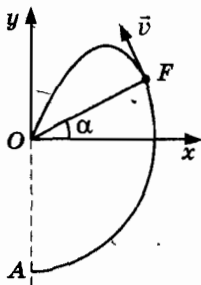


Рис. 1.8.14

Пусть в точке F с координатами $(l \cos \alpha, l \sin \alpha, 0)$ сила натяжения нити обращается в нуль. Скорость шарика $\vec{v} = (-v \sin \alpha, v \cos \alpha, 0)$. Далее шарик движется по участку параболы в поле тяжести:

$$x(t) = l \cos \alpha - v \sin \alpha t, \quad y(t) = l \sin \alpha + v \cos \alpha t - gt^2/2.$$

В момент времени $t = T$, шарик попадает в точку подвеса.

Следовательно, $x(T) = 0$, $y(T) = 0$, или $l \cos \alpha - v \sin \alpha T = 0$, $l \sin \alpha + v \cos \alpha T - gT^2/2 = 0$.

Из этих уравнений находим соотношение между скоростью и углом α :

$$v^2 = gl \cos^2 \alpha / (2 \sin \alpha). \quad (1)$$

Из второго закона Ньютона следует, что в точке F

$$mv^2/l = mg \sin \alpha. \quad (2)$$

Решением уравнений (1), (2) являются корни

$$v^2 = gl/\sqrt{3}, \quad \cos 2\alpha = 2/3, \quad \alpha \approx 35^\circ. \quad (3)$$

Приравнивая значения полной энергии в точках A и F , получим уравнение

$$mv_0^2/2 = mv^2/2 + mgl(1 + \sin \alpha).$$

Учитывая (3), найдем начальную скорость шарика

$$v_0 = [gl(2 + \sqrt{3})]^{1/2}.$$

1.8.15. Параллельно ускорению шарика. Вектор ускорения всегда направлен внутрь окружности. Результирующая сила направлена не по касательной, как можно часто услышать или увидеть на рисунках в некоторых пособиях по физике.

1.8.17. Запишем уравнение движения и закон сохранения полной энергии

$$mv^2/l = T - mg\cos\varphi, \quad (1)$$

$$mv^2/2 - mgl\cos\varphi = -mgl\cos\varphi_0. \quad (2)$$

Подставляя v^2 из (2) в (1), получим зависимость натяжения нити от угла:

$$T = 3mg \cos \varphi - 2mg \cos \varphi_0. \quad (3)$$

Из (1)–(3) находим $T_{\max} = 3mg - 2mg\cos\varphi_0$, $T_{\min} = mg\cos\varphi_0$.

1.8.18. На монету действуют сила тяжести, сила реакции и сила трения покоя F . Касательная компонента скорости $v_t = \omega R$, $\omega = \varepsilon t$. Из второго закона Ньютона следуют уравнения $m\varepsilon R = F_t$, $m\omega^2 R = F_n$.

В момент времени τ величина силы трения покоя

$$F = \mu mg, \quad F = (F_t^2 + F_n^2)^{1/2}.$$

1.8.19. Введем оси x и y с началом в точке O . Ось x направим вертикально вниз, ось y по горизонтали. Положение стержня определяется углом φ между осью стержня и осью x . Из второго закона Ньютона в проекции на единичный вектор $\vec{e} = (-\sin\varphi, \cos\varphi, 0)$, направленный по касательной к окружности в точке $\vec{r} = (l\cos\varphi, l\sin\varphi, 0)$ получим уравнение

$$ml\varepsilon = -mg\sin\varphi, \quad (1)$$

где $\varepsilon = d\omega/dt$ – проекция углового ускорения частицы на единичный вектор $\vec{e} = (-\sin\varphi, \cos\varphi, 0)$.

Начальное значение $\varphi(0) = -\pi/2$. В интервале $-\pi/2 \leq \varphi \leq -\pi/2 + \alpha$ можно положить в правой части (1) $\sin\varphi \approx -1$. Тогда получим уравнение

$$d\omega/dt = \omega_0^2, \quad (2)$$

где $\omega_0^2 = g/l$.

Из (2) находим $\omega(t) = \omega_0^2 t$, $\varphi(t) = -\pi/2 + \omega_0^2 t^2/2$.

Полагая $\varphi(\tau) = -\pi/2 + \alpha$, получим $\tau = \sqrt{2l\alpha/g}$.

1.8.20. В положении OA величина скорости пистолета $v = \sqrt{2gl}$.

Направим ось x параллельно скорости пистолета, проекция скорости

пули $c_x = -c$. В системе отсчета, движущейся со скоростью $v_x = v$ скорость пули относительно ствола $c'_x = -c'$, $c' = v + c$. Поскольку в точке A горизонтальные компоненты сил равны нулю, то приращение импульса системы ствол — пуля $\Delta P_x = 0$: $(M + m)\bar{v} = M\bar{v}' + m\bar{c}$, или

$$M\Delta v - mc' = 0. \quad (1)$$

Согласно условию полные энергии ствола в положениях OA и OC одинаковы. Следовательно,

$$M(v + \Delta v)^2/2 - Mgl = Mgl. \quad (2)$$

Поскольку при выстреле работа внутренних сил равна приращению кинетической энергии, то

$$A = M(v + \Delta v)^2/2 + mc^2/2 - (M + m)v^2/2,$$

или

$$A = (mc^2/2)(1 + m/M). \quad (3)$$

Из (1)–(2) находим $mc'/M = (\sqrt{2} - 1)\sqrt{2gl}$.

1.9. Закон всемирного тяготения. Законы Кеплера

1.9.1. На тело действуют сила притяжения Земли $m\vec{g}$ и сила реакции \vec{N} (рис. 1.9.1).

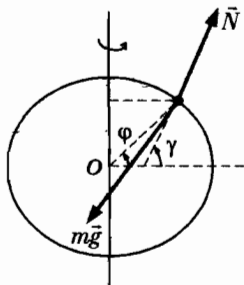


Рис. 1.9.1

Согласно второму закону Ньютона имеем уравнение $m\vec{a} = m\vec{g} + \vec{N}$. Сила реакции образует некоторый угол $\gamma \neq \varphi$ с прямой, перпендикулярной к оси вращения в меридиональной плоскости.

Выберем на рис. 1.9.1 начало координат в центре Земли, ось x лежит в плоскости экватора, ось y проходит через полюс.

В проекции на оси x, y получим уравнения

$$m\omega^2 r \cos\varphi = mg_r \cos\varphi - mg_m \sin\varphi - N \cos\gamma, \quad (1)$$

$$0 = -mg_r \sin\varphi - mg_m \cos\varphi + N \sin\gamma. \quad (2)$$

Из этих уравнений, содержащих две неизвестные величины N и γ , найдем вес тела $P(\varphi) = m[g^2 - \omega^2 r(2g_r - \omega^2 r) \cos^2\varphi + g_m \omega^2 r \sin 2\varphi]^{1/2}$.

Рассмотрим три предельных случая, полагая $r = a$.

А. Тело находится на полюсе. Тогда $\varphi = \pi/2$ и вес тела $P = mg$.

Б. Тело находится на экваторе. В этом случае широта $\varphi = 0$ и вес тела $P \approx m(g - \omega^2 a)$ принимает наименьшее значение. Следовательно, тело массой 1 кг имеет вес $P = (1 - 0,0033)$ кгс. Из-за вращения Земли вес тела на экваторе на 0,3% меньше веса на полюсе.

В. Если бы Земля вращалась с угловой скоростью $\omega = (g/a)^{1/2}$, то тела на экваторе были бы в состоянии невесомости. В этом случае линейная скорость тел на экваторе была бы равна первой космической скорости.

1.9.2. Полагая в (1), (2) $r = a$, найдем

$$\operatorname{tg} \gamma = \frac{[\sin\varphi - \alpha(3\sin^3\varphi - \sin 2\varphi \cos\varphi)]}{[\cos\varphi - \alpha(3\sin^2\varphi \cos\varphi + \sin 2\varphi \sin\varphi) - (\omega^2 a/g)\cos\varphi]},$$

или

$$\operatorname{tg} \gamma = \operatorname{tg} \varphi [1 - \alpha(5\sin^2\varphi - 2)] / [1 - 5\alpha \sin^2\varphi - \omega^2 a/g].$$

На умеренных широтах, где $\gamma = \varphi + \delta$, $\delta \ll \varphi$ получим

$$\delta = (1 - \alpha - \omega^2 a/g) \sin\varphi \cos\varphi.$$

1.9.3. Эллипсы, по которым движутся планеты, близки к окружностям. Пусть планета движется по окружности с центром в центре Солнца. Радиус окружности r , период — T . Центробежное ускорение планеты $a = \left(\frac{2\pi}{T}\right)^2 r$. Поэтому проекция силы, действующей

на планету $F = m \left(\frac{2\pi}{T}\right)^2 r$. Для того, чтобы исключить T и найти F как функцию r , Ньютон использовал третий закон Кеплера $r^3/T^2 = C$. Тогда получим $F = (2\pi)^2 mC/r^2$.

Ньютон получил этот результат, когда ему было 24 года. Позднее он писал: «И в тот же год я начал думать о притяжении, как о чем-то относящемся к орбите Луны, и, ... пользуясь правилом Кеплера (третий закон), ... нашел, что силы, которые удерживают планеты на их

орбитах, должны меняться обратно пропорционально квадратам расстояний от центров, вокруг которых они вращаются; и в связи с этим я сравнил силу, требуемую для того, чтобы удерживать Луну на ее орбите, с силой тяготения на поверхности Земли, и нашел, что они весьма близки. Все это было в годы чумы, 1665 и 1666. В те дни я был в расцвете моих творческих лет и занимался математикой и философией больше, чем когда-либо потом».

1.9.4. А. Из второго закона Ньютона $mv_1^2/r = GmM/r^2$ получим значение местной первой космической скорости.

Б. Из закона сохранения полной энергии следует уравнение $mv_0^2/2 - mgR = mgR^2/2r - mgR^2/r$.

$$1.9.5, v_1^2 = (GM/r), v_{1n}/v_{1s} = \sqrt{(M_n/M_s)(R_s/R_n)}.$$

1.9.6. Из уравнения $m(2\pi/T_0)^2 r_c = mg(R/r_c)^2$ получим

$$r_c = \left[g \left(\frac{RT_0}{2\pi} \right)^2 \right]^{\frac{1}{3}} = R \left(\frac{T_0}{T_1} \right)^{2/3}, r_c = 6,7R.$$

Следовательно, $r_c = 42\ 160$ км, а расстояние от поверхности Земли около $35\ 800$ км.

1.9.7. Пусть ω_s , ω_z — угловые скорости спутника и Земли в системе отсчета с началом на Солнце, ω_{zs} — угловая скорость спутника в системе отсчета, связанной с Землей, $\omega_s = \omega_z + \omega_{zs}$. Согласно условию $\omega_{zs} = 7\omega_z$. Тогда $\omega_s = 8\omega_z$. Из второго закона Ньютона найдем $\omega_s^2 = GR^2/r_s^3$ и угловую скорость геостационарного спутника $\omega_z^2 = GR^2/r_g^3$. Искомое отношение $r_c/r_g = (\omega_s/\omega_z)^{2/3}$.

1.9.8. Угловая скорость спутника $\omega_n = \sqrt{gR^2/r_n^3}$. В момент времени t угол между радиус-вектором спутника и прямой OA :

$$\varphi_n = t\sqrt{gR^2/r_n^3} \text{ или } \varphi_n = 2\pi(R/r_n)^{3/2} (t/T_0),$$

T_0 — период обращения спутника, движущегося с первой космической скоростью.

1.9.9. Из второго закона Ньютона находим радиус орбиты $r = g(R/v)^2$.

$$\text{Расстояние } s = g[(R/v_1^2) - (R/v_2^2)].$$

$$\text{Частота обращения } \omega = v^3/gR^2.$$

$$\text{Промежуток времени } (\omega_1 - \omega_2)\tau = 2\pi.$$

1.9.10. Центр масс астероида A и частица P движутся по окружностям радиусом $R/2$ с центром в центре масс системы C (рис. 1.9.10).

Величины скоростей астероида v_A и частицы v_P одинаковы и направлены в противоположные стороны. $v_P = v_A = v$, $v = \sqrt{GM/2R}$. Величина первой космической скорости $v_1 = |\vec{v}_A - \vec{v}_P|$, $v_1 = \sqrt{2GM/R}$.

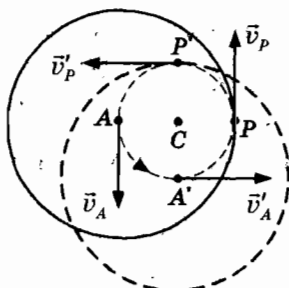


Рис. 1.9.10

1.9.11. В конечном состоянии величины скоростей астероидов одинаковы. Из закона сохранения полной энергии получим уравнение

$$mv^2/2 + mv^2/2 - Gm^2/2R = 0 + 0.$$

Величина относительной скорости $v_{\text{от}} = 2v$, $v_{\text{от}} = \sqrt{2GM/R}$.

1.9.12. Для решения задачи получим уравнение, следующее из закона сохранения полной энергии. Полная энергия на поверхности Земли

$$E = mv_1^2/2 - mgR = -mgR/2, \quad (1)$$

так как по условию задачи $v = v_1 = (gR)^{1/2}$. На максимально достигнутой высоте h скорость тела равна нулю. Полная энергия на этой высоте

$$E = 0 - mgR^2/(R+h). \quad (2)$$

Приравнявая (1) и (2), находим $h = R$. Очевидно, достигнув высоты, равной радиусу Земли, тело падает на Землю.

1.9.13. Если полная энергия тела $E < 0$, то оно движется по эллипсу с фокусом в центре Земли. Согласно третьему закону Кеплера $T^2/a^3 = T_1^2/R^3$, где a — длина большой полуоси, T — период обращения, $T_1 = 2\pi(R/g)^{1/2}$.

В рассматриваемом случае траекторией является прямая, которую можно представить как вырожденный эллипс с длиной большой полуоси $a = R$. Время падения

$$\tau = T/4, \tau = (\pi/2)(R/g)^{1/2}.$$

1.9.14. Начальная точка A эллиптической траектории является апогеем, конечная P — перигеем. Обозначим v_a, v_p — скорости КА в апогее и перигее.

Приращение скорости $\Delta v = v_a - v$, $v = v_1(R/r)^{1/2}$, $r = R + h$. Из второго закона Кеплера (1.9.4) и закона сохранения полной энергии получим два уравнения: $rv_a = Rv_p$, $\frac{v_a^2}{2} - \frac{gR^2}{r} = \frac{v_p^2}{2} - gR$, из которых находим $v_a^2 = \frac{2gR^2}{r(1+r/R)} \rightarrow \Delta v \approx -v_1 h/4R$, $\Delta v = -124$ м/с.

1.9.15. Период обращения КА по круговой орбите

$$T = 2\pi(r/R)^{3/2}(R/g)^{1/2}.$$

Время спуска $\tau = T_c/2$, где T_c — период движения по эллиптической орбите. После изменения скорости КА движется по эллиптической орбите, большая полуось которого $a = (R+r)/2$, $r = R + h$.

Тогда из (1.9.5) получим $T_c = T(a/r)^{3/2}$. Следовательно,

$$\tau = \frac{1}{2}T_1 \left(1 + \frac{h}{2R}\right)^{3/2}, \quad \tau \approx \frac{1}{2}T_1 \left(1 + \frac{3h}{4R}\right), \quad \tau = 44,13 \text{ мин.}$$

1.9.16. Точка P является апогеем, «перигей» находится внутри Земли (рис. 1.9.16). Из решения задачи 1.9.15 следует, что при условии $\delta \sim h/4R \ll 1$ ракета может облететь земной шар. В силу неравенства $h/4R \ll \delta \ll 1$ ракета «падает» по малой дуге эллипса. Обозначим $v = dr/dt$ — радиальную компоненту скорости ракеты. Для решения задачи необходимо найти закон движения $r(t)$ по радиальной координате.

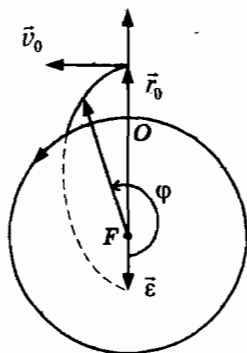


Рис. 1.9.16

Из закона сохранения полной энергии ракеты в произвольной точке траектории получим уравнение

$$mv^2/2 + mv_0^2/2 - mgR^2/r = E \quad (1)$$

Из второго закона Кеплера получим еще одно уравнение

$$r_0 v_0 = r v_0 \quad (2)$$

Из (1)–(2) находим

$$mv^2/2 + m(r_0 v_0)^2/2r^2 - mgR^2/r = E \quad (3)$$

Дифференцируя (3), получим $dv/dt = -g(R/r)^2 + (r_0 v_0)^2/r^3$.

Поскольку траектория расположена в окрестности точки P , то можно положить $r = r_0$:

$$a = -g(R/r_0)^2 + v_0^2/r_0 = -g(R/r_0)^2 [1 - (1 - \delta)^2] \approx -2g(R/r_0)^2 \delta.$$

Следовательно, $r(t) = r_0 - wt^2/2$, $w = 2g(R/r_0)^2 \delta$. Интервал времени падения $t_w = \sqrt{2h/w}$. Дальность полета $s_m = v_0 t_w$.

1.9.17. В точке A максимального подъема радиальная компонента скорости тела равна нулю (рис. 1.9.17). Из закона сохранения полной энергии имеем уравнение

$$mv_0^2/2 - mgR = mv_1^2/2 - mgR^2/r, \quad (1)$$

v_1 – компонента скорости, перпендикулярная к радиус-вектору.

Согласно второму закону Кеплера (1.9.4) компоненты скорости v_1 и $v_1 \cos \alpha$ в вершине траектории и на поверхности Земли связаны соотношением

$$R v_1 \cos \alpha = r v_0 \quad (2)$$

Исключая v_0 из (1), (2), и вводя обозначение $q = R/r$, получим уравнение $\cos^2 \alpha q^2 - 2q + 1 = 0$, корни которого $r_{1,2} = R(1 \pm \sin \alpha)$.

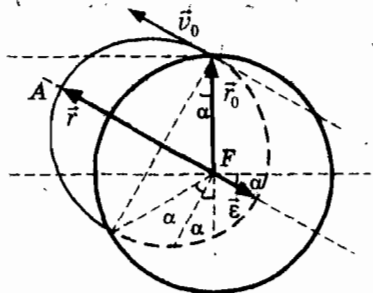


Рис. 1.9.17

Значению r , соответствует точка апогея $r_a = R(1 + \sin\alpha)$. Максимальная высота подъема тела $h_m = R\sin\alpha$. Отметим, что тело движется по участку эллипса. Эксцентриситет эллипса $e = \sin\alpha$.

Пусть φ_0 — угол между радиус-вектором \vec{r}_0 и вектором \vec{e} , направленным к «перигею» траектории. Тогда из рис. 1.9.17 находим $\varphi_0 = \pi/2 + \alpha$.

Дальность полета тела по дуге большого круга $s(\alpha) = R(\pi - 2\alpha)$.

В двух частных случаях $s(0) = R\pi, h_m = 0; s(\pi/2) = 0, h_m = R$.

1.9.18. Для решения задачи необходимо знать точное решение — функцию $r = f(\theta)$, где r — расстояние ракеты от центра Земли, θ — угол между радиус-вектором и осью, направленной от фокуса эллипса к перигею.

Однако можно решить задачу, используя законы Кеплера, которые являются следствиями точного решения, и выражение для полной энергии $E = -mgR^2/2a$, где a — большая полуось.

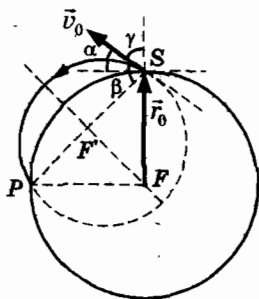


Рис. 1.9.18

Из закона сохранения полной энергии имеем уравнение

$$mv_0^2/2 - mgR = -mgR^2/2a. \quad (1)$$

Поясним рис. 1.9.18. Точка старта — S , конечная точка траектории — P , фокус эллипса — F . Очевидно, ось симметрии эллипса проходит через фокус F и середину отрезка PS .

Угол $\gamma = \pi/2 - \alpha, \beta = \pi/4 + \alpha$. Тогда $\gamma = \beta = 3\pi/8$.

Теперь учтем одно из свойств эллипса: углы между касательной и прямыми линиями, проведенными из первого и второго фокусов в точку касания равны. Следовательно, точка F' — второй фокус эллипса. Согласно основному свойству эллипса длина большой оси равна длине ломаной FSF' . Следовательно, $2a = R + R/\sqrt{2}$.

Из (1) находим $v_0 = \sqrt{2(\sqrt{2}-1)gR}$, $v_0 = 7,2$ км/с.

Из (1.9.6) найдем эксцентриситет эллипса $\epsilon = \sqrt{2}-1$.

Расстояние до апогея найдем из закона сохранения полной энергии и второго закона Кеплера (1.19.1).

$$-mgR^2/2a = mv_i^2/2 - mgR^2/r_a \quad (2)$$

$$Rv_0 \cos \alpha = r_a v_a \quad (3)$$

где v_i и $v_0 \cos \alpha$ — компоненты скорости в вершине траектории и на поверхности Земли.

Обозначая $v_i^2/gR = k$, $r_a/R = x$, представим (2), (3) в виде

$$\sqrt{2}(\sqrt{2}-1) = \frac{k}{2} - \frac{1}{x}, \quad \frac{1}{\sqrt{2}} = kx^2.$$

Из этой системы находим $r_a = \frac{\sqrt{2}R}{4}(\sqrt{2}+1)\left[1 + \sqrt{3-2\sqrt{2}}\right]$.

1.9.19. На рис. 1.9.19 угол $\gamma = \alpha = \pi/4$. Большая полуось равна R . Отрезок PS — малая ось эллипса. Из закона сохранения полной энергии получим $v_0 = (gR)^{1/2}$. В соответствии с (1.9.6) большая ось параллельна вектору \vec{v}_0 , эксцентриситет $\epsilon = 1/\sqrt{2}$.

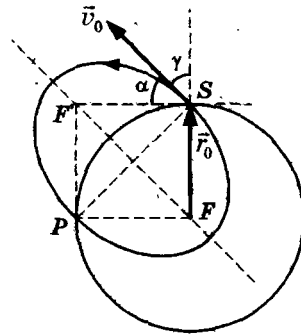


Рис. 1.9.19

1.9.20. В точках апогея или перигея радиальная составляющая скорости равна нулю. Приравнявая полные энергии тела в точке запуска и в точке, в которой радиальная компонента скорости равна нулю, получим уравнение

$$mv_0^2/2 - mgR^2/r_0 = mv_i^2/2 - mgR^2/r, \quad (1)$$

где $r_0 = R + h$.

Из второго закона Кеплера (1.9.4) получим еще одно уравнение

$$r_0 v_0 = r v_r \quad (2)$$

Представим v_0 в виде $v_0 = v_1 f$, $v_1 = (gR^2/r_0)^{1/2}$ и введем переменную $q = r_0/r$. Исключая v_1 из (1), (2), получим уравнение $f^2 q^2 - 2q - f^2 + 2 = 0$, корни которого

$$q_{1,2} = [1 \pm (1 - f^2)]/f^2 \text{ или } r_{2,1} = r_0 f^2/[1 \pm (1 - f^2)]. \quad (3)$$

Рассмотрим несколько частных случаев.

А. Начальная скорость равна местной первой космической скорости. Тогда $f = 1$, $r_{1,2} = r_0$; траектория тела — окружность радиусом r_0 .

Б. Начальная скорость меньше местной первой космической скорости. Пусть $f < 1$. Тогда точка запуска является апогеем траектории $r_a = r_1$, $r_1 = r_0$. Второй корень определяет расстояние до перигея $r_p = r_2$, $r_2 = r_0 f^2/(2 - f^2)$. В этом случае КА может упасть на поверхность Земли.

В. Начальная скорость больше местной первой космической скорости: $f > 1$. Эксцентриситет эллиптической орбиты $\epsilon = f^2 - 1$. В этом случае точка запуска является перигеем $r_p = r_1$, $r_1 = r_0$. Расстояние до апогея $r_a = r_2$, $r_2 = r_0 f^2/(2 - f^2)$.

Пусть $v_0 = v_1 > v_1$, $f = (r_0/R)^{1/2}$. Тогда $r_a = r_0^2/(2R - r_0)$. При значениях $h \ll R$, имеем $r_a = (R + h)^2/(R - h) \approx R + 3h$.

1.9.21. Для объяснения этого парадокса запишем закон изменения полной энергии:

$$dE/dt = \vec{F}_c \vec{v}, \text{ или } dE/dt = -\rho S v^3. \quad (1)$$

Предположим, что спутник выведен на круговую орбиту. Действие силы сопротивления приводит к тому, что траектория становится спиралеобразной кривой. Поскольку в течение нескольких периодов траектория близка к круговой, то $v^2 = gR^2/r$, $E(t) = -mv^2(t)/2$.

Подставляя $E(t)$ в (1), получим уравнение

$$mdv/dt = \rho S v^2. \quad (2)$$

Из него следует, что скорость спутника возрастает. Она растет тем быстрее, чем больше отношение $k = \rho(r)S/m$. Оказывается, что для ракеты-носителя это отношение больше, чем для спутника. Вот почему ракета обгоняет спутник.

Действие силы сопротивления приводит к тому, что спутник «падает». Потенциальная и полная энергии убывают, однако приращение кинетической энергии оказывается положительным. Интересно отметить, что проекция силы притяжения $m\vec{g}$ на направление скоро-

сти спутника равна $2\rho Sv^2$. Следовательно, сумма проекций силы тяжести и силы трения на направление скорости равна ρSv^2 — сила трения ускоряет спутник!

1.9.22. Из (2) находим $\Delta v = kv^2T$, $k = \rho(r)S/m$, $rv^2 = gR^2$. Период обращения $T = 2\pi r^{3/2}/R\sqrt{g}$. Следовательно, $\Delta v = 2\pi kR(gr)^{1/2}$. Дифференцируя соотношение $rv^2 = gR^2$, получим, учитывая (2)

$$\Delta r = -2r\Delta v/v, \quad \Delta r = -4\pi kr^2.$$

Для приращения T , находим $\Delta T = 6\pi(r/g)^{1/2}\Delta r/R$.

1.9.23. Заклепка движется по эллипсу, охватывающему окружность. Она стартует в перигее и обгоняет спутник, поднимаясь по восходящей ветви эллипса. Однако поскольку в силу третьего закона Кеплера период обращения заклепки T_c больше периода T_0 движения по окружности, то через некоторый промежуток времени заклепка и спутник окажутся на одной прямой, проходящей через центр Земли. Спутник проходит под заклепкой и обгоняет его — неожиданный эффект с точки зрения «здорового смысла».

Пусть спутник движется на высоте 630 км. Скорость спутника 7,5 км/с, период 98 мин. В момент, когда спутник сместится на угол 41° , заклепка удалится вперед на расстояние 3,7 км; затем расстояние начнет сокращаться. В момент, когда спутник сместится на 71° , заклепка пройдет над ним, продолжая подниматься выше и отставая. К завершению первого витка спутника отставание заклепки составит 17,6 км, через 5,5 месяцев заклепка отстанет на длину целой орбиты. С точки зрения наблюдателя на спутнике траектория заклепки — эллипс с центром, расположенным выше окружности на расстоянии длины малой полуоси 1,872 км, дрейфующем вдоль обиты спутника со скоростью 3 м/с.

1.9.24. Из интегральной формы второго закона Кеплера следуют соотношения $S \sim \tau$, $S_0 \sim T_0$.

1.9.25. На каждый спутник действуют силы притяжения Земли и силы натяжения каната \vec{N}_1 и \vec{N}_2 , одинаковой величины: $N_1 = N_2 = N$ (рис.1.9.25). Силами гравитационного взаимодействия спутников пренебрегаем.

Из второго закона Ньютона для первого и второго спутников получим уравнения

$$m\omega^2(r - l/2) = mgR^2/(r - l/2)^2 - N, \quad (1)$$

$$m\omega^2(r + l/2) = mgR^2/(r + l/2)^2 + N. \quad (2)$$

Из (1), (2) находим

$$\omega^2 = (gR^2/r)[r^2 + (l/2)^2]/[r^2 - (l/2)^2]^2, \quad (3)$$

$$N = (mgR^2l/2r)[3r^2 + (l/2)^2]/[r^2 - (l/2)^2]^2, \quad (4)$$

Сделаем несколько замечаний.

1. Рассмотрим два связанных спутника как одно тело, движущееся по окружности радиусом r . Тогда для него не выполняется третий закон Кеплера — лишнее напоминание о том, что законы Кеплера имеют место только для материальных точек. Скорость первого спутника меньше, а второго — больше местной первой космической скорости.

2. Из (4) следует, что канат будет натянут. В случае $l \ll r$, получим значение $N = 3mgR^2l/2r^3$.

1.9.26. Очевидно, что сила, действующая на гантель, зависит от ориентации гантели относительно Земли (рис. 1.9.26). Величины сил, действующих на массы m_1 и m_2 одинаковы и равны

$$F_1 = F_2 = f,$$

$$f = \frac{GMm}{2[r^2 + (l/2)^2]}.$$

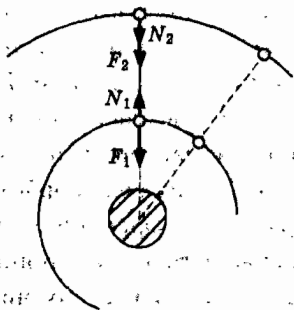


Рис. 1.9.25

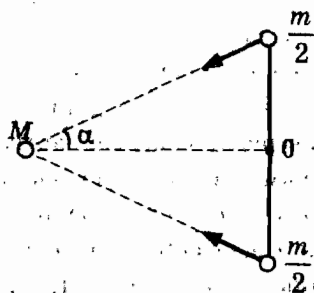


Рис. 1.9.26

Равнодействующая сила $\vec{F} = \vec{F}_1 + \vec{F}_2$ направлена по прямой, проходящей через центр Земли и центр масс гантели, величина силы

$$F(r) = 2f \cos \alpha, \quad F(r) = \frac{GMmr}{[r^2 + (l/2)^2]^{3/2}}. \quad (1)$$

Пусть $l \ll r$. Используя разложение бинома Ньютона

$$(1 + \epsilon)^n \approx 1 + n\epsilon, \quad \epsilon \ll 1,$$

получим
$$\frac{1}{[r^2 + (l/2)^2]^{3/2}} = \frac{1}{r^3 [1 + (l/2r)^2]^{3/2}} = \frac{1}{r^3} \left(1 - \frac{3l^2}{8r^2} + \dots\right)$$

Следовательно,

$$F(r) = \frac{GMm}{r^2} \left(1 - \frac{3l^2}{8r^2} + \dots \right). \quad (2)$$

Второе слагаемое можно рассматривать как силу \vec{f} , возмущающую кеплерово движение тела массой m : $\vec{f} = GMm \frac{3l^2}{8r^4} \vec{r}$, где \vec{r} — радиус-вектор центра масс тела.

1.9.27. Величина силы притяжения, действующей на гантель (1), меньше величины силы притяжения, действующей на точечное тело той же массы. Это обстоятельство позволило российскому математику В.В. Белецкому предсказать новый эффект: в результате периодического изменения распределения массы внутри космического корабля появляется возможность целенаправленно изменять параметры кеплерова эллипса.

Пусть длина гантели представляет собой периодическую функцию. В течение каждого периода T длина гантели представляет собой функцию $l(t) = l_0$, $0 \leq t \leq T/2$; $l(t) = 0$, $T/2 < t < T$.

В интервале времени, когда выполняется условие $\vec{f}\vec{v} < 0$, длина гантели должна быть равна нулю. В течение остальной части периода, когда $\vec{f}\vec{v} > 0$, длина гантели должна быть максимальной. В результате работы внутренних сил полная энергия гантели E возрастает. Значению $E = 0$ соответствует вторая космическая скорость. Появляется возможность, подобно барону Мюнхаузену, вытащевшему себя за волосы из болота, покинуть сферу действия Земли. Этот эффект возможен только в неоднородном поле тяготения.

1.9.28. Пусть ракета движется по круговой орбите радиусом r_0 со скоростью $v_1 = (\alpha/mr_0)^{1/2}$, $\alpha = mgR^2$. В момент времени $t = 0$ включают двигатель. Реактивное ускорение, создаваемое ионными двигателями, $a_p \sim \text{мм}/\text{с}^2$. Согласно закону изменения полной энергии

$$\frac{dE}{dt} = fv, \quad (1)$$

Из (1) следует, что полная энергия

$$E = E_0 + fs, \quad (2)$$

где s — длина участка траектории ракеты, $E_0 = -\alpha/2r_0$, $r_0 = r(0)$.

Поскольку $f \ll mg$, то ракета начинает движение по спиралеобразной кривой: на каждом витке скорость и расстояние до центра Земли связаны соотношением

$$\frac{mv^2}{r} = \frac{\alpha}{r^2}, \text{ или } v^2 = \frac{\alpha}{mr}. \quad (3)$$

Полная энергия ракеты $E(t) = -mv^2/2$. Подставляя E в (1), получим уравнение

$$\frac{dv}{dt} = -a, \quad a = \frac{f}{m}, \quad (4)$$

из которого следует, что величина скорости ракеты уменьшается.

Аналогичный парадокс рассмотрен в задаче 1.9.21. Здесь необходимо учесть, что согласно уравнению (1) полная энергия увеличивается и при некотором значении $t = t_p$ обратится в ноль. Величина скорости $v_p = v(t_p)$ в этот момент времени достигнет наименьшего значения $v_p = (2\alpha/mr_p)^{1/2}$, $r_p = r(t_p)$. При значениях $t > t_p$ величина скорости ракеты возрастает и она удаляется от Земли по квазигиперболической траектории. Следовательно, из (4) находим

$$v(t) = v_1 - at, \quad 0 \leq t < t_p. \quad (5)$$

Из (1) имеем уравнение $mv \frac{dv}{dt} + \frac{\alpha}{r^2} \frac{dr}{dt} = fv$.

Полагая $\frac{dv}{dt}(t_p) \approx 0$, $\frac{dr}{dt}(t_p) \approx v_p$, $r(t_p) = r_p$, получим значения $r_p = (\alpha/ma)^{1/2}$, $v_p^2 = 2(\alpha\alpha/m)^{1/2}$. Согласно (5) $t_p = (v_0 - v_p)/a$.

При $a = 1 \text{ мм/с}^2$ значение $E = 0$ достигается через 80,8 сут. на расстоянии 554 700 км, а скорость 3 км/с.

Найдем теперь полное число витков N в интервале $0 \leq t < t_p$. В результате анализа численных расчетов была получена эмпирическая формула $N = 0,04g/a$. Очевидно,

$$N = \int_0^{t_p} \frac{dt}{T}, \quad \frac{1}{T} = \frac{v}{2\pi r}, \quad v^2 = \frac{\alpha}{mr} \rightarrow \frac{1}{T} = \frac{m}{2\pi\alpha} (v_1 - at)^3.$$

Вычисляя интеграл, получим

$$N = \frac{1}{8\pi} \frac{m}{\alpha a} (v_1^4 - v_p^4) = \frac{1}{8\pi} \left[\frac{g}{a} \left(\frac{R}{r_0} \right)^2 - 4 \right] \approx 0,04 \frac{g}{a} \left(\frac{R}{r_0} \right)^2.$$

1.9.29. При вычислении траектории КА необходимо учитывать силы, действующие со стороны Солнца и других планет. Мы найдём

решение поставленной задачи приближенным методом, используя понятие *сферы действия* одного небесного тела относительно другого. Сфера действия Земли относительно Солнца представляет собой сферическую область радиусом $r_s = 0,924\ 820$ млн км, внутри которой влиянием Солнца на движение КА можно пренебречь. Вне этой сферы можно пренебречь силой, действующей со стороны Земли, учитывая только влияние Солнца. При переходе через поверхность необходимо «сшить» кеплеровы траектории.

Найдем предварительно начальную скорость v_0 , которую необходимо сообщить телу относительно Земли, чтобы на расстоянии r от Земли оно приобрело скорость u .

Полная энергия тела $E = mu^2/2 - mgR^2/r$ — постоянная величина.

Полная энергия на поверхности Земли $E = mv_0^2/2 - mgR$.

Силы сопротивления атмосферы не учитываем. Тогда из закона сохранения полной энергии следует уравнение

$$mv_0^2/2 - mgR = mu^2/2 - mgR^2/r. \quad (1)$$

Полагая $E = 0$, получим наименьшее значение $v_0 = v_{II}$, $v_{II} = (2gR)^{1/2}$, $v_{II} = 11,186$ км/с. Скорость v_{II} называют *второй космической скоростью*. Очевидно, что $v_{II} = \sqrt{2}v_I$.

Можно ли утверждать, что на «бесконечно большом» расстоянии от Земли скорость тела станет равной нулю? Нет, нельзя, так как на расстояниях $r > r_s$ основной силой, действующей на тело, является сила притяжения Солнца. Если телу на поверхности Земли сообщить вторую космическую скорость, то скорость тела на расстоянии r_s окажется равной $u \equiv v_s = (2gR^2/r_s)^{1/2}$, $v_s = 0,926$ км/с. Если скорости Земли и тела коллинеарны, то скорость тела относительно Солнца на $0,926$ км/с больше скорости Земли относительно Солнца $v_{sc} = 29,785$ км/с. Следовательно, тело станет спутником Солнца. Афелий эллиптической орбиты тела находится за Солнцем на расстоянии 21 млн км от орбиты Земли.

1.9.30. Обозначим \vec{v}_{ik} — скорость тела i относительно тела k . Очевидно, $\vec{v}_{ik} = \vec{v}_i + \vec{v}_{jk}$. Из соотношения (1), полученного в решении задачи 1.9.29, находим при значении $r \gg R$

$$v_0 \approx (u^2 + 2gR)^{1/2}. \quad (1)$$

«Первая местная космическая скорость» Земли относительно Солнца или скорость движения по орбите $v_{sc} = (Gm_s/r_{cs})^{1/2}$, $v_{sc} = 29,785$ км/с. Для того чтобы покинуть Солнечную систему, скорость тела относительно Солнца на границе сферы действия Земли должна достичь «второй местной космической скорости» $v_{sc} = \sqrt{2}v_{sc}$.

Предполагая, что векторы $\vec{v}_{тз}$, $\vec{v}_{зс}$ коллинеарны, найдем необходимое значение величины скорости тела относительно Земли на расстоянии r_1 от центра Земли $u = v_{тс} - v_{зс}$, или $u = (\sqrt{2} - 1)v_{зс}$. Подставляя u в (1), получим *третью космическую скорость*

$$v_{тз} \equiv v_{тс}, \quad v_{тс} = [(\sqrt{2} - 1)^2 v_{зс}^2 + 2gR]^{1/2},$$

$$v_{тз} = 16,653 \text{ км/с.}$$

Сообщив космическому аппарату скорость $v_{тз}$, мы можем послать его к любой звезде, лежащей в плоскости орбиты, к любой, кроме ближайшей — Солнца.

1.9.31. В этом случае $\vec{v}_{тс} = -\vec{v}_{зс}$. Поскольку $\vec{v}_{тс} = \vec{v}_{тз} + \vec{v}_{зс}$, то $\vec{u} = \vec{v}_{тз} = -2\vec{v}_{зс}$. Из соотношения (1) в решении задачи 1.9.26 находим $v_0 = v_{тз}$, $v_{тз} = [4v_{зс}^2 + 2gR]^{1/2}$, $v_{тз} = 60,61 \text{ км/с}$.

1.9.32. В этом случае скорость тела относительно Солнца $\vec{v}_{тс} = 0$, или $\vec{u} = -\vec{v}_{зс}$. Из соотношения (1) в решении задачи 1.9.29 получим значение скорости тела относительно Земли: $v_0 = v_{тз}$, $v_{тз} = [v_{зс}^2 + 2gR]^{1/2}$, $v_{тз} = 31,816 \text{ км/с}$.

Эту величину называют *четвертой космической скоростью*. «Непросто» упасть на Солнце.

1.9.33. На рис. 1.9.33. точка O — начало координат в инерциальной системе отсчета, точка C — центр масс, \vec{R} — радиус-вектор центра масс.

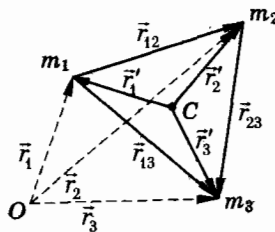


Рис. 1.9.33

Из второго закона Ньютона следует уравнение

$$m_1 \vec{a}_1 = Gm_1 m_2 \frac{\vec{r}_{12}}{r_{12}^3} + Gm_1 m_3 \frac{\vec{r}_{13}}{r_{13}^3}, \quad (1)$$

где $\vec{r}_{1n} = \vec{r}_1 - \vec{r}_n$, $n = 2, 3$; $r_{12} = r_{13} = r_{23} = c$.

Перейдем в систему центра масс, полагая $\vec{r}_n = \vec{R} + \vec{r}'_n$. Тогда уравнение (1) приобретает вид

$$m_1 \vec{a}'_1 = Gm_1 m_2 \frac{\vec{r}'_{12}}{c^3} + Gm_1 m_3 \frac{\vec{r}'_{13}}{c^3}, \quad (2)$$

где $\vec{r}'_{1n} = \vec{r}'_1 - \vec{r}'_n$, $n = 2, 3$.

Согласно определению радиус-вектора центра масс

$$m_1 \vec{r}'_1 + m_2 \vec{r}'_2 + m_3 \vec{r}'_3 = 0. \quad (3)$$

Из (3) следует соотношение

$$m_1 \vec{r}'_1 + m_2 (\vec{r}'_{12} + \vec{r}'_1) + m_3 (\vec{r}'_{13} + \vec{r}'_1) = 0,$$

или

$$m \vec{r}'_1 = -(m_2 \vec{r}'_{12} + m_3 \vec{r}'_{13}), \quad (4)$$

где $m = m_1 + m_2 + m_3$.

Подставляя (4) в (2), получим

$$m_1 \vec{a}'_1 = -Gm_1 m \frac{\vec{r}'_1}{c^3}, \quad (5)$$

Поскольку скалярное произведение $\vec{r}'_{12} \vec{r}'_{13} = c^2/2$, то возводя (4) в квадрат найдем $m^2 r_1'^2 = c^2(m_2^2 + m_2 m_3 + m_3^2)$.

Теперь уравнение (5) приобретает форму $m_1 \vec{a}'_1 = -Gm_1 M \frac{\vec{r}'_1}{r_1'^3}$, со-

ответствующую уравнению движения двух взаимодействующих частиц масс m_1 и M . Аналогичные уравнения описывают движение второй и третьей частиц.

Лагранж показал, что если начальные скорости частиц образуют равные углы с прямой, соединяющей частицы с центром масс и величины скоростей пропорциональны расстоянию до центра масс, то каждая частица движется по эллипсу. В произвольный момент времени частицы располагаются в вершинах правильного треугольника.

1.10. Движение в неинерциальных системах

1.10.1. Координаты частицы в двух системах K и K' связаны соотношениями $x = x_c(t) + x'$, $y = y'$, где $x_c(t)$ – скорость системы K' относительно системы K .

Имеем уравнение $-x_c = (vt)^2/2R$, $\rightarrow v_c = -v^2 t/R$.

1.10.2. Система отсчета K' , связанная с ракетой, движущейся с ускорением \vec{w} , является неинерциальной. В системе K' на неподвижного космонавта действуют сила притяжения $m\vec{g}$, сила реакции \vec{N} и сила инерции $\vec{F}_u = -m\vec{w}$. Поскольку $\vec{a}'=0$, то из второго закона Ньютона имеем уравнение $0 = m\vec{g} + \vec{N} - m\vec{w} \rightarrow \vec{N} = -m\vec{g} + m\vec{w}$.

Направляя ось z вертикально вверх, получим величину силы веса $N = m(g + w)$. Влияние ускорения эквивалентно дополнительному полю тяготения: ускорением свободного падения в ракете можно назвать вектор $\vec{g}_{эф} = \vec{g} - \vec{w}$.

1.10.3. В неинерциальной системе отсчета, связанной с трубкой, вектор эффективного ускорения свободного падения $\vec{g}_{эф} = \vec{g} - \vec{w}$. Вектор $\vec{g}_{эф}$ перпендикулярен «горизонтальной» прямой, на которой расположены уровни жидкости в трубках: $w/g = (h_2 - h_1)/(h_1 + h_2)$.

1.10.4. В системе отсчета, связанной с клином, на тело действуют сила тяжести $m\vec{g}$, сила нормальной реакции клина \vec{N} , сила трения $\vec{F}_{тр}$ и сила инерции $-m\vec{w}$ (рис. 1.10.4). В соответствии со вторым законом Ньютона имеем уравнение

$$m\vec{a}' = \vec{g} + \vec{N} + \vec{F}_{тр} - m\vec{w}. \quad (1)$$

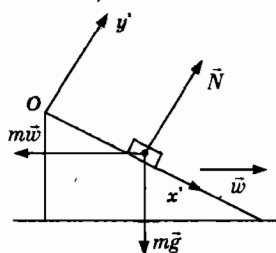


Рис. 1.10.4

Свяжем с клином систему координат: ось x' направим вниз параллельно плоскости клина, ось y' — перпендикулярно плоскости клина. Из (1) в проекции на оси координат получим два уравнения

$$ma' = F_x + F_{тр}, \quad (2)$$

$$0 = N - mg\cos\alpha - mws\sin\alpha, \quad (3)$$

где $F_x = mgs\sin\alpha - mwc\cos\alpha$.

Из (3) находим $N = mg\cos\alpha + mws\sin\alpha$.

В решении задачи 1.4.26 изображена зависимость проекции $F_{\text{тр}}$ силы трения от проекции F_x суммы внешних сил.

Если $-\mu N < F_x < \mu N$, то тело неподвижно относительно клина. Тело будет двигаться вверх по наклонной плоскости, если $a' < 0$. В этом случае $F_{\text{тр}} = \mu N$. Из (2) находим $F_x < -\mu N$ или

$$w > \frac{g(\sin\alpha + \mu\cos\alpha)}{\cos\alpha - \mu\sin\alpha}. \quad (4)$$

Полагая $\text{tg } \beta = \mu$, запишем (4) в виде $w > g\text{tg}(\alpha + \beta)$.

Если $\alpha = 0$, то $w > \mu g$.

1.10.5. Перейдем в систему K' , вращающуюся с угловой скоростью ω вокруг оси цилиндра. На систему человек – мотоцикл действуют сила реакции \vec{N} , сила трения покоя $\vec{F}_{\text{тр}}$, сила тяжести $m\vec{g}$ и центробежная сила \vec{F} , приложенные в центре масс (рис. 1.10.5). В системе K' условие равновесия $m\vec{g} + \vec{N} + \vec{F}_{\text{тр}} + \vec{F} = 0$ приводят к уравнениям $mv^2/R - N = 0$, $F_{\text{тр}} - mg = 0$. Из условия равенства нулю суммы проекций моментов сил трения и реакции относительно оси, проходящей через центр масс находим уравнение

$$F_{\text{тр}} \sin\alpha - N \cos\alpha = 0 \rightarrow \text{tg}\alpha = 1/\mu, \alpha = 68^\circ 12'.$$

1.10.6. В неинерциальной системе отсчета K' , связанной с доской, на груз действуют сила тяжести, сила реакции, сила трения скольжения и сила инерции $\vec{F}_{\text{ин}} = -m_1\vec{a}_2$, где \vec{a}_2 – ускорение доски в инерциальной системе отсчета K (рис. 1.10.6). В проекции на ось x получим уравнения $m_1 a'_{1x} = -m_1 a_2 + \mu m_1 g$, $m_2 a_2 = -\mu m_1 g + F$. Отсюда находим $a'_{1x} = -a'_1$, $a'_1 = F/m_2 - \mu g m/m_2$, $m = m_1 + m_2$. Согласно условию $l = a'_1 \tau^2/2$.

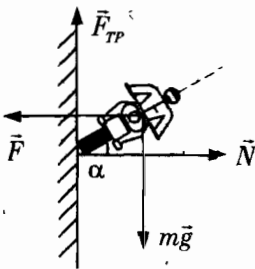


Рис. 1.10.5

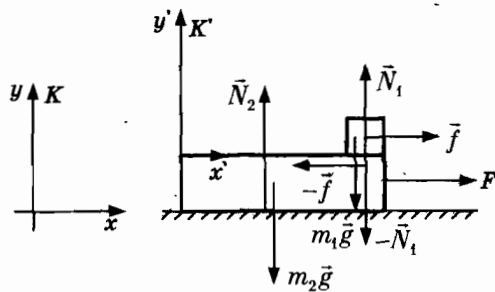


Рис. 1.10.6

1.10.7. Потому что Земля и Луна движутся в поле тяготения Солнца с почти одинаковыми ускорениями. В системе отсчета, связанной с Землей на Луну действуют силы притяжения Земли, Солнца и сила инерции, величина которой $m_{\text{л}}w_{\text{сз}}$. Из второго закона Ньютона $m_{\text{л}}\vec{a}_{\text{зл}} = \vec{F}_{\text{зл}} + \vec{F}_{\text{сл}} - m_{\text{л}}\vec{w}_{\text{сз}}$ получим уравнение $\vec{a}_{\text{зл}} = \vec{w}_{\text{зл}} + \Delta\vec{w}$, $\Delta\vec{w} = \vec{w}_{\text{сл}} - \vec{w}_{\text{сз}}$. Величина $|\Delta\vec{w}| = 0,03 \cdot 10^{-3} \text{ м/с}^2$, отношение $|\Delta\vec{w}|/w_{\text{зл}} = 1,11 \cdot 10^{-2} \ll 1$.

1.10.8. На груз действуют сила натяжения каната \vec{N} , сила тяжести и центробежная сила инерции. Если груз находится на расстоянии r от центра Земли, то

$$N = mg(R/r)^2 - m\omega^2 r \text{ или } N = m\omega^2 (r_{\text{ср}}^3/r^2 - r),$$

где ω — угловая скорость вращения Земли; $r_{\text{ср}} = \left[\frac{gR^2}{\omega^2} \right]^{1/3}$ — величина, равная радиусу орбиты геостационарного спутника ($r_{\text{ср}} = 6,7R = 42\ 164 \text{ км}$).

Если $r < r_{\text{ср}}$, то для подъема с постоянной скоростью к грузу необходимо приложить силу величиной $N = mg(R/r)^2 - m\omega^2 r$, направленную вертикально вверх. Величина скорости груза в инерциальной системе отсчета $v = \omega r$. На расстоянии $r_{\text{ср}}$ от центра Земли $N = 0$; груз приобретет скорость $v_{\text{ср}} = \omega r_{\text{ср}}$ равную местной первой космической скорости. Если его не удерживать, то он будет неподвижен относительно лифта. При подъеме груза на расстояние $r > r_{\text{ср}}$ центробежная сила становится больше силы притяжения — груз необходимо удерживать.

Из закона сохранения полной энергии $m(\omega r_2)^2/2 - mgR^2/r_2 = 0 + 0$, найдем значение расстояния r_2 , на котором груз приобретет местную вторую космическую скорость $r_2 = 2^{1/3}r_{\text{ср}}$, $r_2 = 53\ 123 \text{ км}$; если его освободить, то он навсегда покинет Землю. Вот еще одна возможность запуска космических аппаратов.

Энтузиастом этой идеи выступает известный писатель-фантаст Артур Кларк. С 1956 г. он проживает на Цейлоне и уже нашел там место для привязки лифта. Конструкцию для лифта надо строить с крыши. Со стационарного спутника выпускают два троса — вверх и вниз. Затем подбирают их длину так, чтобы вся система вращалась как целое с угловой скоростью ω в процессе увеличения длины тросов. После зацепления нижнего конца за Землю можно заняться устройством лифта. Основная трудность — отсутствие материала необходимой прочности.

1.10.9. Найдем угловую скорость космического корабля из второго закона Ньютона: $\omega^2 = gR^2/r^3$.

В системе отсчета, связанной с центром масс, на каждую частицу действует сила инерции, сила притяжения Земли и сила натяжения пружины. В результате действия сил первая частица находится на расстоянии $s = l_0 + \Delta l$ от центра масс O и на расстоянии $r + s$ от центра Земли. Величина силы инерции f_1 и силы тяжести F_1 :

$$f_1 = m\omega^2(r + s) = (mgR^2/r^2)(1 + s/r),$$

$$F_1 = mgR^2/(r + s)^2 \approx (mgR^2/r^2)(1 - 2s/r).$$

Поскольку $f_1 > F_1$, то $\Delta l > 0$: пружина растянута.

Вес тела $P_1 = f_1 - F_1$, $P_1 = 3mgR^2s/r^3$.

На рис. 1.10.9 схематически изображены силы, действующие на первую и вторую частицы. Величина силы инерции f_2 и силы тяжести F_2 :

$$f_2 = m\omega^2(r - s) = (mgR^2/r^2)(1 - s/r),$$

$$F_2 = mgR^2/(r - s)^2 \approx (mgR^2/r^2)(1 + 2s/r).$$

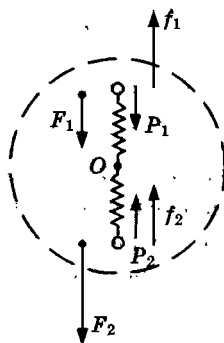


Рис. 1.10.9

1.10.10. Согласно закону Хаббла

$$\vec{v}_b - \vec{v}_a = H(\vec{r}_b - \vec{r}_a), \quad \vec{v}_c - \vec{v}_a = H(\vec{r}_c - \vec{r}_a).$$

Тогда $\vec{v}_b - \vec{v}_c = H(\vec{r}_b - \vec{r}_c)$.

1.10.11. Преобразования Галилея имеют вид $x = ut + x'$, $y = y'$, $z = z'$, $t = t'$. В системе K начальная скорость шара $v_x(0) = u$. Закон движения $x(t) = ut$, $y(t) = gt^2/2$, $z(t) = 0$. Уравнение траектории $y = gx^2/2u^2$.

В системе отсчета K' начальная скорость шара $v_x(0) = 0$. Закон движения $x'(t) = 0$, $y'(t) = gt^2/2$, $z'(t) = 0$. Траектория — прямая линия.

1.11. Линейные колебания

1.11.1. Координата и проекция скорости шарика $x(t) = A\sin\omega t$, $v(t) = A\omega\cos\omega t$. Имеем систему $v_1 = A\omega\cos\omega t$, $3A/5 = A\sin\omega t$, $v_0 = A\omega$.

1.11.2. А. Согласно второму закону Ньютона в проекции на горизонтальное направление $ma = -k(x - l_0)$. Полагая $x(t) = l_0 + z(t)$, получим уравнение гармонических колебаний $md^2z/dt^2 + kz = 0$. Общее решение уравнения колебаний $z(t) = a\cos\omega t + b\sin\omega t$, $\omega^2 = k/m$. Скорость $v_z(t) = -a\omega\sin\omega t + b\omega\cos\omega t$. Из начальных условий $z(0) = 0$, $v_z(0) = v_0$ находим $a = 0$, $b\omega = v_0$.

Б. Кинетическая энергия $K = (mv_0^2/2)\cos^2\omega t$, потенциальная энергия $W = k(b^2/2)\sin^2\omega t$. Имеем уравнение $\operatorname{tg}\omega t = \sqrt{3}$. Следовательно, $\omega t_n = \pi/3 + \pi n$.

1.11.3. На груз действуют сила тяжести и сила упругости. На подставку действуют сила тяжести, сила натяжения и сила реакции плоскости. Из второго закона Ньютона получаем уравнения

$$ma = mg - k(x - l_0), \quad (1)$$

$$0 = Mg + k(x - l_0) - N, \quad (2)$$

где $N \geq 0$.

Полагая $x = x_{\text{eq}} + z$, $x_{\text{eq}} = l_0 + mg/k$, получим

$$ma = -kz, \rightarrow z(t) = scos\omega t, \quad \omega^2 = k/m.$$

Из уравнений (1), (2) находим $N(t) = (m + M)g + kscos\omega t$.

При значении $\omega t_1 = \pi$ сила реакции $N = 0$.

1.11.4. Выберем начало координат оси x в точке пересечения прямой и перпендикуляра, проведенного через точку закрепления пружины.

Потенциальная энергия частицы $W(x) = (k/2)[(h^2 + x^2)^{1/2} - l_0]^2$. Сила, действующая на частицу $\vec{F} = (F, 0, 0)$, где $F(x) = -dW/dx$

Из второго закона Ньютона получим уравнение

$$md^2x/dt^2 = F(x), \quad F(x) = -kx[1 - l_0(h^2 + x^2)^{-1/2}], \quad (1)$$

Координаты точек равновесия найдем из условия $F(x_{\text{eq}}) = 0$.

Рассмотрим два случая: $x_{\text{eq}} = 0$ при значениях $h > l_0$ и $x_{\text{eq}} = \pm b$, $b = (l_0^2 - h^2)^{1/2}$ при значениях $h < l_0$. В окрестности x_{eq} функцию $F(x)$ можно представить в виде $F(x) \approx (x - x_{\text{eq}})(dF/dx)_{\text{eq}}$.

Если $(d^2W/dx^2)_{\text{eq}} > 0$, то мы имеем устойчивое положение равновесия.

Рассмотрим теперь движение частицы в окрестности устойчивых положений равновесия, полагая $x = x_{\text{eq}} + q$.

А. $x_{eq} = 0$. Поскольку $dF/dx = -k[1 - h^2 l_0 (h^2 + x^2)^{-3/2}]$, то

$$(dF/dx)_{eq} = -k[1 - l_0/h].$$

При значениях $h > l_0$ правая часть (1) равна $-m\omega_0^2 x$, $\omega_0^2 = k(1 - l_0/h)/m$ — квадрат частоты линейных колебаний в окрестности точки $x = 0$.

Б. $x_{eq} = b$. Если $l_0 > h$, то $(dF/dx)_{eq} = -k(1 - h^2/l_0^2)$. Тогда функция q удовлетворяет уравнению $d^2q/dt^2 + \omega_b^2 q = 0$, $\omega_b^2 = k(1 - h^2/l_0^2)/m$.

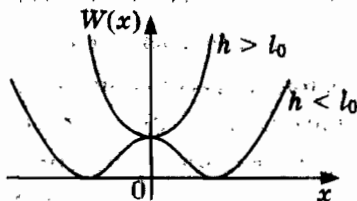


Рис. 1.11.4 б

На рис. 1.11.4 б изображены графики потенциальной энергии при различных соотношениях между параметрами h и l_0 . Очевидно, что частица совершает гармонические колебания вблизи дна локальных «потенциальных ям».

1.11.5. Введем на прямой ось x , координаты частиц x_2, x_1 ($x_2 > x_1$). Согласно второму закону Ньютона

$$m_1 a_1 = k(x_2 - x_1 - l_0), \quad (1)$$

$$m_2 a_2 = -k(x_2 - x_1 - l_0). \quad (2)$$

Перейдем к новым переменным $x_1, x_2 \rightarrow x_c, x$:

$$x_{2,1} = x_c \pm m_{1,2}x/m, \quad m = m_1 + m_2,$$

где x_c — координата центра масс системы, $x = x_2 - x_1$.

Тогда скорости частиц

$$v_{2,1} = v_c \pm m_{1,2}v/m, \quad (3)$$

где v_c — скорость центра масс, $v = v_2 - v_1$ — относительная скорость.

Для того, чтобы найти решение системы (1), (2) умножим (2) на m_1 , (1) — на m_2 и вычтем из второго соотношения. В результате получим уравнение

$$\mu d^2x/dt^2 = -k(x - l_0), \quad (4)$$

где $\mu = m_1 m_2 / m$.

После подстановки $x = l_0 + z$ уравнение (4) приобретает форму уравнения гармонических колебаний

$$d^2z/dt^2 + \omega^2z = 0, \quad (5)$$

где $\omega^2 = k/\mu$. Относительная скорость $v = dz/dt$.

А. В начальном состоянии расстояние между частицами равно $l_0 + b$, скорости частиц равны нулю. Тогда $x_c = m_2l_0/m$, $v_c = 0$; начальные условия имеют вид $z(0) = b$, $dz/dt = 0$.

Решение уравнения (5) $z(t) = b\cos\omega t$. Скорости частиц

$$v_{1,2} = \pm(m_{2,1}b\omega/m)\cos\omega t. \quad (6)$$

Б. В начальном состоянии расстояние между частицами равно l_0 , скорость первой частицы равна $v_1(0) = v_0$, второй — $v_2(0) = 0$. Тогда $v_c = m_1v_0/m$; начальные условия имеют вид $z(0) = 0$, $dz/dt = -v_0$. Тогда решение уравнения (5) имеет вид $z(t) = -(v_0/\omega)\sin\omega t$.

Скорости частиц

$$v_{1,2} = m_1v_0/m \pm (m_{2,1}v_0/m)\cos\omega t. \quad (7)$$

Например, для двух одинаковых частиц $v_{1,2} = (v_0/2)(1 \pm \cos\omega t)$.

1.11.6. Введем ось x параллельно прямой, x_2, x_1 — координаты частиц ($x_2 > x_1$). Согласно второму закону Ньютона

$$m_1a_1 = k(x_2 - x_1 - l_0) + F, \quad (1)$$

$$m_2a_2 = -k(x_2 - x_1 - l_0). \quad (2)$$

Пусть начальные значения координат $x_1(0) = 0$, $x_2(0) = l_0$. В результате действия ударного импульса частицы не смещаются.

Из (1), (2) следует, что частицы приобретают скорости $v_1 = I/m_1$, $v_2 = 0$. Поэтому приращение полной энергии системы $E - 0 = I^2/2m_1$, где $E = m_1v_1^2/2 + m_2v_2^2/2 + (k/2)(x_2 - x_1 - l_0)^2$.

Из закона изменения импульса системы частиц $\Delta P/\Delta t = F$ находим проекцию полного импульса на ось x : $P = I$.

После действия силы сохраняются полный импульс P и полная энергия системы частиц $E = E_c + E_0$. Здесь $E_c = P^2/2m$ — кинетическая энергия центра масс, $E_0 = kA^2/2$ — полная энергия относительного движения частиц, A — амплитуда колебаний расстояния между частицами $x_2 - x_1$. Теперь из уравнения $I^2/2m_1 = I^2/2m + kA^2/2$ находим амплитуду колебаний $A = I[m_2/m_1mk]^{1/2}$.

Итак, центр масс системы движется со скоростью $v_c = I/(m_1 + m_2)$, частота колебаний частиц $\omega = \sqrt{km/m_1m_2}$.

1.11.7. Пусть z – координата груза (рис.1.11.7). Из второго закона Ньютона $m\vec{a} = m\vec{g} + \vec{F}_{\text{упр}}$ находим уравнение

$$ma = -k(z - l_0) + mg. \quad (1)$$

Определим сначала положение равновесия. Пусть z_0 – длина растянутой пружины в положении равновесия. Из условия равенства нулю суммы сил упругости и тяжести, получим $-k(z_0 - l_0) + mg = 0$:

$$z_0 = l_0 + mg/k.$$

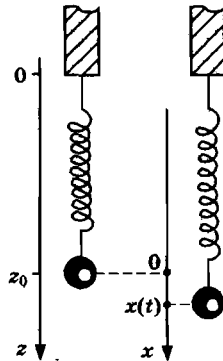


Рис. 1.11.7

Введем теперь координатную ось x так, что в положении равновесия координата груза $x = 0$, т.е. $z = z_0 + x$. Тогда из (1) получим уравнение $ma = -k(z_0 + x - l_0) + mg$, или $md^2x/dt^2 + kx = 0$.

Следовательно, решение представляет собой функцию

$$z(t) = l_0 + mg/k + a\cos\omega t + b\sin\omega t,$$

где $\omega = \sqrt{k/m}$.

Если в начальный момент времени $x(0) = x_0$, $v(0) = 0$, то $a = x_0$, $b = 0$. Тогда $z(t) = l_0 + mg/k + x_0\cos\omega t$.

1.11.8. Начало координатной оси z поместим в точку закрепления пружины. Координата груза в положении равновесия $z_{\text{eq}} = l_0 + 5mg/k$, $b = 5mg/k$. После отрыва груза m_2 новое положение равновесия $z_0 = l_0 + 3mg/k$. Теперь введем координатную ось x так, что в положении равновесия координата груза $z = z_0 + x$. Тогда для груза m_1 начальное условие $x(0) = 2mg/k$.

1.11.10. В положении равновесия частицы m_1 длина пружины $l_1 = mg/k + l_0$. В новом положении равновесия длина пружины $l_2 = (m_1 + m_2)g/k + l_0$. Согласно условию $l_1 + A = l_2$: $k = m_2g/A$.

1.11.11. А. Точка подвеса движется с ускорением $\dot{w}(t) = -\omega^2 s_0 \cos \omega t$. Введем неинерциальную систему координат K' с началом в точке подвеса и направим ось z' вертикально вниз. В этой системе отсчета второй закон Ньютона имеет вид

$$ma' = -k(z - l_0) + mg - mcv - mw(t). \quad (1)$$

Перейдем к координате x с началом в положении равновесия: $z = l_0 + mg/k$. Тогда из (1) получим уравнение

$$a' + \omega_0^2 x = -cv + \omega^2 s_0 \cos \omega t. \quad (2)$$

При $t \gg 1/c$ собственные колебания затухают, а вынужденные колебания определяются функцией

$$x(t) = a \cos \omega t + b \sin \omega t. \quad (3)$$

Подставляя (3) в (2), получим тождество. Приравнявая к нулю коэффициенты при $\cos \omega t$ и $\sin \omega t$, получаем два уравнения

$$(\omega_0^2 - \omega^2)a - c\omega b = \omega^2 s_0, \quad c\omega a + (\omega_0^2 - \omega^2)b = 0.$$

Амплитуда колебаний $A = \sqrt{a^2 + b^2}$, $A = \omega^2 s_0 / [(\omega_0^2 - \omega^2)^2 + (c\omega)^2]^{1/2}$.

Б. Производная $dA/d\omega = 0$ при $\omega = \omega_0$, $A_m = \omega_0 s_0 / c$.

1.11.12. Пусть x_1, x_2 - координаты частиц. Проекция силы упругости, действующей на вторую частицу $F_{2x} = k(l_2 - l_0)$, $l_2 = 2l_0 - x_2$. Из второго закона Ньютона следуют уравнения

$$m_1 a_1 = -k_1(x_1 - l_0), \quad m_2 a_2 = -k_2(x_2 - l_0). \quad (1)$$

Начальные условия $x_1(0) = l_0/2$, $x_2(0) = 3l_0/2$. $v_1(0) = 0$, $v_2(0) = 0$. Решение уравнений (1), удовлетворяющих начальным условиям

$$x_1(t) = l_0 - (l_0/2) \cos \omega t, \quad x_2(t) = l_0 + (l_0/2) \cos \omega t, \quad \omega = \sqrt{k/m}.$$

В момент времени $t = t_0$ частицы сталкиваются: $x_1(t_0) = x_2(t_0)$. Из этого условия следует уравнение $\cos \omega t_0 = 0$, т.е. $\omega t_0 = \pi/2$. В этот момент времени скорости частиц $v_1(t_0) = \omega l_0/2$, $v_2(t_0) = -\omega l_0/2$. Скорость центра масс $v_c(t_0) = \omega l_0/6$.

1.11.13. Поместим начало координатной оси x в середину отрезка AB и направим ось x вертикально вниз. Кинетическая энергия частицы $K = mv^2/2$, потенциальная энергия частицы

$$W(x) = k[2l(x) - a]^2/2 - mgx, \quad l(x) = \sqrt{(a/2)^2 + x^2}. \quad (1)$$

Уравнение движения получим из второго закона Ньютона

$$ma = F(x), \quad (2)$$

$$F(x) = -dW/dx, \quad F(x) = -2k[2l(x) - a]x/l(x) + mg.$$

В положении равновесия $x_{\text{eq}} = a\sqrt{3}/2$. Поскольку $l(x_{\text{eq}}) = a$, то из условия равновесия $F(x_{\text{eq}}) = 0$ получим $k = mg/a\sqrt{3}$.

Теперь необходимо разложить функцию $F(x)$ в окрестности точки $x = x_{\text{eq}}$.

Найдем производную $dF/dx = -2kax^2/l^3(x) - 2k[2 - a/l(x)]$. Значение производной в точке $x = x_{\text{eq}}$ равно $7k/2 = 7mg/2a\sqrt{3}$. Квадрат частоты колебаний $\omega^2 = 7g/(2a\sqrt{3})$.

1.11.14. Введем ось x с началом в точке закрепления пружины. На частицу действуют сила упругости $F_x = -k(x - l_0)$, сила тяжести, сила реакции и сила трения $\vec{f} = -\mu mg \vec{v}/v$. Теперь необходимо перейти к новой координате $z: x = l_0 + z$. Потенциальная энергия частицы $W(z) = kz^2/2$. Если скорость и ускорение частицы равны нулю, то координата z удовлетворяет условию $-\mu mg < -kz < \mu mg$. Уравнение движения имеет вид

$$ma = -kz + \mu mg, v < 0; \quad ma = -kz - \mu mg, v > 0. \quad (1)$$

Начальные условия $z(0) = A, v(0) = 0$. Пусть $A = 4n\mu mg/k, n$ — целое число, $n \gg 1$.

Поскольку $kA > \mu mg$, то частица будет смещаться влево. Пусть z_1 — координата точки остановки частицы. Согласно закону изменения полной энергии имеем уравнение $0 + kz_1^2/2 - (0 + kA^2/2) = \mu mg(z_1 - A)$, из которого находим $z_1 = -A + 2\mu mg/k < 0$.

В этом положении проекция на ось z силы упругости $-kz_1 > \mu mg$ при $n > 1$. Следовательно, частица смещается вправо. Координату точки остановки z_2 одного «колебания» найдем из закона изменения полной энергии

$$0 + kz_2^2/2 - (0 + kz_1^2/2) = -\mu mg(z_2 - z_1) \rightarrow \\ \rightarrow z_2 = A - 4\mu mg/k > 0.$$

После N колебаний в точке остановки $0 = A - 4N\mu mg/k$.

Отметим, что решением уравнений (1) является функция

$$z(t) = a(t)\cos\omega t, \quad a(t) = A - 2\mu gt/\pi\omega, \\ \omega = \sqrt{k/m}, \quad t \leq TkA/(4\mu mg), \quad T = 2\pi/\omega.$$

1.11.15. Проекция скорости шарика на единичный вектор $\vec{e} = (-\sin\varphi, \cos\varphi, 0)$, направленный по касательной к окружности в точке $\vec{r} = (l\cos\varphi, l\sin\varphi, 0)$, равна $v = ld\varphi/dt$.

А. Получим уравнение движения шарика, используя закон сохранения полной энергии: $mv^2/2 + W(\varphi) = E$, где $W(\varphi) = -mgl\cos\varphi$. Дифференцируя это соотношение, находим

$$mvdv/dt + mgl\sin\varphi \cdot d\varphi/dt = 0, \text{ или } d^2\varphi/dt^2 + \omega^2\sin\varphi = 0, \quad (1)$$

где $\omega^2 = g/l$.

Сопоставляя это уравнение с уравнением гармонических колебаний, приходим к выводу, что движение шарика не является гармоническим колебанием. Однако, если выбрать начальные условия так, чтобы шарик двигался в окрестности положения равновесия $\varphi = 0$, то при $\varphi \ll 1$ можно приближенно положить $\sin\varphi \approx \varphi$. Тогда уравнение (1) приобретает форму уравнения гармонических колебаний. Например, для угла 20° имеем $\varphi = 0,3491$, $\sin\varphi = 0,3420$. Следовательно, при $\varphi \ll 1$ маятник совершает гармонические колебания с частотой $\omega = \sqrt{g/l}$. Период колебаний $T = 2\pi\sqrt{l/g}$.

При больших отклонениях от положения равновесия $\varphi \sim 1$ частота колебаний зависит от амплитуды: $\omega = \sqrt{g/l} (1 - A^2/16)$.

Б. Уравнение (1) можно получить из второго закона Ньютона $m\vec{a} = m\vec{g} + \vec{N}$, где \vec{N} — сила реакции (рис. 1.11.15). Действительно, в проекции на направление единичного вектора $\vec{e} = (-\sin\varphi, \cos\varphi, 0)$, касательного к окружности в точке $\vec{r} = (l\cos\varphi, l\sin\varphi, 0)$, получим уравнение (1): $mdv/dt = -mg\sin\varphi$, где $dv/dt = ld^2\varphi/dt^2$. Отсюда следует уравнение (1).

1.11.18. При движении по дуге окружности длиной $s = l\varphi_0$ промежуток времени $t_0 = T/4$, $T = 2\pi\sqrt{l/g}$. При движении по хорде длиной $s = 2l\sin(\varphi_0/2) \approx l\varphi_0$, проекция ускорения на направление параллельное хорде $a = g\sin(\varphi_0/2) \approx g(\varphi_0/2)$. Промежуток времени $t_c = \sqrt{2s/a} = 2\sqrt{l/g}$.

1.11.19. Проекция скорости на касательную $v = v_0\cos\omega t$, горизонтальная компонента $v_r = v_0\cos\varphi\cos\omega t \approx v_0\cos\omega t$.

1.11.20. Если маятник находится на высоте h над поверхностью Земли, то в выражении для частоты колебаний следует произвести замену $g \rightarrow g_{\text{эф}} = g[R/(R+h)]^2$.

1.11.21. Положение стержня зададим углом отклонения φ от вертикали.

Скорости масс соответственно равны $v_1 = l_1\Omega$, $v_2 = l_2\Omega$, где $\Omega = d\varphi/dt$ — угловая скорость стержня. Полная энергия маятника

$$E = \frac{1}{2}(m_1l_1^2 + m_2l_2^2)\Omega^2 - (m_1l_1 + m_2l_2)g\cos\varphi.$$

Учитывая решение задачи 1.11.15, получим квадрат частоты линейных колебаний $\omega^2 = \frac{g(m_1 l_1 + m_2 l_2)}{m_1 l_1^2 + m_2 l_2^2}$.

1.11.23. Положение стержня зададим углом отклонения φ от вертикали. Координаты второй частицы $x_2 = (l/2)\text{tg}\varphi$, $y_2 = l/2$. Проекции скорости частицы $v_{2x} = v/(2\cos^2\varphi)$, $v_{2y} = 0$, где $v = l d\varphi/dt$.

Квадрат скорости первой частицы $v_1^2 = v^2$. Полная энергия системы $E = mv^2/2 + mv^2/(8\cos^4\varphi) - mgl\cos\varphi - mgl/2$. Для линейных колебаний $|\varphi| \ll l$, получим $E = 5mv^2/8 - mgl(1 - \varphi^2/2) - mgl/2$. Частота линейных колебаний $\omega^2 = 4g/5l$.

1.11.24. Частоту колебаний найдем исходя из закона сохранения полной энергии $E = K + W$. Кинетическая энергия $K = mv^2/2$, $v = Ld\varphi/dt$. Потенциальная энергия $W(\varphi) = mgL(1 - \cos\varphi) + k(l - l_0)^2/2$.

Из теоремы Пифагора находим $l^2 = (l_0 - L\sin\varphi)^2 + L^2(1 - \cos\varphi)^2$ (рис. 1.11.24 б). При значениях $|\varphi| \ll 1$ имеем $l \approx l_0 - L\varphi$, $W(\varphi) = (mgL + kL^2)\varphi^2/2$. Частота колебаний $\omega^2 = g/L + k/m$.

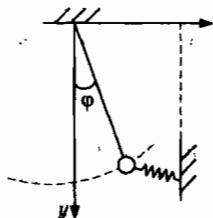


Рис. 1.11.24 б

1.11.25. В неинерциальной системе K' , связанной с тележкой, движущейся с ускорением \vec{w} , на шарик действуют сила притяжения $m\vec{g}$, сила натяжения нити \vec{T} и сила инерции $\vec{F}_n = -m\vec{w}$ (рис.1.11.25).

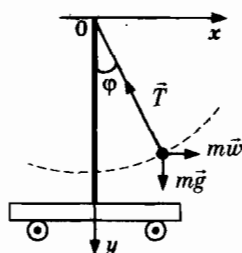


Рис 1.11.25

Уравнения движения шарика

$$m \vec{a}' = m \vec{g} - m \vec{w} + \vec{T}. \quad (1)$$

Положение шарика в системе координат xy определяется углом φ между нитью и осью y . Запишем проекцию (1) на единичный вектор $\vec{e} = (-\sin \varphi, \cos \varphi, 0)$, касательный к окружности в точке $\vec{r} = (l \cos \varphi, l \sin \varphi, 0)$:

$$l d^2 \varphi / dt^2 = -g \sin \varphi + w \cos \varphi, \text{ или } l d^2 \varphi / dt^2 = -g_{\varphi} \sin(\varphi - \varphi_0), \quad (2)$$

$$g_{\varphi} = (g^2 + w^2)^{1/2}, \quad \cos \varphi_0 = g/g_{\varphi}, \quad \sin \varphi_0 = w/g_{\varphi}.$$

Очевидно в положении равновесия $\varphi = \varphi_0$.

Введем угол $x = \varphi - \varphi_0$, определяющий отклонение нити от значения φ_0 . Подставляя $\varphi = \varphi_0 + x$ в (2), получим уравнение

$$d^2 x / dt^2 + \omega^2 \sin x = 0, \quad \omega^2 = g_{\varphi} / l. \quad (3)$$

В случае линейных колебаний ($x \ll 1$, $\sin x \approx x$) уравнение (3) приобретает форму (1.11.3), где $\omega^2 = (g^2 + w^2)^{1/2} / l$. Отметим, что в состоянии равновесия $\vec{0} = m \vec{g}_{\varphi} + \vec{T}$, где $\vec{g}_{\varphi} = \vec{g} - \vec{w}$.

Наблюдатель, находящийся на тележке, почувствует, что стоять в вертикальном положении неудобно. Он наклонит свое тело подобно нити маятника, т.е. под углом φ_0 к вертикали. Таким образом, наблюдатель обнаружит, что его вертикаль «косая», а сила «притяжения» равна $m \vec{g}_{\varphi}$.

1.11.27. Скорость частицы $\vec{v} = (-\Omega a \sin \varphi, \Omega a \cos \varphi, \Omega h / 2\pi)$, $\Omega = d\varphi / dt$. Потенциальная энергия $W(\varphi) = mg a \cos \varphi$.

Положения равновесия определяются условием

$$dW/d\varphi = -mg a \sin \varphi = 0 \text{ или } \sin \varphi = 0: \varphi_n = \pi n, n = 0, 1, \dots$$

В положениях устойчивого равновесия $d^2 W / d\varphi^2 = -mg a \cos \varphi > 0$. Следовательно, n – нечетное число. Пусть $n = 1$. Перейдем к новой переменной q : $\varphi = \pi + q$, $|q| \ll 1$. В окрестности положения равновесия потенциальная энергия

$$w(q) = W(\pi + q) = -mg a \cos q \approx -mg a \left(1 - \frac{q^2}{2} \right).$$

Полная энергия частицы

$$E \approx (m/2) [a^2 + (h/2\pi)^2] (dq/dt)^2 + mg a q^2 / 2.$$

Дифференцируя, получаем уравнение

$$[a^2 + (h/2\pi)^2] d^2 q / dt^2 + mg a q = 0.$$

1.11.28. Используя результаты задачи 1.7.10, запишем законы сохранения полной энергии и горизонтальной компоненты полного импульса

$$E = mu^2/2 + m_2(v^2 + 2uv \cos \alpha)/2 + k(s - l_0)^2/2 + m_2 g(h - s \sin \alpha), \quad (1)$$

$$m = m_1 + m_2$$

$$mu + m_2 v \cos \alpha = P_0. \quad (2)$$

Для того чтобы найти ускорение частицы $a = dv/dt$, дифференцируем (1)–(2) по времени:

$$0 = mudu/dt + m_2[v dv/dt + (u dv/dt + v du/dt) \cos \alpha] + k(s - l_0)v - m_2 g v \sin \alpha, \quad (3)$$

$$m du/dt + m_2 (dv/dt) \cos \alpha = 0. \quad (4)$$

Из (3)–(4) находим $[(m_1 + m_2 \sin^2 \alpha)/m] dv/dt + (k/m_2)(s - l_0) = g \sin \alpha$.

Полагая $s = l_0 + (m_2/k)g \sin \alpha + q$, получим уравнение гармонических колебаний $d^2 q/dt^2 + \omega^2 q = 0$, $\omega^2 = km/(m_1 + m_2 \sin^2 \alpha)m_2$.

1.11.29. В некоторый момент времени длина пружины x , длина свисающей части веревки равна z , масса $M = \rho z$, где ρ — линейная плотность. Отрезок $OB = b$, $b = x + l - z$. Согласно второму закону Ньютона $ma = -k(x - l_0) + Mg$, или

$$ma = -k(x - l_0) + \rho(l + x - b)g. \quad (1)$$

В положении равновесия $x = x_{eq}$, $0 = -k(x_{eq} - l_0) + \rho(l + x_{eq} - b)g$. Замена переменной в (1) $x = x_{eq} + s$ приводит к уравнению $ma = -(k - \rho g)s$.

1.11.30. Потенциальная энергия взаимодействия частицы, находящейся внутри Земли с Землей

$$W(\vec{r}) = -(mgR/2)[3 - (r/R)^2], \quad r \leq R. \quad (1)$$

Направим ось x параллельно оси тоннеля, начало координат поместим в середине тоннеля (рис. 1.11.30). Тогда $r^2 = (R - h)^2 + x^2$.

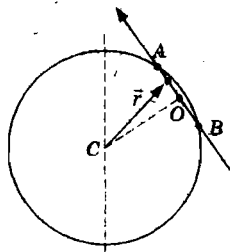


Рис. 1.11.30

Начальные условия $x(0) = [R^2 - (R - h)^2]^{1/2} \approx (2hR)^{1/2}$, $v(0) = 0$.

Отбрасывая в потенциальной энергии (1) постоянные величины, запишем закон сохранения полной энергии

$$E = mv^2/2 + mgx^2/2R. \quad (2)$$

После дифференцирования обеих частей (2) по времени получим уравнение $d^2x/dt^2 + (g/R)x = 0$.

Следовательно, $x(t) = (2hR)^{1/2} \cos \omega t$, $\omega^2 = g/R$. Время движения $t_k = T/2$, где $T = 2\pi(R/g)^{1/2}$ — период колебаний, равный периоду обращения спутника, движущегося с первой космической скоростью, $t_k = 42$ мин. Максимальное значение величины скорости $(2gh)^{1/2}$.

1.11.31. В неинерциальной системе, связанной с окружностью, на частицу действуют сила тяжести, сила реакции и силы инерции — сила Кориолиса и центробежная сила (1.10.3). В качестве координаты частицы выберем угол θ (рис. 1.11.31). Расстояние частицы до оси вращения $R \sin \theta$.

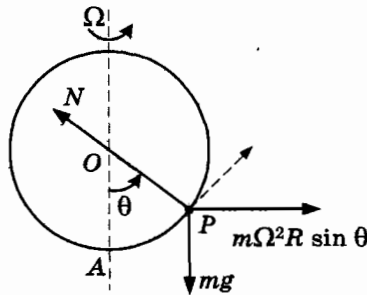


Рис. 1.11.31

В проекции на касательную из второго закона Ньютона (1.10.2) получим уравнение

$$Rd^2\theta/dt^2 = -g \sin \theta + \Omega^2 R \sin \theta \cos \theta. \quad (1)$$

В положении равновесия — $g \sin \theta + \Omega^2 R \cos \theta \sin \theta = 0$. Из этого уравнения получим три корня: $\theta_1 = 0$, $\cos \theta_2 = g/\Omega^2 R$, $\theta_3 = \pi$. Если $g > \Omega^2 R$, то частица колеблется в окрестности устойчивого положения равновесия $\theta_1 = 0$ с частотой ω_1 , $\omega_1^2 = g/R - \Omega^2$.

Второе положение устойчивого равновесия реализуется при условии $\Omega^2 R > g$. Полагая $\theta = \theta_2 + q$, $|q| \ll 1$, представим правую часть (1) в виде $-\Omega^2 R \sin^2 \theta_2 q$.

Частота линейных колебаний $\omega_2^2 = \Omega^2 - (g/\Omega R)^2$.

1.11.32. В системе отсчета, связанной с проволокой, полная энергия частицы $E = mv^2/2 - m\Omega^2 x^2/2 + mgy$. Поскольку $y = x^2/2R$, то

$$E = (m/2)(dx/dt)^2[1 + (x/R)^2] - m\Omega^2 x^2/2 + mgx^2/2R.$$

Дифференцируя, получаем уравнение движения

$$d^2x/dt^2[1 + (x/R)^2] + (dx/dt)^2 x/R^2 - \Omega^2 x + gx/R = 0.$$

1.11.33. Выберем в качестве обобщенной координаты угол θ , образуемый стержнем с осью x (рис. 1.11.33). Найдем кинетическую энергию центра масс и потенциальную энергию стержня.

Пусть (x_1, y_1) , (x_2, y_2) — координаты левого и правого концов стержня, (x_m, y_m) — координата центра масс. Тогда

$$x_{2,1} = x_m \pm (l/2)\cos\theta, \quad y_{2,1} = y_m \pm (l/2)\sin\theta. \quad (1)$$

Подставляя (1) в уравнение параболы, находим

$$y_m \pm (l/2)\sin\theta = (1/2R)[x_m \pm (l/2)\cos\theta]^2 \rightarrow \\ \rightarrow x_m = Rtg\theta, \quad y_m = (l/8R)[l^2\cos^2\theta + 4R^2tg^2\theta].$$

Потенциальная энергия стержня

$$W(\theta) = mgy_m, \quad W(\theta) = (mg/8R)[l^2\cos^2\theta + 4R^2tg^2\theta].$$

Положение равновесия найдем из условия $dW/d\theta = 0$: $\theta_1 = 0$, при $l < 2R$ и $\theta_2 = \sqrt{2R/l}$ при $l > 2R$.

В окрестности $\theta_1 = 0$ $x_m \approx R\theta$, $y_m \approx (l/8R)[l^2 + (4R^2 - l^2)\theta^2]$, кинетическая и потенциальная энергии

$$K \approx (m/2)(Rd\theta/dt)^2, \quad W \approx (mg/8R)[l^2 + (4R^2 - l^2)\theta^2].$$

Полная энергия $E = K + W$. Вычисляя производную E , получим уравнение $d^2\theta/dt^2 + \omega^2\theta = 0$, $\omega^2 = g(4R^2 - l^2)/4R^3$.

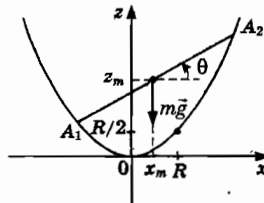


Рис. 1.11.33

1.11.35. Пусть φ — угол между вертикалью и прямой, проходящей через ось вращения O , и прямой OC , проходящей через центр масс C , $OC = b \neq R$ (рис. 1.11.35 а).

Найдем величину b . На рис. 1.11.35 б изображена трубка в системе координат xy , ось y проходит через середину, угол $\varphi_0 = L/R$. Координаты

центра масс $x_c = \frac{1}{m} \int_{-\varphi_0/2}^{\varphi_0/2} dm x$, $y_c = \frac{1}{m} \int_{-\varphi_0/2}^{\varphi_0/2} dm y$, где $m = \rho LS$, координаты

элементарной массы $dm = \rho R S d\varphi$ равны $x_a = R \sin \varphi$, $y_a = R \cos \varphi$.

Вычисляя интегралы, находим $x_c = 0$, $y_c = (2R^2/L) \sin(L/2R)$.

Частоту колебаний найдем исходя из закона сохранения полной энергии $E = K + W$. Кинетическая энергия $K = mR^2\Omega^2/2$, где $\Omega = d\varphi/dt$ — угловая скорость трубки.

Потенциальная энергия трубки $W(\varphi) = -mgb \cos \varphi$.

Полная энергия трубки

$$E = mR^2\Omega^2/2 - (2mgR^2/L) \sin(L/2R) \cos \varphi. \quad (1)$$

Дифференцируя (1) по времени, найдем проекцию ускорения на касательную к окружности

$$dv/dt = -(2gR/L) \sin(L/2R) \sin \varphi. \quad (2)$$

Частота линейных колебаний $\omega^2 = (2g/L) \sin(L/2R)$. Если длина трубки равна четверти длины окружности $L = \pi R/2$, то $\omega^2 = (2g/L\sqrt{2})$.

Отметим, что «другое» решение аналогичное (2) приведено в журнале Квант (1991. № 6. стр. 26).

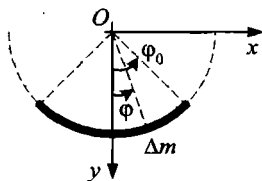


Рис. 1.11.35 б

1.11.36. Пусть φ — угол между вертикалью и стержнем (рис. 1.11.36). Найдем частоту колебаний исходя из закона сохранения полной энергии $E = K + W$. Скорость груза $v_1 = R\Omega$, скорость противовеса $v_2 = L\Omega$, где $\Omega = d\varphi/dt$ — угловая скорость диска.

Кинетическая энергия системы $K = J_0\Omega^2/2$, $J_0 = J + mR^2$.

Потенциальная энергия $W(\varphi) = -mgR\varphi - mgL \cos \varphi$.

Дифференцируя E по времени, получим уравнение

$$J_0 d\Omega/dt = mgR - MgL \sin \varphi. \quad (1)$$

В положении равновесия $mgR - MgL \sin \varphi_0 = 0$, $\sin \varphi_0 = mR/ML$. Положим $\varphi = \varphi_0 + \theta$, $|\theta| \ll 1$.

Тогда $\sin(\varphi_0 + \theta) = \sin\varphi_0\cos\theta + \cos\varphi_0\sin\theta \approx \sin\varphi_0 + \theta\cos\varphi_0$.

Уравнение (1) приобретает вид

$$J_0 d^2\theta/dt^2 + (MgL\cos\varphi_0)\theta = 0. \quad (2)$$

Из (2) находим $\theta(t) = A\cos(\omega t + \alpha)$, где ω — частота линейных колебаний, $\omega^2 = (MgL\cos\varphi_0)/J_0$.

1.11.37. Сложить два движения нельзя. Термин «сложение колебаний» — это жаргон (от фр. *jargon* — язык, непонятный непосвященным). Мы же не говорим, что движение частицы в поле тяжести Земли по параболе представляет собой сумму двух движений — по горизонтали и по вертикали. Здесь же речь идет о движении частицы, описываемом двумя функциями $x(t) = A\cos(\omega t + \alpha)$ и $y(t) = B\cos(\omega t + \beta)$. В плоскости xy точка, координаты которой $x(t), y(t)$, движется по эллипсу.

1.11.38. Направим ось z с началом в точке закрепления пружины вертикально вниз.

Из условия равновесия груза найдем координату положения равновесия $0 = Mg - k(z_1 - l_0)$, $z_1 = l_0 + Mg/k$. Для груза с частицей положение равновесия $z_2 = l_0 + (M + m)g/k$. Полагая $z = z_2 + x$, найдем начальные условия $x(0) = -mg/k$, $v(0) = 0$.

Из второго закона Ньютона следует уравнение $(M + m)a = -kx$, решение которого $x(t) = -(mg/k)\cos\omega t$, $\omega^2 = k/(M + m)$. Согласно второму закону Ньютона для частицы имеем уравнение $ma = mg - N$.

1.12. Движение твердого тела

1.12.1. Проекция скоростей любых точек твердого тела A и C на отрезок AC одинаковы: $v_A = v_C \cos\gamma$.

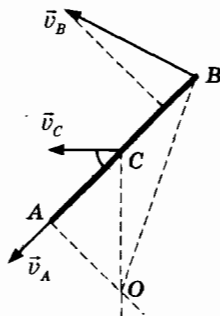


Рис. 1.12.1 б

Следовательно, угол γ между вектором \vec{v}_C и отрезком прямой AC на рис. 1.12.1 б равен $\pi/4$.

Прямые, перпендикулярные векторам \vec{v}_C и \vec{v}_A пересекаются в точке O , через которую проходит мгновенная ось вращения. Тогда $v_A = \omega OA$, $v_B = \omega OB$, где $OA = L/2$, $OB = \sqrt{5} L/2$, L — длина палки.

1.12.2. Мгновенная ось вращения проходит через точку O , которая находится на отрезке AO прямой, перпендикулярной вектору \vec{v}_A , и отрезке BO прямой, перпендикулярной вектору \vec{v}_B (рис. 1.12.2 б). Пусть длина стержня AB равна L . Тогда $v_A = \omega L \sqrt{2}/2$, $v_C = \omega L/2$.

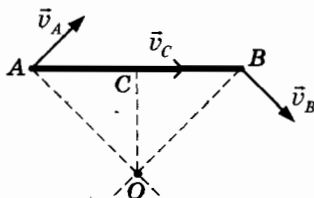


Рис. 1.12.2 б

1.12.3. Мгновенный центр вращения находится на пересечении прямых, проходящих через точки A , B и перпендикулярных скоростям \vec{v}_A , \vec{v}_B . Тогда $v_A = 2\omega AK$, $v_B = v_C = \omega AB$.

1.12.4. Угловая скорость обруча $\vec{\omega} = (0, 0, \omega_z)$, $\omega_z > 0$, скорость центра обруча направлена по горизонтали. Из (1.12.3) для точек a и c получим соотношения $3v_0 = v - \omega R$, $4v_0 = v + \omega R$, из которых находим $v = 7v_0/2$, $\omega_z = v_0/2R$.

Мгновенный центр вращения находится на продолжении отрезка CA в точке k : $v = \omega h$, $h = Ck$. Величины скоростей $v_a = v_b = \omega kb$, $kb = 5\sqrt{2}R$.

1.12.5. А. Введем обозначение $\vec{r}_{mn} = \vec{r}_n - \vec{r}_m$. Пусть m — произвольная точка листа. Тогда $\vec{v}_b = \vec{v}_m + \vec{\omega} \times \vec{r}_{mb}$, $\vec{v}_a = \vec{v}_m + \vec{\omega} \times \vec{r}_{ma}$.

Вычитая получим $\vec{\omega} \times \vec{r}_{ab} = 0$. Следовательно, мгновенная ось вращения лежит в плоскости листа на расстоянии $h = v/\omega$ от отрезка ab . Для точки c имеем $\vec{v}_c = \vec{v}_a + \vec{\omega} \times \vec{r}_{ac}$ или $\vec{v} = \vec{\omega} \times \vec{r}_{ac}$, $v = \omega l$. Для множества точек k следует аналогичное соотношение $2v = \omega d$, где $d = 2l$ — расстояние между искомой прямой и отрезком ab .

Б. Очевидно, что вектор угловой скорости перпендикулярен векторам \vec{v}_a , \vec{v}_b . Мгновенная ось вращения находится в плоскости, пер-

пендикулярной листу фанеры, на расстоянии $h = v/\omega$ от отрезка ab . Для точки c имеем $v_c = \omega c$, $c = (h^2 + l^2)^{1/2}$. Отсюда находим $\sqrt{3}v = \omega l$. Для множества точек k аналогично получим $3v = \omega(h^2 + d^2)^{1/2}$. Расстояние между искомой прямой и отрезком ab равно $d = 2l\sqrt{2/3}$.

1.12.6. Поскольку проекции скорости катера и спортсмена на ось катера равны, то $v_2 \cos \pi/3 = v_1$, $v_2 = 2v_1$.

1.12.7. Согласно (1.12.3)

$$\vec{v}_a = \vec{v}_0 + \vec{v}'_a, \quad (1)$$

$$\vec{v}_b = \vec{v}_0 + \vec{v}'_b, \quad (2)$$

где $v'_a = v'_b = v'$ (рис. 1.12.7 б).

Угол между векторами v'_b и \vec{v}_0 равен 120° . Из (1), (2) следует система уравнений $v_a = v_0 + v'$, $v_b^2 = v_0^2 + v'^2 - v_0 v'$.

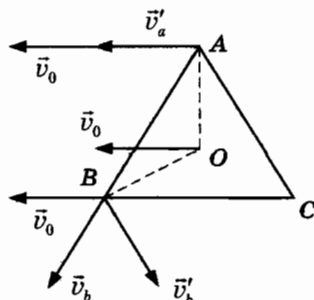


Рис. 1.12.7 б

1.12.8. Координаты точек: $x_A = R \cos \varphi$, $y_A = R \sin \varphi$, $x_B = 2R \cos \varphi$. Скорости точек: $v_{Ax} = -\omega R \sin \varphi$, $v_{Ay} = \omega R \cos \varphi$, $v_{Bx} = -2\omega R \sin \varphi$, где $\omega = d\varphi/dt$.

Полезно проверить, что проекция вектора скорости \vec{v}_A и скорости точки B на отрезок AB одинаковы. Согласно условию $2\omega R \sin \varphi = v_0$. Отсюда находим $0 = \varepsilon \sin \varphi + \omega^2 \cos \varphi$, где $\varepsilon = d^2\varphi/dt^2$ – угловое ускорение.

При значении $\varphi = \pi/4$ имеем $\omega_0 = v_0/R\sqrt{2}$, $\varepsilon_0 = -\omega_0^2$. Компоненты ускорения $a_{Ax} = -R(\varepsilon_0 \sin \varphi + \omega_0^2 \cos \varphi)$, $a_{Ay} = R(\varepsilon_0 \cos \varphi - \omega_0^2 \sin \varphi)$.

1.12.9. Обозначим x_1 , x_2 , s – координаты масс и центра блока B (рис. 1.12.9 б). Тогда имеем условие связи $x_1 + 2x_2 - s = \text{const}$. Следовательно,

$$a_1 + 2a_2 - a = 0. \quad (1)$$

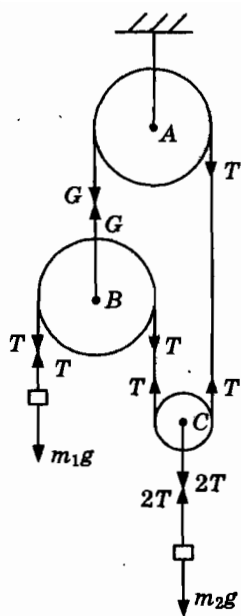


Рис. 1.12.9 б

Скорость оси блока В связана с угловой скоростью блока А соотношением $v = \omega R$, R — радиус блока. Ускорение оси $a = R d\omega/dt$.

Пусть величина силы натяжения, действующая на тело массой m_1 , равна T . Силы, действующие на грузы и блоки, показаны на рис. 1.12.9 б. Уравнения движения имеют вид

$$m_1 a_1 = m_1 g - T, \quad (2)$$

$$m_2 a_2 = m_2 g - 2T, \quad (3)$$

$$2T - G = 0, \quad (4)$$

$$J d\omega/dt = GR - TR. \quad (5)$$

Из (1)–(5) находим

$$a_1 + 2a_2 - a = g - T/m_1 + 2g - 4T/m_2 - 2T/m = 0, \rightarrow$$

$$\rightarrow T = 3gm_1 m_2 / [m(4m_1 + m_2) + 2m_1 m_2].$$

Ускорения грузов и оси блока В:

$$a_1 = 2g[m(2m_1 - m_2) + m_1 m_2] / [m(4m_1 + m_2) + 2m_1 m_2],$$

$$a_2 = g[2m_1 m_2 - m(2m_1 - m_2)] / [m(4m_1 + m_2) + 2m_1 m_2],$$

$$a = 6gm_1 m_2 / [m(4m_1 + m_2) + 2m_1 m_2].$$

Если $a_2 = 0$, то $a_1 = a$. При условии $m \gg m_1, m_2$ ускорения грузов и оси блока

$$\begin{aligned} a_1 &= 2g(2m_1 - m_2)/(4m_1 + m_2), \\ a_2 &= -g(2m_1 - m_2)/(4m_1 + m_2), \\ a &= 6gm_1m_2/m(4m_1 + m_2) \ll a_1, |a_2|. \end{aligned}$$

Эта задача рассмотрена в нескольких задачниках в предположении невесомого блока A : $m = 0$.

1.12.10. Радиус-векторы частиц \vec{r}_1 и \vec{r}_2 , $\vec{r} = \vec{r}_2 - \vec{r}_1$ (рис. 1.12.10). Силы реакции $\vec{N}_1 = N\vec{r}/l$, $\vec{N}_2 = -N\vec{r}/l$. Из второго закона Ньютона следуют уравнения

$$m_1\vec{a}_1 = N\vec{r}/l + m_1\vec{g}, \quad (1)$$

$$m_2\vec{a}_2 = -N\vec{r}/l + m_2\vec{g}. \quad (2)$$

Умножим обе части уравнения (1) на m_2 , второго уравнения - на m_1 и вычтем первое из второго. В результате получим уравнение

$$\mu\vec{a} = -N\vec{r}/l, \quad (3)$$

где \vec{a} — относительное ускорение частиц в системе центра масс,

$$\mu = m_1m_2/m, \quad m = m_1 + m_2.$$

Относительная скорость частиц $\vec{v} = \vec{v}_2 - \vec{v}_1$. Поскольку $\vec{r}\vec{v} = 0$, то образуя скалярное произведение (3) с вектором \vec{v} , находим, что в произвольный момент времени величина относительной скорости равна v_0 . В этой системе стержень вращается с угловой скоростью $\bar{\omega}$, $\omega = v_0^2/l$: $\vec{a} = -(v_0^2/l)\vec{r}/l$. Следовательно, $N = \mu v_0^2/l$.

Отметим, что в системе центра масс уравнения движения можно записать в виде $m_1v_{10}^2/l_1 = N$, $m_2v_{20}^2/l_2 = N$, где $v_{10} = \omega l_1$, $v_{20} = \omega l_2$, $l = l_1 + l_2$.

Относительная скорость $v_0 = v_{10} + v_{20}$.

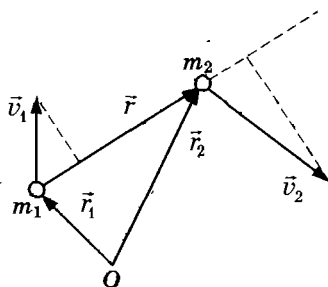


Рис. 1.12.10

1.12.11. В уравнении (1.12.13) момент силы трения $M_t = -\mu mgR$, момент инерции $J = mR^2$. Имеем уравнение

$$Jd\omega/dt = -\mu mgR \rightarrow \omega(t) = \omega_0 - \mu gt/R,$$

$$\varphi(t) = \omega_0 t - \mu gt^2/2R.$$

1.12.12. Конфигурация системы определяется углом $\varphi(t)$ между горизонталью и отрезком прямой линии, проходящей через центр и фиксированную точку обода первого диска. Тогда смещение частицы $x = R\varphi$, где R – радиус диска. Проекция угловой скорости на ось, перпендикулярную плоскости диска $\omega = d\varphi/dt$.

Из закона сохранения полной энергии следует уравнение

$$(1/2)(2M + m)(R\omega)^2 - mgR\varphi = E. \quad (1)$$

Дифференцируя (1), получим $(2M + m)R^2\omega d\omega/dt - mgR\omega = 0$.

Величина ускорения частицы $a = Rd\omega/dt$.

1.12.13. Положение стержня задано углом φ . Радиус-вектор и скорость центра масс

$$\vec{R} = (l/2\sin\varphi, l/2\cos\varphi, 0),$$

$$\vec{v} = [(l\omega/2)\cos\varphi, -(l\omega/2)\sin\varphi, 0],$$

$\omega = d\varphi/dt$ — проекция угловой скорости на ось z , $\omega > 0$.

Уравнения (1.12.10), (1.12.11) приобретают вид

$$2m\vec{a} = 2m\vec{g} + \vec{N}_1 + \vec{N}_2, \quad (1)$$

$$Jd\omega/dt = (-N_1\cos\varphi + N_2\sin\varphi)(l/2), \quad (2)$$

где $J = 2m(l/2)^2$ — момент инерции относительно центра масс.

Кинетическая энергия стержня $K = mv^2 + J\omega^2/2 = (m/2)(l\omega)^2$.

Поскольку $N_1v_x + N_2v_y + (N_2\sin\varphi - N_1\cos\varphi)l\omega/2 = 0$, то сохраняется полная энергия стержня

$$(m/2)(l\omega)^2 + mgl\cos\varphi = mgl. \quad (3)$$

Из (3) находим $\omega = \sqrt{2g(1 - \cos\varphi)/l}$ и компоненты скорости центра масс. Дифференцируя (3) по времени получим угловое ускорение $d\omega/dt = (g/l)\sin\varphi$.

Найдем теперь силы реакции из уравнений (1):

$$N_1 = 2ma_x, N_1 = -l\omega^2\sin\varphi + l(d\omega/dt)\cos\varphi = mgsin\varphi(3\cos\varphi - 2), \quad (4)$$

$$N_2 = 2ma_y + 2mg,$$

$$N_2 = -l\omega^2\cos\varphi - l(d\omega/dt)\sin\varphi + 2mg = mg(1 - 2\cos\varphi + 3\cos^2\varphi). \quad (5)$$

Из (4) следует, что при $\varphi = \alpha$, $\cos \alpha = 2/3$ реакции $N_1(\alpha) = 0$, $N_2(\alpha) = mg$. Следовательно, найденное решение описывает движение стержня в области $0 \leq \varphi \leq \alpha$. В области $\alpha \leq \varphi \leq \pi/2$ горизонтальная компонента скорости центра масс $v_x = (1/3)(2gl/3)^{1/2} = \text{const}$.

С «другим» решением этой задачи можно ознакомиться в журнале Квант (1988. № 2. стр. 61).

1.12.14. Пусть длина стержня s , масса m . Совместим начала систем координат O и O' (рис. 1.12.14). Положение стержня определяется функцией $\varphi(t)$ — значением угла между осями x и x' в момент времени t . На стержень действуют сила тяжести и сила реакции \vec{N} .

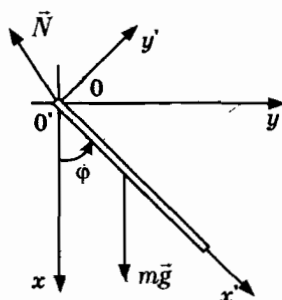


Рис. 1.12.14

Момент силы тяжести относительно оси z равен

$$\vec{M} = (0, 0, -(s/2)mg \sin \varphi).$$

Угловая скорость стержня $\vec{\omega}(t) = (0, 0, \omega)$, скорость центра масс $\vec{v}' = (0, \omega s/2, 0)$. Из уравнений (1.12.10), (1.12.11) получим систему

$$\frac{ms}{2} \frac{d\omega}{dt} = -mg \sin \varphi + N'_y, \quad (1)$$

$$-\frac{ms\omega^2}{2} = mg \cos \varphi + N'_x, \quad (2)$$

$$J_0 \frac{d\omega}{dt} = -(s/2)mg \sin \varphi, \quad (3)$$

где $J_0 = ms^2/3$.

Из (1), (3) находим $N'_y = mg \sin \varphi (1 - ms^2/4J_0) = (1/4)mg \sin \varphi$, $N'_x = -ms\omega^2/2 - mg \cos \varphi$. Следовательно, сила реакции имеет компоненту, перпендикулярную стержню.

Отметим, что при вращении математического маятника — точечной массы m , закрепленной на конце тонкой спицы длиной $s/2$, момент инерции $J_0 = m(s/2)^2$. В этом случае поперечная к стержню компонента $N'_v = 0$.

1.12.15. Из уравнения (3) находим $\Omega = (msg/2J_0)^{1/2}$.

1.12.16. В момент удара на стержень действует сила $\vec{F} = (0, -F, 0)$; момент силы $\vec{M} = (0, 0, -Fh)$.

Полагая $\varphi = 0$ в уравнениях (1)–(3), получим систему уравнений

$$\frac{ms}{2} \frac{d\omega}{dt} = N'_v - F, \quad J_0 \frac{d\omega}{dt} = -Fh.$$

Следовательно, $N'_v = F(1 - msh/2J_0)$. При значении $h = 2J_0/ms = 2s/3$ поперечная компонента силы реакции обращается в нуль.

Точка C называется *центром удара*. Вращающиеся ударные устройства (маятниковый копр, курок ружья и т.д.) конструируются так, чтобы точка C была по отношению к оси вращения центром удара.

1.12.17. Выберем в качестве координаты угол φ отклонения стержня b от вертикали. Угловая скорость системы стержней $\Omega = d\varphi/dt$. Центр масс системы находится на расстоянии $s = (2m_a + m_b)b/2(m_a + m_b)$ от оси. Потенциальная энергия стержня $W(\varphi) = -(m_a + m_b)gscos\varphi$. Кинетическая энергия системы $K = (J_a + J_b)\Omega^2/2$, где $J_b = m_b b^2/3$, $J_a = m_a b^2 + m_a a^2/12$ — моменты инерции стержней относительно оси.

Полная энергия $E = K + W$. Дифференцируя правую и левую части в законе сохранения полной энергии, получим квадрат частоты линейных колебаний $\omega^2 = 6(2a + b)bg/[4b^2(b + 3a) + a^3]$.

1.12.18. На рис. 1.12.18 изображено поперечное сечение куклы.

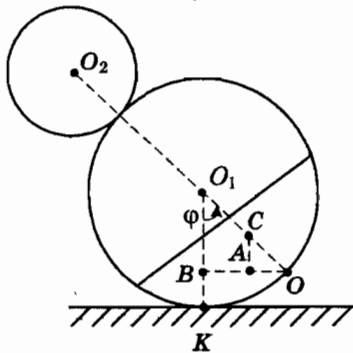


Рис. 1.12.18

Здесь C — центр тяжести массивного сегмента, φ — угол отклонения оси системы от вертикали. Найдём проекцию моментов сил тяжести на ось z перпендикулярную плоскости чертежа $M_z = -dW/d\varphi$, где $W(\varphi)$ — потенциальная энергия куклы. Высота точки C равна $h_1 = AC + BK$, $h_1 = h\cos\varphi + a - a\cos\varphi$. Потенциальная энергия системы и момент силы $W(\varphi) = mga + mg(h - a)\cos\varphi$, $M_z = mg(h - a)\sin\varphi$.

Движение куклы устойчиво при условии $a > h$. В этом случае область устойчивого движения $0 \leq \varphi < \varphi_0$, где φ_0 — максимально возможный угол отклонения, соответствующий «лежащей» кукле:

$$\cos\varphi_0 = (b - a)/(a + b).$$

Если к макушке неваляшки прикрепить кусок пластилина массы $m_0 = m(a - h)/(a + b)$, то центр масс сместится в точку O_1 и кукла потеряет устойчивость.

1.12.19. В окрестности углов $\varphi \ll 1$, $\cos\varphi \approx 1 - \varphi^2/2$,

$$W(\varphi) = mhg + m(a - h)g\varphi^2/2.$$

Частоту колебаний найдём исходя из закона сохранения полной энергии $E = K + W$. Ось, проходящая через точку касания K , является мгновенной осью вращения. При движении без проскальзывания величина скорости центра масс $v = \omega s$, где $s = KC$ — расстояние от точки касания с плоскостью до центра масс. Из теоремы косинусов для треугольника KCO_1 находим $s^2 = (a - h)^2 + a^2 - 2(a - h)a\cos\varphi$. В случае линейных колебаний $s \approx h$. Кинетическая энергия куклы

$$K = mv^2/2 + J\omega^2/2 = [mh^2 + J]\omega^2/2.$$

Дифференцируя соотношение $E = K + W$, получим уравнение колебаний.

1.12.20. В результате действия сил тяжести, реакции и трения покоя кукла находится в равновесии на наклонной плоскости (рис. 1.12.20).

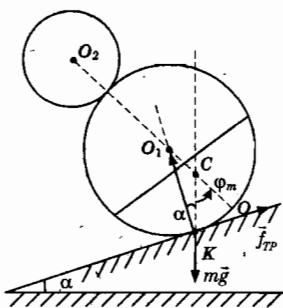


Рис. 1.12.20

Центр масс куклы C находится на вертикали, проходящей через точку касания K основания с плоскостью. По теореме синусов для треугольника O_1KC получим $\sin\varphi_m = a\sin\alpha/(a-h)$.

1.12.21. На колесо действуют сила тяжести, сила трения \vec{F} , сила реакции \vec{N} , сила трения пробуксовки со стороны дороги \vec{f} и сила давления \vec{T} со стороны оси (рис. 1.12.21 б). На раму действуют сила тяжести, сила трения $\vec{F}' = -\vec{F}$, сила реакции $\vec{T}' = -\vec{T}$, к точке A приложены сила реакции \vec{Q} и сила трения \vec{f}_a .

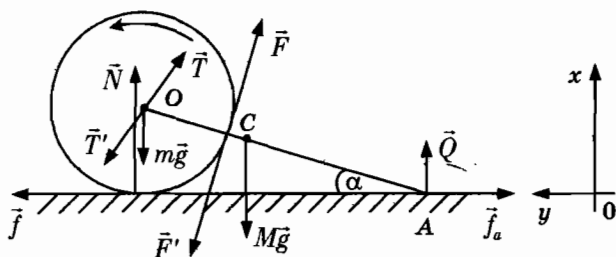


Рис. 1.12.21 б

Из уравнений (1.12.10), (1.12.11) получим систему

$$ma_c = F_y + f + T_y, \quad (1)$$

$$0 = N + T_x + F_x - mg, \quad (2)$$

$$Ma_c = -F_y - f_x - T_y, \quad (3)$$

$$0 = Q - T_x - F_x - Mg, \quad (4)$$

$$J \frac{d\omega}{dt} = aF - af, \quad (5)$$

где $f = \mu N$, $f_a = \mu' Q$, J — момент инерции колеса.

При движении колеса без проскальзывания $v = a\omega$.

Из уравнений (2), (4) находим $Q + N = (m + M)g$. Поскольку рама не вращается, то сумма моментов сил, действующих на раму равна нулю. Из этого условия получим уравнение

$$-Fa - MgOC\cos\alpha + QOA\cos\alpha = 0, \quad Q = Mg/4 + Ftg\alpha.$$

Получим теперь закон изменения кинетической энергии машины. Из уравнений (1), (3) получим $(m + M)a_c = f - f_a$. После умножения обеих частей на v находим $\frac{d}{dt} \frac{(m + M)v^2}{2} = fv - f_av$.

Умножая обе части (5) на ω и учитывая, что при движении без проскальзывания $v = a\omega$, получим уравнение $\frac{d}{dt} \frac{J\omega^2}{2} = Fv - fv$.

Из последних соотношений следует закон изменения кинетической энергии машины $\frac{d}{dt} [(m+M) + J/a^2] \frac{v^2}{2} = Fv - f_1 v$.

При движении с постоянным ускорением

$$F > \mu' Mg / (1 - \mu' tg\alpha),$$

$$F > \mu (4m + 3M)g / 4(1 + \mu tg\alpha).$$

1.12.22. Пусть $\vec{u}(t) = (u, 0, 0)$ — скорость точки обруча K , касающейся плоскости в момент времени t . Согласно (1.12.4) скорости точек C и K связаны соотношением $\vec{u} = \vec{v} + \vec{\omega} \times \vec{r}_{C\alpha}$, $\vec{r}_{C\alpha} = (0, -a, 0)$, $\vec{\omega} = (0, 0, \omega)$. Следовательно,

$$u(t) = v + a\omega, \quad (1)$$

начальное значение $u(0) = v_0 + a\omega_0$.

Заметим, что при движении обруча без проскальзывания $u = 0$, или $v + a\omega = 0$. Поэтому обруч начинает скользить. Со стороны плоскости на него действуют сила нормальной реакции $\vec{N} = (0, N, 0)$ и сила трения скольжения $\vec{T} = -\mu N \vec{u} / |u|$. При значениях $u(t) > 0$ в течение некоторого интервала времени $[0, t_c]$ единичный вектор $\vec{u} / |u|$ сохраняет постоянное значение $\vec{c} = \vec{u}(0) / |u(0)|$: точка касания скользит по плоскости.

Уравнения движения (1.12.10), (1.12.11) приобретают вид

$$N - mg = 0, \quad (2)$$

$$m \frac{dv}{dt} = -\mu mg c_x, \quad (3)$$

$$J \frac{d\omega}{dt} = -\mu mg a c_x, \quad (4)$$

где $c_x = 1$, $J = ma^2$ — момент инерции обруча относительно центра масс.

Дифференцируя уравнение (1) и учитывая (3), (4), последовательно находим

$$du/dt = dv/dt + ad\omega/dt = -\mu g(1 + ma^2/J),$$

или

$$du/dt = -2\mu g.$$

Из последнего уравнения следует, что $u(t) = v_0 + a\omega_0 - 2\mu gt$. Полагая $u(t_c) = 0$, находим $t_c = (v_0 + a\omega_0)/2\mu g$.

Найдем теперь решения уравнений (3), (4) в интервале времени $0 \leq t \leq t_c$:

$$v(t) = v_0 - \mu gt, \quad \omega(t) = \omega_0 - \mu gt/a. \quad (5)$$

Полагая $v(t_1) = 0$, находим $t_1 = v_0/\mu g < t_c$, $\omega(t_1) = \omega_0 - v_0/a > 0$ — обруч по-прежнему скользит по плоскости. В момент времени t_c значения скоростей $v_c = v(t_c)$, $\omega_c = \omega(t_c)$: $v_c = (v_0 - a\omega_0)/2$, $\omega_c = (a\omega_0 - v_0)/2a$.

Поскольку $a\omega_0 > v_0$, то $v_c < 0$. В интервале времени $t_1 < t < t_c$ обруч движется в обратном направлении вращаясь с проскальзыванием — $v(t) < 0$.

В интервале времени $t > t_c$ выполняется соотношение $v_0 + a\omega_0 = 0$ — обруч движется без проскальзывания с постоянной скоростью v_c .

Шар на бильярде. Если начальные скорости центра шара и точки касания с поверхностью стола не коллинеарны, то шар скользит по параболе, а при переходе в режим качения движется по прямой. Игроки на бильярде знают, как заставить шар вернуться назад.

1.12.23. На катушку действуют сила трения $\vec{T} = (T_x, 0, 0)$, сила тяжести $m\vec{g} = (0, -mg, 0)$, сила реакции $\vec{N} = (0, N, 0)$ и внешняя сила $\vec{F} = (F\cos\alpha, F\sin\alpha, 0)$, где α — угол между вектором \vec{F} и осью x .

Из уравнений движения (1.12.10), (1.12.11) получим систему

$$N - mg + F\sin\alpha = 0, \quad (1)$$

$$m \frac{dv}{dt} = F\cos\alpha + T_x, \quad (2)$$

$$J_c \frac{d\omega}{dt} = bF + aT_x, \quad (3)$$

где J_c — осевой момент инерции катушки.

Скорость точки обода, касающейся плоскости, $\vec{u}(t) = (u, 0, 0)$, $u = v + a\omega$.

А. Рассмотрим вначале режим чистого качения. В этом случае $u = 0$, $v = -a\omega$. Из уравнений (2), (3) получим

$$T_x = -F(\cos\alpha + mab/J_c)/(1 + ma^2/J_c).$$

Теперь из (2) следует уравнение $\frac{dv}{dt} = Fa(ac\cos\alpha - b)/(ma^2 + J_c)$.

Очевидно, при значении $\alpha = \alpha_k$, $\cos\alpha_k = b/a$ ускорение равно нулю. Этот результат очевиден из теоремы о трех силах (рис. 1.12.23 б).

Если $0 < \alpha < \alpha_k$, то $v(t) > 0$, $\omega(t) < 0$ — катушка движется в положительном направлении оси x . Нить наматывается на катушку.

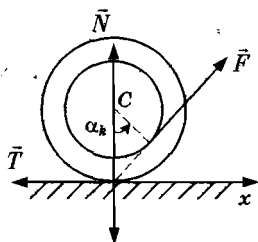


Рис. 1.12.23 б

Б. Рассмотрим режим скольжения катушки. Пусть начальные значения $v(0) = 0$, $\omega(0) = \omega_0$; катушку раскрутили и поставили на плоскость. Начальная скорость точки касания обода с плоскостью $u(0) = a\omega_0 > 0$. В этом случае катушка начинает скользить по плоскости. Вектор $\vec{c} = \vec{u}(0)/|u(0)| = (1, \theta, 0)$; поэтому проекция силы трения $T_x = -\mu N$.

Теперь необходимо ответить на вопрос: возможен ли переход скольжения в чистое качение?

С этой целью дифференцируя уравнение $u = v + a\omega$ по времени и учитывая уравнения (2), (3), получим

$$\frac{du}{dt} = \frac{dv}{dt} + a \frac{d\omega}{dt} = w,$$

$$mw = F(\cos\alpha + mab/J_c) - \mu(mg - F\sin\alpha)(1 + ma^2/J_c).$$

Если $w > 0$, то движение катушки не перейдет в режим качения.

1.12.24. На диск действуют сила тяжести, сила реакции \vec{N} и сила трения \vec{f} (рис. 1.12.24 б).

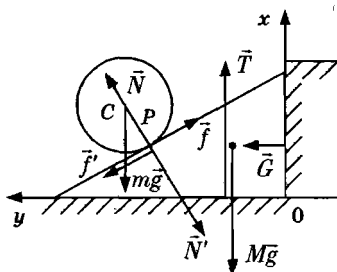


Рис. 1.12.24 б

Уравнения движения обруча (1.12.10), (1.12.11) приобретают вид

$$m\vec{a}_c = m\vec{g} + \vec{N} + \vec{f}, \quad (1)$$

$$J d\vec{\omega}/dt = \vec{r}_{CP} \times \vec{f}, \quad (2)$$

где \vec{a}_c — ускорение центра масс, $J = ma^2$ — момент инерции обруча.

В системе координат xyz на рис. 1.12.24 б скорость центра масс $\vec{v} = (-v\sin\alpha, v\cos\alpha, 0)$. Из (1), (2) следуют уравнения

$$N - mg\cos\alpha = 0, \quad (3)$$

$$ma_c = mg\sin\alpha - f, \quad (4)$$

$$J \frac{d\omega}{dt} = af, \quad (5)$$

При движении обруча без проскальзывания (в случае $f \leq \mu N$) наша система имеет одну степень свободы, т. к. скорость точки P равна нулю: $\vec{0} = \vec{v} + \vec{\omega} \times \vec{r}_{CP}$, $\vec{\omega} = (0, 0, \omega)$. Отсюда получаем $v = a\omega$. Тогда из

$$(4)-(5) \text{ находим } a_c = \frac{mga^2 \sin\alpha}{ma^2 + J}, \quad a_c = \frac{1}{2}g\sin\alpha, \quad f = \frac{1}{2}mg\sin\alpha.$$

Весьма полезно получить из уравнений (1), (2) закон изменения полной энергии обруча. Образует скалярное произведение уравнения (1) с \vec{v} , уравнения (2) — с $\vec{\omega}$. В результате получим

$$\frac{d}{dt} \left(\frac{mv^2}{2} - mgss\sin\alpha \right) = \vec{f}\vec{v}, \quad \frac{d}{dt} \frac{J\omega^2}{2} = -\vec{f}\vec{v}.$$

Отсюда следует закон сохранения полной энергии обруча

$$\frac{mv^2}{2} + \frac{J\omega^2}{2} - mgss\sin\alpha = \text{const.} \quad (6)$$

В начальный момент времени $s(0) = 0$, $v(0) = 0$.

Тогда $mv^2 - mgss\sin\alpha = 0$. Теперь перечислим силы, действующие на клин: сила тяжести $M\vec{g}$, сила нормального давления $\vec{N}' = -\vec{N}$, сила трения $\vec{f}' = -\vec{f}$, сила реакции со стороны стенки \vec{G} и сила реакции \vec{T} . Поскольку сумма сил равна нулю, то

$$G = N\sin\alpha - f\cos\alpha, \quad G = (mg/4)\sin 2\alpha, \quad T = (m + M)g - (mg/2)\sin^2\alpha.$$

1.12.25. Используя обозначения задачи 1.12.24, перечислим силы, действующие на клин: сила тяжести $M\vec{g}$, сила нормального давления обруча $\vec{N}' = -\vec{N}$, сила трения $\vec{f}' = -\vec{f}$ и сила реакции \vec{T} . Пусть u — проекция скорости клина на ось y , величина скорости центра

масс в системе отсчета, связанной с клином, v . Скорость центра масс обруча в неподвижной системе координат $v_x = -v \sin \alpha$, $v_y = u + v \cos \alpha$.

Поскольку сумма горизонтальных проекций внешних сил, действующих на систему равна нулю, то сохраняется проекция горизонтального импульса системы:

$$mu + m(u + v \cos \alpha) = 0. \quad (1)$$

Закон сохранения полной энергии системы приобретает вид

$$\frac{mu^2}{2} + \frac{m(v_x + v_y)^2}{2} + \frac{J\omega^2}{2} - mgss \sin \alpha = 0. \quad (2)$$

где $J = ma^2$, $v = a\omega$.

Подставляя в (2) $u = -(v/2) \cos \alpha$ из (1), получим

$$v^2 = 4gss \sin \alpha / (4 - \cos^2 \alpha).$$

1.12.26. Пусть $\vec{R}(t)$ — радиус-вектор центра масс, проведенный из точки касания с плоскостью. При $t = 0$ момент импульса волчка можно представить в виде $\vec{L}(0) = L_0 \vec{R}_0 / R_0$, $L_0 \approx J_3 \omega_{30}$, $\vec{R}_0 = \vec{R}(0)$. Из (1.12.12) имеем уравнение движения

$$\frac{d\vec{L}}{dt} = \vec{R} \times m \vec{g}. \quad (1)$$

Если кинетическая энергия волчка много больше потенциальной энергии, то величину момента импульса можно считать постоянной. В этом приближении $\vec{L} = L_0 \vec{R} / R$.

В соответствии с (1.12.2) $d\vec{R}/dt = \vec{\Omega} \times \vec{R}$.

Тогда $d\vec{L}/dt = (L_0/R) \vec{\Omega} \times \vec{R}$. Из уравнения движения (1) получим $(L_0/R) \vec{\Omega} \times \vec{R} = \vec{R} \times m \vec{g}$. Отсюда находим.

$$\vec{\Omega} = -\frac{mR_0}{J_3 \omega_{30}} \vec{g}. \quad (2)$$

Следовательно, ось волчка вращается по конической поверхности вокруг вертикальной оси с угловой скоростью $\vec{\Omega}$.

Один из эффектов влияния силы трения между опорной плоскостью и основанием оси волчка состоит в том, что ось симметрии волчка стремится к вертикали.

1.12.27. Поместим начало подвижной системы координат K' в центр масс гироскопа. Сумма моментов всех сил относительно центра масс $\vec{M}_c = \vec{r}_a \times \vec{N}_a + \vec{r}_b \times \vec{N}_b$.

Полагая $\vec{r}_b = -\vec{r}_a = \vec{c}$, получим $\vec{M}_c = \vec{c} \times (\vec{N}_b - \vec{N}_a)$. Поскольку проекция угловой скорости вращения гироскопа ω_3 вокруг оси z' намного больше величины угловой скорости движения объекта, то можно пренебречь изменением величины вектора момента импульса гироскопа: в подвижной системе координат: $\vec{L}_c \approx (0, 0, L_0)$, $L_0 = J_3 \omega_{30}$, $\omega_{30} = \omega_3(0)$.

Представим \vec{L}_c в виде $\vec{L}_c = \vec{c} L_0 / c$. Поскольку величина вектора \vec{L}_c постоянна, то в соответствии с (1.12.2) $d\vec{L}_c/dt = \vec{\Omega} \times \vec{L}_c$ или $d\vec{L}_c/dt = L_0 \vec{\Omega} \times \vec{c} / c$. Из (1.12.11) получим уравнение

$$\frac{L_0}{c} \vec{\Omega} \times \vec{c} = \vec{c} \times (\vec{N}_b - \vec{N}_a).$$

Отсюда следует важный результат

$$\vec{\Omega} = -\frac{c}{J_3 \omega_{30}} (\vec{N}_b - \vec{N}_a). \quad (1)$$

Сумма моментов сил, действующих со стороны оси гироскопа на подшипники $\vec{M}_g = -\vec{\Omega} \times \vec{L}_c$, или $\vec{M}_g = (L_0/c) \vec{c} \times \vec{\Omega}$. Вектор \vec{M}_g называют гироскопическим моментом.

Вводя единичный вектор $\vec{n} = \vec{c} / c$, полезно представить \vec{M}_g в виде $\vec{M}_g = (J_3 \omega_{30}) \vec{n} \times \vec{\Omega}$. Отметим, что при движении объекта с постоянной скоростью из уравнений

$$0 = m\vec{g} + \vec{N}_a + \vec{N}_b, \quad \vec{N}_a - \vec{N}_b = 0 \quad (2)$$

получим $\vec{N}_b = \vec{N}_a = -m\vec{g}/2$.

Следовательно, соотношение (1) представляет собой основной результат теории быстровращающихся гироскопов: если к оси гироскопа приложить пару сил, то он приобретает угловую скорость $\vec{\Omega}$ или наоборот при повороте гироскопа изменяются силы реакции.

1.12.28. В подвижной системе координат $\vec{\Omega} = (0, \Omega(t), 0)$. Из уравнения (1.12.10) и уравнения (1) в решении задачи 1.12.27 получим систему

$$0 = m\vec{g} + \vec{N}_a + \vec{N}_b, \quad \vec{\Omega} = (\vec{N}_a - \vec{N}_b) \frac{c}{L_0},$$

из которой находим $\dot{\vec{N}}_{a,b} = \frac{1}{2} \left(-m\vec{g} \pm \vec{\Omega} \frac{L_0}{c} \right)$.

Следовательно, величина силы давления на подшипники является функцией времени: $N_a(t) = N_b(t) = (1/2)[(mg)^2 + (\Omega L_0/c)^2]^{1/2}$.

1.12.29. Поскольку величина скорости центра масс $v = \Omega R$ постоянна, то $d\vec{v}/dt = \vec{\Omega} \times \vec{v}$. Из (1.12.10) и уравнения (1) в решении задачи 1.12.27 получим систему $m\vec{\Omega} \times \vec{v} = m\vec{g} + \vec{N}_a + \vec{N}_b$, $\vec{\Omega} = (\vec{N}_a - \vec{N}_b) \frac{c}{L_0}$.

Отсюда находим силы давления на подшипники

$$\vec{P}_{a,b} = -\vec{N}_{a,b},$$

$$\vec{P}_{a,b} = -\frac{1}{2} \left(-m\vec{g} + m\vec{\Omega} \times \vec{v} \pm \vec{\Omega} \frac{L_0}{c} \right).$$

Гироскопический момент $\vec{M}_g = \frac{L_0}{c} \vec{c} \times \vec{\Omega}$, $\vec{M}_g = (0, J_3 \omega_3 \Omega, 0)$, обусловленный парой сил давления на корпус корабля в плоскости $x'z'$, приводит к смещению носа корабля вверх и кормы вниз. Этот же эффект наблюдается при развороте легкого винтомоторного самолета.

В разделе физики, известном как, «Физики шутят», упоминается о розыгрыше, автором которого был выдающийся американский физик-экспериментатор Роберт Вуд. Перед поездкой он укрепил в чемодане гироскоп. Вышел из вагона, запустил гироскоп с помощью ремня и подозвал носильщика. Когда они огибали угол, чемодан стал разворачиваться и вырвался из рук испуганного носильщика.

Глава II. МОЛЕКУЛЯРНАЯ ФИЗИКА. ТЕРМОДИНАМИКА

2.1. Идеальный газ. Термодинамические процессы

2.1.1. Возьмем m килограммов вещества плотностью ρ . В объеме V содержится N атомов: $m = \rho V$. Если V_a — объем, занимаемый одним атомом, то $m = \rho N V_a$. С другой стороны поскольку масса атома $m_a = M/N_A$, то $m = NM/N_A$. Следовательно, $V_a = M/\rho N_A$. На каждый атом (или молекулу) приходится куб со стороной $L \approx (M/\rho N_A)^{1/3}$. В твердых телах атомы упакованы наиболее плотно. Поэтому величина L близка к верхнему пределу размера атома.

Подставляя $M = 0,197$ кг/моль, $\rho = 19,32 \cdot 10^3$ кг/м³, получим $L = 0,26$ нм. (1 нм = 10^{-9} м; приставка нано образована от греч. *nanos* — карлик). С помощью электронного микроскопа с разрешением 0,12 нм при увеличении в 7 миллионов раз видны ряды атомов, находящихся друг от друга на расстоянии 0,235 нм.

2.1.3. $N = \nu N_A$, $\nu = m/M$, $M = 55,85$ г/моль, $N \approx 10^{10}$.

2.1.6. Представим массы газов в виде $m_a = N_a m_{a0}$, где N_a — число молекул, m_{a0} — масса молекулы, $a = 1, 2, 3$. Из закона сохранения массы имеем $N_1 m_{10} + N_2 m_{20} = N_3 m_{30}$.

Согласно закону Авогадро $N_1 = 2N_0$, $N_2 = N_0$, $N_3 = 2N_0$, N_0 — число молекул в объеме, занимаемом кислородом. Следовательно, мы имеем соотношение $2m_{10} + m_{20} = 2m_{30}$, связывающее массы молекул водорода, кислорода и воды.

А. Пусть k_a — число атомов в молекуле, $a = 1, 2, 3$.

Тогда $kk_2 = 2(k_3 - k_1)$ — четное число.

Уравнение реакции $2\text{H}_2 + \text{O}_2 = 2\text{H}_2\text{O}$.

Б. Найдем отношения масс молекул кислорода и воды к массе молекулы водорода. Имеем соотношения

$$m_{20}/m_{10} = 2N_0 m_{20}/2N_0 m_{10} = 2m_2/m_1 = 16,$$

$$m_{30}/m_{10} = N_0 m_{30}/N_0 m_{10} = m_3/m_1 = 9.$$

2.1.8. Для образования молекулы водорода необходимо иметь «третье» тело, которому можно передать энергию E_0 .

2.1.9. 100 градусам по шкале Цельсия соответствует температурный интервал 180 градусов по шкале Фаренгейта. Иначе говоря, градус по шкале Фаренгейта равен градусу по шкале Цельсия умноженному на

множитель $100/180 = 5/9$. В результате изменение на 72 градуса по шкале Фаренгейта соответствует изменению на $72 \times 5/9 = 40$ градусов по шкале Цельсия. Учитывая, что 0 градусов в этой шкале соответствует 32 градусам на шкале Фаренгейта, находим соотношение между двумя шкалами: $t_c = (5/9)(t_f - 32^\circ\text{C})$, где t_c — температура по шкале Цельсия и t_f — температура по шкале Фаренгейта.

2.1.11. Идеальный газ представляет собой модель реального газа в состоянии теплового равновесия. Это — система невзаимодействующих частиц. В реальном разреженном газе действуют силы притяжения молекул друг к другу.

2.1.12. А. Уравнение состояния описывает газ в состоянии теплового равновесия, а газовые законы представляют собой функциональную зависимость двух параметров состояния газа при проведении процессов — перехода газа из одного равновесного состояния в другое.

Б. Уравнение состояния $p = kNT/V$ описывает идеальный газ — модель реального газа в состоянии теплового равновесия, не учитывая взаимодействие молекул. Экспериментальные данные описывает уравнение состояния реального газа. В реальном разреженном газе молекулы притягиваются друг к другу. Поэтому уравнение состояния идеального газа приводит к завышенному по сравнению с экспериментальными данными значению давления.

В. Параметр состояния — температура — можно ввести только для равновесного состояния.

Г. Это — бессмысленное утверждение, т.к. столкновение молекул представляет собой процесс взаимодействия молекул. Потенциальная энергия взаимодействия двух молекул зависит только от относительных координат центров масс молекул и электронных состояний молекулы.

Д. Потенциальная энергия взаимодействия молекул $W \leq 0$.

2.1.13. В состоянии теплового равновесия $m_1(v_{1r})^2/2 = 3kT/2$, $m_2(v_{2r})^2/2 = 3kT/2$ или $v_{2r} = v_{1r}(m_1/m_2)^{1/2}$.

В результате взаимодействия молекул смесь газов переходит в состояние теплового равновесия с температурой T : $T_1 < T < T_2$. Газ из более тяжелых молекул охлаждается, а газ из легких молекул нагревается.

Использование этого эффекта позволило перейти к проектированию ускорителей на встречных пучках, создание которых вначале

казалось совершенно безнадежной проблемой. В ускорителе на встречных пучках протоны и антипротоны должны двигаться в накопительных кольцах. Главная трудность состоит в том, что частицы обладают случайным разбросом скоростей перпендикулярных направлению пучка. Поэтому только ничтожная их часть может быть захвачена в накопительное кольцо. Теперь вам будет понятна основная идея метода охлаждения пучка тяжелых частиц (*electron cooling*), предложенного Г.И. Будкером в 1966 г. Пучок протонов смешивают с пучком электронов, в котором средняя скорость электронов u_{ep} близка к средней скорости протонов. В результате взаимодействия частиц возникает «сила трения», пропорциональная относительной скорости. В системе отсчета, движущейся со скоростью u_{ep} , среднеквадратичная скорость протонов уменьшается: выполняется соотношение $v_{pr} = v_{pr}(m_e/m_p)^{1/2}$. В этом случае $(m_e/m_p)^{1/2} = 43$.

2.1.14. Если начальная скорость молекулы меньше второй космической скорости v_{II} , то она достигнет некоторой высоты h и упадет на Землю. Величину h можно оценить из уравнения, следующего из закона сохранения полной энергии. Напомним, что полная энергия молекулы равна сумме кинетической энергии и потенциальной энергии взаимодействия молекулы и Земли

$$W = -Gm_e M_e / r \text{ или } W = -m_e g a^2 / r,$$

где r — расстояние между центром Земли и молекулой, M_e — масса Земли, $g = GM_e/a^2$, a — радиус Земли.

Приравнявая полные энергии на поверхности Земли и на высоте h , получим уравнение $(m_e v_r^2 / 2) - m_e g a = 0 - m_e g a^2 / (a + h)$, из которого найдем $h = \varepsilon a / (1 - \varepsilon)$, $\varepsilon = v_r^2 / v_{II}^2$, $v_{II} = (2ga)^{1/2}$ — вторая космическая скорость. Очевидно для молекул водорода, азота и кислорода $\varepsilon \ll 1$, $h \ll a$.

Возможно, многих читателей успокоили эти оценки — Земля может удерживать в своей атмосфере любой газ. Но в действительности ситуация оказывается не столь простой. Тепловой скоростью обладает подавляющее число молекул. Однако малая их доля имеет скорости значительно отличающиеся от тепловой. Быстрые молекулы, имеющие скорости $v > v_{II}$ могут навсегда покинуть Землю. Более того выше 90 км температура атмосферы увеличивается, возрастает и тепловая скорость. Все это приводит к рассеиванию атмосферы в космическом пространстве. Однако этот процесс происходит чрезвы-

чайно медленно: за все время своего существования ~ 4,5 млрд. лет Земля не потеряла сколько-нибудь заметной доли своей атмосферы.

2.1.15. Благодаря флуктуациям в выделенных равных объемах жидкости, содержащих менее $10^4 - 10^9$ молекул, количества молекул различны.

2.1.16. Из (2.1.3) получим $\rho/M = p_0/(RT_0) = 1/v_w$, $\rho/M = 44,64$ моль/м³.

2.1.17. Имеем систему $m_1/M_1 + m_2/M_2 = pV/RT$, $m_1 + m_2 = m$.

Поскольку $p_0V/RT_0 = 3/2$ моль, то $m_1 = 2$ г, $m_2 = 16$ г, $v_1 = 1$ моль, $v_2 = \text{моль}/2$.

2.1.18. Согласно уравнению состояния для газа постоянной массы $pV/T = \text{const}$.

2.1.19. В результате реакции образовалось

$$(v_1 - v_2) + (v_2 + 2v_2) = v_1 + 2v_2$$

молей смеси. Согласно (2.1.2) имеем два уравнения $p_1 = v_1RT_1/V$, $p_2 = (v_1 + 2v_2)RT_2/V$, из которых находим $v_2 = v_1/6$, $v_2 = (1/6)$ моля.

2.1.20. Процентное содержание газов в тропосфере мало изменяется до высоты 100 км — атмосфера удивительно однородна. Этот слой атмосферы называют *гомосферой* (от греч. *homos* — ровный, однородный).

Давление p воздуха массой m объемом V согласно закону Дальтона равно $p = p_1 + p_2$, $p_1V/T = f_1mR/M_1$, $p_2V/T = f_2mR/M_2$, где $M_1 = 0,032$ кг/моль, $M_2 = 0,028$ кг/моль.

Отсюда находим парциальное давление кислорода

$$p_1 = p/[1 + (f_2M_1/f_1M_2)] = 0,233p.$$

Плотность воздуха и концентрации кислорода и азота соответственно равны $\rho = \frac{p}{RT} \frac{1}{(f_1/M_1 + f_2/M_2)}$, $n_1 = \frac{f_1}{M_1} \rho N_A$, $n_2 = \frac{f_2}{M_2} \rho N_A$.

2.1.21. На отрезке $[V_1, V_2]$ уравнение процесса $a-b$ определяется функцией $p(V) = k\dot{V}$. Тогда из уравнения состояния имеем систему $kV_1^2/T_a = kV_2^2/T_b = kV_1V_2/T_c$.

2.1.22. Для процесса ab имеем систему $p = (p_0/V_0)V$, $pV = \nu RT$, из которой находим $T = T_0(V/V_0)^2$. Для процесса ca имеем систему $p = p_0$, $pV = \nu RT$ или $T = T_0(V/V_0)$.

2.1.23. Если нанести на рис. 2.1.23 сетку изотерм, то приходим к выводу, что T_b и T_a — максимальная и минимальная температура газа: $T_b/T_a = 4$. Далее из уравнения процесса ab и уравнения состояния следует, что $T \sim V^2$: $T_b/T_a = (V_b/V_a)^2$ или $2 = V_b/V_a$. Из уравнения состояния находим $T_c/T_b = p_cV_c/p_bV_b = V_c/V_b$.

2.1.24. Для процесса ab имеем систему $p = (p_1/V_1)V$, $pV = \nu RT$, из которой находим $T = T_0(V/V_1)^2$. Для процесса bc имеем систему

$$p = 2p_1, pV = \nu RT \text{ или } T = 2T_0(V/V_1).$$

2.1.25. Проведем через точки a, b, c изохоры — прямые, проходящие через начало координат. Тогда приходим к выводу, что V_c и V_b — максимальный и минимальный объемы. Из уравнения состояния получим $p_0V_a = \nu RT_0$, $p_0V_c = (3/2)\nu RT_0$, $3p_0V_b = (3/2)\nu RT_0$.

2.1.27. Уравнение состояния в точке с координатой (V_n, p_n) имеет вид $p_n V_n = \nu RT_n$.

2.1.30. Из уравнения состояния и уравнения процесса $p = \text{const}/V^2$ получим соотношение $VT = k$, где k — константа.

2.1.31. Необходимо построить изобары — прямые $T = kp_n V$, $n = 1, 2, \dots$

2.1.32. Пусть начальное состояние задано параметрами (p_0, V_0, T_0) . Тогда параметры газа (p, V, T) , соответствующие адиабатическому процессу, удовлетворяют системе уравнений $pV/T = p_0V_0/T_0$, $pV^n = p_0V_0^n$.

Исключая давление p , получим зависимость температуры от объема $T = T_0(V_0/V)^{n-1}$. Поскольку $n > 1$, то расширение газа сопровождается охлаждением, а сжатие — нагреванием.

2.1.34. Используя уравнение состояния, вычислим температуру в состоянии a : $p_2V_1/T_a = \nu R$ или $p_0V_0/T_a = \nu R$.

Поскольку $p_0V_0 = \nu RT_0$ то $T_a = T_0$. Аналогичным образом находим температуры состояний b и c : $T_b = T_0$, $T_c = T_0/2$. Участок bc — изобара в новых координатах на рисунке 2.1.34 б также представляет собой отрезок горизонтальной прямой.

Изохорический процесс ca , определяемый уравнениями $pV = \nu RT$, $V = V_0$ изображается в координатах (T, p) отрезком прямой линии $p = p_0T/T_0$. Участок ab на рисунке 2.1.34 а описывает новый, неизвестный вам процесс. В координатах (V, p) это отрезок прямой линии

$$p = p_2 - \frac{V - V_1}{V_2 - V_1} (p_2 - p_1), \text{ или } p = 3p_0/2 - p_0V/2V_0.$$

Подставляя в это уравнение V из уравнения состояния, получим уравнение процесса в координатах (T, p) :

$$T = 2T_0 \left(\frac{3}{2} - \frac{p}{p_0} \right) \frac{p}{p_0}, \quad T \geq T_0.$$

Мы получили уравнение параболы.

2.1.35. Выделяя полный квадрат $T/(2T_0) = -(p/p_0 - 3/4)^2 + 9/16$, получим значение $T_m = 9T_0/8$ при давлении $p_m = 3p_0/4$.

2.1.36. Функция $T = T(p)$ на отрезке $[T_m, T_0]$ приведена в решении задач 2.1.34–2.1.35. На отрезке $[V_0, 3V_0/2]$ зависимость давления от объема определяется функцией $p = (p_0/2V_0)V$. Следовательно, процесс $s-a$ на отрезке $[T_0/2, T_m]$ представлен функцией $T(p) = 2T_0(p/p_0)^2$.

2.1.37. Параметрами состояний являются масса, давление, объем и температура. В задаче указаны три состояния — начальное с параметрами m_1, p_1, V, T_0 , конечное с параметрами m_2, p_2, V, T_0 и состояние воздуха в камере насоса с параметрами m_0, p_1, V_0, T_0 . Следовательно,

$$p_1 V = m_1 R T_0 / M, \quad (1)$$

$$p_2 V = m_2 R T_0 / M, \quad (2)$$

$$p_1 V_0 = m_0 R T_0 / M. \quad (3)$$

Поскольку насос должен сделать τ/τ_0 циклов, то

$$m_2 = m_1 + m_0 \tau / \tau_0. \quad (4)$$

Подставляя m_1, m_2, m_0 из (1)–(3) в (4), получим

$$\tau = (p_2/p_1 - 1)(V/V_0)\tau_0.$$

2.1.38. Пусть m_c — масса стакана, m — масса воздуха в стакане.

В исходном положении на рисунке 2.1.38 *a* давление воздуха в стакане $p_1 = p_0$, объем $V_1 = aS$ (S — площадь сечения стакана), температура $T_1 = T$.

Уравнение состояния и условие плавания имеют вид

$$p_0 a S = m R T / M, \quad (1),$$

$$\rho g b S - m g = 0. \quad (2)$$

В положении, изображенном на рисунке 2.1.38 *б*, H — расстояние от поверхности воды до дна стакана, h — расстояние между дном и поршнем. Давление воздуха в стакане p_2 , объем воздуха $V_2 = hS$, температура $T_2 = T$.

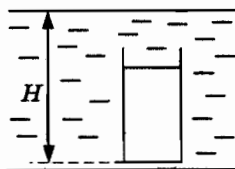


Рис 2.1.38 б

Из условия равновесия воды, записанного для уровней $z = h$ и $z = H$, получим уравнение $\rho gh + p_2 = \rho gH + p_0$, из которого найдем

$$p_2 = p_0 + \rho g(H - h).$$

Уравнение состояния и условия плавания имеют вид

$$[p_0 + \rho g(H - h)]hS = mRT/M, \quad (3)$$

$$\rho ghS - mg = 0. \quad (4)$$

Из уравнений (2) и (4) мы получим очевидный результат $h = b$: в начальном и конечном состояниях выталкивающая сила должна быть одинакова. Подставляя значение $h = b$ в (3) и исключая из (1), (3) массу воздуха, получим уравнение

$$[p_0 + \rho g(H - b)]b = p_0 a. \quad (5)$$

Отсюда находим

$$H = b + p_0(a - b)/(\rho gb). \quad (6)$$

2.1.39. Величина атмосферного давления p , при котором стакан всплывет удовлетворяет уравнению, аналогичному (5):

$$[p_1 + \rho g(H_1 - b)]b = p_0 a.$$

Учитывая (6), найдем приращение атмосферного давления

$$\Delta p = p_1 - p_0 = \rho g(H - H_1), \quad \Delta p = -4,9 \text{ кПа}.$$

2.1.40. В начальном состоянии давление воздуха в стакане равно атмосферному давлению: $p_1 = p_0$, объем воздуха в стакане $V_1 = LS$, L — высота стакана, S — площадь поперечного сечения. В конечном состоянии давление воздуха в стакане — p_2 , объем воздуха $V_2 = (L - h)S$, h — высота слоя воды (рис. 2.1.40 а, б).

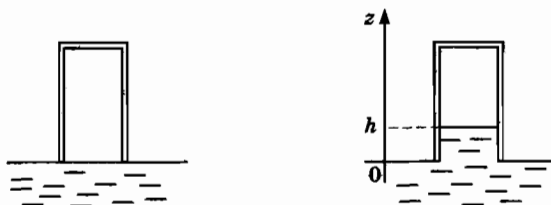


Рис. 2.1.40 а, б

Записывая, два уравнения состояния, получим

$$\frac{p_0 L}{T_1} = \frac{p_2(L - h)}{T_2}. \quad (1)$$

Из условия равновесия воды (3.1.3) на уровнях $z = 0$ и $z = h$, получим еще одно уравнение

$$p_a = \rho gh + p_2. \quad (2)$$

Из (1), (2) следует квадратное уравнение

$$h^2 - \left(\frac{p_a}{\rho g} + L \right) h + \frac{p_a L}{\rho g} \left(1 - \frac{T_2}{T_1} \right) = 0. \quad (3)$$

При нормальном атмосферном давлении параметр $p_a/\rho g = 10,332$ м. Покажите, что при условии $L \ll p_a/\rho g$ корень уравнения (3) равен $h \approx L(1 - T_2/T_1)$. Масса воды в стакане $m = \rho_w h S$.

2.1.41. $F = \pi R^2 p_0 (T_1/T_2 - 1)$.

2.1.42. Начальное давление $p = p_1 + p_2$, где p_1, p_2 — парциальные давления водорода и гелия, $p_1 V_1 = mRT/M_1$, $p_2 V_1 = mRT/M_2$.

Из этих уравнений находим $p_1/p_2 = 2$, $p_1 = 2p/3$, $p_2 = p/3$. Условием равновесия является равенство парциальных давлений водорода в первом и втором сосудах.

Поскольку $p_2' = p_2$, то из уравнения $p/2 = p_1' + p_2'$ находим $p_1' = p/6$. Теперь учтем, что водород заполняет объем $V_1 + V_2$:

$$p(V_1 + V_2)/6 = mRT/M_1.$$

2.1.43. А. В изотермическом процессе $p_0 a = p_2(a + b - h)$, $p_2 = p_0 - \rho gh$. Отсюда следует квадратное уравнение

$$(a + b - h)(1 - h/H)/a = 1 \text{ или } h^2 - (H + a + b)h + bH = 0. \quad (1)$$

Поскольку $h \ll H$, $H = 10,332$ м, то можно ограничиться первым приближением $h \approx b[1 - (a + b)/H]$.

Б. Из уравнения процесса $pV^n = \text{const}$ и условия равновесия столба воды получим $p_0/p_2 = [(a + b - h)/a]^n$, $p_2 = p_0 - \rho gh$. Отсюда следует уравнение

$$[(a + b - h)/a](1 - h/H)^{1/n} = 1. \quad (2)$$

Поскольку $h \ll H$, то $(1 - h/H)^{1/n} \approx 1 - h/nH$. Уравнение (2) приобретает вид

$$h^2 - (nH + a + b)h + bnH = 0. \quad (3)$$

Поскольку $h \ll H$, $H = 10,332$ м, то можно ограничиться первым приближением $h \approx b[1 - (a + b)/nH]$.

2.1.45. Из уравнения состояния $p_1 V_1 = \nu RT_1$, $8p_1 V_1 = \nu RT_2$, находим $T_2 = 8T_1$. Поскольку уравнение адиабатического процесса $pV^n = \text{const}$, $n = 5/3$, то из уравнения $p_0(8V_0)^n = p_a V_a^n$ получим $p_a = 32 p_0$. Далее из уравнения состояния $32p_0 V_0 = \nu RT_a$, получим $T_a = 32T_0$.

2.1.46. В начальном состоянии $pV = \nu_n RT$. Пусть ν'_n — число моль водорода, выпущенного из баллона, $\Delta m = M_n \nu'_n$. Масса воды, образовавшейся при сгорании $m_w = M_w (\nu_n - \nu'_n)$.

2.1.47. Число молей газа удвоилось. $p_2 = 2p_1 T_2 / T_1$, $p_2 = 6$ МПа.

2.1.49. Пусть V_0 — начальный объем цилиндра, $V(t)$ — объем цилиндра под поршнем в момент времени t . На поршень действуют сила давления груза mg , сила давления атмосферы $p_0 S$ и сила давления воздуха в цилиндре pS . Выберем начало оси x на уровне основания цилиндра и направим ее вертикально вверх.

Запишем уравнение состояния, уравнение процесса и уравнение движения

$$pV/T = p_0 V_0 / T_0, \quad (1)$$

$$pV^{3/2} = p_0 V_0^{3/2}, \quad (2)$$

$$ma = -mg - p_0 S + pS, \quad (3)$$

где a — ускорение поршня с грузом в момент времени t .

Пусть $x(t)$ — координата, соответствующая положению плоскости поршня в момент времени t . Тогда уравнения (1)–(3) приобретают вид

$$px/T = p_0 L / T_0, \quad (4)$$

$$px^{3/2} = p_0 L^{3/2}, \quad (5)$$

$$ma = -mg + p_0 S [(L/x)^{3/2} - 1]. \quad (6)$$

Из условия $a = 0$ находим значение координаты в состоянии механического равновесия поршня: $x_e = Lq^{-2/3}$, $q = 1 + mg/p_0 S$.

Подставляя x_e в уравнения (4), (5), находим

$$T_e = T_0 (L/x_e)^{1/2} = T_0 [1 + mg/p_0 S]^{1/3}, \quad T_e = 360 \text{ К.}$$

Найдем теперь область координат, в которой может двигаться поршень. Пусть v — скорость поршня в момент времени t . Умножая уравнение (6) на v , представим результат в виде $\frac{d}{dt} \left(\frac{mv^2}{2} + W \right) = 0$,

или $\frac{mv^2}{2} + W(x) = \text{const}$, $W(x) = (mg + p_0 S)x + 2p_0 SL(L/x)^{1/2}$, где $W(x)$

— «потенциальная» энергия груза.

Учитывая начальные условия $x(0) = L$, $v(0) = 0$, получим уравнение, позволяющее найти функцию $v = v(x)$:

$$\frac{mv^2}{2L} = (mg + p_0 S)(1 - x/L) - 2p_0 S(L/x)^{1/2} [1 - (x/L)^{1/2}].$$

Теперь из неравенства $v^2 \geq 0$ найдем область возможных значений x -координаты груза $x_1 \leq x \leq x_2$, $x_1 = (L/2)[1 + 4/q - (1 + 8/q)^{1/2}]$, $x_2 = L$. Очевидно, что при $m = 0$, $x_1 = x_2 = L$. Скорость поршня при прохождении положения равновесия $v(x_0) = [(2p_0SL/m)(q - 3q^{1/3} + 2)]^{1/2}$.

2.1.50. В окрестности положения равновесия $x = x_0 + z$, $|z| \ll h_0$. Используя разложение $(1 + \varepsilon)^k = 1 + k\varepsilon + \dots$, $\varepsilon \ll 1$, получим

$$(L/x)^{3/2} = (L/x_0)^{3/2} (1 + z/x_0)^{-3/2} = (L/x_0)^{3/2} (1 - 3z/2x_0).$$

Тогда из (6) следует уравнение $ma = -3p_0S(L/x_0)^{3/2}z/2x_0$. Поршень совершает линейные колебания с частотой ω , $\omega^2 = 3p_0Sq^{5/3}/2mL$.

2.1.51. Уравнение движения поршня

$$ma = F, F = -mg + p_0S[(h_0/x)^n - 1], \quad (1)$$

где h_0 — координата начального положения плоскости поршня.

Из условия $a = 0$ находим значение координаты в состоянии механического равновесия поршня: $x_0 = h_0(p_0S/mg)^{1/n}$, $m_c = m + p_0S/g$. В окрестности положения равновесия $x = x_0 + z$, $|z| \ll h_0$. Используя разложение $(1 + \varepsilon)^k = 1 + k\varepsilon + \dots$, $\varepsilon \ll 1$, получим

$$(h_0/x)^n = (h_0/x_0)^n (1 + z/x_0)^{-n} = (h_0/x_0)^n (1 - nz/x_0).$$

Тогда из (1) следует уравнение $ma = -p_0S(h_0/x_0)^n nz/x_0$.

2.1.52. Температура воздуха $T = (p_0Sx/\nu R)(h_0/x)^n$. В состоянии равновесия $T_0 = (p_0Sx_0/\nu R)(h_0/x_0)^n$. Координата плоскости поршня $x(t) = x_0 + z(t)$, $z(t) = -A \cos \omega t$. Тогда

$$T \approx (p_0Sx_0/\nu R)(h_0/x_0)^n [1 + (1 - n)z/x_0] \text{ или} \\ T \approx T_0 + T_0(n - 1)(A/x_0) \cos \omega t.$$

2.1.53. Направим ось z перпендикулярно к плоскости отверстия наружу и построим косою цилиндр, имеющий площадь основания S и образующие $\vec{v} \Delta t$ с компонентой скорости $v_z > 0$. За интервал времени Δt с площадкой столкнутся $(N/V)Sv_z \Delta t$ молекул. Газ переходит в неравновесное состояние. Однако, если площадь отверстия настолько мала, что интервал времени $\sqrt{S} / \langle v \rangle$ меньше характерного времени столкновений между молекулами, то можно пренебречь нарушением равновесного состояния. Для определения полного числа молекул Δf , налетающих на стенку, достаточно вычислить сумму по всем возможным скоростям при условии $v_z > 0$.

Следовательно, $\Delta f = (NS/4V) \langle v \rangle \Delta t$. Подставляя среднее значение величины скорости $\langle v \rangle$ получим $\Delta f / \Delta t = (NS/4V)(8kT/\pi m_\mu)^{1/2}$. Тогда мы имеем уравнение $dN/dt = -(NS/4V)(8kT/\pi m_\mu)^{1/2}$, решение которо-

го позволяет определить функцию $n(t) = N(t)/V$ — концентрацию молекул в объеме V .

Отметим, что скорость истечения через отверстие различна для изотопов, которые, как известно, обладают одними и теми же химическими свойствами. Соответствующая система резервуаров может быть использована для разделения изотопов.

2.2. Первый закон термодинамики

2.2.1. При изотермическом процессе $T = T_0$, давление — функцию $p(V) = \nu RT_0/V$ найдем из системы уравнений $T = T_0$, $pV = \nu RT$. Работу, совершаемую газом при изотермическом изменении объема от значения V_1 до значения V_2 получим в результате вычисления определенного интеграла

$$A'_{12} = \int_{V_1}^{V_2} dV p(V) = \nu RT_0 \int_{V_1}^{V_2} \frac{dV}{V} = \nu RT_0 \ln(V_2/V_1).$$

2.2.2. В этом случае имеем $pV^n = \text{const}$. Найдем работу, совершаемую газом при переходе из состояния (p_1, V_1) в состояние (p_2, V_2) . Используя первый закон термодинамики, уравнение процесса и уравнение состояния, получим

$$A'_{12} = U_1 - U_2 = mc_v(T_1 - T_2) = (c_v/R)p_1 V_1 [1 - (V_1/V_2)^{n-1}].$$

2.2.3. А. Внутренняя энергия равна сумме кинетической и потенциальной энергии взаимодействия частиц. Энергия не может быть заключена в чем-то: «носителями» энергии являются атомы и молекулы или электромагнитное поле. Среднее значение внутренней энергии является характеристикой состояния тела.

Б. Работа, совершаемая поршнем, зависит от процесса перехода газа одного состояния в другое и не всегда приводит к возрастанию температуры. Например в изотермическом процессе температура постоянна, т.к. работа внешних сил равна количеству теплоты, переданной внешней среде.

В. Понятия «термодинамическая работа» и «количество теплоты», связаны с переходом системы из начального равновесного состояния в другое равновесное состояние.

Г. В равновесном состоянии реализуется максвелловское распределение молекул газа по скоростям или энергиям: ΔN молекул ($\Delta N \ll N$)

имеют кинетическую энергию поступательного движения в интервале $[E, E + \Delta E]$. Величина E может принимать значения от нуля до бесконечности.

2.2.4. Внутренняя энергия газа $U = \nu C_V T$, $C_V = 3R/2$; уравнение состояния $PV = \nu RT$.

2.2.5. Внутренняя энергия газа $U = \nu C_V T$.

2.2.6. Согласно первому закону термодинамики

$$U_2 - U_1 = c_V(m_2 T_2 - m_1 T_1) = c_V \Delta(mT).$$

Поскольку объем и давление постоянны, то из уравнения состояния следует, что $\Delta(mT) = 0$, $U_2 - U_1 = 0$. Почему же топят печи?

2.2.7. Согласно первому закону термодинамики $\nu C_V \Delta T = -p \Delta V$.

2.2.8. Согласно первому закону термодинамики $0 = \delta Q - p \Delta V$.

2.2.9. В изотермическом процессе $0 = Q - A'$.

2.2.10. В адиабатическом процессе $\nu c_V(T_2 - T_1) = -A'$.

2.2.11. Поскольку $p_a V_a = p_b V_b$, то $T_a = T_b$, $\Delta U = 0$, $0 = Q - A'$.

2.2.12. А. Согласно первому закону термодинамики $Q' = U_1 - U_2$, $U = \nu C_V T$, $Q' = \nu C_V(T_1 - T_2)$, $pV = \nu RT$, $C_V = 5R/2$, $Q' = (5/2)(p_1 - p_2)V$.

Б. Имеем уравнения $p_3/T_3 = p_2/T_2$, $p_3 = p_2 + \Delta p$.

2.2.13. Внутренняя энергия газа $U = \nu C_V T = pVC_V/R$.

2.2.14. $A' = p_0(V_2 - V_1) = \nu R(T_2 - T_1)$, $T_1 = T_2 - MA'/mR$.

2.2.15. На участке ab совершаемая газом работа $A'_{ab} = p_2(V_2 - V_1)$.

На участках bc и da поршень неподвижен: газ не совершает работы. На участке cd работа $A'_{cd} = p_1(V_1 - V_2)$. Полная работа $A' = (p_2 - p_1)(V_2 - V_1)$ равна площади прямоугольника $abcd$.

2.2.17. А. В процессе $a-b$ работа равна площади трапеции abV_1V_2 : $A'_{ab} = 3\nu RT_0/4$.

Б. В процессе bc работа $A'_{bc} = p_1 \Delta V = -\nu RT_0/2$.

В. В процессе ca работа $A'_{ca} = 0$.

Г. В цикле $abca$ газ совершает работу $A' = \nu RT_0/4$.

2.2.18. А. В процессе ab : $Q_{ab} = U_b - U_a + A'_{ab}$, $Q_{ab} = A'_{ab} = 3p_0 V_0/4$.

Б. В процессе bc : $Q_{bc} = \nu C_p(T_c - T_b) = -C_p p_0 V_0/2R$.

В. В процессе ca : $Q_{ca} = \nu C_V(T_a - T_c) = C_V p_0 V_0/2R$.

Г. В цикле $abca$: $Q = (3 + 2C_V/R)p_0 V_0/4$.

2.2.19. $A' = (p_2 - p_1)(V_2 - V_1)/2$. Учитывая, что $p_2/V_2 = p_1/V_1$, $p_1 V_2 = \nu RT_c$, $p_1 V_1 = \nu RT_a$, получим $A' = (\nu R/2)(T_a - 2T_c + T_b)$.

2.2.20–2.2.21. Поскольку сумма внутренних энергий газов остается постоянной, то

$$\nu_1 C_V T_1 + \nu_2 C_V T_2 = (\nu_1 + \nu_2) C_V T \rightarrow T = (\nu_1 T_1 + \nu_2 T_2) / (\nu_1 + \nu_2).$$

$$\text{Давление смеси } p = \frac{(v_1 + v_2)RT}{V_1 + V_2}, \rightarrow p = \frac{(v_1 T_1 + v_2 T_2)R}{V_1 + V_2}, p_0 V_0 = v_0 RT_0.$$

$V_1 + V_2 = V_0 = 22,4$ л, $v_0 = 1$ моль, p_0 — нормальное давление.

2.2.22. Поскольку поток теплоты в правую часть цилиндра равен нулю, то реализуется адиабатический процесс $pV^n = C$. Учитывая уравнение состояния, получим для воздуха в правой части цилиндра соотношение $(T_2/T_0)^n = (p_k/p_0)^{n-1}$.

Пусть начальные значения объемов равны V_0 . Тогда для левой части цилиндра имеем уравнения $p_k(2V_0 - V_1)^n = p_0 V_0^n$, $p_k V_1 = \nu RT_1$, из которых находим $T_1 = (p_k V_0 / \nu R) [2 - (p_0/p_k)^{1/n}]$.

2.2.23. Сжатие воздуха представляет собой адиабатический процесс $pV^n = p_s V_s^n$, $V_s = 4\pi a^3/3$, $n = 1,4$. При максимальном сжатии приращение внутренней энергии воздуха равно кинетической энергии мяча:

$$mu^2/2 = \nu C_V (T_m - T_s). \quad (1)$$

Учитывая уравнение процесса $T_m V_m^{n-1} = T_s V_s^{n-1}$, уравнение состояния $pV = \nu RT$ и соотношение $R/C_V = n - 1$, получим уравнение

$$\frac{mu^2}{2} = \frac{p_s V_s}{n-1} \left[\left(\frac{V_s}{V_m} \right)^{n-1} - 1 \right], \quad (2)$$

где $V_m = V_s - V_x$; V_x — объем шарового сегмента высотой $x_m = h$, $V_x = \pi a h^2 (1 - h/3a)$. Поскольку $h \ll a$, $V_x \approx \pi a h^2$, $V_x \ll V_s$, то

$$\left(\frac{V_s}{V_m} \right)^{n-1} = \left(\frac{V_s}{V_s - V_x} \right)^{n-1} \approx 1 + (n-1) \frac{V_x}{V_s}. \quad (3)$$

Из (1)–(3) находим $u = h\omega$, $\omega^2 = 2\pi a p_s/m$. Отметим, что при сжатии шар подобен пружине с коэффициентом жесткости $k = 2\pi a p_s$.

2.2.24. А. Поскольку система термически изолирована, то в изохорическом процессе внутренняя энергия остается постоянной:

$$C(T_p - T_{10}) + C(T_p - T_{20}) = 0, \text{ или } T_p = (T_{10} + T_{20})/2.$$

Б. Условие обратимости $\delta Q_1/T_1 + \delta Q_2/T_2 = 0$. В изохорическом процессе $\delta Q_1 = C\Delta T_1$, $\delta Q_2 = C\Delta T_2$. Следовательно, $\Delta T_1/T_1 + \Delta T_1/T_2 = 0$. Отсюда находим $T_1 T_2 = \text{const} = T_{10} T_{20}$.

$$\text{Конечная температура } T_{f_0} = \sqrt{T_{10} T_{20}}.$$

$$\text{В. Максимальная работа } A'_{\text{max}} = 2C(T_p - T_{f_0}).$$

2.2.25. Поскольку сумма внутренних энергий газов остается постоянной, то $v_1 C_V T_1 + v_2 C_V T_2 = (v_1 + v_2) C_V T \rightarrow T = (v_1 T_1 + v_2 T_2) / (v_1 + v_2)$.

$$\text{Давление смеси } p = \frac{(\nu_1 + \nu_2)RT}{V_1 + V_2} \rightarrow p = \frac{(\nu_1 T_1 + \nu_2 T_2) p_1 p_2}{\nu_1 T_1 p_2 + \nu_2 T_2 p_1}.$$

Полагая $\nu_1 = \nu_2$, $T_1 = 300$ К, $p_1 = p_0$, $T_2 = 400$ К, $p_2 = 2p_0$, получим $T = 350$ К, $p = 1,4p_0$.

2.2.26. Сначала в результате адиабатического сжатия газ необходимо перевести в состояние c с температурой $t_2 = 30^\circ$ С. Затем привести в контакт с нагревателем и в изотермическом процессе перевести в состояние b .

2.2.27. Согласно определению $C = \delta Q / (\nu \Delta T)$,

$$\delta Q = \Delta U + p \Delta V = \nu C_v \Delta T + k \nu \Delta V.$$

Для вычисления второго слагаемого найдем из системы, содержащей уравнение состояния и уравнение процесса, соотношение $kV^2 = \nu RT$. Следовательно, $2kV \Delta V = \nu R \Delta T$. Теплоемкость $C = C_v + R/2$.

2.2.28. Количество теплоты, необходимое для нагревания тела

$$Q = (m/M) C_v (T_2 - T_1).$$

Согласно закону Дюлонга-Пти молярная теплоемкость твердых тел при постоянном объеме $C_v = 3R$.

2.2.29. Используя уравнение теплового баланса, получим уравнение $m_n c_n \Delta t + m(3R/M)(t_0 + \Delta t - t_n) = 0$, $M = 0,3$ кг/моль.

2.2.30. Из первого закона термодинамики находим $Q = \nu C_p (T - T_0)$, $C_p = 7R/2$. Используя уравнение состояния, получим уравнение $V_0/T_0 = 2V_0/T$.

2.2.31. Из первого закона термодинамики находим $Q = \nu C_v (T - T_0)$, $C_v = 5R/2$.

Используя уравнение состояния, получим уравнение $p_0/T_0 = 3p_0/T$.

2.2.32. Процесс $a-b$ — отрезок прямой $p = kV$. Работа, совершаемая газом $A'_{ac} = (p_c + p_a)(V_c - V_a)/2 = k(V_c^2 - V_a^2)/2 = (p_c V_c - p_a V_a)/2$. В изотермическом процессе $c-b$ имеем $p_c V_c = p_a V_b$; $A'_{ac} = p_a (V_b - V_a)/2$.

2.2.33. Имеем систему двух уравнений.

1. Из первого закона термодинамики следует

$$\nu C_v (T_2 - T_1) = N\tau - (mg + p_a S)H.$$

2. Количество теплоты, переданное нагревателем, $N\tau = \nu C_p (T_2 - T_1)$. Следовательно, $\tau = (mg + p_a S) H C_p / NR$.

2.2.34. Из первого закона термодинамики имеем уравнения $\nu_1 C_v (T_1 - T_1) = Q - A'$, $\nu_2 C_v (T_2 - T_2) = 0 + A$.

Поскольку $A = A'$, то $Q = C_v [\nu_1 (T_1 - T_1) + \nu_2 (T_2 - T_2)]$.

Записывая две пары уравнений состояния, получим

$$V\Delta p = R[v_1(T_1 - T_1) + v_2(T_2 - T_2)]; \quad \Delta p = QR/VC_v$$

2.2.35. $A'_{ab} = p_0(V_b - V_a) = \nu R\Delta T$.

2.2.36. $Q_{ab} = \nu C_p(T_b - T_a)$, $Q_{ac} = \nu(C_v + R/2)(T_c - T_a)$.

2.2.38. Из первого закона термодинамики для процесса $a-b$ имеем уравнение $Q_{ab} = \nu C_v(T_b - T_a) + A'_{ab}$, $A'_{ab} = 5\nu RT_0/16$. Следовательно, $Q_{ab} = (5R - 2C_v)\nu T_0/16 \geq 0$. Отметим, что в этом процессе температура уменьшается.

2.2.39. Из первого закона термодинамики для процесса $c-a$ имеем уравнение $Q_{ca} = \nu C_v(T_a - T_c) + A'_{ca}$, $A'_{ca} = 5\nu RT_0/16$.

Следовательно, $Q_{ca} = (10C_v R + 5R)\nu T_0/16$.

2.2.40. Налагая на диаграмму процесса сетку изотерм, заключаем, что $\Delta T = T_a - T_c$. Из первого закона термодинамики для цикла получим уравнение $0 = -Q' + Q_{ca} - A'$.

Количество теплоты, переданное в процессе $c-a$ равно $Q_{ca} = \nu C_v \Delta T$.

Следовательно, $A' = \nu C_v \Delta T - Q'$.

2.2.43. Из системы уравнений $p = k\sqrt{T}$, $pV = \nu RT$, получим $p(V) = (k^2/\nu R)V$.

Элементарная работа, совершенная газом $\delta A' = p(V)\Delta V$. Значение работы, совершенной газом, равно площади треугольника, ограниченной на плоскости pV прямой $p(V)$ и прямыми $V = V_1$, $V = V_2$.

2.2.44. Работа A'_{ab} равна площади трапеции:

$$A' = (1/2)(2p_0 + p_0)V_0/2 = 3\nu RT_0/4.$$

2.2.46. Используя уравнение состояния, найдем температуру газа $T_a = 4T_0$, $T_b = 6T_0$, $T_c = 4T_0$, $T_d = 3T_0$. Работа A' равна площади параллелограмма: $A'_{ab} = p_0 V_0/2 = \nu RT_0$.

2.2.47. Из второго закона термодинамики имеем уравнение $Q_{bc} = \nu C_v(T_c - T_b) + A'_{bc}$, $A'_{bc} = 3\nu RT_0/2$.

Следовательно, $Q_{bc} = \nu(3R/2 - 2C_v)T_0 < 0$.

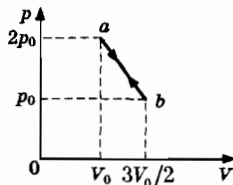


Рис. 2.2.47

2.2.48. Из второго закона термодинамики имеем уравнение

$$Q_{da} = \nu C_V (T_a - T_d) + A'_{da}, A'_{da} = -3\nu RT_0/2.$$

Следовательно, $Q_{da} = \nu(C_V - 3R/2)T_0 \geq 0$.

2.2.49. Кривая $p = \text{const} \cdot V^\gamma$ спадает менее круто, чем адиабата.

Элементарное количество теплоты $\delta Q = \nu C_V \Delta T + p \Delta V$.

Из уравнения состояния $pV = \nu RT$ и уравнения процесса следуют уравнения $\nu R \Delta T = p \Delta V + V \Delta p$, $\Delta p + \gamma p V^{-1} \Delta V = 0$, из которых найдем

$$p \Delta V = \nu R \Delta T / (1 - \gamma). \text{ Следовательно, } \delta Q = -\nu C_V \Delta T \frac{\gamma - 1}{\gamma - 1}.$$

2.2.53. $Q_{ab} = \nu C_p (T_2 - T_1)$, $A'_{bc} = (p_1 + p_2)(V_3 - V_2)/2$.

Очевидно, для точек a, b : $V_1/T_1 = V_2/T_2$, для точек b, c — $p_1/V_2 = p_2/V_3$, для точки b — $p_1 V_2 = \nu RT_2$. Учитывая эти соотношения, получим

$$Q_{ab} = \nu C_p T_2 (1 - 1/x), A'_{bc} = \nu RT_2 (x^2 - 1)/2.$$

2.2.58. В вакууме отсутствуют два механизма потерь теплоты — теплопроводность и конвекция. Остается один — лучеиспускание. За 0,5 часа не происходит заметного понижения температуры внутри скафандра.

2.2.59. Очевидно, $Q = Q_1 + Q_2$. При постоянном давлении

$$Q_1 = \nu C_p (T_2 - T_0), \quad p_0 V/2 = \nu RT_0, \quad p_0 V = \nu RT_2.$$

При постоянном объеме $Q_2 = \nu C_p (3T_0 - T_2)$.

2.2.60. Почему же средняя температура поверхности Земли постоянна? Температура Земли остается постоянной, поскольку Земля, как и Солнце, является источником теплового излучения. Приравнявая мощность поглощенного излучения и мощность теплового излучения Земли: $\sigma T_c^4 4\pi R_c^2 (R_s^2/4a^2) (1 - A) = \sigma T_s^4 4\pi R_s^2$, найдем равновесную температуру Земли $T_s = T_c (1 - A)^{1/4} (R_c/2a)^{1/2}$.

Подставляя значения поверхностной температуры Солнца $T_c = 5780$ К и радиуса Солнца $R_c = 6,96 \cdot 10^8$ м, находим $T = 247$ К, или $t = -26^\circ\text{C}$. Расхождение со средним значением температуры Земли $t = 15^\circ\text{C}$ объясняется тем, что излучает в космос не земная поверхность, а слой тропосферы на уровне верхней границы облаков.

2.2.61. Приращение внутренней энергии тела $\Delta U = \sigma S (T_0^4 - T^4) \Delta t$. Если $T_0 \sim T$, то $\Delta U \approx -4\sigma S T_0^3 (T - T_0) \Delta t$.

2.2.62. Однородному потоку теплоты соответствует линейная зависимость температуры от координаты.

2.2.64. Потребляемая мощность $P \approx 145$ Вт. Произведя работу $A = 12,56$ Мдж, можно поднять тело массой $m = 100$ кг на высоту $h \approx 13$ км.

2.2.65. Внутренняя энергия молекул книги и пола возросли на величину потенциальной энергии книги.

2.2.66. В начальном состоянии $2p_{\text{ат}}hS = \nu RT_0$. При смещении поршня на расстояние h разность значений внутренней энергии равна работе силы давления:

$$\nu C_v(T_1 - T_0) = A,$$

где $C_v = 5R/2$.

Переходя от уравнения $ma = mg - (p - p_{\text{ат}})S$ к закону изменения кинетической энергии, получим $A = (mg + p_{\text{ат}}S)h$.

2.2.67. Постоянный поток теплоты $J_0 = A\sqrt{T\Delta T/\Delta z}$. Отсюда находим $J_0z = (2A/3)T^{3/2} + C$. Из краевых условий $T(0) = T_0$, $T(H) = 4T_0$ получаем $C = -(2A/3)T_0^{3/2}$, $J_0H = (16A/3)T_0^{3/2} + C$.

2.3. Фазовые переходы вещества

2.3.1. Графит, алмаз, фуллерен.

2.3.2. Расстояния между молекулами воды увеличиваются. (Поскольку плотность льда меньше плотности воды, то объем льда станет больше объема воды.)

2.3.4. Иней представляет собой кристаллики льда.

2.3.5. При нагревании обычный лед переходит в воду, а сухой — в углекислый газ, не проходя фазу жидкости.

2.3.6. Поскольку $Q = \lambda m$, $m = \rho hS$, то количество теплоты $Q = \lambda \rho hS$. Подставляя $\lambda = 0,336$ МДж/кг, $\rho = 0,9 \cdot 10^3$ кг/м³, $S = 1$ м², получим $Q = 377$ МДж.

2.3.7. Температура воды $T_0 = 273$ К. Согласно закону Фурье

$$\lambda \Delta m = \gamma(T_0 - T_1)\Delta t \Delta S,$$

или

$$\frac{\Delta h}{\Delta t} = \gamma(T_0 - T_1)/\lambda \rho \rightarrow h(t) = h_1 + \gamma(T_0 - T_1)t/\lambda \rho.$$

2.2.8. Из-за различия теплопроводности металла и биологической ткани температура кожи становится меньше 0 °С. Поэтому замерзает тонкий слой влаги на пальцах.

2.3.9. Проведем анализ возможных конечных состояний. Введем следующие величины: $Q'_x = m_1 c_x t_1$ — количество теплоты, которое отдает вода при остывании до 0 °С, $Q_x = m_2 c_x (0 - t_2)$ — количество теплоты,

которое необходимо передать льду для нагревания до 0°C , $Q'_m = \lambda m_1$ — количество теплоты, отдаваемой водой при превращении в лед, $Q_m = \lambda m_2$ — количество теплоты, поглощаемой льдом при плавлении. Возможны четыре конечных состояния.

А. Пусть $Q'_n > Q_n$.

1. Если $Q'_n > Q_n + Q_m$, то весь лед растает и температура воды в конечном состоянии будет выше 0°C .

2. Если $Q'_n < Q_n + Q_m$, то часть льда растает. В конечном состоянии лед и вода имеют температуру 0°C .

Б. Теперь предположим, что $Q'_n < Q_n$.

3. Если $Q'_n + Q'_m < Q_n$, то вся вода замерзнет и температура льда будет ниже 0°C .

4. В случае $Q'_n + Q'_m > Q_n$ — часть воды замерзнет и температура смеси воды и льда будет равна 0°C .

В нашей задаче $Q'_n = 252$ кДж, $Q_n = 168$ кДж.

Поскольку $Q_m = 2680$ кДж, то реализуется случай 2. Найдем массу растаявшего льда из уравнения теплового баланса

$$m_1 c_n (0 - t_1) + m_2 c_n (0 - t_2) + \lambda m_x = 0,$$

$$m_x = 0,25 \text{ кг.}$$

2.3.10. В нашей задаче конечное состояние системы задано. Уравнение теплового баланса имеет вид

$$m_x c_n (0 - t_1) + \lambda m_x + m_n c_n (t_3 - 0) + m_a c_n (t_3 - t_2) = 0,$$

где $m_n + m_x = \rho_n V$.

Следовательно, $m_x [\lambda + c_n (t_2 - t_1/2)] = \rho_n V c_n (t_2 - t_3)$.

2.3.11. Из уравнения теплового баланса следует уравнение

$$\lambda m_x = c_n (m - m_x) \Delta t + c_n m_x \Delta t,$$

$$\Delta t = t_2 - t_1, \quad m_x/m = c_n \Delta t / (\lambda + c_n \Delta t/2).$$

2.3.12. А. Согласно распределению Максвелла молекул по энергиям поступательного движения в равновесном состоянии большая часть молекул имеет энергии в окрестности среднего значения. В пар переходят молекулы с энергией в 10 раз большей среднего значения энергии теплового движения.

Б. Поскольку переход происходит при постоянном давлении $p = p_n$, то из первого закона термодинамики получим уравнение

$$\Delta U = r \Delta m - p_n \Delta V, \quad \Delta V = V_u - V_n.$$

Отсюда находим

$$\Delta U/\Delta m = r - p_n \Delta V/\Delta m, \text{ или } \Delta U/\Delta m = r - p_n(v_n - v_w),$$

где $v_n = RT/p_n M = 1/\rho_n$ — удельный объем пара, $v_w = 1/\rho_w$ — удельный объем воды.

Подставляя числовые значения, получим

$$\Delta U/\Delta m = (2260 - 166,6) \text{ кДж/кг} = 2093,4 \text{ кДж/кг}.$$

2.3.13. Давление и плотность насыщенного пара зависят только от температуры. Авторы не понимают разницы между понятиями равновесное состояние пара и изотермическим процессом с насыщенным паром.

2.3.15. Вода не кипит, потому что не выполняется условие кипения: давление насыщенных паров при температуре 400°C меньше внешнего давления.

2.3.16. Пусть V_w, V_n — объемы образовавшейся воды и оставшегося пара.

Имеем уравнения $m = \rho_n V_n, m = \rho_w V_w, m_n = \rho_n V_n, m_w = \rho_w V_w$, из которых находим $m_w/m = V_w/V_n, m_n/m = V_n/V_w$.

Поскольку $m = m_w + m_n, V = V_w + V_n$, то $m_n = (V - V_w)m/(V - V_w), m_w = (V - V_n)m/(V - V_w)$.

В случае $V_w \ll V$ имеем $m_n \approx Vm/V_n, m_w \approx (1 - V/V_n)m$.

2.3.17. Поскольку $p < p_n = 1,012 \cdot 10^5 \text{ Па}$, то в сосуде находится ненасыщенный пар. Учитывая значение $p = p_n/2$, получим плотность пара $\rho = \rho_n/2$. Следовательно, $V_r = V_0/2$, при уменьшении объема в два раза содержимое сосуда не изменится. При уменьшении объема до значения $V = V_0/n, V \geq V_w, n \leq 2\rho_w/\rho$, решение следует из ответа в задаче 2.3.16:

$$m_n = \frac{\rho_n}{\rho_B - \rho_n} (\rho_B V - m) = \frac{m (2\rho_B - n\rho_n)}{n (\rho_B - \rho_n)},$$

$$m_w = \frac{\rho_w}{\rho_B - \rho_n} (m - \rho_n V) = \frac{m (n-2)\rho_n}{n (\rho_B - \rho_n)}.$$

Поскольку $\rho_n = 0,598 \text{ кг/м}^3, \rho_w = 10^3 \text{ кг/м}^3$, то $m_n \approx \frac{m}{n} [2 - (n-2) \frac{\rho_n}{\rho_B}]$,

$$m_w \approx \frac{m}{n} (n-2) (1 + \frac{\rho_n}{\rho_B}).$$

2.3.18. Полное число молекул равно сумме числа молекул в обеих фазах: $N = N_n + N_w$. Обозначая v_n, v_w — удельный объем — объем,

занимаемый одной молекулой, получим систему уравнений $V_n = Nv_n$, $V = N_n v_n + N_n v_n$, $V_n = Nv_n$, из которой получим $\frac{V_n - V}{V - V_n} = \frac{v_n}{v_n}$.

2.3.19. При изотермическом сжатии плотность насыщенного пара постоянна. Весь пар массой $m = \rho_n V$ конденсируется при значении объема $V_n = m/\rho_n$, $m = \rho_n V$.

2.3.20. В открытом чайнике масса воды уменьшается благодаря испарению. Температура кипения в закрытом чайнике выше, чем в открытом. Однако основным эффектом является увеличение потока теплоты от нагревателя на испарение. Поэтому открытый чайник закипит позже закрытого.

2.3.21. $P\Delta t = \gamma m$, $\Delta t = 75,3$ мин.

2.3.22. За время Δt испаряется Δm воды. Имеем систему уравнений $P\Delta t = \gamma \Delta m$, $\Delta m = \rho_n S v \Delta t$. $\rho_n = 0,6$ кг/м³.

2.3.23. Количество теплоты, переданное поверхности в результате конденсации и охлаждения $Q = Q_k + Q_c$, $Q_k = \rho_n V \lambda$, $Q_c = \rho_n V c_n (t_k - t_0)$, $t_k = 100$ °С. Подставляя значения $\lambda = 2,26$ МДж/кг, $\rho_n = 0,6$ кг/м³, получим $Q_k = 1416$ Дж, $Q_c = 219$ Дж, $Q_k \gg Q_c$, $Q = 1635$ Дж.

2.3.24. Начальное и конечное значения объема V_1 , V_2 связаны соотношением $\rho_n = (m + \rho_n V_1)/V_2$. Работа пара $A' = p_n \Delta V$, $A' = p_n m/\rho_n$.

2.3.25. $A' = -p_n (V_2 - V_1)$, $p_n = 10^5$ Па.

2.3.27. Начальное состояние вода, лед — *in* (в, л).

Возможные конечные состояния: вода, лед — f_1 (в, л) при температуре $t_0 = 0$ °С, вода — f_2 (в) при температуре в промежутке 0 °С $\leq t \leq 100$ °С, вода, пар — f_3 (в, п) при температуре $t_1 = 100$ °С. Для реализации состояния f_1 должно выполняться неравенство $\gamma m_n + c_n m_n (t_1 - 0) \leq \lambda m_n$. Для реализации состояния f_3 должно выполняться неравенство

$$\gamma m_n \geq \lambda m_n + c_n (m_n + m_n) (t_1 - 0)$$

или

$$2260 > 336 + 2 \cdot 4,186 \cdot 100.$$

Наименьшее значение массы пара m_x , необходимое для реализации состояния f_3 получим из уравнения $\gamma m_x = \lambda m + 2c_n m (t_1 - 0)$, $m_x = (\lambda + 2c_n t_1) m / \gamma$, $m_x = 0,186 m$.

2.3.28. Найдем количество теплоты, которое необходимо сообщить льду для нагревания до 0 °С: $Q = c_n m (0 - t_2)$, $Q = 1,05$ кДж. Количество теплоты, которое может передать сосуд при охлаждении до 0 °С: $Q' = C t_1$, $Q = 40$ кДж. Количество теплоты, необходимое для плавления льда: $Q_n = \lambda m$, $Q_n = 16,8$ кДж.

Следовательно, конечное состояние — вода при температуре t_x .
Уравнение теплового баланса имеет вид

$$C(t_x - t_1) + c_n m(0 - t_2) + \lambda m + c_n m(t_x - 0) = 0.$$

2.3.29. Уравнение теплового баланса

$$c_n m(t_2 - t_1) = \lambda m_x + c_n m_x(t_1 - t_0).$$

2.3.30. Количество теплоты, которое выделил бы пар при конденсации $Q'_1 = rm$, $Q'_1 = 22,6$ кДж, количество теплоты, необходимое для нагревания воды до $t_1 = 100^\circ\text{C}$ равно $Q_2 = c_n m_2(t_1 - t_2)$, $Q_2 = 4,186$ кДж. Следовательно, при температуре 100°C масса пара Δm конденсируется: $r\Delta m_1 = c_n m_2(t_1 - t_2)$.

Итак, в сосуде останется вода массой $m_n = m_2 + c_n m_2(t_1 - t_2)/r$, пар массой $m_x = m_1 - c_n m_2(t_1 - t_2)/r$.

2.3.31. Давление при температуре T_1 равно сумме давлений воздуха и пара: $p_1 = p_{a1} + p_{n1} \approx p_{a1}$. Давление при температуре кипения T_2 равно сумме давлений воздуха и пара: $p_2 = p_{a2} + p_{n2}$. Давление сухого воздуха найдем из соотношения $p_{a2} = p_{a1} T_2/T_1$.

Определим теперь давление пара при температуре T_2 . Для этого найдем массу воды m_x , которую необходимо испарить, чтобы при температуре T_2 пары воды оставались насыщенными $\rho_{n2} = m_x/V$, где $\rho_{n2} = p_0 M_n / RT_2 \sim 0,6$ кг/м³. Следовательно, $m_x = 13,44$ г. Поскольку, $m > m_x$, то давление пара $p_{n2} = p_0$.

Итак, давление в камере $p_2 = 2p_0 T_2/T_1 + p_0$, $p_2 = 3,7p_0$.

2.3.32. В этом случае $p_{n2} = (m/M_n)(RT_2/V)$. Давление в камере $p_2 = p_{a2} + p_{n2} = 3,41p_0$.

2.3.33. $mc_n(t_0 - t_x) - rm_n = 0$.

2.3.34. Пусть ν_1, ν_2 — число молей водорода и кислорода. Из закона Дальтона получим уравнение

$$p_0 V = (\nu_1 + \nu_2) RT_0. \quad (1)$$

Масса системы

$$m = M_1 \nu_1 + M_2 \nu_2. \quad (2)$$

Из (1), (2) находим число молей водорода и кислорода

$$\nu_1 = \frac{p_0 V}{RT_0} \frac{M_2}{M_2 - M_1} - \frac{m}{M_2 - M_1}, \quad \nu_2 = \frac{m}{M_2 - M_1} - \frac{p_0 V}{RT_0} \frac{M_1}{M_2 - M_1}.$$

Подставляя данные задачи, получим $\nu_1 = 6$ моль, $\nu_2 = 1,5$ моль. В реакции $2H_2 + O_2 = 2H_2O$ полтора моль кислорода соединяются с тре-

мя моль водорода. Следовательно, в результате реакции в баллоне находится $\nu_1 - 2\nu_2 = 3$ моль водорода и $2\nu_2 = 3$ моль воды:

$$m = M_1(\nu_1 - 2\nu_2) + 2M_1\nu_2 + M_2\nu_2 = M_1(\nu_1 - 2\nu_2) + 2M_2\nu_2,$$

где $M_n = M_1 + M_2/2$ — молярная масса воды.

Масса воды $m_n = 2M_n\nu_2$, $m_n = 54$ г. При температуре $T_k = 373$ К образуется пар массой $m_n = \rho_n V$, где $\rho_n = 0,6$ кг/м³ — плотность насыщенного пара; $m_n = 40,3$ г.

Масса воды в конечном состоянии $m'_n = 13,7$ г. Давление в конечном состоянии $p_k = p_a + (\nu_1 - 2\nu_2)RT_k/V$, $p_a = 101,3$ кПа, $p_k = 2,37p_a$.

2.3.35. В начальном состоянии имеем $\nu_H = 0,1$ моль водорода и $\nu_O = 0,1$ моль кислорода. После реакции в баллоне образуется 0,1 моль воды и останется 0,05 моль кислорода. При образовании воды продукты реакции получают энергию 6,83 ккал = 28,6 кДж. Поэтому вся вода испарится. Используя уравнение состояния, получим уравнения $p_1 V = (\nu_H + \nu_O)RT_1$, $p_2 V = (\nu_H + \nu_O - \nu_H/2)RT_2$.

2.3.36. Согласно уравнению теплового баланса

$$0 = -C\Delta t - c_s m_1 \Delta t + (m_2 - m_n) \lambda + c_s m_2 (t_1 - \Delta t - t_0).$$

2.3.37. В процессе кипения воды через отверстие вырывается струя пара со скоростью v , создавая реактивную силу тяги величиной $F = v\Delta m/\Delta t$.

Имеем систему уравнений $P\Delta t = r\Delta m$, $\Delta m = \rho S v \Delta t$, $\rho = 0,6$ кг/м³.

2.3.38. 1. В пустой сосуд выливаем воду из первой и третьей банок и перемешиваем воду.

2. Половину массы этой воды переливаем в пустую банку.

3. Заполняем сосуд водой из второй банки.

2.3.39. Температура кипения $t_1 = 122$ °С соответствует давлению насыщенного пара $p_n(t_1) = 210,75$ кПа. Слой воды с температурой $t_1 = 122$ °С оказался на глубине h_2 , где давление воды $p_2 < p_n(t_1)$. Поэтому вода закипает. Образуется пар, который выталкивает воду, давление воды на нижние слои уменьшается. Далее вся вода вскипает и выбрасывается из трубки.

2.3.40. Очищенная и обезгаженная жидкость может существовать при температуре большей температуры кипения: $t > t_k$. Такая жидкость называется перегретой, так как существует в условиях, при которых она должна быть в газообразном состоянии. Рассмотрим жидкость при давлении p_1 и температуре t_1 (см. рис. 2.3.40). Значение t_1 выберем несколько ниже значения t_{k1} , соответствующего темпера-

туре кипения при давлении насыщенных паров $p_n(t_{к1}) = p_1$. Теперь, отпуская поршень, быстро уменьшим давление до величины p_2 . Жидкость окажется в перегретом состоянии (t_1, p_2) , поскольку t_1 выше температуры кипения $t_{к2}$, определяемой условием $p_n(t_{к2}) = p_2$.

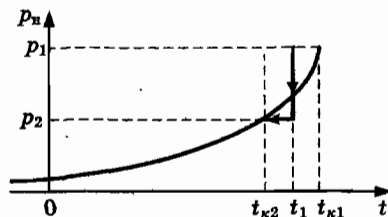


Рис. 2.3.40

Перегретая жидкость находится в неустойчивом состоянии. Флуктуации плотности приводят к возникновению микро неоднородностей, которые играют роль центров парообразования — через некоторое время жидкость вскипает. Процесс кипения развивается взрывообразно, если через жидкость пролетает заряженная частица. Ионы, образующиеся вдоль траектории, становятся центрами парообразования. На фотографии виден след частицы. На основе этого эффекта, открытого Д. Глезером в 1952 г., был создан прибор для регистрации элементарных частиц (Нобелевская премия, 1960 г.).

2.3.41. Обычно при температуре от 0 до -10 °С облака, в основном, состоят из жидких капель, так как наиболее распространенные ядра льдообразования становятся эффективными при температуре $t \sim -9$ °С. На них происходит конденсация пара и формирование ледяных кристалликов при замерзании образовавшейся воды. И здесь проявляются уникальные особенности воды. Оказывается, что давление насыщенного пара при температурах ниже 0 °С меньше над льдом, чем над поверхностью переохлажденной жидкости. Поэтому кристаллик льда быстро растет, «поедая» капельки воды.

2.3.42. При сгорании топлива образуется водяной пар. Поскольку температура и давление лежат за пределами тройной точки, то водяной пар вымерзает и образует осадки в виде ледяных кристаллов. Масштабы образования водяного пара при полетах реактивных самолетов выглядят устрашающе: при сгорании килограмма топлива выделяется 1,25 кг воды, а самолет потребляет свыше 90 тонн топлива в час. Увеличение количества льда в стратосфере приводит к уве-

личению облачности и к росту планетарного альbedo. В результате уменьшается доля солнечного излучения, падающего на земную поверхность.

2.4. Влажность воздуха

2.4.1. Согласно закону Авогадро — в равных объемах газа при одинаковых давлении и температуре содержится одинаковое количество молекул. Влажный воздух получается из сухого в результате замещения N молекул воздуха (молярная масса $M = 0,029$ кг/моль) N молекулами воды (молярная масса $M = 0,018$ кг/моль).

2.4.2. А. Плотность влажного воздуха, находящегося в объеме V

$$\rho = (m_s + m_n)/V, \quad (1)$$

где m_s — масса сухого воздуха; m_n — масса пара.

Давление влажного воздуха равно согласно закону Дальтона сумме парциальных давлений сухого воздуха и пара:

$$p = p_s + p_n. \quad (2)$$

Очевидно, сухой воздух и пар удовлетворяют уравнению состояния

$$p_s V/T = m_s R/M_s, \quad (3)$$

$$p_n V/T = m_n R/M_n. \quad (4)$$

Согласно условию

$$h = p_n/p_s. \quad (5)$$

Значение давления насыщенного пара p_n при температуре T находится в таблице.

Формально мы имеем пять уравнений и шесть неизвестных: ρ , m_s , m_n , V , p_s , p_n . В действительности неизвестных величин только пять, так как в уравнения входят отношения m_s/V и m_n/V . Разрешая систему (1)–(5), находим:

$$\rho = M_s p/RT - (M_s - M_n) h p_n/RT. \quad (6)$$

Поскольку $M_s = 0,029$ кг/моль, $M_n = 0,018$ кг/моль, то плотность влажного воздуха меньше плотности сухого воздуха. В результате замещения N молекул сухого воздуха более «легкими» N молекулами воды, масса сухого воздуха в объеме V уменьшается на величину

$$\Delta m_s = V(M_s - M_n) h p_n/RT.$$

Б. Из (6) находим $\Delta m = -(M_n - M_u) p_n V \Delta h / RT$.

В. Давление и масса влажного воздуха $p = p_n + p_u$, $m = m_n + m_u$; $p_n V = m_n RT / M_n$, $p_u V = m_u RT / M_u$. Относительная влажность $h = p_u / p_n$.

2.4.3. Плотность пара в начальном состоянии $\rho_{n2} = h \rho_{n2} = 18,4 \text{ г/м}^3$ больше плотности насыщенного пара при $t_1 = 11^\circ \text{С}$. При значении температуры пара $t = t_1$ относительная влажность воздуха станет равной 100% (см. рис.2.4.3).

Масса конденсированной воды $\Delta m = (h \rho_{n2} - \rho_{u1}) V$, $\Delta m = 0,84 \text{ кг}$.

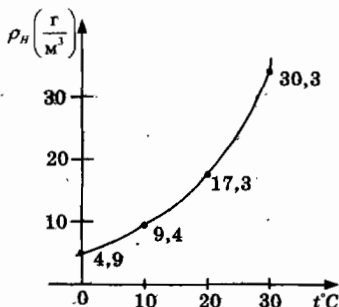


Рис. 2.4.3

2.4.4. Плотность пара в начальном состоянии $\rho_{n2} = h \rho_{n2} = 6,4 \text{ г/м}^3$ меньше плотности насыщенного пара при $t_1 = 11^\circ \text{С}$. Пар остается ненасыщенным.

2.4.5. Имеем систему уравнений

$$h_1 = \rho_{u1} / \rho_n, \quad h_2 = \rho_{u2} / \rho_n, \quad \rho_{n2} = (\rho_{n1} V + m) / V,$$

из которых находим $\rho_{n2} = m h_2 / V (h_2 - h_1)$.

2.4.6.-2.4.7. В начальном состоянии давление в камере $p_1 = p_{n1} + p_{u1}$. В конечном состоянии давление $p_2 = p_{n2} + p_{u2}$. Поскольку $p_{n1} V_1 = p_{n2} V_2$, то $p_{n2} = (p_1 - p_{u1}) V_1 / V_2$. Для определения конечного состояния необходимо предварительно найти значение минимальной массы воды m_x , при котором пар остается насыщенным $\rho_{n1} = (m_x + \rho_{n1} V_1) / V_k$, где V_k — значение конечного объема. Отсюда находим $m_x = \rho_{n1} (V_k - V_1)$.

2.4.6. В этом случае $V_k = 2 V_1$, $m_x = 10 \text{ г}$. Поскольку $m > m_x$, то давление пара в конечном состоянии $p_{n2} = p_{n1}$.

Следовательно, давление $p_2 = (p_1 - p_{u1}) V_1 / V_2 + p_{u1}$.

2.4.7. В этом случае $V_k = 5 V_1$, $m < m_x = 40 \text{ г}$ — испарится вся вода и пар воды станет ненасыщенным. Давление пара p_{n2} найдем из уравнения состояния $p_{n1} = \rho_{n1} RT_1 / M_n$, $p_{n2} V_2 = (m + \rho_{n1} V_1) RT_1 / M_n$. Давление $p_2 = p_1 V_1 / V_2 + p_{u1} m / \rho_{n1} V_2$.

2.4.8. Относительная влажность $\phi = h \cdot 100\%$, где $h = \rho_{\text{н2}}/\rho_{\text{н1}}$, $h = 0,84$.

2.4.9. $m_{\text{н}} = \rho_{\text{н2}}V$, $m_{\text{н}} = 1,45$ кг.

2.4.10. В исходном состоянии $p_1 = p_{\text{н1}} + p_{\text{в1}}$, где $p_{\text{н}}$ — давление насыщенного пара при температуре t_1 , $p_{\text{н1}}$ — давление сухого воздуха.

В конечном состоянии $p_2 = hp_{\text{н1}} + p_{\text{в2}}$. Очевидно, что $p_{\text{в1}}V_1 = p_{\text{в2}}V_2$ или $p_{\text{в2}} = p_{\text{в1}}/2$. Из системы уравнений $3p_0 = p_{\text{н1}} + p_{\text{в1}}$, $1,8p_0 = hp_{\text{н1}} + p_{\text{в1}}/2$ получим $p_{\text{в1}} = 2p_0$, $p_{\text{н1}} = p_0$. Следовательно, $t_1 = 100^\circ\text{C}$.

2.4.11. Поскольку $2hp_0V_1 = \nu_{\text{н}}RT_1$, $2p_{\text{в2}}V_1 = \nu_{\text{в}}RT$, то $\nu_{\text{н}} = 2h(T_0/T)$ моль, $\nu_{\text{в}} = 2(T_0/T)$ моль, $T_0 = 273$ К; $\nu_{\text{н}} = 1,16$ моль, $\nu_{\text{в}} = 1,46$ моль.

2.4.13. В начальном состоянии давление $p_0 = p_{\text{н1}} + p_{\text{в}}$. Относительная влажность $h_1 = p_{\text{н1}}/p_0$.

В конечном состоянии давление $4p_0 = p_{\text{н2}} + p_{\text{в2}}$, $p_{\text{н2}} = p_0$, $V_2 = V_1/4$.

Поскольку $p_{\text{в1}}V_1 = p_{\text{в2}}V_2$, то $p_{\text{в2}} = 4p_{\text{в1}}$.

2.4.14.–2.4.15. В начальном состоянии давление пара равно $p_{\text{н1}}$. Найдем значение минимальной массы воды m_x в баллоне с температурой t_2 , при котором пары воды остаются насыщенными:

$$\rho_{\text{н2}} = (m_x + \rho_{\text{н1}}V)/V \text{ или } m_x = (\rho_{\text{н2}} - \rho_{\text{н1}})V, m_x = 13 \text{ г.}$$

Если $m > m_x$, то давление пара в конечном состоянии $p_{\text{н2}} = p_{\text{н2}}$. Если же $m < m_x$, то пары воды станут ненасыщенными. Давление пара найдем из уравнения состояния $p_{\text{н2}} = (m_2 + \rho_{\text{н1}}V)RT_2/(M_{\text{н}}V)$, $p_{\text{н2}} = 2753$ Па.

2.4.16. Очевидно, в конечном состоянии давление пара равно давлению насыщенного пара $p_{\text{н}}$.

$$p_1 = p_{\text{н}} + p_{\text{в1}}, \quad (1)$$

$$p_2 = p_{\text{н}} + p_{\text{в2}}, \quad (2)$$

$$p_{\text{в1}}V_0 = 2p_{\text{в2}}V_0. \quad (3)$$

Из (1)–(3) находим $p_{\text{н}} = p_0$. Следовательно, температура системы $t = 100^\circ\text{C}$. Учитывая, что при $t = 100^\circ\text{C}$ плотность насыщенного пара $\rho = 0,6$ кг/м³ получим массу пара в начальном состоянии $m_{\text{н1}} = 1,2$ г.

2.4.17. Поскольку $p_{\text{в1}} = p_0$, то давление влажного воздуха

$$p(V) = p_0 + p_0V_0/V.$$

Работа, совершаемая влажным воздухом при изменении объема в промежутке $[V_0, 2V_0]$ равна $A = p_0V_0(1 + \ln 2)$.

2.4.18. Из уравнения $\rho_{\text{н2}} = (h_1\rho_{\text{н1}} + m)/V$ находим m .

2.4.20. Давление $p_2 = p_{\text{н2}} + p_{\text{ар}}T_2/T_0$. На отрезке $[t_1, t_2]$ пар не насыщен: $p_{\text{н1}}/T_1 = p_{\text{н2}}/T_2$, $p_{\text{н2}} = 2,18 \cdot 10^5$ Па.

2.4.22. За окном на морозе теплый воздух поднимается вверх вместе с конденсированным паром — туманом. В потоке холодного воздуха, проникающего внутрь помещения, пар также конденсируется и опускается вниз.

2.4.23. Влажный воздух плотностью ρ массы m содержит пар массы $m_n = m \rho_n(T) / \rho(T)$. Рассмотрим переход воздуха из состояния с температурой T в равновесное состояние с температурой $T + \Delta T$. При температурах меньших температуры кипения для испарения воды массой $\Delta m_n = m_n(T + \Delta T) - m_n(T) \approx \frac{m \Delta \rho_n}{\rho \Delta T} \Delta T$ необходимо дополнительное количество теплоты $\delta Q' = r \Delta m_n$. Общее количество теплоты, необходимое для нагревания влажного воздуха $\delta Q = (m c_p + r \frac{m \Delta \rho_n}{\rho \Delta T}) \Delta T$.

Величина $\Delta \rho_n / \Delta T$ возрастает с увеличением температуры. Поэтому менее плотный по сравнению с сухим воздухом, содержащий насыщенный пар всплывает, уступая место менее насыщенному воздуху, который придя в контакт с поверхностью морской воды, насыщается и в свою очередь поднимается. Таким образом, атмосфера запасает огромное количество энергии. При конденсации часть этой энергии проявляется в опустошительных ураганах.

2.4.24. Главным процессом, вызывающим образование облаков, является адиабатическое охлаждение при подъеме влажного воздуха. Уменьшение температуры поднимающегося воздуха приводит к возрастанию относительной влажности. Чем выше начальная влажность воздуха, тем меньше высота, на которой начинается конденсация и образование облака.

По этой причине летние облака во Флориде имеют высоту нижней кромки около 600 м, а в Аризоне, где влажность небольшая, — в пять раз выше.

2.4.25. Пусть t_1, t_2 — температура воздуха на улице и в доме, p_{n1}, p_{n2} — давление насыщенного пара при соответствующих температурах. Давление пара в комнате — p , относительная влажность воздуха в доме $h_2 = p / p_{n2}$. При контакте с линзами очков воздух охлаждается, относительная влажность увеличивается и при значении $p = p_{n1}$ достигает значения $h_1 = 1$. В этом случае начинается конденсация пара.

2.4.26. Морозильная камера располагается в верхнем отделении холодильника. Пусть t_1, t_2 — температура воздуха у поверхности морозильной камеры и в нижней части где находятся продукты, $p_{n1},$

ρ_{n2} — плотность насыщенного пара при соответствующих температурах. Влажность воздуха $h_1 = \rho/\rho_{n1}$. Холодный воздух опускается вниз, получает тепло от продуктов и нагревается. Относительная влажность воздуха уменьшается до значения $h_2 = \rho/\rho_{n2}$. В результате испарения воды из продуктов относительная влажность увеличивается на величину $\Delta h_2 = \Delta\rho/\rho_{n2}$, плотность влажного воздуха уменьшается и он всплывает к морозильной камере. Здесь воздух охлаждается, но влажность будет больше первоначальной на величину $\Delta h_1 = \Delta\rho/\rho_{n1}$. После некоторого числа циклов влажность воздуха у морозильной камеры возрастает до 100% начинается конденсация и образование кристалликов льда.

2.4.27. Камера Вильсона представляет собой цилиндр с металлическим плотно прилегающим поршнем или резиновой мембраной вместо дна и стеклянной герметически закрытой крышкой. Внутри камеры находится влажный воздух при температуре t_1 , сжатый до давления в несколько атмосфер. Парциальное давление пара $p_1 \leq p_n(t_1)$ (см. рис. 2.4.27).

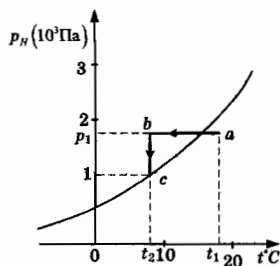


Рис. 2.4.27

Если поршень быстро выдвинуть, то влажный воздух адиабатически охладится до температуры t_2 при которой $p_1 > p_n(t_2)$. Пар оказывается в неустойчивом пересыщенном состоянии, поскольку относительная влажность $\phi > 100\%$. Если через камеру пролетает заряженная частица, то на ионах, образующихся вдоль траектории, начинается конденсация пара в виде маленьких капелек. При освещении камеры сбоку виден сверкающий след пролетевшей частицы. По фотографии следа можно определить характеристики частицы. Этот прибор был изобретен в 1912 г. английским физиком Ч. Вильсоном (Нобелевская премия, 1928 г.). На протяжении нескольких десятилетий камера Вильсона была единственным трековым (от англ. *track* —

след) детектором регистрации элементарных частиц. Однако у камеры есть и недостатки: состояние насыщения продолжается несколько десятых долей секунды, а время необходимое для нового цикла занимает несколько секунд. В 1950–60-ые годы камера Вильсона уступила место быстродействующим пузырьковым камерам.

2.5. Тепловые двигатели

2.5.1. Используя уравнение адиабатического процесса $TV^{\gamma-1} = \text{const}$, получим соотношения: для участка bc — $T_2V_3^{\gamma-1} = T_1V_4^{\gamma-1}$, участка da — $T_1V_2^{\gamma-1} = T_2V_1^{\gamma-1}$.

2.5.2. $A'_{bc} = U_b - U_c$, $A'_{da} = U_d - U_a$, $U_a = U_b = mc_vT_2$, $U_d = U_c = mc_vT_1$, $U_c - U_b + U_a - U_d = 0$.

2.5.3. Работа, совершаемая за цикл, равна площади, ограниченной двумя изотермами и адиабатами. Согласно решению задачи 2.5.2 $A' = A'_{ab} + A'_{cd}$. Работа, совершаемая газом в изотермических процессах $A'_{ab} + A'_{cd} = \nu R(T_2 - T_1) \ln(V_3/V_1)$ (см. задачи 2.2.1, 2.5.1, 2.5.2).

2.5.4. Запишем это утверждение в виде неравенства

$$A'/Q \leq 1 - T_1/T_2,$$

где Q — количество теплоты, переданное рабочему телу за цикл.

Это соотношение играет важную роль при анализе проблем, которые возникают при создании анализе работы электростанций и тепловых двигателей.

2.5.5. Работа, совершаемая машиной в первом и втором случаях, $A' = Q_2 - Q'_1$, $A'_k = Q_{2k} - Q'_{1k}$. Далее, запишем условия обратимости в виде $Q_2/T_2 = Q'_1/T_1 = \alpha$, $Q_{2k}/T_{2k} = Q'_{1k}/T_{1k} = \alpha$. Из этих уравнений находим $A'_k = A' \frac{T_{2k} - T_{1k}}{T_2 - T_1}$. Пусть $T_1 = T_{1k} = 300$ К, $T_2 = 500$ К, $T_{2k} = 700$ К. В этом случае $A'_k = 2A'$.

2.5.6. В идеальных изотермических процессах с рабочим телом подвод и отвод теплоты должен происходить при постоянной температуре. В этом случае теплообмен невозможен, т.к. поток теплоты возникает лишь при наличии конечной разности температур рабочего тела и нагревателя или холодильника.

2.5.7. Имеем систему уравнений $A' = Q_2 - Q'_1$, $Q'_1 = \lambda m$, $A' = \eta_m Q_2$, из которой находим $A' = \lambda m(T_2 - T_1)/T_2$, $A' = 2,5 \cdot 10^{14}$ Дж — работа АЭС за три дня.

2.5.8. Количество сбрасываемой теплоты $Q'_1 = Q_2 - A' = A'(1 - \eta)/\eta$. Поскольку приращение температуры воды ΔT массой Δm удовлетворяет уравнению $c\Delta m\Delta T = Q'_1$, то расход воды $\Delta m/\Delta t = P(1 - \eta)/(c\eta\Delta T)$, $\Delta m/\Delta t = 5,1 \cdot 10^5$ кг/с.

Отметим, что сток Волги — $8,5 \cdot 10^6$ кг/с, сток Амазонки — $2 \cdot 10^8$ кг/с. Средний расход воды в начальном участке Гольфстрима во флоридском заливе 25 млн м³/с в двадцать раз превосходит расход воды во всех реках Земли. Согласно нормам национального контрольного комитета США, повышение температуры в водоемах не может превышать 2,25 К осенью, зимой и весной и не более 0,8 К — летом.

2.5.9. Используя первый закон термодинамики, получим:

$$0 = -Q'_{ab} + A_{ab} \text{ — в процессе } a-b,$$

$$0 = Q_{cd} - A'_{cd} \text{ — в процессе } c-d.$$

Поскольку в изотермических процессах внутренняя энергия $U_c = U_d$, $U_b = U_a$, то $Q_{bc} = Q'_{da}$. В циклическом процессе $0 = -Q'_{ab} + Q_{bc} + Q_{cd} - Q'_{da} - A'$ или $Q_{cd} = Q'_{ab} + A'$.

2.5.10. Согласно условию процесс ca — адиабатический. В изотермическом процессе $a-b$ внутренняя энергия не изменяется $U_a = U_b$. Следовательно, $0 = -Q'_1 + A_{ab}$, A_{ab} — работа, совершаемая внешней средой. Полное приращение внутренней энергии в цикле равно нулю:

$$0 = Q_2 - Q'_1 + A_{ab} - A'_{ca}.$$

2.5.11. Рабочее тело производит работу

$$A' = Q_{bc} + Q_{da}, \quad Q_{bc} = \nu C_V(T_c - T_b) > 0, \quad Q_{da} = \nu C_V(T_a - T_d) < 0.$$

Следовательно, $A' = Q_2 - Q'_1$, $Q_2 = Q_{bc}$, $Q'_1 = -Q_{da}$.

КПД цикла $\eta = 1 - Q'_1/Q_2 = 1 - (T_d - T_a)/(T_c - T_b)$.

Поскольку для адиабатических процессов $T_d V_2^{n-1} = T_c V_1^{n-1}$, $T_a V_2^{n-1} = T_b V_1^{n-1}$, то $T_c/T_b = T_d/T_a$, $\eta = 1 - T_d/T_c$, или $\eta = 1 - (V_1/V_2)^{n-1}$.

Для горючих смесей $n = 1,37$. Обычно степень сжатия имеет значение $V_2/V_1 \approx 9-10$.

2.5.12. Поскольку в изохорическом процессе $\Delta U = \delta Q$, $U = \nu C_V T$, то из (2.5.1) получим $\int_{T_b}^{T_c} dU/T + \int_{T_d}^{T_a} dU/T = 0$, $\ln(T_c/T_b) + \ln(T_a/T_d) = 0$.

2.5.14. Следует отметить, что диаграмма на рис. 2.5.13 б описывает процессы в современных скоростных авиационных турбинах, где рабочим веществом является атмосферный воздух. Рабочее тело производит работу $A' = Q_{bc} + Q_{da}$, $Q_{bc} = \nu C_p(T_c - T_b) > 0$, $Q_{da} = \nu C_p(T_a - T_d) < 0$.

Следовательно, $A' = Q_2 - Q'_1$, $Q_2 = Q_{bc}$, $Q'_1 = -Q_{da}$.

КПД цикла $\eta = 1 - Q'_1/Q_2 = 1 - (T_d - T_a)/(T_c - T_b)$. Поскольку в адиабатическом процессе $pV^n = \text{const}$, $pV = \nu RT$, то $T_a = T_b(p_1/p_2)^{(n-1)/n}$, $T_d = T_c(p_1/p_2)^{(n-1)/n}$.

Следовательно, $T_a - T_d = (T_b - T_c)(p_2/p_1)^{(n-1)/n}$.

Коэффициент полезного действия цикла $\eta = 1 - (p_1/p_2)^{(n-1)/n}$.

2.5.15. КПД цикла Отто $\eta_0 = \frac{A'_{abcd}}{Q_{bc}}$. Согласно первому закону тер-

модинамики для процесса $b-b'-c-b$ имеем уравнение

$$0 = Q_{b'c} + Q_{cb} + A'_{bb'c}, \text{ или } Q_{b'c} = Q_{bc} + A'_{bb'c}.$$

КПД цикла Дизеля можно представить в виде

$$\eta_D = \frac{A'_{ab'cd}}{Q_{b'c}} = \frac{A'_{abcd} + A'_{bb'c}}{Q_{bc} + A'_{bb'c}}.$$

Поскольку η_0 — правильная дробь, то $\eta_D > \eta_0$.

2.5.16-2.5.17. Из первого закона термодинамики следует, что количество теплоты переданное нагревателю в результате совершенной мотором работы $Q'_2 = Q_1 + A$, где Q_1 — количество теплоты, отводимое из камеры холодильника. Воздух в комнате нагревается.

2.5.18. *Решение 1.* В первом случае работа, совершаемая мотором $A = \nu R(T_2 - T_1) \ln(V_3/V_1)$, во втором $A_k = \nu R(T_2 - T_{1k}) \ln(V_3/V_1)$.

Решение 2. Используйте решение задачи 2.5.5.

2.5.19. Работа, совершаемая тепловой машиной $A' = \nu R(T_2 - T_1) \ln 2$ (см. задачу 2.5.3). Работа, совершаемая мотором холодильной машины $A = \nu R(T_k - T_1) \ln 3$. Следовательно, $T_k = T_1 + (\ln 2/\ln 3)(T_2 - T_1)$, где $\ln 2 \approx 0,6934$, $\ln 3 \approx 1,0986$.

2.5.20. Согласно условиям задачи имеем систему уравнений

$$P_1/P_0 = k, \quad (P_1 + P_n)/P = k, \quad k = T_1/[2(T_2 - T_1)],$$

из которой находим $P_n = T_1(P - P_0)/[2(T_2 - T_1)]$, $P_n = 5$ Вт.

2.5.21. Из первого закона первого закона термодинамики получим количество теплоты, переданное нагревателю-комнате $Q'_2 = (1 + k)A$.

Следовательно, холодильную машину можно использовать как нагреватель или тепловой насос. Пусть $k = 4$, тогда $Q'_2 = 5A$. Если количество электроэнергии равно A пойдет на обогрев, то комната получит всего лишь количество теплоты A . Разница очевидна.

2.5.22. В стационарном режиме мощность обогревателя пропорциональна тепловому потоку от комнаты во внешнюю среду:

$$P_0 = C(T_2 - T_1). \quad (1)$$

Скорость передачи теплоты от холодильника в комнату $P = (1 + k)P_0$.
В стационарном режиме

$$(1 + k)P_0 = C(T_2' - T_1), \quad (2)$$

$$k = \alpha T_1 / (T_2' - T_1). \quad (3)$$

Из (1)–(3) получим уравнение $(1 + k)k = \alpha T_1 / [(T_2 - T_1)]$, из которого находим $k_{1,2} = (1/2)[-1 \pm (1 + 4q)^{1/2}]$, $q = \alpha T_1 / [(T_2 - T_1)]$.

Подставляя числовые данные, получим $k_1 = 1$, $T_2' = T_1 + \alpha T_1 / k_1$, $T_2' = 300$ К.

2.5.23. Мощность P , потребляемая кондиционером, связана со скоростью отвода теплоты $P_1 = \delta Q_1 / \Delta t$ соотношением $P \geq P_1(T_2 - T_1) / T_1$.

Скорость передачи теплоты от внешней среды к помещению

$$P_{cx} = C(T_2 - T_1),$$

где C — постоянный коэффициент.

В установившемся режиме $P_1 = P_{cx}$. Следовательно, $P \geq C(T_2 - T_1)^2 / T_1$.

Для поддержания внутри помещения температуры T_1 мощность, потребляемая кондиционером, должна возрасти до значения

$$P' = P[(T_2' - T_1) / (T_2 - T_1)]^2 = 4P.$$

Увеличение внешней температуры на 5 °С приводит к увеличению потребляемой мощности в четыре раза! Увеличение температуры внешней среды приводит к значительному уменьшению коэффициента полезного действия тепловых станций.

2.5.24. На отрезке $[V_1, V_2]$ уравнение процесса $a-b$ определяется функцией $p(V) = kV$. Тогда $p_2 V_1 = p_1 V_2 = \nu RT_c$. Из уравнения состояния имеем систему $kV_1^2 / T_a = kV_2^2 / T_b = kV_1 V_2 / T_c$. Отсюда находим $T_c = (T_a T_b)^{1/2}$. Работа, совершаемая газом $A' = (\nu R / 2) (\sqrt{T_b} - \sqrt{T_a})^2$ (см. задачу 2.2.19). Количество теплоты, полученное в процессе $a-b$:

$$Q_{ab} = \nu C_V (T_b - T_a) + A'_{ba},$$

$$A'_{ba} = (1/2)(p_2 + p_1)(V_2 - V_1) = (\nu R / 2)(T_b - T_a).$$

Следовательно, количество теплоты, переданное нагревателем,

$$Q_2 = Q_{ab} = \nu(C_V + R/2)(T_b - T_a) > 0.$$

2.5.25. Из уравнения состояния получаем $p_1 V_1 = \nu RT_0$, $p_2 V_2 = 4\nu RT_0$, $p_2 V_1 = \nu RT_a$. Поскольку на отрезке $[V_1, V_2]$ функция $p(V) = kV$, то $kV_1^2 / T_0 = kV_2^2 / 4T_0 = kV_1 V_2 / T_a$, $p_2 V_1 = p_1 V_2$. Работа, совершаемая газом

$$A' = (p_2 - p_1)(V_2 - V_1) / 2 = \nu RT_0 / 2.$$

Количество теплоты, переданного газу $Q_2 = \nu T_0 (2C_p + C_V)$.

2.5.26. Работа, совершаемая газом $A' = \nu RT_0/4$. Количество теплоты, переданное нагревателем $Q_2 = \nu(3R + 2C_V)T_0/4$ (см. задачу 2.2.18).

2.5.27. Работа, совершаемая газом $A' = \nu RT_0/8$. Количество теплоты, переданное нагревателем $Q_2 = \nu(10R + 8C_V)RT_0/16$ (см. задачи 2.2.38, 2.2.39).

2.5.28. Проведем три изотермы, пересекающие точки a, b, c . Тогда приходим к выводу, что максимальная температура в точке a , минимальная температура в точке c : $\Delta T = T_a - T_c$. Работа, совершаемая при сжатии газа,

$$A_{bc} = -p_b(V_c - V_b) = \nu R(T_b - T_c). \quad (1)$$

Согласно определению

$$\eta = A' / Q_{ca}. \quad (2)$$

Из первого закона термодинамики следует уравнение

$$0 = Q_{bc} + Q_{ca} - A', \quad (3)$$

где $Q_{bc} = \nu C_p(T_c - T_b) = -(C_p/R)A_{bc} < 0$, $Q_{ca} = \nu C_V \Delta T$.

Следовательно, из (1)–(3) получим

$$\eta = 1 + Q_{bc}/Q_{ca} = 1 - (C_p/R)A_{bc}/Q_{ca}.$$

2.5.29. Очевидно $T_a = T_b$. Налагая на диаграмму процесса сетку изотерм, заключаем, что $\Delta T = T_a - T_c$. Для процесса $a-b$ получим из первого закона термодинамики

$$0 = Q_{ab} - A'_{ab}. \quad (1)$$

В процессе $b-c$ количество теплоты, переданной газу

$$Q_{bc} = -\nu C_V \Delta T. \quad (2)$$

Из первого закона термодинамики для цикла получим уравнение

$$0 = Q_{ab} + Q_{bc} - A'. \quad (3)$$

КПД цикла $\eta = A'/Q_{ab}$. Из системы уравнений находим

$$A'_{ab} = \nu C_V \Delta T / (1 - \eta).$$

2.5.30. Работа, совершаемая газом $A' = \nu RT_0$ (см. задачу 2.2.46). Количество теплоты, переданное нагревателем

$$Q_2 = Q_{ab} + Q_{da} = 3\nu(C_V - R/2)RT_0 \quad (\text{см. задачи 2.2.47, 2.2.48}).$$

2.5.31. Налагая на диаграмму сетку изотерм, убедимся, что

$$T_c > T_m > T_b > T_n > T_a.$$

Точки a, b, c принадлежат прямой $p = kV$. Следовательно,

$$\nu RT_a = p_1 V_1 = k V_1^2, \quad \nu RT_c = p_3 V_3 = k V_3^2; \quad V_3 = \sqrt{n} V_1.$$

Далее получаем значения температуры в состояниях b, m, n :

$$\nu RT_b = p_2 V_2 = k(V_1 + V_3)^2/4 = (\nu RT_a/4) (\sqrt{n} + 1)^2,$$

$$\nu RT_n = p_1 V_2 = kV_1(V_1 + V_3)/2 = (\nu RT_a/2) (\sqrt{n} + 1),$$

$$\nu RT_m = p_2 V_3 = kV_3(V_1 + V_3)/2 = (\nu RT_a/2) \sqrt{n} (\sqrt{n} + 1).$$

Работа, совершаемая в процессе $a-b-n-a$

$$A'_1 = (1/2)(p_2 - p_1)(V_2 - V_1) = (\nu RT_a/8) (\sqrt{n} - 1)^2.$$

На участке $b-c-m-b$ газ совершает работу

$$A'_2 = (1/2)(p_3 - p_2)(V_3 - V_2) = A'_1.$$

Полная работа $A' = 2A'_1$. Газ получает теплоту на участках цикла $a-b$ и $b-c$. Из первого закона термодинамики находим

$$Q_{ab} = A'/2 + Q_{nb} + Q_{an} = A'/2 + \nu C_V(T_b - T_n) + \nu C_p(T_n - T_a) = \\ = A'/2 + \nu C_V(T_b - T_a) + \nu R(T_n - T_a),$$

$$Q_{bc} = A'/2 + Q_{mc} + Q_{bm} = A'/2 + \nu C_V(T_c - T_m) + \nu C_p(T_m - T_b) = \\ = A'/2 + \nu C_V(T_c - T_b) + \nu R(T_m - T_b).$$

Полное количество теплоты, переданной за цикл

$$Q = A' + \nu C_V(T_c - T_a) + \nu R(T_n - T_b + T_m - T_b) = \nu T_a(C_V + R/2)(n - 1).$$

2.5.32. Работа, совершаемая газом в каждом цикле, имеет одно и то же значение A' . Налагая на диаграмму процесса сетку изотерм, убедимся, что в процессе $a-b-c$ температура возрастает.

Поскольку $Q_{abc} = \nu C_V(T_b - T_a) + \nu C_p(T_c - T_b) > 0$, то $Q_{ca} = -Q'_{ca} < 0$.

Следовательно,

$$\eta_1 = A'/Q_{abc}. \quad (1)$$

Из первого закона термодинамики для цикла $a-b-c-a$ имеем уравнение

$$Q_{abc} + Q_{ca} - A' = 0. \quad (2)$$

Поскольку для цикла $a-c-d-a$ количество теплоты

$$Q_{cda} = \nu C_V(T_d - T_c) + \nu C_p(T_a - T_d) < 0,$$

то $Q_{ac} > 0$.

Следовательно,

$$\eta_2 = A'/Q_{ac}. \quad (3)$$

Покажем, что $Q_{ca} = -Q_{ac}$.

Для процесса $c-a$ из первого закона термодинамики следует соотношение $U_a - U_c = Q_{ca} + A_{ca}$. Для процесса $a-c$ имеем соотношение $U_c - U_a = Q_{ac} + A_{ac}$. Поскольку $A_{ca} = -A_{ac}$, то

$$Q_{ca} = -Q_{ac}. \quad (4)$$

Из уравнений (1)–(4) получим $\eta_2 = \eta_1 / (1 - \eta_1)$.

2.5.33. Из данных рис. 2.1.27 следует, что $T_d = T_0$, $T_a = T_c = 2T_0$, $T_b = 4T_0$.

Количества теплоты:

$$Q_{ab} = \nu C_p (T_b - T_a) = 2\nu C_p T_0, \quad Q_{bc} = \nu C_v (T_c - T_b) = -2\nu C_v T_0,$$

$$Q_{cd} = \nu C_p (T_d - T_c) = -\nu C_p T_0, \quad Q_{da} = \nu C_v (T_a - T_d) = \nu C_v T_0.$$

Количество теплоты, переданной рабочему телу $Q_2 = \nu(2C_p + C_v)T_0$.

Работа $A' = p_0 V_0 = \nu RT_0$.

2.5.34. Поскольку на отрезке $[V_0, 2V_0]$ функция $T(V) = (T_0/V_0)V$, то процесс $a-b$ — изобарический: $p_a = p_b = p_0$. В состоянии c давление $p_c = p_0/2$ (см. рис. 2.5.34 б). Из первого закона термодинамики для цикла получим уравнение

$$0 = Q_{ab} + Q_{bc} + Q_{ca} - A', \quad (1)$$

$$Q_{ab} = \nu C_p (T_b - T_a) = \nu C_p T_0 > 0, \quad Q_{bc} = \nu C_v (T_c - T_b) = -\nu C_v T_0. \quad (2)$$

Из первого закона термодинамики для процесса $c-a$ получим уравнение

$$0 = Q_{ca} + A_{ca}, \quad (3)$$

КПД цикла $\eta = A'/Q_{ab}$.

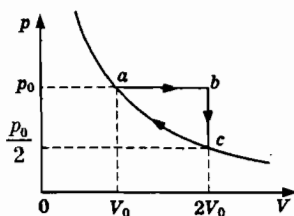


Рис. 2.5.34 б

2.5.35. Из первого закона термодинамики для цикла получим уравнение

$$0 = Q_{ab} + Q_{bc} + Q_{ca} - A', \quad (1)$$

$$Q_{bc} = \nu C_p (T_c - T_b) = -\nu C_p \Delta T, \quad Q_{ca} = \nu C_v (T_a - T_c) = \nu C_v \Delta T, \quad (2)$$

где $\Delta T = T_b - T_c$.

Из первого закона термодинамики для процесса $a-b$ получим уравнение

$$0 = Q_{ab} - A'_{ab}, \quad (3)$$

КПД цикла $\eta = A' / (Q_{ab} + Q_{ca})$.

2.5.36. Температура состояний a, b, c, d : $T_a = T_b = T_0$, $T_c = T_d = 3T_0/2$.

Работа, совершаемая газом на участках цикла

$$A'_{ab} = -3p_0V_0/2, A'_{bc} = 2p_0V_0/2, A'_{cd} = (3p_0/2)(3V_0/2), A'_{da} = -p_0V_0.$$

Работа, совершаемая газом за цикл

$$A' = A'_{ab} + A'_{bc} + A'_{cd} + A'_{da} = 3\nu RT_0/8.$$

Количество теплоты, переданное газу:

$$Q_{ab} = A'_{ab} = -3\nu RT_0/4, \quad Q_{bc} = \nu C_p(T_c - T_b) = \nu C_p T_0/2,$$

$$Q_{cd} = A'_{cd} = 9\nu RT_0/8, \quad Q_{da} = \nu C_p(T_a - T_d) = -\nu C_p T_0/2.$$

КПД цикла $\eta = A' / (Q_{bc} + Q_{cd}) \nu C_p T_0/2$.

2.5.37. Количество теплоты, переданное газом внешней среде

$$Q_1 = Q_{ba} + Q_{ad} = 3\nu RT_0/4 + \nu C_p T_0/2.$$

2.5.38. Поскольку $T_a = T_b = T_0$, $T_c = T_d$, то $2p_1V_0 = p_2V_0$, $3p_1V_0 = \nu RT_d$: $p_2 = 2p_1$, $T_d = 3T_0/2$. Из уравнения состояния для точки c находим

$$p_2V_c = 3\nu RT_0/2, \quad V_c = 3V_0/2.$$

Работа, совершаемая газом на участках цикла

$$A'_{ab} = -\nu RT_0 \ln 2, \quad A'_{bc} = \nu RT_0/2, \quad A'_{cd} = (3\nu RT_0/2) \ln 2, \quad A'_{da} = -\nu RT_0/2.$$

Работа, совершаемая газом за цикл

$$A' = A'_{ab} + A'_{bc} + A'_{cd} + A'_{da} = (\nu RT_0/2) \ln 2.$$

Количество теплоты, переданное газу:

$$Q_{ab} = A'_{ab} = -\nu RT_0 \ln 2, \quad Q_{bc} = \nu C_p T_0/2,$$

$$Q_{cd} = A'_{cd} = (3\nu RT_0/2) \ln 2, \quad Q_{da} = -\nu C_p T_0/2.$$

КПД цикла $\eta = A' / (Q_{bc} + Q_{cd})$.

2.5.39. Поскольку $T_a = T_b = T_0$, $T_c = T_d$, то из уравнения состояния для точек b, d, a, c получим соотношения $p_2V_1 = \nu RT_0$, $p_1V_3 = \nu RT_c$, $p_1V_2 = \nu RT_0$, $p_2V_2 = \nu RT_c$, из которых находим $T_c/T_0 = 4p_1/p_2$, $T_c/T_0 = p_2/p_1$.

Следовательно $T_c = 2T_0$, $V_2 = 2V_1$, $p_2 = 2p_1$. Работа, совершаемая газом за цикл равна площади трапеции $abcd$; $A' = (3V_1/2)p_1 = 3\nu RT_0/4$.

Газ получает количество теплоты

$$Q_2 = \nu C_p T_0 + Q_{cd}, \quad Q_{cd} = A'_{cd} = (3p_1/2)2V_1 = 3\nu RT_0/2.$$

КПД $\eta = A' / Q_2$.

2.5.40. Газ получает количество теплоты $Q_2 = \nu C_p T_0 + Q_{cd}$, $Q_{cd} = A'_{cd}$, и отдает внешней среде $Q'_1 = \nu C_p T_0 + Q'_{ab}$, $Q'_{ab} = A'_{ab}$. Очевидно, числитель и знаменатель КПД представляют собой величины $A' = \nu RT_0 \ln 2$, $Q_2 = \nu C_p T_0 + Q_{cd}$, где $Q_{cd} = 2\nu RT_0 \ln 2$.

2.5.41. Работа за цикл равна площади криволинейной трапеции $iabcf$: $A' = A'_{ia} + A'_{ab} + A'_{bf}$, $A'_{ia} = p_2 V_1 = \nu_1 RT_1$, $A'_{bf} = -p_1 V_2 = -\nu_1 RT_2$.

Работа в адиабатическом процессе $A'_{ab} = -\nu_1 c_v (T_2 - T_1)$. Следовательно, $A' = \nu_1 C_p (T_1 - T_2) = \nu_1 C_p T_1 [1 - (V_1/V_2)^{\gamma-1}]$.

Получим общее выражение A' в рассмотренном случае работы со сменяющимся рабочим телом

$$A' = p_2 V_1 - p_1 V_2 + \int_{V_1}^{V_2} p(V) dV. \quad (1)$$

Поскольку $d(pV) = p dV + V dp$, то из (1) находим

$$A' = - \int_{p_1}^{p_2} V(p) dp. \quad (2)$$

2.5.42. Учитывая, что $p_2 V_1 = p_1 V_2 = \nu RT_0$, получим из решения (1) задачи 2.5.41 $A' = Q_{ab} = \nu_1 RT_0 \ln(V_2/V_1)$.

Следовательно, мотор совершает работу, получая количество теплоты из окружающей среды, не используя внутреннюю энергию воздуха.

2.5.43. Согласно первому закону термодинамики имеем уравнение $0 = -Q'_{ab} + Q_{bc} + Q_{cd} - Q'_{da} - A'$. Поскольку $Q_{bc} = Q'_{da}$, то

$$0 = -Q'_{ab} + Q_{cd} - A'.$$

Если обмен теплотой в изобарических процессах считать внутренним процессом, то $Q_2 = Q_{cd}$ — КПД цикла Стирлинга совпадает с КПД цикла Карно.

2.5.44. Имеем систему уравнений $A'/Q_2 = 1 - T_1/T_2$, $A' = Q_2 - Q'_1$, $Q'_1 = \lambda m$, из которых находим $m = A' T_1 / \lambda (T_2 - T_1)$.

2.5.45. Количество теплоты, переданной рабочему телу

$$Q_1 = c_p m (t_2 - t_1) + \lambda m.$$

Холодильный коэффициент $k = T_1 / 2(T_2 - T_1)$. Работа, совершаемая двигателем $A = Q_1 / k$.

2.5.46. Доказательство следует из неравенства $A(\text{необр}) > A(\text{обр})$ и первого закона термодинамики, который выполняется для обратимых и необратимых процессов:

$$Q(\text{необр}) - Q(\text{обр}) = A(\text{обр}) - A(\text{необр}).$$

2.5.47. Для идеального газа из (2.2.3) и уравнения состояния находим $\Delta S = \nu C_V \Delta T/T + \nu R \Delta V/V$, $\nu R = kN_A$. Функция S представляет собой энтропию газа. Это понятие впервые ввел в 1864 г. выдающийся немецкий физик Р. Клаузиус. В случае изотермического процесса $S_f - S_i = kN_A \ln(V_f/V_i)$ — увеличение объема при постоянной температуре сопровождается ростом энтропии. В адиабатическом процессе энтропия системы не изменяется.

2.5.48. Согласно второму закону термодинамики приращение энтропии должно удовлетворять неравенству $\Delta S \geq \delta Q/T_c$.

2.5.50. Два тела с различными температурами T_a и T_b , приведенные в контакт, начинают обмениваться теплотой. Согласно определению $\Delta S_a = \delta Q_{ba}/T_a$, $\Delta S_b = \delta Q_{ab}/T_b$, где δQ_{ba} — количество теплоты, переданное от тела b к телу a .

Приращение энтропии системы $\Delta(S_a + S_b) = \delta Q_{ba}/T_a + \delta Q_{ab}/T_b > 0$. Поскольку $\delta Q_{ab} = -\delta Q_{ba}$, то $\delta Q_{ba}(T_b - T_a)/T_a T_b > 0$. Таким образом, мы видим, что количество теплоты $\delta Q_{ba} > 0$, если $T_b > T_a$, и наоборот.

Глава III. МЕХАНИКА ЖИДКОСТЕЙ И ГАЗОВ

3.1. Гидростатика и аэростатика

3.1.1. Это предложение лишено смысла, т.к. давление является функцией координат (и времени). Правильное утверждение — давление в точке. «Давление на стенку» — синоним утверждения «скорость за час».

3.1.2. А. Это утверждение представляет собой закон Паскаля в наиболее корректной формулировке.

Б. Давление — скаляр, понятие направление скаляра не существует.

В. Давление — функция координат. Давление $p(x, y, z)$ в точке x, y, z определяется в результате вычисления предела

$$p(x, y, z) = \lim_{\Delta S \rightarrow 0} \frac{\vec{n} \Delta \vec{F}}{\Delta S},$$

где $\Delta \vec{F}$ — сила, действующая на элементарную площадь ΔS , ориентированную в направлении единичного вектора \vec{n} .

Г. Давление как и сила не может передаваться. В среде не «передается», а распространяется звук, т.е. волна деформации, проявляющая себя как волна давления, плотности или температуры.

Д. Давление не «действует». Действует сила.

3.1.3. Поскольку гидростатическим давлением можно пренебречь, то согласно закону Паскаля в произвольно выбранной точке масла $p = F_1/S_1 = F_2/S_2$. Из уравнения непрерывности для несжимаемой жидкости имеем $h_2 S_2 = h_1 S_1$.

Гидравлический пресс, создающий давление 160 МПа, сжимает металлический контейнер с мусором объемом 250 л в течение нескольких секунд в диск толщиной 20 см.

3.1.4. Чаша весов со стаканом перетянет. Согласно закону Паскаля поверхностные силы создают давление одинаковое в любой точке воды — сила давления на дно стакана увеличится.

3.1.5. С формальной стороны все понятно. Гидростатическое давление на уровне дна ρgh и, следовательно, сила давления на дно $F = \rho ghS$ не зависит от формы сосуда. Попытаемся истолковать это утверждение. В случае v давление создается только весом воды объемом равным объему первого сосуда. Сила давления остальной части воды

уравновешивается силой реакции горизонтальных участков стенок сосуда. В случае *b* давление в точках дна, расположенных под горизонтальными участками стенок, равно сумме гидростатического давления ρgh_2 и давления ρgh_1 , создаваемого поверхностной силой, приложенной к сечению горлышка, которое согласно закону Паскаля одинаково во всех точках нижней части сосуда (рис. 3.1.5 б). Следовательно, давление во всех точках поверхности дна $\rho gh_2 + \rho gh_1 = \rho gh$.

На уровне h_2 на горизонтальный участок стенки площадью S_2 действует со стороны воды, находящейся в горлышке, направленная вверх сила величиной $F_2 = \rho gh_1 S_2$. Эта сила приводит к деформации стенки и согласно третьему закону Ньютона на воду, действует сила реакции величиной $\rho gh_1 S_2$, направленная вниз. Складывая силу реакции и вес воды в нижней части сосуда, получим силу давления на часть дна площадью S_2 :

$$\rho gh_1 S_2 + \rho gh_2 S_2 = \rho gh S_2.$$

Величина силы давления воды на часть дна площадью S_1 , расположенной под горловиной $\rho gh S_1$. Поскольку $S_1 + S_2 = S$, то величина полной силы давления равна $\rho gh S$.

Если у сосуда, горлышко достаточно узко, то небольшим количеством воды можно создать большое давление внутри сосуда. Например, полстакана воды достаточно, чтобы поднять человека массой 60 кг. Для этого присоединим резиновую трубку к грелке размерами 30 см × 20 см, нальем некоторое количество воды в грелку и в трубку и, встав на доску, положенную на грелку, продолжим приливать воду. Если длина трубки 1 м, площадь сечения 1 см², то давление в грелке $p = 9,8$ кПа. Величина силы давления на верхнюю поверхность грелки $F = 60 \cdot 9,8$ Н. Эта сила давления создается всего лишь 100 г воды в трубке. Очевидно, грелка с трубкой представляет собой систему типа гидравлического пресса.

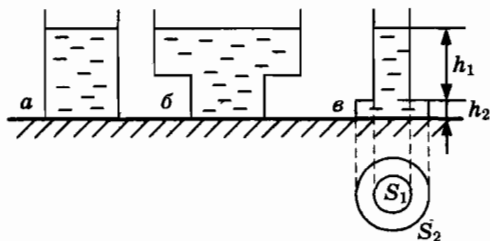


Рис. 3.1.5 б

3.1.6. Пусть пластинка находится на глубине h , площадь нижнего основания конуса равна S . Сумма сил действующих на пластинку равна нулю:

$$(p_{ар} + \rho gh)S - p_{ар}S - N = 0.$$

Сила реакции $N = \rho ghS$ численно равна весу воды в объеме цилиндра высотой h с площадью основания S . Если влить такое количество воды, то она займет объем конуса высотой $h_1 < h$. Сила реакции станет равной $N_1 = \rho g(h - h_1)S > 0$. Следовательно, пластинка не отпадет.

3.1.7. Столбик воды в трубке создает давление одинаковое в любой точке сосуда, равное согласно закону Паскаля $p_2 = \rho gh_2$. Сила давления на крышку сосуда $F = p_2(S_1 - S_2)$. Давление на уровне дна $p = \rho g(h_1 + h_2)$, сила давления на дно $N = \rho g(h_1 + h_2)S_1$.

3.1.8 В любой точке несжимаемой жидкости условие равновесия имеет вид

$$\rho gz + p(z) = \text{const},$$

где $p(z)$ — давление в точке, z — координата элементарной частицы жидкости (ось z направлена вертикально вверх).

Из условия равновесия следует уравнение $p_{ар} + \rho gH = p_1 + \rho gh_1$.

3.1.9. Из условия равновесия следует уравнение

$$p_1 + \rho_{вр}gl_2 = p_2 + \rho_{вр}gl_1.$$

3.1.10. Направим ось z параллельно земной поверхности, начало координат поместим в центр сферы. На полусферу действуют сила натяжения троса $8\vec{G}$; сила давления воздуха \vec{F} и сила реакции \vec{N} со стороны другой полусферы.

Из условия равновесия имеем уравнение $8G + N + F_z = 0$. Разобьем поверхность полусферы на s элементарных площадок, ориентированных перпендикулярно поверхности в направлении единичного вектора \vec{n}_k ($k = 1, 2, \dots$). Сила давления, действующая на элементарную площадку площадью ΔS , равна

$$\Delta \vec{F}_k = -(p_{ар} - p_{ин})\Delta S \vec{n}_k, \quad \Delta S = 2\pi R^2 \sin\theta \Delta\theta,$$

где θ — угол между радиус-вектором точки на сфере и осью z .

Сумма всех элементарных сил равна

$$\vec{F} = (0, 0, F_z), \quad F_z = -2(p_{ар} - p_{ин})\pi R^2 \int_0^{\pi/2} d\theta \sin\theta \cos\theta, \quad F_z = -(p_{ар} - p_{ин})\pi a^2.$$

Поскольку при отрыве полусфер $N = 0$, то $p_{ин} = p_{ар} - 8G/\pi a^2$.

3.1.11. Для того, чтобы выделить в этом эксперименте существенные детали, положим массы стакана и картона равными нулю. На рис. 3.1.11 *a* изображены силы, действующие на стакан с картонкой как целое тело: \vec{F}_T , \vec{F}'_T , \vec{N} , \vec{N}' — силы трения и давления со стороны руки.

На поверхность дна стакана и картонку действуют силы атмосферного давления величиной $F_{\downarrow} = p_{at}S$, $F_{\uparrow} = p_{at}S$. На воду действует сила тяжести $m\vec{g}$ и силы реакции.

Перечислим силы, действующие на картонку: \vec{R} — сила реакции ободка стакана, $\vec{P} = m\vec{g}$ — сила веса воды и сила атмосферного давления величиной $F_{\uparrow} = p_{at}S$ (рис. 3.1.11 *б*).

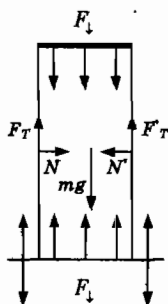


Рис. 3.1.11 *a*

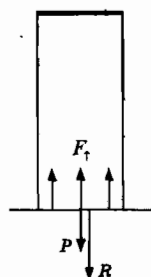


Рис. 3.1.11 *б*

Поскольку сумма сил равна нулю, то $R = p_{at}S - mg = \rho g(p_{at}/\rho g - H)S$. Очевидно пока высота стакана $H < h_0$, $h_0 = 10,33$ м вода не вытечет. Разумеется, необходимо учесть массу картонки.

3.1.12. А. На рис. 3.1.12 изображены силы, действующие на поршень: \vec{F} — внешняя сила со стороны руки, \vec{F}_{\downarrow} — сила атмосферного давления ($F_{\downarrow} = p_{at}S$), \vec{N} — сила реакции со стороны воды.

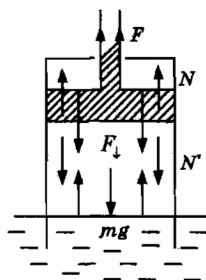


Рис. 3.1.12

Поскольку сумма сил равна нулю, то

$$F + N - p_{\text{ат}}S = 0. \quad (1)$$

Теперь перечислим силы, действующие на воду под поршнем:

\vec{N}' — сила давления поршня на воду ($N' = N$), $m\vec{g}$ — сила тяжести, \vec{F}_{\uparrow} — сила атмосферного давления ($F_{\uparrow} = p_{\text{ат}}S$). Очевидно

$$p_{\text{ат}}S - N - mg = 0. \quad (2)$$

Из (1), (2) находим

$$F = mg, \quad N = p_{\text{ат}}S - mg = \rho_{\text{в}}g(p_{\text{ат}}/\rho_{\text{в}}g - H)S,$$

где H — высота столба воды.

Если $H < h_0$, $h_0 = p_{\text{ат}}/\rho_{\text{в}}g$, то $N > 0$: при перемещении поршня вода поднимается.

Б. Сила реакции, действующая на поршень со стороны воды обращается в нуль при значении высоты столба воды $h_0 = 10,332$ м — результат, известный еще древним шумерам, жившим в третьем тысячелетии до н. э.

3.1.13. Пусть h — высота уровня воды в сосуде Б. Согласно условию равновесия (3.1.3) имеем уравнение $p_{\text{ат}} + \rho gh = p_A + \rho g(h + H)$.

3.1.14. На трубку действуют сила натяжения нити, направленная вверх, сила тяжести и сила атмосферного давления $\vec{F}_{\text{ат}}$, направленная вниз; $F_{\text{ат}} = p_{\text{ат}}S$, S — площадь поперечного сечения трубки. Поскольку $p_{\text{ат}} = \rho_{\text{в}}gH$, то $F_{\text{ат}} = Mg$.

3.1.15. Введем ось x , направленную вертикально вниз с началом на поверхности воды. Величина силы, действующей на прямоугольную элементарную площадку высотой Δx , шириной L , расположенную на глубине x , равна $\Delta F = \rho gxL\Delta x$ или $\Delta F = y(x)\Delta x$, $y(x) = \rho gLx$. Построим график функции $y(x) = \rho gLx$ — прямую, выходящую из начала координат, и убедимся, что при $\Delta x \ll H$ величина ΔF представляет собой площадь прямоугольника (рис. 3.1.15). Поэтому сила, действующая на стенку плотины, равна площади треугольника «высотой» ρgLH и длиной основания H равна $F_0 = \rho gLH^2/2$.

Величина силы, действующей на часть стенки, расположенную между дном плотины и горизонтальным уровнем на расстоянии z от дна, равна площади трапеции: $F(z) = \rho gL(2H - z)z/2$. Положим $z = H/4$. В этом случае $F(h) = 7F_0/16$. Следовательно, нижняя четверть стенки должна выдержать почти половину всей нагрузки. По этой причине нижнюю часть плотины делают более массивной.

3.1.16. Введем систему координат xyz с началом в точке пересечения оси полуцилиндра и поверхности воды (рис. 3.1.16). Ось z направим вертикально вниз. На элемент площади поверхности $\Delta S = R\Delta\varphi\Delta z$ действует сила $\Delta\vec{F} = p\Delta S\vec{n}$, где $p = \rho gz$ — гидростатическое давление, \vec{n} — единичный вектор на поверхности. Проекция силы на ось x равна $F_x = \rho g R \int_0^H dz \int_{-\pi/2}^{\pi/2} d\varphi \cos\varphi$, $F_x = \rho g R H^2$.

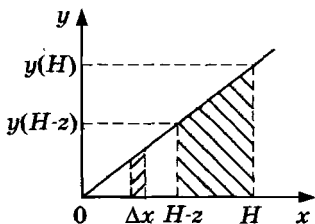


Рис. 3.1.15

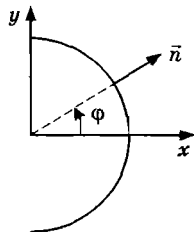


Рис. 3.1.16

3.1.17. Из условия сохранения массы ртути находим, что уровень ртути в широком сосуде уменьшится на $x/2$. Давление на уровне ртути h в широком сосуде равно давлению на уровне h в узком сосуде: $\rho_{рт}g(3x/2) = \rho_{рт}g(a + x/2)$.

3.1.18. Пусть h — расстояние от дна до первоначального уровня ртути в сосудах. Нижние уровни воды в первом и третьем сосудах $z_1 = h - b_1$, $z_3 = h - b_3$, уровень ртути во втором сосуде $z_2 = h + h_2$. Из закона сохранения массы получим уравнение $h_2 = b_1 + b_3$. Поскольку давление на уровне дна p_0 одинаково, то

$$p_0 = p_{ат} + \rho_{рт}(h - b_1) + \rho_{в}h_1 = p_{ат} + \rho_{рт}(h + h_2) = p_{ат} + \rho_{рт}(h - b_3) + \rho_{в}h_3.$$

Из полученных уравнений находим $h_2 = \rho_{в}(h_1 + h_3)/3\rho_{рт}$.

Интересно исследовать частные случаи.

Положим, например, $h_1 = h$, $h_3 = 2h$. Тогда $h_2 = \rho_{в}h/\rho_{рт}$, $b_1 = 0$, $b_3 = h_2$.

При значениях $h_1 = h$, $h_3 = 3h$ получим

$$h_2 = 4\rho_{в}h/3\rho_{рт}, \quad b_1 = -\rho_{в}h/3\rho_{рт}, \quad b_3 = 5\rho_{в}h/3\rho_{рт}.$$

3.1.19. Направим ось z вертикально вверх, начало координат поместим на уровне дна. Запишем условие равновесия слоя воды. Для частиц на свободной поверхности воды и дна из (3.1.4) следует уравнение $p_{ат} + \rho_{в}gh_1 = p_0$. Из условия равновесия нефти на уровнях дна $h = 0$ и h_2 получим аналогичное уравнение $p_{ат} + \rho_{н}gh_2 = p_0$. Следова-

тельно, $\rho_n h_1 = \rho_n h_2$. Для того, чтобы определить направление перетекания жидкостей, найдем разность давлений нефти и воды $p_n - p_w$ на уровне $z = h$. Записывая условия равновесия частиц воды и нефти получим из (3.1.4) два уравнения:

$$p_{at} + \rho_w g h_1 = p_w + \rho_w g h, \quad p_{at} + \rho_n g h_2 = p_n + \rho_n g h.$$

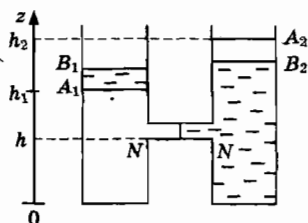


Рис. 3.1.19.

Поскольку $p_n - p_w = (\rho_n - \rho_w)gh > 0$, то через открытый кран часть нефти перетечет в сосуд с водой и всплывет (рис. 3.1.19). Пусть толщина слоя перетекшей нефти равна x . На уровне h в состоянии равновесия давление p , создаваемое слоями нефти и воды в левом сосуде, равно давлению p нефти в правом сосуде. Записывая условие равновесия (3.1.4) частиц нефти на уровнях B_1 и A_1 и воды на уровнях A_1 и N , получим уравнения

$$p_{at} + \rho_w g(h_1 + x) = p_1 + \rho_w g h_1, \quad (1)$$

$$p_1 + \rho_w g h_1 = p + \rho_w g h, \quad (2)$$

из которых найдем $p = p_{at} + \rho_w g x + \rho_w g(h_1 - h)$.

Из условия равновесия частиц нефти на уровнях B_2 и N имеем $p_{at} + \rho_n g(h_2 - x) = p + \rho_n g h$. Из двух последних уравнений, учитывая соотношение $\rho_w h_1 = \rho_n h_2$, находим $x = (h_2/h_1 - 1)h/2$, $x = 1$ м.

3.1.20. Обозначим p_a и p_b давления в точках шланга a и b , атмосферное давление — p_0 . Согласно условию равновесия (3.1.3) имеем уравнения $p_a + \rho_w g h_1 = p_0$, $p_b + \rho_w g h_2 = p_0$.

Следовательно, $p_a - p_b = \rho_w g(h_2 - h_1) > 0$ — вода перетекает. Но если зазор между торцом шланга, погруженного в сосуд A , и водой порядка $м.м.$, то пузырьки воздуха попадают в шланг и процесс перетекания прекращается.

Сифон «без трубки». Французский ученый, лауреат Нобелевской премии по физике (1991 г.) Пьер-Жиль де Жен в своей книге «Хрупкие объекты» (М. «Мир», 2000) описывает удивительный опыт. До-

бавим в воду один из растворимых полимеров — полиоксиэтилен (полиокс) из расчета один грамм на десять литров воды. Теперь, даже если конец шланга находится на расстоянии 20 см от поверхности воды в сосуде *A*, сифон работает! Растворенные в воде молекулы полиокса сворачиваются в клубок. Но, подхваченные течением, выпрямляются, образуют структуру типа резины и «увлекают» за собой воду (рис. 3.1.20 б). Попробуйте повторить этот опыт.

3.1.21. В системе отсчета, связанной с баком, эффективное ускорение свободного падения $\vec{g}_{эф} = \vec{g} - \vec{w}$. Поэтому поверхность воды представляет собой плоскость, перпендикулярную вектору $\vec{g}_{эф}$ и образует угол α , с горизонтальной плоскостью, $\text{tg}\alpha = w/g$ (рис. 3.1.21). Поверхность воды пересекает боковые грани бака на расстояниях $b_{1,2} = L[1 \pm (1/2)\text{tg}\alpha]$ от плоскости основания бака.

Поскольку давление воды в некоторой точке на глубине h_k равно $p(h_k) = p_{ат} + \rho g_{эф} h_k$, $g_{эф} = \sqrt{g^2 + w^2}$, то давление максимально в точке *A*: $p_A = p_{ат} + \rho g h_m$, $h_m = AC$, $AC = b_2 \cos\alpha$.

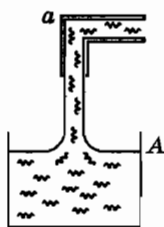


Рис. 3.1.20 б

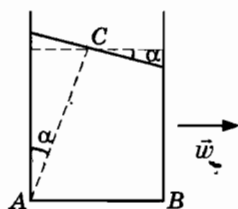


Рис. 3.1.21

3.1.22. На надутый шарик действуют сила тяжести шарика с воздухом и выталкивающая сила. Выталкивающая сила равна весу воздуха в шаре. Этот опыт служил «доказательством» того, что воздух не имеет «веса».

3.1.23. В каждом случае сила Архимеда одинакова. (Согласно условию плавания в каждом случае величина силы Архимеда равна величине силы тяжести, действующей на кусок пробки.)

3.1.25. Сумма сил, давления, действующие на цилиндр в горизонтальном направлении, равна нулю. Перечислим силы, действующие в вертикальном направлении. На верхнюю половину цилиндра действует сила тяжести, сила давления воды \vec{F}_d , сила давления воздуха в аппарате и сила реакции \vec{N} .

Поскольку сумма сил равна нулю, то

$$-mg/2 - [p_{\text{ат}} + \rho g(H - d/2)]S + p_{\text{ат}}S + N = 0. \quad (1)$$

На нижнюю половину цилиндра действует сила тяжести, сила давления воды \vec{F}_{\uparrow} , сила давления воздуха в аппарате и сила реакции \vec{N}' ($N = N'$). Следовательно,

$$-mg/2 + [p_{\text{ат}} + \rho g(H + d/2)]S - p_{\text{ат}}S - N = 0. \quad (2)$$

Из (1), (2) следует условие плавания $-mg + \rho g d S = 0$ и значение силы реакции $N = \rho g H S$. Полагая $d = 2$ м, $S = 5$ м², $h = 200$ м, получим $N = 2\,000$ тс.

При погружении подводной лодки до глубины 200 м становится заметной деформация: слышно — корпус трещит или точнее — глухо скрипит. Положение равновесия лодки неустойчиво поскольку при деформации корпуса «плотность» лодки возрастает. В Северном Ледовитом океане особенно опасны чередования прослоек: пресные-соленые, теплые-холодные. Лодка может неожиданно рвануться вверх или провалиться и разбиться о дно.

3.1.26–3.1.27. Величина выталкивающей силы $F = mg = \rho g d S$. На нижнюю половину цилиндра действует сила тяжести, сила давления воды \vec{F}_{\uparrow} , сила давления воздуха в аппарате и сила реакции \vec{N} , сумма которых равна нулю: $-mg/2 + [p_{\text{ат}} + \rho g(H + d/2)]S - p_{\text{ат}}S - N = 0$. Следовательно, $N = \rho g H S = FH/d$. Величина силы давления на дно

$$F_L = \rho g(H + d/2)S = F(H/d + 1/2).$$

3.1.28. Сумма сил, действующих на обе половины сферы

$$\vec{F} = -\rho g(4\pi a^3/3) \vec{g} / g.$$

3.1.29. Эта проблема, относящаяся к так называемым обратным задачам, впервые решена Архимедом. Решение пришло Архимеду внезапно, когда он принимал ванну. По легенде он с криком «Нашел! Нашел!» — на греческом языке «Эврика» — побежал по улице. Так был открыт первый закон в истории физики.

Предположим, что корона сделана из сплава золота и серебра, плотности которых ρ_3 и ρ_c . Вначале взвешивая сплав, определим массу сплава $m = m_3 + m_c$. Затем погрузим сплав в воду и взвесим его с помощью динамометра. Показание динамометра $P = mg - \rho_w V$. Учитывая, что $m_3 = \rho_3 V_3$, $m_c = \rho_c V_c$, получим

$$P = mg - \rho_w g \left(\frac{m - m_c}{\rho_3} + \frac{m_c}{\rho_c} \right). \quad (1)$$

Если взвесить в воде массу m чистого золота, то вес

$$P' = mg - \rho_g \frac{m}{\rho_s}. \quad (2)$$

Из (1), (2) находим

$$P' - P = \rho_s m g \left(\frac{1}{\rho_c} - \frac{1}{\rho_s} \right) > 0. \quad (3)$$

Если выполняется неравенство $P' > P$, то сплав содержит серебро.

3.1.30. Из условия плавания следуют уравнения

$$\rho_g V/5 - Mg = 0, \quad \rho_g V - (M + m)g = 0.$$

3.1.31. Пусть S — площадь поперечного сечения сосуда, V — объем плитки. Из условия плавания плитки получим уравнение $m_0 = \rho_s V_n$, где V_n — объем погруженной части плитки, который можно представить в виде $V_n = h_1 S$. При погружении плитки в воду $V - V_n = h_2 S$. Следовательно, $V/V_n - 1 = h_2/h_1$. Из условия плавания плитки с грузом находим $\rho_s V - (m + m_0) = 0$.

Масса груза $m = m_0(\rho_s V/m_0 - 1) = m_0(V/V_n - 1) = m_0 h_2/h_1$, $m = 4$ кг.

3.1.32. А. Пусть плотность тела $\rho < \rho_s$. В этом случае тело плавает: $mg = \rho_s g V_{\text{погр}}$. Приращение уровня воды находим из уравнения $\Delta h S = V_{\text{погр}}$. Сила давления на дно $F = \rho_s g (h_0 + \Delta h) S = \rho_s g h_0 S + mg$ возрастет на величину mg .

Б. Пусть плотность тела $\rho > \rho_s$. В этом случае тело утонет. Приращение уровня воды найдем из уравнения $\Delta h S = V$ или $\Delta h = m/\rho S$. Сила давления на дно равна силе давления воды $\rho_s g (h_0 + \Delta h) S$ и веса тела $P = mg - F_{\text{выт}} = mg - \rho_s g V$. Следовательно, сила давления на дно $F = \rho_s g h_0 S + mg$ как и в предыдущем случае.

3.1.33. А. Груз сняли. В этом случае $\Delta h = -m/\rho_s S$.

Б. Груз сняли и опустили в воду. Если груз плавает, то положение уровня воды не изменится. Если же груз утонет, то он вытеснит объем воды $V = m/\rho_s$. Приращение уровня $\Delta h = \frac{m}{S} \left(\frac{1}{\rho_r} - \frac{1}{\rho_s} \right) < 0$.

3.1.34. В качестве модели лодки выберем тонкостенный параллелепипед массой m , высотой H , площадью основания S (рис. 3.1.34 а). До начала протекания глубину погружения лодки h найдем из условия плавания $mg - \rho_s g S h = 0$. Если $h = H$, то вода начнет заполнять лодку и она затонет (рис. 3.1.32 б). Если $h < H$, то максимальная мас-

са воды M , которая может затечь в лодку, определяется из уравнения $M = \rho_n(H - h)S$.

Очевидно, лодка вытесняет объем воды, больший первоначально, на величину $(H - h)S$ в результате проникновения через отверстия такого же объема воды. Следовательно, уровень воды в бассейне при погружении до глубины H остается постоянным. Однако после этого события вода начинает быстро заливать лодку и она затонет. Уровень воды в бассейне понизится. Вот почему образуются водовороты в месте затопления судна, получившего пробоину.

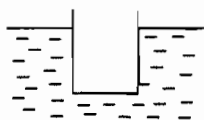


Рис. 3.1.34 а



Рис. 3.1.34 б

3.1.35. Очевидно, необходимо сравнить объемы погруженной части льда V_n и образовавшейся после таяния воды V_n . Из условия плавания находим $V_n = \rho_n V_n / \rho$, где V_n — объем куска льда.

Значение V_n найдем из закона сохранения массы в процессе таяния: $V_n = \rho_n V_n / \rho_n$. Искомая разность $\Delta V = V_n - V_n = (1/\rho_n - 1/\rho)\rho_n V_n$.

Возможны три ситуации.

1. Лед плавает в воде. В этом случае $\Delta V = 0$ — уровень воды в сосуде не изменится.

2. Лед плавает в соленой воде плотностью $\rho > \rho_n$. Тогда $V_n < V_n$, уровень смеси повысится.

3. Лед плавает в масле плотностью $\rho < \rho_n$. В этом случае $V_n > V_n$, уровень смеси понизится.

3.1.36. Очевидно, слой керосина находится на поверхности воды. Пусть $V_{лв}$ — объем льда в воде, $V_{лк}$ — объем льда в керосине. Объем погруженной части льда

$$V_n = V_{лв} + V_{лк}. \quad (1)$$

Условие плавания льда

$$\rho_n V_{лв} + \rho_k V_{лк} = \rho_n V_n, \quad (2)$$

После таяния льда

$$\rho_n V_n = \rho_n V_n, \quad (3)$$

где V_n — объем образовавшейся воды. Из (1)–(3) получим

$$V_n = V_{лк} (1 - \rho_k / \rho_n) + V_n > V_n.$$

Следовательно, верхний слой керосина понизится. Из (1) следует, что $V_{\text{н}} = V_{\text{в}} - (\rho_{\text{к}}/\rho_{\text{в}})V_{\text{ж}} < V_{\text{в}}$, т.е. нижний слой керосина повысится.

3.1.37. На рис. 3.1.37 б изображены силы, действующие на каждый шар. Из условия равновесия получим уравнения

$$\rho_{\text{г}}gV/2 - mg + T\sin\alpha = 0, \quad (1)$$

$$N_1 - T\cos\alpha = 0, \quad (2)$$

$$\rho_{\text{г}}gV - mg - T\sin\alpha = 0, \quad (3)$$

$$-N_2 + T\cos\alpha = 0. \quad (4)$$

Из соответствующего треугольника найдем $\sin\alpha = 1/2$, $\alpha = \pi/6$.

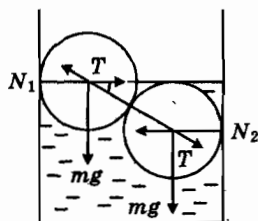


Рис. 3.1.37 б

3.1.38. Условие плавания бревна $\rho_{\text{г}}V_1 - Mg = 0$. Из рис. 3.1.38 следует, что площадь поперечного сечения бревна на уровне поверхности воды $S = 2L\sqrt{R^2 - h^2}$.

Условие плавания бревна с уткой $\rho_{\text{г}}V_2 - (M + m)g = 0$. Следовательно, $V_2 - V_1 = m/\rho$.

Оценим теперь максимальную величину выталкивающей силы, действующей на бревно: $F = \pi R^2 L \rho g = 314$ Н. Поскольку $mg = 9,8$ Н, то $\Delta h \ll h$. Поэтому приращение погруженного объема $V_2 - V_1 \approx S \Delta h$.

3.1.39. А. Плотность тела $\rho = 0,5 \cdot 10^3$ кг/м³.

Б. Плотность тела $\rho = 1,5 \cdot 10^3$ кг/м³. Величина выталкивающей силы $F = \rho_{\text{г}}gV$, $F = 19,6$ Н.

3.1.40. Когда человек стоит на доске, то на нее действуют сила реакции в точке O , сила тяжести доски, сила веса человека и выталкивающая сила. Точка приложения выталкивающей силы находится на расстоянии $s + (L - s)/2$ от оси вращения.

Пусть S – площадь поперечного сечения доски. Из условия равенства нулю суммы моментов сил относительно оси, проходящей через точку O , получим уравнение

$$mgs + MgL/2 - \rho_{\text{г}}Sg(L^2 - s^2)/2 = 0. \quad (1)$$

Полагая согласно условию $m = 0$, $s = L/2$, находим $M = 3\rho_s SL/4$. Подставляя S в (1), получим квадратное уравнение

$$ms + ML/2 - (2M/3)L[1 - (s/L)^2] = 0. \quad (2)$$

Из (2) находим $s = \frac{L}{4M}(\sqrt{9m^2 + 4M^2} - 3m)$.

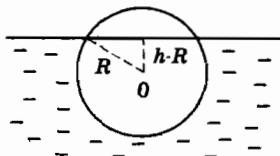


Рис. 3.1.38

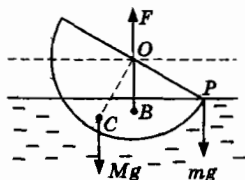


Рис. 3.1.41 б

3.1.41. Очевидно угол α на рис. 3.1.41 а равен $\pi/6$. На понтон действуют сила тяжести, сила веса частицы и выталкивающая сила, приложенная в точке B (рис. 3.1.41 б). Поскольку в двух случаях система находится в равновесии, то объем погруженной части не изменяется. Из условия равенства нулю суммы моментов сил относительно оси, проходящей через точку O , получим уравнение

$$Mg \sin \alpha - mg R \cos \alpha = 0.$$

Отметим, что при условии $OC < OB$ система также находится в состоянии устойчивого равновесия.

3.1.42. В условии равновесия элементарной массы воды

$$\rho(\vec{g} - \vec{w})\Delta\vec{r} - \Delta p = 0$$

выберем ось z направленную вертикально вниз.

В результате получаем $p(h) = p_{\text{ат}} + \rho_{\text{н}}(g - w)h$.

3.1.43. Запишем условие равновесия для двух случаев:

$$0 = mg - \rho_{\text{н}}(3V/5)g, \quad mw = mg - \rho_{\text{н}}V_{\text{н}}(g - w) \rightarrow V_{\text{н}} = 0,6V.$$

3.1.44. В неинерциальной системе отсчета выталкивающая сила направлена параллельно вектору $\vec{g}_{\text{эф}} = -(\vec{g} - \vec{w})$, где \vec{w} — центростремительное ускорение банки в инерциальной системе отсчета.

3.1.45. Величина подъемной силы F равна разности выталкивающей силы — веса воздуха, вытесненного шаром, и «веса» воздуха в шаре: $F = \rho_{\text{г}}gV - \rho_{\text{в}}gV = gV(1/T_1 - 1/T_2)\rho M_{\text{н}}/R$.

Из условия $F > mg$, находим $V > V_0$, $V_0 = mRT_1T_2/[pM_{\text{н}}(T_2 - T_1)]$, $V_0 = 255 \text{ м}^3$.

3.1.46. Величина подъемной силы F равна разности веса воздуха, вытесненного шаром, и «веса» гелия:

$$F = \rho_{\text{в}} g V - \rho_{\text{г}} g V = \rho g V (M_{\text{в}} - M_{\text{г}}) / RT.$$

Подставляя $M_{\text{в}} = 0,029$ кг/моль и $M_{\text{г}} = 0,004$ кг/моль, получим $F = 10,1$ Н.

3.1.48. Облако не плавает, а незаметно опускается. На отдельную каплю действуют сила тяжести, выталкивающая сила и сила сопротивления со стороны воздуха, сумма которых при установившемся движении капли достаточно малых размеров равна нулю. Поэтому облако не плавает, а незаметно опускается к земле с постоянной скоростью — облако «тонет» в воздухе. Капли большей величины падают на землю в виде дождя.

3.1.49. Закон Стокса дает удовлетворительную точность при значениях числа Рейнольдса $Re \ll 5$, $Re = 2av\rho/\eta$, ρ — плотность воздуха. Из второго закона Ньютона получим уравнение $0 = mg - 6\pi\eta v_0$, или $0 = m(g - v_0/\tau)$, $v_0 = g\tau$, $\tau = m/(6\pi\eta a) = 2\rho a^2/(9\eta)$, ρ — плотность воды.

Пусть на высоте $h = 600$ м образовалась капля радиусом $a = 6$ мкм. Величина $\tau = 2\rho a^2/9\eta$, $\tau \approx 4,4 \cdot 10^{-4}$ с. Установившаяся скорость падения капли $v_0 = 2\rho g a^2/9\eta$. Следовательно, капля достигнет поверхности Земли за интервал времени $T = h/v_0 = 37,5$ часов.

Таким образом, капля падает настолько медленно, что за время падения может испариться или, попадая, в восходящий поток воздуха, снова подняться. Лишь когда капли имеют радиус $\sim 0,1$ – $0,2$ мм, то они падают на Землю в виде дождя.

3.1.50. На каплю действуют сила тяжести, сила сопротивления воздуха и выталкивающая сила. Согласно второму закону Ньютона получим уравнение $0 = m\vec{g} - 6\pi\eta a\vec{v} + \vec{F}$.

Подставляя в уравнение $0 = mg - 6\pi\eta av_0 - 4\pi a^3 \rho g/3$ значение массы $m = 4\pi\rho a^3/3$, получим $a = (9\eta v_0/2g\rho_0)^{1/2}$, где $\rho_0 = \rho - \rho_{\text{в}}$; ρ , $\rho_{\text{в}}$ — плотности воды и воздуха. Масса капли $m = (4\pi\rho/3) (9\eta v_0/2g\rho_0)^{3/2}$.

3.1.51. Устойчивому состоянию пленки соответствует наименьшее значение поверхностной энергии. При заданной длине нити дырка образует отверстие максимальной площади — круг (рис. 3.1.51). На рис. 3.1.51 изображен элемент нити длиной Δl , точка O — центр круга радиусом R . Угол aOc равен $\Delta\varphi = \Delta l/R$, $\Delta\varphi \ll 1$. На элемент нити действуют силы натяжения \vec{T}_1 и \vec{T}_2 со стороны соседних участков нити, величины которых $T = \alpha\Delta l$ и сила поверхностного на-

тяжения, величиной $\Delta F = 2\alpha\Delta l$. Очевидно, что сумма сил натяжения направлена к центру круга. Вычисляя сумму проекций, найдем величину силы $\Delta F = 2T\sin(\Delta\varphi/2) \approx T\Delta\varphi$. Следовательно, $T = \alpha l/\pi$.

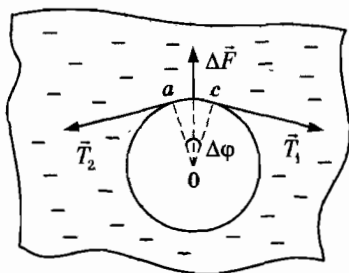


Рис. 3.1.51

3.1.52. Для определения давления p , создаваемого поверхностным натяжением в капле жидкости радиуса R , рассмотрим систему, состоящую из капли и пара. На рис. 3.1.52 *a* изображен элемент поверхности капли в виде криволинейного квадрата с длиной стороны Δl , середины сторон обозначены буквами a, b, c, d , точка O — центр шара, расстояние $OM = R$. Углы между отрезком OM и отрезками Oa, Ob, Oc и Od одинаковы и равны $\varphi = \Delta l/2R$, $\varphi \ll 1$. На каждую сторону квадрата действует сила натяжения величиной $\Delta F = \alpha\Delta l$. На рис. 3.1.52 *б* изображено сечение, проходящее через точки O, a, c . Очевидно, что сумма сил натяжения \vec{G} направлена к центру шара.

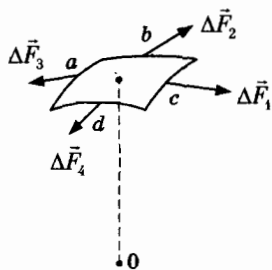


Рис. 3.1.52 *a*

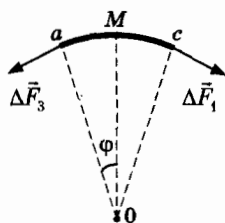


Рис. 3.1.52 *б*

Вычисляя сумму проекций на направление OM , найдем величину силы $G = 4\alpha\Delta l\sin\varphi \approx 4\alpha\Delta l\varphi = (2\alpha/R)\Delta S$, где $\Delta S = (\Delta l)^2$. Следовательно, давление $p = 2\alpha/R$. Эта величина равна разности давления в жидкости $p_{ж}$ и давления пара $p_{п}$: $p = p_{ж} - p_{п}$, или

$$p_{ж} = p_{п} + 2\alpha/R. \quad (1)$$

Получим теперь этот результат, вычисляя работу, совершаемую внешней средой, $\delta A = -(p_n - p_w)\Delta V$ при увеличении радиуса шара на ΔR . Поскольку $V = 4\pi R^3/3$, то $\delta A = -(p_n - p_w)4\pi R^2\Delta R$. С другой стороны, $S = 4\pi R^2$, и работа, совершаемая внешними силами при создании новой поверхности площади ΔS равна $\delta A = \alpha\Delta S = \alpha 8\pi R\Delta R$. Приравняв оба выражения, получим (1).

Соотношение (1) называют формулой Лапласа — выдающегося математика и физика, который в 1806–1807 гг. разработал теорию капиллярных явлений.

3.1.53. Выберем ось z с началом на уровне воды, направленную вертикально вверх. Согласно (3.1.3), (3.1.6) для частиц воды вблизи мениска на уровне $z = h$ имеем уравнения $\rho gh + p_n = \text{const}$, $p_n = p_i - 2\alpha/a$. Для частиц воды на уровне $z = 0$ из (3.1.3) получим $p_0 = \text{const}$.

Следовательно, $h = 2\alpha/(\rho ga) + (p_0 - p_i)/\rho g$. Характерный параметр $\alpha/\rho g = 7,43 \cdot 10^{-6} \text{ м}^2$ (при $t = 20^\circ \text{C}$), $2\alpha/a = 291,5 \text{ Па}$.

В случае открытой сверху трубки получим высоту подъема воды $h_0 = 2\alpha/(\rho ga)$.

3.1.54. Для частиц воды в точках поверхностного слоя верхнего и нижнего менисков из (3.1.3), (3.1.6) имеем систему уравнений

$$\rho gh + p_n - 2\alpha/a = \text{const}, \quad p_n + 2\alpha/a = \text{const},$$

из которых находим $h = 4\alpha/(\rho ga)$, $h = 2,97 \text{ см}$.

3.1.55. Значение радиуса капельки, при котором добавка к давлению одного порядка с давлением насыщенного пара над плоской поверхностью $R_c = (2\alpha/p_{\text{но}})(\rho_{\text{но}}/\rho_w)$. Если в пересыщенном паре спонтанно возникает капелька воды, радиус которой $R < R_c$, то такая капелька испаряется и конденсация на капельке маловероятна. В случае $R > R_c$ капля начинает расти. Обычно конденсация начинается на уже имеющихся в паре зародышах — частиц пыли или ионах.

3.1.56. Ответ следует из решения задачи 3.1.52.

3.1.57. Поскольку $R_1 < R_2$, то избыточное давление в первом шаре $p_1 = 4\alpha/R_1$ больше избыточного давления во втором шаре $p_2 = 4\alpha/R_2$. Воздух будет вытесняться из первого шара пока на торце A трубы не образуется мениск радиус кривизны которого станет равным радиусу второго шара.

3.1.58. Разность давлений между наружной средой и жидкостью α/R . Поверхностное натяжение наружного слоя воды между стеклянными пластинками создает недостаток давления $\Delta p = 2\alpha/d$. При значении $d = 10^{-2} \text{ мм}$ величина $\Delta p \approx 0,146 \text{ атм}$.

3.1.59. Из условия равновесия «жидкой частицы» получим уравнение $\Delta p = \rho \bar{g} \Delta \bar{r}$. На рис. 3.1.59 изображены приращения вектора ускорения свободного падения $\Delta \bar{g}_n$ в точках a, b, k, c . Представим правую часть в виде приращения некоторой функции в случае несжимаемой воды. Учитывая соотношения $\bar{r} \Delta \bar{r} = r \Delta r = \Delta(r^2/2)$, $\bar{r} \Delta \bar{r} / r^3 = -\Delta(1/r)$, $\bar{n} \Delta \bar{r} = \Delta \bar{n} \bar{r}$, $\bar{n} \bar{r} \Delta \bar{n} \bar{r} = \Delta(\bar{n} \bar{r})^2/2$, получим давление $p(\bar{r})/\rho = Gm_s/r + (Gm_s/2r_{zn}^3)[3(\bar{n} \bar{r})^2 - r^2] + C$.

На поверхности океана давление равно $p_{атм}$. Следовательно, в точках a и b на поверхности океана (рис. 3.1.59) выполняются соотношения

$$Gm_s/r_a + Gm_s r_a^2 / r_{zn}^3 + C = p_{атм} / \rho,$$

$$Gm_s/r_c - Gm_s r_c^2 / 2r_{zn}^3 + C = p_{атм} / \rho.$$

Полагая $r_a - r_c = h$, $r_c \approx r_a \approx R$, находим $h = (3m_s/2m_s)(R/r_{zn})^3 R$. Подставляя числовые значения $m_s/m_n = 81,3$, $r_{zn}/R = 60,34$, $R = 6371$ км, получим $h = 0,535$ м. Такой же подъем воды произойдет у антиподов.

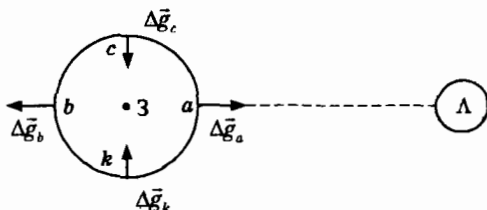


Рис. 3.1.59

3.1.60. Начало координатной оси x выберем у основания трубки. Пусть m_0 — масса воды в колене трубки, l_0 — высота уровня воды. При смещении уровня в одном из колен трубки на x потенциальная энергия воды $W(x) = (m_0 + \Delta m)(l_0 + x)/2 + (m_0 - \Delta m)(l_0 - x)/2 = m_0 l_0 + \rho g S x^2$.

Полная энергия $E \approx mv^2/2 + \rho g S x^2$. Дифференцируя, получим уравнение $mdv/dt + 2\rho g S x = 0$.

3.1.61. С увеличением температуры уменьшается коэффициент поверхностного натяжения, сила поверхностного натяжения уменьшается.

3.1.62. $\Delta h = 8\alpha(R_2 - R_1)/(\rho g R_1 R_2)$.

3.1.63. $A = 8\pi\alpha R^2$.

3.1.64. Условие равновесия ртути $p + \rho g h = p_{атм}$.

Из закона Бойля—Мариотта находим $p_{атм} = 2\rho g h(l - h)/(l - 2h)$.

3.1.65. Из условия плавания получим уравнения $m = \rho_a H' S$,

$$m = (\rho_a a + \rho b) S, \quad a + b = H.$$

Отсюда получим $a = (\rho_a H' - \rho H) / (\rho_a - \rho)$, $b = \rho_a (H - H') / (\rho_a - \rho)$.

А. Имеем систему $H = 0,1 \rho_a H / (\rho_a - \rho)$, из которой находим $\rho = 0,9 \rho_a$. Общій вывод: плотность жидкости должна быть равна плотности цилиндра.

3.1.66. А. Глубину погружения льдины h' найдем из условия плавания $\rho_a h = \rho_a h'$. Выберем числовую ось x с началом на поверхности воды и направим ее вертикально вниз. Сумма сил, действующих на льдину в процессе погружения, равна нулю. Проекция внешней силы $F_x(x) = \rho_a g S x - mg < 0$. При перемещении Δx внешняя сила совершает элементарную работу $\delta A = F_x \Delta x$. При перемещении на отрезке $[0, h']$ полная работа равна площади под графиком функции

$$F_x(x) = \rho_a g S (x - h'):$$

$$A_1 = -\rho_a g S h'^2 / 2, \quad A_1 = -\rho_a^2 g S h^2 / 2 \rho_a.$$

Б. Теперь на отрезке $[h', h]$ проекция внешней силы

$$F_x(x) = \rho_a g S (x - h') > 0.$$

Работа внешней силы

$$A_2 = \rho_a g S (h - h')^2 / 2, \quad A_2 = (\rho_a g S h^2 / 2) [1 - (\rho_a / \rho_a)]^2.$$

3.1.67. Выталкивающая сила направлена вверх, модуль силы

$$F = [p(h) - p(0)] S,$$

где $p = p(x)$ — давление на глубине x .

Из условия равновесия элементарной массы $dp/dx = \rho(x)g$ получаем $p(x) = \rho_0 xg + kgx^2/2 + C$, где постоянная $C = p_{ат}$ определяется из граничного условия $p(0) = p_{ат}$.

Следовательно, $p(x) = p_{ат} + \rho_0 gx + kgx^2/2$.

Условие плавания приводит к уравнению $F = mg$.

$$mg = \rho_0 gh + kgh^2/2.$$

3.1.68. Запишем условие равновесия элементарной массы жидкости в системе отсчета, вращающейся с угловой скоростью ω . Согласно условию равновесия сумма поверхностных сил, силы тяжести и центробежной силы равна нулю:

$$\partial p / \partial x = \rho \omega^2 x, \quad (1)$$

$$\partial p / \partial y = \rho \omega^2 y, \quad (2)$$

$$\partial p / \partial z = -\rho g. \quad (3)$$

Уравнениям (1)–(3) удовлетворяет функция

$$p(x, y, z) = \rho\omega^2(x^2 + y^2)/2 - \rho gz + \text{const.}$$

В точке $x = 0, y = 0, z = z_0$ на свободной поверхности давление равно атмосферному давлению $p_{\text{ат}}$. Следовательно, $\text{const} = p_{\text{ат}} + \rho gz_0$,

$$p(x, y, z) = p_{\text{ат}} + \rho\omega^2(x^2 + y^2)/2 - \rho g(z - z_0).$$

Для множества точек на поверхности $p(x, y, z) = p_{\text{ат}}$. Уравнение поверхности — параболоид вращения $z = z_0 + \omega^2(x^2 + y^2)/2g$.

3.1.69. Величина подъемной силы $F = mg$ равна разности веса воздуха, вытесненного шаром, и «веса» нагретого воздуха:

$$m = (\rho M_n V/R)(1/T_1 - 1/T_2).$$

Подставляя $M_n = 0,029$ кг/моль, $V = 4\pi R^3/3$, получим $t_2 = 43$ °С.

3.1.70. Запишем условие равновесия шара у поверхности земли $\rho_0 V_0 g - mg - F = 0$. На высоте H сумма силы тяжести и выталкивающей силы равна нулю $2\rho V_0 g - mg = 0$.

3.1.71. Пусть ρ_i, ρ_e — плотности воздуха внутри и вне шара, m_s — масса оболочки. Показания весов при взвешивании надутого шара $\rho_i V g + m_s g - \rho_e V g$.

Избыточное давление $\Delta p = \Delta m R T / M V$.

3.2. Адиабатическое течение жидкости и газа. Закон Бернулли

3.2.1. Введем систему координат с осью z , направленной вертикально вверх и рассмотрим движение жидкой частицы массой m , объемом V . На частицу действуют сила тяжести и сила давления. Учитывая (3.1.2), получим элементарную работу сил давления $\delta A = \vec{F} \Delta \vec{r} = -V \Delta p$. Приращение полной энергии частицы равно работе поверхностных сил $\Delta(mv^2/2 + mgz) = -V \Delta p$.

Согласно условию 2 первый закон термодинамики имеет вид $\Delta U = -p \Delta V$. Складывая оба соотношения, получим

$$\Delta(mv^2/2 + mgz + U) = -V \Delta p - p \Delta V = -\Delta(pV).$$

3.2.2. Предположим, что выполняются условия применимости закона Бернулли. Пусть величина скорости смещения уровня воды в резервуаре равна v_2 . Тогда из (3.5.2) для частиц воды на поверхности резервуара и в отверстии имеем

$$p_{\text{ат}} + \rho gh + \rho v_2^2/2 = p_{\text{ат}} + \rho v_1^2/2. \quad (1)$$

Дополним систему уравнением непрерывности

$$v_1 S_1 = v_2 S_2. \quad (2)$$

Из (1), (2) находим $v_1^2 = \frac{2gh}{1 - (S_1/S_2)^2}$.

Если $S_1 \ll S_2$, то $v_1 = \sqrt{2gh}$. Это соотношение называют формулой Торричелли, который получил ее в 1641 г., задолго до работы Бернулли.

Экспериментальные исследования формы струи показали, что площадь поперечного сечения струи вблизи круглого отверстия имеет величину kS_1 , $k = 0,61-0,64$. Следовательно, расход воды в единицу времени $\Delta m/\Delta t \approx 0,6\rho S_1(2gh)^{1/2}$.

3.2.3. А. Направим ось x параллельно линии тока на оси отверстия. В точках, удаленных от отверстия, скорость воды пренебрежимо мала и давление равно статическому давлению. Сумма сил давления на боковые стенки равна нулю всюду, исключая площадку на стороне, противоположной отверстию. На нее действует сила $F_x = -\rho gh S_1$. Согласно закону сохранения массы в области отверстия скорость воды постоянна. Поэтому сила, действующая на воду со стороны стенок трубки, равна нулю. Тогда сила, действующая со стороны вытекающей воды на стенки трубки равна нулю. Сечение вытекающей струи равно $S_1/2$.

Б. Согласно закону сохранения массы в области отверстия скорость воды при приближении к отверстию возрастает. На элементарные массы воды действует сила, направленная к центрам закругления входа в трубку. Второй вклад в силу реакции получается вследствие третьего закона Ньютона. В этом случае сила реакции $F_x = -2\rho gh S_1$, а сечение вытекающей струи равно S_1 .

3.2.4. Пусть p — давление в резервуарах R_1 и R_2 . Согласно (3.2.2) параметры состояния воды на уровне h_4 основания струи и уровне h_2 поверхности воды в резервуаре R_2 связаны уравнением

$$\rho v^2/2 + \rho gh_4 + p_{ст} = \rho gh_2 + p.$$

Рассматривая частицы жидкости на уровне h_3 в открытом резервуаре R_3 и на уровне h_1 в резервуаре R_1 , получим еще одно уравнение

$$\rho gh_3 + p_{ст} = \rho gh_1 + p.$$

Исключая p , находим $v = (2gh)^{1/2}$, $h = (h_2 - h_1) - (h_4 - h_3)$.

Длина струи $L = h$, $L = 0,5$ м, $v = 3,132$ м/с.

3.2.5. Расход воды $Q = \rho hLv$. Для линии тока, начинающейся на свободной поверхности, в точках, далеко отстоящих от края плотины,

скорость воды равна нулю. Из закона Бернулли для линии тока, проходящей по поверхности воды, получим уравнение

$$p_{\text{ст}} = p_{\text{ст}} + \rho v^2/2 - \rho gH.$$

Следовательно, расход воды $Q = \rho hL \sqrt{2gH}$. Его можно найти по измеренным величинам H и h в любом месте потока. Дополнительную информацию можно получить из анализа функции $F(v) = H + h$, при $Q = \text{const}$: $F(v) = Q/(\rho Lv) + v^2/2g$.

Функция $F(v)$ имеет минимум при значении $v_m = (gQ/\rho L)^{1/3}$, $F(v_m) = (3/2)(Q/\rho gL)^{2/3}$. Следовательно, скорость элементарной массы воды возрастает от нуля в резервуаре до значения, большего, чем v_m . Значение v_m наблюдается в том месте, где расстояние F минимально на рис. 3.2.5. При этом условии значение h в наивысшей точке плотины $h_m = (Q^2/\rho gL)^{1/3}$.

Физический смысл величины $v_m = (gQ/\rho L)^{1/3} = \sqrt{gh_m}$, состоит в том, что она представляет собой скорость распространения $c = \sqrt{gh_m}$ волны малой амплитуды на мелкой воде. Эта волна может распространяться только внутрь резервуара вверх по потоку от наивысшей точки плотины, но не вниз по потоку. Именно поэтому плотина задерживает воду.

3.2.6. Расход воды связан с приращением массы воды Δm соотношением $Q = \Delta m/\Delta t$. Из (3.2.2) следует, что приращение полной энергии элементарной массы воды Δm равной $\Delta m v^2/2 + \Delta m gH$ возникает в результате работы сил давления, создаваемого мотором $\delta A = P \Delta t$. Следовательно, мощность насоса $P = Qv^2/2 + QgH$.

Пусть $Q = 10$ кг/с, $H = 10$ м, $S = 10^{-2}$ м². В этом случае $P = 1$ кВт.

3.2.7. Невозможные значения скорости и давления слева от ветроколеса равны v_0 и p_0 , а справа $-u_0$ и p_0 . При подходе к ветроколесу скорость воздушного потока уменьшается до значения v и плавно изменяется при переходе через него. Давление в отличие от скорости меняется скачком: непосредственно слева у ветроколеса давление равно p_1 , а справа $-p_2$. В области перехода через ветроколесо в результате неустановившегося процесса перемешивания условие стационарности потока воздуха нарушается. Поэтому запишем уравнение Бернулли для воздушных потоков слева и справа от ветроколеса:

$$\rho v_0^2/2 + p_0 = \rho v^2/2 + p_1, \quad \rho v^2/2 + p_2 = \rho u_0^2/2 + p_0.$$

Отсюда находим $p_1 - p_2 = \rho(v_0^2 - u_0^2)/2$.

Воздух действует на лопасти ветроколеса с силой

$$F_x = (p_1 - p_2)S = \rho S(v_0^2 - u_0^2)/2.$$

За интервал времени Δt через ветроколесо проходит масса воздуха $\Delta m = \rho S v \Delta t$.

Приращение импульса этой массы воздуха $\Delta P_x = \Delta m(u_0 - v_0)$ должно быть равно импульсу силы давления, действующей со стороны лопастей на воздух $\Delta P_x = -F_x \Delta t$, т.е. $F_x = \rho S v(v_0 - u_0)$. Сравнивая оба выражения для F_x , получим $v = (v_0 + u_0)/2$. Сила, действующая на ветроколесо, развивает мощность $P = F_x v$, $P = \rho S v^2(v_0 - u_0) = 2\rho S v^2(v_0 - v)$.

Функция $P(v)$ достигает при $v = 2v_0/3$ максимального значения $P_m = 8\rho S v_0^3/27$.

Современные ветроколеса развивают мощность 500–600 кВт. В 1994 г. была пущена ветряная электростанция «Аэлус-II» (ФРГ) мощностью 3 Мвт. Встречные роторы диаметром 80 м установлены на мачте высотой 90 м.

Мощность ветряных энергоустановок, построенных в Германии до 2002 г. равна 8000 МВт — это мощность 5 АЭС. На втором месте — Испания (3000 МВт), третьем — США (2495 МВт).

3.2.8. Классический вертолет не может развить скорость более 350 км/ч. Практический предел грузоподъемности — 25 т. Ограничение по удельной нагрузке — не более 30 кг на каждый м² площади круга, ометаемого винтом. Следовательно, длина лопасти может быть не более 15–17 м.

Шестиместный вертолет Ка-26 массой 3,2 т имеет два двигателя мощностью 240 кВт, диаметр винта 13 м. Подставляя эти данные, получим $N \approx 352$ кВт. Эта величина меньше реально развиваемой мощности, поскольку часть энергии теряется из-за трения и завихрения потока воздуха.

3.2.9. Закон Бернулли здесь неприменим, поскольку в области расширения трубы происходит вихревое перемешивание жидкости. Подробная картина течения может быть рассчитана только на компьютере. Для решения поставленной задачи воспользуемся законом изменения импульса жидкости, протекающей через замкнутую неподвижную поверхность S . Представим ее в виде множества N элементарных плоских элементов площадью ΔS_k , ориентированных в направлении единичного вектора \vec{n}_k , направленного перпендикулярно поверхности наружу ($k = 1, 2, \dots, N$). Пусть \vec{v}_k — скорость жидкости в некоторой точке малого элемента ΔS_k . Пренебрегая касатель-

ными компонентами сил вязкости на стенках трубы, можно записать закон изменения импульса жидкости в виде

$$\sum_{k=1}^N \rho \bar{v}_k (\bar{n}_k \bar{v}_k) \Delta S_k = - \sum_{k=1}^N p_k \bar{n}_k \Delta S_k. \quad (1)$$

Левая часть (1) пропорциональна приращению импульса жидкости, протекающей через поверхность S . Правая часть (1) пропорциональна импульсу сил давления, приложенных к поверхности жидкости со стороны окружающей ее среды.

Из уравнения непрерывности находим

$$v_1 S_1 = v_2 S_2, \quad (2)$$

где S_1, S_2 — площади поперечных сечений узкой и широкой труб.

В качестве поверхности S выберем поверхность, ограниченную поперечными сечениями, отмеченным на рис. 3.2.9 штриховыми линиями, и стенками труб между этими сечениями. Учитывая (2), запишем левую часть (1): $\rho v_2^2 S_2 - \rho v_1^2 S_1 = \rho v_2 S_2 (v_2 - v_1)$.

Поскольку на участках AB и CD поверхности S давление равно p_1 , а на участке EF равно p_2 , то правая часть (1) принимает вид

$$p_1 S_1 + p_1 (S_2 - S_1) - p_2 S_2 = (p_1 - p_2) S_2.$$

Из (1) находим давление в области справа от расширения трубы

$$p_2 = p_1 + \rho v_2 (v_1 - v_2), \text{ или } p_2 = p_1 + \rho v_1^2 (S_1/S_2) (1 - S_1/S_2). \quad (3)$$

Эту величину можно сравнить с давлением $p_{2Б}$ в случае плавного перехода от узкой к широкой трубе. Используя закон Бернулли, получим

$$p_{2Б} = p_1 + \rho (v_1^2 - v_2^2)/2 = p_1 + \rho v_1^2 [1 - (S_1/S_2)^2]/2.$$

Следовательно, $p_2 = p_{2Б} + \Delta p$, $\Delta p = -\rho v_1^2 (1 - S_1/S_2)^2/2 < 0$.

Таким образом, давление p_2 при внезапном расширении трубы меньше, чем при плавном расширении, на величину $\rho v_1^2 (1 - S_1/S_2)^2/2$. Иначе говоря, мы можем утверждать, что при внезапном расширении трубы постоянная в правой части (3.2.2) уменьшается на величину $|\Delta p|$. Следовательно, вихреобразование, обусловленное силами вязкости приводят к уменьшению внутренней энергии единицы объема жидкости на величину $|\Delta p|$.

3.2.10. При движении с постоянной скоростью сумма силы тяжести и силы поверхностного давления (3.1.2) равна нулю

$$-\rho g V - (\Delta p / \Delta z) V = 0. \quad (1)$$

Для адиабатического процесса из первого закона термодинамики (2.2.3) и уравнения состояния имеем уравнение $\delta Q = 0$,

$$0 = mc_v \Delta T + \Delta(pV) - V\Delta p = mc_v \Delta T - (m/\rho) \Delta \rho. \quad (2)$$

3.2.11. Положим в (3.2.1) $v = 0$ и вычислим производную полученного соотношения.

3.2.13. Условие всплывания $\Delta T_a / \Delta z < -g/c_p$ приводит к неравенству $T_2 - T_1 > gd/c_p$.

3.2.14. По значению величины k_a можно судить о том насколько устойчиво состояние тропосферы. На рисунках 3.2.14 *a, б* изображены графики функций $T_a(z) = T_0 - k_a z$, $T_s(z) = T_{s0} - k_s z$.

Если масса воздуха Δm , которая первоначально находилась в равновесии на высоте z_1 переместится вверх в точку с координатой $z_1 + \Delta z$, то ее температура изменится в соответствии с рис. 3.2.14*a* на величину $\Delta T_a = -k_a \Delta z$, а температура окружающего воздуха изменится на величину $\Delta T_s = -k_s \Delta z$. Следовательно, $T_1 + \Delta T_a > T_s(z_1 + \Delta z)$: масса Δm окажется в окружении более холодного воздуха. Поскольку, плотность воздуха массой Δm меньше плотности окружающего воздуха, то эта масса всплывает. Подобное состояние атмосферы называют неустойчивым. Оно благоприятно для рассеивания вредных примесей.

3.2.15. Зависимость температуры от высоты $T_s(z) = T_{s0} - k_s z$. Температура воздуха, выходящего из трубы $T_s(h) = T_{s0} - k_s h + \Delta \mathcal{E}$. При адиабатическом движении вверх воздух охлаждается:

$$T_s(z) = T_s(h) - k_s(z - h), \quad z \geq h.$$

На некоторой высоте H частицы воздуха пересекут положение равновесия $z = H$ при условии $T_s(H) = T_a(H)$. Из приведенных уравнений находим $H = h + \Delta T / (k_a - k_s)$.

3.2.18. Из таблиц находим плотность насыщенного пара $\rho_{H_2O} = 25,8 \text{ г/м}^3$ при температуре t_0 . Следовательно, плотность пара $\rho_{no} = 0,5 \cdot \rho_{H_2O} = 12,9 \text{ г/м}^3$. Из той же таблицы находим, что точка росы соответствует температуре несколько большей $t_1 = 15 \text{ }^\circ\text{C}$.

Высоту H_1 , на которой происходит конденсация, найдем из уравнения: $t_1 = t_0 - k_a H_1$; $H_1 = 1,22 \text{ км}$. Температуру t на высоте H найдем из уравнения $t = t_1 - k_H(H - H_1)$, где $k_H = 5,4 \cdot 10^{-3} \text{ К/м}$.

3.2.20. Наиболее заметные погодные явления такие, как дождь, снег, град, туман и т.д. возникают благодаря присутствию в воздухе водяного пара. Поток влажного воздуха, встретив на пути горы, подни-

мается вверх по склону и адиабатически охлаждается. На некоторой высоте влажность воздуха достигает 100%. Далее подъем воздуха сопровождается конденсацией и выделением теплоты, препятствующей адиабатическому охлаждению: Это приводит к замедлению падения температуры с высотой по сравнению со случаем подъема ненасыщенного воздуха. Теперь масса воздуха, содержащая насыщенный пар, поднимаясь по наветренному склону охлаждается примерно на 0,54 °C на каждые 100 м: «влажноадиабатический» градиент температуры $k_H = 5,4 \cdot 10^{-3}$ К/м.

К тому времени, когда воздух переваливает через вершины горного хребта, и начинает опускаться по подветренной стороне, в нем почти не содержится водяного пара. Далее он нагревается вследствие адиабатического сжатия при спуске в область повышенного давления. Увеличение температуры составит уже 0,98 °K на каждые 100 м спуска.

3.2.21. Из условия равновесия элементарной массы воздуха, уравнения состояния и уравнения процесса $dp/dz = -\rho g$, $p = \rho RT/M$, $T = T_0 - k_a z$, получим уравнение

$$dp/dz = -pMg/R(T_0 - k_a z). \quad (1)$$

Начальное условие $p(0) = p_0$.

Учитывая, что $Mc_p/R = n/(n - 1)$, $n = c_p/c_v$, $n = 1,4$ получим решение уравнения (1) в виде $p(z) = p_0(1 - gz/c_p T_0)^{\frac{n}{n-1}}$. В случае однокомпонентного газа условие (1) является необходимым и достаточным, чтобы система находилась в состоянии термодинамического равновесия.

3.2.22. Из условия равновесия элементарной массы воздуха, уравнения состояния и уравнения процесса $dp/dz = -\rho g$, $p = \rho RT/M$, $T = T_0$ получим уравнение

$$dp/dz = -pMg/RT_0. \quad (1)$$

Начальное условие $p(0) = p_0$.

Решение уравнения (1) $p(z) = p_0 \exp(-Mgz/RT_0)$.

Если учесть неоднородность поля тяготения, то после замены $g \rightarrow ga^2/(a + z)^2$, (a — радиус Земли) получим уравнение

$$\frac{dp}{p} = -\frac{Mga^2}{RT_0} \frac{dz}{(a + z)^2}. \quad (2)$$

Решение уравнения (2) $p(z) = p_0 \exp\left[-\frac{Mga^2}{RT_0} \left(\frac{1}{a} - \frac{1}{a + z}\right)\right]$.

3.2.23. В случае «плоской» Земли плотность воздуха

$$\rho(z) = \rho_0 \exp(-Mgz/RT_0),$$

масса столба воздуха

$$m = \rho_0 S \int_0^{\infty} dz \exp(-Mgz/RT_0) = \rho_0 S RT_0 / Mg.$$

Координата центра тяжести столба

$$z_c = (\rho_0 S / m) \int_0^{\infty} dz z \exp(-Mgz/RT_0) = RT_0 / Mg.$$

3.2.24. Из уравнения Бернулли (3.2.1) имеем

$$v^2/2 + c_p T = c_p T_0. \quad (1)$$

Здесь $c_p T = w$ — энтальпия единицы массы. Используя уравнение состояния $p = \rho RT/M$ и соотношение $R = M(c_p - c_v)$ представим функцию $w = c_p T$ в виде $w = np/[(n-1)\rho] = c^2/(n-1)$.

Тогда из (1) получим $(n-1)v^2/2 = c_0^2 - c^2$, $c_0^2 = np_0/\rho_0$, где c_0 — скорость звука внутри резервуара.

Поскольку $c_0^2/c^2 = T_0/T$, то

$$(n-1)M^2/2 = T_0/T - 1. \quad (2)$$

Из уравнений состояния и процесса $p = Ar^n$ получим соотношение $T_0/T = (p_0/p)(\rho/\rho_0) = (p_0/p)^{\frac{n-1}{n}}$. Подставляя в (2) найдем давление на линиях тока $1 + (n-1)M^2/2 = (p_0/p)^{\frac{n-1}{n}}$.

3.2.25. Обозначим энтальпию единицы массы w : $mc_p T = mw$, $w = c^2/(n-1)$. Поскольку при адиабатическом процессе $p = \text{const} \cdot T^{n/(n-1)}$, то при расширении в вакуум газ охладится до нулевой температуры. Из уравнения Бернулли (3.2.1) $v^2/2 + w = w_0$ следует, что наибольшее значение скорости получается при переходе газа в вакуум

$$v_{\max} = \sqrt{2w_0} \quad \text{или} \quad v_{\max} = c_0 \sqrt{\frac{2}{n-1}}.$$

3.2.26. Рассмотрим стационарное вытекание газа из большого резервуара через трубку переменного сечения. Площадь сечения $S(x)$ достаточно медленно меняется вдоль длины трубы, а скорость газа направлена практически по оси. Все величины, характеризующие течение зависят только от координаты x . Запишем уравнение непрерывности и уравнение Бернулли $\rho v S = \text{const}$, $v^2/2 + w = \text{const}$.

Дифференцируя уравнение непрерывности, получим

$$vSd\rho/dv + \rho S + \rho v dS/dv = 0. \quad (1)$$

Поскольку уравнение процесса $p = A\rho^n$, то функцию w можно представить в виде $w = An\rho^{n-1}/(n-1)$. Тогда

$$dw/dv = An\rho^{n-2}d\rho/dv = n\rho\rho^{n-2}d\rho/dv = (c^2/\rho)d\rho/dv.$$

Из уравнения Бернулли $v^2/2 + w = w_0$ находим

$$(c^2/\rho)d\rho/dv + v = 0. \quad (2)$$

Теперь из (1)–(2) получаем уравнение $-(v/S)dS/dv = (1 - v^2/c^2)$.

А. Дозвуковое течение ($v < c$). Если газ движется по сужающейся трубе ($dS < 0$), то скорость течения возрастает. В расширяющейся трубе дозвуковое течение замедляется.

Б. Скорость газа при сверхзвуковом течении ($v > c$) возрастает в расширяющейся трубе и замедляется в сужающейся трубе. Отметим, что уравнение (2) можно представить в виде $d\rho v/dv = \rho(1 - v^2/c^2)$, где $j = \rho v$ — плотность потока жидкости или газа.

Плотность потока $j = \rho v$ возрастает, пока скорость остается дозвуковой — линии тока сближаются при $M' = v/c < 1$, где M' — число Маха, названное в честь австрийского физика и философа Э. Маха (1838–1916). Газ, вытекающий из камеры сгорания через сужающуюся насадку, ускоряется и достигает местной скорости звука $v = v_m = c_m$ в самом узком сечении, т.е. при $dS/dx = 0$.

Из уравнения $c_m^2/2 + c_m^2/(n-1) = c_0^2/(n-1)$ находим $c_m^2 = 2c_0^2/(n+1)$.

Плотность потока принимает максимальное значение $j_m = \rho_m c_m$ в точке, в которой скорость газа $v = c_m$. При течении газа через суживающееся отверстие скорость $v = c_m$ может достигаться только на выходном конце трубы.

Сверхзвуковая скорость может быть достигнута с помощью сопла сначала суживающегося и вновь расширяющегося (рис. 3.2.26). В расширяющейся части сопла возникает сверхзвуковое течение. Такие сопла называются соплами Лавалья в честь шведского инженера К. Лавалья, открывшего этот эффект в 1889 г.

3.2.27. Движения воздуха по вертикали важны для обмена влагой и энергией между океаном и атмосферой. Движения воздуха, с которыми мы все знакомы, — ветры, в основном, горизонтальны. Пусть $\vec{v} = (v_1, v_2, 0)$ — скорость малой частицы воздуха массой m объемом V . В выбранных координатах угловая скорость $\vec{\Omega} = (\Omega \cos\theta, 0, \Omega \sin\theta)$, $\Omega = 7,3 \cdot 10^{-5} \text{ с}^{-1}$.

Согласно (3.1.1) сила, действующая частицу, равна $\vec{F} = -\vec{G} V$,
 $\vec{G} = (\Delta p/\Delta x, \Delta p/\Delta y, \Delta p/\Delta z)$.

Сила Кориолиса

$$\vec{F}_k = \vec{f}_k V, \quad \vec{f}_k = (2\rho v_y \Omega \sin \theta, 2\rho v_x \Omega \cos \theta - 2\rho v_z \Omega \sin \theta, -2\rho v_y \Omega \cos \theta).$$

Полагая $v_z = 0$, получим из закона Ньютона $\vec{F} + \vec{F}_k + m\vec{g} = 0$ уравнения

$$-G_x + 2\rho v_y \Omega \sin \theta = 0, \quad -G_y - 2\rho v_x \Omega \sin \theta = 0. \quad (1)$$

Из уравнений (1) следует соотношение между распределением давления и направлением ветра, установленное в 1857 г. Х. Бейс-Баллотом: если в Северном полушарии встать спиной к ветру, то область высокого давления будет находиться справа, а область низкого давления — слева.

Из (1) следует, что скалярное произведение $\vec{G}\vec{v} = 0$: ветер дует по касательным к кривым, соответствующим постоянным значениям давления; они называются *изобарами*.

Воздух, нагретый в тропиках, поднимается, затем движется к полюсам, охлаждается вследствие излучения и опускается к поверхности. В северном полушарии воздух достигает примерно *конских широт* $\theta \approx 30^\circ$, при опускании адиабатически сжимается, нагревается и формирует область высокого давления. Достигнув поверхности, воздух растекается, образуя два потока направленных к югу и северу. В северном полушарии первый поток образует *пассаты* — ветры со скоростью 5–7,5 м/с занимают пояс между широтами 25 и 5° и дуют с севера-востока. Следовательно, в этой области $G_1 > 0$, $G_2 > 0$. На конских широтах расположена область с очень малыми скоростями ветра. Второй поток создает в поясе между широтами от 35 до 55° юго-западные ветры, порождаемые распределением давления $G_1 < 0$, $G_2 < 0$. На широте $\sim 60^\circ$ находится область низкого давления. Далее к северу от 65° и до полюса ветер дует с севера-востока.

Если не учитывать силу Кориолиса, то из второго закона Ньютона $\Delta \vec{v} = -\vec{G} \Delta t/\rho$ следует, что скорость ветра направлена из области с высоким давлением в область с низким давлением; в горизонтальной плоскости ветер будет дуть перпендикулярно кривым, соответствующим постоянным значениям давления. Однако на картах погоды видно, что скорость ветра направлена по касательным к изобарам. Причина в том, что мы пренебрегли вращением Земли.

3.3. Деформация твердых тел. Тепловое расширение

3.3.1. Напряжение, возникающее в продольном сечении оболочки $\sigma_{np} = T/S_{np}$, где T — величина силы упругости, распределенная по поверхности сечения площадью $S_{np} = Ld$. Следовательно, $\sigma_{np} = T/(Ld)$.

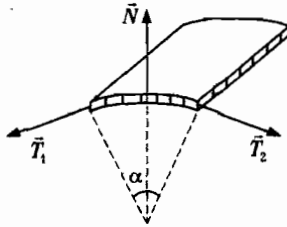


Рис. 3.3.1 а, б

Для того чтобы найти величину T рассмотрим малый элемент цилиндрической оболочки длиной L , ограниченный дугой $\Delta l = R\alpha$, $\alpha \ll 1$ (рис. 3.3.1 а). Площадь этого элемента $\Delta S = L\Delta l = LR\alpha$. На него действует сила давления \vec{N} величиной $N = p\Delta S = pLR\alpha$, $p = p_2 - p_1$ и силы упругости \vec{T}_1 и \vec{T}_2 одинаковой величины T со стороны остальной части оболочки. Поскольку сумма сил, действующих на выделенный элемент оболочки равна нулю, то $\vec{N} + \vec{T}_1 + \vec{T}_2 = 0$. Отсюда находим $N = 2T\sin\alpha/2$. Из таблицы значений функции $y = \sin x$ находим, что для $x < 0,3$ выполняется равенство $\sin x \sim x$. Следовательно, $T = N/\alpha = pLR$. Напряжение в продольном сечении оказывается равным $\sigma_{np} = pR/d$.

3.3.2. Из уравнения $p\pi R^2 = \sigma_c d(2\pi R)$ находим $\sigma_c = \sigma_{np}/2$. Может быть по этой причине сосиски при варке лопаются вдоль длины, а не поперек?

3.3.3. Напряжение $\sigma = pR/d$, где $p = \Delta F/\Delta S$ — давление, создаваемое центробежной силой $\Delta F = \Delta m\omega^2 R$, $\Delta m = 2\pi R d \Delta h \rho_c$ — элементарная масса, $\Delta S = 2\pi R \Delta h$. Отсюда находим $\sigma = \rho_c \omega^2 R^2$.

3.3.4. Вследствие разницы коэффициентов расширения при охлаждении возникнет давление p на поверхности раздела медной и стальной трубок. Тогда $\sigma_m = pR/d_2$, $\sigma_c = pR/d_1$ или $\sigma_m/\sigma_c = d_1/d_2$. При охлаждении линейные удлинения одинаковы:

$$\alpha_m(t_2 - t_1) + \sigma_m/E_m = \alpha_c(t_2 - t_1) + \sigma_c/E_c.$$

3.3.5. Относительное удлинение элемента дуги поперечного сечения сосуда $\Delta R/R = \sigma_{np}/E$. Подставляя величину $\sigma_{np} = pR/d$, найден-

ную в задаче 3.3.1, получим приращение радиуса $\Delta R = pR^2/Ed$. После каждого сокращения сердца (около 100 000 раз в день) давление в аорте возрастает. Поскольку объем стенки сосуда $\sim Rd$ можно считать постоянным, то $d\Delta R + R\Delta d = 0$, $\Delta d = -pR/E$. Деформация может привести к аневризме — местному уменьшению толщины стенки сосуда, увеличению его радиуса и разрыву сосуда. Однако происходит это в редких случаях при необратимом уменьшении модуля Юнга мышечных волокон стенки сосуда.

3.3.6. Напряжение $\sigma = \Delta F/\Delta S$, $\Delta S = 2\pi Rd$, величина силы, действующей на поверхность кольца в плоскости сечения большого круга $\Delta F = \pi R^2 \Delta p$ (см. задачу 3.1.10).

3.3.7. Направим ось x вертикально вниз, начало координат поместим на горизонтальной плоскости (рис. 3.3.7). В плоскости $x = 0$ на стержень действует сила реакции $T_x = -T$, в плоскости на уровне с координатой x — сила реакции $N_x = N$ и сила тяжести $G_x = m_1g$, $m_1 = \rho g Sx$. Сумма этих сил равна нулю: $N = T - \rho g Sx$. Поскольку сумма всех сил, действующих на стержень равна нулю, то $T = F + mg$, $N = F + mg - \rho g Sx$. Напряжение $\sigma(x) = N/S$. Из закона Гука (3.3.1) имеем уравнение $\Delta u_x/\Delta x = \sigma(x)/E$. Согласно (3.3.2) удлинение стержня $\Delta l = (F + mg/2)l/ES$.

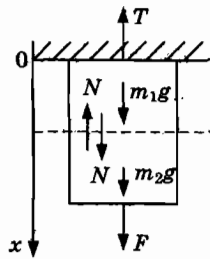


Рис. 3.3.7

3.3.8. При однородной упругой деформации

$$\Delta V = (l_0 + \Delta l)(a_0 + \Delta a)^2 - l_0 a_0^2.$$

Учитывая (3.3.1) (3.3.3), получим с точностью до величины $\sim \epsilon = \Delta l/l_0$ приращение объема

$$\Delta V = l_0 a_0^2 (1 + \epsilon)(1 - \gamma\epsilon)^2 - l_0 a_0^2 \approx V_0(1 - 2\gamma)\epsilon, \quad V_0 = l_0 a_0^2.$$

Для материалов растительного происхождения $\gamma = 0,5$: приращение объема равно нулю.

3.3.9. При упругой деформации $\Delta V = (b + \Delta b)(a + \Delta a)^2 - ba^2$. Учитывая решение задач 3.3.8, получим приращение объемов

$$\Delta V_1 = ba^2(1 + \varepsilon_1)(1 - \gamma\varepsilon_1)^2 - ba^2 \approx V_0(1 - 2\gamma)\varepsilon_1,$$

$$\varepsilon_1 = -mg/2Ea^2, V_0 = a^2b.$$

$$\Delta V_2 \approx V_0(1 - 2\gamma)\varepsilon_2, \varepsilon_2 = -mg/2Eab.$$

$$\delta V = (1 - 2\gamma)(b - a)mg/2E.$$

3.3.10. А. Направим ось z вертикально вверх, начало координат совместим с основанием колонны. В плоскости $z = 0$ на колонну действует сила реакции $\vec{N} = (0, 0, mg)$. В плоскости на уровне с координатой z — сила $\vec{T} = (0, 0, T_z)$. Сумма сил, действующих на часть колонны, расположенную между плоскостями $z = 0$ и z равна нулю: $T_z = -\rho g(h - z)S$. Следовательно, напряжение $\sigma(z) = \rho g(z - h)$.

Теперь согласно (3.3.1) получим уравнение $\Delta u_z/\Delta z = \rho g(z - h)/E$, из которого находим $u_z(z) = \rho g(z^2/2 - hz)/E + C$. В силу граничного условия $u_z(0) = 0$ константа $C = 0$. В результате получим функцию $u_z(z) = \rho g(z^2/2 - hz)/E$.

Деформация колонны $\Delta h = u_z(h)$, $\Delta h = -\rho gh^2/2E$. Это соотношение можно представить в виде $\Delta h = -(h/SE)(mg/2)$, где S — площадь поперечного сечения колонны.

Б. В соответствии с определением (3.3.4) энергия упругой деформации $U = \frac{S(\rho g)^2}{2E} \int_0^h dz(z - h)^2 = m^2 g^2 h / 6SE$.

3.3.11. Отметим, что вертикальный брусок имеет напряжение, равное допусжаемому только в нижнем поперечном сечении. Во всех других поперечных сечениях напряжения будут меньше. Можно уменьшить количество материала, если увеличивать площадь поперечного сечения пропорционально силе давления.

Пусть $S(x)$ — площадь сечения в плоскости на высоте x от основания (рис. 3.3.11 б). На плоскость сечения действует сила $T_x = -m_x g$, где m_x — масса части башни, находящейся выше сечения. Напряжение в сечении $\sigma_0 = T_x/S = -m_x g/S$. Площадь сечения на высоте $x + \Delta x$ равна $S + \Delta S$. Для этого сечения получим соотношение

$$\sigma_0(S + \Delta S) = -(m_x + \rho S \Delta x)g.$$

Следовательно, площадь сечения удовлетворяет уравнению

$$dS/dx = -kS, \quad (1)$$

где $k = \rho g/\sigma_0$.

Решение (1) имеет вид $S = C \exp(-kx)$, где C — константа, которую найдем из условия $S(0) = S_0$: $C = S_0$, $S_0 = \pi R_0^2$, $S(x) = S_0 \exp(-kx)$. Площадь верхнего сечения $S(h) = S_0 \exp(-kh)$. Полное удлинение башни $\Delta h = -\sigma_0 h/E$.

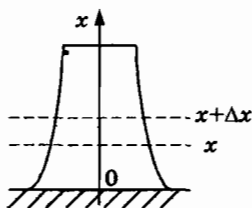


Рис. 3.3.11 б

3.3.12. Поскольку при градуировке корпус был закреплен, то показание связано с полным удлинением пружины соотношением

$$T = k\Delta l, \quad (1)$$

где $k = ES/l_0$, l_0 — длина пружины в ненапряженном состоянии.

Для того, чтобы найти Δl вычислим напряжение $\sigma(z) = N(z)/S$ в сечении, которое находится на расстоянии z от закрепленного конца пружины. Силу \bar{N} , действующую на эту часть пружины, найдем из второго закона Ньютона $(M + mz/l_0)a = N$, $(m - mz/l_0)a = F - N$.

Следовательно, напряжение $\sigma(z) = F(M + mz/l_0)/[S(M + m)]$.

Согласно (3.3.2) полное удлинение $\Delta l = u_1(l_0)$,

$$\Delta l = \frac{1}{E} \int_0^{l_0} dz \sigma(z) = \frac{F}{ES(M + m)} \int_0^{l_0} dz \left(M + m \frac{z}{l_0} \right) = \frac{Fl_0(2M + m)}{2ES(M + m)}. \quad (2)$$

Подставляя (2) в (1), получим $T = \frac{F(2M + m)}{2(M + m)}$.

Рассмотрим некоторые частные случаи:

1. $m \ll M$, $T \approx F$.
2. $m \gg M$, $T \approx F/2$.
3. $m = M$, $T = 3F/4$.

3.3.13. Введем ось z , направленную вертикально вверх, начало координат — на плоскости.

Потенциальная энергия груза $W(z) = mgz + k(z - l_0)^2/2$.

В положении равновесия сумма сил, действующих на груз равна нулю: $-mg - k(z_1 - l_0) = 0$. Согласно закону изменения полной энергии получим уравнение $mv^2 + mgz_1 + k(z_1 - l_0)^2/2 - mgl_0 = 0$.

3.3.14. В напряженном состоянии длина средней линии лезвия $l_0 = \pi R$. Удлинение внешней части полукольца

$$\Delta l = \pi(R + d/2) - \pi R = \pi d/2.$$

Относительное удлинение $\varepsilon = \Delta l/l_0 = d/2R$, $\varepsilon = 4 \cdot 10^{-3}$.

3.3.15. При деформации возникает напряжение $\sigma = 8 \cdot 10^7$ Па. Пределы упругости хорошей стали на растяжение и сжатие почти совпадают $\sigma_{\text{упр}} = 10^9$ Па. В этом случае максимальное значение относительного упругого удлинения $\varepsilon_{\text{max}} = 5 \cdot 10^{-3}$. Поскольку $\varepsilon < \varepsilon_{\text{max}}$, то лезвие распрямится.

3.3.18. Потенциальная энергия альпиниста

$$W(z) = mgz + k(l - l_0)^2/2,$$

где l — длина веревки, $k = f/l_0$.

Для оценок пренебрежем трением отдельных нитей веревки друг о друга. Тогда полные энергии груза в положениях $z = l_0$ и $z = l_2$ одинаковы. Из закона сохранения полной энергии получим уравнение

$$0 + mgl_0 + 0 = 0 + mg(h - h_2) + k(l_2 - l_0)^2/2. \quad (1)$$

Удлинение веревки $\Delta l = h_2 - h_1$, $l_2 = l_0 + \Delta l$, $h - h_2 = 2h - l_0 - \Delta l$.

Из (1) получим уравнение

$$k(\Delta l)^2 - 2mg[\Delta l + 2(l_0 - h)] = 0, \quad (2)$$

из которого находим $k\Delta l = mg[1 + \sqrt{1 + 2fq/mg}]$, где $q = 2(l_0 - h)/l_0$ — фактор падения, $2(l_0 - h)$ — «потеря» высоты.

Если между лидером и напарником нет точки страховки, то возникает серьезная ситуация падения с фактором $q = 2$: высота падения равна удвоенной длине веревки (см. задачу 1.7.24).

Полагая $q = 1,6$, получим удлинение веревки $\Delta l = 2,42$ м, относительное удлинение $\Delta l/l_0 = 0,3$. Величина силы, действующей на альпиниста со стороны веревки, $F = k\Delta l$, $F = 12,18$ кН. Однако максимальное значение усилия, которое может выдержать тело человека $F_{\text{max}} = 5$ кН.

3.3.19. Из закона сохранения полной энергии получим уравнение

$$\begin{aligned} & 0 + mgl_0 + 0 = \\ & = 0 + mg(h - h_2) + k_1(l_1 - l_0)^2/2 + k_1(l_1 - l_0)(l_2 - l_1) + k_2(l_2 - l_1)^2/2. \end{aligned}$$

Полагая $h - h_2 = 2h - l_0 - \Delta l_2$, $l_1 = l_0 + \Delta l_1$, $l_2 = l_0 + \Delta l_2$, перепишем его в виде

$$0 = g(l_0 - h) - 2mg\Delta l_2 + k_1(\Delta l_1)^2 + 2k_1(\Delta l_2 - \Delta l_1) + k_2(\Delta l_2 - \Delta l_1)^2.$$

Далее находим

$$k_2 \Delta l_2 = mg \left[1 - (f_1 - f_2) / mg \right] (\Delta l_1 / l_0) + \sqrt{1 + 2f_2 q / mg + (f_1 \Delta l_1 / mgl_0)^2 - 2(f_1 - f_2) \Delta l_1 / mgl_0} \cdot l.$$

Полагая $q = 1,6$, $\Delta l_1 = 1$ м, $f_1 = 30$ кН, $f_2 = 10$ кН, получим $F = k_2 \Delta l_2$, $F = 5,76$ кН.

3.3.20. Известно, что давление в центре Земли или Луны, создаваемое гравитационными силами, достигает огромных значений. Можно ли уменьшить давление в центре Луны так, что она разорвется на части? Реально проблема состоит в определении условий существования спутников планет. Впервые эту задачу поставил в 1847 г. французский математик Э. Рош.

На первый шар действуют силы притяжения планеты \vec{F}_1 , второго шара \vec{F}_{12} и сила реакции N_1 (рис. 3.3.20).

На второй шар — силы притяжения планеты \vec{F}_2 , первого шара \vec{F}_{21} и сила реакции \vec{N}_2 ($N_1 = N_2 = N$).

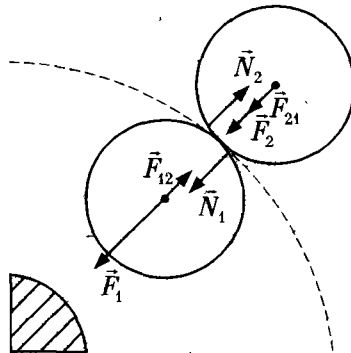


Рис. 3.3.20

Пусть $M \gg m$. Тогда влиянием спутника на движение планеты можно пренебречь. Пусть r — расстояние от центра планеты до центра масс спутника, ω — угловая скорость вращения системы.

Из второго закона Ньютона получим два уравнения

$$m\omega^2(r + a)/2 = GmM/2(r + a)^2 + G(m/4a)^2 - N, \quad (1)$$

$$m\omega^2(r - a)/2 = GmM/2(r - a)^2 - G(m/4a)^2 + N. \quad (2)$$

Из (1), (2) находим величину силы реакции.

Напряжение

$$\begin{aligned}\sigma(r) &= N/S, \\ \sigma(r) &= \sigma_0 [1 - 8R^3(3r^2 + a^2)(\rho_n/\rho_c)/r(r^2 - a^2)^2], \\ \sigma_0 &= G(m/4a)^2/S,\end{aligned}\quad (3)$$

где ρ_n, ρ_c — плотности планеты и шаров.

В случае $r \gg a$ функция $\sigma(r)$ обращается в нуль при значении $r = r_0, r_0 = 2R(3\rho_n/\rho_c)^{1/3}$. Для разрыва гантели необходимо, чтобы в области $\sigma(r) < 0$ относительное удлинение перемычки превысило значение 10^{-3} , т.е. при условии $|\sigma(r_p)| \sim E \cdot 10^{-3}$. Соответствующее значение r_p называется пределом Роша.

На фотоснимках ближайшего к Марсу спутника — Фобоса, сделанных космическим аппаратом «Вояджер», видна поверхность, исчерченная параллельными бороздами. Они могли возникнуть вследствие того, что Фобос, находящийся сейчас на расстоянии 9 450 км от Марса, вошел в границы предела Роша $r_p = 10\,400$ км.

В 1961 г. М. Л. Лидов начал цикл работ об эволюции орбит спутников на сильно наклоненных орбитах. Если орбита Луны была бы наклонена к плоскости эклиптики на 90° , то орбита стала бы сжиматься и через 55 оборотов достигла поверхности Земли. Иначе говоря, Луна просуществовала бы около четырех с половиной лет. Поскольку для Луны предел Роша $r_p = 18\,000$ км $\sim 3R$, то она развалилась бы до столкновения с Землей.

3.3.21. Нить образует цепную линию. Рассмотрим условия равновесия левой половины нити. На нее действуют сила тяжести величиной $mg/2$, сила натяжения \vec{T}_0 со стороны правой половины нити и сила натяжения \vec{T} в точке А (рис. 3.3.21). Поскольку $h \ll l$, то равномерно распределенную нагрузку по кривой можно без существенной ошибки заменить равномерно распределенной нагрузкой по пролету. Для $h/l = 0,1$ ошибка будет $\sim 4\%$. Вертикальная компонента $T_v = mg/2$. Горизонтальную компоненту $T_r = -T_0$ найдем условия равенства нулю проекции момента сил на горизонтальную ось, проходящую через точку А: $O = -T_0 h + mgl/8, T_0 = mgl/8h$.

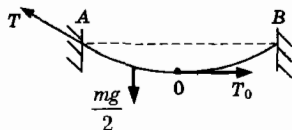


Рис. 3.3.21

3.3.22. Обозначим P_B, P_C — нагрузки на бетон и стальные стержни. Из условия равновесия куба получим уравнение

$$P = P_C + P_B \quad (1)$$

Для того чтобы получить второе уравнение необходимо рассмотреть деформированную систему. Бетон не подчиняется закону Гука, т.к. модуль Юнга уменьшается с увеличением напряжения. При расчете напряжений вместо переменного модуля упругости принимают значение, меньшее, чем то, которое следует из испытаний на сжатие при малых напряжениях. Поскольку величина относительной деформации бетона и стержней одинакова, то

$$\frac{P_B}{S_B E_B} = \frac{P_C}{S_C E_C} \quad (2)$$

Следовательно, напряжение σ_c в стальных стержнях в $E_c/E_B = 10$ раз больше напряжения в бетоне σ_B . Из уравнений (1), (2) находим

$$P_C = \frac{P}{1 + (E_B S_B / E_C S_C)}, \quad P_B = \frac{P}{1 + (E_C S_C / E_B S_B)}$$

Полагая $S_B = 10S_C$, получим $P_B = P_C$.

3.3.23. Удлинение стальных стержней $\Delta l_c = l_2 - l_0$, продольное удлинение бетона $\Delta l_B = l_2 - l_1 < 0$. Поскольку сумма силы, сжимающей бетон и силы растягивающей стержни равна нулю, то

$$S_C E_c (l_2 - l_0) / l_0 + S_B E_B (l_2 - l_1) / l_1 = 0$$

Растяжение воспринимается сталью, сжатие — бетоном. Прочность бетона при сжатии больше прочности при растяжении. Если балку растягивать, то бетон находится в состоянии сжатия. В результате прочность балки возрастает.

3.3.24. Обозначим $P_M = \sigma_M S_M, P_C = \sigma_C S_C$ — нагрузки на цилиндр и трубку. Из условия равновесия получим уравнение $P = \sigma_M S_M + \sigma_C S_C$. Поскольку величина относительной деформации стали и меди одинакова, то $\sigma_M / E_M = \sigma_C / E_C$.

$$\text{Из этих уравнений находим } \sigma_M = \frac{P}{S_M + (E_C / E_M) S_C}$$

3.3.25. Пусть F — величина силы, растягивающей болт, равная величине силы, сжимающей трубку. Полагая длину трубки равной длине болта, получим уравнение $h/4 = (F/S_1)(l/E_c) + (F/S_2)(l/E_M)$,

$$F = \frac{h E_c S_1}{4l(1 + S_1 E_c / S_2 E_M)}, \quad F = 61,6 \text{ кН.}$$

Растягивающее напряжение в болте $\sigma_c = F/S_1$, $\sigma_c = 102,7$ МПа.
Сжимающее напряжение в трубке $\sigma_u = F/S_2$.

3.3.26. Согласно (3.3.4) энергия упругой деформации

$$U = E(\Delta l/l_0)^2 S l_0/2.$$

Из закона сохранения полной энергии следует, что приращение потенциальной энергии равно работе внутренних сил:

$$-mg(l_0 + \Delta l) + mg(l_0 - h) = -E(\Delta l/l_0)^2 S l_0/2. \quad (1)$$

Вводя величину статического удлинения стержня соотношением $\Delta l_s/l_0 = mg/SE$, представим уравнение (1) в виде $(\Delta l)^2 - 2\Delta l_s(h + \Delta l) = 0$. Поскольку $\Delta l \ll h$, то $\Delta l = (2\Delta l_s h)^{1/2}$. Напряжение в стержне $\sigma_c = E\Delta l/l_0$.

3.3.27. Рассмотрим элемент MN , длина которого до изгибания стержня равна длине Δz элемента AB на осевой линии (рис. 3.3.27 б). После изгибания $\Delta z = R\Delta\phi$, длина элемента MN станет $\Delta z' = (R + x)\Delta\phi$, где R — радиус кривизны нейтральной оси.

Полагая $\Delta z' = \Delta z + \Delta u_x$, найдем $\Delta u_x/\Delta z = x/R$. Из закона Гука получим $\sigma_x(x) = xE/R$. Относительная деформация в поперечных направлениях $\Delta u_x/\Delta x = -\gamma x/R$, $\Delta u_y/\Delta y = -\gamma x/R$.

Найдем теперь радиус кривизны из условия равенства нулю суммы проекций на ось y момента внутренних напряжений M_y и момента внешних сил $M_y = -M_0$. На элемент поверхности поперечного сечения действует сила $\Delta F_x = \sigma_x(x)\Delta S$, проекция момента силы $\Delta M_y = \sigma_x(x)x\Delta S$.

Полный момент сил относительно оси y $M_y = \frac{E}{R} I_y$, $I_y = \int dS x^2$.

Теперь напряжение можно представить в окончательном виде $\sigma_x(x) = xM_0/I_y$. Полагая, например, что поперечное сечение стержня представляет собой прямоугольник $a \times b$ со стороной b в плоскости изгиба, получим $I_y = ab^3/12$. Для круга радиусом r получим $I_y = \pi r^4/4$.

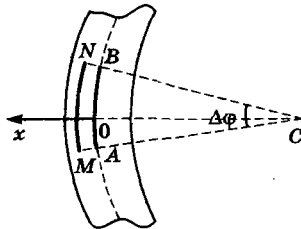


Рис. 3.3.27 б

3.3.28. Поскольку угол $\alpha \ll 1$, то прогибом стержня можно пренебречь при вычислении осевого напряжения, создаваемого силой

тяжести. Тогда результирующее напряжение σ получим как сумму напряжений, создаваемого силой тяжести и напряжением при изгибе. В соответствии с решениями задач 3.3.10, 3.3.27 имеем $\sigma = \sigma_z(0) + \sigma_b(x)$, $\sigma_z(0) = -\rho gh$, $\sigma_b(x) = 4xM_0/\pi r^4$.

Проекция силы момента тяжести $M_{cy} = -M_0$, $M_0 = mg(h/2)\sin\alpha$.

Напряжения $\sigma = -\rho gh + 2\rho gxh^2\sin\alpha/r^2$.

Полагая $x = -r$, r получим напряжение в точках m и n :

$$\sigma_{m,n} = -\rho gh(1 \pm 2hs\sin\alpha/r).$$

Плотность древесины $\rho = 500 \text{ кг/м}^3$, предельно допустимое напряжение $\sigma_{cr} \approx 10^7 \text{ Па}$. Вклады сжимающего напряжения и напряжения изгиба одного порядка при $2hs\sin\alpha/r \sim 1$. При $h/r = 100$, $h = 30 \text{ м}$ величина напряжения σ_m достигает допустимого значения при угле наклона $\alpha = 17^\circ$, $\sin\alpha = 0,3$ (см. статьи: А. Минеев. «Квант». 1992. № 3, 4).

3.3.29. Расположим начало координат в середине основания стены в точке O . Из решения задачи 3.3.28 найдем напряжение на уровне основания насыпи

$$\sigma = -\rho gh + xM_0/I_y, I_y = ab^3/12. \quad (1)$$

Найдем величину момента сил давления песка. На элемент поверхности стены действует сила величиной $\Delta F = \rho g(h-z)a\Delta z$, величина момента силы $\Delta M_0 = \rho g(h-z)az\Delta z$. Модуль полного момента относительно оси y :

$$M_0 = \rho g \int_0^h dz z(h-z)a, M_0 = \rho gah^3/6. \quad (2)$$

Из (1), (2) находим $\sigma = -\rho gh + 2\rho gxh^3/b^3$. Полагая $x = -b/2$, $b/2$, получим напряжение в точках m и n : $\sigma_{m,n} = -\rho gh \pm \rho gh^3/b^2$.

3.3.30. Возьмем стержень с заделанными концами. Температурному расширению $\Delta l = \alpha(t_2 - t_1)l_0$ препятствуют силы реакции на концах. Согласно закону Гука $\sigma = E\alpha(t_2 - t_1)$.

3.4. Волновое движение в среде. Звук

3.4.1. Глубина океана значительно меньше длины волны цунами. В этом случае скорость волны $c = \sqrt{gh}$, где h – равновесное расстояние от поверхности до дна. При приближении к берегу скорость распространения волны уменьшается. Замедление переднего края волны вызывает подъем воды. Высота фронта волны возрастает.

3.4.2. Скорость звука $c = 2lv_1$. Величина силы натяжения $T = \rho S c^2$.

3.4.3. Столкнувшись с заслонкой, слой воды, прилегающей к ней, останавливается и сжимается. Далее останавливаются и сжимаются последующие слои – возникает волна деформации, распространяющаяся навстречу потоку со скоростью звука в воде c_B .

Пусть в момент времени t масса движущейся воды $m(t)$. Остановившаяся масса воды действует на нее силой \vec{F} . Направим ось z параллельно вектору скорости и запишем закон изменения импульса массы воды за интервал времени Δt : $[m(t) - \rho(c_B \Delta t S)]v - m(t)v = F \Delta t$.

Очевидно, на заслонку действует сила $\vec{N} = -\vec{F}$, $\vec{N} = (0, 0, \rho c_B S v)$. Следовательно, давление $p = \rho c_B v$. Полагая $\rho = 10^3$ кг/м³, $c_B = 1500$ м/с, получим $p = 15 \cdot 10^5$ Па. Рассмотренное явление называется гидравлическим ударом. Разрушительное действие капель также объясняется этим явлением.

3.4.4. Пусть $u(t, x)$ – функция, представляющая собой компоненту вектора деформации элементарного плоского участка стержня с координатой x в момент времени t . Проекция на ось x скорости элемента $v(t, x) = \Delta u / \Delta t$. Проекция силы напряжения в соответствующем сечении $T(t, x) = S \sigma(t, x)$, напряжение $\sigma(t, x) = E \varepsilon(t, x)$, где $\varepsilon(t, x) = \Delta u / \Delta x$ – относительное удлинение.

В момент соприкосновения переднего торца стержня с плоскостью $t = 0$ начальные условия имеют вид $u(0, x) = 0$, скорость каждого элемента $v(0, x) = -v_0$. Краевые условия: $u(t, 0) = 0$; при значении $x = L$, на правом торце напряжение равно нулю $\Delta u / \Delta x = 0$ (рис. 3.4.4 а).

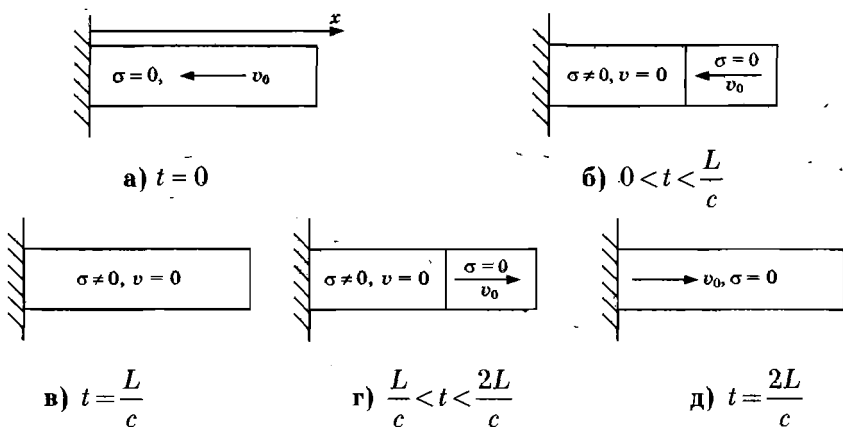


Рис. 3.4.4 а, б, в, г, д

Столкнувшись с плоскостью, прилегающей к ней слой, останавливается и сжимается. Далее останавливаются и сжимаются последующие слои — возникает волна деформации, распространяющаяся вправо со скоростью звука c в твердом теле, $c = \sqrt{E/\rho}$, ρ — плотность материала стержня, E — модуль Юнга.

В интервале времени $0 < t < L/c$ в области $0 < x \leq ct$ скорость элементов $v(t, x) = 0$, напряжение $\sigma = -\rho cv_0 = -Ev_0/c$. В области $ct \leq x < L$ скорость элементов $v(t, x) = v_0$, напряжение $\sigma = 0$ (рис. 3.4.4 б). В момент времени $t = L/c$ фронт волны совпадает с плоскостью правого торца. Скорость стержня равна нулю, деформация $u(L/c, x) = -v_0 x/c$, напряжение во всех сечениях Ev_0/c , энергия деформации $mv_0^2/2$ (рис. 3.4.4 в). Далее волна отражается от правого торца стержня и фронт движется влево. При прохождении фронта относительное удлинение $-v_0/c$ уменьшается до нуля, а скорость элементов возрастает от нуля до v_0 (рис. 3.4.4 г). В момент времени $t = 2L/c$ стержень переходит в недеформированное состояние, все точки стержня имеют скорость $v(2L/c, x) = v_0$, направленную вправо от стенки. В этот момент времени стержень отскочит от плоскости.

Отметим, что строгое решение задачи представляет собой суперпозицию стоячих волн

$$u(t, x) = -\frac{2v_0}{cL} \sum_{n=0}^{\infty} \frac{1}{k_n^2} \sin k_n ct \sin k_n x, \quad kn = \frac{(2n+1)\pi}{2L}.$$

Скорость элементарных сечений и относительное удлинение

$$v(t, x) = -\frac{2v_0}{L} \sum_{n=0}^{\infty} \frac{1}{k_n} \cos k_n ct \sin k_n x,$$

$$\varepsilon(t, x) = -\frac{2v_0}{cL} \sum_{n=0}^{\infty} \frac{1}{k_n} \sin k_n ct \cos k_n x.$$

Энергия упругой деформации на отрезке времени $0 \leq t \leq 2L/c$ равна

$$U = \frac{1}{2} S \int_0^L [E\varepsilon^2(t, x) + \rho v^2(t, x)] dx = \frac{4mv_0^2}{\pi^2} \sum_{k=0}^{\infty} \frac{1}{(2k+1)^2} = \frac{mv_0^2}{2}.$$

3.4.5. Отметим, что функция $p_{ac}(t, x, y, z)$ удовлетворяет основному уравнению акустики — волновому уравнению. Эта функция может описывать волну, возбуждаемую хлопком. Волновой процесс реализуется элементарными массами воздуха, которые не колеблются, а последовательно смещаются и возвращаются в равновесные по-

ложения. Уравнение фронта волны $r - ct = \text{const}$ или $r - ct = r_1 - ct_1$. Мы получили уравнение поверхности сферы $r = r_1 + c(t - t_1)$, движущейся со скоростью c .

3.4.6. Движение воздуха в точке наблюдения $P(x, y, z)$ начинается в момент времени $t_1 = (r - a)/c$ и заканчивается при $t_2 = (r + a)/c$, где $r = SP$ — расстояние между точками S и P (рис. 3.4.6). Волна проходит через точку P в течение времени $2a/c$. Другими словами волна имеет форму шарового слоя толщиной $2a$, заключенного между сферами радиусов $ct - a$ и $ct + a$. Внутри этого слоя давление изменяется по линейному закону $p = p_0 + p_s$, $p_s = \Delta p_0(r - ct)/2r$ — в наружной части воздух сжат, а во внутренней — разрежен.

Поражающее действие волны зависит от максимального значения p_m функции p_s . При $p_m \sim 20\text{--}40$ кПа возможны легкие травмы, при $p_m > 50$ кПа последствия могут быть крайне тяжелыми.

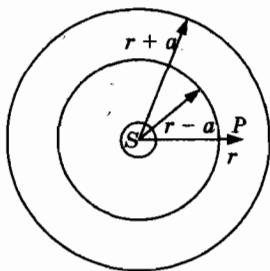


Рис. 3.4.6

3.4.8. В замкнутом сосуде наименьшая из собственных частот порядка величины c/L , где L — линейные размеры сосуда. При наличии же маленького отверстия в стенке сосуда появляется новый вид звуковых волн с собственной частотой $\nu \ll c/L$ и длиной волны $\lambda \gg L$. Если дуть у горлышка бутылки, то можно услышать звук определенного тона. Колебания воздуха обусловлены тем, что при возбуждении разности давлений внутри и вне сосуда, появляется сила упругости, действующая на воздух в сосуде и горлышке. В результате действия этой силы воздух будет входить и выходить из сосуда наружу. Поскольку отверстие достаточно мало, то этот обмен происходит медленно. Поэтому период колебаний воздуха велик, а частота соответственно мала. Что же касается обычных собственных стоячих звуковых волн внутри замкнутого сосуда, то наличие малого отверстия практически не влияет на их параметры.

На элементарную массу Δm объемом ΔV , находящуюся в точке с координатами x, y, z , действует сила (3.1.1). Направим ось z наружу перпендикулярно плоскости поперечного сечения горлышка. Поскольку $\lambda \gg L$, то зависимостью давления от координат в области трубки можно пренебречь. В этом случае $\Delta p/\Delta z \approx -p_s/l$, где $p_s(t) = p(t) - p_0$ — звуковое давление, p_0 — величина постоянного давления вне сосуда, $p(t)$ — давление внутри сосуда в некоторый момент времени.

Пусть u — проекция скорости малого элемента массы воздуха Δm , объемом ΔV . Тогда из второго закона Ньютона получим уравнение

$$(\Delta m) du/dt = -\Delta p/\Delta z (\Delta V) \text{ или } \rho du/dt = -\Delta p/\Delta z. \quad (1)$$

Мы ограничимся рассмотрением движения воздуха в горлышке сосуда при малых отклонениях от равновесного состояния с давлением p_0 и плотностью ρ_0 . Тогда в (1) можно положить $\rho \approx \rho_0$, $\Delta p/\Delta z \approx -p_s/l$. В этом случае уравнение движения приобретает вид

$$\rho_0 du/dt = p_s/l. \quad (2)$$

Приращения звукового давления Δp_s и плотности воздуха $\Delta \rho_s$ связаны соотношением

$$\Delta p_s = c^2 \Delta \rho_s, \quad (3)$$

где c — скорость звука.

С другой стороны приращение плотности воздуха в резонаторе $\Delta \rho_s = -S \rho_0 u \Delta t / V$. Переходя к пределу $\Delta t \rightarrow 0$ в (3) получим еще одно уравнение

$$dp_s/dt = -c^2 S \rho_0 u / V. \quad (4)$$

Из (2), (4) следует уравнение гармонических колебаний

$$d^2 p_s / dt^2 + \omega_0^2 p_s = 0, \quad \omega_0 = c[S/(lV)]^{1/2}. \quad (5)$$

Пусть в момент времени $t = 0$ звуковое давление $p_s(0) = 0$. Тогда решение (5) представляет собой функцию $p_s(t) = A \sin \omega_0 t$. Собственная частота колебаний давления $\nu_0 = (c/2\pi)[S/(lV)]^{1/2}$.

3.4.9. Давление и скорость воздуха в сечении z имеют вид

$$p_s(t, x, y, z) = a \cos kz \cos \omega t, \quad v(t, x, y, z) = (a/c\rho_0) \sin kz \sin \omega t. \quad (1)$$

Звуковая волна (1) называется *стоячей волной*. Это решение описывает также волны в плоском слое воды.

На торце трубы в плоскости $z = H$ звуковое давление равно нулю: $p_s(t, z = H) = 0$ или $\cos kH = 0$. Отсюда находим допустимые значения волнового числа $k = k_n$, $k_n = \pi(n + 1/2)/H$, $n = 0, 1, 2, \dots$. Поскольку $k = 2\pi/\lambda$, то длина волны $\lambda_n = 2H/(n + 1/2)$.

Если в трубке установить генератор звука частотой ν , то он может возбудить звуковое давление, представляющее собой наложение парциальных давлений, создаваемых всеми стоячими волнами. При значениях частоты $\nu \neq \nu_n = c/\lambda_n$, $\nu_n = (n + 1/2)c/2H$ звук практически не возбуждается.

Однако при фиксированном значении $\nu = \nu_n$, $\nu_n = (n + 1/2)c/(2H)$ основной вклад вносит стоячая волна частоты ν_n , заметно превосходя все остальные. Этот эффект является следствием резонанса — явления избирательного отклика системы на возбуждение звука генератором гармонических колебаний: при значении $\nu = (n + 1/2)(c/2H)$ в трубке возбуждается практически только одна стоячая волна. Основные частота и длина волны, соответствующие значению $n = 0$, равны $\nu_0 = c/4H$, $\lambda_0 = 4H$. Спектр частот содержит лишь нечетные гармоники основной частоты $\nu_n = (2n + 1)\nu_0$.

Интересно, что ухо человека, имеющее глубину $\sim 2,7$ см, наиболее чувствительно к звукам частотой 3 кГц близкой к частоте ν_0 .

3.4.10. Давление и скорость воздуха в сечении z имеют вид

$$p_s(t, x, y, z) = a \sin kz \sin \omega t, \quad v(t, x, y, z) = (a/c\rho_0) \cos kz \cos \omega t.$$

Из уравнения $\sin kH = 0$ находим $k = k_n$, $k_n = \pi n/H$, $n = 1, 2, \dots$. Допустимые значения длин волн $\lambda_n = 2H/n$. Резонансные значения частот $\nu_n = nc/2H$. Звук, возбуждаемый генератором на частоте $\nu_1 = c/2H$, называется основным тоном. Длина волны основного тона $\lambda_1 = 2H$. Звуки, частот $\nu_n = n\nu_1$, соответствующие значениям $n = 2, 3, \dots$, называются обертонами. В органной трубке возбуждается «светлый звук», поскольку в нем присутствуют все обертоны основного тона.

Музыкальные инструменты из труб изготавливались еще в Древнем мире. В X в. органы, содержащие до 400 труб начинают использовать в христианских церквях. Современные органы имеют около 40 000 труб.

Набор открытых трубок можно использовать в качестве направленного микрофона. Длина трубки $H_i = c/2\nu_i$ определяется резонансной частотой звука. Основной диапазон разговора 300–3300 Гц перекрывается трубками длиной от 55 см до 5 см. С помощью такого микрофона можно прослушать разговор на расстоянии до 1 км в пределах прямой видимости.

3.4.11. Учитывая, что $ds/dt = \vec{s}\vec{u}/s$, получим

$$\omega_s(t, x, y, z) = \omega(1 + \vec{n}\vec{u}/c),$$

где $\vec{n} = -\vec{s}/s$ — единичный вектор, перпендикулярный фронту волны.

При приближении источника к наблюдателю ($\vec{n}\vec{u} > 0$) частота принимаемой волны возрастает $\omega_n > \omega$. При удалении источника излучения ($\vec{n}\vec{u} < 0$) частота принимаемой волны $\omega_n < \omega$. Зависимость частоты звуковой волны, принимаемой наблюдателем, от относительной скорости наблюдателя и источника излучения была открыта в 1842 г. австрийским ученым Х. Доплером.

3.4.12. Частота звуковой волны, принимаемой мышью

$$\omega_n(t) = d\Phi/dt, \quad \omega_n(t) = \omega[1 + 2\vec{n}\vec{v}_{bm}/c],$$

где $\vec{n} = -\vec{s}/s$ — единичный вектор, перпендикулярный фронту волны, отраженной от бабочки,

$\vec{v}_{bm} = \vec{v}_b(t) - \vec{v}_m(t)$ — скорость бабочки относительно мыши.

При скорости ~ 5 м/с мышь способна фиксировать разность частот $\omega_p = \omega_n - \omega$ меньшую, чем значение $\sim 3\omega/100$. Она стремится лететь так, чтобы реализовать неравенство $\omega_n > \omega$, соответствующее сближению с целью. Если относительная скорость бабочки образует острый угол с вектором \vec{n} , то $\vec{n}\vec{v}_{bm} > 0$, $\omega_n > \omega$ — мышь догонит бабочку.

Частота следования импульсов может изменяться от 10 до 200 Гц, а минимальная длительность $\tau = 0,5$ мс. Фиксируя время запаздывания отраженного сигнала, мышь может обнаружить комара на расстоянии $s = 18$ м.

3.4.13. График $\omega(t)$ изображен на рис. 3.4.13 сплошной линией. Частота волны, отраженной от объекта на расстоянии s , изменяется по такому же закону, но только со сдвигом во времени:

$$\omega_{\text{отп}}(t) = \omega_0 - p(t - 2s/c).$$

Через промежуток времени $t_s = 2s/c$ после начала импульса частота принимаемой отраженной волны имеет значение ω_0 линейно уменьшается.

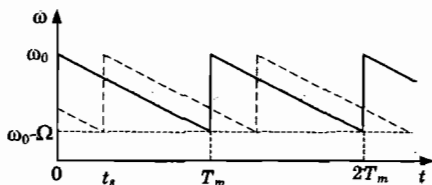


Рис. 3.4.13

На рис. 3.4.13 график $\omega_{\text{отп}}(t)$ — пунктирная линия. Разность частот $\omega_p = \omega_{\text{отп}}(t) - \omega(t) = 2ps/c$ пропорциональна расстоянию s . Если

отраженный импульс регистрировать в течение интервала времени T_m после излученного импульса, то эта система позволяет с высокой точностью измерять расстояния $s < 30$ см. Отражение импульса от двух объектов на расстояниях s_1 и $s_2 > s_1$ фиксируется как возрастание частоты относительно частоты генератора на величины $2ps_1/c$ и $2ps_2/c$. Однако многие насекомые и бабочки, пользуясь приемниками ультразвука, научились спасаться от мышей, маневрируя или включая активное глушение.

3.4.14. Громкость — параметр звука, характеризующий субъективное восприятие интенсивности. Звуки в области частот 1–5 кГц кажутся более громкими, чем звуки той же интенсивности в других областях частот. По мере повышения интенсивности различие в громкости звуков различных частот уменьшается. В музыкальной практике различают восемь ступеней громкости от пианиссимо (*pp* — очень тихо) и пиано (*p*) до форте (*f*) и фортиссимо (*ff* — очень сильно).

Высота — субъективная характеристика звука, зависящая, в основном, от частоты звука. Гармоническое колебание называют *тоном*. Повышение тона на одну *октаву* означает увеличение частоты в два раза. В области частот больших 500 Гц это соответствие нарушается.

Диапазон музыкальных инструментов принято различать по числу октав: фортепиано — семь с четвертью, арфа — шесть с четвертью. Диапазон голоса человека — две с половиной октавы. Ухо может воспринимать почти десять с половиной октав.

Тембр — субъективная характеристика качества звука, зависящая, в основном, от спектрального состава. Наличие обертонов и создает «окраску» звука. Высокие обертоны придают звуку резкость. Сурдина, надеваемая на трубу, приглушает высокие гармоники и смягчает тембр. Современные электромузыкальные инструменты позволяют формировать совершенно новые звуковые структуры и новые тембры в результате компьютерного синтеза спектра звуков, возбуждаемых радиотехническими устройствами.

Глава IV. ЭЛЕКТРИЧЕСТВО

4.1. Закон Кулона. Заряд в электростатическом поле. Напряженность и потенциал поля.

4.1.1. Первую теорию электрических явлений создал в 1746–54 гг. американский физик, политический и общественный деятель Бенджамин Франклин. Согласно его теории в каждом нейтральном теле содержится определенное количество «электрической жидкости». Если в теле появляется ее излишек, то тело имеет положительный заряд, недостаток — соответствует отрицательному заряду. Когда натирают стеклянную палочку шелком, электрическая жидкость переходит от шелка к стеклу, которое приобретает положительный заряд. После открытия электрона стало ясно, что электроны переходят от стеклянной палочки на шелк. Однако к этому времени представления, введенные Франклином, прочно утвердились в электротехнике. Для того чтобы не менять установившуюся терминологию и маркировку «-», «+» генераторов и моторов, пришлось приписать электронам отрицательный заряд.

4.1.3. Шарики получают противоположные по знаку заряды величиной $q = Ne$, где $N = mN_A/M$ — число атомов свинца в шарике, e — величина заряда электрона. Величина силы притяжения, действующей на один из шариков $F = k \left(\frac{mN_A e}{Mr} \right)^2$. Подставляя числовые значения, получим $F = 2 \cdot 10^{15}$ Н. Это — очень большое число; столько весят заполненный водой куб с длиной ребра $L = \left(\frac{F}{\rho g} \right)^{\frac{1}{3}} \approx 5,9$ км.

Этот пример весьма поучителен. В каждом предмете нашего мира число положительных зарядов почти точно равно числу отрицательных зарядов. Все электрические явления, изучаемые в обычных условиях, обусловлены ничтожным нарушением баланса положительных и отрицательных зарядов.

4.1.5. На заряд Q со стороны зарядов q_1 и q_2 действуют силы \vec{F}_1 и \vec{F}_2 одинаковой величины $\frac{kqQ}{s^2}$, $s^2 = r^2 + \frac{l^2}{4}$ (рис. 4.1.5 а). Для вычисления вектора $\vec{F} = \vec{F}_1 + \vec{F}_2$ необходимо ввести систему координат.

Проекция вектора \vec{F} на оси координат $F_x = \frac{2kqQ}{s^2} \sin \frac{\alpha}{2}$, $F_y = 0$, $F_z = 0$, где α — угол AMB . Из треугольника AMC находим $\sin \alpha/2 = l/2s$.

Следовательно, $F_x = \frac{kqQl}{(r^2 + l^2/4)^{3/2}}$.

Пусть $q = 10^{-10}$ Кл, $a = 5,6$ см, $Q = 10^{-8}$ Кл, $r = 9,6$ см.

Тогда $F_x = 5,14 \cdot 10^{-7}$ Н.

Если заряд Q находится на расстоянии $r \gg l$, то $F_x \approx kQp/r^3$, $p = ql$.

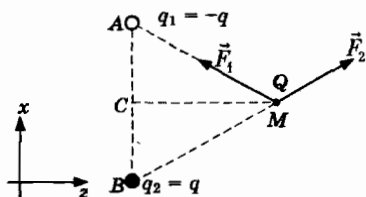


Рис. 4.1.5 а

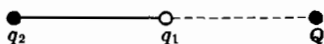


Рис. 4.1.6 б

4.1.6. На рис. 4.1.6 б сила, действующая на диполь со стороны заряда Q : $\vec{F} = (0, 0, F_z)$, $F_z = \frac{kqQ}{(r-l/2)^2} - \frac{kqQ}{(r+l/2)^2} = \frac{2kqQrl}{(r^2 - l^2/4)^2}$.

Если $r \gg l$ то $F_z = 2kQp/r^3$. Диполь притягивается к заряду.

4.1.7. Сумма сил, действующих на заряды q и $4q$ на рис. 4.1.7 равна нулю: $T_{AB} = 4kq^2/4L^2 + 2kq^2/L^2 = 3kq^2/L^2$, $T_{BC} = kq^2/L^2 + 8kq^2/L^2 = 9kq^2/L^2$.

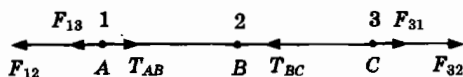


Рис. 4.1.7

4.1.8. На рис. 4.1.8 изображены силы, действующие на заряды. Сумма проекций сил на горизонтальное и вертикальное направления равна нулю: $T \cos \pi/4 - kq^2/2L^2 = 0$, $T \sin \pi/4 - mg = 0$.

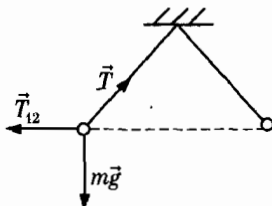


Рис. 4.1.8

4.1.9. Для удобства обозначим заряды на рис. 4.1.9: $q_1 = q_3 = Q$, $q_2 = q_4 = q$. На каждый заряд действуют силы электростатического отталкивания и силы натяжения нитей.

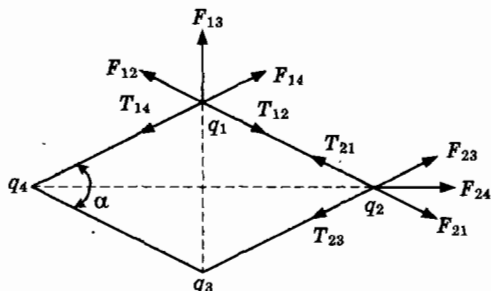


Рис. 4.1.9

Для решения задачи в силу симметрии системы достаточно использовать условия равновесия зарядов q_1 и q_2 .

$$\vec{F}_{12} + \vec{F}_{13} + \vec{F}_{14} + \vec{T}_{12} + \vec{T}_{14} = 0, \quad (1)$$

$$\vec{F}_{23} + \vec{F}_{24} + \vec{F}_{21} + \vec{T}_{23} + \vec{T}_{21} = 0. \quad (2)$$

Проекция (1) на ось x и (2) на ось y приводят к тождеству $0 = 0$. Проекция (1) на ось y и (2) на ось x приводят к уравнениям

$$\frac{kQ^2}{(2a \sin \alpha / 2)^2} + 2 \frac{kqQ}{a^2} \sin \alpha / 2 - 2T \sin \alpha / 2 = 0, \quad (3)$$

$$\frac{kq^2}{(2a \cos \alpha / 2)^2} + 2 \frac{lqQ}{a^2} \cos \alpha / 2 - 2T \cos \alpha / 2 = 0. \quad (4)$$

Здесь a — расстояние между зарядами.

Из (3)–(4) находим $\operatorname{tg} \alpha / 2 = (Q/q)^{2/3}$.

4.1.10. Согласно свойству суперпозиции напряженность электрического поля в точке $P(x, y, z)$ равна

$$\vec{E}(\vec{r}) = \vec{E}_1(\vec{r}_+) + \vec{E}_2(\vec{r}_-),$$

где $\vec{E}_{1,2}$ — напряженность поля, создаваемая зарядами $\pm Q$,

$\vec{r}_\pm = \vec{r} \pm \vec{a}$ (рис. 4.1.10).

Подставляя значения напряженностей, получим

$$\vec{E}(\vec{r}) = \frac{kQ(\vec{r} + \vec{a})}{|\vec{r} + \vec{a}|^3} - \frac{kQ(\vec{r} - \vec{a})}{|\vec{r} - \vec{a}|^3}.$$

4.1.11. Расположим заряд q_1 в начале системы координат O , радиус-вектор заряда $q_2 - \vec{b}$ (рис. 4.1.11). Потенциал, создаваемый зарядами в точке $P(x, y, z)$ $\varphi(x, y, z) = kQ/r - kq/r_2$, где $\vec{r}_2 = \vec{r} - \vec{b}$. Поверхность нулевого потенциала представляет собой множество точек, радиус-вектор которых $\vec{s} = (x, y, z)$ удовлетворяет уравнению

$$0 = Q/s - q/|\vec{s} - \vec{b}|. \quad (1)$$

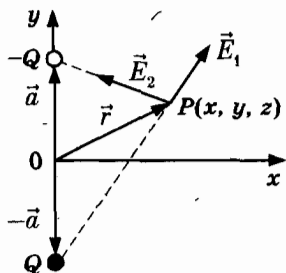


Рис. 4.1.10

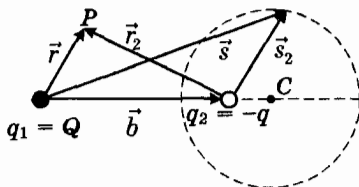


Рис. 4.1.11

Возведем обе части (1) в квадрат и введем величину $p = 1 - (q/Q)^2$. Выделяя полный квадрат, получим уравнение сферы

$$(\vec{s} - \vec{r}_0)^2 = R^2, \quad \vec{r}_0 = \vec{b}/p,$$

$$R^2 = (b^2/p)(1/p - 1),$$

где \vec{r}_0 — радиус-вектор центра сферы, R — радиус.

Например, при значении $Q = 2q_0$, $q = q_0$ получим $r_0 = 4b/3$, $R = 2b/3$. Расстояние между центром сферы и зарядом q_2 равно $r_0(q/Q)$. На поверхности сферы вектор напряженности поля перпендикулярен поверхности. Если $Q = q_0$, $q = q_0$, то имеем уравнение плоскости $\vec{b}\vec{r} = b^2/2$, перпендикулярной вектору \vec{b} .

4.1.12–4.1.14. Потенциал, создаваемый системой зарядов в точке a , равен сумме потенциалов $\varphi_n = kq_n/r_{an}$, создаваемых зарядами q_n , r_{an} — расстояние между точечным зарядом q_n и точкой a ($n = 1, 2, \dots$).

4.1.15. А. Каждый заряд создает в точке O на рис. 4.1.15 а напряженности полей \vec{E}_1 , \vec{E}_2 , \vec{E}_3 одинаковой величины. Напряженность поля в точке O равна сумме трех векторов $\vec{E} = \vec{E}_1 + \vec{E}_2 + \vec{E}_3$. В этом случае суммы проекций на «горизонтальное» и «вертикальное» направления равны нулю: $\vec{E} = \vec{0}$.

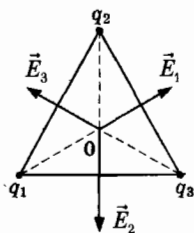


Рис. 4.1.15 а

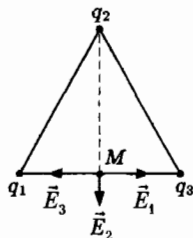


Рис. 4.1.15 б

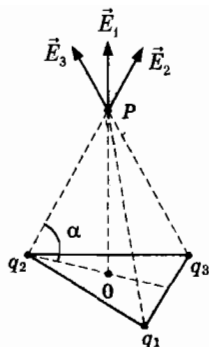


Рис. 4.1.15 в

Б. Сумма векторов \vec{E}_1 и \vec{E}_3 в точке M на рис. 4.1.15 б равна нулю. Напряженность поля в точке M на рис. 4.1.15 б

$$\vec{E} = \vec{E}_2, \quad E_2 = kq / (a \sin \pi/3)^2.$$

В. Каждый заряд создает в точке P на рис. 4.1.15 в напряженность поля величиной kq/a^2 . Векторы напряженности образуют с вертикалью угол $\pi/2 - \alpha$. Из треугольника q_2OP находим $\sin \alpha = \sqrt{2/3}$. Сумма горизонтальных компонент векторов $\vec{E}_1, \vec{E}_2, \vec{E}_3$ равна нулю, а сумма вертикальных компонент $E_p = \sqrt{6} kq/a^2$.

4.1.17. Потенциальная энергия заряда $W = q\phi$, $q = -e_0$ — заряд электрона. Используя закон сохранения полной энергии $0 - e_0\phi_1 = mv^2/2 - e_0\phi_2$, получим значение $v = \sqrt{2e_0(\phi_2 - \phi_1)/m}$.

4.1.18. Представим заряд Q в виде суммы элементарных зарядов Δq , каждый из которых создает в точке P электрическое поле напряженностью $\Delta \vec{E}_n$ ($n = 1, 2, \dots, N$) величиной $\Delta E = k\Delta q / (R^2 + z^2)^{1/2}$ (рис. 4.1.18).

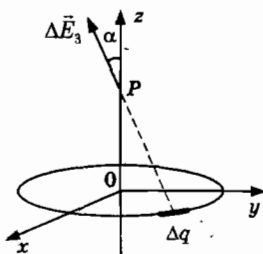


Рис. 4.1.18

Вычисляя сумму проекций на оси x, y, z получим $\vec{E}(z) = (0, 0, E_z)$,
 $E_z = kQ \cos \alpha / (R^2 + z^2)$, или $E_z = kQz / (R^2 + z^2)^{3/2}$. Максимальное значение
 $E_{z \max} = 2\sqrt{3} kQ / 9R^2$, при $z = z_m, z_m = R/\sqrt{2}$.

Потенциал поля $\varphi(z) = kQ / (R^2 + z^2)^{1/2}$.

4.1.20. Учитывая решение задачи 4.1.16, получим $\varphi_0 = kQ/R$,
 $\varphi_1 = \varphi_0 / \sqrt{2}$.

4.1.21. Из теоремы об изменении полной энергии находим
 $A = q(\varphi_1 - \varphi_0)$.

4.1.22. Потенциальная энергия взаимодействия частицы и кольца
 $W(r) = -kQ^2 / \sqrt{R^2 + r^2}$, где r — расстояние между центром кольца
и частицей. Из закона сохранения импульса системы следует, что в
момент «столкновения» скорости направлены в противоположные
стороны и имеют одинаковые величины v . Значение v найдем из за-
кона сохранения полной энергии $0 - kQ^2/2a = mv^2 - kQ^2/a, v_0 = 2v$.

4.1.23. Потенциал электрического поля

$$\varphi(0, 0, z) = \frac{kQ}{[R^2 + (z + R/2)^2]^{1/2}} - \frac{kQ}{[R^2 + (z - R/2)^2]^{1/2}}.$$

Потенциал представляет собой нечетную функцию z . Постройте
график этой функции. Напряженность электрического поля $E_z = E_y = 0$,

$$E_z(0, 0, z) = \frac{kQ(z + R/2)}{[R^2 + (z + R/2)^2]^{3/2}} - \frac{kQ(z - R/2)}{[R^2 + (z - R/2)^2]^{3/2}}.$$

Отметим, что $E_z(0, 0, 0) = 8kQ / (25\sqrt{5} R^2)$.

4.1.24. Согласно теореме об изменении полной энергии работа, со-
вершаемая внешней силой, равна приращению полной энергии

$$A = W_2 - W_1, W_1 = \frac{kq_1q_2}{l_{21}} + \frac{kq_1q_3}{l_{13}} + \frac{kq_3q_2}{l_{23}},$$

$$W_2 = \frac{kq_1q_2}{l_{21}} + \frac{kq_2q_3}{l_{13}} + \frac{kq_3q_1}{l_{23}}.$$

Следовательно, $A = q_3(q_1 - q_2) \left(\frac{1}{l_{23}} - \frac{1}{l_{13}} \right)$.

4.1.25. Работу внешних сил A' найдем из закона изменения пол-
ной энергии: $A' = W_f - W_p$, где W_p, W_f — значение потенциальной энер-
гии системы зарядов в начальном и конечном состояниях: $W_i = -kq^2/a$,
 $W_f = -kq^2/a + kqQ/(r + a/2) - kqQ/(r - a/2)$.

Следовательно, $A' = -kqQa/(r^2 - a^2/4)$.

4.1.26. Согласно определению потенциала электростатического поля имеем уравнение $\Delta \bar{E}_0 \bar{r} = -\Delta \phi$, из которого находим

$$\phi(x, y, z) = -\bar{E}_0 \bar{r} + \text{const.}$$

4.1.27. Поскольку мы ввели понятие потенциальной энергии, то вычисление работы A' можно произвести косвенным путем, используя закон сохранения полной энергии: $A' = W_f - W_v$, W_v , W_f — потенциальная энергия диполя в начальном и конечном состояниях. Пусть z координата заряда q равна a . Используя свойство суперпозиции, найдем $W_i = +qE_0 a - qE_0(a+l) = -qE_0 l$, $W_f = qE_0 l$.

Следовательно, $A' = 2qE_0 l$. Очевидно, диполь, находился в состоянии устойчивого равновесия с наименьшим значением потенциальной энергии. Поэтому работа внешних сил при перемещении диполя в состояние с большей потенциальной энергией положительна.

4.1.28. А. $E = ke/a^2$, $e = 1,6 \cdot 10^{-16}$ Кл.

Б. $\phi = ke/a$.

В. Полная энергия $E_t = \frac{mv^2}{2} - \frac{ke^2}{a}$. Согласно второму закону

Ньютона $mv^2/a = ke^2/a^2$. Следовательно, $E_t = -\frac{ke^2}{2a}$, $E_t = -13,6$ эВ.

Г. $v = \sqrt{ke^2/ma}$, $mc^2 = 0,5$ МэВ, $v = 2c \sqrt{13,6} \cdot 10^{-3} \approx c/137$.

4.1.29. Из второго закона Ньютона получим уравнение

$$m(2\pi v)^2 r_n = ke^2/r_n^2, \quad v = (ke^2/mna^3)^{1/2} (1/2\pi n);$$

$$1/2\pi \approx 0,16, \quad ke^2/2a^2 = 13,6 \text{ эВ.}$$

4.1.31. На шарик действуют сила тяжести, сила натяжения нити и сила со стороны электрического поля: $0 = m\vec{g} + \vec{T} + q\vec{E}$. Из этого уравнения находим $\text{tg} \alpha = qE/mg$.

4.1.32. Пусть начальное положение частицы $x(0) = 0$, $z(0) = d$. Проекция радиус-вектора (4.1.4 a) на оси x и z представляют собой две функции

$$x(t) = -gt^2/2, \quad (1)$$

$$z(t) = d - qV_0 t^2 / (2md) \quad (2).$$

В момент времени $t = T$ частица столкнется с отрицательно заряженной пластиной. Этому событию соответствуют значения функций $x(T) = -h$, $z(T) = 0$. Учитывая (1), (2) получим систему $h = gT^2/2$, $0 = d - qV_0 T^2 / (2md)$, из которой находим $h = mgd^2 / (qV_0)$.

4.1.33. Из уравнений (4.1.3) следует, что электрон движется параллельно оси z . Скорость электрона $\vec{v} = (0, 0, v)$. Найдём $v(z)$ при $z = d$ используя закон сохранения полной энергии $\frac{mv^2}{2} + W(z)$, где

$W(z) = -\frac{e_0 V_0 z}{d}$ — потенциальная энергия электрона в однородном

поле. Приравнявая полные энергии в точках $z = 0$ и $z = d$, имеем:

$$0 + 0 = \frac{mv_1^2}{2} - e_0 V_0 \quad \text{или} \quad v_1 = \sqrt{\frac{2e_0 V_0}{m}}.$$

Для электрона $e_0/m = 1,76 \cdot 10^{11}$ Кл/кг, $v_1 = 5,94 \cdot 10^5$ м/с.

А теперь создадим разность потенциалов $V_0 = 10^6$ В.

Тогда $v = 1,98 c$, $c = 3 \cdot 10^8$ м/с — скорость света. Скорость электрона станет больше скорости света. Возможно, вы уже знаете, что этот результат противоречит экспериментальным фактам и теории относительности. В чем причина этого несоответствия? Дело в том, что механика Ньютона описывает движение частиц со скоростями $v \ll c$. В механике, согласованной с теорией относительности, скорость приобретаемая электроном, выражается соотношением (см. задачу 12.3.7)

$$v = \sqrt{\frac{2e_0 V_0}{m} \frac{\sqrt{1 + e_0 V_0 / 2mc^2}}{1 + e_0 V_0 / mc^2}}.$$

Для того чтобы оставаться в рамках механики Ньютона, приращение потенциальной энергии должно удовлетворять условию $e_0 V_0 \ll mc^2$. Подставляя значение $mc^2 = 0,5$ МэВ, получим неравенство $V_0 \ll 5 \cdot 10^5$ В. Если выполняется условие $V_0 \gg 5 \cdot 10^5$ В, то скорость электрона приближается к скорости света $v \approx c$.

4.1.34. Расположим координатную ось x вдоль трубки и поместим начало координат в середину.

Пусть x — координата заряда. Используя закон сохранения полной энергии можно найти зависимость величины скорости от x :

$$0 + \frac{kqQ}{s-b} + \frac{kqQ}{s+b} = \frac{mv^2}{2} + \frac{kqQ}{s-x} + \frac{kqQ}{s+x}.$$

Разрешенная область движения определяется неравенством $v^2(x) \geq 0$ или $x \leq b$.

4.1.35. Согласно второму закону Ньютона

$$ma = -\frac{kqQ}{(s-x)^2} + \frac{kqQ}{(s+x)^2}.$$

Ускорение заряда $a = \frac{4kqQax}{m(s^2 - x^2)^2}$. Если $x \ll b$, то $a \approx -\omega^2 x$,

$$\omega^2 = \frac{4kqQ}{ms^3}, \quad x(t) = b \cos \omega t. \quad \text{Скорость заряда } v(t) = -\omega b \sin \omega t.$$

4.1.36. Потенциал, создаваемый системой в точке $(0, 0, z)$

$$\varphi(0, 0, z) = \frac{kQ}{[R^2 + (z + R/2)^2]^{1/2}} + \frac{kQ}{[R^2 + (z - R/2)^2]^{1/2}}.$$

Потенциальная энергия взаимодействия электрона с электрическим полем $W(z) = -e_0 \varphi(0, 0, z)$ представляет собой потенциальную яму (рис. 4.1.36 а). Минимальное значение $W_{\min} = -4ke_0Q/(\sqrt{5}R)$. При значениях $Q = 10$ нКл, $R = 1$ см получим $W_{\min} = -16,1$ кэВ. Напряженность электрического поля

$$E_z(0, 0, z) = \frac{kQ(z + R/2)}{[R^2 + (z + R/2)^2]^{3/2}} + \frac{kQ(z - R/2)}{[R^2 + (z - R/2)^2]^{3/2}}.$$

График этой функции представлен на рис. 4.1.36 б. Используя разложение $(1 + \varepsilon)^n \approx 1 + n\varepsilon$, $\varepsilon \ll 1$, получим $E_z(0, 0, z) \approx 32kQz/(25\sqrt{5}R^3)$.

Поскольку проекция силы, действующей на электрон $F_z = -e_0 E_z$, то из второго закона Ньютона имеем уравнение

$$a = -\omega^2 z, \quad \omega^2 = 32kQ/(25\sqrt{5}mR^3).$$

Отметим, что потенциал в окрестности начала координат $|x|, |y|, |z| \ll R$ можно представить в виде $\varphi(x, y, z) = \varphi_0 + (V_0/2R^2)(x^2 + y^2 - 2z^2)$, $\varphi_0 = 4kQ/\sqrt{5}R$, $V_0 = 16kQ/(25\sqrt{5}R)$. В этом случае напряженность поля $E_x = -(V_0/R^2)x$, $E_y = -(V_0/R^2)y$, $E_z = (2V_0/R^2)z$.

Движение электрона в поле двух заряженных колец неустойчиво — при произвольных начальных условиях электрон окажется на бесконечно большом расстоянии от системы.

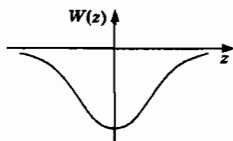


Рис. 4.1.36 а

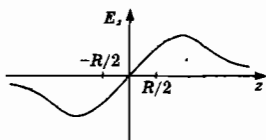


Рис. 4.1.36 б

4.1.37. Пусть $v(z)$ — скорость протона в точке с координатой z . Согласно закону сохранения полной энергии $mv_0^2/2 = mv^2(z)/2 + W(z)$,

где $W(z) = e\varphi(0, 0, z)$ — потенциальная энергия протона в электрическом поле колец. Максимальное значение $W_{\max} = 4ke_0Q/(\sqrt{5}R)$. Поскольку $v^2(z) > 0$, то $mv_{\text{ом}}^2/2 > W_{\max}$.

4.1.38. Положение диполя определяется тремя функциями: радиус-вектором центра масс $\vec{R} = (x, y, 0)$ и углом φ между вектором дипольного момента $\vec{p} = q\vec{L}$ и осью x (рис. 4.1.38). Уравнения движения центра масс твердого тела — диполя имеют вид $ma_x = 0$, $ma_y = -mg$. Угловая скорость диполя $\vec{\omega} = (0, 0, \omega)$, проекция момента сил, действующих на диполь относительно центра масс $M_x = -qLE_0\sin\varphi$.

Следовательно, третье уравнение движения

$$Jd\omega/dt = -qLE_0\sin\varphi, \quad (1)$$

где $J = m(L/2)^2$ — осевой момент инерции, $\omega = d\varphi/dt$.

Для малых углов $\varphi \ll 1$, $\sin\varphi \approx \varphi$. Из (1) следует уравнение

$$d^2\varphi/dt^2 = -\Omega^2\varphi, \quad \Omega^2 = qLE_0/J.$$

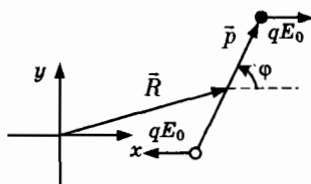


Рис. 4.1.38

4.1.39. Пусть x_1, x_2 — координаты частиц, $x_2 > x_1$. Из второго закона Ньютона следует система уравнений

$$m_1a_1 = q_1E + k(x_2 - x_1 - l_0), \quad (1)$$

$$m_2a_2 = q_2E - k(x_2 - x_1 - l_0). \quad (2)$$

Переходя к новым переменным $x_1 = x_c - (m_2/m)x$, $x_2 = x_c + (m_1/m)x$, $m = m_1 + m_2$, получим из (1), (2) уравнения движения центра масс x_c и относительной координаты x :

$$ma_c = (q_1 + q_2)E, \quad (3)$$

$$\mu a = F - k(x - l_0), \quad (4)$$

$$F = (q_2m_1 - q_1m_2)E/m, \quad \mu = (m_1 + m_2)/m.$$

Полагая в уравнении (4) $x = l_0 + F/k + x'$, получим уравнение гармонических колебаний

$$\mu a' + kx' = 0. \quad (5)$$

Согласно начальным условиям $x'(0) = -F/k$, $v'(0) = 0$ решение уравнения (5) $x'(t) = -(F/k)\cos\omega t$, $\omega^2 = k/\mu$.

4.1.40. В 1903 г. Р. Вильсон получил величину заряда электрона $e = 1,03 \cdot 10^{-19}$ Кл. В 1906 г. Милликен предпринял попытку измерить заряд электрона точнее, чем это удалось Вильсону. Для уменьшения испарения вместо капелек воды он взял минеральное масло. На каплю действуют сила тяжести, сила сопротивления воздуха, выталкивающая сила и сила со стороны электрического поля напряженностью $\vec{E} = (0, 0, E)$. Согласно второму закону Ньютона получим уравнение

$$0 = m\vec{g} - 6\pi\eta a \vec{v} + \vec{F} + q\vec{E}. \quad (1)$$

Если $E = 0$, то имеем $v_z = -v_0$,

$$6\pi\eta av_0 - 4\pi a^3 \rho_0 g/3 = 0, \quad (2)$$

где $\rho_0 = \rho_m - \rho_v$, ρ_m , ρ_v — плотности масла и воздуха.

Из (2) находим радиус капли. При движении капли вверх в электрическом поле получим из (1) уравнение

$$-6\pi\eta av - m_0 g + qE = 0, \quad (3)$$

где m_0 — эффективная масса капли $m_0 = (4\pi\rho_0/3)(9\eta v_0/2g\rho_0)^{3/2}$.

Следовательно, заряд капли можно представить в виде

$$q = (v/v_0 + 1)m_0 g/E.$$

Вязкость воздуха по данным Милликена $\eta = 0,9199 \cdot 10^{-5}$ Н · с/м². Милликен измерил величину скорости $v_0 = 8,59 \cdot 10^{-4}$ м/с и вычислил радиус капли — $a = 2,78 \cdot 10^{-6}$ м. Величина напряженности поля $E = 3,18 \cdot 10^5$ В/м.

Следя за многократными перемещениями капли вверх-вниз при включении и выключении поля, он получал значения q (в единицах 10^{-19} Кл): 29,87, 39,86, 28,25, 29,91, 34,9134,91 и т.д. Непросто заметить, что этот ряд можно представить в виде $q = q_0 + ne$, n — целое число, e — величина заряда электрона. В 1913 г. Милликен нашел среднее значение величины заряда $e = 1,592 \cdot 10^{-19}$ Кл.

Работа Милликена получила всеобщее признание (Нобелевская премия, 1923 г.). Однако только в 30-х годах прошлого столетия выяснилось, что его результат занижен на 1 %. Незначительная ошибка объяснялась использованием неверного значения вязкости воздуха. После уточнения коэффициента вязкости воздуха было получено значение $e = 1,6021892 \cdot 10^{-19}$ Кл. Любопытно, что каждый следующий результат, опубликованный другими авторами, был чуть выше

предыдущего. По этому поводу выдающийся американский физик-теоретик Р. Фейнман замечает, что преклонение перед авторитетами в науке обесценивает сами эксперименты: «Тут нужна просто обычная честность».

4.1.41. Энергия электрического поля в элементарном объеме сферического слоя $dV = 4\pi r^2 dr$ равна $dU_e = u_e dV$.

$$U_e = \frac{\epsilon_0}{2} \int_R^\infty E^2 dV = \frac{4\pi\epsilon_0 k^2 Q^2}{2} \int_R^\infty \frac{dr}{r^2} = \frac{kQ^2}{2R}.$$

4.1.42. Если сфера имеет заряд q , то элементарная работа по перемещению заряда Δq равна $\delta A' = \Delta q(\varphi_s - \varphi_\infty)$, где $\varphi_s = kq/R$, $\varphi_\infty = 0$. Следовательно, $\delta A' = \Delta(kq^2/2R)$.

Полная работа A' равна приращению энергии электрического поля $U_e = kQ^2/2R$.

4.1.43. Из второго закона Ньютона следуют уравнения $ma_x = 0$, $ma_y = 0$, $ma_z = 0$, $z < h$, $z > h + d$; $ma_z = -e_0 E$, $h \leq z \leq h + d$, где $E = V/d$.

В области $h \leq z \leq h + d$ функция $z(t) = v_0 \sin at - at^2/2$, $a = e_0 E/m$. Предположим, что $v_0^2 \sin^2 \alpha < 2ad$. Тогда электрон не выйдет в область $z > h + d$ и пересечет ось x в точке с координатой

$$s(\alpha) = 2hctg\alpha + (v_0^2/a)\sin 2\alpha. \quad (1)$$

Найдем точки экстремума функции из условия $ds(\alpha)/d\alpha = 0$:

$$-h/\sin^2 \alpha + (v_0^2/a)\cos 2\alpha = 0, \text{ или } 2u^2 - u + b = 0, \quad (2)$$

где $u = \sin^2 \alpha$, $b = ah/v_0^2$.

Если $8b < 1$, то функция $s(\alpha)$ имеет две экстремальные точки $u_{1,2} = (1/4)(1 \pm \sqrt{1-8b})$. Следовательно, возможны три траектории электрона, пересекающие ось x в одной точке с координатой

$$L = s(\alpha_1) = s(\alpha_2) = s(\alpha_3).$$

Если $h = 0$, то получим известный ответ $\alpha_1 = \pi/4$. В случае $8b = 1$ две точки экстремумов сливаются в точку перегиба функции $s(\alpha)$ при значении $\sin \alpha_0 = 1/2$; $s(\alpha_0) = 6h\sqrt{3}$.

4.2. Основная задача электростатики. Закон Гаусса. Электрическое поле зарядов и проводников

4.2.1. Из симметрии относительно плоскости следует, что справа и слева от нее поле однородно и имеет одинаковую величину напря-

женности (рис. 4.2.1 а). Поэтому напряженность поля $\vec{E} = \vec{E}_0$, $z > 0$, $\vec{E} = -\vec{E}_0$, $z < 0$. Вклад в поток дают только две грани. Из (4.2.1) получим $(\vec{E}_1 \vec{n}_1 + \vec{E}_2 \vec{n}_2)S = \frac{\sigma_0 S}{\epsilon_0}$. Отсюда находим $E_0 = \frac{\sigma_0}{2\epsilon_0}$. На рис. 4.2.1 б изображен график функции $E_z(z)$. Приращение E_z при переходе через поверхность $\Delta E_z = \sigma_0/\epsilon_0$.

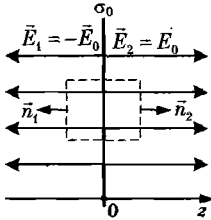


Рис. 4.2.1 а

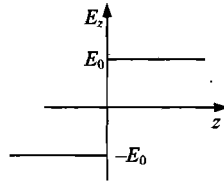


Рис. 4.2.1 б

4.2.2. Решение 1. Электрическое поле, создаваемое неограниченными плоскостями может быть только однородным. Пусть $\vec{E} = \vec{E}_1$, $z < 0$, $\vec{E} = \vec{E}_2$, $0 < z < d$; $\vec{E} = \vec{E}_3$, $z > d$. Применяя закон Гаусса к параллелепипеду, пересекающему две плоскости, заключаем, что силовые линии снаружи плоскостей расположены как на рис. 4.2.1 а: $\vec{E}_1 = (0, 0, -E_0)$, $\vec{E}_3 = (0, 0, E_0)$. В этом случае из (4.2.1) имеем $E_0 = (\sigma_1 + \sigma_2)/2\epsilon_0$. Для определения напряженности поля $\vec{E}_2 = (0, 0, E_2)$ применим закон Гаусса к левой пластине. Имеем соотношение $E_2 + E_0 = \sigma_1/\epsilon_0$.

Следовательно, $E_2 = (\sigma_1 - \sigma_2)/2\epsilon_0$.

Решение 2. Напряженность поля, создаваемого двумя заряженными плоскостями, представляет собой согласно свойству суперпозиции полей сумму напряженности полей, создаваемых каждой плоскостью.

На рис. 4.2.2 б изображен график функции $E_z(z)$ при $\sigma_1 = 2\sigma_0$, $\sigma_2 = -\sigma_0$, $\sigma_0 > 0$. Если $\sigma_1 = -\sigma_0$, $\sigma_2 = \sigma_0$, то $E_1 = E_3 = 0$, $E_2 = (0, 0, -\sigma_0/\epsilon_0)$.

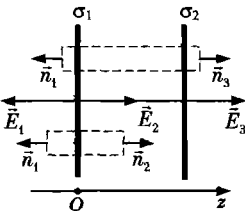


Рис. 4.2.2 а

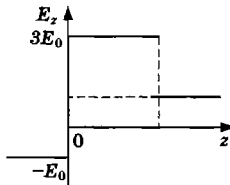


Рис. 4.2.2 б

4.2.3. Учитывая результаты задачи 4.2.2, найдем проекцию напряженности поля в пространстве между плоскостями

$$E = (4Q/S - Q/S)/2\epsilon_0.$$

Разность потенциалов $V = 3Qd/(2\epsilon_0 S)$.

4.2.4—4.2.5. Напряженность электрического поля $\vec{E}_1 = (0, 0, -E_0)$, $z < 0$; $\vec{E}_3 = (0, 0, E_0)$, $z > a$, где $E_0 = (\sigma_1 + \sigma_2)/2\epsilon_0$. В области $0 < z < a$ напряженность поля $\vec{E}_2 = (0, 0, E_{2z})$, $E_{2z} = (\sigma_1 - \sigma_2)/2\epsilon_0$.

4.2.6. Учитывая принцип суперпозиции, получим напряженность электрического поля

$$\vec{E}_1 = (0, 0, G - E_0), z < 0, \quad \vec{E}_3 = (0, 0, G + E_0), z > d,$$

где $E_0 = (\sigma_1 + \sigma_2)/2\epsilon_0$.

В области $0 < z < d$ напряженность поля

$$\vec{E}_2 = (0, 0, E_{2z}), E_{2z} = G + (\sigma_1 - \sigma_2)/2\epsilon_0.$$

Согласно условию задачи $\sigma_1 = -4n\epsilon_0$, $\sigma_2 = 2n\epsilon_0$.

4.2.7. В этом случае $E_{2z} = 0$, $2n + (\sigma'_1 - \sigma'_2)/2\epsilon_0 = 0$. Заряд пластин $Q = -q$, $-q = (\sigma'_1 + \sigma'_2)S$.

Приращение заряда первой пластинки $\Delta q_1 = (\sigma'_1 - \sigma_1)S$.

4.2.9. Пусть σ_1 , σ_2 — поверхностные плотности зарядов на левой и правой гранях пластинки. Тогда заряд пластинки $Q = (\sigma_1 + \sigma_2)S$. В областях, вне пластинки $\vec{E}_1 = (0, 0, G - E_0)$, $z < 0$; $\vec{E}_3 = (0, 0, G + E_0)$, $z > d$, где $E_0 = (\sigma_1 + \sigma_2)/2\epsilon_0$. В области $0 < z < d$ напряженность поля $\vec{E}_2 = (0, 0, 0)$, $0 = G + (\sigma_1 - \sigma_2)/2\epsilon_0$. Согласно условию $3n = G - Q/2S\epsilon_0$, $n = G + Q/2S\epsilon_0$.

4.2.10. Пластины a и b приобретают заряды Q и $-Q$. Величина напряженности электрического поля, создаваемого пластинами равна V/d . Следовательно, искомая разность потенциалов $\varphi_m - \varphi_n = Vh/d$.

4.2.12. Б. Согласно свойству суперпозиции $\vec{E} = \vec{E}_0 + \vec{E}'$, где \vec{E}' — напряженность поля, создаваемая индуцированными зарядами, которую можно найти с помощью закона Гаусса. Пусть σ_1 , σ_2 — поверхностная плотность зарядов левой и правой пластин. Очевидно, что $\sigma_1 + \sigma_2 = 0$. Используя решение задачи 4.2.2, находим, что в области вне дисков $\vec{E}' = 0$. Полагая $\sigma_1 = -\sigma_0$, $\sigma_2 = \sigma_0$ и используя в законе Гаусса поверхность, охватывающую первый или второй диски, найдем вектор \vec{E}' внутри дисков $\vec{E}' = (0, 0, -\sigma_0/\epsilon_0)$. С другой сторо-

ны известно, что для всех точек внутри проводника $\vec{E} = \vec{0}$ или $\vec{E}' = -\vec{E}_0$. Следовательно, $\sigma_0 = \epsilon_0 E_0$. На правой пластине индуцируется положительный заряд с плотностью $\sigma_2 = \epsilon_0 E_0$, на левой пластине — отрицательный заряд с плотностью $\sigma_1 = -\epsilon_0 E_0$.

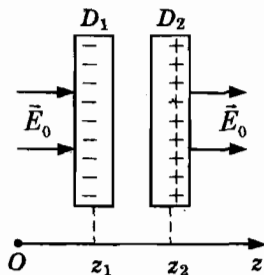


Рис. 4.2.12

Г. Согласно (4.2.3) $F_{2x} = \epsilon_0 E_0^2 S/2$, $F_{1x} = -\epsilon_0 E_0^2 S/2$.

Д. Напряженность электрического поля, создаваемого пластинами равна \vec{E}' .

4.2.13. $\sigma = \epsilon_0 E$.

4.2.14. Если бы заряд находился в безграничном пространстве, то потенциал поля в точке P представлял бы функцию $\phi_0(x, y, z) = \frac{kQ}{s}$,

$s = \sqrt{x^2 + y^2 + (z-h)^2}$, где s — расстояние MP . Однако теперь вследствие электростатической индукции на поверхности проводника возникает отрицательный заряд, создающий вторичное электрическое поле с потенциалом $\phi'(x, y, z)$. Согласно свойству суперпозиции потенциал искомого поля $\phi(x, y, z) = \phi_0 + \phi'$. Для определения функции $\phi'(x, y, z)$ необходимо использовать граничное условие: касательная к плоскости $z = 0$ компонента напряженности поля $E = E_0 + E'$ должна быть равна нулю. Это условие эквивалентно требованию постоянства потенциала поля на плоскости $z = 0$. Можно, не нарушая общности решения, положить $\phi(x, y, 0) = 0$. Мы удовлетворим поставленному условию, предполагая, что потенциал ϕ' в области $z \geq 0$ создается фиктивным зарядом $Q' = -Q$, помещенным в точку $N(0, 0, -h)$ (рис. 4.2.14). Тогда $\phi'(x, y, z) = -\frac{kQ}{s'}$, $s' = \sqrt{x^2 + y^2 + (z+h)^2}$, где s' —

расстояние NP .

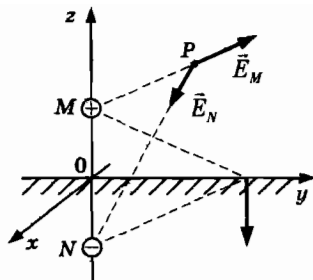


Рис. 4.2.14

Следовательно, напряженность поля в точке P создается двумя симметрично расположенными зарядами Q и $-Q$:

$$E_x = kQx \left(\frac{1}{s^3} - \frac{1}{s'^3} \right), \quad E_y = kQy \left(\frac{1}{s^3} - \frac{1}{s'^3} \right), \quad E_z = kQ \left(\frac{z-h}{s^3} - \frac{z+h}{s'^3} \right).$$

Очевидно при $z = 0$ имеем $E_x = E_y = 0$, $E_z = \frac{-2kQh}{(x^2 + y^2 + h^2)^{3/2}}$.

Поверхностная плотность распределения индуцированного заряда $\sigma(x, y) = \epsilon_0 E_z(x, y, 0)$.

4.2.15. Потенциальная энергия заряда $W(z) = -\alpha/z$, $\alpha = kQ^2/4$. Найдем $z(t)$, исходя из закона сохранения полной энергии:

$$E = mv^2/2 - \alpha/z, \quad E = -\alpha/h. \quad (1)$$

Из (1) находим

$$(zdz/dt)^2 = (\alpha/ma) [a^2 - (z-a)^2], \quad (2)$$

где $a = h/2$.

Найдем решение уравнения (2) в параметрической форме: $x = x(\varphi)$, $t = t(\varphi)$. С этой целью перейдем к новой переменной, производя замену

$$z = a(1 + \cos\varphi). \quad (3)$$

Значению $\varphi = \pi$ соответствует $z = 0$, значению $\varphi = 0$ соответствует $z = h$. Из (2) получим уравнение $(1 + \cos\varphi)a(d\varphi/dt) = (\alpha/ma)^{1/2}$, из которого находим

$$t = (ma^3/\alpha)^{1/2}(\varphi + \sin\varphi). \quad (4)$$

Соотношения (3)–(4) представляют зависимость $z(t)$ в неявном виде. Полагая в (4) $\varphi = \pi$, получим $T = \pi(ma^3/\alpha)^{1/2}$.

Отметим, что оригинальный способ определения T приведен в журнале Квант (1991. № 6. С. 27).

4.2.16. Элементарный индуцированный заряд в кольце толщиной Δr равен $\Delta q = \sigma(r)\Delta S$, $\Delta S = 2\pi r\Delta r$. Полный заряд, ограниченный кругом $q = -4\pi\epsilon_0 k Q h \int_0^R \frac{rdr}{(r^2 + h^2)^{3/2}} = -Q \left[1 - \frac{h}{(R^2 + h^2)^{1/2}} \right]$.

4.2.17. Учитывая решение задачи 4.2.14, получим напряженность электрического поля $E_1(z) = kq/(b+s+z)^2 + kq/(b+s-z)^2$.

Согласно условию $E_1 = 2kq/(b+s)^2$, $E_2 = kq/(2b+s)^2 + kq/s^2$.

Поскольку $E_1 \ll E_2$, то $s \ll b$. Тогда $E_1 \approx 2kq/b^2$, $E_2 \approx kq/s^2$. Из этих уравнений находим $q = E_1 b^2 / 2k$, $q = 6,3$ Кл.

Потенциал нижней кромки $\varphi(b) \approx -kq/s$, потенциал земли $\varphi(0) = 0$. Среднее значение напряженности в промежутке $0 \leq z \leq b$ равно $E_{cp} = kq/bs$, $E_{cp} = 390$ В/см. Эта величина напряженности поля в состоянии поддерживать формирование лидерного канала молнии.

4.2.18. $s = (2kQh/E)^{1/3}$.

4.2.19. Из граничных условий следует, что касательные к плоскостям угла компоненты напряженности поля равны нулю. Тогда необходимо ввести фиктивные заряды: два заряда $-Q$ в точках $(2a, -2a)$, $(-2a, 2a)$ и заряд Q в точке $(-2a, -2a)$.

4.2.20. Вследствие цилиндрической симметрии силовые линии поля представляют собой полупрямые в плоскостях перпендикулярных нити. Пусть $E(r)$ – проекция напряженности поля на направление, перпендикулярное нити. В качестве гауссовой поверхности выберем цилиндр длиной L . Внутри поверхности находится заряд $Q = \sigma L$. Поскольку на торцах скалярное произведение $\vec{n}_k \vec{E}_k = 0$, то согласно (4.2.1) $2\pi r L E(r) = \sigma L / \epsilon_0$, $E(r) = 2k\sigma / r$.

В декартовых координатах $E_x(r) = \frac{2k\sigma x}{r^2}$, $E_y(r) = \frac{2k\sigma y}{r^2}$, $E_z = 0$.

4.2.21. Используя результат задачи 4.2.20, получим компоненты напряженности электрического поля

$$E_z(x, y, z) = \frac{2k\sigma(x-a/2)}{s_2^2} - \frac{2k\sigma(x+a/2)}{s_1^2},$$

$$E_y(x, y, z) = \frac{2k\sigma y}{s_2^2} - \frac{2k\sigma y}{s_1^2}, \quad E_x = 0, \quad s_{2,1}^2 = (x \pm a/2)^2 + y^2.$$

4.2.22. Если $r \leq R$, то из закона Гаусса находим $4\pi r^2 E(r) = 4\pi r^3 \rho / 3\epsilon_0$, $E(r) = \rho r / 3\epsilon_0$.

При значениях $r \geq R$ имеем $4\pi r^2 E(r) = 4\pi R^3 \rho / 3\epsilon_0$, $E(r) = \rho R^3 / 3\epsilon_0 r^2$.

4.2.23. Во внешнем поле протон смещается в направлении вектора \vec{E}_0 на расстояние b относительно центра распределения «облака» отрицательного заряда электрона (рис. 4.2.23). На протон действуют сила $e\vec{E}_0$ и сила $e\vec{E}$, где \vec{E} — напряженность поля, создаваемого пространственным распределением заряда $(e/2)(b/a)^3$ в области $r < b$. Согласно закону Гаусса величина напряженности поля $E = eb/8\pi\epsilon_0 a^3$. В состоянии равновесия сумма сил равна нулю. Из этого условия находим $eb = 8\pi\epsilon_0 a^3 E_0$. Величина дипольного момента $p = eb$.

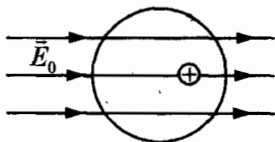


Рис. 4.2.23

4.2.24. В силу симметрии распределения заряда силовые линии поля представляют собой пучок прямых, исходящих из центра сферы. Найдем сначала напряженность поля внутри сферы. Выбирая гауссову поверхность внутри сферы, заключаем из (4.2.1), что при $r < R$ электрическое поле равно нулю. Приняв в качестве гауссовой поверхности сферу радиусом $r \geq R$, получим из (4.2.1) $4\pi r^2 E = Q/\epsilon_0$ или $E = kQ/r^2$.

Потенциал заряженной сферы $\varphi(x, y, z) = kQ/r$ в области $r \geq R$. Поскольку потенциал — непрерывная функция, то внутри сферы в области $0 \leq r \leq R$ потенциал $\varphi(x, y, z) = kQ/R$.

4.2.26. Выберем гауссову поверхность в виде сферы, расположенной внутри внутренней полости. Тогда из (4.2.1) находим $4\pi r^2 E = Q/\epsilon_0$ или $E = kQ/r^2$. Выберем далее гауссову поверхность в виде сферы внутри слоя металла оболочки, где напряженность электрического поля равна нулю. Тогда согласно закону Гаусса $0 = Q + q'$: на внутренней поверхности сферы индуцируется заряд $q' = -Q$. Поскольку сфера изолирована, то на внешней поверхности распределяется заряд $q = Q$. Применяя закон Гаусса к сфере радиусом $r > R$, получим $E = kQ/r^2$.

4.2.27. Выберем гауссову поверхность в виде сферы, расположенной внутри слоя металла сферы, где напряженность электрического поля равна нулю. Если сфера была бы изолирована, то на внутренней поверхности индуцировался бы заряд $q_i = -Q$, на внеш-

ней — заряд $q_e = Q$. После заземления $q_e = 0$. Применяя закон Гаусса к сфере радиусом $r \geq R$, получим $\vec{E} = 0$.

Полагая потенциал Земли равным нулю, найдем потенциал, создаваемый сферой $\varphi(r) = kQ \left(\frac{1}{r} - \frac{1}{R} \right)$, $r \leq R$; $\varphi(r) = 0$, $r \geq R$.

4.2.28. Согласно закону Гаусса напряженность поля, внутри малой сферы равна нулю, радиальная компонента напряженности поля между сферами $E(r) = kQ_1/r^2$, а поле вне большой сферы при $r \geq R_2$ совпадает с полем точечного заряда $Q = Q_1 + Q_2$.

Потенциал системы в этой области $\varphi(r) = kQ/r$. Потенциал внешней сферы $\varphi_2 = kQ/R_2$. Потенциал в области $R_1 \leq r \leq R_2$ удовлетворяет уравнению $kQ_1/r^2 = -\Delta\varphi/\Delta r$ и, следовательно, представляет собой функцию $\varphi(r) = kQ_1/r + A$, где A — константа.

Поскольку функция $\varphi(r)$ непрерывна, то при значении $r = R_2$ получим равенство $kQ_1/R_2 + A = kQ/R_2$, из которого находим $A = kQ_2/R_2$. Следовательно, в области $R_1 \leq r \leq R_2$ функция $\varphi(r) = kQ_1/r + kQ_2/R_2$. Потенциал внутренней сферы $\varphi(R_1) = \varphi_1$, $\varphi_1 = kQ_1/R_1 + kQ_2/R_2$. Поскольку внутри этой сферы потенциал — константа, то в области $0 \leq r \leq R_1$ потенциал $\varphi(r) = \varphi_1$.

4.2.29. Заряды будут перемещаться, пока потенциалы всех проводников не станут одинаковыми. Сферы приобретут заряды q_1 и q_2 , которые распределятся по поверхности сфер неравномерно. Однако, если расстояние между центрами сфер значительно больше радиусов сфер, то можно воспользоваться решением задачи 4.2.23. Отношение величин напряженности полей $\frac{E_1}{E_2} = \frac{q_1}{q_2} \left(\frac{R_2}{R_1} \right)^2$. Равенство потенциа-

лов приводит к уравнению $q_1/R_1 = q_2/R_2$.

Следовательно, $E_1/E_2 = R_2/R_1$, $E_1 \gg E_2$. Чем меньше радиус кривизны острия, тем больше величина напряженности электрического поля. Этот результат очень важен, поскольку при напряженности поля $\approx 3 \cdot 10^6$ В/м в сухом воздухе вблизи острия в промежутке длиной 1 см возникает искра или разряд.

4.2.30. В электрическом поле заряда Q электроны перемещаются по проводу (рис. 4.2.30). В состоянии равновесия потенциал сфер и провода имеет одно и то же значение. Заряды $q_1 = q$, $q_2 = -q$, индуцированные на сферах найдем из условия равенства потенциалов сфер $\varphi_1 = -kq/a - kq/l + kQ/(r + l/2)$, $\varphi_2 = -kq/a + kq/l + kQ/(r - l/2)$. Отсю-

Он равен сумме потенциала kQ/r заряда Q и потенциала ϕ , созданного зарядами, наведенными на сфере вследствие электростатической индукции. Однако поскольку общий заряд, наведенный на изолированной сфере равен нулю, то потенциал сферы $\phi = kQ/r$.

4.2.34. Потенциал, создаваемый этой системой в произвольной точке пространства, т.е. решение задачи, получил выдающийся английский физик У. Томсон (лорд Кельвин). Он предложил заменить реальное распределение зарядов фиктивными точечными зарядами $\pm q$, которые вместе с зарядом Q создают искомое поле. Положение и величина этих зарядов определяются из условия постоянства потенциала поля на поверхности сферы.

Поместим заряд $-q$ на прямой OC в точку N на расстоянии CN от центра сферы, а заряд q расположим в центре сферы C . Тогда потенциал системы в произвольной точке P равен $\phi_s = \frac{kQ}{r_{OP}} - \frac{kq}{r_{NP}} + \frac{kq}{r_{CP}}$. На по-

верхности сферы $\frac{kQ}{r} = \frac{kQ}{r_{OS}} - \frac{kq}{r_{NS}} + \frac{kq}{R}$. Точка S находится на сфере, если

$$\text{сумма двух первых слагаемых равна нулю: } \frac{kQ}{r_{OS}} - \frac{kq}{r_{NS}} = 0, \quad \frac{kQ}{r} = \frac{kq}{R}.$$

Следовательно, заряд $q = QR/r$, $r_{NS}/r_{OS} = R/r$. Из решения задачи 1.1.9 следует, что $CN = R^2/r$. Потенциал, создаваемый системой в точке P :

$$\phi_s = \frac{kQ}{r_{OP}} - \frac{kQR}{r_{NP}} + \frac{kQR}{r_{CP}}.$$

В диаметрально противоположных точках a и b поверхности сферы на рис. 4.2.32 напряженность поля

$$\vec{E}_{a,b} = \frac{kQ\vec{r}}{r} \frac{3 \pm R/r}{(r \pm R)^2}, \quad \text{где } \vec{r} \text{ — вектор } OC. \text{ Если } r \gg R, \text{ то } \vec{E}_{a,b} = 3\vec{E}_0, \text{ где}$$

\vec{E}_0 — напряженность поля заряда Q в центре сферы.

4.2.35. А. Сила действующая на незаряженную сферу

$$\vec{F} = \frac{kqQ\vec{r}}{r^3} - \frac{kqQ\vec{r}}{r^3(1-\gamma)^2}, \quad \text{где } q = QR/r, \gamma = (R/r)^2.$$

Отсюда находим $\vec{F} = \frac{kQ^2R\vec{r}}{r^4} - \frac{kQ^2R\vec{r}}{(r^2 - R^2)^2}$. При $r \gg R$ получим

$$\vec{F} \approx -2\gamma \frac{kqQ\vec{r}}{r^3}, \quad \text{или } \vec{F} \approx -2 \frac{kQ^2R^3\vec{r}}{r^6}. \quad (1)$$

Незаряженная сфера приобретает дипольный момент величиной $p = q\gamma r = QR^2/r^2$ и притягивается к заряду Q . В электродинамике ди-

полный момент представляют в виде $\vec{p} = \alpha \vec{E}_0 V$, где $\alpha = 3\epsilon_0$ — так называемый коэффициент поляризуемости, $\vec{E}_0 = kQ\vec{r}/r^3$ — напряженность поля в точке C , V — объем сферы. Поэтому (1) можно представить в виде $\vec{F} \approx \alpha V E_0 \frac{dE_0 \vec{r}}{dr r}$.

Б. Введем ось z с началом на поверхности шара, направленную к заряду Q . Проекция силы на ось (см. задачу 4.2.14)

$$F_z = kQ^2 R [1/r^3 - r/(r^2 - R^2)^2] \approx -kQ^2/(2z)^2.$$

4.2.36. Потенциальную энергию взаимодействия заряда Q и сферы найдем согласно определению $\vec{F} \Delta \vec{r} = -\Delta W$:

$$2 \frac{kQ^2 R^3 dr}{r^5} = dW \rightarrow W(x, y, z) = -\frac{kQ^2 R^3}{2r^4} = -\frac{E_0^2 R^3}{2k}.$$

Введем коэффициент α и запишем $W(x, y, z) = -\alpha E_0^2 V/2$.

4.2.37. Заряд сферы не равен нулю. В поле заряда Q электроны в металле незаряженной сферы перераспределяются; сфера приобретает дипольный момент и притягивается к заряду. Если сфере сообщить определенный положительный заряд, то сила, действующая на сферу может обратиться в нуль.

4.2.38. Потенциал, создаваемый зарядами q и $-q$ на рис. 4.2.38 в точке $P(x, y, z)$

$$\varphi(x, y, z) = kq/r_2 - kq/r_1,$$

$$r_1 = |\vec{r} + \vec{a}/2| = \sqrt{r^2 + \vec{r}\vec{a} + (a/2)^2}, \quad r_2 = |\vec{r} - \vec{a}/2| = \sqrt{r^2 - \vec{r}\vec{a} + (a/2)^2}.$$

При значениях $r \gg a$ получим $\varphi(x, y, z) = k \vec{p}\vec{r}/r^3$, $\vec{p} = q\vec{a}$.

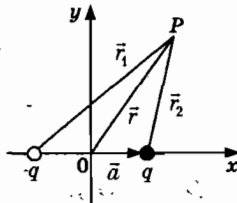


Рис. 4.2.38

4.2.39. Поместим начало координат в центр сферы. Потенциал внешнего поля $\varphi^{(0)} = -\vec{E}_0 \vec{r}$. На внешней поверхности сферы должно выполняться граничное условие: вектор напряженности должен быть

перпендикулярен поверхности. Поэтому электроны в металле перераспределяются и образуют диполь, создающий вторичное поле напряженностью \vec{E}' . Вектор \vec{E}' можно найти из граничного условия для напряженности результирующего поля $\vec{E} = \vec{E}_0 + \vec{E}'$ или потенциала $\varphi = \varphi^{(0)} + \varphi'$, где $\varphi' = k \vec{p}\vec{r} / r^3$ — потенциал, создаваемый дипольным моментом \vec{p} на расстояниях $r \geq R$. Это условие эквивалентно условию постоянства потенциала поля $\varphi_s = C$ на поверхности сферы. Не ограничивая общности можно положить $C = 0$.

Потенциал поля $\varphi = -\vec{E}_0\vec{r} + k \vec{p}\vec{r} / r^3$. Полагая $\vec{r} = R\vec{n}$, $\varphi = 0$, получим значение $\vec{p} = (1/k) \vec{E}_0 R^3$. Следовательно, в точке P потенциал поля $\varphi_p = -\vec{E}_0\vec{r} [1 - (R/r)^3]$.

Отметим, что на поверхности сферы напряженность поля $\vec{E} = 3(\vec{E}_0\vec{n})\vec{n}$. В диаметрально противоположных точках на прямой, проходящей через центр сферы параллельно вектору \vec{E}_0 , векторы напряженности параллельны: $\vec{E} = 3\vec{E}_0$.

4.2.43. Из модифицированного закона Гаусса (4.2.2) следует $\epsilon\epsilon_0 E(4\pi r^2) = Q$: свободный заряд, погруженный в жидкий или газообразный диэлектрик, создает в нем поле в ϵ раз слабее, чем в вакууме. Если заряды, находятся в жидком или газообразном диэлектрике то сила, действующая на каждый из зарядов, уменьшается в ϵ раз.

Отметим, что это утверждение не справедливо для зарядов, внесенных в твердый диэлектрик, поскольку заряды в диэлектрике изменяют его свойства как диэлектрика.

4.2.44. В результате натирания палочка приобретает положительный заряд, который создает неоднородное электростатическое поле. В этом поле электроны молекул бумаги смещаются относительно ядер. Молекулы приобретают дипольный момент — бумага поляризуется. Ближайший к палочке слой бумаги приобретает отрицательный заряд, удаленный — положительный заряд. Этот эффект возможен только в неоднородном поле — сила, действующая на обрывок бумаги направлена к области наибольшего значения напряженности поля.

4.2.45. Направим ось z на рис. 4.2.45 от положительно заряженной пластины к пластине, заряженной отрицательно. Цифрами 1, 2, 3 обозначены соответственно пластина, вакуумный промежуток и диэлектрик.

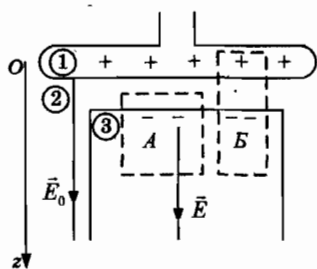


Рис. 4.2.45

Компоненты напряженности полей — $E_{1z} = 0$, $E_{2z} = E_0$, $E_{3z} = E$, компоненты вектора электрической индукции — $D_{1z} = 0$, $D_{2z} = \epsilon_0 E_0$, $D_{3z} = \epsilon \epsilon_0 E$, вектор $\vec{P} = (0, 0, P)$ направлен по оси z .

А. Построим гауссову поверхность куба, одна грань которого находится в вакууме, другая — в диэлектрике; граница раздела вакуум — диэлектрик находится внутри куба. Тогда на основании модифицированного закона Гаусса получим $D_{3z} - D_{2z} = 0$.

Отсюда находим $E = E_0/\epsilon$, $P = \alpha E_0$, $\alpha = \epsilon_0(\epsilon - 1)/\epsilon$ — коэффициент поляризуемости пластины.

Поскольку $\vec{D} = \epsilon_0 \vec{E} + \vec{P}$, то $E_{3z} - E_{2z} = -P_{3z}/\epsilon_0$. Следовательно, на границе раздела вакуум — диэлектрик возникает скачок нормальной компоненты напряженности поля: $E - E_0 = -P/\epsilon_0$.

Отметим, что согласно закону Гаусса (4.2.1) $E_{3z} - E_{2z} = -(1/\epsilon_0)\Delta q/\Delta S$, где Δq — величина поверхностного заряда диэлектрика.

Следовательно, $P = \Delta q/\Delta S = \sigma_n$ — поверхностная плотность связанных зарядов.

Б. Построим гауссову поверхность куба, одна грань которого находится в пластине, другая — в диэлектрике, содержащем границы разделов пластина — вакуум и вакуум — диэлектрик. Согласно закону Гаусса (4.2.1) имеем соотношение $\epsilon_0 E = \sigma_0 - \sigma_n$, или $\epsilon_0 E = \sigma_0 - P$, где $\sigma_0/\epsilon_0 = E_0$. С другой стороны на основании (4.2.2) получим $D_{3z} = \sigma_0$, или $\epsilon E = \sigma_0/\epsilon_0$.

4.2.46. Потенциал внешнего поля $\varphi^{(0)} = -\vec{E}_0 \vec{r}$. Во внешнем поле шар поляризуется. Найдем напряженность электрического поля внутри шара $\vec{E}^{(i)}$ и вне шара $\vec{E}^{(e)}$ в точке P , радиус-вектор которой $\vec{r} = (x, y, z)$ в системе координат с началом в центре шара.

В шаре возникают плотность поляризации $\vec{P} = \epsilon_0(\epsilon - 1)\vec{E}^{(i)}$ и определенное распределение плотности поверхностных зарядов.

Вследствие поляризации диэлектрика напряженность поля в шаре $\vec{E}^{(i)} = \vec{E}_0 + \vec{E}'$, где \vec{E}' — постоянный вектор. В однородном поле $\vec{P} = \alpha \vec{E}_0$, $\vec{E}' = \beta \vec{E}_0$, где α, β — неизвестные постоянные коэффициенты, α называют *коэффициентом поляризуемости*. Тогда внутри шара в области $|r| \leq a$ потенциал поля $\varphi^{(i)}(\vec{r}) = \varphi^{(0)} - \vec{E}'\vec{r}$. Вторичное поле в области $|r| \geq R$ эквивалентно полю диполя. Поэтому потенциал поля вне шара $\varphi^{(e)}(\vec{r}) = \varphi^{(0)} + k \vec{p}\vec{r}/r^3$, $\vec{p} = \vec{P}V$ — дипольный момент шара, $V = 4\pi R^3/3$ — объем шара. Радиус-вектор точки на поверхности шара $\vec{r} = R\vec{n}$, где \vec{n} — единичный вектор. Из граничных условий непрерывности потенциала на поверхности шара получим уравнение $-\vec{E}'\vec{n} = k \vec{p}\vec{n}/R^3$, или $\beta = -\alpha/3\epsilon_0$.

Следовательно, $\vec{E}' = -(\alpha/3\epsilon_0) \vec{E}_0 = -\vec{P}/3\epsilon_0$, $\vec{E}^{(i)} = \vec{E}_0 - \vec{P}/3\epsilon_0$.

Подставляя вектор $\vec{P} = \epsilon_0(\epsilon - 1) \vec{E}^{(i)}$, получим $\vec{E}^{(i)} = 3\vec{E}_0/(\epsilon + 2)$, $\alpha = 3\epsilon_0[(\epsilon - 1)/(\epsilon + 2)]$. Вектор электрической индукции $\vec{D} = \epsilon\epsilon_0 \vec{E}^{(i)}$.

Отметим, что на поверхности шара напряженность поля

$$\vec{E}^{(e)} = 3\epsilon \vec{E}_0 / (\epsilon + 2).$$

4.2.47. Согласно свойству суперпозиции напряженность поля внутри диэлектрика равна сумме напряженности поля, создаваемым всеми зарядами в объеме сферического шара радиусом R , и зарядами вне этого объема. Поэтому $\vec{E} = \vec{E}_c + \vec{E}'$. Учитывая решение задачи 4.3.44, находим $\vec{E}_c = \vec{E} + \vec{P}/3\epsilon_0$, $\vec{E}' = \vec{E}_0$.

4.2.48. Согласно решению задачи 4.2.36 энергия взаимодействия шара со слабонеоднородным электрическим поле $W(\vec{r}) = -\alpha V E_0^2(\vec{r})/2$, где \vec{E}_0 — напряженность электрического поля нити (см. задачу 4.2.20)

$$E_{0x}(r) = \frac{2k\sigma x}{r^2}, \quad E_{0y}(r) = \frac{2k\sigma y}{r^2}, \quad E_{0z} = 0.$$

Следовательно, $W(\vec{r}) = -g/2r^2$, $g = 4\alpha(k\sigma)^2 V$.

Сила, действующая на шар $\vec{F} = -g\vec{r}/r^4$, где $\vec{r} = (x, y, 0)$.

Если частица движется в поле цилиндрического конденсатора, представляющего собой два коаксиальных цилиндра радиусов a и b ($b > a$), то $k\sigma = V_0$, где V_0 — разность потенциалов цилиндров.

4.2.49. Из закона сохранения полной энергии следует уравнение $mv^2/2 - g/2R^2 = -g/2s^2$.

4.3. Конденсатор.

Схемы, содержащие конденсаторы

4.3.1. Заряды на сферах равны соответственно $Q_1 = -Q$ и $Q_2 = Q$. Пусть потенциал внутренней сферы равен нулю, внешней — V . Согласно закону Гаусса напряженность поля, внутри малой сферы равна нулю, радиальная компонента напряженности поля между сферами $E(r) = -kQ/r^2$, а поле вне большой сферы при $r \geq R_2$ совпадает с полем точечного заряда $q = Q_1 + Q_2 = 0$. Потенциал системы в этой области $\varphi^{(0)}(r) = V$. Потенциал внешней сферы $\varphi_2 = kQ/R_2$. Потенциал в области $R_1 \leq r \leq R_2$ удовлетворяет уравнению $kQ/r^2 = \Delta\varphi/\Delta r$ и, следовательно, представляет собой функцию $\varphi(r) = -kQ/r + A$, где A — константа.

Поскольку функция $\varphi(r)$ непрерывна, то при значении $r = R_2$ получим равенство $-kQ/R_2 + A = V$, из которого находим $A = V + kQ/R_2$. Следовательно, в области $R_1 \leq r \leq R_2$ функция $\varphi(r) = V - kQ/r + kQ/R_2$. Потенциал внутренней сферы $\varphi(R_1) = 0$: $0 = V - kQ/R_1 + kQ/R_2$.

Электрическое поле существует только в пространстве между сферами. Определяя емкость сферического конденсатора C соотношением $CV = Q$, получим $\frac{1}{C} = k \left(\frac{1}{R_1} - \frac{1}{R_2} \right)$.

В случае малого промежутка между сферами $R_{2,1} = R \pm d/2$, $d \ll R$ емкость $C \approx \epsilon_0 S/d$, $S = 4\pi R^2$.

4.3.2. Емкость сферы $C = R/k$. Заряд малой сферы $Q_2 = C_2 V_0$, заряд банки $Q_1 = C_1 V$.

Техническое развитие этого опыта позволило создать электростатические генераторы, применяемые в ядерной физике для ускорения ионов. В 1933 г. американский физик Р. ван де Грааф получил напряжение $15 \cdot 10^6$ В. Высоковольтная «банка» в виде сферы имела диаметр 4,5 м. Зарядка осуществлялась с помощью зарядов, которые наносились на движущуюся ленту, снимались внутри сферы и переходили на ее внешнюю поверхность.

4.3.3. Энергия электрического поля конденсатора $U_c = CV^2/2$. Плотность энергии электрического поля $U_0 = \epsilon \epsilon_0 E^2/2$.

4.3.4. Заряд сферы $Q_c = 4\pi \epsilon_0 R V$, заряд обкладок банки $Q_0 = \epsilon \epsilon_0 2\pi R l V/d$.

Следовательно, $Q_0/Q_c = \epsilon l/2d$. Полагая $\epsilon = 5$, находим $Q_0/Q_c = 125!$

4.3.5. Пусть σ_1, σ_2 — поверхностная плотность зарядов левой и правой пластин, d — расстояние между пластинами. В области вне пластин напряженность поля $\vec{E}_1 = (0, 0, -E_0), z < 0$; $\vec{E}_3 = (0, 0, E_0), z > d$, где $E_0 = (\sigma_1 + \sigma_2)/2\epsilon_0$. В области $0 < z < d$ напряженность поля $\vec{E}_2 = (0, 0, E_{2z}), E_{2z} = (\sigma_1 - \sigma_2)/2\epsilon_0$. Согласно условию задачи $E_{2z} = -3Q/(2S\epsilon_0)$. Разность потенциалов $\Delta\varphi = -E_{2z}d$.

4.3.6. Энергия электрического поля конденсатора $U_e = CV^2/2$. Следовательно, $U_e = \epsilon CV^2/2$.

4.3.9. Эквивалентная схема изображена на рис. 4.3.9 б.

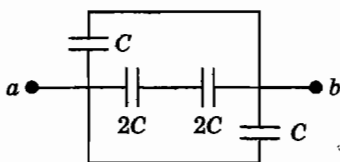


Рис. 4.3.9 б

$$4.3.10. \frac{1}{5C} + \frac{1}{4C + C_x} + \frac{1}{10C} = \frac{1}{2C}.$$

4.3.11. Эквивалентная схема изображена на рис. 4.3.11 б.

4.3.12. Эквивалентная схема изображена на рис. 4.3.12 б. Емкость $C_{23} = 20C, C_{234} = 16C$.

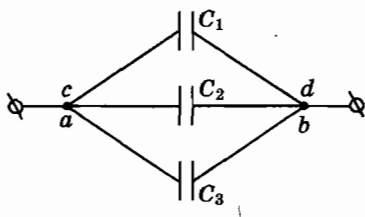
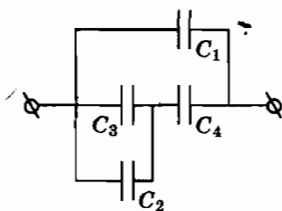


Рис. 4.3.11 б



4.3.12 б

4.3.13. А. Пусть разность потенциалов $\varphi_a - \varphi_b = V$. Емкость батареи конденсаторов C_x определяется соотношением $q_1 + q_2 = C_x V$.

Для изолированной части схемы имеем уравнение

$$-C_1 V_1 + C_2 V_2 + C_3 V_3 = 0. \quad (1)$$

Далее из второго закона Кирхгофа следуют еще два уравнения

$$V = V_1 + V_2, \quad (2)$$

$$V = 2V_1 + V_3. \quad (3)$$

Из (1)–(3) получим

$$V_1 = (C_1 + C_2)V / (C_1 + C_2 + 2C_3),$$

$$V_2 = (C_1 + C_3)V / (C_1 + C_2 + 2C_3).$$

Поскольку $q_1 = C_1V_1$, $q_2 = C_2V_2$, то

$$C_z = [2C_1C_2 + (C_1 + C_2)C_3] / (C_1 + C_2 + 2C_3).$$

4.3.14. Эквивалентные схемы изображены на рис. 4.3.14 б, в — конденсатор представляет собой N соединенных элементарных конденсаторов емкостью $C_0 = \epsilon_0 \epsilon S / d$.

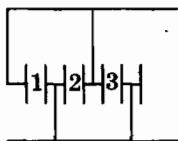


Рис. 4.3.14 б

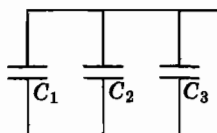


Рис. 4.3.14 в

4.3.15. А. Конденсатор с вложенной пластинкой можно рассматривать как два последовательно соединенных конденсатора емкостями $C_1 = \epsilon_0 S / x$, $C_2 = \epsilon_0 S / (d - h - x)$.

Емкость эквивалентного конденсатора $C = \epsilon_0 S / (d - h)$.

Б. На рис. 4.3.15 б изображена эквивалентная схема. Емкость образованного конденсатора

$$C = (C_1 + C_4) / 2, \quad C_1 = C_3 = \epsilon_0 S / 2h, \quad C_2 = C_4 = \epsilon_0 S / 2(d - h).$$

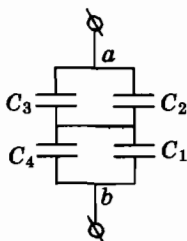


Рис. 4.3.15 б

4.3.16. На внутренних поверхностях наружных пластин индуцируются заряды $-q_1$ и $-q_2$, $q_1 + q_2 = q$. Распределение зарядов изображено на рис. 4.3.16 б. Согласно свойству суперпозиции напряженность поля $E_x = 0$, $x < 0$, $x > d$; $E_x = -E_1$ на интервале $(0, x)$, $E_x = E_2$ на интервале (x, d) . Эквивалентная схема изображена на рис. 4.3.16 в.

Емкости конденсаторов $C_1 = \epsilon_0 S / x$, $C_2 = \epsilon_0 S / (d - x)$.

Поскольку разность потенциалов обкладок конденсаторов одинакова, то $q_1/C_1 = q_2/C_2$.

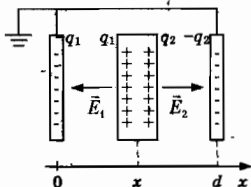


Рис. 4.3.16 б

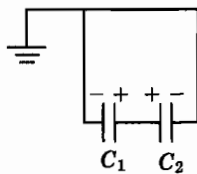


Рис. 4.3.16 в

4.3.17. $q_a = -q(d-x)/d$, $\Delta q_a = q\Delta x/d$.

4.3.18. Эквивалентная схема изображена на рис. 4.3.18. Пусть расстояние между пластинами a и m равно x . Емкости конденсаторов $C_3 = \epsilon_0 S/x$, $C_2 = \epsilon_0 S/h$, $C_1 = \epsilon_0 S/(d-h-x)$.

Закон сохранения заряда изолированной части схемы приводит к уравнениям

$$C_3 V_3 - C_2 V_2 = 0, \quad (1)$$

$$C_2 V_2 - C_1 V_1 = 0. \quad (2)$$

Сумма разностей потенциалов равна V :

$$V_1 + V_2 + V_3 = V, \quad (3)$$

где $V_2 = \phi_m - \phi_n$. Из уравнений (1)–(3) находим $V_2 = Vh/d$.

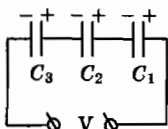


Рис. 4.3.18

4.3.19–4.3.21. Обозначим разность потенциалов $V = \phi_a - \phi_b$. Эквивалентные схемы изображены на рис. 4.19 б, в. Емкость $C_{ab} = 3C/2$. Разность потенциалов $V' = 2q/3C$. Потенциалы точек m и n одинаковы. Имеем уравнение $(q - q')/C = 2q'/C$: $q' = q/3$, $\phi_a - \phi_m = q'/C$. Разности потенциалов $\phi_a - \phi_m = \phi_n - \phi_b = q/C$.

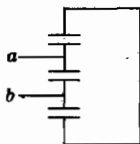


Рис. 4.3.19 б

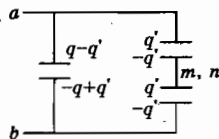


Рис. 4.3.19 в

4.3.22. А. В схеме три участка цепи имеют различные потенциалы $\varphi_a, \varphi_b, \varphi_c$ (рис. 4.3.22 б).

Напряжение на конденсаторах $V_1 = \varphi_a - \varphi_b, V_2 = \varphi_b - \varphi_c$.

Согласно определению ЭДС $\varphi_a - \varphi_c = \mathcal{E}$. Расставим произвольно знаки зарядов на пластинах конденсаторов. На рис. 4.3.22 а знак «+» на верхней обкладке конденсатора C_1 обозначает, что верхняя пластина имеет заряд $Q_1 = C_1 V_1$. Величина Q_1 может быть положительной или отрицательной в зависимости от значения V_1 .

Обведенная пунктиром часть схемы на рис. 4.3.22 б изолирована. Поскольку первоначальный заряд конденсаторов равен нулю, то

$$0 = -C_1 V_1 + C_2 V_2. \quad (1)$$

Обходя контур $abca$, получим соотношение

$$V_1 + V_2 = \mathcal{E}. \quad (2)$$

Это уравнение следует из очевидного тождества

$$\varphi_a - \varphi_c = \varphi_a - \varphi_b + \varphi_b - \varphi_c$$

эквивалентные правилу Б.

Из системы (1), (2) находим $V_1 = \frac{C_2 \mathcal{E}}{C_1 + C_2}, V_2 = \frac{C_1 \mathcal{E}}{C_1 + C_2}$.

Поскольку $\mathcal{E} > 0$, то $V_1 > 0, V_2 > 0$: заряды на верхних пластинах конденсаторов $Q_1 = C_1 V_1$ и $Q_2 = C_2 V_2$ оказались положительными и одинаковыми: $Q_1 = Q_2 = Q$.

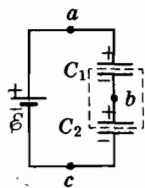


Рис. 4.3.22 б

Б. Если до подключения конденсатор C_2 зарядить до разности потенциалов $\varphi_b - \varphi_c = \mathcal{E}$, то в этом случае уравнения (1), (2) имеют вид

$$C_2 \mathcal{E} = -C_1 V_1 + C_2 V_2, V_1 + V_2 = \mathcal{E} \rightarrow V_1 = 0, V_2 = \mathcal{E}.$$

Если же до подключения конденсатор C_2 зарядить до разности потенциалов $\varphi_c - \varphi_b = \mathcal{E}$, то в этом случае

$$\begin{aligned} -C_2 \mathcal{E} &= -C_1 V_1 + C_2 V_2, V_1 + V_2 = \mathcal{E} \rightarrow \\ \rightarrow V_1 &= 2C_2 \mathcal{E} / (C_1 + C_2), V_2 = (C_1 - C_2) \mathcal{E} / (C_1 + C_2). \end{aligned}$$

4.3.23. В этой схеме четыре участка с различными потенциалами. Расставим произвольно знаки зарядов на пластинах конденсаторов и введем обозначения $V_3 = \varphi_a - \varphi_b$, $V_4 = \varphi_d - \varphi_c$. Аналогично задаче 4.3.22 получим $V_3 = \frac{C_4 \mathcal{E}}{C_3 + C_4}$, $V_4 = \frac{C_3 \mathcal{E}}{C_3 + C_4}$. Учитывая решение задачи 4.3.22

найдем разность потенциалов между точками b и d :

$$\varphi_b - \varphi_d = \varphi_b - \varphi_a + \varphi_a - \varphi_d = V_3 - V_4 = \frac{(C_1 C_4 - C_2 C_3) \mathcal{E}}{(C_1 + C_2)(C_3 + C_4)}$$

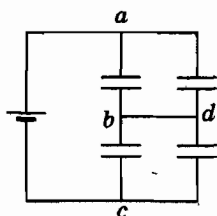


Рис. 4.3.23 б

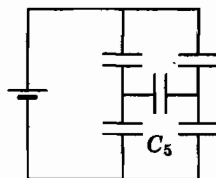


Рис. 4.3.23 в

Если емкости удовлетворяют условию $C_1 C_4 = C_2 C_3$, то $\varphi_b - \varphi_d = 0$. В этом случае исходная схема эквивалентна рис. 4.3.23 б или схеме, изображенной на рис. 4.3.23 в, причем конденсатор C_5 остается незаряженным. Таким образом, если в схеме рис. 4.3.23 в емкости четырех конденсаторов связаны соотношением $C_1/C_3 = C_2/C_4$, то конденсатор C_5 можно заменить проводником.

4.3.24. Используя результаты задач 4.3.22 и 4.3.23, найдем заряды на верхних пластинах конденсаторов C_1 и C_2 до отключения источника напряжения $Q_1 = C_1 V_1 = 0,5 C \mathcal{E}$, $Q_3 = C_3 V_3 = 0,75 C \mathcal{E}$.

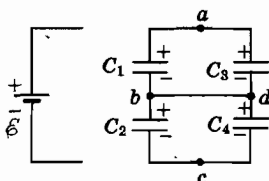


Рис. 4.3.24

После соединения точек b и d заряды перераспределяются. Обозначим потенциалы четырех участков φ'_a , φ'_b , φ'_c , φ'_d на схеме рис. 4.3.24. Введем далее напряжение на конденсаторах $V'_1 = \varphi'_a - \varphi'_b$, $V'_3 = \varphi'_a - \varphi'_d$ и расставим знаки зарядов. Поскольку суммарный за-

ряд на верхних обкладках C_1 и C_3 , равный $1,25C\mathcal{E}$, сохраняется, то $C_1V_1' + C_3V_3' = 1,25C\mathcal{E}$.

Рассмотрим контур $adba$. Учитывая, что $\varphi_b' = \varphi_a'$, находим уравнение $V_1' = V_3'$. Следовательно, заряды на верхних обкладках C_1 и C_3 стали равны

$$Q_1' = C_1V_1' = \frac{5}{8}C\mathcal{E}, \quad Q_2' = C_3V_3' = \frac{5}{8}C\mathcal{E}.$$

Теперь нетрудно определить заряд ΔQ , который протечет от C_3 к C_1 : $\Delta Q = Q_1' - Q_1 = C\mathcal{E}/8$. Очевидно, $\Delta Q_3 = Q_3' - Q_3 = -\Delta Q_1$.

4.3.25. Найдем заряды на пластинах конденсаторов в схеме рис. 4.3.25 б. В схеме три участка имеют различные потенциалы $\varphi_a, \varphi_b, \varphi_c$. Нижние пластины конденсаторов образуют изолированную систему. Предположим, что до включения генератора конденсаторы не были заряжены. Тогда в силу правила А имеем: $-CV_1 + 2CV_{23} = 0$, где $V_1 = \varphi_a - \varphi_b$, $V_{23} = \varphi_b - \varphi_c$.

Далее для контура, содержащего генератор и конденсаторы C_1 и C_2 , имеем $\mathcal{E} = \varphi_a - \varphi_b + \varphi_b - \varphi_c$, где $\mathcal{E} = \varphi_a - \varphi_c$.

Следовательно, из системы уравнений $-CV_1 + 2CV_{23} = 0$, $V_1 + V_{23} = \mathcal{E}$ получим $V_1 = 2\mathcal{E}/3$, $V_{23} = \mathcal{E}/3$. Для схемы, изображенной на рис. 4.3.25 в аналогичным методом получим

$$V_{12}' = \mathcal{E}/3, \quad V_3' = 2\mathcal{E}/3,$$

где $V_{12}' = \varphi_a' - \varphi_b'$, $V_3' = \varphi_b' - \varphi_c'$.

Значения зарядов на верхних пластинах указаны на рис. 4.3.25, где $q = C\mathcal{E}$. Следовательно, через батарею пройдет заряд $q/3 = \Delta q = 4$ нКл.

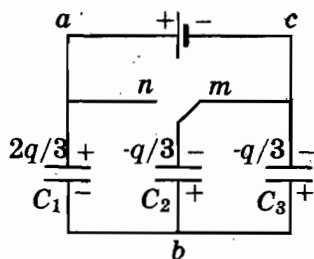


Рис. 4.3.25 б

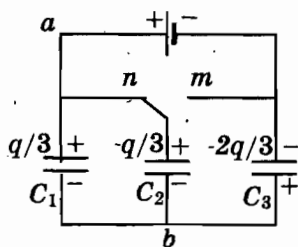


Рис. 4.3.25 в

4.3.26. В схеме четыре участка имеют различные потенциалы. Обозначим произвольно знаки зарядов на пластинах конденсаторов и введем обозначения $U_1 = \varphi_b - \varphi_c$, $U_2 = \varphi_c - \varphi_a$, $U_3 = \varphi_c - \varphi_a$.

Из закона сохранения заряда изолированной части схемы следует уравнение

$$0 = -C_1 U_1 + C_2 U_2 + C_3 U_3. \quad (1)$$

Обход по контуру $abca$ приводит к уравнению

$$U_1 + U_3 = \mathcal{E}_1. \quad (2)$$

Обход по контуру $acda$ приводит к еще одному уравнению

$$-U_3 + U_2 = -\mathcal{E}_2. \quad (3)$$

Из системы (1)–(3) находим $U_3 = \frac{C_1 \mathcal{E}_1 + C_2 \mathcal{E}_2}{C_1 + C_2 + C_3}$.

4.3.27. В исходной схеме в отсутствии пластинки конденсатор C_2 не заряжен. При обходе по контуру, содержащему \mathcal{E}_1 , C_1 и \mathcal{E}_2 , получим разность потенциалов на конденсаторе $V_1 = \mathcal{E}_1 - \mathcal{E}_2$. Следовательно, заряд верхней пластины конденсатора C_1 равен $q_1 = C\mathcal{E}$.

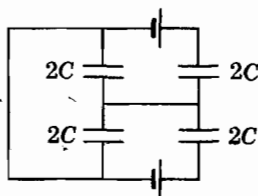


Рис. 4.3.27 б

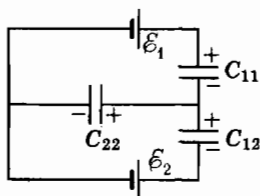


Рис. 4.3.27 в

После внесения пластинки изменяются емкости конденсаторов. Последовательные эквивалентные схемы изображены на рис. 4.3.27 б, в. Емкости конденсаторов $C_{11} = 2C$, $C_{12} = 2C$, $C_{22} = 4C$. Обозначим произвольно знаки зарядов на обкладках конденсаторов (рис. 4.3.27 в). Разности потенциалов между обкладками конденсаторов обозначим соответственно V_{11} , V_{12} , V_{22} . Из закона сохранения заряда изолированной части схемы следует уравнение

$$0 = -2V_{11} - 2V_{12} + 4V_{22}. \quad (1)$$

При обходе по контуру, содержащему конденсаторы C_{11} , C_{22} и \mathcal{E}_1 , получим уравнение

$$V_{11} + V_{22} = 2\mathcal{E}. \quad (2)$$

При обходе по контуру, содержащему конденсаторы C_{12} , C_{22} и \mathcal{E}_2 , получим еще одно уравнение

$$V_{12} + V_{22} = \mathcal{E}. \quad (3)$$

Из системы уравнений (1)–(3) находим $V_{11} = 5\varepsilon/4$, $V_{12} = \varepsilon/4$, $V_{22} = 3\varepsilon/4$. Следовательно, заряд верхней обкладки конденсатора C_1 равен $q'_1 = 5C\varepsilon/2$. Приращение заряда $\Delta q_1 = 3C\varepsilon/2$.

Отметим, что это устройство представляет собой электростатический бесконтактный подвес. Если сумма силы тяжести и силы, действующей на пластинку в электрическом поле конденсаторов, равна нулю, то в определенном положении пластинка может находиться в равновесии. Однако положение равновесия неустойчиво. Согласно теореме, доказанной английским математиком С. Ирншоу (S. Earnshaw), система неподвижных зарядов не может быть устойчивой.

4.3.28. Пусть внутренние пластины конденсаторов имеют положительные значения зарядов. Из закона сохранения изолированной части схемы следует уравнение $3C(\varphi_0 + \varphi_s) = Q$.

4.3.29. Эквивалентная схема содержит последовательно соединенные конденсаторы емкостью $C_1 = 5C$ и $C_2 = 20C$. Из закона сохранения заряда и второго закона Кирхгофа получим уравнения

$$C_1 V_1 - C_2 V_2 = 0, \quad V_1 + V_2 = \varepsilon.$$

4.3.30. Эквивалентная схема содержит последовательно соединенные конденсаторы емкостью $C_{12} = 5C$ и $C_3 = 20C$. Из закона сохранения заряда и второго закона Кирхгофа получим уравнения

$$C_{12} V_1 - C_3 V_3 = 0, \quad V_1 + V_3 = \varepsilon \rightarrow V_3 = 24 \text{ В.}$$

После пробоя $V_3 = \varepsilon$.

4.3.31. В начальном состоянии эквивалентная схема содержит конденсатор емкостью $C_x = 2C/3$. После изменения емкости C_1 эквивалентная схема содержит конденсатор емкостью $C'_x = 3C/4$. Через батарею перетек заряд $\Delta q = \varepsilon(C'_x - C_x)$.

4.3.32. Пусть заряды верхних пластин имеют положительные значения. Из второго закона Кирхгофа получим уравнения

$$V_1 - V_2 = \varepsilon_2, \quad V_1 = \varepsilon_1; \quad q_2 = C_2 V_2.$$

4.3.33. Заряд правой пластины конденсатора C_1 равен $q_1 = 6C\varepsilon/5$. После замыкания ключа заряд $q'_1 = 3C\varepsilon$.

4.3.34. Обозначим произвольно знаки зарядов на конденсаторах (рис. 4.3.34 б). В схеме два блока представляют собой изолированные системы. Тогда

$$C_1 V_1 - C_2 V_2 - C_4 V_4 = 0. \quad (1)$$

$$-C_3 V_3 + C_4 V_4 = 0. \quad (2)$$

Для контуров $a-C_2-C_1-b$, $C_2-C_4-C_3$ получаем уравнения

$$V_1 + V_2 = V \quad (3)$$

$$V_3 + V_4 - V_2 = 0. \quad (4)$$

Из (1) — (4) находим $V = V_3[(C_2/C_1 + 1)(C_3/C_4 + 1) + C_3/C_1]$.

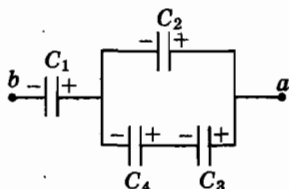


Рис. 4.3.34 б

4.3.35. Для изолированной части схемы имеем уравнение

$$-C_3V_3 + C_2V_2 + C_1V_1 = 0. \quad (1)$$

Для контуров, содержащих элементы $C_3\varepsilon_2C_2$ и $C_2\varepsilon_1C_1$, получаем уравнения

$$V_3 + V_2 = \varepsilon_2, \quad (2)$$

$$-V_2 + V_1 = \varepsilon_1. \quad (3)$$

4.3.36. Для решения задачи запишем закон сохранения суммы полной механической энергии пластины $U_{\text{мех}}$ и энергии электрического поля U_c : $U_{\text{мех}} + Q^2/(2C) = \text{const}$, $C = \varepsilon_0 S/z$.

Функцию $W(z) = Q^2 z / (2\varepsilon_0 S)$ можно рассматривать как потенциальную энергию взаимодействия пластин. Приращение потенциальной энергии W связано с проекцией силы F_z соотношением $-\Delta W = F_z \Delta z$.

$$\text{Вычисляя приращение } W, \text{ получим } F_z = -\frac{dW}{dz} = -\frac{Q^2}{2\varepsilon_0 S}.$$

Поскольку $Q = \sigma S$, $\sigma = \varepsilon_0 E_0$, то F_z можно представить в виде $F_z = -\varepsilon_0 E_0^2 S/2$.

Сила, действующая на нижнюю пластину, $F_{1z} = \varepsilon_0 E_0^2 S/2$. Следовательно, на поверхность проводника действуют со стороны поля силы «отрицательного» давления $p = \varepsilon_0 E_0^2/2$. В результате проводник деформируется, его объем увеличивается.

Приведем числовые данные: $E_0 = 10^6$ В/м (напряжение $U = 10$ кВ, расстояние между пластинами $d = 1$ см), $S = 4 \cdot 10^{-2}$ м², $F = 17,7 \cdot 10^{-2}$ Н, $p = 4,42$ Па.

4.3.37. Эквивалентная схема представляет собой два конденсатора, соединенных последовательно.

Емкости конденсаторов $C_1 = \epsilon_0 S/x$, $C_2 = \epsilon_0 S/(d-x)$.

Из правил Кирхгофа найдем заряды на пластинах конденсаторов $q_1 = C_1 q / (C_1 + C_2)$, $q_2 = -C_2 q / (C_1 + C_2)$.

Энергия электрического поля конденсаторов

$$U_e = q_1^2 / 2C_1 + q_2^2 / 2C_2 = q^2 (d-x)x / (2\epsilon_0 Sd).$$

Сила, действующая на пластину b :

$$F_x = -dU_e/dx, \quad F_x = q^2 (x-d/2) / (\epsilon_0 Sd).$$

4.3.38. Пусть ϕ_0 — потенциал точки O . Из закона сохранения изолированной части схемы следует уравнение

$$2C(\phi_0 - \phi) + C(\phi_0 - \phi_c) = Q,$$

из которого находим $\phi_0 = \frac{2\phi}{3} + \frac{\phi_c}{3} + \frac{Q}{3C}$, $q_1 = q_2 = q$, $q = \frac{Q}{3} - \frac{1}{3} CV$,

$q_3 = \frac{Q}{3} + \frac{2}{3} CV$, $V = \phi - \phi_c$. Полагая $Q = -2CV$, получим $q = -CV$, $q_3 = 0$.

Величина силы, действующей на внутренние пластины конденсаторов C_1 и C_2 равна $\frac{q^2}{2\epsilon_0 S} = \frac{C^2 V^2}{2\epsilon_0 S}$.

Следовательно, в случае симметрично расположенной схемы подвес может удерживать три пластины массой $m = \frac{C^2 V^2}{2\epsilon_0 Sg}$.

4.4. Постоянный ток. Закон Ома

4.4.1. Функция $q(t)$ принимает значения e_0 , $2e_0$, $3e_0$, ... в интервалах $(0, T)$, $(T, 2T)$, $(2T, 3T)$, ... , где T — период вращения электрона. Следовательно, сила тока $I = e_0/T$. Величину $1/T$ найдем из второго

закона Ньютона: $m \left(\frac{2\pi}{T} \right)^2 a = \frac{ke_0^2}{a^2}$.

4.4.2. Пусть $x(t)$ — координата правого торца пластины (рис. 4.4.2).

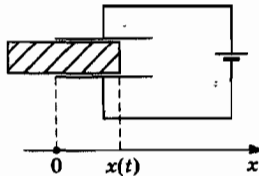


Рис. 4.4.2

Конденсатор с пластиной эквивалентен системе двух параллельно соединенных конденсаторов емкостью $C_1 = \epsilon_0 a(a - x)/d$ и $C_2 = \epsilon \epsilon_0 ax/d$. Емкость системы $C = \epsilon_0 a[a + (\epsilon - 1)x]/d$. Согласно закону Кирхгофа $q = CU$. Сила тока $I = UdC/dt = U(dC/dx)(dx/dt)$.

4.4.3. После внесения проводника поле перестроится так, что напряженность поля в проводнике обратится в нуль в результате перераспределения электронов на поверхности проводника.

4.4.4. На границе раздела двух проводящих сред непрерывна нормальная компонента плотности тока $j = E/\rho$. Пусть E_1, E_2 — проекции напряженности электрического поля на двух участках проводников. На границе раздела $\rho j = E_1, \rho j = E_2$. Согласно закону Гаусса $(E_2 - E_1)S = Q/\epsilon_0$, где Q — заряд на плоскости раздела.

4.4.6. Резисторы R_2 и R_3 соединены параллельно.

Эквивалентный резистор сопротивлением $R_{23} = 80$ Ом и резистор R_5 соединены последовательно — общее сопротивление эквивалентного резистора $R_{235} = 100$ Ом. Этот резистор соединен параллельно с резистором R_4 .

4.4.7. Резисторы R_1 и R_2 соединены параллельно — сопротивление эквивалентного резистора $R_{12} = 4$ Ом. Этот резистор присоединен последовательно к резистору R_4 — сопротивление эквивалентного сопротивления $R_{124} = 10$ Ом. Теперь схема содержит два резистора, соединенных параллельно.

4.4.8–4.4.9. Пусть r — сопротивление ребра. Вследствие симметрии схемы ток силой I , втекающий в узел a , вытекает по трем ребрам. Сила тока в ребре ab равна $I/3$. Далее в узле b ток силой $I/3$ разделяется на два тока силой $I/6$. Сила тока в ребре mn равна $I/3$. Согласно закону Ома $2Ir/3 + Ir/6 = V$ или $I = V/R, R = 5r/6$.

4.4.10. Если искать сопротивление между вершинами A и B , то потенциалы вершин C и D одинаковы.

4.4.11. Ток течет не только по жиле, но и протекает через изоляцию по другому «проводу» — проводящей среде. Пусть x — сопротивление схемы. Поскольку число звеньев достаточно велико, то эквивалентная схема представляет собой резистор R , к которому последовательно присоединен резистор сопротивлением $xr/(x + r)$.

Следовательно, $R + \frac{xr}{x+r} = x, x = \frac{1}{2} \left(R + \sqrt{R^2 + 4rR} \right)$.

При $r \gg R$ имеем $x = \sqrt{rR}$.

Отметим, что с середины 40-х годов XIX века быстро росла сеть телеграфных линий. Выдающийся российский электротехник Б.С. Якоби доказал, что один из проводов линии можно убрать, используя в качестве второго землю (1843 г.). В трансатлантической линии — второй провод — вода. Эпопея прокладки кабеля началась в 1857 г. и только пятая экспедиция 1866 года оказалась успешной. Теоретиком проекта был блестящий ученый Уильям Томсон, которому за заслуги в разработке трансатлантического телеграфа было пожаловано дворянское звание (1866 г.).

4.4.12. Тогда необходимо найти решение уравнения, символически изображенного на рис. 4.4.12 б: $1/r + 1/(r + R) = 1/R$. Отсюда находим $R = (R = (\sqrt{5} - 1)r/2, R \approx 0,618 r$.

Пропорция $b/a \approx 0,618$ известна с древних времен как результат деления отрезка длиной $a + b$ на неравные части a и $b, a > b$, удовлетворяющие пропорции $b/a = a/(a + b)$. Леонардо да Винчи назвал ее золотым сечением.

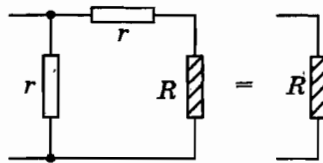


Рис. 4.4.12 б

4.4.13. Искомую разность потенциалов представим в виде

$$\varphi_m - \varphi_n = \varphi_a - \varphi_n - (\varphi_a - \varphi_m).$$

Согласно закону Ома $\varphi_a - \varphi_c = I_3 R_3$, где I_3 — сила тока в цепи резисторов R_3 и R_4 . Из закона Ома для этой цепи находим $I_3 = \frac{V}{R_3 + R_4}$.

Следовательно, $\varphi_a - \varphi_n = \frac{V R_3}{R_3 + R_4}$. Аналогичным образом находим

$$\varphi_a - \varphi_m = \frac{V R_2}{R_1 + R_2}. \text{ Разность потенциалов } \varphi_m - \varphi_n = \frac{R_1 R_3 - R_2 R_4}{(R_1 + R_2)(R_3 + R_4)} V.$$

Отсюда следует важный вывод: если $R_2/R_3 = R_1/R_4$, то $\varphi_m - \varphi_n = 0$.

4.4.14. Имеем систему уравнений

$$\begin{aligned} V &= V_2 + V_1, & V &= V_3 + V_4, \\ V &= V_3 + V_c + V_1, & V_4/V_3 &= 5. \end{aligned}$$

4.4.15. Заряд правой пластины $q = C(\varphi_m - \varphi_n)$, $\varphi_m - \varphi_n = -36$ В, $q = -36$ мкКл.

4.4.16. Напряжение на резисторе R_1 равно $V_1 = 50$ В. Из первого закона Кирхгофа для узла m следует уравнение $I_3 = I_2 - I_1 = V_2/R - V_1/R$, из которого находим $V_3 = I_3 R = 10$ В. Второй закон Кирхгофа для контура $atna$ приводит к уравнению $V_4 = V_2 + V_3$.

4.4.17. Поскольку конденсатор разрывает цепь, то сопротивление участка схемы $a-m-n$ равно $R_0 = 2$ Ом. Падение напряжения на этом участке $\varphi_a - \varphi_n = V_0$, $V_0 = IR_0$, $I = V/(R_0 + R_4)$, $I = 6$ А.

4.4.18. Сила тока через резистор R_2 равна $I_2 = V_0/(R_2 + R_0)$, $I_2 = 2$ А. Разность потенциалов $\varphi_m - \varphi_b = I_2 R_2 + IR_4$.

4.4.19 А. Сопротивление резисторов R_2 , R_3 , соединенных параллельно $R_{23} = 4$ Ом. Сопротивление второй группы резисторов R_4 и R_1 равно $R_{41} = 4$ Ом. Сила тока в общей части схемы $I = 5$ А. Теперь имеем систему уравнений

$$I = I_3 + I_2, \quad I_3 R_3 = I_2 R_2, \quad I_2 = I_4, \quad I_3 = I_1.$$

Б. Очевидно, сопротивление участка mb равно нулю. Резисторы R_5 и R_4 соединены параллельно, $R_{54} = 4$ Ом. Через резистор R_3 протекает ток силой $I_3 = 4$ А, через резистор R_2 протекает ток силой $I_2 = 2$ А. Падение напряжения на участке nb равно $V_{54} = 16$ В. Сила тока $I_5 = 3,2$ А.

4.4.20. Очевидно $\varphi_b = \varphi_n$. Из закона Ома находим разности потенциалов $\varphi_a - \varphi_m = VR_2/(R_1 + R_2)$.

4.4.22. В схеме потенциалы точек $\varphi_a = \varphi_m$, $\varphi_b = \varphi_n$.

4.4.23. Эквивалентная схема изображена на рис. 4.4.23 б. Потенциалы точек a и m одинаковы: $\varphi_a = \varphi_m$.

Введем обозначения $\varphi_m - \varphi_n = U_1$, $\varphi_n - \varphi_b = U_2$.

Первый закон Кирхгофа приводит к уравнению $U_1 + U_2 = V$.

Согласно закону сохранения заряда изолированной части схемы получим еще одно уравнение $0 = -2CU_1 + CU_2$.

4.4.24. Обозначим $\varphi_a - \varphi_n = V_2$, $\varphi_m - \varphi_n = V_1$, $\varphi_n - \varphi_b = V_3$.

Из закона сохранения заряда изолированной части схемы получим уравнение $-CV_2 - CV_1 + CV_3 = 0$.

Еще два уравнения следуют из второго закона Кирхгофа:

$$V_2 + V_3 = V, \quad \varphi_a - \varphi_m + V_1 - V_2 = 0.$$

Разность потенциалов $\varphi_a - \varphi_m = VR_1/(R_1 + R_2) = 12$ В.

4.4.25–4.4.26. Сила тока через резисторы $I = V/(R_1 + R_2 + R_3)$, $I = 1$ А. Разности потенциалов $\varphi_a - \varphi_n = I(R_1 + R_2)$, $\varphi_m - \varphi_b = I(R_2 + R_3)$.

4.4.27. Эквивалентная схема представлена на рис. 4.4.27 б. Из законов Кирхгофа получим систему уравнений $I_1 + I_2 = I_4$, $I_5 = I_2 + I_3$, $I_1 R_1 = V$, $I_2 R_2 = V$, $I_3 R_3 = V$.

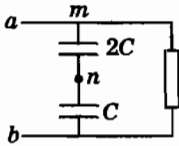


Рис. 4.4.23 б

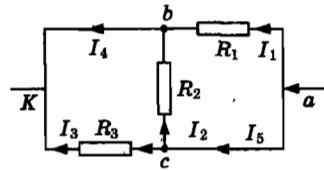


Рис. 4.4.27 б

4.4.28. А. Имеем систему уравнений $I = I_a + I_b$, $I_a R_a = I_a R_a$.

Б. Имеем систему уравнений $V = V_a + V_n$, $V_n/R_n = V_n/R_n$.

4.4.29. В схеме четыре узла и соответственно четыре участка, имеющих потенциалы $\varphi_a, \varphi_b, \varphi_k, \varphi_c$. Обозначим через I_n силу тока, протекающего через резистор R_n , I — сила тока, втекающего в узел a . Стрелками на рис. 4.4.29 б обозначены положительные направления на участках схемы, заключенных между соседними узлами. Согласно закону непрерывности токов в узлах a, b, c , получим уравнения

$$I = I_1 + I_4 \quad (1)$$

$$I_1 = I_5 + I_2 \quad (2)$$

$$I_5 + I_4 = I_3. \quad (3)$$

Уравнение $I = I_2 + I_3$ для узла b не является независимым: оно следует из системы (1)–(3).

Полная система уравнений, относительно шести неизвестных токов должна содержать еще три уравнения. Рассмотрим контур abk .

Очевидно, $\varphi_a - \varphi_k = \varphi_a - \varphi_b + \varphi_b - \varphi_k$. Из закона Ома для участков ab и bk цепи находим, что $\varphi_a - \varphi_m = I_1 R_1$, $\varphi_m - \varphi_b = I_2 R_2$.

Следовательно,

$$I_1 R_1 + I_2 R_2 = V. \quad (4)$$

Далее для контуров ack и $abck$ аналогичным путем находим

$$I_4 R_4 + I_3 R_3 = V, \quad (5)$$

$$I_1 R_1 + I_5 R_5 + I_3 R_3 = V. \quad (6)$$

Решение этой системы можно представить в виде $V = IR$, где R — сопротивление участка ak . Полагим $R_1 = R_3 = r_1$, $R_2 = R_4 = r_2$.

Вычитая (5) из (4) находим уравнение

$$(I_1 - I_3)r_1 + (I_2 - I_4)r_2 = 0. \quad (7)$$

Заметим, что это уравнение является следствием равенства нулю суммы падений напряжений в замкнутом контуре $ambna$. Теперь, учитывая (2), (3), получим уравнение

$$I_1 - I_2 = I_2 - I_4. \quad (8)$$

Из (7), (8) следует, что $I_1 = I_3$, $I_2 = I_4$. Таким образом, приходим к системе

$$I = I_1 + I_2, \quad I_1 = I_5 + I_2, \quad (9a)$$

$$I_1 r_1 + I_2 r_2 = V, \quad 2I_1 r_1 + I_5 R_5 = V, \quad (9б)$$

из которой находим $V = IR$,

$$R = \frac{(r_1 + r_2) R_5 + 2r_1 r_2}{r_1 + r_2 + 2R_5} \quad (10)$$

Убедимся в корректности решения, рассматривая ряд частных случаев, позволяющих перейти к эквивалентным схемам, более простым по сравнению с исходной.

4.4.30. В этом случае электрическое состояние частей схемы bac и bkc должно быть одинаково. В силу этой симметрии $I_5 = 0$. Действительно, из уравнений (9) находим, что $I_5 = 0$.

Поскольку $\phi_b = \phi_c$, то точки b и c можно совместить. Тогда эквивалентная схема содержит два последовательно соединенных участка, в которых резисторы R_1 , R_4 и R_2 , R_3 соединены параллельно. Общее сопротивление $R = r/2$.

4.4.31. Общее сопротивление $R = 2r_1 r_2 / (r_1 + r_2)$, $R = 8$ Ом, сила тока $I = 5$ А.

Далее имеем систему $I_1 + I_2 = I$, $I_1 r_1 = I_2 r_2$, $I_1 = I_3$, $I_2 = I_4$, из которой находим $I_1 = 4$ А, $I_2 = 1$ А, $I_5 = V \frac{r_2 - r_1}{2r_2 r_1}$, $I_5 = 3$ А.

4.4.34. Имеем систему уравнений

$$I_1 + I_2 = I_3, \quad I_1 R_1 + I_3 R_3 = V_1, \quad I_2 R_2 + I_3 R_3 = V_2.$$

4.4.36. Применим второй закон Кирхгофа для контура $k-a-k$, второй участок которого проходит «по вакууму».

4.4.38. А. Для схемы рис. 4.4.38 а согласно закону Ома $I_1 R_n = V_1$. Для схемы рис. 4.4.38 б имеем уравнения $I_2 = I_n + I$, $I_n R_n = IR = V_2$. Искомое сопротивление $R = V_2 / [I_2 - (V_2/V_1)I_1]$.

Б. Если $R_n \gg R$, то измеренное сопротивление

$$R' = V_2/I_2, \quad \delta = (R' - R)/R = (V_2/V_1)(I_1/I_2).$$

4.4.39. Согласно условию $V_1 = \mathcal{E}R_n/(R_n + r) \approx \mathcal{E}$, $V_2 = \mathcal{E}R/(R + r)$, $V_3 = 2\mathcal{E}R/(2R + r)$.

4.4.40. Резисторы R_2 и R_3 соединены параллельно. Сила тока в общей части схемы $I = 1,5$ А.

4.4.41. Сила тока в общей части схемы $I = 1$ А. В узле ток разветвляется на токи силой $I/2$. Из второго закона Кирхгофа для замкнутого контура, содержащего конденсатор и резисторы R_1 , R_2 , получим $V_c - IR + IR/2 = 0$.

4.4.42. При замкнутом ключе $U_1 = \mathcal{E}R/(R + r)$, при разомкнутом $U_1 = \mathcal{E}R/(2R + r)$.

4.4.43. В начальном состоянии заряд конденсатора $q = C\mathcal{E}$, после замыкания ключа $q' = C\mathcal{E}R/(R + r)$.

4.4.44. Для токов в схеме рис. 4.4.44 б получим уравнения

$$I_1 + I_3 = I_2, \quad \mathcal{E} = I_1(r + R) + I_2R, \quad \mathcal{E} = I_3(r + R) + I_2R.$$

Для токов в схеме рис. 4.4.44 в получим уравнения

$$I_1 + I_2 = I_3, \quad \mathcal{E} = I_3(r + R) + I_2R, \quad \mathcal{E} = I_1(r + R) - I_2R.$$

4.4.45. Для одного из узлов на эквивалентной схеме рис. 4.4.45 б имеем уравнение $I_2 = I_1 + I_3$. Из закона Кирхгофа для контуров, содержащих батареи \mathcal{E}_1 и \mathcal{E}_2 получим еще два уравнения

$$I_1R_1 + I_1r_1 + I_2R_2 = \mathcal{E}_1, \quad I_3R_3 + I_2R_2 + I_3r_2 = \mathcal{E}_2.$$

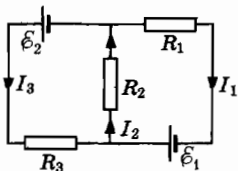


Рис. 4.4.45 б

4.4.46. Сопротивление резисторов R_2 и R_3 , соединенных параллельно, равно $R_{23} = 1,2$ Ом. Эквивалентная схема представляет собой батарею, к которой последовательно присоединены резисторы R_1 и R_{23} . Имеем систему уравнений $V = I(R_1 + R_{23})$, $V_{23} = IR_{23}$, $I_3 = V_{23}/R_3$.

4.4.47. Пусть заряды верхних пластин имеют положительные значения. Из второго закона Кирхгофа получим уравнения

$$V_1 - V_2 = \mathcal{E}, \quad V_1 = \mathcal{E}; \quad q_2 = C_2V_2.$$

4.4.48. Из законов непрерывности тока и Ома получим систему уравнений $I = I_1 + I_2$, $Ir + I_1R_1 = \mathcal{E}$, $Ir + I_2R_2 = \mathcal{E}$ которую разрешим относительно I_2 : $I_2 = \mathcal{E}_1/[R_1r + R_2(r + R_1)]$.

4.4.49. Положительные направления токов I , I_1 и I_2 указаны на рис. 4.4.49. Согласно условию непрерывности токов

$$I = I_1 + I_2. \quad (1)$$

Используя второе правило для замкнутых контуров $a - \text{вакуум} - b - \mathcal{E}_1 - a$, $a - \text{вакуум} - b - \mathcal{E}_2 - a$, получим уравнения

$$\varphi_a - \varphi_b + I_1 r_1 = \mathcal{E}_1 \quad (2)$$

$$\varphi_a - \varphi_b + I_2 r_2 = -\mathcal{E}_2. \quad (3)$$

Мы должны получить решение этой системы в виде $\varphi_a - \varphi_b = \mathcal{E} - Ir$. С этой целью умножим уравнение (2) на r_2 , (3) — на r_1 и сложим полученные равенства.

$$\text{В результате находим } \mathcal{E} = \frac{\mathcal{E}_1 r_2 - \mathcal{E}_2 r_1}{r_1 + r_2}, \quad r = \frac{r_1 r_2}{r_1 + r_2}.$$

Подставляя числовые данные, находим $\mathcal{E} = 1,5 \text{ В}$, $r = 0,1 \text{ Ом}$.

4.4.50. В схеме рис. 4.4.50 б три участка с различными потенциалами. Стрелками обозначено положительное направление тока I . Из закона Ома для участков цепи ak и kb следуют два уравнения

$$\varphi_a - \varphi_k = \mathcal{E} - Ir, \quad \varphi_k - \varphi_b = \mathcal{E}_0 - Ir_0.$$

Для участка ba имеем $\varphi_a - \varphi_b = IR$. Из полученных трех уравнений находим $I = \frac{\mathcal{E} + \mathcal{E}_0}{R + r_0 + r}$. Неравенство $I < I_0$, $I_0 = \frac{\mathcal{E}_0}{R + r_0}$ выполняется

при условии $\frac{\mathcal{E}_0}{R + r_0} > \frac{\mathcal{E}}{r}$ или $I_0 > I_{кз}$, $I_{кз} = \frac{\mathcal{E}}{r}$.

4.4.51. Образует x столбиков из последовательно соединенных N/x элементов. ЭДС столбика — $N\mathcal{E}/x$, внутреннее сопротивление rN/x . Соединим их параллельно. Тогда ЭДС полученной батареи $N\mathcal{E}/x$, а полное внутреннее сопротивление Nr/x^2 .

Следовательно, сила тока в цепи $I(x) = \frac{N\mathcal{E}}{xR + Nr/x}$. Сила тока

достигает максимального значения $I_m = \frac{\mathcal{E}}{2} \sqrt{\frac{N}{Rr}}$ при $x = \sqrt{\frac{Nr}{R}}$.

В случае $R \approx Nr \gg r$ имеем $x \approx 1$: число столбиков мало. В другом предельном случае, $R \ll Nr$ величина $x \gg 1$: число столбиков велико.

Интересно, что законы физики влияли на ход эволюции электрических органов рыб. Они состоят из столбиков плоских клеток, каждая из которых может создать напряжение $\mathcal{E}_0 \approx 60 \text{ мВ}$. Электрический

угорь — обитатель болот Латинской Америки — имеет всего несколько «столбиков», каждый из которых содержит более 6 000 клеток. У электрического ската, обитающего в морской воде, наоборот, число столбиков ≈ 500 , а в столбике всего 400 клеток.

Любопытно, что около 250 видов морских созданий способны вырабатывать кратковременный электрический ток. Например, у электрического ската мышечная ткань плавников служит электродом с положительным полюсом в верхней части и с отрицательным зарядом — в нижней. Приборы регистрировали разряд напряжением 550 В при силе тока 2 А.

Рыбы, обладающие электрическими органами, способны обнаружить добычу и препятствия в мутной воде. В пространстве, окружающем электроды, создается электрическое поле и возникает ток. Сила тока, протекающего через различные электрорецепторы электродов, зависит от расстояния до некоторого объекта, его ориентации и удельного сопротивления. По информации, поступающей в мозг, рыба определяет размеры, форму и скорость объекта.

4.4.52. Согласно условию непрерывности токов

$$I = I_1 + I_2. \quad (1)$$

Используя второе правило для контура, содержащего \mathcal{E}_1 и R , получим уравнение

$$I_1 r_1 + IR = \mathcal{E}_1. \quad (2)$$

Далее после обхода по замкнутому контуру, содержащего \mathcal{E}_2 и R , получим еще одно уравнение

$$I_2 r_2 + IR = \mathcal{E}_2. \quad (3)$$

Умножим уравнение (2) на r_2 , (3) — на r_1 и сложим полученные равенства. Учитывая (1), находим $I = \mathcal{E} / (r + R)$, $\mathcal{E} = \frac{\mathcal{E}_1 r_2 + \mathcal{E}_2 r_1}{r_1 + r_2}$, $r = \frac{r_1 r_2}{r_1 + r_2}$.

В. Из уравнений $I_1 r_1 = \mathcal{E}_1 - IR$, $I_1 = 0$ находим $R = R_c$, $R_c = \mathcal{E}_1 r_2 / (\mathcal{E}_2 - \mathcal{E}_1)$. Сила тока $I(R_c) = (\mathcal{E}_2 - \mathcal{E}_1) / r_2$.

Г. При значении $R > R_c$ сила тока, протекающего через аккумулятор $I_1 < 0$: аккумулятор подзаряжается.

4.4.53. В схеме два узла. Обозначим стрелками положительные направления токов I , I_1 , I_2 . Для каждого узла первое правило Кирхгофа дает

$$I_1 = I + I_2, \quad (1)$$

Для контура $a\epsilon_1 b\epsilon_2 a$ второй закон Кирхгофа приводит к уравнению

$$I_1 r_1 + I_2 r_2 = \epsilon_1 - \epsilon_2, \quad (2)$$

Для контура $a\epsilon b\epsilon_2 a$ имеем

$$I_2 r_2 - IR - Ir = -\epsilon_2 + \epsilon, \quad (3)$$

По условию задачи $I = 0$.

Полагая в (1)–(3) $I = 0$ и, исключая I_1 и I_2 , находим $\epsilon = \frac{\epsilon_2 r_1 + \epsilon_1 r_2}{r_1 + r_2}$.

4.4.54. Предположим, правая пластина конденсатора имеет положительный заряд. Назовем напряжением на конденсаторе разность потенциалов точек a и b : $\phi_a - \phi_b = V$. В схеме отсутствуют узлы. Применяя второе правило Кирхгофа к контуру, содержащему резистор R и элемент ϵ , получим уравнение $IR + Ir = \epsilon$. Для контура, содержащего конденсатор и резистор, имеем $V - IR = -\epsilon_1$. Из полученных уравнений, находим $V = \frac{\epsilon R}{R+r} - \epsilon_1$.

Если $\epsilon R < \epsilon_1(R+r)$, то на правой пластине конденсатора заряд $CV < 0$.

4.4.55. Вначале заряд изолированной части схемы, содержащей две пластины конденсаторов C_1 и C_2 равен нулю. Пусть после замыкания ключа правая пластина конденсатора C_1 и верхняя пластина конденсатора C_2 приобретают положительные заряды. Обозначим V_1 и V_2 напряжения на этих конденсаторах. Тогда имеем два уравнения: $V_1 - V_2 = \epsilon_1$, $V_2 = \epsilon_2$. Искомый заряд $\Delta Q = C_1(\epsilon_1 + \epsilon_2) + C_2\epsilon_2$.

4.4.57. Обозначим I_0, I_1', I_2' — силы токов, протекающих через резисторы R_0, R_1, R_2 . Имеем систему уравнений

$$\begin{aligned} I_1 &= I_0 + I_1', & I &= I_0 + I_2', & I_1' R_1 &= \epsilon_1, \\ I_2' R_2 &= \epsilon_2, & I_0 R_0 &= \epsilon_1 + \epsilon_2. \end{aligned}$$

4.4.58. Согласно условиям задачи получим систему уравнений $I = \epsilon/r$, $V = \epsilon R/(r+R)$, $V_1 = \epsilon R_0/(r+R_0)$, $R_0 = RR_1/(R+R_1)$.

Эта система, содержащая четыре уравнения, формально содержит пять неизвестных.

4.4.59. Из законов Кирхгофа получим уравнения

$$I_2 = I + I_1, \quad I_1(r + R/2 - x) = \epsilon, \quad I_2(r + R/2 + x) = \epsilon.$$

4.4.61. Имеем систему уравнений $I = I_1 + I_2$, $V_2 = I_2 R_2$, из которой найдем сопротивление вольтметра $R_2 = 180 \text{ Ом}$.

Поскольку $V_2 = I_1(R + R_a)$, то $R = 17$ Ом. Далее из закона Ома для полной цепи $\mathcal{E} = I(r + R_a + R_n) + V_2$ находим $r = 1$ Ом.

4.4.62. Решение 1. Из закона Ома получим $I_1(R_1 + R_2) = \mathcal{E}$, где I_1 — сила тока через резистор R_1 . После присоединения резистора сопротивлением R сила тока $I = \mathcal{E}R_0 / [(R_1 + R_0)R]$, где $R_0 = R_2R / (R_2 + R)$. Приращение силы тока $\Delta I_1 = \mathcal{E} / (R_1 + R_0) - \mathcal{E} / (R_1 + R_2)$.

Решение 2. Имеем систему $I_1(R_1 + R_2) = \mathcal{E}$, $I'_1 = I + I_2$, $I'_1R_1 + I_2R_2 = \mathcal{E}$. Отсюда получаем $I'_1R_1 + (I'_1 - I)R_2 = I_1(R_1 + R_2)$.

4.4.63. Обозначим через I_n силу тока, протекающего через резистор R_n . Стрелками на рис. 4.4.63 обозначены положительные направления на участках схемы, заключенных между соседними узлами. Согласно закону непрерывности токов в узлах b и c , получим уравнения

$$I_1 = I_5 + I_2 \quad (1)$$

$$I_5 + I_4 = I_3. \quad (2)$$

Вводя разности потенциалов, запишем уравнения в виде

$$(\varphi_b - \varphi_k) / R_2 = I_1 - I_5, \quad (\varphi_c - \varphi_k) / R_3 = I_5 + I_4.$$

Учитывая, что $\varphi_b - \varphi_k = I_5R_5 + I_3R_3$, получим $I_5(R_2 + R_3 + R_5) = I_1R_2 - I_4R_3$ или $\Delta q_5(R_2 + R_3 + R_5) = \Delta q_1R_2 - \Delta q_4R_3$.

После включения напряжения правые пластины конденсаторов приобретут положительные заряды $q = CV$.

4.4.64. В популярной литературе обычно не различают эти термины. Однако в электротехнике они представляют собой два различных понятия.

Идеальным *источником или генератором напряжения* называют такой элемент, у которого внутреннее сопротивление равно нулю. В реальном источнике напряжения, близком к идеальному, внутреннее сопротивление $r \ll R$, где R — сопротивление нагрузки. Из закона Ома находим, что $V_R \approx \mathcal{E}$. Идеальным *источником тока* называют такой элемент, который создает ток, неизменный при изменении нагрузки. В реальном источнике тока внутреннее сопротивление $r \gg R$.

4.4.65. Пусть потенциал пластины b равен нулю. Используя свойство суперпозиции полей, находим, что потенциал, удовлетворяющий условию непрерывности в точке $x = x_k$, имеет вид

$$\varphi(x) = (Q / \epsilon_0 S + q / 2\epsilon_0 S)x, \quad 0 \leq x \leq x_k;$$

$$\varphi(x) = [Q / \epsilon_0 S - q / 2\epsilon_0 S]x + qx_k / \epsilon_0 S, \quad x_k \leq x \leq d.$$

Следовательно, разность потенциалов пластин

$$\varphi_a - \varphi_b = \varphi(d) - \varphi(0) = Q/C - q/2C + qx_k/Cd.$$

Положительное направление указано стрелкой на контуре схемы на рис. 4.4.65. Согласно закону Ома для полной цепи

$$Q/C - q/2C + qx_k(t)/Cd + Ir = \mathcal{E}. \quad (1)$$

Поскольку $I = dQ/dt$, то дифференцируя (1), получим уравнение

$$dI/dt = -I/\tau - qv(t)/\tau d, \quad (2)$$

где $\tau = Cr$.

Начальное условие $I(0) = 0$. Можно получить точное решение уравнения (2). Однако, учитывая неравенство $\tau < t \leq t_0$, можно упростить задачу, поскольку имеем быструю и медленную подсистемы, описываемые функциями $I(t)$ и $x_k(t)$. Эволюция быстрой подсистемы начинается с переходного процесса длительностью τ . Далее эволюция системы описывается уравнением (2), в котором можно положить $dI/dt = 0$. Этот метод, называемый *адиабатическим исключением быстрой переменной* I , впервые предложен Г. Хакеном. Поведение системы определяется эволюцией медленной подсистемы. Медленная подсистема управляет быстрой подсистемой. Именно поэтому переменную x_k называют параметром порядка.

Следовательно, $I(t) = -qv(t)/d$, $\tau < t \leq t_0$.

В момент времени $t = t_0$ из (1) получим значение заряда $Q \approx Q_0$ на конденсаторе: $Q_0/C + q/2C = \mathcal{E}$.

Отметим, что аналогичная ситуация характерна для лазера: одна подсистема — электромагнитное поле излучения — подчиняет себе атомную подсистему. В результате атомы активного вещества излучают волны с почти одинаковой частотой и фазой.

4.4.66. Пусть ток растекается в грунте симметрично относительно конца провода. Плотность тока на расстоянии r от конца провода $j = I/(2\pi r^2)$, радиальная компонента напряженности электрического поля $E = Ir/(2\pi r^2)$. Разность потенциалов между близкими точками $\Delta\varphi = E\Delta r$, $\Delta\varphi = 200$ В.

Сопротивление между крайними точками тела лежит в интервале от 1,5 кОм до 100 кОм. «Обездвиживающая» сила тока $I_m = 16$ мА; ток силой свыше 20 мА вызывает дыхательный паралич.

Отсюда *совет*: стойте по стойке смирно с плотно сжатыми ступнями или передвигайтесь, держа ступни вместе.

При ударе средней по силе тока молнии в вершину дерева значение $I \approx 30$ кА; разность потенциалов $\Delta\phi = 200$ кВ. В этом случае неизбежен пробой обuvi.

4.4.67. В первой схеме $V_1 = VR_{bc}/(R + R_{bc})$, $1/R_{bc} = 1/R_s + 1/R$, $\rightarrow R/R_s = V/V_1 - 2$. Во второй схеме $V_2 = VR_s/(2R + R_s)$.

4.4.69. А. Замкнем оба ключа и установим на реостате $R = 0$. Тогда $V_1 = 0$, $V_2 = V$. После размыкания ключей напряжения на конденсаторах не изменятся (см. задачу 4.3.22).

Б. Замкнем ключ K_2 : напряжения $V_2 = 0$, $V_1 = V$. Теперь разомкнем ключ K_2 — напряжения на конденсаторах не изменятся. После замыкания ключа K_1 через лампу пойдет ток, напряжения на конденсаторах не изменяются.

4.4.70. При подключении вольтметра к первому резистору сопротивление этого участка R_1' : $1/R_1' = 1/R_1 + 1/R_v$.

Напряжение на втором резисторе $V_2' = V - V_1$, $V_2' = 8$ В.

Тогда $R_2/R_1' = V_2'/V_1$, $R_2/R_1' = 2$:

$$2/R_2 = 1/R_1 + 1/R_v. \quad (1)$$

Если вольтметр подключен ко второму резистору, то аналогично найдем

$$1/R_1 = 1/R_2 + 1/R_v. \quad (2)$$

Из (1), (2) получаем $R_1/R_2 = 2/3$. Теперь для схемы в отсутствие вольтметра имеем систему $V_{10}/V_{20} = 2/3$, $V_{10} + V_{20} = V$.

4.4.71. Из правил Кирхгофа следуют уравнения $\phi_a - \phi_b + Ir_2 = \mathcal{E}_2$, $I(r_1 + r_2 + R) = \mathcal{E}_1 + \mathcal{E}_2$. Заряд на левой пластине $Q = C(\phi_a - \phi_b)$.

Отсюда находим $Q = [\mathcal{E}_2(r_1 + R) - \mathcal{E}_1 r_2]/(r_1 + r_2 + R)$.

4.4.72. $Q_1 = C_1 R_1 (R_1 + R_2 + r) Q_2 / C_2 R_2 (R_1 + r)$.

4.4.73. Имеем систему уравнений $I(r + R/2) = \mathcal{E}_1$, $IR/2 = \mathcal{E}_2$ (см. задачи 4.4.49, 4.4.52).

4.5. Закон Джоуля — Ленца

4.5.1. Пусть сопротивление паяльника R_0 . В нормальном режиме работы выделяется мощность P_0 . Поскольку $P_0 = U_0^2/R_0$ то в сети с

напряжением U_1 выделяется мощность $P_1 = \frac{U_1^2}{R_0} = P_0 \left(\frac{U_1}{U_0} \right)^2 = 0,25P_0$ в

четыре раза меньше P_0 . Для того чтобы паяльник работал нормально

при напряжении U_1 , его сопротивление R_0 надо изменить до значения R_1 , которое найдем из условия $P_0 = U_1^2 / R_1$.

$$\text{Следовательно, } R_1 = R_0 \left(\frac{U_1}{U_0} \right)^2 = 0,25R_0.$$

Сопротивление R_0 надо уменьшить на $0,75R_0$. Для этого достаточно, не укорачивая спираль, изменить схему включения (рис. 4.5.1).

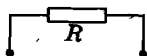


Рис. 4.5.1 а

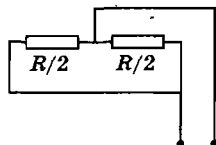


Рис. 4.5.1 б

4.5.2. В силу симметрии системы проводников сила тока в ребре DC равна нулю. Сила тока в ребре AB равна V/r , где r — сопротивление ребра. Силы тока в ребрах ADB и ACB одинаковы — $V/2r$.

4.5.3. В силу симметрии схемы потенциалы точек C и D одинаковы — сила тока в ребре CD равна нулю. Сопротивление схемы $R = r/2$.

4.5.4. Пусть R — сопротивление одного резистора. Тогда сопротивление схемы $R_{ab} = 5R/3$. Сила тока через резистор R_1 равна

$$I = \frac{V}{R_{ab}} = \frac{3V}{5R}, \text{ а напряжение на этом резисторе } V_1 = IR = 3V/5, V_1 = 6 \text{ В.}$$

Поскольку $P_1 = V_1^2 / R$, то $R = 2$ Ом. Очевидно, напряжение на резисторе R_4 равно $V - V_1 = 4$ В, а напряжения на резисторах R_3 и R_2 одинаковы: $V_3 = V_2 = 2$ В. Следовательно, мощности потребляемые резисторами R_2, R_3, R_4 , соответственно, равны $P_2 = P_3 = 2$ Вт, $P_4 = 8$ Вт.

4.5.5. Поскольку $R_2/R_1 = R_3/R_4$, то сила тока через резистор R_5 равна нулю. Силы токов через резисторы $I_2 = I_3 = 2I_0, I_1 = I_4 = I_0, I_0 = V/r, r = 1$ Ом.

4.5.6–4.5.7. Падение напряжения на резисторе R_4 должно быть $U_4 = 3$ В. Из закона Ома для резистора R_1 или R_2 имеем уравнение $V_1 = IR, R = 2$ Ом.

4.5.8. Сила тока в общей части схемы $I = V/R$, где R — общее сопротивление схемы. Силы токов, протекающих через резисторы R_2, R_3 удовлетворяют уравнениям $I = I_2 + I_3, I_2 R_2 = I_3 R_3$. Мощности, потребляемые резисторами: $P_1 = I^2 R_1, P_2 = I^2 \frac{R_2 R_3^2}{(R_2 + R_3)^2}, P_3 = I^2 \frac{R_3 R_2^2}{(R_2 + R_3)^2}$.

4.5.9. Эквивалентная схема представлена на рис. 4.5.9 б. Сопротивление реостата $r(x) = x(R - x)/R$. Сила тока в общей части цепи $I = V/(r + R)$.

Мощность, потребляемая реостатом $P = I^2 r$, $P(x) = V^2 r / (r + R)^2$. Функция $P(x)$ достигает максимума при условии

$$dP/dx = (dP/dr)(dr/dx) = 0, \quad dr/dx = 1 - 2x/R.$$

При значении $x_m = R/2$ функция $P(x)$ достигает максимума.

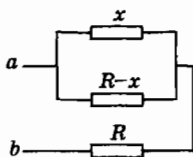


Рис. 4.5.9 б

4.5.10. Поскольку мощность, развиваемая генератором $P = IV$, то сила тока в линии $I = P/V$.

$$\text{Мощность, потребляемая линией, } P_{\text{л}} = I^2 R = \frac{P^2 R}{V^2}.$$

Полезная мощность, передаваемая нагрузке $P_H = P - P_{\text{л}}$. Следовательно, КПД линии $\eta = \frac{P_H}{P} = 1 - \frac{PR}{V^2}$ растет с увеличением напряжения и уменьшением сопротивления линии электропередачи.

В настоящее время используется несколько линий сверхвысокого напряжения ≈ 800 кВ. Для обычных линий напряжением $V = 350$ кВ напряженность поля у земли достигает величины $E \approx 5$ кВ/м. Такие поля вызывают вредное биологическое воздействие.

Если человек ростом $h = 2$ м находится под линией, то через него может пройти ток $I_0 = \Delta\phi/r$, где $\Delta\phi = Eh = 10^4$ В, $r = 10^6$ Ом, — сопротивление человеческого тела. Значение силы тока $I_0 = 10$ мА выше порога чувствительности к току, равного 2 мА. При токах свыше 20 мА наступает дыхательный паралич.

4.5.11. Мощность, потребляемая линией зимой $P_1 = I^2 R_1$, где R_1 — сопротивления линии, $P_0 = I^2 R_0$ — мощность, передаваемая нагрузке, R_0 — сопротивления нагрузки. При увеличении температуры сопротивление линии возрастет до значения R_2 . Однако мощность, передаваемая потребителю, не должна измениться. Следовательно, мощность потерь в линии летом $P_2 = I^2 R_2$, $P_2 = P_1 R_2 / R_1$. Приращение мощности потерь $\Delta P = P_2 - P_1 = P_1 (R_2 - R_1) / R_1 = P_1 \alpha (t_2 - t_1) / (1 + \alpha t_1)$.

4.5.12. Сопротивление лампы в рабочем режиме $R = U^2/P = 484 \text{ Ом}$.

При комнатной температуре сопротивление лампы равно $R_0 \approx \frac{R}{1 + \alpha t} = 21 \text{ Ом}$. Таким образом, в момент включения, сила тока,

протекающего через нить $I_0 = 10,4 \text{ А}$, более чем в двадцать раз превосходит силу тока $I = 0,45 \text{ А}$ в рабочем режиме. По мере возрастания температуры нити сила тока убывает. В установившемся режиме количество теплоты, выделяющейся в нити, сравнивается с потерями энергии вследствие излучения и теплопроводности.

Обсудим одну из причин, приводящих к перегоранию лампочки. Если вольфрамовая нить неоднородна по поперечным размерам, то участок с наименьшим диаметром будет иметь сопротивление большее, чем участок такой же длины стандартного диаметра. Поскольку на каждом участке выделяется количество теплоты $\approx I^2 R$, то дефектный участок может перегреться и расплавиться.

4.5.14. Предохранитель изготовлен из легкоплавкого тонкого провода сопротивлением R_n , который должен расплавиться при протекании тока $I \geq I_n$. Максимальное значение мощности, потребляемой предохранителем $P_{nm} = I_n^2 R_n$. Пусть V — напряжение в сети. Поскольку сопротивление нагрузки $R_n \gg R_n$, то мощность, потребляемую предохранителем можно представить в виде $P_n = I^2 R_n \approx P_{nm} (V/I_n R_n)^2$. Она достигает максимума при уменьшении сопротивления нагрузки до значения $R_{n0} = V/I_n$. Если заменить предохранитель проводом большего сечения, то его сопротивление $R_n < R_n$. Мощность, потребляемая таким «жучком», станет равной $P_n = I^2 R_n = P_n (R_n/R_n) < P_n$, а сила тока, протекающего через нагрузку благодаря такому «предохранителю», может превысить максимальное значение I_n .

4.5.15. Из уравнения $P = \mathcal{E}^2 R / (r + R)^2$ следует, что корни удовлетворяют условию $R_1 R_2 = r^2$.

4.5.16. Имеем систему уравнений

$$P_m = \mathcal{E}^2 / 4r, \quad P = \mathcal{E}^2 R_1 / (r + R_1) = \mathcal{E}^2 R_2 / (r + R_2).$$

Отсюда находим $P_m = P (\sqrt{R_1} + \sqrt{R_2})^2 / 4 \sqrt{R_1 R_2}$.

4.5.17. Имеем систему уравнений $P_m = \mathcal{E}^2 / 4r$, $P = I_1^2 R_1$, $P = I_2^2 R_2$, $P = \mathcal{E}^2 R_1 / (r + R_1)^2 = \mathcal{E}^2 R_2 / (r + R_2)^2$.

Отсюда находим $P_m = P (I_1 + I_2)^2 / 4 I_1 I_2$.

4.5.18. Имеем систему уравнений $I = \mathcal{E} / (r + R)$, $I_k = \mathcal{E} / r$, из которой находим \mathcal{E} и r .

Максимальная мощность $P_m = \mathcal{E}^2 / 4r$, $P_m = I_k^2 R / (I_k - I)$.

4.5.19. Имеем уравнения $\mathcal{E}^2(R_1 + R_2)/(r + R_1 + R_2)^2 = \mathcal{E}^2 R_0/(r + R_0)^2$, $R_0 = R_1 R_2/(R_1 + R_2)$. Отсюда находим $r = \sqrt{R_1 R_2}$.

4.5.20. Из уравнений $\mathcal{E}R/(r + R + R_0) = \mathcal{E}R_0/(r + R_0)$, $R_0 = RR_0/(R + R_0)$ получим $R_0 = R^2/r$. Далее находим $P_1/P_2 = (r/R)^2$.

4.5.22. Пусть \mathcal{E} — ЭДС элемента. При параллельном соединении ЭДС батареи — \mathcal{E} , внутреннее сопротивление — $r/2$.

Мощности, потребляемые в первом и втором случаях

$$P_1 = 4 \mathcal{E}^2 R / (r + 2R)^2,$$

$$P_2 = 4 \mathcal{E}^2 R / (2r + R)^2.$$

Отсюда находим $R = (2\sqrt{k} - 1)r / (2 - \sqrt{k})$.

4.5.23. Напряжение на лампе одинаково в двух случаях. В первом случае получим напряжение на лампе, используя три раза закон Ома

$$V = \frac{\mathcal{E} R_2 R_x}{R_3 (R_1 + R_2 + R_x) + R_2 (R_1 + R_x)}$$

Во втором случае напряжение $V = \frac{\mathcal{E} R_3 R_x}{R_2 (R_3 + R_x) + R_3 R_x}$.

Из этих уравнений находим $R_x = R/3$.

4.5.25. *Решение 1.* Введем положительное направление на контуре, содержащем C_1 , R и C_2 . Пусть $q(t)$ — заряд, прошедший в положительном направлении за время t . Полагая $\varphi_b - \varphi_k = V_1$, $\varphi_k - \varphi_m = V_2$, $\varphi_m - \varphi_a = IR$, получим уравнения

$$V_1 + V_2 = \frac{q}{C}, \quad \frac{1}{C} = \frac{1}{C_1} + \frac{1}{C_2}. \quad (1)$$

$$IR + q/C = 0, \quad (2)$$

Еще одно уравнение следует из закона сохранения заряда изолированной части схемы

$$C_1 V_1 - C_2 V_2 = C_1 \mathcal{E}. \quad (3)$$

Из (1), (3) находим

$$V_1 = \frac{q_1}{C_1 + C_2} + \frac{q}{C_1}, \quad V_2 = -\frac{q_1}{C_1 + C_2} + \frac{q}{C_2}, \quad (4)$$

где $q_1 = C_1 \mathcal{E}$.

Поскольку $V_1(0) = \mathcal{E}$, $V_2(0) = 0$, то начальное значение $q(0) = q_0$, $q_0 = C\mathcal{E}$.

Решением уравнения (2) является функция $q(t) = q_0 \exp(-t/\tau)$, где $\tau = CR$, $\tau = 1,6 \cdot 10^{-8}$ с. Сила тока $I(t) = -(q_0/\tau) \exp(-t/\tau)$. Отметим, что

$q(t)$ — не «заряд», а функция $q(t) \rightarrow 0$ при $t \gg \tau$. Количество теплоты, выделившейся в резисторе

$$\bar{Q} = \int_0^{\infty} dt I^2(t) R = q_0^2 / 2C, \quad Q = C\varepsilon^2 / 2. \quad (5)$$

Решение 2. Проставим произвольно знаки зарядов на конденсаторах при $t \gg \tau$, когда заряды конденсаторов примут постоянные значения. Из закона сохранения заряда изолированной части цепи и второго правила Кирхгофа получим уравнения $q_1 = C_1 V_1 - C_2 V_2$, $V_1 + V_2 = 0$.

Отсюда находим $V_1 = q_1 / (C_1 + C_2)$, $V_1 = -V_2$.

Заряд верхней пластины второго конденсатора $Q_2 = -C_2 V_2 > 0$.

В этом состоянии энергия электрического поля конденсаторов

$$U_{\text{эф}} = \frac{1}{2} C_1 V_1^2 + \frac{1}{2} C_2 V_2^2 = \frac{(C_1 \varepsilon)^2}{2(C_1 + C_2)}.$$

Энергия электрического поля в начальном состоянии $U_{\text{н}} = C_1 \varepsilon^2 / 2$. Следовательно, энергия электрического поля уменьшилась. Количество теплоты $Q = U_{\text{н}} - U_{\text{эф}}$.

4.5.26. В конечном состоянии разности потенциалов верхних и нижних пластин конденсаторов одинаковы и равны $V/2$. Согласно (4.5.1) количество теплоты, выделившееся в резисторах $Q_i = kR_i$. Следовательно, $Q_1/Q_2 = R_1/R_2$. Из закона сохранения энергии следует еще одно уравнение $\frac{CV^2}{2} = Q_1 + Q_2 + \frac{CV^2}{4}$.

4.5.27. Из закона сохранения заряда изолированной части цепи и второго правила Кирхгофа получим уравнения $q_1 + q_2 = C_1 V_1 - C_2 V_2$, $V_1 + V_2 = 0$.

Отсюда находим $V_1 = (q_1 + q_2) / (C_1 + C_2)$, $V_1 = -V_2$. В этом состоянии энергия электрического поля

$$U_{\text{эф}} = C_1 V_1^2 / 2 + C_2 V_2^2 / 2 = (q_1 + q_2)^2 / 2(C_1 + C_2).$$

Энергия электрического поля в начальном состоянии

$$U_{\text{н}} = q_1^2 / 2C_1 + q_2^2 / 2C_2.$$

Следовательно, энергия электрического поля уменьшилась. Количество теплоты

$$Q = U_{\text{н}} - U_{\text{эф}} = (q_1 C_2 - q_2 C_1)^2 / [2C_1 C_2 (C_1 + C_2)].$$

4.5.28. Емкость эквивалентного конденсатора $C_0 = C/2$. После зарядки заряд конденсатора $q' = C_0 \varepsilon$. Согласно уравнению энергетиче-

ского баланса работа, совершаемая батареей равна количеству джоулевого тепла и приращению энергии электрического поля:

$$Q_r + Q_R = \varepsilon q' - q'^2/2C_0.$$

Поскольку $Q_r \sim r$, $Q_R \sim R$, то $Q_r/Q_R = r/R$.

4.5.29. Из закона сохранения энергии получим уравнение

$$U_e = Q_1 + Q_2.$$

Поскольку $Q_n \sim R_n$, то $Q_1/Q_2 = R_1/R_2$.

4.5.30. Сила тока в общей части цепи $I = 2\varepsilon/3R$. Падение напряжения на резисторе R_1 равно $V_1 = 2\varepsilon/3$, на резисторе R_4 равно $V_4 = \varepsilon/3$. Разность потенциалов на конденсаторе — $\varepsilon/3$. Энергия электрического поля $U_e = C\varepsilon^2/18$. При разряде в ветвях схемы R_2R_3 и R_1R_4 выделится одинаковое количество теплоты $U_e/2 = Q_3 + Q_4$. Согласно (4.5.1) получим еще одно уравнение $Q_3/Q_4 = R_3/R_4$.

4.5.31. При $t \geq 0$ имеем соотношение $\delta Q = V_2 \Delta q - \Delta \left(\frac{q^2}{2C} \right)$.

В начальном состоянии $q(0) = CV_1$, в конечном состоянии $q_2 = CV_2$. Следовательно, полное количество теплоты

$$Q = V_2(CV_2 - CV_1) - \frac{1}{2}(CV_2^2 - CV_1^2) \text{ или } Q = \frac{C}{2}(V_1 - V_2)^2.$$

Подставляя числовые данные, находим

$$Q = 50 \text{ фДж или } Q = 3,12 \cdot 10^5 \text{ эВ.}$$

Таким образом, каждая логическая операция требует затрат энергии и сопровождается выделением теплоты, которую необходимо отвести от схемы. Однако любой материал может рассеять в единицу времени ограниченное количество теплоты, зависящее от его теплопроводности. Поэтому с прогрессом миниатюризации величина Q уменьшается, по видимому, скоро будет достигнут фундаментальный предел при комнатной температуре $Q_m = 7,6$ эВ. Преодолеть этот предел нельзя, т.к. логические операции защищены от теплового шума лишь тогда, когда потребляемая энергия хотя бы в 200 раз превышает энергию теплового движения при комнатной температуре $1,5 \text{ кТ} \approx 0,038$ эВ. Для преодоления этого предела потребуется понизить температуру и уменьшить размеры микросхемных устройств. В XXI веке мы приблизимся к пределу возможной толщины изолирующего слоя из сотни атомов порядка 25 нм и войдем в область *гигамасштабной интеграции*, при которой одна микросхема будет содержать 10^9 транзисторов на 1 см^2 .

4.5.32. В начальном положении заряд верхней обкладки конденсатора $q_0 = 5\varepsilon C$. Энергия электрического поля $U_0 = q_0^2/2C$. После переключения ключа заряд обкладки $q' = \varepsilon C$.

4.5.33. После переключения ключа имеем последовательное соединение элементов цепи. Из закона Ома получим уравнение $I r_2 + q/C = \varepsilon$, где $I(t)$ — сила тока в цепи конденсатор — ЭДС. Умножая обе части уравнения на I , получим $I^2 r_2 + qI/C = \varepsilon I$, или уравнение энергетического баланса $\varepsilon \Delta q = I^2 r_2 \Delta t + \Delta U_c$, где $U_c = q^2/2C$.

Работа, совершаемая батареей $A = \varepsilon (q' - q_0)$.

4.5.34. Количество теплоты, выделившейся в батарее

$$Q_2 = A - (U' - U_0).$$

4.5.35. Пусть I, I_1, I_2 — силы токов в цепи батареи, резистора R_1 и конденсатора. Из законов Кирхгофа следуют уравнения

$$I = I_1 + I_2, \quad (1)$$

$$I r + q_2/C + I_2 R_2 = \varepsilon, \quad (2)$$

$$q_2/C + I_2 R_2 = I_1 R_1. \quad (3)$$

Отметим, что из (1)–(3) можно получить закон изменения электромагнитной энергии $\varepsilon I = I^2 r + I_1^2 R_1 + I_2^2 R_2 + \frac{d}{dt} \frac{q_2^2}{2C} (1 + r/R_1)$.

Найдем уравнение относительно функции q_2 . Подставляя в (2) I и I_1 из (1), (3), получим

$$\varepsilon = (q_2/C)(1 + r/R_1) + I_2 R_2 (1 + r/R_1 + r/R_2). \quad (4)$$

Умножая (4) на I_2 , находим

$$I_2^2 R_2 (1 + r/R_1 + r/R_2) = \varepsilon I_2 - \frac{d}{dt} \frac{q_2^2}{2C} (1 + r/R_1). \quad (5)$$

Из (5) получим элементарное количество теплоты

$$\delta Q_2 (1 + r/R_1 + r/R_2) = \varepsilon \Delta q_2 - (1 + r/R_1) \Delta (q_2^2/2C).$$

Заряд конденсатора в конечном состоянии $q_2 = C \varepsilon R_1 / (r + R_1)$.

4.5.36. При смещении пластины в цепи протекает переменный ток. Положительное направление тока показано стрелкой (рис. 4.5.36). Емкость конденсатора $C(x) = \varepsilon_0 S/x$.

Энергия электрического поля $U_c = q^2/2C = q^2 x / 2\varepsilon_0 S$. Согласно закону Кирхгофа

$$I r + q x / \varepsilon_0 S = V_0. \quad (1)$$

Проекция силы, действующей на пластину $F_c = -dU_c/dx$.

Из второго закона Ньютона получим уравнение движения пластины.

$$mdv/dt = F - q^2/2\varepsilon_0 S. \quad (2)$$

Система нелинейных дифференциальных уравнений (1)–(2) относительно $q(t)$ и $x(t)$ неразрешима в случае $r \neq 0$.

Умножим (1) на I , (2) на v и сложим полученные выражения. В результате находим уравнение энергетического баланса

$$\frac{d}{dt} \left(\frac{mv^2}{2} + \frac{q^2 x}{2\varepsilon_0 S} \right) = -I^2 r + IV_0 + Fv.$$

Отсюда следует закон изменения полной энергии

$$\Delta(mv^2/2 + U_e) = IV_0 \Delta t + Fv \Delta t - I^2 r \Delta t. \quad (3)$$

Если пренебречь сопротивлением батареи, то из (1) получим $q = CV_0$, $U_e = CV_0^2/2$. Тогда из (3) найдем элементарную работу внешней силы

$$\delta A_{\text{вн}} = \Delta U_e - V_0 \Delta q, \text{ или } \delta A_{\text{вн}} = -(V_0^2/2) \Delta C. \quad (4)$$

4.5.37. Из второго закона Ньютона получим уравнение движения пластины

$$mdv/dt = F - Q_0^2/2\varepsilon_0 S + Q_0 E_0. \quad (1)$$

Умножая (1) на v , получим закон изменения полной энергии

$$\Delta(mv^2/2 + U_e - Q_0 E_0 x) = Fv \Delta t, \quad U_e = Q_0^2 x/2\varepsilon_0 S. \quad (2)$$

$$\delta A_{\text{вн}} = \Delta U_e - Q_0 E_0 \Delta x, \text{ или } \delta A_{\text{вн}} = Q_0^2 (h-d)/2\varepsilon_0 S - Q_0 E_0 (h-d).$$

4.5.38. Очевидно, сопротивление цепи равно R :

$$1/R = 1/r + 1/(r + R), \quad r = (1 + \sqrt{5})R/2.$$

Через резистор R_3 протекает ток силой $I_3 = V/(r + R)$.

4.5.39. Из уравнений $P_1 = U^2/R_1$, $P_2 = U^2/R_2$, $P'_2 = U^2 R_2/(R_1 + R_2)^2$ находим $P'_2 = P_2 [P_1/(P_1 + P_2)]^2$.

4.5.40. Учитывая решение задачи 4.3.25, получим $Q = C\varepsilon^2/2$.

4.5.41. Пусть I_1 , I_2 , I — силы токов в цепи батареи, конденсатора C_2 и резистора (рис. 4.5.41 б).

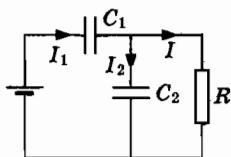


Рис. 4.5.41 б

Из законов Кирхгофа следуют уравнения

$$I_1 = I_2 + I, \quad (1)$$

$$q_1/C_1 + q_2/C_2 = \mathcal{E}, \quad (2)$$

$$q_1/C_1 + IR = \mathcal{E}. \quad (3)$$

Из (1)–(3) получим закон изменения электромагнитной энергии

$$\delta I_1 = I^2 R + \frac{d}{dt} \left(\frac{q_1^2}{2C_1} + \frac{q_2^2}{2C_2} \right). \quad (4)$$

Из (4) находим элементарное количество теплоты

$$\delta Q = \mathcal{E} \Delta q_1 - \Delta (q_1^2/2C_1 + q_2^2/2C_2).$$

Начальные значения зарядов $q_{1i} = q_{2i} = 2C\mathcal{E}/3$, конечные значения $q_{1f} = C\mathcal{E}$, $q_{2f} = 0$.

4.5.42. Очевидно $P_2/P_1 = I_2^2/I_1^2$, $I_1 V_1 = I_2 V_2$.

4.5.43. $R = (V_2 - V_1) V_1 / P$. $R = 24,2$ Ом.

4.5.45. После замыкания ключа силы токов в цепях конденсаторов I_1, I_2 ; сила тока, протекающего через резистор I .

Из законов Кирхгофа имеем систему $I_1 + I_2 = I$, $q_1/C_1 + IR = \mathcal{E}_1$, $q_2/C_2 + IR = \mathcal{E}_2$, из которой следует уравнение

$$q/C + IR = (\mathcal{E}_1 C_1 + \mathcal{E}_2 C_2)/C, \quad (1)$$

где $q = q_1 + q_2$, $C = C_1 + C_2$.

Начальное условие $q(0) = 0$. Сила тока $I \rightarrow 0$ при $t \gg RC$. Следовательно, $\Delta q = \mathcal{E}_1 C_1 + \mathcal{E}_2 C_2$.

Б. Умножая (1) на I , получим закон изменения электрической энергии $I^2 R = (\mathcal{E}_1 C_1 + \mathcal{E}_2 C_2) I / C - \frac{d}{dt} \frac{q^2}{2C}$. $Q = (\Delta q)^2 / 2C$, $C = C_1 + C_2$.

4.5.46. Из уравнения энергетического баланса получаем

$$R = R_0 (1 + \alpha I^2 R / \beta).$$

Сопротивление $R \approx R_0 (1 + \alpha I^2 R_0 / \beta)$.

Отметим, что для получения вольтамперной характеристики нельзя применить закон Ома. Поскольку сопротивление связано с вольтамперной характеристикой соотношением $R = dV/dI$, то имеем уравнение

$$R_0 (1 + \alpha I^2 R_0 / \beta) = dV/dI, \rightarrow R_0 (I + \alpha I^3 R_0 / 3\beta) = V. \quad (1)$$

Разрешая (1) относительно I , получим вольтамперную характеристику $I(V) \approx V/R_0 - \alpha V^3 / (3\beta R_0^2)$, обобщающую закон Ома.

Учебное издание

Павленко Юрий Григорьевич

Физика. Избранные задачи

Книга I

Механика

Молекулярная физика. Термодинамика

Механика жидкостей и газов

Электричество

Издательство **«ЭКЗАМЕН»**

Гигиенический сертификат
№ 77.99.02.953.Д.008330.09.06 от 14.09.2006 г.

Главный редактор *Д.В. Яновский*
Технический редактор *Н.Я. Богданова*
Корректор *Н.С. Садовникова*
Дизайн обложки *И.Р. Захаркина*
Компьютерная верстка *М.В. Демина*

105066, Москва, ул. Нижняя Красносельская, д. 35, стр. 1.
www.examen.biz

E-mail: по общим вопросам: info@examen.biz;
по вопросам реализации: sale@examen.biz
тел./факс 641-00-30 (многоканальный)

Общероссийский классификатор продукции
ОК 005-93, том 2; 953005 — книги, брошюры, литература учебная

Издание осуществлено при техническом содействии
ООО «Издательство АСТ»

Отпечатано на ОАО «Нижполиграф»
603006 Нижний Новгород, ул. Варварская, 32.

По вопросам реализации обращаться по тел.:
641-00-30 (многоканальный).

УВАЖАЕМЫЕ ПОКУПАТЕЛИ!

Книги издательства «ЭКЗАМЕН» можно приобрести
оптом и в розницу в следующих книготорговых организациях:

- Москва**
ТД «Библио-глобус» — Тел. (495) 928-43-51
Детский мир центр — Тел. (495) 781-09-75
ДК Медведково — Тел. (495) 476-16-90
ООО «Библиофера» — Тел. (495) 670-52-17
«Молодая гвардия» — Тел. (495) 780-33-70
«Шаг к пятёрке» — Тел. (495) 411-08-29
Сеть магазинов «Мир школьника»
- Архангельск**
АВФ-книга — Тел. (8182) 65-41-34
- Благовещенск**
ЧП Калугин — Тел. (4162) 35-25-43
- Волгоград**
Предприниматель Гражданкин Н.Н. —
Тел. (8442) 95-54-11
ООО «Кассандра» — Тел. (8442) 97-55-55
- Владивосток**
ОАО «Приморский торговый дом книги» —
Тел. (4232) 63-73-18
- Воронеж**
ООО «Амиталь» — Тел. (4732) 23-00-02
ООО «Риокса» — Тел. (4732) 21-08-66
Книжный мир семья — Тел. (4732) 51-28-90
- Екатеринбург**
ООО «Валео Книга» — Тел. (343) 374-54-59
ПО «Кримп» — Тел. (343) 369-29-25, 369-22-22
ООО «Фолиант» — Тел. (3432) 74-45-33
ООО «Алис» — Тел. (3432) 55-10-06
- Ессентуки**
ЧП Зинченко — Тел. (87961) 5-11-28
- Иваново**
«Мысль» — Тел. (4932) 30-00-65
- Ижевск**
ООО «УМК» — Тел. (3412) 78-35-04
- Иркутск**
«ПродалитЪ» — Тел. (3952) 24-17-77
«Антей книга» — Тел. (3952) 24-20-95
- Казань**
ООО «Аист-пресс» — Тел. (8432) 43-12-20
ООО «Ганс» — Тел. (8432) 72-34-55
- Киров**
«Книги детям» — Тел. (8332) 51-30-90
- Краснодар**
ООО «БукПресс» — Тел. (8612) 62-55-48
ООО «Когорта» — Тел. (8612) 62-54-97
Перспективы образования — Тел. (8612) 54-25-67
- Красноярск**
ООО «Градъ» — Тел. (3912) 59-11-52
- Ленинск-Кузнецкий**
Магазин № 85 — Тел. (38456) 7-30-07
- Мурманск**
ООО «Тезей» — Тел. (8152) 43-63-75
- Новосибирск**
ООО «Топ-книга» — Тел. (3832) 36-10-28
ООО «Модус-2» — Тел. (3832) 44-34-44
- Нижний Новгород**
«Учебная книга» — Тел. (8312) 46-38-66
Дом книги — Тел. (8312) 77-52-07
- Омск**
«Омсккнига» — Тел. (3812) 23-52-08
- Оренбург**
«Фолиант» — Тел. (3532) 77-46-92
- Пермь**
ЧП Нежданов — Тел. (3422) 45-24-37
«Лира-2» — Тел. (3422) 26-66-91
- Петропавловск-Камчатский**
ЧП Кожан — Тел. (4152) 11-12-60
- Прокопьевск**
Книжный дом — Тел. (38466) 3-25-30
- Псков**
ООО «Гелиос» — Тел. (8112) 44-09-89
- Пятигорск**
ПБООЛ Бердникова — Тел. (87933) 3-05-86
- Ростов-на-Дону**
«Фазтон-пресс» — Тел. (8632) 65-61-64
«Магистр» — Тел. (8632) 99-98-96
- Рязань**
ТД «Просвещение» — Тел. (4912) 44-67-75
ООО «Барс» — Тел. (4912) 93-29-54
- Самара**
«Реал +» — Тел. (8462) 41-87-30
«Чакона» — Тел. (8462) 42-96-30
- Санкт-Петербург**
«Санкт-Петербургский дом книги» —
Тел. (812) 318-64-38
ООО «Буквоед» — Тел. (812) 346-33-27
- Саратов**
Читающий Саратов — Тел. (8452) 51-87-62
Полиграфист — Тел. (8452) 29-43-96
ООО «Стрелец и К°» — Тел. (8452) 52-25-24
«Гемера» — Тел. (8452) 64-37-37
- Смоленск**
ООО «Кругозор» — Тел. (4812) 65-86-65
ООО «Родник» — Тел. (4812) 55-71-05
ООО «Книжный мир» — Тел. (4812) 29-16-02
«Эрудит» — Тел. (4812) 65-62-94
- Тверь**
«Книжная лавка» — Тел. (4822) 33-93-03
- Тула**
«Галатей» — Тел. (4872) 35-60-87
«Система +» — Тел. (4872) 31-29-23
- Тюмень**
ООО «Друг» — Тел. (3452) 21-34-39
ООО «Знание» — Тел. (3452) 25-23-72
ЗАО «Фолиант» — Тел. (3452) 27-36-06
- Уфа**
ООО «Эдвис» — Тел. (3472) 25-83-92
- Хабаровск**
ООО «Мирс» — Тел. (4212) 29-25-65
- Челябинск**
Интерсервис ЛТД — Тел. (3512) 21-34-53
- Чита**
«Экслибрис» — Тел. (3022) 32-59-64
- Якутск**
ЧП Аксентчук — Тел. (4112) 42-89-60
«Якутский книжный дом» —
Тел. (4112) 34-10-12
- Ярославль**
Академия — Тел. (4852) 31-43-26

По вопросам прямых оптовых закупок обращайтесь
по тел. (495) 641-00-30 (многоканальный), sale@examen.biz
www.examen.biz

Ю.Г. ПАВЛЕНКО

ФИЗИКА. ИЗБРАННЫЕ ЗАДАЧИ

Эта книга представляет собой сборник задач и вопросов по всем разделам курса физики средней школы: "Кинематика", "Основы динамики", "Молекулярная физика. Тепловые явления", "Механика жидкостей и газов", "Электростатика", "Электрический ток", "Магнитное поле", "Электромагнитная индукция", "Колебания и волны", "Оптика", "Элементы теории относительности" и "Квантовая физика". Предлагаемые свыше 1 600 задач и вопросов отражают наиболее существенные для каждой темы понятия и законы. Включен материал, который, как показала практика приемных экзаменов на естественные факультеты МГУ, наиболее сложен для абитуриентов.

Приведены решения всех задач. Анализируя свою работу, читатель получит объективную информацию об уровне подготовки и разделах программы, требующих дополнительного изучения.

Для учащихся старших классов, абитуриентов и преподавателей.

ISBN 978-5-377-00469-1



9 785377 100469 1

В ЭТОЙ СЕРИИ:

ХИМИЯ
АЛГЕБРА
ГЕОМЕТРИЯ
ФИЗИКА
ГЕОГРАФИЯ
РУССКИЙ
ИНФОРМАТИКА
ЛИТЕРАТУРА
БИОЛОГИЯ
ИСТОРИЯ
АНГЛИЙСКИЙ
НЕМЕЦКИЙ
ФРАНЦУЗСКИЙ

$$pgh = \rho h \cdot 9,8 \frac{\text{Н}}{\text{кг}}$$
$$mc = mg = m \cdot 9,8 \frac{\text{Н}}{\text{кг}}$$
$$mg = m \cdot 9,8 \frac{\text{Н}}{\text{кг}}$$